

STRUCTURAL DESIGN OF WARSHIPS

By

WILLIAM HOVGAARD

В. ХОВГАРД

ПРОЕКТИРОВАНИЕ КОНСТРУКЦИЙ КОРПУСА ВОЕННЫХ КОРАБЛЕЙ

Перевод с английского
профессором Ю. А. Шиманского

617426



ОБОРОНГИЗ
ГЛАВНАЯ РЕДАКЦИЯ ЛИТЕРАТУРЫ ПО СУДОСТРОЕНИЮ
Москва 1947

Книга известного американского профессора Хенгера «Structural Design of Warships» представляет собой курс лекций, читанных автором в течение многих лет в Массачусетском технологическом институте.

В книге рассматриваются вопросы прочности и проектирования основных корпусных конструкций военных кораблей.

При рассмотрении этих вопросов автор указывает, как с помощью запатентованной им методики и средств создать наиболее эффективную конструкцию, наиболее полно отвечающую предъявляемым к ней требованиям, учитывая опыт плавания, данных экспериментальных исследований, достижения прикладной теории упругости и современное состояние технологии кораблестроения.

Оформленный в состоянии американского кораблестроения, книга может служить ценным учебным пособием для студентов высших кораблестроительных институтов при изучении курсов: «Бонструкции корпуса судна» и «Строительная механика корабля».

Несомненно, эта книга является также полезным руководством для инженеров-кораблестроителей в их практической деятельности в центральных и заводских конструкторских бюро, в научно-исследовательских институтах и в технических управлениях и администрации, в которых разрабатываются или рассматриваются вопросы проектирования конструкций корпусов военных кораблей в гражданских морских судах.

ОТ ПЕРЕВОДЧИКА

Настоящая книга представляет собой полный перевод последнего, второго, значительно переработанного и дополненного издания известного труда американского профессора Вальтера Ховгарда «Structural Design of Warships», появившегося в Америке в 1940 г.

Труд проф. Ховгарда позволяет ознакомиться с общими установками и требованиями, существующими в современной практике американского военного кораблестроения в области проектирования корпуса военных кораблей.

В этом труде проходит неразрывная связь между теорией и практикой проектирования корпуса корабля, при целесообразном их сочетании. В этом заключается большая его ценность как учебного руководства для студентов и практического пособия для инженеров-кораблестроителей.

В труде проф. Ховгарда обращается внимание на то обстоятельство, что прочность корпуса определяется не только правильностью расчетов прочности его различных конструкций, но и надлежащим их конструктивным оформлением и соответствующим технологическим процессом изготовления. Эти три фактора одинаково важны и настолько взаимно связаны, что в процессе проектирования конструкций корпуса они должны рассматриваться совместно.

Другая, не меньшая ценность труда проф. Ховгарда заключается в том, что в нем рассматриваются некоторые вопросы в области конструкции корпуса, которым в современном кораблестроении еще не уделяется должного внимания ни в смысле их достаточного теоретического освещения, ни в части их практического разрешения. Отмечая это, я имею в виду, главным образом, вопросы, связанные с правильным проектированием различных прерывистых связей корпуса. Хотя в труде проф. Ховгарда эти вопросы и не получили сколько-нибудь исчерпывающего разрешения, но уже самий факт постановки их в пределах трактовки должна быть отмечена в качестве положительного фактора, поддающего значение этого труда.

Прогресс техники кораблестроения, на современном этапе ее развития, должен и будет происходить именно в направлении усовершен-

ствовании теории и практике проектирования различных прерывистых сажей корпуса.

Заслуживает большого внимания проводимая в труде проф. Хевгарда методика учета практического систематизированного опыта и экспериментального материала для определения размеров конструкции корпуса. Эта методика наименее полное и наглядное выражение в задаче определения необходимой толщины листов различных корпусных перекрытий, подвергавшихся действию давления воды. Полученные таким методом кривые, рекомендованные для определения по ним толщин листов корпусных перекрытий, являются более обоснованными, чем многие чисто аналитические приемы расчета прочности корпусных конструкций.

Все это дает полную уверенность, что издание перевода труда проф. Хевгарда окажется вполне оправданным.

При выполнении перевода мы сочли правильным воздержаться от естественного желания дополнить его нашими замечаниями сопоставительного характера, чтобы не увеличивать этим объемы книги. Мы сочли возможным упростить или обустроить некоторые имеющиеся в оригинале таблицы и рисунки, благодаря чему получившиеся в книге их нумерации уже не отвечает кумуляции, имеющейся в оригинале. Однако эти изменения стать несущественны и незначительны, что они не нарушают общего текстуального характера перевода труда проф. Хевгарда.

Считаю своим приятным долгом отметить исключительно большую работу, выполненную проф. Н. Е. Путовым, связанную не только с обычным редактированием перевода труда проф. Хевгарда, но и с многими сделанными им существенными исправлениями и дополнениями, способствовавшими улучшению качества этого перевода.

Ю. А. Шимонский

ПРЕДИСЛОВИЕ К ПЕРВОМУ ИЗДАНИЮ

В основе этой книги лежат лекции, читанные с 1901 г. в Массачусетском техническом институте по курсу «Конструкции корабля» для офицеров Американского военного флота, подготовляющихся к исполнению обязанностей корабельных инженеров.

Изменяясь и дополняясь в течение последних тридцати лет, лекции в настоящее время пришли почти устоявшуюся форму. Поэтому было желательно их издать в качестве учебного пособия, а отчасти и в надежде, что они могут оказаться полезными и вообще для лиц, занимающихся проектированием и конструированием военных кораблей.

Курс «Конструкции корабля» изучается на протяжении трех лет и состоит из лекционного материала и из проектных работ. Чтобы показать место настоящей работы в этом курсе, изложим здесь краткую программу его.

Первый год. Исторический очерк развития военного кораблестроения, начиная с изобретения парового двигателя, железа и брони.

Предварительное проектирование, включающее рассмотрение различных классов военных кораблей, определение главных элементов теоретического чертежа, построение обводов корпуса корабля, остойчивость, мореходность, общее распределение весов, подсчет весов, разделение на водонепроницаемые отсеки и вибрация корабля.

Второй год. Проектирование конструкций корпуса военных кораблей, включавшее материалы, применяемые при постройке корпуса, прочность и расчеты прочности, заплечевые соединения и основные детали конструкции. Предварительное проектирование судовой установки: котлов, машин и цепт постельку, поскольку это касается корабельного инженера. Бункеровка и хранение угля. Жидкое топливо. Рули и рулевые устройства.

Третий год. Осушение. Вентиляция и отопление. Якори и якорное устройство. Шлюпки и спасательное устройство. Расположение и установка артиллерии. Бомбапасы, их транспортировка и хранение, проектирование погребов боезапаса. Торпедное вооружение. Эффект артиллерийского огня. Сопротивление брони. Основы проектирования броневой защиты. Защита от атак подводных лодок. Боевые рубки.

Материал, излагаемый в настоящей книге, охватывает несколько больше половины лекционного материала, изучаемого во второй год обучения. При изложении материала предполагалось общее знакомство с теорией корабельной архитектуры в объеме, обычно известном молодым корабельным офицерам.

При собирании материала и придаании ему формы, полезной для изучающих, возникли значительные трудности. Существующие источники информации весьма разбросаны и состоят из учебников, руководств, отдельных статей и докладов, спецификаций, чертежей, правил и инструкций. Учебники содержат много ценных сведений, однако, за исключением некоторых французских книг, вопросы проектирования боевых кораблей в них рассматриваются со многих других точек зрения и, естественно, вопросу проектирования отдельных конструкций корпуса корабли по необходимости отводится мало места, поэтому рассмотрение этих вопросов носит, главным образом, описательный характер.

Предметом настоящей книги является более полное рассмотрение этой специальной части проектирования боевых кораблей, главным образом, с точки зрения общих принципов и условий. Ввиду обширности темы было признано необходимым ограничить объем книги рассмотрением только основных деталей корпуса. Описательная часть приводится в том объеме, какой необходим для иллюстрации основных положений конструирования.

Однако приведенные описания и рисунки конструктивных деталей, поскольку возможно, соответствуют последней практике. При наличии существенной разницы в способах конструирования в различных флотах эти способы сравниваются критически.

При изучении существующей практики часто трудно выяснить, почему приняты некоторые детали конструкции и почему в некоторых случаях они различны в разных флотах. Общее объяснение заключается в том, что когда-то некоторые конструкции, введенные одним из ведущих флотов, оказались удовлетворительными и сделались стандартными. С течением времени причины, обусловившие их принятие, были забыты, а эта конструкция стала применяться по традиции. Может даже случиться, что упомянутые, обрядившие конструкцию, изменились или перестали существовать, а сами конструкции продолжают применяться просто из-за боязни непредвиденных последствий, если данная конструкция будет изменена или упрощена. Изучение таких вопросов не может не быть продуктивным, так как оно, естественно, ведет к возможности улучшения конструкции. Кроме того, в работах подобного рода желательно помимо установить и объяснить причины, обусловившие различные особенности отдельных корпусных конструкций, не только потому, что это — ценный материал для неопытных студентов в насторожнее время, но также и потому, что это важная информация для будущего.

Так как лекции, положенные в основу этой книги, были написаны, главным образом, для американских студентов-кораблестроителей, то главное внимание уделяется практике кораблестроения американского военного флота. Это было желательно и с другой точки зрения. Постройка бронированных кораблей американского флота началась только 25 лет назад, и за это короткое время он вырос в великий флот. Развитие американского флота характеризуется интенсивной борьбой за улучшения и усовершенствование. Не будучи связанным традициями и значительными финансовыми затруднениями, американский флот перенял лучшее из других флотов и с усердием вывел много новых и оригинальных деталей. В результате современный американский военный корабль как вообще, так и в деталях занимает место среди лучших кораблей мира. Поэтому описательская часть настоящей книги базируется, главным образом, на американской практике, однако имеется ряд ссылок и на практику английского, французского и датского флотов.

Настоящая книга отличается от других подобных книг значительным использованием математического анализа для разрешения задач, встречающихся при проектировании конструкций корпуса корабля. Предложено аналитическое решение для ряда задач, которые раньше разрешались или по традиции или, в лучшем случае, на основе опытного материала. Огромное увеличение размеров и стоимости военных кораблей, увеличение мощности машинных установок и артиллерийского вооружения, улучшение качества материалов и увеличивающаяся необходимость экономии веса, а следовательно, лучшего приспособления конструктивных связей к восприятию действующих на них внешних сил, требуют применения более правильных и точных методов проектирования. Однако надо усвоить, что рекомендуемый здесь аналитический метод является только способом для более сомнительного и правильного использования опыта. Опытные данные, полученные в результате действительной службы конструкции или специально поставленных экспериментов, должны быть всегда основой, на которой должны базироваться решения. Без них формулы бесполезны и могут даже быть опасными. Практическое применение формул и теоретических принципов показано на многих примерах.

Хотя книга предназначена, главным образом, для студентов, изучающих конструкцию корабля, все же она перерастает рамки обычного учебника, который просто налагает установленшиеся теории и существующую практику. В аналитической обработке вопросов содержится, по мнению автора, много нового, и в ряде глав автор рассчитывает сделать некоторые предложения новых конструктивных форм. В тех случаях, когда предлагаемый метод проектирования или конструирования еще не испытан, это всегда ясно подчеркивается.

Так как аналитический метод рассмотрения вопросов проходит через всю книгу, в которой отдельные вопросы рассматриваются независимо друг от друга с точки зрения основных принципов, было ис-

возможно избежать повторений. Это, однако, дает возможность излагать каждую главу без больших ссылок на остальные главы.

Выражая глубокую признательность контрадмиралу Р. М. Watt, главному конструктору американского военного флота, за его большую помощь в изучении конструктивных деталей и самый начальный период разработки этих лекций и за разрешение опубликовать чертежи и другую информацию, касающуюся американского флота.

Выражая также благодарность главному конструктору датского флота капитану Й. С. Тихен, который предоставил возможность ознакомиться с чертежами и конструкциями.

Профессор Массачусетского технологического института Непту Н. В. Keith окказал очень ценную помощь в составлении чертежей, диаграмм и численных примеров. В разработке численных примеров и графического материала проявляя участие помощники главного конструктора Р. Д. Weyerbacher, Т. В. Richey и W. G. Loo, а также студенты института.

Многие ссылки на различные источники сделаны в тексте и в списках.

William Newland.

Бостон, Площадь БИЧ 4.

ПРЕДИСЛОВИЕ КО ВТОРОМУ ИЗДАНИЮ

Первое издание этой книги вышло в Лондоне в 1915 г.—тогда не нашлось издателя для нее в Соединенных Штатах. К 1926 г. первое издание полностью разошлось, и так как спрос на эту книгу с тех пор еще больше возрос, издатель предложил выпустить второе издание. Однако автор предпочел выпустить второе издание в США, тем более, что за это взялся Корабельный институт Соединенных Штатов (United States Naval Institute).

Прошло 25 лет после выпуска первого издания книги; ясно, что произошли многое изменения в конструкции военных кораблей.

Требования увеличения скорости и применение более прочных материалов привели к уменьшению прочных размеров сварки корпуса корабля, что вызвало необходимость улучшить методы их проектирования и расчеты прочности. Более интенсивно стали использоваться достижения прикладной механики и теории упругости, в особенности в сочетании с экспериментальными исследованиями. Это потребовало включения во второе издание новых глав об анализе напряжений и деформаций, о нарушении непрерывности связей и о кручении. В книгу включены также достижения некоторых исследований в приложениях их к кораблестроению.

Чтобы не увеличивать объема книги, некоторые части первого издания выпущены как устаревшие, например, глава о композитных кораблях и о кораблях с деревянной обшивкой; некоторые главы сокращены.

Вероятно, наиболее важным добавлением является глава о сварке. Так как сварка в судостроении извоняется в переходном, быстро развивающемся состоянии, то автор надеется на сопровождение читателя в возможных ошибках этой главы.

По первоначальному замыслу, эта книга была написана, главным образом, в качестве учебника по корабельным конструкциям для студентов. Это в значительной мере справедливо и для второго издания. Однако значительный интерес, проявляемый к первому изданию книги со стороны корабельных инженеров и судостроителей, позволяет надеяться, что они найдут книгу более полезной в настоящем ее виде.

Я надеюсь, что книга окажется интересной и для корабельных офицеров, принимающих участие вместе с корабельными конструкторами

рами в проектной работе и в экспериментальных исследованиях и испытаниях конструкции из борту корабля в условиях его службы, а также и для корабельных офицеров, которые в своих разортах выражают мнение о работе конструкторов и высотят предложения для улучшения конструкций.

Первым долгом выражают признательность начальнику Бюро постройки и ремонта Морского департамента США, который всегда любезно и щедро оказывал помощь в получение информации.

Благодарю также многих своих друзей корабельных конструкторов, и работников Морского департамента, оказавших значительную помощь.

Я хотел бы выразить особую признательность капитану Т. В. Richey, производственному инженеру Нью-Йоркской корабельной верфи, за любезность и помощь.

Специальную благодарность правошу командиру Н. Е. Roseff, профессору Корабельных конструкций Массачусетского технологического института, и лейтенанту Р. В. Snyder, из Бюро постройки и ремонта, за их помощь в разработке главы о сварке.

William Howland.

Нью-Йорк, 1922 г.

ОГЛАВЛЕНИЕ

	Сер.
От переводчика	V
Предисловие к первому изданию	VII
Предисловие ко второму изданию	X
<i>Глава I. Введение</i>	
1. Материалы, применяемые для постройки корпуса	1
2. Главные составные части конструкции корпуса	19
3. Некоторые замечания о прочности конструкций и о расчетах этой прочности	14
4. Плоское изотропическое состояние и виды измеримых деформаций	19
<i>Глава II. Прочность вязкости</i>	
5. Общие сведения	26
6. Нагрузка	27
7. Сдвиг	37
8. Повторяющиеся стяжки	41
9. Распределение напряжений	45
10. Прогибы	49
11. Аналisis деформаций и прогибов	53
12. Нарушение изотропности конструкций	56
<i>Глава III. Поперечная прочность</i>	
13. Поперечная прочность корабля в линии	66
14. Прочность замкнутого шипагового кильса	70
15. Поперечная прочность инвекции	74
16. Поперечная прочность подводных лодок	81
<i>Глава IV. Прочность на кручение</i>	
17. Крутизные моменты и особенности изострукции	91
18. Относительные величины напряжений от кручения	94
<i>Глава V. Прочность балок</i>	
19. Катушки балки	98
20. Катушки балки, состоящие из пластин	102
21. Изогнуваемые составные балки	103
22. Инерционные балки	106
23. Допускаемые напряжения	108
<i>Глава VI. Прочность прямоугольных пластин под действием изгибающего давления</i>	
24. Определение напряжений	110
25. Высотоизменяющиеся упругие задачи	112

Глава VII. Прочность колонн и листов при сжатии

26. Консольные колонны	119
27. Листы под действием сжатия в срезе	129

Глава VIII. Заклепки и заклепочные соединения

28. Заклепки	136
29. Общие элементы конструкции заклепочных износов, вытекающие из их прочности	149
30. Ведя разрушения	145

Глава IX. Прочность и износостойкость заклепочных соединений

31. Виды и замечания	161
32. Погонья сечения заклепок или отверстий	162
33. Средства, обычно применяемые в судостроении	163
34. Носые разрушения	175
35. Шахматные листы	177
36. Ремесленные соединения, передорочные прошивки и паклейные листы	179
37. Связь между поборой в практике	188
38. Водоизоляция и износостойкость изофторированного	190

Глава X. Сварка

39. Виды сварки	194
40. Техника сварки	199
41. Промышленные способы сварки	203

Глава XI. Наружная обшивка

42. Различные системы	220
43. Общая разбивка листов	225
44. Расположение стыков	231
45. Толщина листов наружной обшивки	236
46. Обшивка носами брони	240
47. Обшивка рубок и других наружек	242
48. Клеевая наружная обшивка	248
49. Сварка наружной обшивки	246

Глава XII. Набор

50. Основные системы набора	248
51. Общее устройство набора	252
52. Расстояние между балками набора	259
53. Конструкция продольного набора	265
54. Конструкция поперечного набора	274
55. Клейка набора	283
56. Сварка набора	283

Глава XIII. Штевни. Набор и скрепления

57. Форштевень и носовой набор	285
58. Ахтерштевень и кормовой набор	289

Глава XIV. Накладки внутреннего дна

59. Общее расположение, длина, ширина и толщина, расположение горизонтов	296
60. Клины и сконы внутреннего дна	298

Глава XV. Палубы

61. Введение	300
62. Накладки палуб	302

	Стр.
63. Накладки фронтовых палуб	329
64. Палубные балки и другой палубный забор	339
65. Деревянные палубы	332
66. Литонеум и другие палубные покрытия	335
67. Паллером	336
 <i>Глава XXV. Переборки</i>	
68. Основные функции и требования	338
69. Расположение листов и ребер	339
70. Конструкция стоек	343
71. Обшивка переборок	351
72. Переборки систер	354
73. Сварка переборок	357
74. Практическое проектирование переборок	357
75. Испытание переборок	361
76. Переборки противоминной защиты	362
77. Водозащищенные переборки	366

ГЛАВА I

ВВЕДЕНИЕ

1. Материалы, применяемые для постройки корпуса

1. Основные характеристики. Качество судостроительных материалов определяется соответствующими спецификациями и устанавливаются различными химическими и физическими испытаниями. Для конструктора наибольший непосредственный интерес представляют такие характеристики качества, как временное сопротивление, предел упругости и пластичность.

Временное сопротивление есть напряжение, получающееся от деления разрушающей нагрузки при испытании образца на разрыв на первоначальную площадь его поперечного сечения.

Предел пропорциональности есть напряжение, определяемое точкой на кривой растяжения, в которой прекращается пропорциональность между напряжением и деформацией.

При практических испытаниях часто трудно или даже невозможно наблюдать предел пропорциональности. В некоторых случаях при изложении, меньший предела пропорциональности, общая деформация содержит остаточную часть.

Предел текучести — напряжение, при котором удлинение начинает сильно увеличиваться без заметного увеличения нагрузки.

Этот предел для судостроительной стали легко определяется. В же женерном деле обычно предел текучести считается основной характеристикой стали. Иногда предел текучести отмечается по аннульному уменьшению нагрузки, вызываемому опусканием рычага испытательной машины.

В случаях, когда предел текучести не выражается с достаточной ясностью, он принимается равным напряжению, при котором остаточное удлинение получается равным 0,2%. В американском военном флоте напряжение, при котором остаточное удлинение достигает 0,01%, называется испытательным напряжением.

Термин предел упругости часто неправильно употребляется как синоним предела пропорциональности и предела текучести. Но его точнее следует определять, как наибольшее напряжение, при котором в материале после снятия нагрузки не проявляется остаточных деформаций, хотя в действительности некоторые виды остаточных деформаций получается уже при меньшем напряжении. Таким образом величину предела упругости можно точно определить лишь в результате тщательных измерений при повторных нагрузках. Практически величина предела упругости совпадает с величиной предела пропорциональности.

Кривая сжатия до предела текучести аналогична кривой растяжения и дает практические одинаковые численные значения для предела пропорциональности и предела текучести, но после достижения предела текучести материал начинает течь, и поэтому значение временного сопротивления на сжатие материала не может быть получено.

Предел выносливости есть напряжение, при котором материал разрушается вследствие усталости после большого числа переменных нагрузок. Для стали предел выносливости значительно меньше предела пропорциональности.

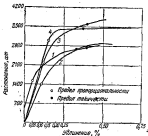


Рис. I.

Для конструкций корпуса предел выносливости обычно не имеет большого значения; однако в некоторых случаях на быстроходных кораблях местные напряжения от усталости могут быть резко выражены.

Часто разрушение приносится усталости, если оно не сопровождается заметным остаточным удлинением или сжатием листа. Однако во многих случаях такое разрушение может получаться в результате постепенного развития чисто местной трещины, начинавшейся в месте надреза или резкого изменения сечения.

Пластичность измеряется величиной удлинения образца между двумя замаркированными его точками, выраженного в процентах к первоначальной длине между этими точками. Величина удлинения замеряется после разрыва образца. Кроме того, пластичность характеризуется испытанием образца на загиб, которое хотя и имеет большое практическое значение, все же не дает количественной характеристики, пригодной для непосредственного использования конструктором.

Относительное сжатие площади образца при растяжении характеризует выражение в процентах отношения площади поперечного сечения образца в месте разрыва к первоначальной площади этого сечения.

Твердость измеряется испытанием по Бринелю, которое состоит в продавливании поверхности металла шариком из твердой стали диаметром 10 мм. Число Бринеля характеризует отношение между давящей нагрузкой и площадью вдавливания такого шарика.

Модуль упругости, обозначаемый E , представляет собой отношение между напряжением и уоротом удлинением при растяжении и сжатии до предела пропорциональности. Графически он изображается наклоном начального участка кривой растяжения (рис. 1).

Модуль сдвига, обозначаемый G , представляет собой отношение между величиной касательного напряжения и углом сдвига:

$$G = \frac{E}{2(m+1)},$$

где $\frac{1}{m}$ — коэффициент Пуассона, который равен отношению междуоперечным сжатием и продольным удлинением в пределах пропорциональности.

2. Классификация. В настоящее время наиболее важным судостроительным материалом является сталь, заменившая сварочное железо, применявшиеся ранее. Сварочное железо и сейчас находится некоторое применение. Сталь к сварочному железу отличается друг от друга, главным образом, способами изготовления. Сварочное железо состоит из соединенных путем пудлингования отдельных текстообразных частиц металлического железа без последующего их сплавления. Сталь же обычно плавного происхождения.

Первоначально сталь содержала много углерода и поэтому обладала способностью к закалке, сварочное же железо не принимает закалки. При современном способе получения стали она может быть выплавлена с любым содержанием углерода; это позволяет получить малоуглеродистые стали, приносящие закалку. Поэтому в настоящее время содержание углерода уже не может быть основным фактором, отличающим сталь от сварочного железа; однако последнее обладает некоторыми особыми качествами, отличающими его от стали.

Сталь бывает очень многих сортов в зависимости от содержания в ней углерода и различных других металлов и элементов.

Углеродистая сталь обладает различными качествами, главным образом, в зависимости от количества содержащегося в ней углерода; она достаточно пластична для проектирования сортовых профилей.

Легированная сталь выплавляется многих сортов, которые получаются различными добавками металлов и других элементов к углеродистой стали. Не всегда можно провести четкую границу между легированной и углеродистой сталью.

Характеристики некоторых сортов стали, употребляющихся для изготовления конструкций корпуса, будут даны дальше.

Из неметаллических материалов наиболее важными являются алюминий, медь, никель и их сплавы.

Кроме металлов, в конструкции военных кораблей применяется, главным образом, дерево.

В табл. I приведены основные требования к стали, производимой в американском флоте.

Таблица I

Сорт	Применение	Химический состав, %	Время полного сопротивления разрыву, час	Предел текучести, кг	Максимальное напряжение, кг/мм ²	Диаметр провода, м
Мягкая сталь свариваемая	Листы и профили для конструкций корпуса	Максимум 0,35 С, 0,75 Mn, 0,25 никелюса из оставшихся элементов	4000—4500	2200—2800	23—25	203
Сталь высокого сопротивления (высокомагниевая)	Листы и профили для конструкций корпуса	Максимум 0,18 С, 1,45 Mn, 0,25 никелюса из оставшихся элементов	5000—6000	2800 (мин.)	20—22	203
Мягкая сталь	Закалки	Максимум 0,04 Р, 0,045 S	4000—4500	—	25—30	203
Сталь высокого сопротивления	Закалки	0,30 С (макс.), 1,15 Mn (макс.), 1,05 Ni (макс.)	4500—5000	1/2 временного сопротивления и не менее 2700	25—30	203
Сталь специальной обработки	Броня	—	5000 (мин.)	2400 (мин.)	17	50,5
Стальные отливки	Форштаки, заготовки, рамы руло, прокатанные	A (изоград)—0,5 С, B (изоград)—0,30 С	5000 (мин.)—4200 (мин.)	40% временного сопротивления	17 24	50,5
Низколегированная сталь	Полуброня брони, термическая обработка	0,30 С (макс.), 0,70 Mn (макс.), 0,6 Ni (макс.)	5000 (мин.)	2800 (мин.)	22	203
Перековочная сталь	Листы, полосы, профили	0,07 С (макс.), 18,0 Cr, 8,0 Ni; следы Mn, Si, Cu	3800 (мин.)	3400 (мин.)	40	50,5
Полосовая углеродистая сталь	Полосовая корпусы, машинные и для заземления	0,5—0,4 С	3600—4200	3120—3900	25—30	50,5
Полосовая углеродистая сталь	Полосы, поддевющие сварке	Максимум 0,15 С, 0,75 Mn, 0,25 никелюса из других элементов	4200 (мин.)	2100 (мин.)	35	50,5
Сварочное железо (чугунное)	Угольники	—	2400 (мин.)	1900 (мин.)	28	203

Таблица 2

Номер ст.	Сорт стали	Химический состав, %	Диаметр образца		Время спаривания, минут, для проверки износосто- йкости	Ударная взрывная сила, %	Коррозий- ная стойкость	Отношение пределов износосто- йкости к пределу коррозион- ной стойкости
			диаметр образца, мм	диаметр образца, мм				
1	Средняя	0,15 С, 0,56 Mn, 0,022 P, 0,033 S, 0,97 Si, 0,01 V (износост.)	50,8	4500	2650	34	0,64	0,6
2	Средняя	0,15 С, 0,7 Mn, 0,014 P, 0,027 Si, 0,93 S (износост.)	50,8	5150	2850	30	0,56	0,55
3	Высокого сопротивле- ния	0,20 С, 1,06 Mn, 0,02 P, 0,036 S, 0,73 Si (износост.)	50,8	6300	3650	29	0,57	0,41
4	Высокого сопротивле- ния марган- цомолибден- истым	0,16 С, 1,02 Mn, 0,028 P, 0,025 S, 0,14 Si, 0,10 V	50,8	8200	3450	35	0,71	0,66

На рис. I показаны кривые растяжения для сталей, характеристики которых приведены в табл. 2.

3. **Сварочное железо.** Этот материал, получаемый пуллинговым процессом, в середине прошлого века заменил в судостроении дерево, но с 80-х годов в свою очередь его стала вытеснять сталь, которая скоро сделалась обычным судостроительным материалом. Однако сварочное железо в коммерческом судостроении продолжало применяться для заклепок и ложек. В последние времена начали изготавливать сварочное железо очень высокого качества, которое вновь нашло применение в ряде случаев при постройке судов. Сварочное железо отличается большой долговечностью и является особенно подходящим материалом для постройки нефтенасосных судов или судов, для которых очень важна противокоррозийная стойкость¹.

Сварочное железо часто путают с мягкойстью сталью, изготовленной в мартеновских печах, называемой также литьем железом, которое тоже содержит очень небольшое количество углерода и, следовательно, не способно закаливаться. Однако сварочное железо отличается от мягкой стали, главным образом, содержанием в нем около 3% силикатных шлаков в размыленном и распределенном состоянии. Удовлетворительное смещение шлака с железом может быть получено только тогда, когда тестообразное железо затвердевает в условиях пуллингового процесса. При этом сварочное железо прорабатывает волнистое строение, препятствующее образованию трещин. Малое содержание углерода не допускает закалки при быстром охлаждении. Главное преимущество сварочного железа заключается в его сопротивлении коррозии как вследствие чистоты основного ме-

¹ R. W. Mettetal, Plating for Oil Tankers of Wrought Iron, "Marine Engineering and Ship. Age", Oct., 1928.

тала, так и благодаря малитию не поддающегося коррозии никеля. Сварочное железо является прекрасным материалом как для аудиенчной сварки, так и для сварки плавлением.

Механические качества сварочного железа могут быть весьма различными. Требования, предъявляемые к сварочному железу спецификацией Американского общества испытания материалов, следующие:

времяное сопротивление разрыву	3400 кг
предел текучести	1900 кг
удлинение на длине 200 мм	14%
сопротивление срезу (в среднем)	2700—3000 кг
модуль упругости при растяжении	(1,75—1,95)·10 ⁶ кг

Сварочное железо может изготавливаться и с гораздо большим удлинением, чем то требуется для плавок. Швеллерное железо имеет удлинение 30%.

В дальнейшем термин «сварочное железо» будет относиться только к пульпированному железу. Железо, полученное в марганцевых печах, будет называться мягкой сталью, или литьим железом.

4. Мягкая сталь. К мягкой стали относятся различные сорта малоуглеродистой стали. В спецификациях американского флота мягкая сталь встречается двух верхно оспечиваемых типов: средняя сталь с наименьшим содержанием углерода около 0,21% и собственно мягкая сталь, содержание углерода в которой спецификацией не ограничивается.

Мягкая сталь, содержащая 0,2—0,3% С, является материалом, находящим широкое применение в кораблестроении. Времяное сопротивление ее от 4200 до 5100 кг. В дальнейшем в числовых примерах оно принято равным 4200 кг; для заклепок из мягкой стали, поставляемых в листах из мягкой стали или из стали высокого сопротивления, временное сопротивление срезу принято равным 3400 кг.

Для судостроительной стали в правилах Альянса Плойда требуется временное сопротивление 4100—5100 кг при удлинении не менее 20% на длине 200 мм для толщин более 10 мм и не менее 16% для более тонких листов. Для стальных заклепок временное сопротивление 4100—4700 кг при удлинении 25—30%. Для заклепок из сварочного и из литьего железа сопротивление 3000—3050 кг при удлинении 22% для сварочного железа и 25—30% для литьего.

Предел текучести мягкой стали несколько меньше двух третей временного сопротивления, т. е. около 2300—3000 кг; предел текучести при чистом срезе около 0,577 предела текучести при растяжении и для мягкой стали равен 1400—1700 кг.

Модуль упругости мягкой стали, так же как для всех других сталей, практически равен $2 \cdot 10^6$ — $2,2 \cdot 10^6$ кг².

5. Углеродистая сталь высокого сопротивления. Как показывают кривые растяжения (см. фиг. 1), углеродистая сталь высокого сопротивления обладает большей прочностью, чем мягкая сталь; это позволяет соответственно уменьшить толщину листов. При этом, однако, требуется более развитая система подкрепляющих ребер для предотвращения листам устойчивости при сжатии.

¹ Ниже в числовых примерах предел принят $E=2,15 \cdot 10^6$ кг, а для модуля сдвига $G=0,335 \cdot 10^6$ кг.

Несколько лет назад такая сталь стала широко применяться для ответственных связей лёгких балстрофодных кораблей, а также линейных кораблей и крейсеров.

Чтобы использовать прочность этой стали, конструкции из неё следует соединять заклепками из такого же материала. Связанные с этим практические затруднения ограничивают применение этой стали. В настоящее время, однако, заклепки из стали высокого сопротивления уже широко применяются.

До недавнего времени пришлось встречаться с затруднениями, связанными с применением сварки для стаей высокого сопротивления. Эти затруднения в настоящем время уже преодолены.

Для заклепок в конструкциях из стали высокого сопротивления применяется средненаграниченная сталь; эта сталь содержит не больше 0,3% С и 1,65—1,67% Mn. Требуемоею спецификациию временное сопротивление срезу звёзд стали должно быть равно 4500 кг (после калывки).

В английском военном кораблестроении сталь высокого сопротивления, известная под маркой «даймитейлская D», применяется с 1922 г.¹. Эта сталь имеет временное сопротивление 5800—6000 кг, предел пропорциональности 2700—3200 кг и упругость 17%. Она содержит 0,22% С и 1,4% Mn. Эта сталь может свариваться.

Сталь специального качества для судостроения по правилам Альянсского Ллойда должна иметь временное сопротивление не больше 6000 кг, предел пропорциональности не меньше 2300 кг, упругость не меньше 20%. Следует отметить, что Ллойдом не оговаривается, каким путем достигаются эти качества, т. е. прибавлением ли литерирующих присадок или термической обработкой.

6. Легированные стали. Легированные стали характеризуются различными свойствами, которые получаются в основном от присутствия в них одного или больше элементов, отличных от углерода, хотя углерод также в них содержится. Наиболее важными из этих элементов являются хромий, марганец, никель, кром, ванадий, молибден и медь. Эти элементы позволяют получать металл, обладающий одновременно и большой прочностью и большой пластичностью, чего нельзя достичь в чисто углеродистой стали. Применяющиеся в судостроении легированные стали являются сталями высокого сопротивления; некоторые из них обладают коррозионно- и теплостойкостью.

Кремнистая сталь по спецификации Американского общества испытания материалов имеет временное сопротивление разрыву 5600—5700 кг, предел текучести 3200 кг и упругость 16—19%. Эта сталь была применена в 1907 г. для верхней промежуточной палубы и верхней части бортов лайера «Маркизания».

В этой стали содержались 1,25% Si; временное сопротивление ее было равно от 5050 до 6000 кг, а предел текучести — приблизительно 3150 кг. При применении ее допускалось уменьшить толщину соответствующих листов на 10%².

Никелевая сталь различных сортов обладает различными качествами. Впервые она была useda в употреблении в качестве бронзовых листов в 80-х годах прошлого столетия фирмой Шнейдера.

¹ W. J. Berry, Steel for Shipbuilding, „Engineering”, 1928, vol. CXCV.

² W. Beckett, Recent Developments in Special Quality Steels for Shipbuilding, Soc. Met. Appl. Mar. Eng., 1931.

Было установлено, что прибавление небольшого количества никеля, около 3½%, улучшивает временное сопротивление стали и предел текучести без соответствующего уменьшения удлинения. Кроме того, предел упругости этой стали составляет относительно большую величину временного сопротивления. Без уменьшения твердости улучшается пластичность и, таким образом, уменьшается склонность к трещинам. Это было ясно обнаружено при испытании броневых плит в 1890 г. в Англии, в которых листы из никелевой стали не дали ни одной трещины, тогда как листы обычной стали давали диагональные трещины, идущие от пробитого сваркой отверстия.

Простая никелевая сталь при изготовлении толстой брони позже была вытеснена хромоникелевой сталью. Однако простую никелевую сталь еще долго продолжали применять для палубной и вообще для тонкой брони. В американском военном флоте в настоящее время ее заменила сталь специальной обработки.

В конструкции корпуса никелевая сталь часто применяется в самых ответственных случаях быстроходных кораблей.

Сталь специальной обработки представляет собой никелевый сплав, точный химический состав которого не опубликован. Она широко применяется в американском военном флоте из-за своих превосходных боевыех качеств. Ее физические качества приведены в табл. I. Сопротивление смятию для этой стали равно 13 500 кг. Она применяется для палубной брони и для легкой бортовой брони, и обычно в этих случаях броневые листы из стали специальной обработки работают, как составные части сварки броневого корпуса. Эта сталь идет также на легкую броню башен и в некоторых случаях — для местного бронирования. Она прокатывается толщиной не меньше 12,5 мм, так как при меньших толщинах она имеет тенденцию коробиться.

Крупногранная броня является в основном хромоникелевой сталью сильно науглероженной (мартенитированной) с одной стороны листы, и подвергнутой различным процессам термической обработки, дающим очень большую твердость науглероженной стороне листы. Хром дает возможность цементации проникать в глубь листы и обеспечивает прочность по всей ее толщине.

Таким образом крупногранный процесс изготовления брони обеспечивает ей все основные качества: во-первых, соответствующую твердость одной наружной стороны листы, необходимую для разбивания головки сварки, и, во-вторых, большую прочность и вязкость для сопротивления проникновению спарка через броню.

7. Малолегированные стали¹. Малолегированные стали с низким содержанием углерода пригодны для сварки и имеют высокую прочность, а в некоторых случаях — и коррозийную стойкость. Это делает их хорошим материалом для военного судостроения.

Специально предназначенные для сварки малолегированные стали содержат углерода менее 0,15%. Такая же сварка этой стали остается той же, что и для углеродистой стали, однако применяемые при сварке электроды должны иметь соответствующие присадочные металлы. Следующие приблизительные цифры определяют чистые пределы для присадок малолегированных сталей: 5% Ni, 2% Cr, 2% Mn, 2% Si,

¹ J. Crittenden, A. Oliver and J. Hodge, Low-Alloy Steels, Welding Handbook, 1938.

Добавка различных легирующих элементов увеличивает прочность и твердость стали и обычно также предел текучести. При одинаковом временном сопротивлении малолегированной стали обладает большей пластичностью, чем простая углеродистая сталь. Увеличение прочности стали путем увеличения содержания одного углерода приводит к значительному уменьшению ее пластичности и вязкости.

Временное сопротивление разрыву малолегированной стали с низким содержанием углерода лежит между 5000 и 6500 кг, а предел текучести — между 3200 и 4600 кг.

Хромоникелевые сплавы¹ составляют большую группу сталей, характеризующихся, главным образом из-за присутствия хрома, выдающейся способностью к тепло- и коррозионной стойкости. Благодаря этим свойствам эта сталь известна под наименением *нержавеющей*. Из этой группы выделяется аустенитная хромоникелевая сталь. Термин *аустенитная* определяет особую кристаллическую структуру, в которой сочетаются углерод и железо в твердом растворе. Как правило, аустенитные сплавы сохраняют единую же кристаллическую структуру на всем диапазоне температур: от температуры плавления до комнатной температуры. Поэтому они при термической обработке не могут закаливаться и тем норенными образом отличаются от конвенционных сталей.

Широкое применение имеет аустенитная хромоникелевая сталь с содержанием 18% Cr и 8% Ni; содержание углерода в ней не должно превышать 0,20%. Она может применяться в виде проката, различной формы оправок или поковок. Эта сталь во многих случаях применяется там, где требуется большая прочность и хороший внешний вид, но в стальной морской воде она подвергается интенсивной точечной коррозии.

Аустенитная хромоникелевая сталь является прекрасным материалом для сварки, и сплавы ее, содержащие углерода меньше 0,07%, могут быть хорошо сварены любым известным способом без последующей термической обработки. Однако следует учитывать, что нагревание при сварке и усадка наклепанного металла в соединении с большим коэффициентом расширения и малой теплопроводностью нержавеющей стали требуют серьезного внимания при ее сварке и изготовлении.

Б. Алюминиевые сплавы². За последние годы в военном кораблестроении стали получать все большее значение алюминиевые сплавы. Главное преимущество алюминия — его легкость: он почти в три раза легче стали. Алюминий в чистом виде или в сплаве с медью, как он применялся раньше, мало прочен и сильно морозирует. Позднее нашли широкое применение сплавы алюминия, известные под названием дюрали.

Дюраль, примененный при постройке даркабли «Shenandoah», представляет сплав алюминия с медью, никелем и марганцем; он имеет временное сопротивление разрыву 4200 кг, предел упругости 2500 кг и удлинение 22% на длине 50 мм³.

Модуль упругости при растяжении дюраля равняется $6,7 \cdot 10^6$ кг, удельный вес не превышает 2,65.

¹ С. Михайлов. *Austenitic Chrome-Nickel Steels. Welding Handbook*, 1928.

² *Alloys in Shipbuilding*, R. Field, Soc. Nav. Arch. Mar. Eng., 1937.

³ *The Strength of Dural Alloys*, Burgess, Naylor, Tizard, Journal Royal Aeron. Soc., June, 1924.

Более твердые сплавы применяются, когда требуются более высокие механические качества, а более мягкие сплавы — когда требуется большая пластичность и меньшая стойкость против коррозии. Качество алюминиевых сплавов значительно зависит от горячей обработки, которой они подвергаются.

Алюминиевые сплавы дороги и их применение оправдывается только в том случае, когда имеет большое значение экономия веса.

По спецификации 1935 г. алюминиевый сплав, поставляемый для американского военного флота в листах и профилях, должен иметь следующий химический состав: 1,00—1,40% Mg, около 0,55—0,7% Si, 0,20—0,30% Cr, 0,20% Fe, остальное алюминий. Характеристика прочности алюминиевого сплава этого состава следующая:

	Время сопротивления изгибу, час	Предел текучести, кг/мм ²	Ударная вязкость при температуре 50° С, кг/мм
Отожженный	1340	—	20—25
Закаленный	1970	1130	12—18
Термически обработанный и состарившийся	2460	1170	8—10

Листы из чистого алюминия (99% Al, 1,0% Ir, 0,2% Cu), отожженные и нагартоженные, имеют соответственно временное сопротивление 1090 и 1550 кг и удлинение — от 18 до 30% и от 1 до 4%.

По механическим качествам все алюминиевые сплавы, применяемые в судостроении, могут быть разбиты на две группы: 1) сплавы, механические качества которых значительно улучшаются в процессе горячей обработки, и 2) сплавы, механические качества которых значительно улучшаются в процессе холодной обработки. В сплавах, известных под наименованиями корабельных и являющихся преимущественно сплавами алюминия и магния, требующихся механические качества получаются, главным образом, холодной прокаткой¹. Такие сплавы широко применяют при постройке самых критеров различных типов и используют с успехом не только в целях обеспечения прочности, но также и для улучшения стойкости против коррозии.

9. Медные и медные сплавы. Чистая медь раньше применялась на покрытия деревянной обшивки кораблей для предохранения от обрастания; в конструкции корпуса она применяется только в виде сплавов с другими металлами.

Бронза является сплавом меди и олова. Прогностическое содержание олова изменяется приблизительно от 8—10% в пушечном мете альте до 22% в королевской бронзе. Имеется много сортов бронз, содержание олова в которых изменяется в вышеуказанных пределах, и отличающихся также и небольшими добавками других элементов.

Фосфористая бронза в чистом виде содержит 90% меди и 10% фосфористого олова. Однако под названием фосфористых бронз известны и другие медные сплавы, содержащие в небольших количествах еще и другие компоненты. Чистая фосфористая бронза — очень твердая и прочная, имеет временное сопротивление растяжению около 2460 кг. Прежде она применялась для форштевней, антерштевней и других внешних отливок обшивки и композитных кораблей. По спецификации американского военного флота, фосфористая бронза для

¹ W. C. Detweller, E. V. Teifer, Eight-Alloy Bain Composite, Inst. Met. Arch., 1938.

листов содержит 94% Cu, 3,5% Zn и от 0,05% до 0,5% P. При умеренной температуре ее временное сопротивление 3520 кг, предел текучести 1760 кг и максимальное удлинение на длине 50,8 мм 25%.

Алюминиевая бронза является сплавом меди с 4—10% Al и некоторого количества железа. Временное сопротивление листов из этого материала равно от 8520 до 4230 кг, предел текучести — от 1400 до 1700 кг и удлинение — от 25 до 30%.

Латунь является сплавом меди и цинка. Процентное содержание цинка изменяется в пределах от 10 до 30%. Временное сопротивление латуни в отливках обычно лежит в пределах от 1900 до 2220 кг, но если содержание цинка больше 45%, то сплав изменяет свою характеристику и временное сопротивление его падает до 1400 кг. После прокатки и отжига прочность и пластичность латуни может быть такой же, как и у стали. Латунь применяется и для запасок в конструкциях, которые не должны иметь магнитных свойств.

Мюнциметалл является латунью, состоящей из 60% Cu и 40% Zn. После прокатки и отжига по прочности и пластичности он имеет механические качества, сравнимые со сталью. Временное сопротивление мюнциметалла в этом состоянии от 3500 до 4600 кг и удлинение — около 30%. Мюнциметалл имеет свои свойства в морской воде, однако он применялся в английском флоте для обшивания днища и на обшивку композитных кораблей.

Морская латунь состоит из 60—62% Cu, 30—37% Zn и 0,5—1,5% Zn. В сущности — это мюнциметалл с небольшим добавлением золота. Золото придает сплаву стойкость в морской воде. Поэтому морская латунь применяется на подводные конструкции, так, например, для крепления досок обшивки композитных кораблей. Если мягкая морская латунь прожигается в круглые прутки для изготовления болтов и других ответственных деталей, подвергающихся значительным усилиям, то она, согласно требованиям американского военного флота, должна иметь временное сопротивление разрыву от 3520 до 3600 кг, предел текучести — не меньше 1400 кг и удлинение на длине 50,8 мм не меньше 25—40%.

Марганцовистая латунь содержит 56% Cu, около 41% Zn и небольшое количество железа, олова, цинка и марганца. Марганцовистая бронза, так же как и фосфористая, применяется для внешних отливок общих и композитных кораблей. В американском флоте этот металл применяется вместо морской латуни, когда требуется более высокая прочность. В прутках она имеет временное сопротивление разрыву от 4600 до 5100 кг и предел текучести — около 2250 кг.

10. Цинк. Цинк в чистом виде применяется при процессе гальванизации для покрытия стали в целях защиты ее от коррозии.

Для покрытия стали тонким слоем цинка сталь погружается в ванну с расплавленным цинком. Гальванизацией должны подвергаться все листы и профили, имеющие толщину меньше 3,5 мм, например, листы для машиновесов и для ютских переборок; гальванизация может быть с успехом применена и для членов поясов. Листы и профили должны быть очищены до сборки конструкции. Увеличение веса от гальванизации равняется 0,7 кг на квадратный метр поверхности.

11. Дерево. При постройке военных кораблей применяется дерево следующих пород: сосна, ель или тик для настилов палуб, тик для подкладки под бронзу и тик, ясэ или сосна — для обшивки днища.

Сосна до применения должна быть хорошо выдержанна, так как в противном случае она легко подвергается короблению и усыханию. При контакте с железом и водой она вытягивает ржавчину и затем легко загнивает. Поэтому концы досок не должны упираться в металлы.

Тик имеет почти такую же прочность, как и дуб; он очень тверд и трудно изогнется. Он очень мало усыхает и, подвергаясь переменной влажности, не коробится даже в тропическом климате. Тик обладает большой прочностью на износ и содержит смолистое масло, которое предохраняет от коррозии сталь и железо, соприкасающиеся с ним.

Явский тик. Ввиду дефицитности и высокой стоимости настоящего тика, доставляемого только из Бирмы и Сиама, на рынке появился другой сорт дерева, называемый явским тиком. Явский тик ботанически близок бирманскому и сиамскому: его характеристики близки к настоящему тику. Плотность явского тика изменяется в более широких пределах, но в среднем она такая же. Свой явского тика не так прям, как у других тиков, и средняя длина досок явского тика почти вдвое меньше, чем обычных длины тиковидных досок. Поэтому явский тик менее подходит для палубных настилов, что приводит к износу прокладок под броню. В нем много сучков, а потому его трудно обрабатывать.

Дуб во времена деревянного кораблестроения широко применялся в конструкциях корпуса как вследствие его прочности, так и большой его стойкости против гниения в морской воде. Однако дуб не является подходящим материалом для железного и стального судостроения, так как он содержит кислоту, действующую на металл.

Прочность на растяжение сложных деревянных конструкций на много выше, чем стальных, так как невозможно получить эффективное соединение между отдельными деталями конструкции.

Бруфные замки и нагели в сжатии могут обеспечить использование только части полной прочности дерева, а металлические болты слишком тверды, чтобы дерево работать совместно с превесиной. Основной причиной малой прочности дерева является склонство его к разрушению, которое определяет плоской связи между слоями обусловливает, во-первых, малое сопротивление склону язва слоев, примерно, только около 1% временного сопротивления растяжению, и, во-вторых, склонность к раскалыванию из-за недостатка поперечной прочности.

Ниже, в табл. 3, приводятся величины временного сопротивления сжатию языка фибр для различных пород дерева. Эти величины относятся к дереву с влажностью в 12%. Для сырой древесины можно ожидать, примерно, в два раза меньших величин.

Таблица 3

Порода дерева	Временное сопротивление сжатию, кн
Белая соснова	350
Дубовая язва	450
Ель и ясень	500
Желтая сосна	550
Явский тик	550
Дуб	600

2. Главные составные части конструкции корпуса

В настоящей работе рассматриваются конструкции корпуса, главным образом, лишь линейных кораблей и крейсеров. Конструкции этого типа кораблей являются типовыми и исходными для большинства других классов кораблей. Поэтому конструкции корпуса малых кораблей будут затрагиваться лишь в той части, в которой они существенно отличаются от конструкций указанных больших кораблей.

Корпус любого корабля образуется из трех элементов: листов, профилей и заклепок или сварки. Катаные профили применяются различных сечений (рис. 2). Сваркой могут быть получены составные профили и новых сечений. Клепка и сварка, служащие для соединения в одно целое конструкций, будут рассмотрены в гл. IX и X.



Рис. 2. Сечения главных профилей, применяемых в грузостроении.
1—полоса, 2—тавровая, 3—угловой, 4—полукруговая, 5—плавник, 6—коробчатая, 7—алюминиевая.

Корпус, являясь сложной конструкцией, состоит в основном из сравнительно тонкой обшивки из листовой стали, поддерживаемой системой блоков набора корпуса, которые в свою очередь поддерживаются палубами и переборками.

Обшивка является основной и наиболее важной частью корпуса, образующей водонепроницаемую наружную оболочку, которая обеспечивает плотность корабля. В то же время обшивка является одной из существенных частей корпуса, обеспечивающей его прочность.

Набор состоит частью из поперечных, частью из продольных блоков. Диагональное расположение блоков набора позволяет рядам применять, так как действующие в корабле срезывающие силы полностью могут быть восприняты наружной обшивкой.

На таких очень малых судах, как шлюпки, шпангоуты поддерживаются бимсами и одной или несколькими продольными балками, образующими вместе со шпангоутами опору для обшивки. На больших кораблях одна шпангоут для этой цели недостаточно и кроме шпангоутов необходимо иметь палубы и переборки для обеспечения общей прочности и жесткости. Последнее качество весьма важно, так как большая деформация расстраивает клепку, сварку и скленку. На большинстве военных кораблей общая жесткость обеспечивается большим количеством переборок.

На гражданских грузовых судах, особенно на судах, перевозящих груз пакетами, число палуб и переборок делается минимальным, имея в виду, что достаточная прочность и жесткость их корпуса должна быть получена в большей мере за счет наружной оболочки. В этом отношении имеется значительная разница между гражданскими и военными кораблями.

Палубы и переборки имеют также назначением разделить корабль на отдельные отсеки для обеспечения его живучести¹ и для надеж-

¹ См. работу автора „General Design of Warships”, 1958.

щего использования внутреннего объема. Как общее правило, можно отметить, что большой военный корабль имеет несколько полных и частичных палуб, из которых одна или две могут быть броневыми. Некоторые число главных поперечных переборок подразделяют корабль на большие отсеки, которые затем разбиваются на меньшие отсеки продольными переборками и второстепенными поперечными переборками. На некотором расстоянии от наружной обшивки делается второе дно, простирющиеся обычно по всей подводной части корабля. Наружная обшивка и второе дно соединяются и подкрепляются балками поперечного и продольного набора; некоторые балки, будучи водонепроницаемыми, подразделяют двойное дно на большое число малых водонепроницаемых отсеков. Двойное дно часто продолжается в виде кефдердама на некоторую высоту выше затопления. На некоторых больших кораблях делается третья палуба. В оконечностях набор корпуса усиливается и заканчивается форштевнем и ахтерштевнем, прочно соединенными с основным набором.

3. Некоторые замечания о прочности конструкции и о расчетах этой прочности

Конструирование корпуса военного корабля базируется в основном на требованиях прочности, которые необходимо учитывать во всех случаях.

1. Сравнение между гражданскими и военными кораблями. Ввиду неопределенности условий, действию которых подвергается корабль, расчеты его прочности в целом и расчеты прочности его отдельных конструкций, как правило, должны иметь эмпирический характер. Точные расчеты могут иметь место лишь в редких случаях. При конструировании корпуса гражданских судов трудности, связанные с расчетами прочности, отпадают благодаря применению правил и таблиц, которые позволяют определять прочные размеры конструкций корпуса в зависимости от размеров и типа судна. Эти правила и таблицы очень палины и подробны. Они составлены так называемыми классификационными обществами (Английский Ллойд, Бюро Верitas, Британская корпорация, Германский Ллойд, Американская биржа судоходства и др.) на основе опыта и информации, которые в большом объеме распределяют эти общества.

Если судно построено в соответствии с такими правилами, то судовладелец, капитан и страхователь получают гарантию в достаточной прочности судна. Так как практически все гражданские суда строятся по таким правилам, которые оставляют очень малую область конструкции для независимого разрешения, то вся задача проектирования конструкций корпуса гражданского судна в основном разрешается судостроителями совместно с экспертами классификационных обществ. Это не препятствует корабельным инженерам предлагать новые корпусные конструкции, но обычно они должны быть одобрены классификационными обществами раньше, чем могут быть принятыми для выполнения. В последние годы, когда классификационные общества стали придерживаться более либеральной и прогрессивной политики, это чаще стало наблюдаваться введение новых конструкций указанным путем.

Для проектирования конструкций военного корабля не существует правил и таблиц, за исключением принятых иногда отдельными

флотами для их собственного пользования. Вообще имиду быстрых и больших кораблей в проектах военных кораблей нерационально — или даже бесполезно — разрабатывать правила и составлять такие детальные таблицы, как это делается для гражданских судов. Опыт эксплуатации новых конструктивных форм, даже в больших флотах, особенно привлекает во внимание его секретность, значительно более ограниченная, чем тот, которым располагают классификационные общества. К тому же конструкция корпуса военных кораблей является более сложной и чаще меняющейся, чем в гражданских судах. Поэтому стоящая перед конструктором военного корабля задача трущее, чем задача конструктора гражданского судна, и это дает большее поле для исследования, изобретательства и проявления таланта.

2. Процесс последовательных приближений при конструировании военного корабля. Различные части конструкции корпуса корабля взаимно связаны, и поэтому каждая из них должна конструироваться в соответствии с соседними. Конструкция каждой части должна быть первоначально намечена на базе основных условий ее работы и после этого согласована с конструкциями соседних частей, чтобы избежать несогласованности и получить общую гармоничную конструкцию.

Затем, после общей компоновки конструкции, должны быть рассмотрены местные требования и принять во внимание влияние их на конструкцию и установлены окончательные ее детали. Важно, чтобы конструктор руководствовался принципом: сначала устанавливать главные характеристики конструкции, а затем уже второстепенные. Таким образом можно избежать множества изменений и повторений в работе.

3. Непрерывное и равномерное изменение прочности. Так как основные усилия, действующие на корпус корабля, меняются непрерывно и постепенно, то конструкция корпуса должна быть так разработана, чтобы прочность ее менялась также непрерывно и постепенно, как меняются и действующие усилия. всякое резкое нарушение прочности конструкции вызывает большое увеличение местных напряжений в корпусе корабля и будет недостаточно прочен в этих местах. Прочность всегда должна быть пропорциональной действующим усилиям. При статических нагрузках лишний материал дает бесполезное усиление веса, но при динамических нагрузках он является, кроме того, активным источником ослабления прочности. Так как, кроме того, излишний материал увеличивает стоимость, то при разработке конструкции необходимо тщательно это избегать.

Придерживаясь этого правила, будем получать равномерную прочность — качество, очень важное, особенно для легких быстродвижущих кораблей. При этом качество, если предел текучести никогда не будет превзойден, вся конструкция будет воспринимать внешние силы как однородное (гомогенное) упругое тело, каждый член которого выполняет свою обязанность пропорционально своим деформациям как при растяжении, так и при сжатии. Для достижения этого качества конструкция и ее выполнение должны быть на большой высоте.

4. Оценка расчетных напряжений. Получаемые в результате расчета прочности наибольшие напряжения могут быть сняты при помощи следующих двух различных методов:

1) непосредственным сопоставлением их с пределом текучести или с временными сопротивлением материала;

2) сравнением их, часто не обращая внимания на численную их величину, с величиной напряжения, полученной таким же расчетом для аналогичных конструкций, оправданных себя на практике.

Если конструкции просты и действующие на них усилия точно известны, то может быть применен первый метод. В этом случае необходимо лишь выбрать надлежащий коэффициент безопасности, отнести его или к пределу текучести или к временному сопротивлению материала. Так как для железа и углеродистой стали, применяемых в судостроении, отношение между пределом текучести и временными сопротивлениями изменяется в узких пределах, то оба указанные выше показатели могут с одинаковым успехом служить в качестве критерия прочности конструкции.

Углеродистые стали высокого сопротивления, а тем более легированные стали, не имеют такого же постоянного отношения между пределом текучести и временными сопротивлениями. Поэтому коэффициент безопасности для этих сталей следует относить к пределу текучести, который часто задается спецификацией. Коэффициент безопасности в этом случае берется равным от 0,5 до 0,75 его значения, выбранного по временному сопротивлению. Поскольку выбор величины коэффициента безопасности обычно базируется на данных опыта работы других подобных конструкций, то рассмотренный тут первый метод, по существу, не отличается от второго. Однако при последнем методе сравнение делается непосредственно с конкретной, в общем случае—сложной конструкцией, и таким образом степень безопасности определяется с учетом целого комплекса обстоятельств, касающихся материала и конструкции. Кроме того, при использовании коэффициентом замены прочности предполагается, что действующие нагрузки не должны существенно отличаться от принятых в расчете.

На военных кораблях простые конструкции, допускающие непосредственное использование первого метода, встречаются редко. Корпус военного корабля представляет собой сложную конструкцию, подверженную действию различных общих и местных, иногда очень большой интенсивности, сил, величина которых известна далеко недолго. Различные части этой конструкции работают непредetermined образом совместно, что обусловливает возникновение в них неизвестных добавочных, вторичных напряжений.

В такой конструкции едва ли можно избежать отдельных случаев перенапряжений, которые в действительности существуют на кораблях даже самой лучшей постройки. Если в какой-либо точке будет превышен предел текучести, то материал в этой точке будет течь, вследствие чего добавочные усилия будут передаваться на соседние части конструкции. Эти другие, более удаленные, части конструкции будут подвергаться дополнительным напряжениям до тех пор, пока не наступит упругое равновесие, или в противном случае конструкция разрушится.

Если расчетное напряжение в каком-нибудь месте получается значительно больше предела текучести, то это показывает, что этот предел действительно достигнут, но благодаря указанной выше способности конструкции приспособливаться к этим большему расчетных напряжений в действительности не будет. Другими словами, получаемые в таких случаях большие расчетные напряжения должны рассматриваться как общие качественные характеристики работы конструкции и их численная величина имеет малое значение. Таким обра-

зом для корабельных конструкций лады установить коэффициента Безопасности, одинакового для всех случаев. Коэффициенты безопасности могут быть установлены в зависимости от типа корабля и назначения рассматриваемой конструкции.

При втором методе вычисления напряжения используются лишь как средство для суждения прочности рассчитываемой конструкции с прочностью соответствующей конструкции корабля-прототипа, причем в качестве прототипа должен быть принят корабль того же класса, но слишком отличных размеров и хорошо зарекомендовавший себя при его эксплуатации. Лучше, если корабль-прототип был построен из том же заводе, на котором будет строиться новый проектируемый корабль, так как качество строительных работ является одним из важнейших факторов в проблеме прочности корабля, особенно быстродвижущего.

Применяя указанный выше метод суждения, можно повторить возможно наилучшую увеличенную прочность корабля-прототипа. Во избежание этого следует уменьшить прочность, если она в результате тщательной проверки будет признана наихудшей приведенной.

Все известные случаи нарушений прочности конструкций корпуса в виде, например, расстройства заклепок, выпучивания или разрыва листов или полного разрушения необходимо изучать и исследовать, несколько повлиявших обстоятельства, с такой же тщательностью, как и научно поставленный эксперимент. Таким путем могут быть получены ценные сведения для установления отношения между расчетными и действительными напряжениями в конструкциях корпуса.

Вопросы, связанные с прочностью корпуса, можно изучать также по данным натурных замеров усилий и деформаций в различных условиях службы кораблей. Конечно, прекрасными средствами являются изучение последовательных натурных испытаний, однако возможность их ограничивается большой стоимостью.

Методы и формулы, служащие для вычисления напряжений, должны учитывать главнейшие факторы, влияющие на прочность рассматриваемой конструкции, а также главнейшие отличия между проектируемым кораблем и кораблем-прототипом, давая всем этим факторам и отличиям подлежащую оценку. Все второстепенные факторы должны быть отброшены. Как общее правило, не должны применяться слишком сложные формулы и методы расчета. Условиями расчета лист лишь кажущуюся точность, так как низбежны ошибки, проходящие от грубых исходных допущений, превосходят поправки отводимых в этих формулы и методы уложивающих факторов второстепенного значения. Сложность и большой объем вычислений недут к затяжению всего расчета и увеличивают вероятность появление ошибок.

На основании вышеизложенного можно заключать, что необходимо образно вычислить суммарные напряжения, получающиеся при одновременном действии местных нагрузок и общего изгиба корпуса. В частности, представляется целесообразным требовать, чтобы суммарные расчетные напряжения были меньше определенного допустимого предела. В действительности, при практическом проектировании конструкций редко бывает необходимо определять суммарные напряжения. Расчет этих напряжений является трудоемкой работой, включающей определение величин главных напряжений и направлений

617426



их действие на основание компонуются нормальными и касательными напряжениями, вызываемыми различными внешними нагрузками.

Допускаемые напряжения, основанные на практике плавания действующих кораблей, уже учитывают необходимые запасы для восприятия местных нагрузок.

В местах больших сосредоточенных нагрузок — артиллерийских установок, механизмов и др. — делаются фундаменты и специальные подкрепления, которые передают и распределяют нагрузку на набор днища таким образом, чтобы избежать чрезмерных действующих сил в какой-либо части конструкции. Фундаменты в действительности служат для усиления конструкции днища, способствуя силам поддержания нейтралитета местные силы веса и силы инерции. Напряжения в фундаментах лучше вычислять отдельно и по особым схемам, а в некоторых случаях может потребоваться определение суммарных наибольших напряжений.

Учитывать суммарные напряжения иногда необходимо при производстве натурных испытаний, снязанных, например, с измерением деформаций в обшивке корпуса. Так как при суммировании напряжений и при измерениях деформаций приходится пользоваться выводами теории плоского изогнутого состояния материала, то эта теория будет изложена в следующем разделе.

5. Порядок рассмотрения вопросов прочности. В последующих главах этой работы будет рассматриваться прочность корабля с использованием необходимых для этого выводов технической механики и теории упругости. Сначала будет рассмотрена общая прочность корпуса, затем прочность его отдельных связей и, наконец, местная прочность.

Этот материал группирован следующим образом:

1. Общая продольная прочность корпуса.
2. Общая поперечная прочность корпуса, исключающая прочность поперечных переборок и шпангоутов.
3. Прочность корпуса на крушение.
4. Прочность отдельных балок.
5. Прочность пластины под действием равномерно распределенной нагрузки применительно к расчету обшивки, палуб и переборок.
6. Прочность колонн и пластины под действием сжимающих и срезывающих усилий.

6. Обозначения. В настоящей работе приняты следующие обозначения:

E — модуль упругости при растяжении;

G — модуль сдвига;

A — площадь поперечного сечения балок и колонн;

I — момент изгиба площади поперечного сечения;

y — единицы выше или ниже нейтральной оси сечения;

$S = \frac{I}{y}$ — момент сопротивления;

M — изгибающий момент;

Q — срезывающая сила;

r — нормальное напряжение (в заклепочных швах r — шаг заклепок);

τ — касательное напряжение;

w — нагрузка на единицу длины;

a — расстояние между балками (швеллерами, бимсами, ребрами); в прямоугольных пластинах a — длина короткой стороны (в сварных швах a — расстояние между центрами проколов);
 t — толщина пластины;

$\frac{b}{t}$ — отношение между пролетом пластины и ее толщиной;

d — диаметр заклепки;

δ — стрелка прогиба (в главе о заклепках δ — отношение диаметра заклепочного отверстия к диаметру заклепки).

Для различного вида напряжений принятые следующие обозначения:

σ — растягивающее напряжение;

σ_c — сжимающее напряжение;

τ_s — срезывающее напряжение;

f_t — временное сопротивление на растяжение;

f_s — временное сопротивление на сжатие;

f_c — временное сопротивление на срез;

ϵ — относительное удлинение.

4. Плоское напряженное состояние и анализ измеренных деформаций

За последние годы использование теории упругости при конструировании корпуса корабля приобретают все большее значение. Все возрастающие требования к уменьшению веса корпуса вызывают необходимость рафинировать конструкцию и, следовательно, обуславливают необходимость экспериментальных и теоретических исследований. Не только значительно больше, чем прежде, в лабораториях изучают химические и физические свойства материалов, но часто проводят модельные или натурные испытания конструкций, а иногда целых кораблей с замером напряжений и деформаций.

Получаемые при испытаниях напряжения сравнивают с напряжениями, вычисленными по теоретическим и эмпирическим формулам, которые таким образом проверяются.

Поэтому здесь будет полезно привести краткие выражения из теории плоского напряженного состояния, выявляющие соотношения между напряжениями и деформациями в пластинах плоских или имеющих малую кривизну и нагруженных усилиями в их плоскости при условии, что усилиями, нормальными к пластине, если такие имеются, можно пренебречь. В таких условиях нагрузки находятся обширной днище, настила палуб и многие другие части конструкций корпуса. В частности, будет показано, как подсчитать напряжения по замеренным деформациям. Вопрос о прочности пластины, нагруженной поперечной, нормальной к ее плоскости, будет рассмотрен в дальнейшей главе.

В районе средней части длины корпуса, при продольном изгибе корабля, действующие в наружной обшивке и в палубах напряжения параллельны продольной оси корабля и не сопровождаются попереч-

¹ См. статью автора в Soc. Nav. And. Min. Eng., 1931.

ными напряжениями или срезом. Эти напряжения являются простыми или главными и пропорциональны соответствующим им деформациям.

Однако в других районах корпуса действуют сложные напряжения, и это напряженное состояние может быть представлено как результат действия двух главных напряжений, действующих под прямым углом друг к другу и в общем случае наклонных к продольной оси корпуса. В этом случае измеренные деформации получаются в результате сложения деформаций, обусловленных отдельно каждым из главных напряжений.

Для случая простых или односных напряжений справедливо равенство:

$$\sigma = E \epsilon. \quad (1)$$

Однако оно не является в общем случае справедливым, как ошибочно иногда предполагают, в случае сложных напряжений.

При экспериментальных исследованиях напряженного состояния в рассматриваемой точке представляется удобным сначала вычислить указанные выше главные напряжения, после чего напряжение в этой точке по любому другому направлению можно легко найти.

Для этого необходимо знать деформации в точке в трех каких-либо направлениях. Однако для того, чтобы иметь возможность проверять правильность произведенных измерений деформаций, желательно эти измерения производить в четырех направлениях. Удобнее всего в качестве этих четырех направлений принять продольное, поперечное и два касательных под углами в 45° и 135° .

Измеренные деформации в данной точке по четырем направлениям образуют так называемую розетку. При направлении оси ОХ вдоль корпуса измеренные деформации обозначаются в дальнейшем знаками $\epsilon_x, \epsilon_y, \epsilon_{45}, \epsilon_{135}$. Согласно выводам теории упругости, между этими деформациями должна быть следующая простая зависимость:

$$\epsilon_x + \epsilon_y = \epsilon_{45} + \epsilon_{135}. \quad (2)$$

Эта зависимость может служить в качестве первой проверки правильности измерения деформаций. Такая проверка, однако, не является исчерпывающей, так как при ошибке в двух или более измерениях равенство (2) может и не нарушаться. Если же равенство (2) значительно не выполняется, то измерения следует повторить или забраковать.

Если измерительная аппаратура и отсчеты не вызывают сомнений в их точности, то значительные нарушения равенства (2) показывают на неправильности в самом деле в области розетки — вследствие ли выпучивания листа, или колебаний на противоположной поверхности листа жестких ребер, или из-за наличия отверстий близко розеток. Истинное напряженное состояние в этом случае может быть найдено применением измерительной аппаратуры с меньшей или большей базой.

Тип необходимой измерительной аппаратуры зависит от условий измерения. Для лабораторных испытаний может быть применена портативная простая и сравнительно грубая аппаратура, способная измерять деформации с точностью до 0.0025 мм при длине базы 200 — 250 мм. При производстве модельных испытаний может повадобиться более точная аппаратура с длиной базы 10 — 25 мм. Деформации, нормальные к листу

(напряжения по этому направлению предполагаются равными нулю), не измеряются, но принимаются во внимание при определении напряжений.

Компоненты нормальных напряжений в четырех указанных выше измерениях можно вычислить по измеренным деформациям при помощи следующих выражений:

$$P_x = \frac{m^2 E}{m^2 - 1} \left(\epsilon_x + \frac{\epsilon_{xy}}{m} \right); \quad (3)$$

$$P_y = \frac{m^2 E}{m^2 - 1} \left(\epsilon_y + \frac{\epsilon_{xy}}{m} \right); \quad (4)$$

$$P_{12} = \frac{m^2 E}{m^2 - 1} \left(\epsilon_{12} + \frac{\epsilon_{xy}}{m} \right); \quad (5)$$

$$P_{13} = \frac{m^2 E}{m^2 - 1} \left(\epsilon_{13} + \frac{\epsilon_{xy}}{m} \right). \quad (6)$$

Эти выражения могут быть применены к любым осям, а следовательно, и к оси, определяемой направлением главных напряжений. Обозначим главные напряжения и соответствующие им деформации индексами 1 и 2; тогда

$$P_1 = \frac{m^2 E}{m^2 - 1} \left(\epsilon_1 + \frac{\epsilon_{xy}}{m} \right); \quad | \quad (7)$$

$$P_2 = \frac{m^2 E}{m^2 - 1} \left(\epsilon_2 + \frac{\epsilon_{xy}}{m} \right).$$

Можно показать, что нормальное напряжение в каком-либо сечении AB (рис. 3), определяемом углом Θ с осью OX , будет равно:

$$\rho_\theta = P_x \cos^2 \Theta + P_y \sin^2 \Theta + \varphi_{xy} \sin 2\Theta, \quad (8)$$

где φ_{xy} — касательное напряжение между координатными осями, которое в дальнейшем обозначим буквой φ , так как $\varphi_{xy} = \varphi_{xy}$.

Для сечения под углом $\Theta = 45^\circ$:

$$P_{45} = \frac{1}{2} (P_x + P_y) + \varphi,$$

откуда

$$\varphi = P_{45} - \frac{1}{2} (P_x + P_y). \quad (9)$$

Аналогично этому

$$\varphi = \frac{1}{2} (P_x + P_y) - P_{13}. \quad (10)$$

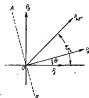


Рис. 3.

Если выражение (2) удовлетворяется, то выражения (9) и (10) дают одинаковый результат, в противном случае этого не будет; но если разница окажется малой, то можно для φ принять его среднее значение.

После того как будет известно касательное напряжение σ , главные напряжения могут быть вычислены, пользуясь выражением:

$$\rho_1, \rho_2 = \frac{1}{2} [p_x + p_y \pm \sqrt{(p_x - p_y)^2 + 4q^2}], \quad (11)$$

Углы Θ_1 и Θ_2 между осью OX и направлениями главных напряжений определяются по формуле:

$$\operatorname{tg} 2\Theta = \pm \frac{2q}{p_x - p_y}, \quad (12)$$

Соответствие углов Θ_1 и Θ_2 , напряжениям p_x и p_y , может быть установлено при рассмотрении четырех замеренных деформаций. Найдя главные напряжения и их направления, можно вычислить напряжения, действующие в любом другом сечении в данной точке. Симметрия координатные оси с направлением главных напряжений в имел в виду, что $q=0$, определим нормальное напряжение для любого сечения по выражению:

$$\rho_n = p_x \cos^2 \Theta + p_y \sin^2 \Theta, \quad (8')$$

а касательное напряжение:

$$\sigma_n = \frac{1}{2} (p_x - p_y) \sin 2\Theta. \quad (13)$$

Касательное напряжение достигает максимального значения в сечениях, определяемых углом $\Theta=45^\circ$:

$$\sigma_{\max} = \frac{1}{2} (p_1 - p_2). \quad (14)$$

В некоторых частях настила палубы и обшивки борта при общем изгибе корпуса поперечные напряжения p_y могут быть очень малы по сравнению с продольными напряжениями p_x . В этом случае, положив $p_y=0$, получим:

$$p_1, p_2 = \frac{1}{2} [p_x \pm \sqrt{p_x^2 + 4q^2}]; \quad (11')$$

$$\operatorname{tg} 2\Theta = \pm \frac{2q}{p_x}. \quad (12')$$

Так как в этом случае $c_y = -\frac{1}{m} c_x$, то

$$p_x = \frac{m^2 E}{m^2 - 1} \left(c_x - \frac{c_y}{m^2} \right) = E c_x. \quad (8)$$

Таким образом в этом случае продольные напряжения пропорциональны продольным деформациям, причем это остается справедливым и при наличии касательных напряжений, лишь бы поперечные напряжения p_y были равны нулю или пренебрежимо мальмы.

Предположим, что p_x есть растягивающее положительное напряжение; тогда при $p_y=0$ наибольшая деформация определяется выражением:

$$e_1 = \frac{1}{E} \left[p_1 - \frac{p_x}{m} \right] = \frac{1}{E} \left[\frac{m-1}{2m} p_x + \frac{m+1}{2m} \sqrt{p_x^2 + 4q^2} \right]. \quad (15)$$

Для судостроительной стали $\mu = 10/3$, и поэтому из этого выражения получаем:

$$E\varepsilon_1 = 0,36p_1 + 0,65 \sqrt{p_2^2 + 4p_1^2}. \quad (15')$$

Величина ε_1 есть реальное существующее удлинение, в то время как произведение $E\varepsilon_1$ представляет собой некоторое фактическое напряжение, не существующее в действительности, но пропорциональное величине ε_1 . Это фактическое напряжение называется приведенным напряжением.

У нейтральной оси, где $p_2 = 0$, главные напряжения, согласно выражению (11'), равны p_1 , $p_2 = \pm q_{\text{ши}}$, и приведенное напряжение, согласно выражению (15'), равно:

$$E\varepsilon_1 = 0,65 \sqrt{4q^2 - 1,3q_{\text{ши}}} = 1,3p_1 = -1,3p_2.$$

Это обозначает, как показано в разд. 7, что в отношении потеря устойчивости результат получается такой же, как если бы сжимающие напряжения p_2 были увеличены на 30%.

Мы можем представить напряженное состояние в данной точке графически при помощи предложенной нами полярной диаграммы, построение которой ниже приводится.

Полярная диаграмма дает одновременно и распределение и величину нормальных и касательных напряжений, действующих в данной точке O , для любого сечения, например, сечение AB из рис. 4, проходящего через эту точку. Эта диаграмма изменяется в зависимости от характера рассматриваемого напряженного состояния, но всегда содержит две системы кривых: одну, представляющую нормальные напряжения, и другую, представляющую касательные напряжения (см. рис. 4—7). Каждый радиус-вектор, проведенный через точку O , точками пересечения его с указанными кривыми определяет величины нормальных и касательных напряжений, действующих в сечении, ему перпендикулярном.

Рассмотрим диаграмму (рис. 4), изображающую особый случай, в котором главные напряжения одного знака, причем один меньше другого в два раза, т. е. $p_1 = \frac{1}{2} p_2$. Главные напряжения отложены вдоль линий $O—I$ и $O—2$, которые пранты в качестве координатных осей. Нормальные напряжения, определяемые выражением (8'), представлены окантовой седловидной сплошной кривой. Касательные напряжения представлены пунктирными кривыми; они определяются выражением (13) и соответствующие им краевые изображаются в виде четырех симметричных петель. Пусть AB — некое-либо сечение в точке O и ON — нормаль к этому сечению; тогда отрезок OB дает величину нормального напряжения, а отрезок OR — величину касательного напряжения в сечении AB , которое в данном случае действует в направлении OB . Если OB — поперечное сечение корабля, то ON — продольное напряжение и OS — продольное напряжение, тогда как OR — поперечное срезывающее напряжение в точке O .

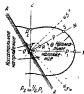


Рис. 4.

На рис. 5 представлена полярная диаграмма для случая, когда одно из главных напряжений равно нулю ($p_3 = 0$).

Уравнение для краевой нормальных напряжений в данном случае имеет вид $p = p_1 \cos^2 \Theta$ и дает одну петлю вдоль положительного направления $O - I$ в одну петлю вдоль отрицательного направления. Последняя петля на рис. 5 не показана. Касательные напряжения здесь опять дают четыре петли, из которых показаны только две.

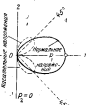


Рис. 5.

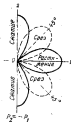


Рис. 6.

Рис. 6 иллюстрирует случай, когда главные напряжения разны друг другу и имеют разные знаки, т. е. $p_1 = -p_2$. Здесь получаются четыре одинаковые петли для нормальных напряжений, две — для растяжения и две — для сжатия, получаемые по формуле:

$$p = p_1 \cos^2 \Theta - p_1 \sin^2 \Theta = p_1 \cos 2\Theta.$$

Так как касательные напряжения определяются по формуле $q = p_1 \sin 2\Theta$, то получается четыре петли для касательных напряжений, идентичных с петлями для нормальных напряжений, но повернутых на угол 45° . Все петли имеют одинаковые наибольшие ординаты, равные величине p_1 .

Рис. 7 показывает произошедший случай полярной диаграммы, построенной по численным значениям напряжений, полученным в результате измерения решетки деформаций в наружной обшивке корпуса корабля.

Диаграмма вычерчена относительно координатных осей OX и OY . Ось OX горизонтальная и соответствует продольному направлению корабля, а ось OY — поперечному направлению.

Были замерены следующие деформации:

$$\epsilon_x = +200 \cdot 10^{-4}; \quad \epsilon_y = -150 \cdot 10^{-4};$$

$$\epsilon_{xy} = -150 \cdot 10^{-4}; \quad \epsilon_{yy} = +245 \cdot 10^{-4}.$$

Модуль упругости $E = 2,1 \cdot 10^5$ ам и $\mu = 0,3$ (коэффициент Пуассона 0,3). Как видно, в этом случае равенство $\sigma_x + \sigma_y = \sigma_{45} + \sigma_{-45}$ удовлетворяется. Пропольные напряжения, действующие по направлению OX , являются растягивающими и равняются $\sigma_x = +360$ ам. Поперечные напряжения — сжимающие и равняются $\sigma_y = -360$ ам. Касательные напряжения, действующие подъ OX и OY , равны

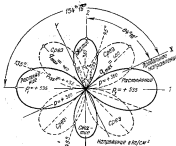


Рис. 1.

$\tau = 360$ ам. Наибольшее главное растягивающее напряжение: $\sigma_1 = +536$ ам, действует под углом $\Theta_1 = 154^\circ16'$ к оси OX и второе главное напряжение, сжимающее $\sigma_2 = -360$ ам, действует под углом $\Theta_2 = 61^\circ16'$ к оси OY . Наибольшее касательное напряжение $\tau_{max} = 460$ ам.

Оси главных напряжений на диаграмме обозначены соответственно $O-1$ и $O-2$. Таким образом полярная диаграмма дает интегриально нормальные и касательные компоненты напряжений для точки, в которой замерена решетка деформаций. Она дает более наглядную картину напряженного состояния, чем другие представления для этого способа, как то: эзотипы напряжений, конус напряжений, диаграмма Мора, оптические картины напряжений.

ГЛАВА II

ПРОДОЛЬНАЯ ПРОЧНОСТЬ

5. Общие схвржения

1. Важность вопроса. В практике кораблестроения отмечалось много случаев нарушения общей прочности корпуса кораблей в виде разрывов или выпучивания обшивки, срыва заклепок и даже полного излома корпуса.

Недопустимые деформации и разрушения корпуса происходили как во время плавания кораблей, так и при посадке их на мель и при спусках, во время которых были неоднократные случаи расстройства линий валов.

Значение продольной прочности корпуса становится особенно важным при современном развитии кораблестроения, когда непрерывно увеличиваются длины и мощности кораблей, уменьшается вес их корпусов и увеличиваются размеры кораблей всех классов.

2. Эквивалентный брус. Корпус корабля можно рассматривать как тонкостенную пустотелую балку — эквивалентный брус, поясами которой являются палубы и днища, а стенкой — борта в чисто помогающие им продольные переборки. Корпус корабля работает подобно мосту, подвергающемуся действию плавиковой нагрузки, однако с той разницей, что силы, действующие на корпус (снимая веса и силы поддержания), а также развивающиеся в нем деформации и напряжения силнее меняются по величине и направлению и труднее определяются. При движении корабля на изолированном море он совершает неравномерные движения, и поэтому действующие на него усилия не могут быть учтены с достаточной точностью и достоверностью. Во время бортовой качки корабля функции палуб и стеков не могут быть точно определены, так как деформации и напряжения непрерывно изменяются. Каждый из четырех углов поперечного сечения корпуса корабля — палубой и пакетом скруты — в конце каждого заключения испытывает увеличенные напряжения.

Когда волна проходит плоскость корабля, изгибающий момент, а следовательно, и напряжения, постоянно меняют свой знак. Такое быстрое и беспрерывное изменение интенсивности и знака напряжений не имеет места в мостовых конструкциях.

3. Возникновение и распределение усилий в корпусе. Изгиб днища корпуса происходит вследствие неравномерного распределения по нему сил веса и сил поддержания. Однако днище, даже если оно двойное, само по себе представляет малое сопротивление такому изгибу, но, будучи связано с бортами и продольными переборками, оно не может изогнуться без изгиба этих срезов корпуса, представляющих са-

бой стекки балки. Для консистентных рассмотрим общее распределение усилий в корпусе фантомалубного корабля в условиях изгиба из верхней волны (рис. 8).

Борта подвергаются срезу, теска как полуба и днище подвергаются соответствующему растяжению и сжатию, вызываемыми поперечной бортовой передаваемой ширстреком и склоновым поясом. Такая передача усилий имеет место по границам стекки с палками и достигает наи-

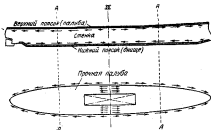


Рис. 8. Распределение напряжений в корпусе корабля.

большей интенсивности приблизительно на четверти длины корпуса у сечения АА, где срезывающие силы получаются наибольшими. На рис. 8 показано распределение указанных выше усилий. В разделе 9 будет более детально рассмотрено распределение напряжений в корпусе корабля. Сначала будут рассмотрены отдельно чистый изгиб и чистый срез, а затем — сложные напряжения от их одновременного действия.

6. Изгиб

I. Основная формула. Растягивающие и сжимающие напряжения, возникающие в сечениях корпуса при его простом продольном изгибе, определяются, в соответствии с теорией упругого изгиба, формулой:

$$\sigma = \frac{M y}{I} . \quad (16)$$

Справедливость этой формулы применительно к кораблю проверена обычной практикой и была подтверждена натуральными испытаниями Байльса (John Biles) на миноносце Вольф (Wolf)¹, а также испытаниями в доках миноносцев Престон (Preston) и Брюс (Bruce), промоделированными в американском флоте².

Мы же будем здесь приводить детального описания расчётов прочности корпуса, о которых подробно говорится в учеб-

¹ J. H. Biles, Brit. Nav. Arch., 1905, vol. 1.

² See, Nav. Arch. Met. Eng., 1931.

никий корабельной архитектуры. Здесь достаточно дать лишь общий обзор примененного для этого метода. Представляется целесообразным остановиться более подробно на тех предположениях, которые обычно кладутся в основу примененных расчетных формул.

2. Предположения. Важно, чтобы деланные предположения отражали бы насколько возможно близко действительные условия, чтобы они были простыми и не требовали сложных и громоздких расчетов.

Корабль предполагается находящимся из троходальной волны, имеющей длину, равную длине корабля по трущевой поперечине, и высоту, равную $\frac{1}{3}$ длины. Корабль обычно предполагается стоящим без крена, нормально к направлению требуемой волны. Продольная прочность проверяется, по крайней мере, при двух стандартных условиях: на вершине волны, когда модель корабля расположена на вершине волны (рис. 9), и на подошве волны, когда модель расположена на подошве волны (рис. 10).



Рис. 9. Положение корабля на вершине волны.



Рис. 10. Положение корабля на подошве волны.

Для получения напряжений, отвечающих наиболее неблагоприятным условиям, корабль, при положении его на подошве волны, предполагается полностью нагруженным; при положении его на вершине волны — с облегченной нагрузкой, т. е. без таких расходящихся грузов, как топливо и вода, но с боезапасами.

Часто продольная прочность корабля рассчитывается при положении на вершине и на подошве волны для трех условий его нагрузки — легкой, нормальной и полной.

Осадка и дифферент обычно определяются для положения статического равновесия корабля без крена, а давление воды предполагается пропорциональным глубине погружения под поверхностью троходальной волны. Рассмотрим корабль, какая погрешность допускается от пренебрежения движением корабля и волны.

3. Наклонение корабля и динамические силы. Крен корабля. При умеренном крене корабли действующие изгибающие моменты не могут существенно изменяться, но момент сопротивления эквивалентного бруса несколько меняется вследствие изменения положения центральной оси. Метод вычисления напряжений для случая, когда плоскость изгибающего момента не параллельна ни одной из двух главных плоскостей инерции, описан в разделе 19. Отметим только, что в соответствии с исследованиями Бейльса и др. наибольшие напряжения при крене редко превосходят наибольшие напряжения при прямом положении более, чем на 10—15%.

Поправки Смита (Smith). Вследствие кругового движения частиц воды в волне давление воды не равно давлению, определяе-

мому во глубине погружения под трохоподальной поверхностью волны. В вогнутой части волны оно больше, а в выпуклой — меньше. В результате получается некоторое уменьшение изгибающего момента как на подъеме, так и на вершине волны. Синес показал¹, как этот эффект может быть учтен, предполагая, что присутствие корабля на волне не влияет на движение воды. Было найдено, что уменьшение изгибающих моментов от этой так называемой поправки Синеса мало и редко превышает 10—12%.

Вертикальные колебания. Вертикальные колебания корабли не только уменьшают или увеличивают величину изгибающих моментов, вычисляемых в каждом частном случае при некоторых предположениях. В настоящий время не представляется возможным делать определенные заключения относительно количественного влияния этого эффекта, однако можно с уверенностью сказать, что оно обычно незначительно.

Кильватерная качка. Вращательное движение корабля при кильватерной качке дает наибольший эффект в районе от четверти до трети длины судна от штевней, где изгибающие моменты несколько увеличиваются. Эффект этот больше в носовой части корабля, где добавочные динамические усилия складываются с силами давления воды при ходе корабля против волны. Ввиду этого не рекомендуется допускать значительного уменьшения момента сопротивления корпуса в районе четверти длины от миделя (особенно в носу) по сравнению с моментом сопротивления на миделе.

Для дальнейшего изучения влияния вертикальных колебаний и качки корабля на волне на напряжения в корпусе корабля при его общем изгибе читатель отсыпается к докладам, прочитанным в Институте английских корабельных инженеров в 1890 г. Ридом (T. Read), в 1911 г. — Александером (F. Alexander) и в 1914 г. — Кампом (A. Campion), а также к книге Байнеса².

Несмотря на большой интерес, который представляет научное влияние динамических усилий при качке на прочность корабля, все же нет необходимости это влияние учитывать в обычном расчете прочности корпуса. Получающиеся поправки, а следовательно, в некоторой степени и ошибки, возникающие от отбрасывания поправок, являются ошибкой второго порядка. Действительно, при сравнении прочности однотипных кораблей эта ошибка практически незначительна. Кроме того, приказав ее выявление произвольный и неопределенный характер допущений, на основании которых в настоящее время определяются поправки, обусловленные влиянием динамических усилий, представляются недостаточнообоснованными дополнительные усложнения в затратах труда для учета этих поправок.

4. Общий порядок расчета. Сначала строятся краевые силы поддержания и сил веса. По разности ordinat этих краевых строятся кривые действующей нагрузки. В результате интегрирования краевой нагрузки получается кривая срезывающая силы. Вторичное интегрирование краевой нагрузки дает краевую изгибающих моментов. Интегрирование очень удобно выполнять при помощи интегратора.

Краевая изгибающих моментов дает величину изгибающего момента в каждом сечении корпуса, но обычно рассматривается лишь эта-

¹ Jour. Mar. App., 1892.

² J. Mar. Design and Construction of Ships.

ческие наибольшего изгибающего момента в районе щителя. Однако если важные продольные связи корпуса, как, например, продольные переборки или надстройки, прерываются в районе, где изгибающие моменты еще значительны, то может потребоваться проверка прочности также и в этом районе.

Определив момент инерции и положение нейтральной оси для рассматриваемых сечений корпуса, вычисляются наибольшие напряжения по формуле (16) для каждого стандартного состояния.

5. Эффективность предельных связей. При вычислении момента инерции сечения должны быть учтены все эффективные продольные связи, которые попадают в сечение и простираются на значительной длине корпуса или, по крайней мере, на половине этой длины. Вопрос о том, какие связи следует считать эффективными, подлежит специальному обсуждению. Возможно, что этот вопрос является наиболее трудным в расчете прочности корпуса и встречает наибольшие разногласия. При постройке военных кораблей различные вопросы должны быть рассмотрены в первую очередь с воинской точки зрения и в этом случае мы должны, следовательно, в первую очередь рассмотреть, какие связи способны оставаться эффективными после боя. После того как будет разрешен этот основной вопрос, нужно учесть, что при нахождении корабля на волнах в его связях возникают повторение растягивающие и сжимающие усилия и что попадение этих связей в эти двух случаях может быть совершенно различными. Тонкие листы могут выдерживать без разрушения большие растягивающие усилия, но они способны вылучиняться при сравнительно умеренных сжимающих усилиях. С другой стороны, паксы толстой брони могут сопротивляться сжимающим усилиям, но совершенно не способны сопротивляться растягивающим усилиям. Равным образом деревянные настилы лучше сопротивляются сжатию, чем растяжению. Хотя эти положения совершенно очевидны, тем не менее всегда возникают трудности, как только пытаются количественно оценить их в расчете прочности. Поэтому, необходимо также учесть наличие швов и заклепочных отверстий, люков и других отверстий, которые в какой-то мере ослабляют конструкцию.

Из сказанного должно быть ясно, что момент инерции и положение нейтральной оси при положении корабля на волнах и на плавучих волнах не могут быть единственными.

6. Броневая защита и прочность. На линейных кораблях, крейсерах и других бронированных кораблях, предназначенных для ведения артиллерийского продолжительного боя, все незабронированные части корпуса могут быть совершенно разрушены в бою. Забронированные части могут быть тоже повреждены. Однако эти повреждения будут преимущественно местными и редко будут влиять на общую прочность корпуса.

Поэтому для класса линейных кораблей должны считаться эффективными и прочими связями только связи, защищенные броней. Отсюда следует, что броня должна быть так распределена, чтобы она являлась эффективной защитой для прочности корабля. Этот важный принцип далеко не всегда достаточно полно и правильно выполняется.

В соответствии с этим, и также и по другим соображениям, на современных линкорах полный, или почти полный, покрытие брони про-

стягивается по высоте до второй палубы, где эта палуба обычно является броневой палубой. При этом обычно обеспечивается достаточная высота забронированного эквивалентного бруса и в этом случае требуется лишь делать броневую палубу непрерывной и конструктивно прочной, т. е. с достаточно прочными стыковыми соединениями. Однако при умеренной высоте эквивалентного бруса необходимая достаточная прочность этой палубы может быть обеспечена без затраты лишнего веса. При наличии бронированной палубы прочность ее может быть нарушена фуговыми сварками так, как в случае забронированной палубы. Броневой пояс может иметь уменьшенную толщину или района жестких частей корабля, но он должен служить защитой от разрушения тонкостенными сварками корпуса на длине, равной по меньшей мере двум третям длины корабля. В этом случае корабль выше броневого пояса может быть очень легким, если только новые требования, помимо требования обеспечения его продольной прочности, не будут вызывать необходимости его утолщения. С этой точки зрения представляется совершенно ненужным делать утолщенные и широкие и палубный стрингер у верхней и забронированной палубы. С другой стороны, не следует забывать, что уменьшение малой высоты забронированного эквивалентного бруса прогибы при наибольших напряжениях будут относительно большими, и потому напряжения в верхних листах корпуса могут быть чрезмерными. Поэтому может возникнуть необходимость в расширительных швах.

На некоторых кораблях бронированный каземат средней артиллерии размещается на части длины корпуса выше линии броневого пояса, но и в этом случае, очевидно, палуба не должна подыматься до верха каземата, так как было бы невозможно обеспечить надлежащую непрерывность прочных связей.

Наличие прочной палубы на всей длине корпуса по верхней кромке тяжелого броневого пояса имеет и то преимущество, что наиболее важные части защищаются броней каземата.

7. Растижение связей. Верхние связи корпуса растягиваются на вертикальные волны, а нижние — на водонапорные волны. Возникает вопрос, в какой степени вовлекаются в работу части растянутых связей, и особенностях палуб и днища, лежащие nearest диаметральной плоскости. Существует мнение, что стени, в нашем случае — борта, могут выдерживать брововые напряжения в тех частях полок, т. е. палуб и днища, с которыми они непосредственно соединены, и то время как на части полок, находящихся ближе к диаметральной плоскости, влияние стенок не передается. Однако это мнение представляется не соответствующим действительности, так как благодаря сужению к концам обводов корпуса и горизонтальной передачи усилий посредством среза растяжение будет одинаково подвергаться как наружные, так и внутренние части полок балки. Возможное, неблагоприятное в этом отношении, влияние продольной изгиба палубы и днища не должно заметно сказываться благодаря наличию большого числа подкрепляющих ребер по палубе и линии корпуса на военных кораблях. Учитывая склонное, можно растянутые непрерывные связи корпуса считать эффективными по всей длине обслабленной плошади их очертания.

В. Сжатие связей. Наиболее важным вопросом, подлежащим здесь рассмотрению, является возможность разрушения листов вследствие излучения. Необходимо различать общее выпучивание большого-

участка поверхности листов, сопровождающееся изгибом подкрепляющих ребер, и место с выпучиванием листов между бинсами и шпангоутами. Первая форма потери устойчивости связана будет рассмотрена в разд. 8 и 13. Здесь рассмотрим только вторую форму потери устойчивости связей.

При малых напряжениях в связях, что имеет место вблизи нейтральной оси корпуса, возможность выпучивания их отпадает, и в этом случае такие связи могут считаться полностью эффективными. Но уже при небольшом удалении связей от нейтральной оси (определенной для прямого положения корабля) в них могут возникнуть значительные напряжения при наклонениях на волне. При напряжениях некоторой величины будет наблюдаться выпучивание и листы могут полностью потерять свою прочность. Устойчивость листов характеризуется следующими факторами:

1) отношением расстояния между поперечными ребрами (шпангоутами и бинсами) к толщине листа ($r = \frac{b}{t}$); это отношение является решающим элементом при поперечной системе набора корпуса;

2) наличием продольных ребер, которые оказывают локальное влияние во-первых, они предотвращают выпучивание полоски листа, находящегося в непосредственной близости к кромкам ребер, и, во-вторых, они придают промежуточной части листа некоторую жесткость, величина которой зависит, главным образом, от отношения расстояния между продольными ребрами к толщине листа. Это особенно важно для применяющейся в последнее время продольной системы набора.

Рассмотрим каждый из этих факторов.

9. Эффективность сжимаемых листов, не подкрепленных продольными ребрами. Лист между бинсами или шпангоутами в достаточном удалении от продольных ребер можно рассматривать состоящим из отдельных элементарных полосок, каждая из которых работает как сжимаемая балочка. Как указано в разделе 27, прочность каждой такой полоски canлучшим образом определяется формулой Эйлера. Представление о степени эффективности таких листов в различных частях судового корпуса можно составить, если учесть, что действующие напряжения в наиболее напряженных связях корпуса не превосходят известного предела, который можно принять равным 790 от для мягкой стали и 950 от для стали высокого сопротивления.

Подставив эти значения напряжений в формулу Эйлера для балок с заделанными концами, получим следующее значение для величины r , при которых лист теряет устойчивость¹:

для мягкой стали

$$\frac{r}{t} = p = \sqrt{\frac{7,6 \cdot 10^6}{790}} = 98$$

и для стали высокого сопротивления

$$p = \sqrt{\frac{7,6 \cdot 10^6}{950}} = 90.$$

В настоящее время на больших кораблях, имеющих поперечную систему набора корпуса, величина p обычно имеет следующие значения:

¹ См. гл. VII, выражение (85).

для листов плоского кида при промежуточных шлангоутах или бракетах ($s=600$ мм) $r=20$ и менее;

для листов ширстрека и палубного стрингера $r=48$;

для листов наружной обшивки стандартной толщины $r=80$;

для листов внутреннего дна и легких палуб $r=150$.

Из приведенных выше значений величины r видно, что такие тяжелые и усиленные пояса, как киль, ширстрек и палубный стрингер, можно считать полностью эффективными, в то время как листы внутреннего дна и легких палуб оказываются неэффективными, если они добавлены не подкреплены продольными ребрами. Для наружной обшивки r несколько ниже кратической величины, следовательно, здесь нет никакого запаса прочности для восприятия динамических нагрузок, а надо иметь в виду, что наружная обшивка обычно нагружена давлением воды. Поэтому кажется наиболее надежным считать неэффективной ту часть наружной обшивки, которая достаточно удалена от центральной оси и не подкреплена продольными ребрами.

На многосекциях при поперечной системе набора из корпуса выходит r для обычной наружной обшивки редко бывает меньше 80, но для усиленных поясов обшивки и палуб $r=40-50$; для листов легких палуб часто $r=120$ и больше.

Таким образом для многосекций можно сделать такое же заключение, что и для больших кораблей, т. е., что все тяжелые усиленные пояса могут считаться вполне эффективными, легкие же пояса — лишь в случае подкрепления их продольными ребрами.

Каждый пояс обшивки должен быть отдельно проверен, если эффективность его вызывает сомнение.

10. Эффективность листов вблизи продольных ребер. Предполагается, что расстояние между поперечными ребрами таково, что листы вылучиваются, если они не подкреплены продольными ребрами, т. е. если для мягкой стали $r>100$.

Рассмотрим сначала случай изолированного продольного ребра, который имеет место при поперечной системе набора и при широком расположении продольных ребер.

Принято считать, что поясок листа некоторой шириной, прелегающей с обеих сторон к продольному ребру, вполне эффективен и пределы обычно действующих напряжений, причем ширина этого пояска зависит от величины r ; однако между отсутствием необходимых экспериментальных данных мы будем выражать эту ширину в толщинах листа. Рассматриваемый случай совершенно отличен от условий работы листа как пояса индивидуальной балки, в которой напряжения в ее пояске вызываются изгибом стены, и ширину пояса, естественно, должна быть принята меньшей, а именно, — как указано в разд. 20, рекомендуется ее принимать равной $30t$. В судовой балке, где весь поясок находится под действием равномерного сжатия и где продольные ребра не работают как индивидуальные балки, а только поддерживают листы при выполнении их функций, эффективная ширина листа, естественно, будет несколько больше. Судя по опытам Бруна (Dr. J. Brunn)¹ и анализируя результаты других экспериментов, ре-

¹ Эта серия была произведена для Комитета Регистра Лондона. В них сравнивались различные конструкции балок, приводимые в Истории судов. Эти опыты были опубликованы в докладе "Зорье Народности из Бюллетеня Ассоциации из Ships", произведенном в Лонг. Нав. Асш. в 1903 г. В дальнейшем автор будет ссылаться на эти опыты еще несколько раз.

конендуется положение ширину эффективного пояса листа принимать равной 50 г (по 25 г с каждой стороны).

Подкрепляющие продольные ребра могут быть разрезными, т. е. могут сами не участвовать в продольной прочности корпуса, но они должны быть способны подкрепить лист против возможности его выщучивания. Таким образом, согласно приведенному выше правилу, эффективным может считаться пояс листа указанной шириной, прилегающий к интеркастельным стрингерам и даже к легким подкрепляющим подпалубным угольникам, поставленным между бисселями.

Мы рассмотрели подробно влияние изолированного продольного ребра, но ясно, что, если отдельные продольные ребра будут поставлены достаточно близко друг к другу, то весь профиль листа между ними окажется полностью эффективным, так как в этом случае выщучивание листа будет препятствовать сопротивление изгибу каждой элементарной поперечной полоски между продольными ребрами. К тому положению и нужно стремиться при продольной системе набора корпуса.

Расстояние между продольными ребрами, при котором такое положение имеет место, несколько превышает ширину эффективного пояса для изолированного ребра (30 г); однако мы не имеем данных для точного его определения. Оно зависит от величины действующего напряжения и от величины расстояния между поперечными ребрами.

Теоретическое исследование устойчивости листов, подкрепленных поперечными и продольными ребрами, приведенное в разд. 27, вполне освещает этот вопрос. На основании этого исследования можно сказать, что при широких расстояниях поперечных балках для полной эффективности листа расстояние между продольными ребрами не должно превышать величину 60 г. Такое требование на практике не всегда может быть выполнено (например, для листов внутреннего дна) и в этих случаях соответствующая часть листа между продольными ребрами должна считаться неэффективной, т. е. должна исключаться при расчете общей прочности корпуса.

Рис. 11 иллюстрирует расчетное сечение корпуса малого крейсера для положения корабля на вершины волн при исключении неэффективных частей листов. Для других кораблей учет эффективности продольных связей корпуса, согласно приведенным выше правилам, значительно уменьшает момент инерции сечения корпуса, но надо думать, что такое уменьшение сечения более верно отображает действительность, чем полное сечение.

11. Случай потери устойчивости. На практике было отмечено множество случаев выщучивания листов настила палубы макушками; на этих кораблях также наблюдалось случаи, когда нарушалась устойчивость и листов обшивки днища.

На одном корабле наблюдалось выщучивание настила главной палубы при первом испытании корабли о море; палуба не была покрыта

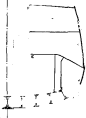


Рис. 11.

баками; на практике же всегда может быть выполнено (например, для листов внутреннего дна) и в этих случаях соответствующая часть листа между продольными ребрами должна считаться неэффективной, т. е. должна исключаться при расчете общей прочности корпуса.

Рис. 11 иллюстрирует расчетное сечение корпуса малого крейсера для положения корабля на вершины волн при исключении неэффективных частей листов. Для других кораблей учет эффективности продольных связей корпуса, согласно приведенным выше правилам, значительно уменьшает момент инерции сечения корпуса, но надо думать, что такое уменьшение сечения более верно отображает действительность, чем полное сечение.

11. Случай потери устойчивости. На практике было отмечено множество случаев выщучивания листов настила палубы макушками; на этих кораблях также наблюдалось случаи, когда нарушалась устойчивость и листов обшивки днища.

На одном корабле наблюдалось выщучивание настила главной палубы при первом испытании корабли о море; палуба не была покрыта

деревом. Расстояние между бимсами было 600 мм и толщина настила, потерявшего устойчивость, была равна 7 мм ($\mu = \frac{4}{7} = 0.57$). После испытания корабль листы палубы получили остаточную деформацию в виде точек. Следует иметь в виду, что выпучивание листов в большинстве случаев приводится ближайшими продольными ребрами, прежде чем достигнет значительной величины и прежде чем будет превысить предел текучести. После прекращения напряженного состояния лист принимает первоначальную форму. Поэтому возможно, что выпучивание листов на многих кораблях, особенно на макушках, происходит часто, но остается неотмеченным вследствие их малости и отсутствия остаточных деформаций.

12. Броня как прочная связь. Тяжелая бортовая броня не участвует при работе связей на растяжение, так как отдельные плиты брони не имеют стыковых соединений. При сжатии она, вероятно, всегда оказывает некоторое сопротивление, величину которого, однако, нельзя определить даже приблизительно. При малых сжимающих усилиях это сопротивление, очевидно, пренебрежимо мало вследствие неплотного контакта между стыками отдельных плит брони. В другом предельном случае, когда сжимающие напряжения превысят предел текучести материала и когда плиты брони по своим стыкам будут непосредственно упираться одна в другую, броня может стать весьма эффективной. Однако в обычных условиях такой случай, вероятно, никогда не имеет места. Поэтому тяжелую бортовую броню лучше все же учитывать при расчете прочности корпуса, конструкция которого сама по себе и без брони должна обладать достаточной прочностью. Бортовую броню можно рассматривать в качестве резерва, который может сыграть роль в таких исключительных случаях, как посадка на мель или при больших повреждениях в бою.

Легкая бортовая и палубная броня, имеющая стыки на плавниках или винтах, может быть включена в расчет прочности при растяжении и при сжатии в соответствии с прочностью ее стыковых соединений.

13. Деревянная палуба и деревянная обшивка за броней. Все деревянные связи обычно засчитываются в общую прочность корпуса в виде эквивалентных им стальных сечений с площадью, равной V_0 при растяжении и V_0 при сжатии⁷.

14. Винты, заклепочные отверстия, стыковые швы, люльки и других вырезов. Вдоль каждого шпангоута, бимса или ребра жесткости получается линия неизбежного ослабления растянутых связей из-за отсутствия наличия заклепочных отверстий. В правильно спроектированном корпусе все другие линии ослабления корпуса должны иметь приблизительно такую же или большую прочность, как и указанные выше линии неизбежного ослабления, прочность которых поэтому и должна быть принята в качестве измерителя прочности при расчетах. При определении нейтральной оси в моменте внешней сечений корпуса обычно вытигают заклепочные отверстия в растянутой части сечений, в то время как для сжатой части сечений этого не делается. Однако такой метод не является рациональным и ведет к ошибкам. Линия или поверхность, ослабленный заклепочными отверстиями вдоль бимсов и шпангоутов, повторяется, но имеет очень малую ин-

⁷ J. H. Biles, The Design and Construction of Ships, с. 262.

раму. Например, при диаметре заклепок 22 мм и расстоянии между цаплангутами 1200 мм ширина ослабленного пояса получается равной всего лишь около $\frac{1}{10}$ ширины пакета. Ясно, что такое ограничение ослабления не может существенно повлиять на положение нейтральной оси при изгибе корпуса. Нейтральная ось не может иметь скачков на каждом цаплангуте и она может лишь немногим отличаться от линии сечения в соответствии с ослаблением нижней или верхней части сечения. Предположим, например, что корабль находится на вершине волны. Площадь сечения вдоль шпангоута в бимсе, выше нейтральной оси, уменьшится на одну восьмую, если шаг заклепок равен треми диаметрам. Однако если это уменьшение распределить по всей шпации, то оно будет равно лишь около $\frac{1}{8 \cdot 60} = \frac{1}{480}$. Такой же величиной измеряется среднее увеличение деформаций в верхней части корпуса меряется среднее увеличение деформаций в верхней части корпуса корабля. Поэтому нейтральная ось переместится лишь на величину, равную около $\frac{1}{480}$ расстояния между наиболее напряженным болтлом и нейтральной осью. Таким перемещением можно без опасности пренебречь. Таким образом положение нейтральной оси может вычисляться без учета заклепочных отверстий, имеющихся выше и ниже оси. Эти же соображения позволяют пренебрегать и другими небольшими вырезами, как, например, вырезами для бортовых иллюминаторов или ослаблениями по стыкам. При вычислении момента изгиба следует руководствоваться тем же правилом.

Определенные таким путем распределяющие напряжения будут относиться к неослабленным частям связей, т. е. к большей части конструкции корпуса; для сечений, проходящих через заклепочные отверстия и другие места ослаблений, эти напряжения должны быть увеличены пропорционально уменьшению площади сечения связей. Такой метод учета напряжений был предложен еще в 1894 г.¹ Ридом и Стамбери (T. C. Read and G. Stambury) и хотя этот метод и не получил признания, но он дает более правильное представление о распределении напряжений, чем общепринятый в настоящее время метод. Пользуясь этим методом, можно искать высокие напряжения, которые могут возникнуть в определенных местах конструкции корпуса, например, в районе ослаблений стыковых соединений. При обычном методе расчета прочности эти напряжения ускользают от внимания, хотя они могут являться причиной серьезных беспокойств, даже если общая прочность корпуса будет обеспечена удовлетворительно.

Если в листах имеются большие вырезы, например, пасубные люки, особенно если эти вырезы имеют большую длину или повторяются в том же поясе, то соответствующая площадь сечения пояса, имеющих вырезы, не должна включаться в расчет прочности. Большие напряжения, получающиеся в углах вырезов люков, должны быть учтены отдельно.

Должно быть предусмотрено компенсирование ослабленных вырезами связей прочного корпуса, если их площадь сечения уменьшается больше, чем на 20% своей первоначальной величины².

15. Наибольшие допускаемые напряжения. Хорошо выполненный на основе правильных последовательно приложенных предположений

¹ Inst. Nav. Arch., 1894.

² Am. Assoc. of Shipping, "Rules for Building and Classing Steel Vessels".

расчет общей продольной прочности может являться цепным средством сравнения прочности блоков строящегося корабля с прочностью существующего корабля того же типа. Однако расчетные напряжения настолько сильно зависят от учитываемых обстоятельств, которые трудно одинаковы для любых двух кораблей, что эти напряжения не всегда можно непосредственно сравнивать. Поэтому мы не будем приводить здесь пространных количественных данных или пытаться дать правила для допускаемых напряжений, а ограничимся приведением лишь небольшого числа фактов.

При проектировании английских сторожевиков класса «Пасифайдер» («Pathfinder») были допущены наибольшие напряжения на растяжение 960 кг для мягкой стали и 1250 кг для стали высокого сопротивления и наибольшее напряжение на сжатие 700 кг для мягкой стали и 950 кг для стали высокого сопротивления.

Английский клиновесец «Кобра» («Cobra»), который сломался и погиб в открытом море, имел расчетные растягивающие напряжения в листах вдоль на подводные волны 1500 кг.

При проектировании лайнеров «Лузитания» («Lusitania») и «Мария-Терезии» («Maria-Theresia») допускаемое напряжение на растяжение было признано равным 1670 кг при пределе текучести материала 3600 кг.

На английском линейном крейсере «Худ» («Hood») было допущено напряжение 1550 кг для стали высокого сопротивления.

На современных лайнерах для стали со средним содержанием углерода напряжение около 1670 кг для главной палубы и 1250 кг для кильевых листов могут считаться безопасными. Согласно опубликованным результатам испытания макетов «Престон» («Preston») и «Бристоль» («Bristol»), инж. Линдхад (A. P. Lindhead)¹ отметил, что на подводные волны средние листы палубного стрингера этих кораблей теряют устойчивость при сжимающем напряжении 2300 кг, а на вершине волн имеет место потеря устойчивости кильевых листов при сжимающем напряжении 1750 кг. Величины этих напряжений были очень близки к напряжениям, принятым в проектах этих кораблей. Водонизмещение этих кораблей 1190 т.

7. Сдвиг

1. Элементарные соображения. Края срезывающих сил, полученные интегрированием краевой нагрузки, дают величины вертикальных срезывающих сил, действующих в поперечных сечениях корпуса, но не дают указания относительно распределения этих сил по сечению. Разделив срезывающую силу на всю площадь сечения, найдем среднее напряжение, которое, однако, для такой тонкостенной балки, как корабль, будет много меньше максимального. Известно, что касательные напряжения изменяются при переходе от одной точки сечения к другой, но в эквивалентном брусе эти изменения значительно меньше в стеке, чем в погонях.

Мы не можем непосредственно определить вертикальные касательные напряжения, но мы можем найти для каждой точки сечения различную равнотензии им горизонтальных касательных напряжений. Это можно сделать, если конструкция не очень сложна.

Вопрос наиболее просто решается для плоского прямугольного бруса. Касательное напряжение в какой-либо точке сечения такого

¹ Soc. Nav. Appl. Mar. Eng., 1931.

брока определяется выражением:

$$q = \frac{Q_m}{I}, \quad (17)$$

где Q — величина срезающей силы в рассматриваемом сечении бруса;

I — момент инерции сечения относительно нейтральной оси;

m — статический момент относительно нейтральной оси части поперечного сечения, находящейся выше или ниже рассматриваемой точки;

b — толщина или ширина сечения бруса в рассматриваемой точке.

Рассматривать касательные напряжения в сечениях корпуса — более трудная задача вследствие сложности конструкции. Однако если считать корпус корабля строго продольным, то в расчет надо принимать только продольные сечения.

2. Идеализированное однокорпусное судно. Начнем с изучения касательных напряжений в однокорпусном судне, не имеющем переборок, второго дна и продольных балок. Вследствие симметрии относительно плоскости, проходящей через центральную линию, можно ограничиться рассмотрением лишь одного борта.

Пусть S_1 и S_2 — два поперечных сечения на расстоянии $2L$ друг от друга и NN' — нейтральная ось эквивалентного бруса (рис. 12, а).

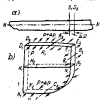


Рис. 12.

Рис. 12, б изображает поперечный элемент корпуса, ограниченный сечениями S_1 и S_2 ; $N_1N_2N_3N_4$ — линия нейтральной поверхности, которая представляется плоской и горизонтальной на длине $2L$; A_1A_2, B_1B_2, C_1C_2 — линии пересечения за-



Рис. 13.

ружной поверхности корпуса плоскостями, нормальными к этой поверхности и параллельными линии N_1N_2 . Следует отметить, что эти линии в общем случае не параллельны линии N_3N_4 , а образуют с ней некоторые углы Φ , которые выражают наклон поверхности корпуса в соответствующих точках.

Рассмотрим теперь равновесие части палубы, заключенной между A_1A_2 и центральной линией B_1B_2 . По линии A_1A_2 действует суммарное нормальное усилие P , и если загибающие моменты в сечениях S_1 и S_2 не равны, то по линии B_1B_2 действует суммарное нормальное усилие $P+ΔP$. В результате действия этих усилий получается сила $ΔP$, параллельная нейтральной оси. Эта регулирующая сила должна быть уравновешена продольной срезающей силой, действующей вдоль линии A_1A_2 , так как вследствие симметрии срезающей силы вдоль средней линии B_1B_2 не может быть.

Так как палуба практически параллельна нейтральной оси, то $\Theta = 0$ и $dP = dMx$

или

$$Q = \frac{1}{t} \frac{dP}{dx}, \quad (18)$$

Для сечения B_1B_2 , взятого на борту корпуса, сила dP представляет собой результатирующую силу от нормальных напряжений, действующих в сечениях B_1 и B_2 , в части конструкции BB , заключенной между рассматриваемым сечением B_1B_2 , и средней линией D_1D_2 .

Предположим, что борт — наклонный, вследствие чего линия B_1B_2 , образует угол Θ с линией K_1K_2 и элемент сечения обитаемого борта, показанный на рис. 13, имеет площадь $t dx \cos \Theta$. Касательные напряжения в этом элементе должны действовать параллельно кромке B_1B_2 , и продольные составляющие их должны уравновешиваться с силой dP .

т. е.

$$dP = Q \cos \Theta dx \cos \Theta,$$

откуда снова

$$Q = \frac{1}{t} \frac{dP}{dx}.$$

Для днищевого сечения C_1C_2 , удобнее рассматривать равнозначные части, заключенные между этим сечением и Кильевой линией K_1K_2 , по формуле получится такая же. Нормальное напряжение в какой-либо точке, отстоящей на расстояние y от нейтральной оси, равно

$$p = \frac{M_F}{I_b},$$

где I_b — момент инерции всего (обоих бортов) сечения корпуса относительно нейтральной оси.

Сила P , представляющая сумму нормальных напряжений, действующих в любом сечении между центральной плоскостью и рассматриваемой точкой сечения, равна

$$P = \int p t dx = \int \frac{M_F}{I_b} t dx,$$

причем интегрирование производится по всей контуру сечения от рассматриваемой точки до центральной линии палубы D или киля K . В обоих случаях получается одинаковая численная величина интеграла и поэтому надо выбирать то направление интегрирования, которое требует меньшей вычислительной работы. M и I_b — постоянные для данного сечения, а интеграл $\int t dx$ представляет собой статический момент относительно нейтральной оси площади, заключенной между центральной линией и рассматриваемой точкой сечения. Этот статический момент был уже обозначен буквой m , и потому можно написать:

$$P = \frac{M_F m}{I_b}$$

$$\frac{dP}{dx} = \frac{m}{I_b} Q + M_F \frac{d}{dx} \left(\frac{m}{I_b} \right),$$

Подставляя последнее равенство в (18), получим:

$$q = \frac{1}{t_0} \left[\frac{m}{I_0} Q \pm M \frac{d}{dx} \left(\frac{m}{I_0} \right) \right]. \quad (19)$$

Если поперечные сечения корпуса корабля по его длине не меняются, то величина $\frac{m}{I_0}$ постоянна, и поэтому

$$q = \frac{Qm}{I_0}. \quad (20)$$

Эта формула идентична с формулой для призматической балки. У действительного корпуса корабля имеется заметный угол бортов и изменение конструкции по направлению к оконечностям, однако величина $\frac{m}{I_0}$ изменяется незначительно, поскольку высота корпуса остается высокой. При увеличении высоты корпуса к оконечностям последствия седловатости величина $\frac{m}{I_0}$ соответственно уменьшается и второй член в выражении (19) получается отрицательным, вызывая, следовательно, некоторое уменьшение величины q . Однако обычно влияние этого члена незначительно, и поэтому с достаточной точностью может применяться более простая формула (20).

Эта формула для точек на нейтральной оси принимает вид:

$$q_s = \frac{m_s Q}{I_0 t_0}, \quad (21)$$

где m_s — статический момент относительно нейтральной оси части одной половины площади сечения, лежащей выше или ниже этой оси;

I_0 — момент инерции всего сечения для обоих бортов;

Q — полная величина срезывающей силы, действующей во всем сечении;

t_0 — толщина обшивки на уровне нейтральной оси для одного борта.

Если t_0 не особенно велик, то обычно q_s является наибольшим из отдельных напряжений.

Рис. 14 дает общее представление о распределении касательных напряжений в сечении корпуса, когда го-



Рис. 14.

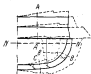


Рис. 15.

щина листов по всему контуру сечения одинакова. На этом рисунке величины касательных напряжений отложены нормально к контуру сечения. Видно, что касательные напряжения, достигая максимальной вели-

линиям у нейтральной оси, уменьшаются по направлению вверх и вниз и принимают нулевое значение в точках *D* и *K*.

3. Действительный корабль. Рассмотрим теперь среднее сечение большого военного корабля, имеющего двойное дно, несколько палуб и продольных переборок и построенного из листов разной толщины (рис. 15). В этом случае распределение касательных напряжений не всегда может быть определено достаточно точно.

Для такого сечения, как *AA*, проходящего нормально к палубе выше нейтральной оси, касательные напряжения могут быть найдены для каждой палубы отдельно по формуле (20), как и для однопалубного корабля. Однако для этого слева от сечения *AA* палубы не должны быть продольно связаны друг с другом и должны быть надежноющими образом подперты и вложены усилочными.

Для такого сечения, как *CC*, находящегося с внутренней стороны продольной переборки, или для такого сечения, как *BB*, находящегося спаружи этой переборки, определение касательных напряжений более сложно. Точное определение этих напряжений снаружи и изнутри обшивки двойного дна или в продольной переборке не представляется возможным. Распределение касательных напряжений должно зависеть от внутренних упругих свойств конструкции. Пунктирную линию на рис. 15, показывающую величины касательных напряжений в разных точках сечения, нужно рассматривать поэтому лишь в качестве иллюстрации общего их распределения. Метод приближенного определения касательных напряжений был предложен Сугатро (Dr. K. Sugatro)¹.

4. Срез у поворота и скулья. В упомянутой выше работе Сугатро дана диаграмма вычисляемых касательных напряжений для сечения коммерческого судна с двойным дном, простирающимся по ширине до поворота скулья. Он показал, что для судов такой конструкции, в которой отсутствуют продольные переборки, скучевой пояс должен воспринимать всю передаваемую силу, передаваемую из борта (стенки балки) тяжелым и жестким двойным дном. Этим Сугатро объясняет часто наблюдавшиеся у подобных судов ослабления швов скульевых листов обшивки и усилников крайнего междудосового листа, т. е. дефектов, обычно объясняемых прутами причинами.

На военных кораблях такие неблагоприятные условия обычно отсутствуют, так как второе дно или доводят до продольных переборок, или же на больших кораблях оно продолжается выше до броневого щельфа, благодаря чему уменьшается напряженность скучевого пояса. Если же, однако, легкий крейсер должен быть построен с двойным дном, доводящим до поворота скулья, и без бортовых продольных переборок, то во избежание ослабления конструкции должна быть увеличена прочность скучевого пояса и его пазовых соединений.

8. Потеря устойчивости стеки

1. Появление и характер потери устойчивости. Появляющиеся в тонких стеках балок сжимающие диагональные напряжения, обусловленные наличием в них касательных напряжений, стремятся образовать изогнутые в этих стеках. Это стремление проявляется в

¹ „On Shearing Stress in a Ship's Structure”, Jour. Soc. Mech. Eng., 1912, and „London Engineering”, Jan., 29, 1921.

наибольшей степени в районе нейтральной оси и, если лист стекки не подкреплен ребрами жесткости, то потеря устойчивости ее становится возможной при сжимательных небольших напряжениях. При потере устойчивости стекки в ней образуются одна или больше волнобразных деформаций, распространяющихся наклонно от пояса к поясу балки. Если стекка подкреплена поперечными ребрами, способными поддержать лист стекки, то волнобразные деформации стекки становятся значительно короче, так как они могут распространяться только от ребра к ребру. Подобного рода выпучивание, образующее ряд волнобразных деформаций, называется потерей устойчивости («устойчивость»). При достаточно близко расположенных ребрах и в балках малой высоты выпучивание стекки может получиться только при очень больших касательных напряжениях или при очень малой толщине стекки.

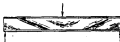


Рис. 16.

Рис. 16 показывает полученную в опытах проф. Лидли¹ волнобразную деформацию неподкрепленной ребрами стекки балки, опертой на концах и нагруженной по середине сосредоточенным грузом. Выпучивание стекки такой балки начинается непосредственно под грузом, где скимающие напряжения получаются наибольшими. Направления скимающих напряжений в этом месте вертикальны и поэтому волна выпучивания получается горизонтальной с вершиной вблизи середины высоты стекки. Непосредственно за этим районом линии главных напряжений наклоняются, образуя довольно быстро с нейтральной осью угол в 45° , и поэтому центральная волна по обе стороны середины бруста отклоняется вовнутрь и все другие волны наклоняются под углом в 45° , простираясь от пояса к поясу балки, как видно из рисунка. Нижний конец каждой волны находится приблизительно на одной вертикали с верхним концом предыдущей волны, и, следовательно, длина волны получается равной $\frac{h}{\sqrt{2}}$, где h — свободная высота стекки балки. При других испытаниях балок, стекки которых были подкреплены ребрами, поставленными в друг от друга, волны от потери устойчивости стекки или диагонально между углами каждой середины. Такая же картина наблюдалась, когда расстояние между ребрами не было точно равно высоте стекки.

Описанное явление выпучивания может получаться и в бортовой обшивке корпуса, если работа ее, как стекки корпуса, не облегчается присутствием продольных переборок и второго дна и если она не имеет достаточных подкреплений.

Рассмотрим миноносец, не имеющий продольных переборок. Стальной балки здесь являются борта и поясами — палубы и днище. Касательные напряжения с лобовым измывением их интенсивности рас-

¹ W. E. Lillie, Engineering, 1900, vol. LXXXII.

пределены во всей высоте бортов между нижним склонным покосом или шпангоутным обоям и ширстреком. Эта конструкция отличается от листовых блоков, применяемых в мостостроении, тем, что в ней расстояние между ребрами стеки — здесь шпангоутами — много меньше высоты стеки. Хотя неизвестны случаи потери устойчивости бортов, все же интересно рассмотреть, что может произойти при потере устойчивости.

Предположим, что корабль находится на вершине волны, и рассмотрим участок обшивки между двумя смежными шпангоутами $F-F$ и $F'-F'$ (рис. 17), расположенный в расстоянии около четверти длины от носа. Когда срезающая сила увеличится до известного предела, обшивка в районе нейтральной оси может оказаться способной сопротивляться действию сжимающих напряжений, эффект которых увеличивается одновременно действующими в перпендикулярном направлении растягивающимися напряжениями. Получается явление выпучивания с образованием вершины волны A_1A_1 и двух впадин волны, наклонных под углом 45° к нейтральной оси и простирающихся от шпангоута к шпангоуту. При дальнейшем увеличении срезающей силы волнистые выступы вызывают появление новых волн, образующих такие к ним волны A_2A_2 . Согласно опытным данным, длина волны у нейтральной оси будет

$$l = \frac{z}{\sqrt{2}}, \quad (22)$$

где z — расстояние между шпангоутами.

Общее распределение главных нормальных напряжений в бортовой обшивке показано на рис. 20А. Волны образуются нормально к главным сжимающим направлениям; поэтому следует ожидать, что ниже нейтральной оси, где главные сжимающие напряжения по мере приближения к нижнему пояску (килю) принимают почти горизонтальное направление, волны будут располагаться почти вертикально, становясь совершенно вертикальными у самого пояска. Выше нейтральной оси, по мере увеличения расстояния, волны будут располагаться почти параллельно этой оси. Так как здесь главные сжимающие напряжения быстро уменьшаются, то величина этих волн будет уменьшаться, и уже в районе ширстрека, где действуют, главным образом, лишь растягивающие напряжения, волны исчезнут.

Потеря устойчивости переборок, покрытых только системой вертикальных стоек, будет происходить так же, как и бортов. Во всех случаях лучшим средством для предотвращения потери устойчивости будет установка легких добавочных ребер в виде трюмных стрингеров на бортах и горизонтальных уголников на переборках.

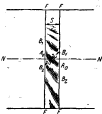


Рис. 17.

2. Определение величины напряжений, вызывающих потерю устойчивости. Представляется интересным определить изменяющую величину касательного напряжения, при которой может иметь место потеря устойчивости, так как затем можно будет определять необходимый для обеспечения устойчивости верхний предел отношения между короткой стороной панели рассматриваемой конструкции и толщиной сейлости. Результатом исследований этого вопроса является работа Тимошенко «Theory of Elastic Stability», 1936 г.; соответствующие выводы этой работы приведены в разд. 27.

Величина напряжений, при которых теряется устойчивость, зависит от отношения $\frac{b}{t}$, где b — короткая сторона панели, и от отношения между сторонами панели $\frac{a}{b}$.

В разд. 27 показано, что для мягкой стали с пределом текучести на срез 1400 фт и при отсутствии продольных подкрепляющих ребер потеря устойчивости не может произойти при $\frac{b}{t} = \frac{a}{b}$, меньших 85. При продольных подкрепляющих ребрах, при которых отношение между сторонами панели становится равным $\frac{a}{b} = \frac{b}{t} = 3$, критическое значение величины $\frac{b}{t} = 91$; при $a = b$, т. е. при одинаковом расстоянии между поперечными и продольными ребрами, критическое значение $\frac{b}{t} = 113$.

На таких кораблях, как кингоныцы, на которых в соответствующих районах обшивки могут существовать большие срезывающие усилия, безопасное расстояние между поперечными или продольными ребрами может быть принято равным 80 т. Это же правило применимо к переборкам и другим листовым балкам корпуса. Ранее было показано, что для предотвращения потери устойчивости листов, подвергающихся действию простого сжатия, расстояние между подкрепляющими продольными ребрами должно быть 60; при наличии таких ребер, следовательно, предотвращается возможность потери устойчивости и от действия касательных напряжений.

3. Выпучивание всего борта. На макроносцах, имеющих сильно закругленные борта и легкие шпангоуты, особенно при отсутствии продольных переборок, может случиться, что шпангоуты окажутся неспособными доказывать волнобразование обшивки борта, как это предполагалось. В этом случае выпучивание листов обшивки может увеличиться и распространяться на всю высоту борта между палубой и концами флюор, причем сами шпангоуты будут деформироваться. Такоеявление общей потери устойчивости (*global buckling*) бортов наименее вероятно в районе четверти длины корпуса от носа. В результате указанной деформации шпангоуты высота корпуса в этой зоне уменьшится, напряжения в листах корпуса увеличатся и может произойти разрыв или полное разрушение конструкции. Наиболее эффективным средством, предотвращающим такие разрушения, являются продольные переборки, а также поперечные переборки, рамные шпангоуты и паллерсы.

9. Распределение напряжений¹

1. Линии напряжений. На рис. 20, А—Н иллюстрируется общая картина распределения напряжений в обшивке борта и настиле палубы корпуса однотипного корабля и показано влияние на линии напряжений подстроек и продольных бортовых переборок для случая нахождения корабля на вершине волны. Рисунок сделан на основе базиса подсчетов величины напряжений для какого-либо частного случая, однако он соответствует законам общего распределения напряжений для рассматриваемого случая изгиба. Направление главных нормальных напряжений и наибольших касательных напряжений соответствует показанным на рис. 20 линиям напряжений лишь в случае правильного распределения материала. Если же, например, некоторые листы настила палубы будут неизменно утолщены, то соответствующие линии напряжений, приближающиеся к утолщенным листам и в их районах, будут изменять свою кривизну, и распределение напряжений не будет таким простым, как показано на рис. 20. С. В каждой сечении продольные компоненты деформаций, в зависимости от отстояния палубы от нейтральной оси, соответствуют изогнутому изгибу корпуса корабля в данном сечении, но в некоторых точках, вследствие кривизны линий и их стущения, могут быть большие напряжения и деформации.

2. Главные напряжения в бортах. На рис. 20.А показаны линии главных растягивающих и сжимающих напряжений в бортах корпуса и в надстройках. Эти линии всегда пересекаются под прямым углом и пересекают нейтральную ось под углом в 45° . В верхней части борта линии растягивающих напряжений изгибаются по направлению к мидюлю и стягиваются на средней половине длины корпуса, где они параллельны нейтральной оси и палубе. В направлении к фокусам эти линии встречают кромку палубы под углом. Это является следствием наклона бортов к диаметральной плоскости и наличия палубы, которая, как говорят, артигинает и соглашает линии напряжений в этой части корпуса, заставляя их переходить через кромку палубы и затем итии по палубе вдоль судна, как показано на рис. 20. С. В нижней части борта и во днище линии растягивающих напряжений идут книзу и внутрь, встречая линии края под прямым углом.

Линии сжимающих напряжений вверх от нейтральной оси пересекают кромку палубы под большим углом, равным 90° у мидюля, и идут поверх палубы, пересекая среднюю линию палубы под прямым углом. В нижней части борта эти линии изгибаются по направлению к мидюлю и располагаются так же, как и линии растягивающих напряжений в верхней части борта, но большинство линий сжимающих напряжений пересекают через склону во днище, по которому и продолжаются вдоль корабля. Особого рисунка для иллюстрации распределения сжимающих напряжений по днищу не дается, так как он оказался бы аналогичным рисунку для палубы.

Для сравнения на рис. 18 производится диаграмма линий главных нормальных напряжений в пустотелой балке прямоугольного сечения

¹ J. B. Chattock, Graphical Determination of Pressures in Engineering Structures, 1881; R. Jenkins, Inst. Nav. Arch., 1890; J. B. Gribble, Inst. Nav. Arch., 1899; K. Suydam, Engineering, Sept., 1911, and Jour. Soc. Nav. Arch., 1912.

с открытыми концами и нагруженной равномерной нагрузкой. Этот рисунок заимствован из книги проф. Морлея¹.

3. Главные напряжения в палубе. На рис. 20, С показаны линии главных напряжений в палубе при отсутствии надстроек и продольных переборок. Для пояснения рассмотрим сперва следующие простейшие случаи. В сплошном прямоугольном брусе, подвергнутом такому же

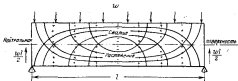


Рис. 18.

изгибу как корабль, все сдвиги имеют место в вертикальных плоскостях и линии главных напряжений в верхней грани идут параллельно центральной линии из протяжения всей длины бруса. В пустотелой балке прямоугольного сечения действие ее вертикальных стенок (борта) на полоски приведет к появлению продольных сдвигающих усилий, которые вызовут вдоль линии соединения продольные деформации и напряжения. Эти деформации будут создавать сдвиги и соседним материалом покоя, благодаря чему линии главных напряжений в палубе будут отклоняться внутрь под углом, разный приблизительно 45° . Постепенно, как это показано на рис. 19, линии напряжений изменят



Рис. 19. Пустотелая прямоугольная балка: сдвигатровочное расположение линий напряжений в коротких полосах.

принципу и примут направление, параллельное центральной линии, и пересекут сначала сущим и некотором расстоянии от стены. Таким путем касательные напряжения в полосах приведут внутренне части полос балки к участию в ее работе на изгиб.

Корпус корабля отличается от прямоугольной пустотелой балки главным образом тем, что стены (борта) корпуса в оконечностях сближаются с диаметральной плоскостью. Действие бортов на палубу здесь также будет пропадать, главным образом, в сдвигатровых усилиях; сдвиги при наличии высоких и жестких шпангоутов борта могут вызвать некоторое растяжение палубы, направленное во внешнюю сторону. Равнодействующее растяжение у кромки палубы, не-

¹ A. Morley. *Strength of Materials*, 1908.

противо, составляет малый угол с касательной к контуру палубы. Продольные составляющие этих растяжений будут создавать продольное напряжение в палубе у миделя, образуя или способствуя образованию прямых линий продольных растягивающих напряжений во всей палубе. Поперечные составляющие этих усилий, имеющие сопротивление небольшую величину и посыпающиеся на обеих бортах корпуса, будут взаимно уравновешиваться, вызывая небольшое попарчное сжатие палубы. Последнее явление создает линии сжимающих напряжений, нормальные к линиям растягивающих напряжений и пересекающие центральную линию палубы под прямым углом, как и в пиле коробчатой балки. Линии растягивающих напряжений, напинканные у кромок палубы, искривляются внутрь, но благодаря сближению бортов с диагональной плоскостью это искривление здесь менее заметно.

В средней части палубы из-за наличия в ней локальных напряжений в районах углов люков стыкуются и сближаются, вызывая этим увеличенные местные напряжения в углах люков.

4. Главные напряжения в рубках и влияние их на распределение напряжений в палубе. Если рубка имеет прочную конструкцию и прочно соединена с палубой, то она образует жесткую балку, которая сопротивляется растяжению и сжатию палубы. В соответствии с этим линии соединения рубки с палубой будут возникать касательные напряжения, которые изменяются от нуля в средней части длины рубки до максимума у ее концов (рис. 20, F). В данном случае взаимодействие между палубой и рубкой будет обратно тому, которое установлено между бортами и палубой. Линии растягивающих напряжений в палубе будут здесь отклоняться к рубке и поглощаться ею, благодаря чему палуба будет в некоторой степени разгрузяться от растягивающих напряжений (рис. 20, E). Однако чем больше до максимум пределов длина и жесткость рубки, тем быстрее изменяется края линий напряжений и тем большая вероятность появления больших местных напряжений у концов рубки, особенно в ее углах. Это будет рассмотрено более подробно в разд. 12.

Расположение линий напряжений в продольных стенах рубки показано на рис. 20, A. Оно аналогично расположению линий напряжений в верхней части бортов корпуса. Так как по краям сопряжения рубки с палубой действуют лишь касательные напряжения, то линии главных напряжений в палубе и в стенах надстройки должны переключаться с зонами кромок под углом в 45° . Здесь слить некоторые линии будут перенести через кромку рубки и обусловливать появление растяжения в палубе рубки. Чем большей податливостью обладает рубка, тем меньше линий она поглощает. При достаточном количестве расширительных (скользящих) соединений рубка будет участвовать в удлинении палубы как неработающая конструкция и влияние ее не будет оказывать заметного влияния на распределение напряжений; это влияние будет сказываться лишь в районе листа кончика и в районе палубы у расширительного соединения. На рис. 20, A показаны окна и двери в стенах надстройки и влияние их на отклонение и стяжение линий напряжений у угла вырезов.

5. Влияние продольных переборок. Продольные переборки, прочно соединенные с палубой и линиями и идущие более чем на половине длины корпуса, играют ту же роль, что и борта, образуя добавочные стены судовой балки. Такая переборка во обе стороны от линии соединения вызывает в палубе систему линий напряжений, подобную той,

которая вызывается бортами (рис. 20, Г). Так как передача усилий между переборкой и палубой, как и в случае рубки, происходит полностью посредством касательных напряжений, то линии главных напряжений здесь также будут пересекаться с кромкой переборки под

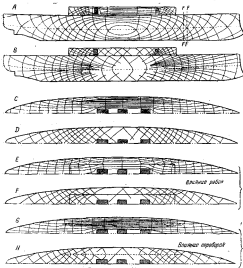


Рис. 20. Распределение напряжений в корабле из деревянного ядра:

А—главные растягивающие и сжимающие напряжения, Б—одиодные касательные напряжения, С—одиодные растягивающие и сжимающие напряжения, Д—одиодные касательные напряжения, Е—главные растягивающие и сжимающие напряжения, Ф—главные растягивающие и сжимающие напряжения, Р и М—одиодные касательные напряжения.

углом в 45° . Касательные напряжения на кромке переборки будут разны между ее средней частью и максимальными при ее концах.

Нагрузка бортов корпуса будет уменьшаться местами, поскольку будут нагружаться продольные переборки. Суммарные растягивающие усилия в палубе у модели будут несколько меньшими, чем в случае отсутствия переборки, и напряжения, вероятно, будут лучше распре-

длени; однако у концов переборок они могут сильно возрасти. Поэтому желательно такие переборки протягивать насколько возможно дальше в нос и корму. У концов очень длинных кораблей они должны, склонившись, плавно переходить в высокие подпалубные и днищевые балки.

6. Наибольшие касательные напряжения. Линии наибольших касательных напряжений показаны на рис. 20, В, Г и Н, за которых изображены две системы линий, нормальных друг к другу и изложенных под углом 45° к линиям главных нормальных напряжений. В бортах линии касательных напряжений изогнуты по направлению к нейтральной оси, как показано на рис. 20, В, где касательные напряжения достигают наибольшей величины. У концов линии касательных напряжений склонены к нейтральной оси под углом 45° , но здесь их величина равна нулю.

В палубе касательные напряжения достигают наибольшей своей величины у борта на одной четверти длины судна, как это видно на рис. 20, Г; здесь одна система линий касательных напряжений идет по касательным к кромке палубы, а другая — нормальна к этим кромкам. На середине длины корпуса касательные напряжения являются лишь в результате действующих нормальных напряжений и действуют под углом 45° к центральной линии палубы. Линии касательных напряжений всегда пересекают центральную линию палубы под углом 45° , но интенсивность их здесь равна нулю.

В районе рубок или продольных переборок одна система линий касательных напряжений в палубе переходит во касательным в линию соединения концов переборок (рис. 20, Г и Н).

10. Прогибы

1. Вычисление вертикальных упругих прогибов. Прогиб минимального бруса проходит, гладким образом, вследствие его изгиба, в таком, хотя и в меньшей степени, вследствие среза.

Прогибы измеряются от прямой линии, соединяющей концы нейтральной оси, принятую стрелку прогиба у концов корпуса разной пучко. Как указывал Вайльс в своем докладе в Институте корабельных инженеров (Inst. Nav. Arch.) в 1905 г. об опытах с минносцем «Wolff», стрелка прогиба для любого сечения с общностью х должна вычисляться по формуле:

$$Ey = \int_{0}^{L} \int_{0}^{\frac{x}{L}} \frac{M}{I} dx dx - \frac{L}{4} \int_{0}^{\frac{L}{2}} \int_{0}^{\frac{x}{L}} \frac{M}{I} dx dx, \quad (23)$$

где x — отстояние сечения от конца нейтральной оси, принятого в качестве начала координат;

L — общая длина корпуса корабля.

Интегрировать лучше всего графически. Сначала вычисляют для нескольких сечений корпуса значения величины $\frac{M}{I}$ и, имея при этом начало координат O один из концов корабля, по этим значениям строят соответствующую кривую ОКА, показанную на рис. 21. Далее интегрированием этой кривой получается кривая ОРА', ограниченная которой пропорциональны вертикальным проекциям корпуса относительные прямой ОА, касательной к изогнутой нейтральной оси в начале коор-

димат; они представляют собой первый член выражения (23). Соединяя концевые точки этой кривой, получим прямую OA' , ординаты которой представляют собой второй член выражения (23). Действительные вертикальные просадки корпуса равны разности ординат кривой $OP'N'$ и прямой OA' , деленным на величину E . Например, перемещение корпуса в какой-либо точке будет равно $u_s = P'P''$.

При определении моментов инерции сечений корпуса рекомендуется руководствоваться теми же правилами, которыми руководствуются при расчете общей прочности, преобразован защелочными отверстиями и не учитывая из-за потери устойчивости тонкие неподкрепленные

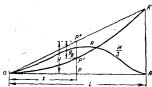


Рис. 21.

листы. Очевидно, что прогиб зависит от общей жесткости корпуса, которую не могут заметно покинуть однородные защелочные отверстия вдоль шпангоутов, в то время как потеря устойчивости листов, особенно если она захватывает несколько листов и распространяется на несколько штабий в районе наклона, может существенно уменьшить момент инерции и увеличить прогиб.

Стрелка прогиба от сдвигов определяется по формуле:

$$u_s = \int \frac{M(x) \sin \varphi}{GQ} dx, \quad (24)$$

где G — модуль при сдвиге.

Двойной интеграл в квадратных скобках берется для всей площади данного поперечного сечения, считая OY вертикальной осью координат и OZ — горизонтальной, расположенной перпендикулярно к оси обшивки, причем последняя совпадает с нейтральной осью сечения. После этого интегрирование распространяется на всю длину корабля вдоль оси OZ . Ясно, что вычисления в общем случае будут очень громоздкими, так как выражение в квадратных скобках должно подставляться для большого числа сечений и так как касательные напряжения τ должны определяться для каждого листа и для каждой балки в каждом сечении. Для большого же корабля сложной конструкции определять величины касательных напряжений для каждого отдельного конструктивного элемента сечения даже невозможно, и, следовательно, этот способ применим только к кораблю простой конструкции, например, к макету.

Простое приближенное решение может быть получено, если пред-

положить, что касательные напряжения равномерно распределены по высоте стыка и прекращать наличием концов. Тогда будем иметь

$$y_s = \frac{1}{G} \int_{\frac{A}{2}}^{\frac{A}{2}} \frac{Q}{A} dx, \quad (25)$$

где A — общая площадь сечения сварки, состоящие из стыка балки, т. е. вертикальных и боковых к вертикали частей наружной и внутренней обшивки, а также непрерывных продольных переборок. Эта формула дает несколько заниженные прогибы.

Обычно прогибы от среза намного меньше прогиб от изгиба и поэтому они можно пренебречь. Но если свободная длина балки или относительно ее высоты и если требуется большая точность, то прогибы от среза должны приниматься во внимание. Так, например, прогибы от среза должны учитываться при оценке жесткости концов корпуса, свинивающихся за кильблоками при постановке корабля в док.

2. Измерения вертикальных прогибов. Измерения прогибов корпуса корабля представляют значительный интерес, так как, собственно измеренные прогибы с расчетными, можно оценить степень точности тех допущений, которые принимаются при расчетах прочности корпуса. Прогибы измеряют при спуске и захвачивании кораблей и при их плавания. Производятся также наблюдения прогибов при изменении нагрузки и температуры. Наиболее точные и полные экспериментальные данные в этом отношении были получены на английском минносце «Вольф» («Wolf»). Эти данные должны быть тщательно изучены всеми интересующимися данным вопросом. Американские опыты, произведенные в 1931 г. для определения напряжений и прогибов при общей изгибе минносцев «Пreston» («Preston») и «Брус» («Bruce»)¹, были, вероятно, наиболее обширными из всех когда-либо раньше производившихся, но результаты их не были опубликованы.

Некоторые замечания, относящиеся к этому вопросу, приведены в докладе автора².

Как показали измерения, сделанные в американском флоте³ Смитом (S. F. Smith) на трех 160-метровых утюговцах «Нептуна» («Neptune»), «Ориона» («Orion») и «Джасона» («Jason»), прогибы корпуса при напряжениях, не выходящих за предел упругости материала, могут быть очень значительными. На «Нептуне», построенным по обычной всперечной системе набора, наибольшая стрелка прогиба палубы в миделе относительно концов вследствие неравномерности загрузки получалась равной 16,5 см. На «Орионе» и «Джасоне», построенных по системе Ишернуда, наибольшие стрелки прогиба получались соответственно 8,6 и 12,7 см. Было найдено также, что при изменении температуры корпуса только из 7° стрелка прогиба изменяется на 2,5 см.

Танкеры в полном грузу испытывают прогиб, который в некоторых случаях на судах, имеющих дедвейт 10 000 т, достигает 15,3 см.

¹ C. O. Keil, Investigation of Structural Characteristics of Destroyer „Preston“ and „Bruce“, Am. Soc. Nav. Arch. Eng., 1931.

² Determination of Stresses in Floating Iron Strain Measurement, Soc. Nav. Arch. Eng., 1931.

³ Robert W. Mettett, „Oil Tanker“, London, 1927.

11. Анализ деформаций и прогибов

Предполагается, что деформации измерены для непосредственно на корабле, как то имело место для «Вольфа», «Престона» и «Бругса», или же из моделей корабля. Анализ имеет в виду, во-первых, по деформациям подсчитать, как было указано в разд. 4, напряжения и, во-вторых, проверить результаты путем сравнения их с подсчетами на основании принятой теории и сопоставлением с действительными условиями опыта.

1. Сравнение измеренных и расчетных напряжений. Термин «измеренные напряжения» относится здесь к напряжениям, вычисленным по данным измеренных деформаций. Желательно иметь деформации, измеренные по всему обводу одного или нескольких сечений; в этом случае нормальные напряжения, вычисленные по этим деформациям, должны быть отложены по горизонтали от вертикальной средней линии корабля для разных точек по высоте от киль до прочной палубы (рис. 22). Кривые, вычерченные по точкам для каждого борта корабля, дадут картину распределения напряжений по всему сечению. Эти кривые должны не слишком отличаться

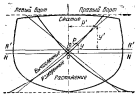


Рис. 22. Кривые напряжений на водонепроницаемые палубы.

от прямых и пересекаться со средней линией в точке, определяющей положение нейтральной оси, где напряжения равны нулю. Такие кривые могут быть сопоставлены с кривыми напряжений, построенных по выражению:

$$\sigma' = \frac{My'}{I},$$

где y' — теоретическое напряжение в точке, расположенной на высоте y' от теоретической нейтральной оси NN' .

Сопоставление полученных кривых позволяет корректировать допущения, принятые в расчетах, и корректировать измеренные деформации.

В любой точке нормальные напряжения σ , будучи умноженными на элемент площадки поперечного сечения dA , дают силы, которые в отличие от внешних сил и сил тяжести условно называют силами и напряжениями. Влияние каждой непрерывной пропорциональной, пересекаемой двумя сечениями, может быть определено по ее силе напряжения, получаемой умножением площади сечения на напряжение, действующее в центре тяжести этой площади. Интегрируем отдельно всех сил напряжений, расположенных выше оси, и отдельно всех сил напряжений, расположенных ниже оси, получим соответственно суммарные силы напряжений выше и ниже оси. Эти силы имеют разные знаки. Одни растягивающие P_r , а другие сжимающие P_s .

и, если не было ошибок в вычислениях, то $P_T = P_x$, или, если интегрирование произведено по всему сечению, то

$$P_T - P_x = \int p dA = 0; \quad (26)$$

Верните моменты всех действующих в данном сечении сил напряжений относительно нейтральной оси или относительно какой-нибудь другой горизонтальной линии, например, относительно оси симметрии листа, получим момент M_x , который будем здесь называть моментом изгиба и:

$$M_x = \int p y dA. \quad (27)$$

Величину этого интеграла можно найти табличным суммированием моментов каждой продольной связи, попадающей в рассматриваемое сечение корпуса корабля.

Дальше для равновесия необходимо, чтобы момент напряжений был равен внешнему изгибающему моменту M_x , величина которого обычно известна; следовательно,

$$M_x = M_{x_0}. \quad (28)$$

Таким образом имеются два важных и взаимосвязанных критерия для проверки сил напряжений, полученных на основании измерений деформаций. Однако эти критерии могут оказаться недействительными вследствие различных ошибок, которые необходимо рассмотреть.

а. Неположительный изгиб и формой изгиб. Чтобы получить полную картину распределения напряжений, разы деформаций должны быть получены по всему поперечному сечению. Этого не было сделано в опытах с миноносцем «Вольф», при которых считалось невозможным установить достаточное количество тензометров на днище. Следовательно, далеко истощенными были и кривые напряжений типа показанных на рис. 22.

В каждой точке необходимо измерять, как было указано в разд. 4, деформации по крайней мере по трем направлениям. В опыте же с миноносцем «Вольф» измерялись только продольные (горизонтальные) деформации, вследствие чего невозможно было вычислить действительные нормальные напряжения. Судя же по опытам с миноносцем «Простон», в которых измерялись всякая рода деформаций, ошибки в измерениях, если принять в расчет только одну продольную деформацию, может достигать от 10 до 15%,¹ для кораблей класса миноносцев.

б. Потеря устойчивости сжатых связей. Потеря устойчивости чаще всего может произойти в палубе, а иногда и в днищевой обшивке кораблей легкой конструкции. Если для таких судов при вычислении на основании замеренных деформаций моментов напряжений предполагалось, что все продольные связи полностью эффективны, хотя в действительности некоторые из них потеряли устойчивость, то вычисленный момент напряжений окажется больше внешнего изгибающего момента. Это особенно верно, если тензометры имеют большую базу, например, если их база равна полной величине палубы. При потере устойчивости такие тензометры измеряют не действительные упругие деформации, которые очень малы, вближенение

¹ Soc. Nat. Acad. Mar. Eng., 1931.

шпангоутов друг с другом. В этом случае упругие деформации и вычисляемые по ним силы напряжений оказываются преувеличенными, а моменты напряжений — большие внешнего изгибающего момента.

В опыте с макетом «Вольф»¹ вычисления по замеренным деформациям и по определенному лабораторным путем модулю нормальной упругости $E = 2.2 \cdot 10^5$ кг/см² моменты напряжений при прогибе оказались значительно большими действительных изгибающих моментов, а именно — на 16% при малой нагрузке и на 34% при большой нагрузке. Это легко объясняется потерей устойчивости палубы, которая за исключением узкого палубного стрингера имела толщину настолько же только 3 мм или меньше 3 мм. При перегибе вычисляемые по замеренным деформациям при малой нагрузке моменты напряжений были примерно на 12% меньше изгибающих моментов, что указывало на коэффициент полезного действия конструкции, близкий единице. Однако по мере увеличения² нагрузки моменты напряжений быстро увеличивались и при наибольшей нагрузке были примерно на 19% больше внешних моментов, что указывало на тот факт, что при этой нагрузке начиналась потеря устойчивости днищевой обшивки.

Если исключить трудно объяснимую разницу между величиной моментов напряжений и внешних моментов при малых нагрузках в условиях перегиба корабля, то во всех остальных случаях эта разница предположительно объясняется потерей устойчивости. База тензометров 810 мм равнялась расстоянию между шпангоутами.

Было приписывает эту разницу, главным образом, скольжение в заклепочных швах, которым он и объясняет фактическое уменьшение модуля нормальной упругости. Однако, как указано в гл. VII, это представляется мало вероятным, так как, в свете последних опытов с заклепочными соединениями, должно было иметь место замедление скольжения при малых нагрузках в условиях прогиба корабля.

Интересный анализ опытом с макетом «Вольф» сделан Хофманом³ (G. H. Hofmann).

Потеря устойчивости создает разницу не только в моментах, но также и в силах напряжений выше и ниже нейтральной оси. При потере устойчивости фактические силы напряжений в соответствующих сечениях уменьшаются и вычисляемые деформации будут преувеличены, если только не будут применены тензометры с очень короткой базой. В этих случаях кривые напряжений, указанные на рис. 22, будут отличаться от идеальных (от прямых), нейтральная ось переместится и проверкой по различию (26) сил напряжения выше и ниже оси нейтрали будет воспользоваться.

в. Ошибки в модуле нормальной упругости. Этот модуль просто определяется в испытательных лабораториях и может считаться хорошо известным для судостроительной стали. Величины этого модуля могут изменяться только в случае изменения структуры металла при помощи специальной горячей обработки или сварки и ковки. Иногда представляются ошибочные предположения, что модуль нормальной упругости меняется, если между измеренными и вычисленными деформациями возникает несоответствие — вследствие ли потери устойчивости или скольжения в заклепочных соединениях. В этих случаях говорят о кважущемся или действительном

¹ Изв. Нав. Адм., 1903.

² Таме. Изв. Нав. Адм., 1926.

модуле упругости, но предпочтительнее называть источник ошибок своим именем или оговаривать, что он неизвестен.

При модельных испытаниях, если конструкции модели сделаны из нержавеющей стали, величина модуля упругости может значительно изменяться. В зависимости от качества и обработки материала модуль нормальной упругости может значительно изменяться с изменением пропорций напряжений в результате повторных циклов нагрузки. Последствия этого в материале модели после ряда быстро меняющихся сил нагрузок при ее изгибе может обнаружиться большой модуль упругости в районе нейтральной оси, чем обычно в наиболее напряженной части конструкции.

Допущенная в модуле упругости ошибка сама по себе не влияет на примерку по разнице сил напряжений, но, как это имело место в опытах с минносцем «Вольф», при наличии этой ошибки разница между моментами напряжений и моментами моментами будет нарушена.

2. Сравнение измеренных и расчетных прогибов. Замеренные прогибы от общего изгиба при жестких и податливых экспериментах должны сравниваться с теоретическими, вычисленными по выражению (23). В исключительных случаях, если требуется большая точность и если свободная длина корпуса плавника при относительно большой его высоте, необходимо учитывать прогиб от срезывающих сил, определяемый выражением (24).

Величины прогибов зависят от жесткости сечений, измеренной произведением модуля на момент инерции сечения (EJ). Величина модуля E , как указано выше, может считаться известной и постоянной; что же касается момента инерции J , то его величина зависит от степени эффективности швовных связей корпуса, входящих в состав рассматриваемого сечения. Эта степень эффективности уменьшается в случае потери устойчивости связей, а при очень высоких напряжениях она может уменьшаться и последнее склонение в заклепочных швах. Это склонение, однако, не может быть значительным, если напряжения в заклепках не превышают величины порядка 960—1100 кг. Таким образом потеря устойчивости листов и значительно большей степени, чем склонение в заклепках, является основной причиной, влияющей на увеличение прогибов.

В опытах с минносцем «Вольф», если считать, что J имеет величину, определенную для материала в лаборатории, измеренные стрелки прогиба получились значительно большими, чем они должны были бы быть уже при очень малых нагрузках. Эта разница между теоретическими и измеренными прогибами была отнесена за счет склонения в заклепочных соединениях, хотя действительные напряжения были меньше 350 кг на квадратную единицу, кроме вертикального килья и палубы в районе миделя, где они достигали 1100 кг.

Этот вопрос может быть выяснен только путем дальнейших и более полных опытов. При анализе опытов с минносцем «Престон», когда измерялись ресы деформаций по всему сечению и в разных частях корабля, было отмечено, что при надлежащей форме эффективности различных связей величина модуля упругости, определенная из соотношения расчетных и измеренных прогибов и моментов приложения, очень близка к величине, определенной для материала, а именно — равна $2,05 \cdot 10^6$ кг (см. доклад автора¹).

¹ Soc. Nav. Arch. Mar. Eng., 1931.

12. Нарушение непрерывности конструкций¹

В конструкции корпуса корабля нарушение непрерывностей конструкций, во многих случаях неизбежное, всегда являются источником концентрации напряжений. Надо научиться основную причину концентрических напряжений и посмотреть, как ее можно ограничить допустимыми пределами. Чтобы сделать важность этого вопроса, достаточно сослаться на трещины, часто получающиеся в углах рубок и люков на прочной палубе, которые являются началом причиной серьезных разрушений корпуса. Подобное ослабление конструкции часто

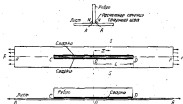


Рис. 23.

проявляется у конца полубака и при разрыве продольных переборок на быстроходных кораблях. Серьезные ослабления конструкций также получаются на крейсерах, во которых легкая бортовая броня используется в работе корпуса и винзапно заканчивается, образуя разрыв в жесткости конструкции.

На линейных судах часто наблюдается разстройство заклепок на концах коротких продольных днищевых балок. В заклепочных соединениях в первую очередь перенапрягаются наружные ряды заклепок.

На рис. 20 видно, как у концов рубок и пропольной переборки, соединенных с прочной палубой, линии напряжений последовательно концентрируются и изменяют кривизну и стущаются. Чтобы выяснить основные факторы, связанные с рассматриваемым явлением, полезно вначале проанализировать простейший случай.

1. Основной случай. Рассмотрим длинный прямоугольный лист, к которому прикреплен с одной стороны короткий ребро (рис. 23). Если этот лист подвергнут растяжению, то ребро будет также привлекаться к участку и утолщению листа сдвигающимися усилиями, которые будут действовать вдоль сварного шва по линии СР. Чтобы не осложнять анализа, изгибающим моментом, возникающим из-за eccentricитета передачи усилий, будем пренебрегать. При опытом исследовании

¹ См. работы автора: «Метод теории распределения срезывающих изгибаний в зажимочных и сварных соединениях и ее применение к проектированию конструкции переборок», Изв. Кн. Асп., London, 1931; «Распределение напряжений в продольных сварных планах», Изв. ИАН. and Phys. Мат. Зап. Техн., vol. XIII, № 2, Март 1934.

необходимо установить ребра как на верхней, так и на нижней сторонах листа, так как в корпусе корабли связи, соответствующая листу, удерживается от изгиба в своей плоскости шпангоутами и соседними конструкциями.

Приводимое ниже исследование и его общий выводы относятся к принципам таких и к клепаной конструкции, хотя распределение напряжений в этом случае не будет таким же постоянным и идеальным, как при сварке. Исследование сплошными лишь при напряжениях, не пренебрегающих предела упругости материала, и относится одинаково как к растяжению, так и к сжатию, если в последнем случае не происходит потеря устойчивости.

Последние длины ребра, в точке O , вследствие симметрии, будут отсутствовать смещения ребра относительно листа, а следовательно, здесь будут отсутствовать и касательные напряжения между ребром и листом. Во всех прочих сечениях смещение ребра по отношению к листу будет наблюдаться, и, следовательно, возникнут сдвиги и касательные напряжения τ вдоль расчетного сечения сварного шва AN . Эти смещения (сдвиги) и касательные напряжения будут наибольшими у концов ребра. Предположим, что в каком-нибудь сечении, находящемся в расстоянии x от начала координат O , среднее смещение пропорционально действующему в этом же сечении сварного шва касательному напряжению τ_0 ; тогда, следовательно, можно написать

$$\text{смещение} = \mu \tau_0 \quad (29)$$

где μ — коэффициент смещения, который предполагается постоянным для данной конструкции, но может быть разным для разных конструкций.

Принятая пропорциональность между смещениями и напряжениями была подтверждена, хотя окончательно не установлена, экспериментальным путем, и значение коэффициента μ было определено для некоторых простых случаев.

Касательными напряжениями часть нагрузки листа передается ребру, причем действующие в каком-либо сечении средние растягивающие напряжения в листе будут изменяться от максимума на кромках листа до минимума у сварного шва, а в ребре — от максимума у сварившего до минимума на верхней кромке ребра.

Пусть:

$L = OD$ — длина ребра;

A — площадь сечения листа;

a — площадь сечения ребра;

α — площадь расчетного сечения единицы длины сварившего шва AN ;

E — модуль упругости листа и ребра;

r — равномерное растягивающее напряжение на концах листа;

$m = \sqrt{\frac{\alpha(A+\alpha)}{a\mu E}}$ — коэффициент, не зависящий от нагрузки листа.

Согласно выводам, полученным в указанных выше работах автора, кривизнующее напряжение в сварном шве в расстоянии x от начала координат определяется выражением:

$$\varphi_x = \frac{F}{\pi r^2 S} \frac{\sin \frac{\pi x}{L}}{\sin \frac{\pi a}{L}} \quad (30)$$

Наибольшее значение касательного напряжения, которое получается при $x=L$, равно:

$$q_L = \frac{\rho \nu h \cdot \sigma L}{\pi r^2 E}. \quad (31)$$

Как видно из рис. 24, где приведены соответствующие кривые, полученные экспериментальным путем, кривая значений q , имеет гиперболический характер. Кривая A , от точки O очень медленно поднимается почти до самого конца ребра; у конца ребра она круто нарастает

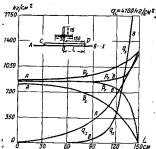


Рис. 24. Кривые напряжений:

$$\begin{aligned} L &= 150 \text{ см}; A = 17 \text{ см}^2; h = 20 \text{ см}; \\ \rho &= 0,65 \text{ кг/см}^3; \mu = 100 \text{ см}; E = 21 \times 10^6 \text{ см}; \\ A : \nu &= 0,2 \cdot 10^{-3}; B : \mu = 0,5 \cdot 10^{-3}. \end{aligned}$$

до своего максимума. Даже при умеренной нагрузке напряжение q , может достичь предела текучести, после чего устанавливается более равномерное распределение напряжений. Если материалы сварного шва твердый и имеют малую пластичность, то коэффициент ρ будет малым, и соответственно смещение стеки волна будет малым. Но по концам ребра касательные напряжения будут быстро нарастать, достигая своего максимума, что иллюстрируется кривой B рис. 24. Кривая A относится к случаю, когда коэффициент ρ имеет большее значение, т. е. к случаю более пластичного материала сварного шва. В этом случае напряжения получаются более умеренными.

2. Предельные балки корпуса. В рассмотренном выше случае к листу по концам были приложены равномерно распределенная нагрузка, которая при отсутствии ребра вызвала бы в листе равномерное напряжение β . В корабле нормальные напряжения в связях корпуса изменяются в соответствии с изменением величины изгибающего момента. Для иллюстрации приведем, что изгибающий момент в некотором

либо сечения корпуса связаны с изгибающим моментом по индексе M_1 , параболическим законом:

$$M_x = M_1 = Kx^2, \quad (32)$$

где K — постоянная величина.

Этот закон приближенно соответствует случаю нахождения корабля на волнистом или на подводном стадионной волне. Нормальные напряжения в палубе или днище, в районе примерно средней полосы длины корпуса, могут быть представлены выражением:

$$\rho'_z = \rho'_0 - Cx^2, \quad (33)$$

где

$$\rho'_0 = \frac{M_0}{I}; \quad C = \frac{Kx}{I}. \quad (34)$$

Обозначения I и x имеют те же значения, что в обычной формуле для изгиба. Изгибающие моменты и нормальные напряжения являются максимальными из индексов.

Рассмотрим днищевую стрингер при нахождении корабля на подводной волне. Балка предполагается идущей за длине L в нос и в корму от индекса. В этом случае, как было выведено в работе автора, указанной в списке на стр. 36, наибольшее касательное напряжение у концов балки определяется выражением

$$\varphi_1 = \frac{\pi m \delta}{m k E} \left[\rho'_0 - CL^2 + \frac{2C}{\pi^2} (\pi L \sqrt{mL} - 1) \right]. \quad (35)$$

Если стрингер простирается до окончаний корпуса, где напряжения от изгиба корпуса пренебрежимо маль, то он тем самым как бы защищен к неизнаненным частям и составляет одно целое со всей конструкцией корпуса. Нормальные напряжения в нем на всей длине будут близки к напряжениям в листовых панелях. При более коротком стрингере, который все же для простоты будем предполагать симметрично расположенным относительно индексов, касательные напряжения по линии его скрепления с днищем будут увеличиваться от нуля на индексе до максимума φ_1 на концах. Если представить себе, что стрингер уменьшается по длине, то напряжения на его концах будут увеличиваться до некоторого уменьшающейся длины, а при дальнейшем укорачивании стрингера напряжения φ_1 будут быстро падать, приближаясь к нулю за индекс.

На рис. 25 показаны величины и характер изменения касательных напряжений φ_1 для полуудлиненных днищевых стрингеров, прикрепленных к днищу на корабле, длиной 153 м, если полуудлинка L изменяется в прелатах от 4,3 до 49 м. Кривая φ_1 проходит через точку, соответствующую максимальным значениям касательных напряжений φ_1 для стрингеров разной длины. Здесь же даны кривые изгибающих моментов M . Максимальные напряжения изменяются от величины 690 от при длине $L=49$ м до величины 2000 от при длине $L=4,3$ м. Если стрингер делать еще короче, то максимальное значение напряжения φ_1 резко падает.

Этими объясняются, почему на нефтеналивных судах заклепочные соединения на концах продольных днищевых балок бортиной системы часто восстанавливаются. Таких недопустимых концентраций напряжений можно избежать или, по крайней мере, уменьшить на различ-

иу скосом стрингеров у концов и увеличением врезания их концов к палубе за счет увеличения площади сечения заклепок или спарки.

3. Рубка. Рассмотрим рубку, находящуюся на прочной палубе в средней части корабля, как показано на рис. 20, и предположим, что корабль находится в условиях перегиба, т. е. на верхние волны. Палуба подвергается двум главным деформациям: она растягивается и в то же время загибается с кривизной, несколько меньшей, чем кривизна нейтральной оси. Рубка участвует в обеих этих деформациях.

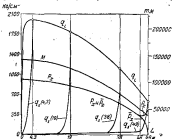


Рис. 20. Краевые напряжения по стрингерам, приложенные к листам:
 q_x —поперечные касательные напряжения для стрингеров различного типа; q_y —напряжения в струнках; q_z —напряжения в листах листа; M —общий изгибающий момент.

Растяжение палубы, наибольшее в средней части корпуса, обуславливает наличие касательных напряжений в листах комингса бортовых рубок. Каждый борт рубки будет вести себя так же, как и ребра рассмотренного выше основного случая. В срединно длиной рубки сдвиг будет отсутствовать, у концов ее он будет максимальным и будет стремиться вызвать трещины в палубе и в бортах рубки у ее узлов. На практике было отмечено много случаев появления таких трещин, особенно в листах комингсов под дверями. Касательные напряжения между комингсами в палубе вызывают в бортах рубки растягивающие напряжения. Эти напряжения возникают из растягивающие напряжения, обусловленные изгибом палубы вместе с рубкой¹. Согласно теории изгиба, поперечные сечения рубки, а следовательно, и ее передней и задней переборки должны оставаться нормальными к прочной палубе и нормальными растягивающие напряжения в сечениях надстройки должны линейно увеличиваться от верхней палубы к палубе рубки, пропорционально растяжению от нейтральной оси. Так как рубка имеет большую высоту, то напряжения в ее передних частях могут быть весьма большими. И рубка, имеющая легкую конструкцию, этот закон не будет соблюдать строго, но все же

¹ J. Foster King, On Large Deckhouses, Inst. Nav. Arth., 1912.

на практике из многих кораблей наблюдалось серьезные повреждения рубок в виде трещин в углах окон и нарушения непрерывности в верхних частях рубок.

Обычно все перекрещение в нижних и в верхних частях рубок корабельные инженеры приписывали непосредственно напряжением от изгиба. Мерой против повреждения рубок, впервые предложенной 50 лет тому назад А. Денни¹ (Denny) и последствии осуществленной на большом числе кораблей, было применение расширительных (скользящих) соединений в палубе и в бортах рубок. Скользящие соединения подразделяют надстройку на две или более конструктивно не связанные короткие части, чем разгружают ее от изгибающих напряжений. Поперечная плоскость, проходящая через конец скользящего соединения, свободна от нормальных напряжений и не остается под скосом и нормальной к прочной палубе, как это должно было бы быть согласно теории изгиба. При изгибе корпуса эта плоскость наклонится по направлению к мидилю, и вследствие этого продольные напряжения в верхних связках рубки усиняются. Однако этот благоприятный эффект скользящих соединений несколько не уменьшает концентрации касательных напряжений между листами комингсов надстройки и верхней палубы. Действительно, если скользящие соединения расположены не очень близко друг к другу, не ближе, чем это обычно практикуется, то концентрация напряжений проявится не только у концов рубок, но также у концов каждой ее секции, т. е. в районе каждого скользящего соединения. Однако больших касательных напряжений у концов рубок можно избежать увеличением площади сечений заклепок или сварных швов и утолщением палубного настила и комингсов рубки. При наличии этих мер скользящие соединения окажутся выгодными с точки зрения уменьшения нормальных напряжений в верхних связках рубки, которые в этом случае могут иметь достаточно легкую конструкцию, поскольку это допустимо по другим соображениям.

Продольная переборка в районах, примыкающих к верхней палубе или к днищу, будет вести себя подобно надстройке. Если такие переборки оканчиваются в сечении корпуса, в котором напряжения от его изгиба еще значительны, то нарушение непрерывности необходимо усилить постепенным сужением конструкции переборки, протягивая эту сужающуюся конструкцию достаточно далеко к оконечностям корпуса.

4. Луки. Рассмотрим случай, показанный на рис. 20, где несколько больших люков в прочной палубе нарушают непрерывность средних поясов настила этой палубы, в то время как бортовые пояса ее настила остаются непрерывными. Обычно люки подкреплены комингсами, которые часто соединяются с шахтами, идущими до палубных кадетров, благодаря чему жесткость комингсов люков увеличивается. Листы настила палубы между люками обычно делаются меньшей толщиной, чем непрерывные пояса спаруже люков.

Если настил палубы подвергается растяжению, то подкрепляющие люк комингсы AB , CD и EF , показанные на рис. 26, будут сопротивляться удлинению, как отдельные балки, и в результате в углах любых получится концентрации касательных напряжений. В то же время легкие листы между люками будут подвергаться сдвигу вправо либо

¹ Inst. Nav. Arch., 1913.

ний ВС и ВЕ, вследствие чего в углах луков В, С, D и Е возникает другая система кисательных напряжений. Этим объясняется появление трещин в углах котельных и машинных луков в прочих полубаках. Мерой для предотвращения этого является утолщение листов и зауглление углов у концов луков. Эти явления имеют особенно большое значение для быстрогодовых кораблей легкой конструкции, как, например, для миноносцев, подвергающихся большому кручению, которое создает дополнительную концентрацию напряжений в углах парусов.

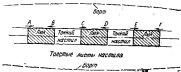


Рис. 26. Напряжения в углах луков.

б. Грунтирование прерывистых конструкций. Часто в конструкции корпуса крейсеров и миноносцев, особенно когда они имеют короткий полубак, неизбежно неблагоприятное группирование прерывистых связей. Обычно полубак заканчивается впереди носовой трубы, т. е. убываю переборки носового котельного отделения. Непосредственно перед этой переборкой помещаются главные топливные систерны, подразделенные продольными переборками, доходящими до попечной переборки носового котельного отделения. На легких крейсерах бортовая броня, обычно работающая в составе прочного корпуса, заканчивается около переднего конца носового котельного отделения, которое она защищает.

Таким образом на этих кораблях, естественно, получается нежелательное сочетание прерывистых конструкций корпуса. Корпус в районе котельного отделения представляет собой тонкостенную широкую трубу, которая сокращается у носовой переборки с очень жесткой конструкцией корпуса, подкрепленной продольными и попечевыми переборками и башмакообразным полубаком. Если в этом районе разошь прерывается бортовая броня, то получающееся нарушение непрерывности конструкций корпуса еще больше уменьшается. Необходимо при этом учсть, что рассматриваемый район корпуса подвергается особенно большим динамическим изгибющим и скручивающим усилиям при ходе корабля против волны.

Совершенно необходимо, насколько возможно, устранить и смягчать такие нарушения непрерывности конструкции корпуса. Для этого необходимо, чтобы утолщенные связи (полубиний стрингер, ширстрик, кильевые и движущие пояса обшивки) хорошо перекрывали этот район, постепенно уменьшаясь по своей толщине. Бортовая броня должна быть достаточно протянута в нос от этого района с постепенным уменьшением ее толщины.

В 1924 г. лайнер «Мажестик» («Majestic», б. «Император»), совершивший рейсы из Атлантической пассажирской линии, получил такой

повреждение своей верхней палубы, которое сделало опасным его дальнейшее плавание.

Этот случай особенно интересен тем, что судно было построено по правилам классификационных обществ и должно обладать достаточной общей прочностью, следовательно, авария его корпуса могла произойти только вследствие недостаточной местной прочности. Действительно, в средней части этого судна создались неблагоприятные условия, нарушающие непрерывность конструкции в верхней прочной палубе корпуса: вырезы с острыми углами для дымоходов и вентиляторов, вентиляционные шахты, расширительные соединения в находящихся за верхней палубой надстройках, образцы подпалубных балок и стаканы накладки листов полубокового стрингера оказались на линии разрыва палубы, как это видно на рис. 27. На левом борту разрыв распространялся вниз по ширстреку, где он был остановлен крутыми портами, вероятно, покрываемыми утолщенными листами.

Разрушение, во всей вероятности, началось у бортового угла выреза для дымохода и затем начало распространяться на толстые удвоенные листы стрингера. Так как эти листы были покрыты сверху деревянным настилом, а снизу были закрыты подволокой салона, то разрушение их не было замечено, пока летом 1924 г. не произошло разрушение средней части палубного настила, имеющего толщину 16 мм, по линии А—А. Окончательное разрушение стрингерных листов и части ширстрека произошло в декабре того же года при плавании корабля в бурную погоду. При этом был слышен громкий звук, напоминающий выстрел, после чего обследование обнаружило полное разрушение прочной палубы от одного борта до другого. Подробное описание и интересная дискуссия этого случая даны Эльзбергом (E. Ellsberg) в журнале «Marine Engineering» за август 1925 г.

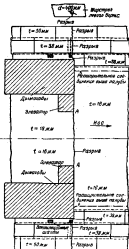


Рис. 27. Вид на верхнюю прочную палубу яхты «Мавритан» в районе разрыва ее сквозь.¹⁾

В 1929 г. совершенно такое же разрушение прочной палубы произошло на другом почти таком же по своей конструкции лайнере «Левиафан»¹ («Leviathan»). Произведенные лабораторные испытания материала свидетельствовали о разрушении материала от усталости, как то можно было заключить по кристаллической структуре металла в каждом из всех изогнутых листов.

Вместо пластической деформации и макрозеринистой (шлаковистой) структуры, которых можно было ожидать от пластической (вязкой) стали, в разрыве была обнаружена крупнозернистая хрупкая сталь, указывающая на разрыв от усталости, произошедший в основном от большой концентрации напряжений, при которой был превышен предел текучести материала. Однако важно отметить, что даже в без усталости и нагружения не обнаруживаются сколько-нибудь заметные признаки пластической деформации, если разрыв, начавшийся с местной трещины, происходит вследствие прогрессирующего растяжения.

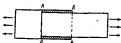


Рис. 28.

Известно, что в многослойных заклепочных швах, если напряжения не превышают предела текучести, наиболее нагруженными являются залепки крайних рядов. Несколько объяснений этой особенности распределения нагрузки между рядами залепок было дано, но легко видеть, что она является прямым следствием общего положения, изложенного в этой главе.

На рис. 28 показано соединение внакрой двух листов фланговых валиковыми швами. Когда такое соединение растягивается, то наибольшие касательные напряжения будут в концевых точках А и В сварного шва, а наименьшие — в некоторой промежуточной точке, положение которой зависит от отношения толщины соединяемых листов. В заклепочном соединении распределение нагрузки будет следовать такому же закону, что и в сварных швах.

Математический анализ работы шва внакрой, иллюстрированный численными примерами, дан в упомянутой на стр. 56 работе автора и рассматривается в разд. 41 настоящей книги.

7. Общие замечания и заключение. На корабле можно легко найти много различных случаев нарушений непрерывности конструкций, однако приведенные выше Примеры в достаточной степени вносят сущность и важность затронутого вопроса. В практике кораблестроения главное внимание обычно уделяется нормальным напряжениям. Учитывается также концентрация этих напряжений в острых углах переходов и в местах нарушения непрерывности сечений и принимаются меры для уменьшения степени концентрации напряжений, как, например, закругляются углы, устанавливаются ютицы или применяются другие конструкции. Однако не всегда уделяется должное внимание вопросу о передаче главных напряжений в районах нарушения непрерывности конструкций через касательные напряжения. Благодаря касательным напряжениям отдельные сайды составной конструкции ра-

1 J. L. Wilson, "The s.s. 'Leviathan', Damage, Repair and Strength Analysis", Soc. Nav. Arch. Mar. Eng., 1930.

ботают совместно. При изгибе корпуса его борта, т. е. стены балки, передают растягивающие и сжимающие продольные усилия палубе и днищу, т. е. поясам балок, посредством сдвигов. Продольные усилия шарфстрека передают касательные напряжения через кромку палубы палубному стрингеру. Касательные напряжения проводят к участку в работе корпуса продольные связи днища и палубы в настройки палубы. При выполнении этих функций касательные напряжения распределяются неравномерно, и особенности в местах присоединения к главной конструкции коротких конструкций, у концов которых развивается концентрация этих напряжений.

Чтобы избежать больших местных перенапряжений, продольные балки и конструкции, присоединяющиеся к палубе и днищу, должны по возможности непрерывно протягиваться вдоль в морю и заканчиваться в тех сечениях корпуса, в которых изгибывающие моменты, а следовательно, и напряжение от его изгиба, имеют малую величину. В этом случае конструкции включаются в общую работу корпуса и распределение напряжений в них будет такое же или очень близкое к тому, какое устанавливается в испрещенных сроках при общем изгибе эквивалентного бруса.

В случаях присоединения коротких сайдов по избежание чрезмерной концентрации напряжений необходимо предусмотреть у них какое усиление конструкции и увеличение работающей на срез площину сечения заклепок или сварного шва.

Математический анализ рассматриваемого здесь вопроса очень громоздок и выходит из рамок этого труда. Интересующие этим вопросом могут найти соответствующий материал в трудах, указанных в начале этого раздела.

ГЛАВА III

ПОПЕРЕЧНАЯ ПРОЧНОСТЬ

На больших линейных кораблях и крейсерах поперечная прочность обеспечивается поперечными переборками корпуса и не нуждается в специальной проверке, за исключением очень широких кораблей для случаев постановки их в доке. Вопрос о поперечной прочности на миноносцах надо рассмотреть; но особенно важное значение этот вопрос приобретает для подводных лодок, для которых ее требует как теоретического, так и экспериментального изучения.

10. Поперечная прочность корабля в доке

1. **Общая передача нагрузки конструкцией корпуса.** Прочность гладких поперечных переборок, если рассматривать их как балки, на больших кораблях является самым большим трофеем поперечных шпангоутов, почти всегда интереснейших в районе днища. Поэтому можно вообще пренебрегать шпангоутами и с достаточной точностью считать, что только переборки оказывают эффективное сопротивление поперечному изгибу и срезу корпуса корабля.

Рассмотрим, каким образом при стоянке корабля в доке вес корабля передается на кильблоки. Вес брони и другие веса, поддерживаемые бортами выше броневого щельфа, передаются на борты, которые представляют собой весьма тяжкие и жесткие балки. Верхние концы водонепроницаемых флюзов, установленных в плоскости переборок и являющихся частями их конструкции, доводят до броневого щельфа и образуют опоры для бортовых конструкций. Все палубы и толстого того, что они поддерживают, передаются бортами, пиллерами и второстепенными переборками на главные трофеи поперечные и продольные переборки. Вес угля и нефти в бортовых ямах и других грузах, расположенных вблизи бортов, поддерживается набором днища, с которого и передается на переборки. Весь грузы, расположенные в районе диаметральной плоскости, как, например, механизмов, артиллерийских башен, погребов и др., передаются или непосредственно на киль и соседние с ним конструкции и отсюда непосредственно на кильблоки или передаются через переборки и пиллеры, не вызывая ламентных поперечных изгибов конструкций корпуса; эти веса, однако, обычно не превосходят 25% общего веса корабля.

При докировании корабля одновременно на центральные и боковые кильблоки поперечные переборки оказываются опорами в трех-четырех точках и вообще не будут испытывать значительных напряжений. Продольные бортовые переборки, если они размещаются непосредственно над боковыми кильблоками, — а это так и должно быть,—

няются главными конструкциями, передающими нагрузку на кильблоки. Они, вероятно, снижают большую часть нагрузки с главных поперечных переборок и практически всю нагрузку с переборок бортовых отсеков и передают эти нагрузки на боковые кильблоки. В общем можно утверждать, что при наличии боковых кильблоков, надлежащим образом установленных под продольными переборками, поперечные напряжения корпуса корабля в доке будут умеренными. Однако на современных больших кораблях шириной не по сравнению с высотой главных поперечных переборок настолько велика, что даже при двух рядах боковых кильблоков с каждого борта при некоторых обстоятельствах нагрузка на поперечные переборки может быть все же очень значительной. Смещающаяся за внешними кильблоками часть поперечной переборки нагружена не только весом брони и топлива в бортовых системах, но также весом конструкций бортов, плавучих стрингеров и всех грузов, расположенных вблизи к борту. Таким образом поперечная переборка представляет собой консольную балку, нагруженную большим изгибающим моментом и большой срезающим силой, действующими к борту от кильблоков. Условия загрузки поперечных переборок особенно ухудшаются, если корабль имеет полный груз топлива, обычно помещаемого в бортовид бутикерях.

Особое внимание должно уделяться сечениям корабля в местах сопряжения боковых кильблоков в носу, корме, где внутренним донным килем приходится поддерживать соответственно большую смещающуюся нагрузку.

На современных линейных кораблях с центральными башнями должно быть обращено особое внимание на правильную передачу со средоточенного веса башни и переборок боевоза на кильблоки. Лучше всего установить непосредственно под бербетами килевую из поперечных и продольных переборок. Здесь рекомендуется иметь одну центральную в по одной бортовой продольной переборке, а донные кили — непосредственно под последними.

Если корабль докируется только на среднюю донную дорожку, то сравнительно большая часть веса должна быть передана вертикальными килем на поперечные переборки, которые поэтому на больших и широких кораблях будут подвергаться большим изгибающим и срезающим усилиям. В этом случае продольные переборки будут играть роль вспомогательных балок, передающих веса на поперечные переборки. На таких кораблях в общем случае достаточно проверять прочность поперечных переборок в средней части корпуса, где они расположены реже и шире, их поперечная.

2. Расчет прочности поперечной переборки при постановке корабля в док на среднюю дорожку. Для расчета выбраны главные поперечные переборки в средней части корпуса, обычно находящиеся между двумя котельными отделениями, а также и соответствующие нагрузки, приходящиеся на эту переборку. Так как трудно учесть закон распределения нагрузки на переборку, то необходимо, чтобы принимаемые при этом допущения были одинаковыми для различных сравниваемых случаев постановки кораблей в док. Переборку можно рассматривать как высокую и короткую балку, опертую посередине и загруженную на ее свободных смещающихся частях длины. Изгибающие моменты могут быть определены таким же графическим способом, какой применяется для определения изгибающих моментов, смещающихся общий продольный изгиб корпуса.

Момент инерции должен быть вычислен для среднего сечения переборки, в котором действует наибольший изгибающий момент. В сечении переборка должны быть включены поперечные фланги под переборкой и пояса наружной обшивки и внутреннего дна шириной, равной 30 толщинам (разд. 20). Если переборка, расположенная выше броневой палубы, идет от борта до борта и лежит непосредственно над главной переборкой, то ее следует учесть при подсчете момента инерции сечения; если же эта переборка не идет от борта до борта, то в расчет она не принимается. Палубы, непосредственно связанные с переборкой, т. е. броневая палуба и на некоторых кораблях вторая палуба, должны учитываться как пояса шириной 30 толщинам. Подщерсткой, которую переборка может получать через борта от непосредственно с ней несоединеной перекладины палубы, как неопределенной и позначительной, можно пренебречь. После того как найден момент инерции сечения переборки, можно определить обычным путем напряжение в ней.

Этот метод расчета неизбежно является весьма приближенным, но он может дать указания как для конструирования переборки и ее соединений с остальными связями, так и для решения вопроса о постановке корабля в доке.

Пример. Корабль водоизмещением 16 300 т доводится только на средний тиль. Наиболее опасное изгижение в концевой переборке, делящей во броневой палубе и расположенной между котельными отсеками, бортовая артиллерийская башня 8-дюймового калибра находится посты непосредственно над переборкой на каждом борту (рис. 29).

Нагрузку на переборку считают равной весом всех грузов на корабле в пределах длины котельного отсека, исключая 20% веса корабля и броневой палубы, который передается продольной диаметральной переборкой непосредственно вниз.

Общая нагрузка, действующая на переборку, составляется из следующих весов (в тоннах):

корпус, снаряжение и экипаж	189
броневая палуба	54
одна башня с подъемниками и боеприпасами	162
бортовая башня	113
утол	297
котлы с дымоходами	168
общий вес из один борт переборки	829

Кроме нагрузки, а также построенные краевые срезывающие силы и изгибающие моменты показаны на рис. 29.

Для среднего сечения переборки:

изгибающий момент	$M = 6300 \text{ кн}\cdot\text{м}$
коэффициент инерции	$I_b = 11400 \text{ см}^4/\text{м}^2$
расстояние наибольшее удаленной точки сечения от центральной оси	$y = 4,55 \text{ м}$
максимальное (сжимающее) изгибающее	$M = \frac{I_b}{y} \cdot 4,55 X$ $X \cdot 10^4 = 2400 \text{ кн}$

Статический момент лежащих сечений, лежащих по одну сторону центральной оси, относительно этой оси $J_0 = 1660 \text{ дм}^4$; сжимательные, касательные напряжения

$$\psi_0 = \frac{M y_0}{J_0 I_b} = \frac{1660 \cdot 820}{0,5 \cdot 11400} \cdot 10 = 1400 \text{ кн},$$

главные нормальные напряжения, растягивающие и сжимающие, у центральной оси равны $1,3 \cdot \psi_0 = 1820 \text{ кн}$.

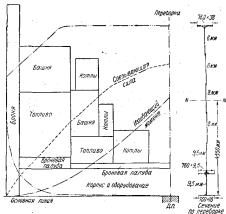


Рис. 20. Прочность поперечной переборки при постановке корабля в док на одну среднюю дверь.

Критическое сжимающее напряжение, при котором ставится возможной потеря устойчивости листов переборки, определяется по формуле (36):

$$\sigma_0 = 7,5 \cdot 10^4 \left(\frac{t}{a} \right)^2,$$

где

$$a = \sqrt{\frac{2}{V}},$$

т.е. $a = 122$ см — расстояние между стойками переборки;
 $t = 0,8$ см — толщина листов у нейтральной оси.

Отсюда

$$\sigma_0 = 2 \cdot 7,5 \cdot 10^4 \left(\frac{0,8}{122} \right)^2 = 650 \text{ кг.}$$

Так как действительное сжимающее напряжение получилось выше в три раза больше, то будет возможна потеря устойчивости листов переборки.

Сжимающее напряжение в днищевых панелях и стыков обшивки нейтральной оси вычисляется по выражению (из 13):

$$\text{Нейт.} \varphi_0 = n \frac{\pi d^2 V}{4} \varphi_0$$

где m — шаг заклепок;

n — число рядов заклепок;

d — конфигурация, учитывающая уменьшение диаметра заклепочных отверстий против диаметра заклепок;

φ — срезывающее напряжение и заклепок.

При двух рядах заклепок диаметром $d = 10$ мм, при $m = 4$ и при $\varphi = 1,1$, получим:

$$\delta = \frac{4 \cdot 0,3 \cdot 2 \cdot 1400}{n \cdot 1,6 \cdot 1,3} = 1400 \text{ ам},$$

что близко к приему текучести листовки из огн.

Надо, что полученные напряжения в переборке чрезмерны; это указывает, что корабль этого типа и размеров не может доказаться лишь на одну среднюю кильевую дорожку, даже если учесть некоторое благоприятное влияние поперечного набора. Действительно, корабль, рассмотренный в этом примере, имеет бортовые доковые ютии.

14. Прочность замкнутого шпангоутного кольца (Общее решение)

Шпангоут предполагается плоским, причем в этой же плоскости находится действующие на него внешние силы. Эти силы могут быть распределенными, как, например, силы плоскости и объемные силы, или же сосредоточенными в виде сосредоточенных грузов, или реакций паллера, переборок, кильблоков и др. Форма шпангоутов может иметь непрерывно меняющуюся кривизну, или содержать точки разрыва кривизны, как, например, в местах притыкания палубных блоков.

1. Метод деформаций. Если шпангоут имеет замкнутую криволинейную форму, то внутренние силы напряжений и равнодействующую пару (равнодействующий момент напряжений) можно предварительно определить для любого сечения, если проинтегрировать по всему шпангоутному кольцу угловые и линейные деформации и приравнять полученные интегралы нулю. Это дает три уравнения, достаточных для определения двух сил напряжения (нормальной и перегибающей) и момента напряжений (изгибающего) в сечении, выбранном за начало координат.

Хотя кривизнанейтральной оси резко изменяется в районе бимсовых ютий или бразов, но поскольку при напряжениях ниже предела текучести угол между касательными в смежных точках не изменяется больше, чем на бесконечно малую величину первого порядка, то интегрирование можно выполнять отдельно для каждой части с каждой стороны этих особых точек, а затем результаты просто суммировать.

Рассматриваемый метод расчета несправедлив, если изменяются основные предположения, что в какой-либо точке понейтральной оси шпангоутного кольца может наблюдаться явление текучести материала.

Пусть показанная на рис. 30 замкнутая кривая ОАО представляет собойнейтральную ось замкнутого шпангоута произвольной формы, нагруженного системой известных сил, при которых наибольшие напряжения в шпангоуте не превосходят предела упругости материала. Примем точку О за начало координат; касательную к обводу шпангоута в этой точке будем считать осью абсцисс ОХ и нормаль к ней —

осью ординат OY . Примем эти координатные оси неподвижными в пространстве. Перемещения относительно осей могут иметь все точки шлангоута, кроме сечения с началом координат, которое предполагаем жестко заданным; следовательно, OX остается все время касательной к нейтральной оси в точке O .

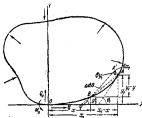


Рис. 30.

Возьмем какую-либо точку A на шлангоуте с начальными (до расположения сил) координатами x_A и y_A ; касательная в этой точке к кривой образует с осью OX угол Θ_0 . После деформации эта касательная повернется на угол $\Delta\Theta$, и координаты точки получат приращения Δx и Δy . Эта деформация происходит частично вследствие изгиба шлангоута, а частично — вследствие действующих в сечениих осевых и срезывающих усилий. С достаточной для практики точностью можно ограничиться рассмотрением лишь деформаций от изгиба.

Изгибающий момент для балки, имеющей первоначальную кривизну, определяется следующей приближенной формулой:

$$M = EI \left(\frac{1}{R} - \frac{1}{r} \right), \quad (35)$$

где r и R — радиусы кривизны соответственно до и после изгиба.

Зависимости между радиусом кривизны, длиной элемента балки и соответствующими ей центральными углами до деформации и после деформации будут (рис. 31):

$$rd\Theta = ds; \quad R(d\Theta + \Delta d\Theta) = ds + \Delta ds.$$

Пренебрегая растяжением элемента Δds ¹, получим:

$$\Delta d\Theta = \frac{ds}{R} = d\Theta - \left(\frac{1}{R} - \frac{1}{r} \right) ds.$$



Рис. 31.

¹ Даже при изгибе в 2000 раз Δds равняется около 0,01 от ds .

Сравнив с (36), получим:

$$\Delta d\Theta = \frac{M}{EI} ds.$$

Общее угловое перемещение точки A относительно точки O будет равно:

$$\Delta \Theta_1 = \int_0^A \frac{M}{EI} ds. \quad (37)$$

Изменение координат точки A , происходящее вследствие изгиба, можно найти следующим приближенным методом (см. рис. 30). На кривой OA возьмем какую-либо точку B с координатами x и y . Вследствие углового перемещения в этой точке линия BA повернется на угол $\Delta d\Theta$, и точка A переместится по дуге кривой в положение A' . Пусть угол, образуемый линией BA с осью OX , равен ϕ ; тогда линейные перемещения точки A параллельно координатным осям, производимые вследствие поворота элемента в точке B , будут:

$$\Delta x_1 = -AA' \sin \phi$$

и

$$\Delta y_1 = AA' \cos \phi,$$

то

$$AA' = AB \Delta d\Theta, \quad \sin \phi = \frac{y_1 - y}{AB}$$

и

$$\cos \phi = \frac{x_1 - x}{AB};$$

попутому

$$\Delta x_1 = -AB \Delta d\Theta (y_1 - y); \quad (38)$$

$$\Delta y_1 = AB \Delta d\Theta (x_1 - x). \quad (39)$$

Подставив значение $\Delta d\Theta$, найденное выше, и интегрируя от O до A , найдем следующие выражения для изменения координат точки A :

$$\Delta x_1 = - \int_0^A (y_1 - y) \frac{M}{EI} ds; \quad (40)$$

$$\Delta y_1 = \int_0^A (x_1 - x) \frac{M}{EI} ds. \quad (41)$$

¹ Мы здесь преобразуем не только перемыжной силой, но и расположением и сдвигом от действующей по часовой стрелке в общей точке действующей оси нормальной силой P . Если необходимо, последнюю силу можно принять в расчет, тогда угловые необходимо в выражении (40) для определения Δx_1 прибавить член $\int_0^A \frac{P}{EA} ds$ и в

выражение (41) для определения Δy_1 прибавить член $\int_0^A -\frac{P}{EA} ds$.

Если теперь мы распространим интегрирование на весь контур от O до O , то мы должны положить:

$$\begin{aligned}x_1 &= 0; \quad y_1 = 0; \\ \Delta x_1 &= 0; \quad \Delta y_1 = 0.\end{aligned}$$

Отсюда, подавая $E = \text{const}$, получаем следующие основные выражения для замкнутого шлангута¹:

$$\int\limits_0^S \frac{M}{I} dx = 0; \quad (42)$$

$$\int\limits_0^S y \frac{M}{I} dy = 0; \quad (43)$$

$$\int\limits_0^S x \frac{M}{I} dx = 0. \quad (44)$$

В шлангутах, симметричных относительно вертикальной оси, что обычно и бывает на практике, начало изогриват следует брать в точке симметрии на кольце, и в этом случае можно ограничиться интегрированием лишь половины контура шлангута. Могут существовать иные специальные условия, при которых еще более уменьшается пределы интегрирования в полученных выше выражениях. Если интегрирование начинается и кончается не в начале изогриват, а в других каких-либо точках, например, в точках A и B , относительно которых известно, что суммарное угловое перемещение шлангута между ними

¹ Изложены первоначальные уравнения (38) и (39) получим:

$$\Delta x_1 = -2\theta dy \text{ и } \Delta y_1 = 2\theta dx,$$

где θ — общий угол поворота до произвольной точки S .

Следовательно,

$$\Delta x_1 = - \int\limits_0^A \left[\int\limits_0^S -\frac{M}{EI} dx \right] dy; \quad (40')$$

$$\Delta y_1 = \int\limits_0^B \left[\int\limits_0^S -\frac{M}{EI} dx \right] dx; \quad (41')$$

соответствующие основные выражения являются такими:

$$\int\limits_0^A \left[\int\limits_0^S \frac{M}{I} dx \right] dy = 0; \quad (42')$$

$$\int\limits_0^B \left[\int\limits_0^S \frac{M}{I} dx \right] dx = 0. \quad (44')$$

вторые эквивалентны уравнениям (42) и (44).

Наиболее удобен интегрирование выполнять интегратором, но в общем случае проще пользоваться уравнениями (42) и (44), которые допускают возможность вычислить интегрирование при помощи правила Симпсона.

равно нулю, т. е. что они не изворачиваются по отношению друг к другу, то выражение для определения усилий примут вид:

$$\int\limits_0^L \frac{M}{I} ds = 0; \quad (45)$$

$$\int\limits_0^L (F - F_s) \frac{M}{I} ds = 0; \quad (46)$$

$$\int\limits_0^L (x - x_0) \frac{M}{I} ds = 0. \quad (47)$$

Каковы бы ни были пределы интегрирования, эти уравнения дают возможность определить величину неизвестных реакций, входящих в выражение M , а именно — величину действующих в сечении с началом координат: изгибающего момента, нормальной и перерезывающей сил. После того как усилия P , Q , M , будут определены, легко можно найти соответствующие внутренние усилия во всяком другом сечении шпангоута, с учетом действующих на него внешних сил¹.

2. Принцип наименьшей работы. Полученные выше выражения для расчета прочности замкнутых шпангоутов могут быть обобщены, исходя из принципа наименьшей работы (теорема Кастильо). Согласно этому принципу, деформации конструкции под действием всякой системы внешних сил будет такой, что соответствующая ей работа внутренних сил упругости, равная работе внешних сил при этой деформации, будет минимальной. Другими словами, конструкция с минимальной затратой энергии сама пристосовывается к ее усилиям.

15. Поперечная прочность миноносцев

1. Действующие усилия. На миноносцах поперечные переборки машинных и котельных отделений расположены настолько далеко друг от друга, что участок шпангоутов в поперечной прочности корпуса весьма существенен. Это обстоятельство, так же как и стремление к облегчению конструкции, обуславливает необходимость тщательной проверки прочности шпангоутов. Деформации шпангоутов могут быть разбиты на следующие группы:

- а) От действия сил веса и сил поддержания воды;
- б) От динамических усилий.

Силы инерции при качке корабля стремятся вызвать перекос шпангоутов.

Когда корабль идет по изолированному морю и бросается в волны, то поперечное сжатие воды вызывает изгибание (кривление) его шпангоутов, которое обычно более резко выражается в носовой оконечности, но может быть значительным даже в средней части длины корабля. На одном миноносце, на котором палуба была ослаблена очень легким вырезом люка, реально наблюдалось поперечное сжатие

¹ Формулы от (45) до (47), будучи приближенными, дают практические достаточно точные решения, если высота шпангоута и изгибающий радиус кривизны не больше одной четверти—одной шестой величины радиуса.

ти корпуса, произошедшее в виде остаточной деформации, привели к тому, что люк в средине своей длины сделался уже¹.

При ходе корабля края и волны вызывают крутящие моменты, действие которых будет рассмотрено в следующей главе.

а) Потеря устойчивости бортов от палубы до верха фокр вследствие сдвигов, как указано в разд. 8, п. 3.

г) Выгиб бортов, происходящий непосредственно от продольного изгиба корпуса.

Все эти деформации не требуют пояснений кроме последней, которая раньше, по сведениям автора, не была предметом внимания в практике кораблестроения.

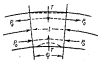


Рис. 32.

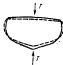


Рис. 33.

2. Выгиб бортов при общем изгибе корпуса. Рассмотрим район корпуса в средней части длины между двумя соседними поперечными переборками или другими очень жесткими поперечными сечениями корпуса, расположеннымными в расстоянии I друг от друга. При общем изгибе корпуса эти сечения поворачиваются друг относительно друга на некоторый угол ϕ (рис. 32). Продольные усилия P , действующие, как указано в разд. 7, п. 2, по разным направлениям выше и ниже нейтральной оси, будут давать вертикальные составляющие усилия T , которые будут стремиться обнажить палубу и днище. Если поперечный изгиб палубы и днища не обладает достаточной жесткостью сам по себе или не закреплен такими внутренними местными связями, как продольные переборки и шиллерсы, эти силы вследствие вертикальных деформаций палубы и днища будут вызывать выгиб бортов наружу, как увеличено показано на рис. 32 и 33.

Подобную деформацию можно наблюдать при изгибе трубы, заполненной пылью, склонение которой происходит в точках максимального изгиба. В корпусе корабля этот эффект получается наибольшим в районе миделя, где изгибающий момент, а следовательно, и кривизна достигают наибольших значений.

Получающее здесь вертикальное усилие T будет равно

$$T = P_i \varphi = \frac{M_{\text{вн}}}{I} \varphi,$$

где $M_{\text{вн}}$ — статический момент части площадки сечения, лежащей выше или ниже нейтральной оси относительно этой оси.

1. J. Th. Gustaf, Ing. Nav. Arch., 1906.

Угол наклона ϕ определяется следующим приближенным выражением, если предположить постоянство изгибающего момента и момент инерции сечения на рассматриваемом участке корпуса длиной l :

$$\phi = \frac{Ml}{EI}.$$

Подставляя это значение ϕ в выражение для T , получим:

$$T = \frac{M^2 \omega_0}{EI}, \quad (45)$$

Для получения силы, действующей на одну шпангоут, надо положить l равной длине шпангоута s . Полученное выражение показывает, что при постоянном изгибающем моменте величина силы T приблизительно обратно пропорциональна произведению куба высоты борта на площадь сечения палубы или днища. Плечо, на котором действует сила T , вызывающее изгиб бортов корабля, увеличивается с увеличением ширини корабля. Поэтому стремление к изгибу бортов будет увеличиваться при уменьшении высоты борта, увеличении ширины корпуса и при облегчении конструкции палубы и днища.

В качестве примера рассмотрим мановесец водоизмещением 300 т, длиной 61 м; $I=1660 \text{ см}^4$; $\omega_0=680 \text{ см}^2/\text{м}$; $\Gamma=9 \text{ м}$ (котельное отделение); $E=2,1 \cdot 10^9 \text{ дж}$, изгибающий момент при постановке на стационарную волну $M=1150 \text{ т}$. Тогда

$$T = \frac{1150 \cdot 680 \cdot 9}{1660 \cdot 2,1 \cdot 10^9} \cdot 100 = 1,4 \text{ тн.}$$

На каждой из 20 шпангоутов котельного отделения вертикальное усилие будет равно всего лишь около 70 кг, т. е. весу одного человека. Влияние этой силы будет разосыпано построением ряда людей в одну линию по всей длине палубы в районе котельного отделения, при котором на каждую шпангоутку приходится один человек.

В рассмотренном примере вертикальное усилие получилось чрезвычайно малым. Однако надо принять во внимание, что:

1) это есть дополнительные нагрузки на палубу, когда она уже испытывает большие скжимающие усилия и, следовательно, может прогибаться и терять устойчивость;

2) высота волны всегда может быть много больше $\frac{1}{20}$ своей длины, как это здесь предполагалось действительно, французские исследователи наблюдают высоту волн, равную $\frac{1}{10}$ ее длины, при длине волн от 61 м до 92 м¹;

3) вследствие вертикальных колебаний центра тяжести корабля, идущего против волн, силы инерции могут значительно увеличить изгибающий момент, особенно при положении на подводных волнах;

4) при изгибе шпангоутов коружу высота эквивалентного бруса уменьшается, быстро уменьшается момент инерции, T увеличивается—и условия работы конструкции ухудшаются.

Хотя в обычных условиях силами T можно пренебречь, однако в некоторых исключительных случаях они могут вызвать существенные напряжения. Действительно, представляется вероятным, что вы-

¹ W. H. White, Naval Architect, 1933.

глб бортов в некоторых случаях может явиться той последней причиной, которая приведет к разрушению конструкции корпуса монокосца. Поэтому на подобных кораблях такой вид разрушений должен быть предупрежден установкой между поперечными переборками палуберсов или других жестких конструкций, обеспечивающих вертикальную жесткость конструкции и неизменяемость формы поперечных сечений корпуса при всех условиях.

3. Применение основных уравнений. Мы теперь можем, как использовать приведенные в разд. 14 выражения для расчета прочности шпангоутов монокосца и других кораблей, имеющих подобную же простую конструкцию корпуса.

Рассмотрим замкнутый шпангоут монокосца (рис. 34). Так как здесь имеется симметрия формы и нагрузки относительно диаметральной плоскости, то в шпангоуте в точках пересечения его с этой плоскостью будут отсутствовать угловые и линейные перемещения. Поэтому одну из точек пересечения шпангоута с диаметральной плоскостью выберем в качестве начала координат и ось симметрии — в качестве одной из осей координат, так как в этом случае выражения для изгибающих моментов будут наиболее простыми и интегрирование будет распространяться лишь на одну половину объема шпангоута. Расположим начало координат O выше, ось ординат y вправо, ось абсцисс — по направлению касательной к шпангоуту в начале координат O . Если в диаметральной плоскости установлены палубы, как показано на рис. 34, то перемещение вдоль него равно нулю.

Интегралы выражений (42), (43) и (44) могут быть вычислены или графически, или при помощи приближенного правила Симпсона. Значим пределы интегрирования должны быть приняты от O до D . При использовании правилом Симпсона обвод по центральной оси шпангоута (на рис. 34 — средняя жирная линия), между точками O и D , разбивается на равные участки, и для каждой точки деления определяются значения величины M/I . В точке E , в месте соединения шпангоута с бимсом, призма имеет резкий изгиб, но при наложении криволинии конца бимса непрерывность здесь не будет нарушена. Однако здесь может резко изменяться величина M/I , что заставляет при использовании правилом Симпсона выполнять интегрирование отдельно для бимса и отдельно для шпангоута.

При вычислении моментов изгиба I следует учитывать поиски листов шириной, равной 80-кратной толщине листа, как это обычно прилагается. Момент инерции бимсовый хмыры зависит от конструкции ее заключительного соединения; обычно он может быть принят равным моменту изгиба сечения бимса. Если шпангоутовая рамка имеет постоянное сечение по всему своему обводу, то I может быть исключено из уравнений.

Изгибающий момент M в каждой-либо точке A (рис. 34) определяется известными из уравнениями (P_i, Q_i) и (M_i) в сечении

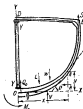


Рис. 34.

ние O и известными внешними силами, действующими между точками O и A .

Величина этого изгибающего момента в точке A равна:

$$M = M_0 + P_0 y - Q_0 x + \Sigma M_A,$$

где x, y — координаты точки A ;

ΣM_A — момент относительно точки A внешних сил, действующих на отрезок OA .

Осевая и срезывающая силы в сечении A равны проекциям всех указанных выше усилий на направление касательной и на направление нормали в точке A ; осевая сила будет равна:

$$P = P_0 \cos \Theta + Q_0 \sin \Theta + (\text{сумма проекций всех внешних сил}),$$

где Θ — угол, составляемый касательной в точке A с осью абсцисс.

Срезывающая сила в точке A определяется аналогичным выражением.

Внешние силы, действующие на шпангоут, могут быть разбиты на следующие группы:

1) W — вес шпангоута и других связанных с ним и поддерживаемых им конструкций.

2) L — вес внутренних грузов, приходящийся на шпангоут, как то: груз, вес машин и др.

3) H и V — горизонтальная и вертикальная составляющие давления воды, приходящиеся из рассматриваемую шпангоут. Если корабль находится в доке, то давление воды изменяется реакциями кильблоков.

4) S — срезывающая сила, вызванная реакцией соседних шпангоутов и разницей между силами веса и силами поддержания воды. Сила S может быть получена по кривой срезывающих сил как разность между ординатами этой кривой, ограничивающими рассматриваемую шпангоутную шпацию. С достаточной степенью приближения можно принять, что сила S действует в вертикальной или почти вертикальной части шпангоута, так как срезывающие усилия практически воспринимаются бортами корпуса корабля. Здесь пренебрегают создаваемыми силами S моментом, ось которого находится в плоскости шпангоута и который стремится изогнуть шпангоут в его плоскости.

При наличии продольных переборок часть силы S будет ими передаваться на шпангоут.

Таким образом для суммарного момента внешних сил ΣM , получим выражение:

$$\Sigma M_A = M_0 + M_2 - M_3 - M_4 \pm M_p. \quad (49)$$

Знаки отдельных членов этого выражения соответствуют обозначениям на рис. 34. Имея выражения для M , после его подстановки в формулы (42), (43) и (44) и интегрирования, получим три уравнения, решая которые найдем значения неизвестных усилий P_0 , Q_0 и M_p .

После этого можно вычислить усилия и напряжения, действующие в различных сечениях шпангоута.

4. Типичные случаи. Рассмотрим теперь более подробно несколько типичных случаев применительно к экипажесцам и подобным им легким кораблям.

1) Замкнутый шлангут, не имеющий пиллерсов. Предполагая симметричность загрузки, получим отсутствие срезающей силы в сечении O_1 , т. е. $Q_1=0$, и выражение для изгибающего момента M примет вид:

$$M = M_0 + P_0 y + \Sigma M_i. \quad (50)$$

Так как в сечении D отсутствуют угловое и осевое перемещения, то $\Delta\Theta_D = 0$ и $\Delta x_D = 0$; следовательно,

$$\int_0^D \frac{M}{I} ds = 0 \quad \text{и} \quad \int_0^D y \frac{M}{I} ds = 0. \quad (51)$$

Найдя значения интегральных функций для сечений, соответствующих делениям, можно вычислить значения интегралов при помощи правила Симпсона, после чего из полученных выражений найти значения величин M_0 и P_0 . Имея значения этих величин, можно, пользуясь выражением (50), найти значение изгибающего момента в любом сечении шлангута. Выражение для вычисления осевой силы P в произвольном сечении шлангута A будет:

$$P = (P_0 - H) \cos \Theta + [Q_0 - W - L + V \pm S] \sin \Theta. \quad (52)$$

Подобное же выражение может быть записано для вычисления величины срезающей силы.

2) Замкнутый шлангут поддерживается одними средними пиллерсами. Такой пиллер действует в виде двух равных и противоположно направленных усилий Y , приложенных в точках O и B шлангута; его собственный скатизм или растяжение под действием этих усилий можно пренебречь.

Изгибающий момент в каком-либо сечении шлангута определяется выражением:

$$M = M_0 + P_0 y - Q_0 x - \Sigma M_i. \quad (53)$$

Так как угловое $\Delta\Theta$, осевое Δx и поперечное Δy перемещения в сечении D равны нулю, то

$$\int_0^D \frac{M}{I} ds = 0; \quad \int_0^D y \frac{M}{I} ds = 0; \quad \int_0^D x \frac{M}{I} ds = 0.$$

Из этих уравнений могут быть найдены неизвестные внутренние усилия в точке O : P_0 , Q_0 и M_0 . Величина осевой силы P определяется выражением (52); величина силы Y , действующей по оси пиллерса, будет равна $Y = 2Q_0$.

Замкнутый шлангут поддержится одним пиллерсом с каждого борта (рис. 35). В данном случае одно неизвестное усилие, т. е. Q_0 , равно нулю, но зато появляется новое неизвестное усилие в виде reaction пиллерса Y , которое войдет в выражение для внутренних усилий для сечений шлангута на участке OGF . Пиллерс предполагается изначально закрепленным на своих концах, поэтому изгибающие моменты его равны нулю. На участках шлангута OG и FD изгибающие моменты определяются прежним выражением (50); на участке же шлангута GF изгибающие моменты:

$$M = M_0 + P_0 y + Y(x - c) + \Sigma M_i. \quad (54)$$

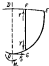


Рис. 35.

где c — отстояние пиллерса от диаметральной плоскости.

Так же, как и в предыдущем случае, мы будем иметь два уравнения:

$$\int_0^D \frac{M}{I} dx = 0 \quad \text{и} \quad \int_0^D y \frac{M}{I} dx = 0.$$

Третье уравнение в данном случае может быть написано в следующем виде, учитывая, что при движении пиллерса относительное вертикальное смещение точек G и F равно нулю:

$$\int_0^F (x - c) \frac{M}{I} dx = 0. \quad (56)$$

Выражение для усилия P будет то же, что и в первом случае, с той лишь разницей, что для участка GF в скобки последнего члена этого

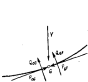


Рис. 36.

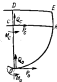


Рис. 37.

выражения должно быть включено reaction пиллерса Y . В точке G существует равновесие между reaction пиллерса Y , осевыми силами R_{Gx} и R_{Gy} и срезывающими силами Q_{Gx} и Q_{Gy} , как это видно на рис. 36. Если пиллерс расположить нормально к шлангоуту, то имеет место для среднего пиллерса, $R_{Gx} = R_{Gy}$ и каждая срезывающая сила равна $\frac{1}{2}Y$. Если пиллерс расположен не нормально к шлангоуту, как показано на рис. 36, то осевые и срезывающие силы в точке приложения его к шлангоуту получаются далеко не одинаковыми, и поэтому необходимо определить значения P и Q для каждой стороны пиллерса. Для вычисления напряжений в шлангоуте, надо принять наибольшее из полученных значений.

Схематическое изображение на рис. 36 силы в действительности являются равнодействующими сложной системы напряжений,

4) Шлангоут поддерживается второй полуборь и линией пиллерсов в диаметральной плоскости (рис. 37). В этом случае сечения шлангоута в точках O , C и D не бу-

дут иметь ни поступательных, ни угловых смещений, и поэтому получим следующие уравнения:

$$\int\limits_0^D \frac{M}{I} dx = 0; \quad \int\limits_0^D y \frac{M}{I} dx = 0; \quad \int\limits_0^D x \frac{M}{I} dx = 0;$$

$$\int\limits_0^D \frac{M}{I} dy = 0; \quad \int\limits_0^D y \frac{M}{I} dy = 0; \quad \int\limits_0^D x \frac{M}{I} dy = 0.$$

В первых трех уравнениях интегрирование производится от O через H и E к D . Во вторых трех уравнениях интегрирование производится от C через H и E к D . Из этих шести уравнений могут быть определены шесть неизвестных усилий в точках O и C : P_x , Q_x , M_x и P_y , Q_y , M_y . Затем можно легко вычислить усилия, действующие в любом сечении шпангоута. Выражение для изгибающего момента в сечениях шпангоута ниже второй палубы будет такое же, как и для однопалубного корабля, а для сечений, расположенных выше второй палубы, оно представится в виде:

$$M = M_0 + P_y x - Q_x x + M_r + P_r (y - y_r) - Q_r x + \Sigma M_i, \quad (56)$$

причем при вычислении величины ΣM_i должна быть учтена также нагрузка, действующая на бимс CH .

Реакции нижнего паллера разны ΔQ_r , а реакции верхнего паллера разны $2(Q_0 - Q_r)$.

16. Поперечная прочность подводных лодок

1. Подводные лодки вокруг сечения. Выводы предыдущего раздела относятся и к подводным лодкам, но у этого типа кораблей имеются некоторые особые условия, требующие их рассмотрения. Так как все подводной лодки уравновешиваются ее водоизмещением, а давление воды на корпус подводной лодки, соответствующее ее водоизмещению, гораздо меньше общего давления воды при наибольшей глубине ее погружения, то мы не сделаем заметной ошибки, пренебрегая влиянием веса подводной лодки и предполагая, что давление воды на ее корпус соответствует глубине погружения до ее оси. Предположим для примера, что наибольшая глубина погружения подводной лодки равна 90 м и что высота ее равна 6 м, тогда наибольшая ошибка получится порядка $\frac{3}{50}$, т. е. ~3%; однако эта ошибка будет еще меньше, так как основные грузы подводной лодки размещаются непосредственно в нижней части шпангоутов. Корпус подводной лодки овальной или эллиптической формы симметричен относительно горизонтальной и вертикальной осей, поэтому при расчете прочности шпангоута можно ограничиться рассмотрением лишь одной из его четырех одинаковых частей.

При правильной эллиптической форме поперечного сечения вычисления получаются много проще, чем при других формах сечений, хотя и приходится вычислять величину эллиптического интеграла графически или другим каким-нибудь методом, но делается это довольно просто, и решение, полученное для данного эксцентриситета, легко

можно применять к эллиптическому сечению любых размеров с тем же эксцентриситетом¹.

Напомним в предыдущем разделе метод, примененный для трех типовых случаев, т. е. при отсутствии пиллерсов, при одном ряде пиллерсов и при двух рядах пиллерсов. Рис. 38 показывает фальцевый шпангоут подводной лодки, симметричный относительно вертикальной оси. На этом рисунке отмечено положение нейтральной оси шпангоута и показаны кривые изгибающих моментов для трех указанных выше типовых случаев.

1. При одном пиллерсе с каждого борта, пренебрегая весом подводной лодки, будем иметь изгибающий момент на участках ОС и FD:

$$M = M_0 + P_0 y - \frac{1}{2} w (x^2 + y^2);$$

на участке OP

$$M = M_0 + P_0 y + Y(x - x_0) - \frac{1}{2} w (x^2 + y^2),$$

где w — давление воды на единицу длины шпангоута;

Y — реакция пиллерсов;

x_0 — отстояние пиллерсов от средней линии.

Три неизвестные усилия M_0 , P_0 и Y могут быть найдены из следующих трех условий:

1) сумма углов поворота по обводу от O до сечения T_2 равна нулю, т. е.

$$\int_{\text{O}}^{T_2} \frac{M}{I} ds + \int_{T_2}^{P} \frac{M}{I} ds + \int_{P}^{B} \frac{M}{I} ds = 0;$$

2) сумма вертикальных перемещений от сечения Z до T_0 равна нулю, т. е.

$$\int_{\text{Z}}^{T_0} (x - x_0) \frac{M}{I} ds = 0;$$

3) сумма горизонтальных перемещений от O до сечения T_2 равна нулю, т. е.

$$\int_{\text{O}}^{T_2} y \frac{M}{I} ds + \int_{T_2}^{P} y \frac{M}{I} ds + \int_{P}^{B} y \frac{M}{I} ds = 0.$$

Оставшиеся условия в сечениях шпангоута могут быть найдены по выражениям:

для участков ОС и FD

$$P = (P_0 - wy) \cos \theta + wy \sin \theta;$$

для участка OP

$$P = (P_0 - wy) \cos \theta + (wy - Y) \sin \theta.$$

¹ Реконструкция этой записи дано в книге автора: "The Strength of Elliptic Sections under Fluid Pressures", Imm. Nav. Arch., 1900.

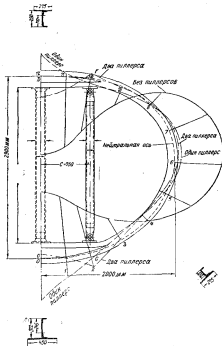


Рис. 24.

У точек O и F скла P имеет по два значения: одно слева от пиллерса, определяемое верхним уравнением, а другое справа от пиллерса, определяемое нижним уравнением. Величина угла Θ находится графически.

Суммарное напряжение определяется по формуле:

$$p = p_1 + p_2 = \frac{P}{A} + \frac{My}{J},$$

которая в этом случае практически дает такой же результат, как и более сложные формулы для криволинейных балок, так как расстояние у наиболее напряженного коленка от центральной оси здесь во всех точках мало по сравнению с радиусом кривизны шпангоута. Легко видеть, что называемое основой скла P напряжение p_1 всегда является скжимающим. Что же касается сжимающих и растягивающих напряжений p_2 от изгиба, то из них надо брать то, которое алгебраически складывается с p_1 , дает наибольшее численное значение суммы $p_1 + p_2$.

Для подводной лодки, габариты которой показаны на рис. 38, при расстоянии между шпангоутами 450 мм и при глубине погружения 46 м, как было найдено из численных расчетов, наибольшие изгибающие моменты получаются в сечениях 2 и 12, где они соответственно равны 2,9 и 4,12 тм. В сечении 2 действующая скла от пиллерса основная сила P оказалась равной 83,27 т, а напряжение — равным 1240 кг/см², причем оно оказалось и наибольшим по абсолютной величине для всего шпангоута. В самой нижней и в самой верхней точках шпангоута O и D изгибающие моменты, которые для симметричной конструкции должны были бы быть одинаковыми, оказались здесь разными по величине. Хотя в сечении 12 величина изгибающего момента и больше, но напряжение здесь умеренное за счет большой прочности шпангоута в этом районе. На рис. 38 края изгибающих моментов вытерта так, что величины этих моментов отложены по нормали к центральной оси шпангоута в каждом его сечении. На рисунке видно, что в данном случае изгибающие моменты хорошо распределены. Очень важно правильное размещение пиллерса. Бesdu того, что форма шпангоута близка к круговой, напряжения p_2 от всей силы в большинстве случаев составляют наибольшую часть от суммарных напряжений.

2. При наличии одного среднего пиллерса будем знать: изгибающий момент

$$M = M_0 + P_0 y + \frac{1}{2} Ux - \frac{1}{2} w(x^2 + y^2).$$

Неизвестные усилия M_0 , P_0 и U можно найти из следующих трех уравнений, выражавших равенство нулю суммарных угловых и линейных перемещений по всему склу от O до сечения 12:

$$\int_0^{12} \frac{M}{I} ds = 0; \quad \int_0^{12} x \frac{M}{I} ds = 0; \quad \int_0^{12} y \frac{M}{I} ds = 0,$$

Для случая, показанного на рис. 38, изгибающий момент достигает своего абсолютного максимума у основания пиллерса, где он равен 8,2 тм; здесь же имеют место и наибольшие напряжения, равные

1480 кг/см². У головы пиллерса напряжения составляют 1400 кг/см², в сечении 7 они равны 1270 кг/см².

3. При отсутствии пиллерсов известные усилия M_x и P_y можно найти из следующих двух уравнений, выражющих разность между суммарных угловых и горизонтальных перемещений по всему обводу от О до сечения 12:

$$\int_0^{12} \frac{M}{J} dx = 0 \quad \text{и} \quad \int_0^{12} y \frac{M}{J} dx = 0,$$

где

$$M = M_x + P_y y - \frac{1}{2} w(x^2 + y^2).$$

Изгибающие моменты, а следовательно, и напряжения в этом случае получаются очень большими. Для рассмотренного (рис. 38) частного случая изгибающий момент в сечении О достигает величины 13,5 тм, а в сечении 12 он равен 16,7 тм. Напряжения имеют наибольшее значение, равное почти 6000 кг/см², между сечениями 6 и 7; при этом будет происходить разрушение, вызываемое сжатие внутри верхней и нижней частей шпангоута и разрыв в бортовой части. В верхней и нижней частях шпангоута растягивающие напряжения больше сжимающих, как видно из численных подсчетов¹.

На рассмотрение показанных на рис. 38 краевых изгибающих моментов, построенных для рассмотренных выше трех случаев сильного шпангоута, ясно большое влияние оказания и расположения пиллерсов на величину наибольшего изгибающего момента такого шпангоута.

При использовании изложенным здесь методом для расчета шпангоута необходимо иметь в виду, что небольшие ошибки в исходных данных в численных вычислениях оказывают большое влияние на результаты расчета. Поэтому при расчете шпангоутов этим методом должна соблюдаться большая точность как при измерении отстояния в расчетные выражения склоненных с чертежа ординат, так и при выполнении численных вычислений. Число промежутков, на которое разбивается шпангоут для приближенного вычисления интегралов, должно быть достаточно большим, особенно в тех районах шпангоута, в которых сечение его сильно меняется.

Метод Марбека². Этот метод особенно хорошо применим к замкнутым круговым шпангоутам любой формы с переменным сечением вдоль обвода в подвергающимся радиусуружиюму наружному или внутреннему давлению. Он базируется на тех же основных формулах, которые были приведены выше, но при определении изгибающих моментов и реакций Марбек пользуется изящным графическим методом и получает решение в очень удобном и наглядном виде. Этот метод также применим к круговым и полукруговым аркам, которые могут встретиться в некоторых конструкциях корпуса подводных лодок.

2. Подводные лодки круглого сечения. В начале подводного судостроения для подводных лодок применялась овальная форма сечения корпуса, во схемах более удобного внутреннего размещения, однако большинство конструкторов предпочтитали круглую форму се-

¹ В первоначальных компоновках данных автором таблицами с численными расчетами, наилучшим образом применение рассмотренной принципиальной схемы расчета. — Ред.

² «Bull. de l'Association Technique Maritimes», 1908, «Calculation of the Transverse Strength of Submarines by Marbeck's Method», Sec. Nat. Ann. Mar. Eng., 1921.

чения по соображениям большей ее прочности. Как при той, так и при другой фирме главной надеждой на обеспечение прочности возлагалась на систему прочных шпангоутов. Наружную обшивку рассматривали, главным образом, как усиление шпангоутов, а не как самостоятельный элемент прочности. При этом безразличные изгибы в шпангоутах от сжатия легко можно было добиться, но во мере того, как требовалось увеличение диаметра подводных лодок и глубины их погружения, выявились необходимость принимать меры против разрушения корпуса подводной лодки от потери устойчивости.

В целях экономии веса толщина наружной обшивки была уменьшена, но было обнаружено, что если даже шпангоуты могут воспринять полностью всю нагрузку от давления воды, то все же обшивка может не выдержать изгиба продольных колонн на кромках шпангоутов, будучи одновременно подверженной общему продольному сжатию от давления воды на оконечности лодки. Наружная обшивка может оказаться также слабой для восприятия сжимающих изгибаний, имеющих большую величину в середине пролета между шпангоутами, где напряжения от изгибающего сжатия складываются с напряжениями от продольного изгиба между шпангоутами. Это может случаться даже при довольно часто поставленных шпангоутах. Но если шпангоуты будут расположены широко, то при этом, кроме того, появляется опасность, что листы обшивки могут разрушаться от выпучивания, являющегося следствием неустойчивости конструкции. Было предложено несколько расчетных формул, но наряду сомненности вопроса существовала большая разница в мнениях относительно наилучшего метода проектирования корпуса подводных лодок. Так обстояло дело вплоть до прошлой мировой войны. Во время этой войны в Германии усилили постройку подводных лодок большого тоннажа с увеличенной глубиной погружения, с увеличенными скоростью и районом плавания и с увеличенным вооружением; это потребовало всемерной экономии веса корабля. Были проведены модельные испытания различных форм корпуса подводной лодки, которые показали, что для экономии веса корпуса необходимо придерживаться точно круговой формы шпангоутов и уделять больше внимания прочности обшивки. Дальнейшие модельные испытания, осуществленные в 1917 г., изменили основной тезис: исследовать влияние величины ширины на прочность корпуса и жесткость шпангоутов на устойчивость обшивки. Эти испытания производились на модели диаметром 2,4 м и послужили базисом для установления соответствующих теоретических расчетных формул.

Результаты произведенных экспериментальных и теоретических исследований приведены в труде Зандса и Гюнтера (K. Sandau и K. Günther), опубликованном после войны¹. Было найдено, что прочность корпуса подводной лодки должна рассматриваться не просто как прочность ряда колыбельных шпангоутов, соединенных между собой тем или иным способом, но как прочность сложного полого тела, и в простейшем случае — как замкнутой цилиндрической оболочки. Именно обшивка, а не шпангоуты является наиболее важным элементом конструкции корпуса подводной лодки. Прочность корпуса зависит не только от площади и момента инерции сечения шпангоутов, но также, главным образом, от толщине обшивки, отношения между диаметром корпуса и толщиной обшивки и отношения между величиной ширины

¹ „Wiss und Beenderel“, Heft 8, 9, 10, 1920 и Heft 17, 1921.

и диаметром корпуса. Увеличение жесткости шпангоутов может даже привести к ослаблению корпуса вследствие высоких напряжений, которые в этом случае могут появиться в обшивке на опорных кромках набора, а также вследствие невозможности использовать всю прочность наружной обшивки при ее обжатии. При легких шпангоутах и большом расстоянии между ними обшивка становится основной прочной связью корпуса, подобно обшивке катара, и роль шпангоутов в этом случае сводится лишь к предохранению обшивки от возможной потери ее устойчивости.

Таким путем может быть значительно облегчен вес корпуса. Облегчение веса корпуса, достигнутое в Германии при постройке в конце войны больших подводных лодок, доходило до 40%.

За последние годы большие экспериментальные и теоретические исследования были проведены в американском флоте Сандлером, Виндембургом и Трэйлингом (Sandier, Windenburg, Trilling); эти исследования привели к значительному упрощению расчетных формул, ранее полученных Зандлером и Мизесом (Sandier, Mises). Эти упрощенные формулы, а также некоторые из прежних основных будут ниже приведены без подробного вывода их, чтобы не загружать книгу слишком длинными математическими выкладками. Принятые обозначения:

σ_0 — наружное давление воды;

σ_c — критическое давление, соответствующее потере устойчивости;

P_x — поперечные напряжения (в продольных сечениях обшивки);

P_z — продольные напряжения (в поперечных сечениях обшивки);

F — предел текучести;

D — диаметр корпуса по центральной оси наружной обшивки или шпангоутов;

t — толщина обшивки;

L — свободная длина обшивки между шпангоутами;

x — расстояние между шпангоутами;

b — ширина прилегающей к обшивке полки шпангоута;

I — момент инерции сечения шпангоутов, величина можно считать шириной, равной 30%;

m — поправка, обратная коэффициенту Пуассона.

При малом расстоянии между шпангоутами и при достаточной их жесткости исключается возможность потери устойчивости обшивки; однако в этом случае необходимо убедиться, что продольные и поперечные напряжения в ней не превосходят предела текучести материала. Наибольшие продольные напряжения в обшивке обычно получаются из ее отворочных кромок, но эти напряжения — местного характера и не имеют большого значения, как это подтверждалось на испытаниях.

Наибольшие поперечные напряжения в обшивке получаются восприятие между шпангоутами (точка В, рис. 39); они являются суммой



Рис. 39.

¹ "Strength of Thin Cylindrical Shells under External Pressure". "Collapse by Instability of Thin Cylindrical Shells under External Pressure", Am. Soc. Mech. Eng., vol. 53, 1931, vol. 55, 1934.

напряжений от кругового обжатия и дополнительного изгиба. Эти напряжения могут достичь предела текучести материала при давлении воды, определяемом следующей приближенной формулой, предложенной Винденбургом¹ на основании экспериментального и теоретического исследования:

$$\omega_0 = \frac{3\beta D}{1,05 + D}, \quad (57)$$

где D — диаметр по нейтральной оси обшивки;
 β — предел текучести.

Коэффициент 1,05 в этой формуле учитывает изгиб обшивки между шпангоутами.

Основное требование к ближко расположенным шпангоутам заключается в том, чтобы они не теряли устойчивости, прежде чем в обшивке появится напряжение, равные пределу текучести, причем прочность их не должна быть излишне большой, чем нужно для выполнения этого требования.

Опыт показал, что для этого кратчайшее давление, выдерживаемое шпангоутами, т. е. давление, соответствующее потеря ими устойчивости, должно лишь на 10% превышать давление, определяемое формулой (57). Пользуясь формулой Леви для устойчивости круглого шпангоута, получим:

$$\omega_s = \frac{34,1}{d^2} = 1,1 \omega_0, \quad (58)$$

где d — диаметр шпангоута по его нейтральной оси.

Момент инерции шпангоута, требуемый этой формулой, равен:

$$I = \frac{\pi d^4 \omega_0}{21,8 E}. \quad (59)$$

Если шпангоутное расстояние увеличится до некоторого предела, уменьшего от отношения $\frac{I}{D}$ на $\frac{d}{D}$, обшивка между шпангоутами примет форму, показанную на рис. 40. При этом про-



Рис. 40.

дольные напряжения существенно не увеличатся, а поперечные напряжения достигнут предела текучести при давлении воды, равном:

$$\omega_0 = \frac{3\beta t}{D}. \quad (60)$$

Рассмотрим теперь опасность разрушения от потери устойчивости обшивки. При этом расстояния между шпангоутами кратчайшое

¹ D. F. Windenburg, Vessels under External Pressure, „Mechanical Engineering“, Aug., 1937.

давление на устойчивость обшивки будет высоким, и потеря устойчивости вызовет образование большого числа волн между смежными шпангоутами; при увеличении расстояния между шпангоутами критическое давление и число волн будет уменьшаться.

Соответствующие расчетные формулы были даны Мизесом¹ и Токугавой² (Mises, Tokugawa) для цилиндрической оболочки, подкрепленной поперечными ребрами и нагруженной радиальным и осевым давлением. Эти формулы были проверены экспериментальным путем. Они несколько сложны; в них входит число волн, на которое разбивается оболочка при потере ее устойчивости, обозначенное буквой n . Пользоваться этими формулами затруднительно по той причине, что начальное критическое давление не всегда соответствует наименьшему числу волн, так что необходимо создавать особые таблицы или диаграммы, включающие целый ряд неизвестных величин, для того чтобы определить число, соответствующее наименьшему критическому давлению.

Базируясь, главным образом, на экспериментальных данных, Вирденбург предложила следующую приближенную формулу, в которую не входит число волн n :

$$\frac{2,4E}{W_s} = \frac{\left(\frac{J}{D}\right)^{1/2}}{\frac{r-f}{D} - 0,45\left(\frac{J}{D}\right)^{1/2}}. \quad (61)$$

Эта простая формула дает результаты, близкие к данным более точных формул, о которых сказано выше, и может быть использована при проектировании. В формуле (61) обратите же внимание на осевое давление, но его можно пользоваться и при его отсутствии, так как получается лишь небольшая ошибка, падающая в запись прочности.

Если расстояние между шпангоутами настолько велико, что они перестают оказывать влияние на устойчивость обшивки, то критическое давление определяется следующей формулой Брайана³:

$$\frac{2\pi E}{W_s} = \frac{2\pi E}{m^2 - 1} \left(\frac{J}{D}\right)^2 = 2,2E \left(\frac{J}{D}\right)^2. \quad (62)$$

выведенной в предположении, что при потере устойчивости образуются две волны и что $m=10/3$.

В результате указанных выше теоретических и экспериментальных исследований в настоящее время считают, что обшивка является основным элементом прочности корпуса подводных лодок, причем ее устойчивость служит главным критерием прочности и предела того давления воды, при котором напряжения в ней не превысят предела текучести материала и которое определяется выражением (57).

Помешан шпангоуты снаружи прочного корпуса между его прочной и легкой обшивками, можно получить значительную экономию места при большой жесткости шпангоутов. Найдено, что весь корпус

¹ R. Mises, „Der kritische Auflastdruck für elliptisch belastete zylindrische Röhre“, Post. zum 70. Geburtstag von Prof. A. Stodola, Zürich, 1929.

² Proc. World. Eng. Congress, vol. 29, Tokyo, 1929.

³ Am. Soc. Mech. Eng., vol. 55, 1934.

⁴ Canad. Phil. Soc., vol. 6, 1888.

на современных подводных лодках уменьшился на величину порядка 35% по сравнению с весом корпуса на прежних подводных лодках.

Численный пример. Подводные лодки имеют глубину погружения 60 м, общий вес корпуса имеет толщину 19 мм; наружные шпангоуты состоят из гибких, подкрепленных легкими угольниками и высокими фюзеляжными стяжками, которые соединены с легкой обшивкой и ее поддерживает (см. рис. 142). Диаметр по вертикальной оси прочной обшивки $D=6,1$ м; шпангоутовое расстояние $\delta=915$ мм; $\delta = 125$ мм. Давление воды, соответствующее заданной глубине погружения, равно $p_0 = 9,15$ кг/см². По выражению (53) находим, соответствующее такому давлению напряжение в обшивке:

$$\sigma = \frac{1,65 \cdot D w_0}{2\delta} = \frac{1,65 \cdot 619 \cdot 9,15}{2 \cdot 1,2} = 1540 \text{ кг/мм}^2.$$

Придача толщины материала обшивки $w_0 = 2500$ мм; коэффициент безопасности при этом получается

$$\frac{2500}{1540} = 1,6.$$

В данном случае отпадает необходимость в расчете шпангоута вследствие его имеющей большой жесткости и прочности.

Если бы шпангоуты были поставлены внутри корпуса, то их момент инерции следовало бы исключить из формулы (53) instead последовательных приближений, так как входящие в эту формулу значение D заранее известны.

Давление, при котором теряется устойчивость обшивки, должно быть вычислено по формуле (54). При этом, принимая

$$E = 2,1 \cdot 10^4 \text{ кг/см}^2$$

и имея

$$\frac{\Gamma}{D} = 0,033; \quad \frac{\delta - \delta_0}{D} = 0,129,$$

получим:

$$w_{0,cr} = \frac{2,6 \cdot 2,1 \cdot 10^4 \cdot (0,033)^{1/2}}{0,129 - 0,45 \cdot (0,033)^{1/2}} = 26 \text{ мм/см}^2.$$

Коэффициент безопасности на устойчивость обшивки равен:

$$\frac{26}{9,15} = 2,8.$$

Действительная конструкция корпуса подводной лодки более сложна, чем предполагается в приведенном здесь расчете. В то время как прочность ее увеличивается благодаря присутствию различных продольных связей, она ослабляется наличием люков, которые поэтому требуют их добавочного подкрепления. В районе оконечностей подводной лодки диаметр корпуса уменьшается и часто получает овальную форму; в последнем случае может быть применен метод расчета шпангоутов, описанный в начале настоящего раздела.

ГЛАВА IV

ПРОЧНОСТЬ НА КРУЧЕНИЕ

17. Крутящие моменты и особенности конструкции

Обычно напряжения от кручения корпуса невелики и поэтому им уделяют мало внимания при расчете прочности корпуса. Только несколько исследований опубликовано по этому вопросу, и он еще остается не вполне изученным.

Корпус коробца, представляющий собой как бы длинную пустотелую трубу, подкрепленную диафрагмами, естественно, обладает большой прочностью при работе его на кручение. В этом отношении в особо благоприятных условиях находятся военные корабли, имеющие двойное дно, бортовые переборки и большое число палуб. Поэтому они, в сущности, состоят из двух и больше оболочек и имеют большую величину полярного момента инерции относительно оси кручения. Напряжения от кручения получаются заметными только на однопалубных кораблях, особенно если палуба ослаблена линиями и многочисленными люками и имеет легкий настил между палубами стрингерами. Такие условия могут быть на миноносцах и других быстрозаданных кораблях. Большая скорость требует легкой конструкции корпуса и вызывает большие динамические усилия при ходе корабля против волн. На практике наблюдалась случаи, обнаружившие недостаточную прочность корпуса миноносцев при работе его на кручение.

Крайним примером малой прочности корпуса на кручение может служить плоский док вследствие отсутствия в нем палубы. Поэтому плоские доки обычно строят короткими секциями, которые не подвергаются большим крутильным моментам. Но для односекционного дока, если предусматривается его морская транспортировка, вопрос о его прочности на кручение следует специально рассмотреть.

Обратимся, глазами образом, к кораблям класса миноносцев.

1. Крутящие моменты. При ходе корабля косо по направлению к волнам на него действует крутящая пара, которая в дальнейшем часто называется крутящим моментом, образующимся вследствие действия о противодействующих напряжениях восстанавливающих моментов носовой и кормовой оконечностей. Эти крутящие моменты будут достигать наибольшей величины при положении корабля на попохте или на краине волн под углом 45° к ее направлению. Крутящие моменты в сечениях корпуса будут изменяться от нуля на концах его до максимума в средней части. Наиболее неблагоприятное положение корабля относительно земли в некоторой степени должно зависеть от формы обводов корпуса. Однако для целей сравнения прочности различных кораблей принято считать, что корабль находится под углом в 45° к

волны и что длина волны равна $\frac{L}{\sqrt{2}}$, где L — длина корабля, а высота волны равна $1/20$ длины. Предполагая при этом, что корабль находится в статическом равновесии, мы установим некоторые физические стандартные статические условия, показанные на рис. 41. Полученные при этих условиях крутящие моменты будут, конечно, очень отличаться как по величине, так и по распределению вдоль корабля, от действительных крутящих моментов корабля, идущего против волны. При

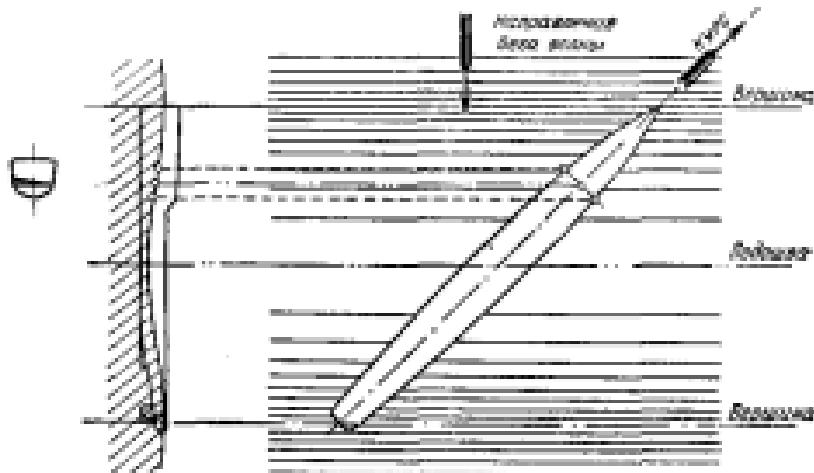


Рис. 41.

этой макроости с большой скоростью идет против волны силы поддержания, которые только и учитываются при статическом кручении, складываются с динамическими силами, которые могут быть очень большими.

Когда корабль с большой скоростью врезается в носо набегающую волну, он получает резкий удар с одного борта и носовой оконечности, приходящийся, возможно, во высоте на полубак и обуславливавший наличие большого крутящего момента. Этот удар имеет характер импульса и сразу же передается в корпус корабля, вызывая и немедленное кручение вследствие сжимаемого инерцией массы корабля сопротивления. Наибольшие напряжения от кручения, вероятно, появятся в районе конца полубака и будут уменьшаться до кормы по направлению к норме.

Другой тип динамического кручения создается силами инерции массы корабля при его боковой качке. При данной амплитуде качки оно будет достигать изображающей величины при боковой качке корабля при заде его нормально к бегу волны.

Местные динамические крутящие моменты от боковой качки будут возникать в местах, где сосредоточены тяжелые грузы, например, орудия и торпедные аппараты, расположенные на большой высоте. Эти местные крутящие моменты будут вызывать резкие скачки на общей кривой динамических моментов корпуса и в некоторых случаях могут потребовать их специального рассмотрения.

Для построения кривой статических крутизных моментов делают корабль на некоторое число равных участков и для полученных таким образом разностоящих сечений определяют восстанавливющий момент, проходящий на конец длины корабля и соответствующий наклонной ватерлинии. Отходя от оси корабля OX и инде ordinat величины этих восстанавливющих моментов, вычерчивают Кривую $\frac{dT}{dx}$, интегрированием которой получают кривую крутизных моментов T . Наклонную ватерлинию для выбранных сечений находят геометрически, как показано на рис. 41, где профиль корабля спроектирован на профиль волны.

Величину динамического крутизного момента, создаваемого ударом волны о борт носовой части корпуса, трудно определить или изобразить по какой-либо стандартной схеме.

Динамическое кручение, происходящее в результате боковой качки корабля, может быть удовлетворительно рассчитано, то крайней мере для случая движения корабля нормального к бегу волны. Для этого необходимо задаться сораскойной амплитудой в переходе боковой качки, которые известны для данного корабля или могут быть заданы; во всяком случае они будут не обязательно такими же, как и для корабля прототипа. В момент достижения кораблем наибольшего угла крена при качке равнодействующий восстанавливющий момент от давления волны будет равен равнодействующему крутизному моменту от сил инерции массы корабля, т. е. будет равен полярному моменту инерции массы корабля относительно оси вращения, возникшему из упругого ускорения корабля в этот момент. Однако для отдельных участков длины корабля в несколько, скажем, шпаций, восстанавливющая пара и пара сил инерции не будут равны друг другу, т. е. не будут взаимно уравновешиваться; это и будет обусловливать изменения величины общего крутизного момента на данном участке. Разность между указанными парами в различных сечениях корпуса представляя собой величину скорости $\frac{dT}{dx}$, с которой динамический крутизный момент увеличивается вдоль оси корабля. Так же, как и в случае статического кручения, можно выстроить кривую величины $\frac{dT}{dx}$ и, интегрируя ее, получить искомую кривую крутизных динамических моментов T . Связанные с этим вычисления недостаточно громоздкости здесь не приводятся.

2. Особенности конструкции. Трубчатая форма корпуса многоосцов, благоприятная для сокращения кручения, сохраняется лишь в среднем районе его длины. Поперечные переборки на многоосцах сравнительно редко расположены, обшивка очень тонкая и в машинных оболочниках отсутствуют связи, усиливающие прочность корпуса на кручение. Палубные кромки образуют аксиальные углы и поперечных сечений корпуса. Тонкие листовые панцы имеются лишь в верхнем и нижнем поясах эквивалентного бруса, в остальных промежуточных поясах и днищах экономии веса делаются тонкими. В частности, на главной палубе средние пояса настила, перерезанные люками и, следовательно, не имеющие значения для общей прочности, делаются гораздо тоньше, чем стрингеровых поясов, причем этот перепад в толщинах листов якобы бывает очень резким.

Известно, что касательные напряжения от кручения действуют по перечным сечениям стенок трубы, подобно течению жидкости при ее установившемся движении. Поэтому в толстых листах эти касательные напряжения могут быть малыми, в то время как в смесных точках листов они будут большими, а в местах нарушения непрерывности, например, в местах перехода от толстых листов к тонким и из кромок палубы, получается концентрация напряжений.

Ввиду этого на кораблях, подвергающихся большим крутящим моментам, следует избегать резких перепадов в толщинах между продольными панелями обшивки и палубы. Некоторая часть палубы может быть усиlena рубками, борта которой стоят на палубном стрингере, но на головной палубе все рубки необходимо избегать резких переходов в толщинах листов.

Касательные напряжения от кручения корпуса, складываемые с продольными напряжениями от его изгиба, могут вызывать выкручивание легкого настила палубы в ее среднем районе между палубными стрингерами, а также большую концентрацию напряжений в углах листов и других отверстий в палубе; эти углы поэтому должны быть надлежащим образом закруглены и подкреплены.

Тяжелые сосредоточенные грузы, как то: орудия и торпедные аппараты, находящиеся на тонком настиле средней части палубы, должны быть надежно связаны с днишевым набором и палубными стрингерами с целью устранения больших местных срезывающих усилий в настиле палубы при качке корабля.

Особое внимание должно быть удалено району палубы в месте окончания полубака, так как здесь наиболее вероятно появление больших динамических крутящих моментов.

18. Определение величины напряжений от кручения

I. Аналитический метод. Согласно выпукло-вогнутой теории, произведение величины касательных напряжений в листах на толщину листов постоянство по всему контуру замкнутого сечения корпуса, имеющего одну палубу. Следует, однако, отметить, что эту теорию нельзя считать совершенной применительно к трубчатой конструкции, имеющей острые вогнувшие углы или другие нарушения непрерывности, как то имеет место на межвоссах.

Допустим, что листы обшивки достаточно тонки, что распределение напряжений в них можно принять равномерным по толщине листа.

Пусть q — среднее касательное напряжение в какой-либо точке контура сечения, t — толщина листов в этой точке, T — крутящий момент в сечении и A — общая площадь, расположенная внутри средней линии контура. Срезывающее усилие, приходящееся на единицу длины контура, может быть найдено из уравнения статики по выражению:

$$(qf) = \frac{T}{2A}. \quad (63)$$

Пусть, далее, L — полная длина контура, f — длина некоторой части контура по средней его линии, df — элемент длины, θ — относительный угол выкручивания, т. е. относительный угол вращения двух сечений,

находящихся друг от друга в расстояниях, равном единице. Можно показать, что

$$\delta = \frac{1}{2AG} \int q dI = \frac{qT}{2AG} \int \frac{dT}{I}. \quad (64)$$

Простые формулы (63) и (64) дают решения для криволинейных сечений без резких изгибов в толщинах и при отсутствии таких деформаций всего сечения, при которых изменяется величина площади A .

Если имеются две палубы, то весь контур разбивается на два потока, во которых текут токи напряжений, и каждый из них имеет свою-

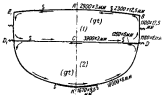


Рис. 42. Потоки срезывающих напряжений при кручении.

долю участия в сопротивлении действию внешней крутящей пары (рис. 42). Угол закручивания у обоих контуров будет общий и направление течения срезывающих усилий будет у них одно и то же, но второй палубе, входящей в состав обоих контуров, направление течения сил напряжений от верхнего потока будет обратным по отношению к направлению течения сил напряжений от нижнего потока.

Обозначим верхний поток знаком (1), нижний (2) и поток во второй палубе (1, 2).

Срезывающее усилие во второй палубе будет

$$(qT)_{12} = (qT)_1 - (qT)_2. \quad (65)$$

Каждый из потоков дает момент напряжений, равный соответственно T_1 и T_2 , причем суммарный крутящий момент равен $T = T_1 + T_2$. Поэтому, в соответствии с выражением (63),

$$T = 2A_1(qT)_1 + 2A_2(qT)_2. \quad (66)$$

Согласно выражениям (64) и (65), учитывая, что угол закручивания для обоих контуров одинаков, получим:

$$\begin{aligned} 2G\delta &= \frac{(qT)_1}{A_1} \int \frac{dI}{I} = \frac{(qT)_1}{A_1} \int_{I_{12}}^I \frac{dI}{I} = \\ &= \frac{(qT)_1}{A_1} \int_{I_1}^I \frac{dI}{I} - \frac{(qT)_1}{A_1} \int_{I_{12}}^{I_1} \frac{dI}{I}, \end{aligned} \quad (67)$$

Выполним интегрирование путем суммирования величин, получаемых делением длины каждого листа из его толщину, набором значений величин (qf) , и $(qf)_0$, пользуясь выражениями (66) и (67). После этого касательное напряжение в любой точке каждого листа может быть получено делением соответствующего среднеквадратичного усилия единицы длины контура на толщину листа. Во второй пачкебе силы напряжения получаются по выражению (65) и касательные напряжения — по выражению $(qf)_0/f_{t,0}$.

2. Опытные данные¹. Опыты показывают, что разрушение прямоугольных стальных труб под действием кручения происходит значительно раньше, чем это должно было бы быть согласно приведенной выше теории. Это объясняется наличием концентрации напряжений в углах труб. Например, труба размером $70 \times 152 \times 8$ мм из стали с времененным сопротивлением после отсюда 3400 кг и пределом текучести 2500 кг начала разрушаться при срезывающем напряжении около 740 кг, в то время как ожидаемый предел текучести материала должен был бы быть около $\frac{0.577 \cdot 2500}{\pi} = 1450$ кг.

Численный пример. На рис. 42 представлена медиальная сечения корабля, имеющего жесткий корпус.

Рассмотрим сначала то сечение в продольном сечении палубы, ограниченное площадью внутри контура сечения равной $A = 54$ м². Крутящий момент равен $T = 1600$ кн·м.

Среднеквадратичное усилие по выражению (63)

$$(qf) = \frac{1600}{2.34} = 166 \text{ кг}/\text{см}.$$

В палубном стрингере толщиной 12,5 мм касательное напряжение

$$q_1 = \frac{(qf)}{f} = \frac{166}{1.25} = 133 \text{ кг}.$$

В палубном листе толщиной 8 мм касательное напряжение

$$q_2 = \frac{166}{0.8} = 208 \text{ кг}.$$

Предполагая, что швы палубного стрингера имеют одинаковый зазорчатый шов, а при диаметре палубки 12,5 мм в шаге 30,5 м получим среднеквадратичные напряжения в различных рядах около 650 кг.

При извлечении второй палубы, расположенной на 3,1 м выше главной палубы, надо пользоваться выражениями (65) и (66). Вычисление всех выражений интегралами следует вычислять суммирующиеся величины $\frac{dl}{l}$ для листов разных толщин. Например, для потока (1):

$$\int \frac{dl}{l} = 32 \cdot \frac{l}{l} - 3 \left[\frac{2500}{3} + \frac{2200}{12.5} + \frac{1100}{12.5} + \frac{1160}{6} + \frac{1280}{6} + \frac{3020}{3} \right] = 5900.$$

Подобным же образом находим:

$$\int \frac{dl}{l} = 4000;$$

$$\int \frac{dl}{l} = 3000.$$

¹ W. H. Nevgiard, "Torsion of Rectangular Tubes", Jour. of Appl. Mech., Sept. 1937.

Измерим площади

$$A_1 = 25 \text{ см}^2; A_2 = 29 \text{ см}^2.$$

По выражению (66)

$$1800 = 2 \cdot 25 (\varphi t)_1 + 2 \cdot 29 (\varphi t)_2.$$

По выражению (67)

$$\frac{(\varphi t)_1}{25} \cdot 5000 - \frac{(\varphi t)_2}{25} \cdot 5000 = \frac{(\varphi t)_1}{29} \cdot 5000 - \frac{(\varphi t)_2}{29} \cdot 5000.$$

Решив эти уравнения, найдем следующие значения для сдвиговых усилий:

$$(\varphi t)_1 = 120 \text{ кг/см}; (\varphi t)_2 = 120 \text{ кг/см};$$

$$(\varphi t)_{1,2} = 120 - 120 = 20 \text{ кг/см}.$$

Срезывающее усилие, и следовательно, и касательные напряжения в листах наружного контура сечения, получились того же порядка, что и в случае отсутствия второй палубы; этого и следовало ожидать, так как вторая палуба, расположенная близко к оси кручения, почти не работает.

ГЛАВА Ч ПРОЧНОСТЬ БАЛОК

Конструкции корпуса современного военного корабля состоят из ряда жестких поверхностей или диафрагм: переборок, палуб, бортов, днища и двойного дна, которые взаимно поддерживают друг друга и на которых уравновешиваются силы веса и силы вытеснения с силами давления воды. Обе эти группы сил действуют как в плоскости, совпадающей с указанными жесткими диафрагмами, так и в плоскостях, нормальных к ним; поэтому эти жесткие диафрагмы должны быть способны сопротивляться растяжению, сжатию, изгибу и срезу в их собственной плоскости, а также передавать нормальную к их плоскости нагрузку за их опорный контур.

Для выполнения таких функций диафрагмы должны иметь хорошо развитую систему покрывающих балок.

В настоящей главе будут рассмотрены именно такие балки, представляющие простые катаные профили, или составные балки более сложного профиля.

Балки, образуемые сажами диафрагмами, например, поперечные переборки, уже были рассмотрены в предыдущей главе, в разд. 13.

16. Катаные балки

1. Общее. При расчете прочности балок обычно предполагается, что нагрузка действует в плоскости стенки балки и что нейтральная ось ее сечения NN совпадает с осью OX_y , нормальной к стенке и проходящей через центр тяжести O сечения, т. е. параллельна оси действующего изгибающего момента (рис. 43). Для расчета применяется обычная формула изгиба

$$\frac{M}{I} = \frac{F}{y},$$

Эти предположения, однако, во многих случаях далеки от истины. В случае несимметричности поперечного сечения нейтральная ось не всегда нормальна к плоскости стенки и параллельна оси изгибающего момента, а нагрузка на балку не всегда находится в плоскости симметрии. В результате получится несимметричное распределение усилий и напряжений; это оказывает неблагоприятное влияние на прочность балок, увеличивая ее деформации и напряжения и вызывая своеобразное напряженное состояние балки.

2. Двутавровая балка (рис. 43). Двутавровая балка симметрична относительно обеих главных осей и поэтому, если нагрузка действует в плоскости стенки, что обычно и бывает, то обычная формула изгиба будет вполне применима. В этом случае ось изгибающего мо-

мента параллельна одной из главных осей, которая к тому же совпадает с нейтральной осью. При изгибе балки растяжение и сжатие во поясах будут создавать усилия χ , как об этом уже говорилось в разд. 15. Этими усилиями, которые изгибают пояса по направлению друг к другу и вызывают неизначительное сжатие стеки, можно пренебречь.

3. Коробчатая балка (рис. 44). Эта балка симметрична относительно оси Ox_0 , которая поэтому является одной из главных осей сечения. Если изгибающая нагрузка действует в плоскости стеки, то ось изгибающего момента параллельна оси Ox_0 ; во так как коробчатый про-

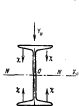


Рис. 43.

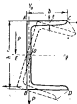


Рис. 44.

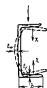


Рис. 45.

филь несимметричен относительно оси OY_0 , то некоторую роль в прочности балки будут играть несимметричные относительно этой оси силы. Те же, что и в двутавровой балке, силы X , действующие в поясах и изгибающие их в направлении друг к другу, вызовут изгиб стеки, так как пояса швеллера расположены только по одному сторону стеки (рис. 45). Этот изгиб стеки в действительности предел, до которого он при напряжениях, меньших предела упругости, но при ходовой гибке, при которой напряжения переходят за предел упругости, будет продолжаться в указанный изгиб стеки, наличие которого делает эту работу трудной и дорогой. Это явление было изучено теоретически и экспериментально применительно к коробчатым балкам различных размеров¹. Было найдено, что в коробчатой балке сопротивление изгибу ее стеки измеряется величиной

$$\frac{E t_x}{t_y},$$

где t — ширина поясов;

t_x — толщина поясов;

t_y — толщина стеки.

Рекомендуется, чтобы значение этой величины не превышало 50. Это условие удовлетворяется у коробчатых профилей английского стандарта с наибольшей толщиной стеки, но не удовлетворяется у этих профилей с наименьшей толщиной стеки. Так, например, для

¹ K. G. Meldahl, Scand. Ges., 1903, p. 408.

профилей $10\frac{1}{2} \times 3\frac{1}{2} \times 3\frac{1}{2}$ ", имеющего толщину поясков 0,575", указанная величина получает значения 23 и 66, при толщинах стеки 0,675 и 0,475" соответственно.

Рассмотрим теперь распределение напряжений в поясах (см. рис. 44). По ширине поясов нормальные напряжения будут наибольшими вблизи стеки (вдоль кромок А и В) и уменьшаются по направлению к наружным кромкам С и D. В случае сжатия верхнего пояска он, благодаря указанной выше разнице напряжений, будет стремиться изогнуться и переместиться вправо в своей плоскости; когда это произойдет, то скатие вдоль кромки С уменьшится и может даже повыситься растяжение. В то же время нижний поясок, будучи растянут, будет стремиться переместиться влево. В результате получатся кручение балки, как это показано на рис. 44, и главная ось сечения, нормальная к стенке, уже не будет болтые параллельна оси изгибающего момента, который действует в вертикальной плоскости; нагрузка станет несимметричной, что вызовет боковой изгиб балки. Этого не случалось бы, если бы вертикальная плоскость действия нагрузки проходила бы не че-

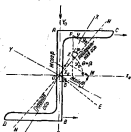


Рис. 46.

рез точку О, а через некоторую точку Е (центр кручения), расположенную таким образом, что при этом стека остается вертикальной и ось ОХ₀ — центральной осью.

Центр кручения находится на оси ОХ₀ и расположен от точки О на расстоянии

$$OE = \frac{I^{\text{max}}}{4f},$$

где b — ширина поясков;

b — высота стеки;

t — толщина поясков;

I — момент инерции сечения относительно оси ОХ₀.

Боковой изгиб балки будет рассмотрен применительно к зетовому профилю, для которого эта деформация наиболее ярко выражена.

4. Зетовая балка (рис. 46). Сечение зетовой балки не имеет осей симметрии. Пусть такая балка нагружена в плоскости стеки, которая первоначально занимает вертикальное положение. Примем в качестве координатных осей оси ОХ₀ и ОУ₀, показанные на рис. 46. Главные оси инерции сечения ОХ и ОУ образуют угол Θ с направлением осей ОХ₀ и ОУ₀. Ось ОХ есть ось минимального, а ось ОУ — максимального момента инерции. Обозначим через β угол между осью изгибающего момента и главной осью ОХ; так как в данном случае ось изгибающего момента совпадает с осью ОХ₀, то $\beta=\Theta$.

При этих условиях, т. е. когда ось изгибающего момента не параллельна ни одной из главных осей, балка изгибается не в плоскости изгибающего момента и не в плоскости главной оси, а в плоскости, нормальной к нейтральной оси N , которая образует некоторый угол ϕ с осью OX . Распределение напряжений в поперечинах будет такое, какое было отмечено выше для коробчатой балки. Но так как в данном случае нижний поясок по отношению к верхнему расположжен по другую сторону стены, то оба пояска будут стремиться отклоняться в их плоскости в одном и то же направлении, как это показано стрелками на рис. 46. Таким образом вся балка будет отклоняться в бок (на рис. 46 маркировано одновременно перемещение вниз). При этом напряжения будут как-то меняться, пока не установится положение равновесия. Все части сечения сперва (или выше) нейтральной оси будут растянуты, а все части сечения слева (или выше) нейтральной оси будут сжаты. Ось равновесия сдвигающей пары от всех напряжений будет параллельна оси изгибающего момента, а момент этой пары по своей величине будет равен величине внешнего изгибающего момента. Изгиб будет происходить около нейтральной оси под действием изгибающего момента в плоскости, нормальной к этой оси, и поэтому напряжение в какой-либо точке P будет определяться выражением:

$$\frac{M \cos(\phi - \psi)}{I_x} = \frac{r}{y}, \quad (68)$$

где I_x — момент инерции;

y — ордината точки P относительно нейтральной оси.

Сказанное выше более просто вытекает из следующего рассуждения. Разложим изгибающий момент на два составляющие момента $M \cos \phi$ и $M \sin \phi$, действующие в плоскостях, нормальных осм OX и OY соответственно. Тогда напряжение в точке, имеющей координаты x и y относительно главных осей, может быть определено как сумма напряжений от каждого из составляющих изгибающих моментов, которые можно считать действующими независимо друг от друга. Если I_x и I_y — моменты инерции сечения относительно главных осей OX и OY , то напряжение в точке P будет равно:

$$r = M \left[\frac{y \cos \phi}{I_x} + \frac{x \sin \phi}{I_y} \right]. \quad (69)$$

Это выражение может быть использовано без знания положения нейтральной оси. По этому же выражению может быть найдено положение нейтральной оси, полагая в нем $r=0$, что дает:

$$-\frac{y}{x} = \frac{I_x}{I_y} \operatorname{tg} \phi,$$

откуда

$$\operatorname{tg} \phi = -\frac{I_x}{I_y} \operatorname{tg} \beta. \quad (70)$$

Теперь можно проложить нейтральную ось и замерить ординаты y_x и y_y наиболее напряженных точек сечения A и B ; наибольшее напряжение после этого можно найти также и по выражению (68).

Остается показать, как определяются главные оси в случае, когда они, как в зетоном профиле, не являются осами симметрии. Возьмем центр тяжести сечения в качестве начала координат и проведем на-

чальные оси так, чтобы можно было проще всего вычислять моменты измерки сечения относительно этих осей. В зетовом профиле горизонтальная и вертикальная оси Ox , и Oy , удовлетворяют этому условию. Так как центробежный момент инерции относительно главных осей Ox и Oy должен быть равен нулю, то

$$\int y x dA = 0, \quad (71)$$

но

$$\begin{aligned} x &= x_0 \sin \Theta + x_1 \cos \Theta, \\ y &= y_0 \cos \Theta - y_1 \sin \Theta. \end{aligned}$$

Подставляя, получим:

$$\operatorname{tg} 2\Theta = - \frac{2Z_0}{I_{x_0} - I_{y_0}}, \quad (72)$$

где

$$I_{x_0} = \int x_0^2 dA;$$

$$I_{y_0} = \int y_0^2 dA,$$

$$Z_0 = \int x_0 y_0 dA.$$

Выражение (72) определяет угол Θ между главной осью Ox и начальной осью Ox_0 .

Моменты инерции сечения относительно главных осей равны:

$$\begin{aligned} I_x &= I_{x_0} \sin^2 \Theta + I_{y_0} \cos^2 \Theta - Z_0 \sin 2\Theta, \\ I_y &= I_{x_0} \cos^2 \Theta + I_{y_0} \sin^2 \Theta + Z_0 \sin 2\Theta. \end{aligned} \quad (73)$$

В зетовой балке, не подкрепленной листом и нагруженной в плоскости ее стеки, боковое перемещение часто значительно больше, чем вертикальное.

Если возможность бокового перемещения будет предотвращена, например, в случае бимса, связанного с настилом палубы, то как показали опыты Бруна (Bruna)¹, перемещение балки в плоскости стеки значительно уменьшится².

20. Катаные балки, соединенные с листом

В корпусе корабля катаные балки разного профиля всегда прикреплены или приварены к листам, для которых они служат подкреплением и опорой. В то же время лист оказывает двойкое действие на балку: во-первых, он подкрепляет тот конец балки, к которому он крепится, и, во-вторых, он в случае несимметрического профиля балки препятствует ее боковому перемещению и кручению.

1. Подкрепление листом. Благодаря присутствию заклепочного соединения, напряжения при изгибе балки будут передаваться в листу и он поэтому будет привлекаться к работе балки на изгиб. Однако это участок листа будет распространяться только на некоторое расстояние от заклепочного шва, дальше которого лист уже практически не будет работать или будет уклоняться от выполнения своей роли, искривляясь или выпучиваясь. Таким образом только некоторые шернира листа с

¹ Изв. Нар. Арм., 1906.

² В первом пронумерованном главе данный пример растет зетовой балки.—Ред.

каждой стороны заклепочного шва может считаться эффективной и рассматриваться как составная часть балки. Эта ширина зависит, разумеется, от характера заклепочного шва и толщины листа. Но так как линии напряжений искаляются и так как листы могут сдвигаться под действием в определенных местах другими балками или утолщеками, пересекающими рассматриваемую балку, то эффективная ширина не может быть всегда одинаковой. Учитывая, однако, условный (сравнительный) характер расчетов прочности судовых конструкций, можно допустить, что эта ширина постоянна и при обычных расстояниях между перекрестными балками пропорциональна толщине листа.

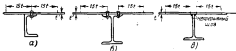


Рис. 43.

На основании произведенного автором анализа большого количества испытаний¹ переборок рекомендуется считать эффективную ширину листа с каждой стороны балки равной 16 толщинам листа. Судя по испытаниям конструкций Бруна² (Bruhn), представляющих собой панагуты разного сечения, прикрепленные к листам обшивки, эта величина эффективной ширины листа, возможно, преувеличена. При этих испытаниях общая эффективная ширина листа получалась равной 40 толщинам листа и оказалось, что ширина листов (между панагутами) была полностью эффективна во всех случаях, когда прочность заклепочного соединения была достаточной и не наблюдалось срезания заклепок. При одном ряде заклепок рекомендуется общую эффективную ширину листа принимать равной 30 толщинам (рис. 47, а). При двух же рядах заклепок, например, в случае двухсторонней балки, эффективная ширина должна быть увеличена на величину расстояния между рядами заклепок (рис. 47, б). При правильных балках двойным сварным швом в эффективную ширину можно включить полную ширину сварки, как показано на рис. 47, в. Если лист подкрепляется перекрестными ребрами, которые пересекаются с основными балками, то эффективную ширину листа можно считать несколько больше³. При расчете прочности балок, соединенных с листом, надлежащее внимание надо уделить заклепочному соединению между листом и балкой. В случае недостаточной прочности этого соединения заклепки могут срезаться прежде, чем лист примет полное участие в изгибе балки. В опытах Бруна при однорядном заклепочном соединении шаг заклепок в большинстве случаев был равен 5—6 диаметрам.

¹ Зап. Нав. Адм. Инг. Бюл., 1910.² Инж. Инв. Адм., 1908.³ См. опыты Вильга при правильных балках, выполненных из пыльбонии балками, в которых шаг шарнирной, равной 16 толщинам, оказался полностью эффективным. Расстояние между балками было равно 40 толщинам. Инж. Инв. Адм., 1905, р. 138—139.—Авт.

2. Поворот листа и изгиб стеки. Хотя лист предотвращает боковое перемещение и кручение балок в целом, но все же последствие напряженного состояния свободной полки происходит смещение балки, называемое трипингом (*tripping*) и заключающееся в том, что свободная полка отходит в сторону, как это показано на рис. 48. Понадобится, трипинг сопровождается некоторым изгибом стеки и поворотом нижней полки профиля.

Трипинг препятствует стремлению свободной полки изогнуться по направлению к соединенной с листом полке, противодействуя этим изгибу и повороту свободной полки в противоположном направлении, как показано на рис. 49.

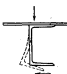


Рис. 48.

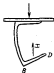


Рис. 49.

Оба описанные явления будут тем больше, чем тоньше и шире ёё поворот; они увеличиваются также с увеличением длины балки, причем на их величину влияет наличие залоги. Как показали опыты Бруна, суммарный эффект этих двух явлений в балках, применяемых в корабельных конструкциях, невелик, но трипинг более выражен, чем изгиб стеки.

3. Общие замечания. Введение в судостроение несимметрических профилей, т. е. коробок и листов, было начато, главным образом, облегчением их клепки и удобством соединения их с другими профилями, например, при соединении балок со шпангоутами.

С введением сварки затруднения, связанные с применением симметрических профилей, отпали. Сварка для средства эффективно и экономично применять такие симметричные профили, как тавровый. Применение этого профиля дает расчетную и действительную прочность измного большую, чем при применении ныне употребляемых несимметрических профилей¹. Выгодность для сварных конструкций симметрического профиля подтверждается тем, что при отсутствии балок такого профиля сывается все же рентабельным получать его из двутаврового путем дорогостоящего разрезания его стенки.

21. Непрерывные составные балки

На военном корабле непрерывные балки, состоящие из листов и уголников, встречаются в виде рассмотренных уже в разд. 13 переборок или в виде флор и рамных шпангоутов, лишищих стрингеров, подпалубных балок и укрепленных стек переборок. Рассмотрим здесь в качестве типового примера расчет прочности днишевого стрингера.

¹ B. R. Haigh, "Comparative Tests on Mild-Steel Rolled Sections with Electrically Welded Joints", Inst. Met. Arch., 1933.

1. Расчет прочности стрингеров двойного дна. Пролет днищевых стрингеров равен расстоянию между поперечными переборками. Они нагружены изнутри весом грузов, а снаружи — давлением воды. Эти

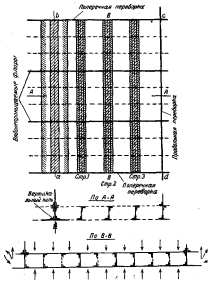


Рис. 50.

противодействующие направленные силы далеко не完全可以 уравновешиваются, и разность их во многих случаях достигает большой величины.

Равнодействующие неуравновешенных сил и момента передаются на переборки и выносят изоги в среде стрингеров.

На рис. 50 дан эскиз днищевых стрингеров в котельном отделении линейного корабля. Заштрихованые части показывают эффективную ширину внутренних и наружных днищевых листов, определяемую согласно правилу, приведенному в предыдущем разделе.

Продольные балки получают некоторую поддержку от поперечных флангов, зависящую от конструкции последних. При однотаковых и равномерно распределенных стрингерах и поперечных флангах прямогульного участка днища *abcd* (рис. 50), заключенный между поперечными переборками и между продольными, бортовой и средней переборками, можно было бы даже рассматривать как симметричную пластину, но прочность отдельных флангов обычно весьма различна и мала по сравнению с прочностью стрингеров. Поэтому будем предполагать, что основным назначением поперечных флангов является лишь обеспечение жесткости стрингеров и передача на них некоторой нагрузки; при этом мы, конечно, несколько преувеличиваем нагрузку стрингеров, особенно тех, которых расположены обеими переборками или бортами.

При следующем предположении рассчитать прочность стрингеров можно графически, так же, как это обычно практикуется при общем расчете эквивалентного бруса. Сначала строится кривая нагрузки для каждого стрингера, как независимо от других работающих балок и нагрузженной известным весом и давлением воды, приходящимся на участок длины шириной, равной расстоянию между стрингерами. Затем, краевые перегибающиеся силы и изгибающие моменты получаются в результате интегрирования кривой нагрузки.

Решение для расчета конструкции двойного дна, в котором фланги и стрингеры принимают соответствующую долю участия в восприятии действующей на перекрытие нагрузки, разработал Schade¹. Это решение основывается на теории загиба изотропной упругой пластины, но учитывает также и разницу в жесткостях продольных и поперечных балок и принимает во внимание наличие жесткого книпа, т. е. конструкция считается ортотропной².

22. Интеркостельные балки

Термин «интеркостельная» относится, главным образом, к стяжкам балки, предполагая, что эта стяжка состоит из отдельных вставок между непрерывными шпангоутами или бимсами. Если стяжка балки разрезана по всей высоте, то такие балки считаются полностью интеркостельной, хотя бы волны ее оставались непрерывными. Если некоторая часть стяжки балки осталась неразрезанной, то такие балки называются «полуинтеркостельной»; такие балки часто обладают практически такой же прочностью, как и непрерывные. Во многих случаях прочность полностью интеркостельной балки может быть значительно увеличена путем склеивания отогнутых фланцев или короткими соединительными уголками интеркостельных частей стяжки друг с другом защелками, проходящими через стяжку непрерывной балки, с которой интеркостельная балка пересекается.

На сказанного видно, что конструкция интеркостельных балок имеет очень разнообразный.

1. Интеркостельные балки двойного дна. Обычно поперечные фланги делаются интеркостельными, но листы внутренней и наружной обшивки образуют у них непрерывные пояса. Часто нижние шпангоутные уголки этих флангов делаются также непрерывными; верхние, или обратные, шпангоутные уголки обычно делаются интеркостельными и

¹ «Bending Theory of Ship Bottom Structures», Vol. Mex. Am. and Mex. Eng., 1938.
² Пример расчета перекрытия, приводимый автором, при переводе опущен.—Редактор.

служат только для соединения интеркостальной стеки с верхним поясом. Различные типы таких фланцев описаны в разд. 54.

В бракетных фланцах, показанных на рис. 152, стека между бракетами полностью отсутствует, а потому такие фланцы как балки совсем не обладают прочностью. В фланцах из листов с вырезами для облегчения (рис. 150 и 151) прочность стеки зависит от заклепочного соединения между стеками соседних панелей. Если смежные интеркостальные фланцы по своим вертикальным кромкам имеют фаски, отогнутые в разные стороны, и при помощи этих фланцев соединены со стеками стрингеров заклепками с большим шагом, то сопротивление срезу, в

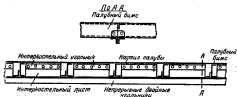


Рис. 51. Платформенная балка с интеркостальными системами.

следовательно, и прочность такого шпангоута как балки не может быть большой. Если же соединение сделано из угольников, склеенных друг с другом через стеку стрингера, то прочность шпангоута получается большой. Высокопрочечные и тем более нефтенепропитаемые фланцы, соединяющиеся со стрингерами из двойных угольников, образуют шпангоуты, прочность которых близка к прочности непрерывного шпангоута.

2. Интеркостальные балки вне двойного дна. Такими балками являются зонные стрингеры и подплатформенные балки. Эти балки, как правило, полукостальные. На рис. 51 показана типичная конструкция такой балки. Здесь стека непрерывна ниже бимсов, где два непрерывных угольника, соединенных коротышами с бимсами, образуют нижний непрерывный поясок балки. Исследования¹ показали, что прочность такой балки мало отличается от прочности непрерывной. С необходимой для практики точностью прочность такой балки может быть определена по обычным формулам изгиба, включая в момент изгиба полностью площадь сечения интеркостальной части и делая вычет только из заклепочных отверстий. Разрушаются такие балки при изгибениях, равных временному сопротивлению материала.

У балок полностью интеркостальных, стека которых состоит из отдельных коротких листов, установленных между бимсами, наблюдается значительно уменьшение прочности. Отчасти большое уменьшение прочности получается при полном отсутствии стеки. Поэтому в местах, где требуется разнести нагрузку по большой поверхности, могут быть при-

¹ J. Stahl, Ing. Arch., 1942.

менены балки с полуинтеркостальными стенками. Полностью интеркостальные балки следует применять лишь для передачи нагрузки на близлежащие непрерывные балки, и также для того, чтобы воспрепятствовать тряски последних.

3. Перекрещивающиеся балки. Предположим, что две перекрещивающиеся балки так сконструированы, что каждая из них имеет достаточную непрерывность в точке пересечения и в этой точке они имеют одну и ту же стрелку прогиба. Рассмотрим сначала самый простой случай: две балки 1 и 2 (рис. 52) перекрещиваются по середине своих звротов в точке О, каждая из них нагружена равномерной, но разной по величине нагрузкой, и обе имеют опоры только на своих концах.

Стрелка прогиба каждой балки в точке их пересечения определяется известным выражением:

$$\delta = \frac{A w^4}{EI}, \quad (74)$$

где A — коэффициент, зависящий от характера закреплений концов балки; при свободно опертых концах $A = \frac{b}{384}$, при заделанных концах $A = \frac{1}{384}$.

Для того, чтобы перемещения обеих балок были независимы друг от друга, т. е. чтобы в точке их пересечения не возникало никакой реакции, необходимо, чтобы

$$\frac{k_1 w_1^4}{l_1} = \frac{k_2 w_2^4}{l_2}, \quad (75)$$

В случае одинакового закрепления обеих балок ($k_1 = k_2$) и одинаковой интенсивности их нагрузки ($w_1 = w_2$) получим:

$$\frac{l_1}{l_2} = \frac{w_1^4}{w_2^4}. \quad (76)$$

Из выражения (76) видно, что при вышеприведенных условиях момент инерции должен расти очень быстро при усилении длины балки.

Если условие (76) не будет удовлетворено, то относительно более жесткой балки будет поддерживать более гибкую, воспринимая на себе часть нагрузки последней. Если балка 1 имеет большую жесткость, то воспринимаемая ею нагрузка будет равна $W_1 + W_2$, тогда как нагрузка, воспринимаемая балкой 2, будет равна $W_2 - W_1$, где $W_1 = w_1 l_1$, $W_2 = w_2 l_2$, и W_2 — реакция между балками, действующая как сосредоточенная сила в точке О. Реакцию W_2 можно найти, приравнивая друг другу выражения для стрелок прогиба в месте пересечения балок.

22. Допускаемые напряжения

Если балки имеют простую конструкцию и действующие на них нагрузки точно известны, то расчетные напряжения могут рассматриваться как непосредственные и независимые измерители прочности

таких балок. Примером могут служить пальубные балки в артиллерийских погребах или подпалубные балки, поддерживающие какие-либо известные веса.

Как следует из вышеупомянутых опытов, для балок простой конструкции, находящейся под действием вполне известной нагрузки, расчетные напряжения непосредственно определяют коэффициент безопасности. Если в расчете учтены статические и динамические силы, коэффициент безопасности во отношении к временному сопротивлению может быть принят равным 4, чему соответствует для обычной мягкой стали допускаемое напряжение, равное 1100 ат. Для заклепок допускаемое напряжение на срез будет около 860 ат. Эти цифры хорошо согласуются с практикой постройки железнодорожных мостов.

В мостостроении при учете всех неподвижных и подвижных, статических и динамических, постоянных и случайных действующих на балке нагрузок принимаются следующие нормы допускаемых напряжений для конструкционной и заклепочной стали¹ (в ат):

сечение растяжение в сечении (мягкая)	1270
мягкая	1270
прекращающее напряжение в стенах	790
срезывающее напряжение в заклепках	930

1 T. C. Shedd, Structural Design in Steel, 1934.

ГЛАВА VI

ПРОЧНОСТЬ ПРЯМОУГОЛЬНЫХ ПЛАСТИН ПОД ДЕЙСТВИЕМ ВОДЯНОГО ДАВЛЕНИЯ

24. Определение напряжений

1. Постановка задачи. Листовые перекрытия кораблей, преимущественно плоские или слегка искривленные, обычно поддерживаются системой равноотстоящих поперечных и ребер, пересекающихся под прямым углом друг к другу. Действующее на обшивку давление воды мало изменяется на каждом отдельном ее участке. Мы можем поэтому ограничиться рассмотрением плоской прямоугольной пластины, жестко закрепленной по кромкам и подвергаемой равномерно распределенной нагрузке. Полное определение напряжений и деформаций в этом простейшем случае все же является трудной задачей, точное теоретическое решение которой пока еще не найдено. Однако для целей практики нет необходимости знать напряжения и перемещения во всех точках пластины; в большинстве случаев достаточно знать лишь наибольшее напряжение и точку, где оно существует. Иногда представляет интерес наибольшая стрелка прогиба пластины. Однако часто необходимая для конструктора информация еще более ограничена. В тех случаях, когда требуется лишь, чтобы пластина не была перенапряжена ни в одной точке, необходимо знать только высоту навара, при котором достигается предел текучести. В других случаях, когда в листах может быть допущена некоторая остаточная деформация, необходимо знать высоту навара, при которой получается определенной величины остаточная деформация или при которой остаточная деформация начинает быстро увеличиваться. В некоторых случаях интересно также знать тот наибольший навар, который лист может выдержать без разрушения.

Определющими элементами задачи являются: высота навара h , т. е. интенсивность равномерной нагрузки w , отношение между длиной короткой стороны пластины к ее толщине $\frac{a}{t} = \frac{A}{t}$ и отношение между размерами длинной и короткой сторон пластины $\frac{a}{l}$.

2. Теоретическое решение. Проблема прочности пластины с различными точками зрения рассмотрена в книге С. П. Тимошенко «Сопротивление материалов».

Возьмем прямоугольную пластину, жестко заделанную по кромкам и нагруженную равномерным давлением w . Если длина пластины более чем в два или три раза превосходит ее ширину, то пластину можно практически рассматривать как гнувшуюся по цилиндрической поверхности. Так как пластина не может на кромках смещаться в ее

плоскости, то в ней должны появиться растягивающие напряжения, нормальные к длиной кромке. Эти напряжения, однако, за исключением случаев очень больших отношений $\mu = \frac{h}{t}$, будут малы по сравнению с напряжениями от изгиба пластины. Элементарная полоска, находящаяся посередине длинных сторон пластины (рис. 53, а), не будет иметь заметной поддержки от коротких сторон и будет передавать на свои опоры всю нагрузку, приходящуюся на ее поверхность. Так как полоска предполагается жестко защеланной на опорах, то для нее, как и для жестко заделанной балки, наибольшие напряжения от изгиба будут иметь место на концах. Равенца между изгибом такой полоски и изгибом отдельной балки будет состоять лишь в том, что в полоске будет невозможно всевозможное скатие вследствие присутствия других таких же соседних полосок. Эта разница эквивалентна увеличению для полоски жесткости ее материала, т. е. увеличению μ^2 .

дуги E в отношении $\mu^2 - 1$ (для стали — на величину около 10%). Если полоска будет перекошена, то на опорах материал начнет течь и условия изгиба полоски будут

приближаться к условиям изгиба балки, имеющей концы свободно-согнутыми; при этом напряжения и прогибы в середине пролета полоски будут увеличиваться. Очень длинные прямоугольные пластины довольно редко встречаются в конструкции корпуса корабля, но они все же имеются в переборках, подкреплениях балкам, издающим только в одном направлении. Однако довольно часто сужение сторон сплошного контура пластины t даже для наружной обшивки бывает равно большему двух.

Если отношение между сторонами пластины меньше двух, то влевые короткие стороны пластины на ее изгиб становятся значительно, и залата делается более сложной (рис. 53, б). Короткие края воспринимают в этом случае значительную часть всей нагрузки, и за счет этого нагрузка на длинные кромки и напряжения пластины на этих кромках уменьшаются. Наибольшие напряжения от изгиба пластины будут в точках А, А, посередине длинных ее кромок. Другой максимум напряжений будет в точках В, В, посередине коротких кромок пластины, но этот максимум будет меньше первого до тех пор, пока прямоугольная пластина не обратится в квадратную, когда напряжения в точках А и В станут одинаковыми. С. П. Тимошенко дал приближенное решение для ряда значений отношения сторон пластины t в случае отсутствия растягивающих напряжений в средней плоскости пластины, т. е. для случая, когда величина этих напряжений можно пренебречь почти полностью. В таких именно условиях находятся листы обшивки в пе-

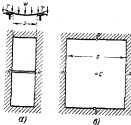


Рис. 53.

реборок корпуса. Интересно сравнить теоретические расчеты таких пластин с экспериментальными результатами.

Наибольшая стрелка прогиба в центре пластины выражается следующей формулой

$$\delta = a \frac{w^4}{Eh}, \quad (77)$$

где a — коэффициент, зависящий от отношения сторон пластины l :
 w — длина ее короткой стороны.

Наибольший изгибающий момент посередине длинных сторон пластины дается выражением (на единицу длины кромки):

$$M_d = \frac{3}{8} a w^3, \quad (78)$$

где a — коэффициент, зависящий от отношения w .

В табл. 4 приведены числовые значения коэффициентов a и b .

Таблица 4

Равномерно нагруженные пластины с заделанными кромками

w	1,00	1,25	1,50	1,75	2,00	∞
a	0,0233	0,0199	0,0160	0,0124	0,0097	0,0064
b	0,0643	0,0605	0,0557	0,0517	0,0489	0,0433

Так как в приведенном решении преизбирается величину растяжения пластины, то оно должно давать несколько превышенные значения для стрелок прогиба и изгибающих моментов по сравнению с действительностью.

Надавано С. П. Тимошенко¹ дал метод расчета заделанных пластин, нагруженных любым образом.

25. Экспериментальное решение задачи

Ввиду трудности теоретического решения задачи здесь предлагается проектирование пластины обшивки основываясь на экспериментальных результатах и результатах практического опыта. Действительно, это необходимо во многих случаях для того, чтобы правильно учесть различные другие факторы, кроме давления воды. Достаточно упомянуть о необходимости учитывать: участие обшивки в продольной прочности корпуса, залас в толщинах из коррозии, обеспечение возможности чеканки и сварки. Все это влияет на конструкцию и требует увеличения толщины листов против необходимой с точки зрения ее сопротивления лишь давлению воды.

Питцкер² предложил определить изгибающий момент в точке A (рис. 53) при помощи следующей формулы, подобной формуле (78):

$$M_A = k_A \frac{w^3}{12}, \quad (79)$$

а наибольшие напряжения в этих точках по выражению:

$$P_A = \frac{6M_A}{h^2} = \frac{1}{2} k_A w p^2, \quad (80)$$

¹ „Bending of Rectangular Plates with Clamped Edges“, Proc. of Fifth Intern. Congr. for Appl. Mech., 1938.

² Pitzker F. „Festigkeit der Schiffe“, 1911. Имеется русский перевод.—Ред.

Значение коэффициента k_1 , который является функцией от r , было определено по результатам опытов, производившихся в Германском морском институте проф. Бахом¹. Питцкер дал кривую для этого коэффициента, показанную на рис. 55. Согласно этой кривой, коэффициент k_1 изменяется от 0,64 при $r=1$, т. е. для квадратной пластины, до единицы при $r=3$, т. е. для настолько длинной пластинки, что влияние коротких кромок ее становится пренебрежимо малым.

Коэффициент k_1 , разделенный на 12, должен быть несколько меньше, чем теоретический коэффициент β , входящий в формулу (78).

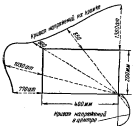


Рис. 54.

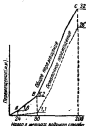


Рис. 55.

при выводе которой не учитывалось растяжение серединной плоскости пластины. Это и имеет место в действительности, за исключением квадратной пластины, для которой коэффициент несколько больше.

Четыре испытания Баха были произведены с двумя квадратными и двумя прямоугольными пластинами следующих размеров:

$$\begin{aligned} I &= 800 \times 800 \times 8,4 \text{ мм}; \quad II = 800 \times 800 \times 16,8 \text{ мм}; \\ III &= 800 \times 400 \times 8,6 \text{ мм}; \quad IV = 800 \times 400 \times 16,5 \text{ мм}. \end{aligned}$$

Нагрузка при испытаниях увеличивалась от нуля до максимума и для одного из листов достигала 335 кг под ст. Стремы прогиба как общие, так и остаточные измерялись по многих точках. Нагружения были подсчитаны для нагрузки, при которой был достигнут предел текучести, что определялось по стечению прогиба в центре листов. Распределение напряжений вдоль кромок IV листа показано на рис. 54. Абсолютный максимум напряжений получился посередине длинной кромки, что согласуется с теорией. Второй максимум на коротких кромках получился вблизи концов этих кромок; это несогласование с теорией произошло, возможно, вследствие недостаточного закрепления кромок листов, которое не давало полной заделки кромок, как это можно ожидать для закрепления судовых пластин.

¹ Ver. Deutsch Ing., № 8.

По опытам Питцнера, второй максимум напряжений получался действительно посередине коротких кромок в точках B (рис. 53). Питцнер дал значения коэффициента k_{μ} , которые нужно подставить в формулы (79) и (80) для вычисления по ним изгибающих моментов и напряжений посередине коротких кромок пластин. Значения этого коэффициента показаны на кривой рис. 56.

На рис. 56 даны кривые общих и остаточных перемещений (стрелок прогиба) в центре листа II. видно, что стрелки прогиба строго пропорциональны давлению до напора 24 м. При этом давлении был достигнут предел текучести и начали появляться остаточные стрелки прогиба, которые медленно увеличивались до тех пор, пока не достигли величины, равной около 18% от величин суммарной стрелки прогиба, что имело место при напоре 30 м. После этого остаточные величины стрелки прогиба начала быстро увеличиваться, и обе кривые начали быстро подниматься, примерно, по прямой линии. Упругие прогибы, измеряемые разностью ordinat этих кривых, остаются почти неизменными и составляют лишь небольшую часть от наибольшего общего изгиба листа. Наибольшие прогибы листа были измерены при напоре 200 м, при котором лист еще не разрушился и в нем не было замечено никаких трещин. Испытания прочих листов дали подобные же результаты.

Можно отметить три стадии в поведении листа: первая стадия — это вполне упругие деформации листа, вторая — характеризуется появлением остаточных деформаций, начинавшихся посередине длинных кромок и переходящих постепенно на другие его части. Точка раздела между второй и третьей стадиями резко заметна в толстых листах II и IV и менее заметна в более тонких листах I и III. В этой точке остаточные стрелки прогиба составляют около 20% от суммарных стрелок прогиба и растягивающие напряжения в серединной поверхности листа составляют заметную часть от общих напряжений. Так как прогиб еще мал, то растяжение не может пока воспринимать заметительную часть нагрузки, которая воспринимается, главным образом, при помощи сдвига. В течение третьей стадии упругое перемещение остается почти неизменным, что, по-видимому, указывает и на постоянство растяжения. Но так как общие перемещения, а следовательно, и изгиб опорных сечений сильно увеличиваются, то растягивающие усилия в листе начинают воспринимать все большую и большую нагрузку. При наибольшем напоре лист получает сводчатую форму и вся нагрузка воспринимается, главным образом, растягивающими напряжениями в листе. Лист при этих условиях способен выдерживать очень большое давление, но много раз превосходящее то, при котором напряжения достигают предела текучести. Эта особенность, которая в наибольшей степени проявляется у тонких листов, представляет большой интерес; ее можно в некоторых случаях полезно использовать, как об этом сказано в разд. 76.

Так как поведение листа при разных напорах зависит только от $\frac{g}{t}$ и от $\mu = \frac{t}{l}$, то можно обобщить результаты испытаний, отнести их к некоторому одному значению величины t . Мы примем значение этой величины, равной бесконечности ($t = \infty$), т. е. примем в качестве стандарта длинный прямоугольный лист. Нам нужно знать коэффициент для заданного значения t , на который следует помножить действующий напор h , чтобы получить такой напор, который вызвал бы в длин-

Таблица 5
 Основные результаты опытов Баха

Листы	Полная толщина t , мм	Полный коэффициент упругости k_1 , кг	$\frac{1}{t}$	Опогодка стекла или гипс	Номер опыта и условие изгиба A_1 , кг	Нагрузка на лист в кг	Нагрузка на корабль в кг	Отношение между остаточной и общей стремлением прогиба при изгибе в изогнутом виде, %	Общая стрельба прогиба при изгибе C	
									мк	% от r
I	8,4	800	35,2	1	6,1	20,1	281,0	20,4	2,2	0,71
II	16,8	800	47,5	1	24,0	60,5	210,0	18,3	1,3	0,49
III	8,6	400	46,5	2	16,1	45,3	282,0	21,7	1,1	0,36
IV	16,8	400	24,2	2	88,3	181,0	342,0	26,3	0,6	0,38

также прямугольном листе ($r = \infty$) такое же перемещение и такое же напряжение, какое было в заданном листе при действующем на него изгибе. До предела текучести этот коэффициент будет практически равен указанному выше коэффициенту k_1 , значение которого приведено на рис. 56. Мы примем такое же значение этого коэффициента и для изогорда, при которых напряжения превышают предел текучести, вплоть до изогорда, обозначенного на рис. 56 буквой В, при котором остаточная деформация рябки около 20%, общая деформация и при котором эти деформации начинают быстро увеличиваться.

После этого мы можем построить стандартные кривые А и В, показанные на рис. 56, соответствующие условиям изгиба листов, характеризуемым точками А и В на рис. 56. По горизонтальной оси отложены эквивалентные изогорды $k_1 t$, а по вертикальной — соответствующие значения величины $\varphi = \frac{1}{t}$.

Кривая А проведена через четыре точки, полученные из опытов Баха умножением действительного изогорда на коэффициент k_1 , который был принят равным 0,64 для квадратной пластины и 0,96 для прямугольной. На рис. 56 видно, что точки для листов II и III совпадают, что и должно быть, если величина k_1 взята правильно, так как φ почти одинакова для обоих листов. Кривая для k_1 таким образом подтверждается.

Чтобы установить соотношения между результатами опытов и практикой, на рис. 56 занесено несколько точек для наружной обшивки военных кораблей различных классов с двойным дном. Для определения в толщине t принималась равной стандартной или нормальной толщины листов длина в середине длины корабля между килем и склонными поясками. Размер φ принимался равным расстоянию между изогордами за вычетом ширины полки изогнутого уголника. Высота изогорда принималась раккой средней осадки при нормальном водоизмещении. Коэффициент k_1 определялся по диаграмме рис. 56 в зависимости от t с учетом действительных расстояний между стрингерами и фасрами в каждом отдельном случае. На рис. 56 видно, что большинство точек лежит вблизи кривой А, следовательно, как правило, напряжения в наружной обшивке, конечно, не превышают

предела текучести при плавании на тихой воде. При наибольшем водоизмещении и при плавании на волнах, повидимому, напряжения могут переходить за предел текучести на большинстве кораблей. Однако такой переход за предел текучести может, вероятно, местный характер и возможен только в окрестности линии стороны сплошного контура

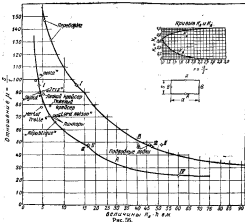


Рис. 56.

прямоугольной пластине, а остаточная стрелка прогиба, которая при этом получается, обычно настолько мала, что не имеет практического значения.

Кривая *B* также получена на основании опытов Баха. Она вычерчена по четырем точкам, соответствующим напорам, при которых остаточная стрелка прогиба получалась приблизительно равной 20% от общей стрелки прогиба. Кривая проведена через точку *III* вместо того, чтобы вести ее между точками *II* и *IV*, так как точка *III* не может быть слишком направо, поскольку k_d не может быть больше единицы. Кривая проходит через точку *IV*, не помещавшуюся на рис. 56. Несколько точек для наружной обшивки прочного корпуса подводных лодок при давлении, соответствующем испытательному напору, располагаются на рис. 56 очень близко к кривой *B*, однако стрелки прогибов при этих напорах неизвестны. Было бы затруднительно получить для наружной обшивки подводных лодок точки, соответствующие напорам,

при которых остаточная стрелка прогиба составляла бы 20% от величины общей стрелки прогиба, но кривые изогнутой обшивки дают первоначальными такие подсчеты. Верхняя часть кривой A получена в соответствии с результатами испытаний переборок и по одному испытанию платформы, проведенным в американском военном флоте. Точки соответствуют наибольшим испытательным нагрузкам и остаточным стрелкам прогиба, равным около 15% от величины общей стрелки прогиба. Измерение прогибов производилось очень тщательно.

В общем точки, заимствованные из существующих корабельных конструкций, хорошо согласуются с соответствующими кривыми. Эти кривые требуют дальнейшей корректировки на основании опытов, однако в настоящем же виде они можно с известной осторожностью пользоваться для определения толщин листов или расстояний между шпангоутами и ребрами для различных судовых перекрытий.

Кривая A можно использовать для определения толщин наружной обшивки обычных кораблей с двойным дном, как выше было указано; ей можно пользоваться также для определения толщин листов переборок диптанков и листов настила внутреннего дна в системах погательной воды и в нефтяных системах. Нижней частью кривой B можно пользоваться для определения толщины листов системы, предназначенных для большого давления, и как верхним предметом толщины наружной обшивки подводных лодок подругого сечения. Верхней частью кривой B можно пользоваться для определения толщины листов обыкновенных водонепроницаемых переборок, платформ, настила внутреннего дна в районе балластных систем и вообще во всех случаях, когда может быть допущена умеренная остаточная деформация.

На кораблях без двойного дна и, в частности, на минносцах, толщина обшивки зависит не только от величины давления воды. Соответствующие точки будут находиться ниже кривой A , что указывает на то, что толщина обшивки у этих кораблей больше, чем требуется по условию статического давления воды.

Применение кривых мы иллюстрируем двумя примерами.

1. Линейный корабль имеет осадку 8,5 м; расстояние между шпангоутами 2,4 м и между стрингерами 1,2 м; ширину полки шпангоутов угольников 90 мм. Определить толщину листов наружной обшивки.

Имеем $r = \frac{a}{s} = \frac{2,4}{1,2} = 2$; по диаграмме из рис. 56 находим $k_2 = 0,96$ и, следовательно,

$$k_2 h = 0,96 \cdot 8,5 = 8,2 \text{ м.}$$

Пользуясь кривой A , находим

$$r = \frac{a}{s} = 65.$$

Так как $s = 1200 - 90 = 1110 \text{ мм}$, то $t = \frac{1110}{65} = 17 \text{ мм}$.

Действующая нагрузка на обшивку $\pi = 8,5 \text{ кг}/\text{м}^2 = 0,85 \text{ кг}/\text{см}^2$, и поэтому наибольшее напряжение посередине длинной стороны по выражению (80)

$$\sigma = \frac{1}{2} k_2 \pi s r^2 = \frac{1}{2} \cdot 0,96 \cdot 0,85 \cdot 65^2 = 1750 \text{ кг}/\text{см}^2.$$

Такое напряжение не превосходит предела текучести судостроительной стали.

2. Легкий крейсер имеет осадку 4,7 м; толщина днищевых листов 10 мм и расстояние между стрингерами в два раза меньше, чем расстояние между шпангоутами; ширина шпангоутного уголника 90 мм. Найти наибольшее допустимое расстояние между стрингерами.

Находим при $r=2$, $k_1=0,96$; $k_2h = 0,96 \cdot 4,7 = 4,5$ м. По кривой А находим $r=89$. Поэтому $z = b_p = 10 \cdot 89 = 890$ мм и, следовательно, расстояние между стрингерами должно быть $890 + 50 = 940$ мм.

Напряжение по выражению (30)

$$p = 1820 \text{ кн/м}^2.$$

Полученные в этих примерах напряжения оказываются несколько меньшими, чем напряжения, даваемые теоретической формулой (78), что подтверждает сказанное ранее о влиянии пренебрежения растягивающими усилиями, получающимися при изгибе листов.



ГЛАВА VII

ПРОЧНОСТЬ КОЛОНН И ЛИСТОВ ПРИ СЖАТИИ

26. Колонны

1. **Судовые колонны.** На военных кораблях колонны встречаются главным образом, в виде пустотелых или сплошных и шарльеров, или стоек, поддерживающих бимсы. Расчет колонн судовых конструкций является задачей менее определенной, чем в гражданском строительстве, в котором действующие на колонны сжимающие нагрузки могут быть определены с гораздо большей точностью. Величина нагрузки статической и динамической, которой подвергаются пиллерсы, обычно очень трудно поддается определению: части конструкций, к которым пиллерсы крепятся, получают угловые перемещения и нагружаются несимметричной нагрузкой, вызывающей в них неизвестные добавочные напряжения. Однако бывают случаи, когда действующая нагрузка может быть сделана достаточно точно, как, например, для шарльеров, установленных под барбетами, врачающимися башнями, под шахтами или под другими тяжелыми сосредоточенными грузами. Указанные выше добавочные напряжения, конечно, могут быть практически устранены применением изгибающих спор из концов пиллерсов, но судовые пиллерсы почти всегда имеют концы, заделанные вследствие прикрепления их к конструкциям корпуса. Такой метод закрепления концов стоек предпочтительнее как более простой, действительный и, как по крайней мере это кажется, более надежный. Однако этот метод не всегда будет наилучшим и в некоторых случаях, как указано ниже, все же, несомненно, должны применяться пиллеры с шарнирно закрепленными концами.

Колонны могут разрушаться двумя совершенно различными путями вследствие потери устойчивости или же вследствие постепенного увеличения сжимающего усилия. В обоих этих случаях окончательное разрушение колонны происходит вследствие изгиба, но с той разницей, что в случае потери устойчивости при достижении нагрузкой известного предела малейшее последующее увеличение ее или малейшее ее остаточное ожидание вызывает мгновенное и полное разрушение колонны, хотя напряжение в ней в этот момент не превысило предела упругости материала. Во втором же случае, подуликшиемся у сравнимуюю коротких колонн, увеличение эксцентрической нагрузки, вызывающей изгиб колонны, сопровождается постепенным увеличением этого изгиба до тех пор, пока напряжение в колонне не превзойдет предела упругости материала, после чего и наступит ее разрушение. Если в последнем случае снять нагрузку раньше, чем превзойдет предел упругости, то колонна вернется к своему первоначальному ненапряженному положению,

Величина нагрузки, вызывающая потерю устойчивости колонны, определяется формулой Эйлера, которая дает большую точность для длинных и тонких колонн и может применяться во всех случаях, где отношение между длиной и радиусом инерции поперечного сечения колонны $\frac{l}{r} > 175$. Для сплошных пиллерсов круглого сечения, соответствующее отношение длины пиллерса к его диаметру $\frac{l}{d}$ должно быть около 45.

Для колонны со свободно поворачивающимися концами формула Эйлера имеет вид:

$$P_{cr} = \frac{\pi^2 E}{\left(\frac{l}{r}\right)^2}, \quad (31)$$

где P_{cr} — критическое напряжение, вызывающее разрушение (потерю устойчивости).

Для колонны, имеющей заделанные концы, критическое напряжение в четыре раза больше, чем для колонны со свободно поворачивающимися концами.

Для пиллерсов военных кораблей отношение $\frac{l}{r}$ обычно меньше 175, и такие пиллерсы поэтому могут разрушиться от простого изгиба раньше, чем будет достигнуто критическое напряжение (предел устойчивости).

Расчет таких пиллерсов должен производиться на изгиб при некоторых предположениях относительно эксцентриситета действующей нагрузки.

2. Случай добавочных напряжений. Даже при самом тщательном изготовлении и установке колонны нагрузка никогда не будет действовать на нее совершенно центрально. Небольшая небольшая изначальная кривизна оси колонны и побольшая эксцентриситет нагрузки вызывают в колонне изгибющие моменты. Изгибющие моменты могут также появляться в результате трения в шарнирах свободно опирющей колонны. Другими словами, на практике условия работы колонны не могут быть идеальными и никакая теоретическая формула, определяющая момент разрушения колонны, не может учесть этого фактора.

Ниже рассмотрим ясно отличимые небольшие и ненебольшие отклонения от идеальных условий, которые не всегда могут быть достаточно точно оценены, но на практике они часто встречаются и существование их нам известно или предполагается известным. Будем называть центрально нагруженными и такие колонны, которые считаются нагруженными без эксцентриситета или в отношении которых приняты все меры, чтобы избежать добавочных напряжений. Основные причины, при которых в колоннах появляются добавочные напряжения, должны быть рассмотрены каждой отдельно в своей чистой форме.

1. Колонна поддерживает балку, свободно опирающуюся на верхний конец колонны и нагруженную двумя вертикальными силами P_1 и P_2 , так расположенным относительно оси колонны, что балка находится в равновесии. Очевидно, перерезывающие силы P_1 и P_2 , действующие на балку с разных сторон от оси колонны, не будут одинаковыми, и

следовательно, нагрузка $P = P_1 + P_2$, будет прилагаться эксцентрично (рис. 57).

2. Колонка поддерживает жестко соединенную с колонной балку, которая нагружена равными по величине, но направленными в противоположные стороны вертикальными силами P . В этом случае кол-

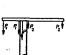


Рис. 57.

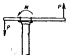


Рис. 58.



Рис. 59.

лонга совсем не будет иметь вертикальной нагрузки, а будет подвергаться чистому изгибу моментом пары сил M (рис. 58).

3. Сила P приложена в центре верхнего конца колонны и составляет угол Θ с ее осью. Разложив силу P на вертикальную и горизонтальную составляющие, получим склоняющую силу $P_{cos\Theta}$, действующую по оси колонны, и нормальную к оси колонны силу $P_{sin\Theta}$, которая создает изгибающий момент, увеличивающийся от верхнего конца к нижнему (рис. 59).

Все эти случаи нагружения в судовых пиллерсах, жестко закрепленных на своих концах, могут проявляться одновременно. Неосимметричный нагруженный, откалиброванный на пиллерс бимс создает нагрузку, действующую эксцентрично и параллельно оси пиллерса; этот бимс может одновременно подвергаться угловым деформациям, нагружая таким образом пиллерс изгибающим моментом. При крене или при перекосах поперечных сечений корпуса корабля, возникающих по каким-либо причинам, нагрузка к пиллерсу прикладывается под углом к его оси.

Все эти три причины могут быть представлены как результат действия одной силы P , приложенной к верхнему концу пиллерса в некотором расстоянии e от его оси и направленной под углом Θ к этой оси (рис. 60). Разложим силу P на ее вертикальную и горизонтальную составляющие $P_{cos\Theta}$ и $P_{sin\Theta}$ и приложим две равные и противоположно направленные силы $P_{cos\Theta}$ в верхнем конце оси пиллерса (точка A).

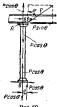


Рис. 60.

Сила $P_{cos\Theta}$ эквивалентна центральной нагрузке $P_{cos\Theta}$, моменту $eP_{cos\Theta}$ и поперечной силе $P_{sin\Theta}$, приложенным к точке A .

Ясно, что пиллерс может лишь незначительно сопротивляться поперечной силе $P_{sin\Theta}$, которая стремится вызвать его боковое смещение, показанное на рис. 61; в этом случае получается наиболее нежелательное условие нагружения пиллерса в виде комбинации из из-

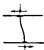


Рис. 61.

тогающего момента и эксцентричного сжатия. На военном корабле, однако, жесткость корпуса обычно настолько велика, что перекосы поперечных сечений его не могут вызвать такого значительного изгиба пиллерса, показанного на рис. 61. Поэтому обычно поперечными силами можно пренебречь, но все-таки бывают случаи, когда необходимо наличие этих сил учитывать и предусматривать для их восприятия диагональные подкрепления или иные связи. Такие подкрепления приходится делать, например, в пиллерсах, поддерживающих ростерные бимсы под цапфами.

Если пиллерс жестко закреплен у нижнего конца, то пара сил $R \cos \theta$, действующая у его верхнего конца, будет уравновешена из-



Рис. 62.

ыемом, приложенным в нижнем закреплении конца пиллерса. Этот момент может быть представлен в виде двух реакций сил $R \cos \theta$, из которых одна, параллельная линии, действует по оси пиллерса и другая, направленная вверх, приложенная в расстоянии a от оси. Так как все силы, действующие по оси пиллерса, взаимно уравновешиваются, то окончательно останутся лишь две силы $R \cos \theta$, действующие в противоположном направлении вдоль одной и той же вертикальной линии, в расстоянии a от оси пиллерса. Эти две эксцентрически действующие силы производят первое сжатие пиллерса и шаги его дистанционным моментом $R \cos \theta a$.

Если пиллерс имеет шарнирное закрепление нижнего конца, то реакция в этом конце, создаваемая моментом, приложенным в верхнем конце, будет в виде горизонтальной силы, показанной на рис. 62, так как в шарнире, если пренебречь трением, не может возникнуть реактивного момента. Горизонтальная реакция в шарнире может быть определена из условия:

$$R' = R \cos \theta.$$

В этом случае пиллерс будет подвергаться действию изгибающего момента, увеличивающегося от точки B к A .

Если конструкция, к которой закреплен нижний конец пиллерса, недостаточно жесткая, то получающиеся здесь реакции будут иметь промежуточное значение между рассмотренными выше реакциями при полном закреплении и при шарнирном закреплении этого конца пиллерса.

В этом случае будут существовать и реактивный момент и реактивная сила, сближающие переменный по величине момент вдоль пиллерса.

В судовых конструкциях пиллерсы имеют оба конца или закрепленными, или свободно опорными, и поэтому с горизонтальной реакцией R придется бы считаться лишь для пиллерсов с закрепленными концами, входящими в состав недостаточно жесткой конструкции. На военные корабли имеют настолько жесткую конструкцию корпуса по сравнению с жесткостью пиллерса, что горизонтальными реакциями R можно пренебречь. На основании сказанного выше можно при расчете пиллерсов не считаться со всеми силами, параллельными к оси пиллерса, и рассматривать только центральную или эксцентрическую нагрузку, параллельную этой оси¹.

¹ Ввиду противоречий высказанных по этому вопросу ему здесь уделено достаточно большое внимание.

Во избежание добавочных напряжений при значительных эксцентрических нагрузках лучше всего концы пальеров закрепить шарнирно. Такой случай может быть для бортовых пальеров подводных лодок, показанных на рис. 38 (см. также пример в конце этого раздела).

3. Формула Монкрайфа. Рассмотрим сначала центрально нагруженную колонну. Формула для вычисления критической нагрузки центрально нагруженной колонны должна учитывать нелиней в колонне избыточных, неизбежных в практике, отклонений от идеальных условий. Такой учет по необходимости должен носить экспериментальный характер, но он должен базироваться на результатах экспериментов и работы существующих конструкций, т. е. расчетная формула должна быть выведена на рациональной базе и быть согласованной с результатами всех известных надежных опытных исследований. Формула, предложенная Монкрайфом¹, удовлетворяет этим условиям. Она базируется на данных более 2000 испытаний, произведенных различными экспериментаторами, включая все надежные испытания до 1900 г., и подтверждается результатами более поздних испытаний.

Монкрайф при выводе своей формулы принял такой эксцентриситет, при котором она дает нижний предел для критической нагрузки, полученной путем эксперимента.

Мы не будем здесь подробно разывать этот формулу, но лишь отметим главнейшие моменты этого развиия и сделанные при этом допущения. Формула выведена из основного выражения для случая одновременного сжатия и изгиба стержня:

$$P_c = \frac{P}{F} + \frac{P(\mu + \delta)}{I} y = P \left(1 + \frac{\mu + \delta}{\sigma} y \right),$$

где P_c — временное сопротивление материала на сжатие, которое для стали, железа и сплавов может быть принято равным временному сопротивлению материала на растяжение; для различных пород дерева значения временного сопротивления на сжатие приведены в табл. 3;

μ — эксцентриситет, обусловленный первоначальной кривизной оси колонны и эксцентриситетом приложенной нагрузки;

δ — наименьшее значение сжимающего напряжения, полученное по результатам испытаний колонн на сжатие при принятом Монкрайфом предположении относительной величины μ :

Δ — стрелка прогиба от изгиба в среднем сечении колонны;

y — отстояние крайней фибры сечения от нейтральной оси.

Монкрайф сделал допущение, что кривая изгиба колонны является параболой. В этом случае для колонны со свободно поворачивающимися концами было получено

$$\Delta = \frac{\mu E l^2}{3E\delta - \frac{5}{6} \rho l^3},$$

Значения E модуля упругости, входящего в это выражение, даны в табл. 6.

¹ „The Practical Column“. Am. Soc. Civ. Eng. 1901.

Таблица 6

Материалы	Модуль упругости E	Материалы	Модуль упругости E
Сварочный железо	$1,97 \cdot 10^9$	Ясень и кавадская сосна . . .	$1,1 \cdot 10^9$
Все сорта стали	$2,1 \cdot 10^9$	Сосна жесткая	$1,4 \cdot 10^9$
Сосна белая	$0,98 \cdot 10^9$	Дуб	$1,4 \cdot 10^9$
Дугласова ель	$1,2 \cdot 10^9$		

Подставив выражение для A в выражение для p_e и определив отсюда $\frac{I}{r}$, получим:

$$\frac{I}{r} = \sqrt{\frac{43E \left(p_e - 1 - \frac{e^2}{r^2} \right)}{E p_e + p \left(\frac{e^2}{r^2} - 1 \right)}}.$$

Основываясь на результатах испытаний колонн, Монкрифф принял величину $\frac{e^2}{r^2}$ равной 0,6, что соответствует для сплошной цилиндрической колонны эксцентрикитету, равному $0,3r$, и представил свою формулу в следующем виде:

$$\frac{I}{r} = \sqrt{\frac{0,46 (p_e - 1,4p)}{p (p_e - 0,86p)}}. \quad (82)$$

По этой формуле в Бюро постройки и ремонта американского флота были построены таблицы для расчета пиллерсов¹. Как видно, эта формула выведена в предположении, что разрушение колонн происходит от появления в ней трехмерных скимающих напряжений, что и наблюдается в действительности у судовых пиллерсов и стоеч из сварочного железа или стали, если не применяются пиллерсы с пакетами концов. У чугунных колонн разрушение может произойти в результате появления чрезмерных растягивающих напряжений, и для использования формулы в этом случае необходимо в ней соответствующим образом изменить знаки.

Если колонна нагружена эксцентрической нагрузкой, причем величина эксцентрикитета e известна, то влияние наличия такого эксцентрикитета может быть учтено прибавлением его к ненужному эксцентрикитету e в вышеприведенной формуле.

Придавая величине $\frac{e^2}{r^2}$ прежнее значение 0,6, мы получим следующее выражение для случая действия эксцентрической нагрузки:

$$\frac{I}{r} = \sqrt{\frac{0,46 \left[p_e - p \left(1,6 + \frac{e^2}{r^2} \right) \right]}{p \left[p_e + p \left(\frac{e^2}{r^2} - 0,46 \right) \right]}}. \quad (83)$$

¹ Альдегров, „Column Tables for Ship Work”, 1st edition, Marine Engineering, 1900.

Если колонна имеет концы не свободные, а закрепленные, то в приведенных выше формулах следует величину I заменить на $\frac{1}{2}I$, т. е. величину $\frac{l}{r}$ на $\frac{1}{2}\frac{l}{r}$, где l — длина колонны. Если нет уверенности в полном закреплении концов колонны, то должно быть принято некоторое промежуточное значение между $\frac{l}{r}$ и $\frac{1}{2}\frac{l}{r}$.

Для колонны переменного сечения, имеющей закрепленные концы, площадь и радиус инерции должны вычисляться для наименьшего поперечного сечения колонны. Для колонны с шарнирными концами, если плоскость разрушения ее определяется конструкцией опорных шарниров, радиус инерции должен приниматься соответствующим этой плоскости при том условии, однако, чтобы он не превосходил более чем в два раза наименьшего радиуса инерции сечения колонны.

4. Кривые. Для облегчения пользования формулой Мюнкаффа могут быть построены соответствующие кривые¹ для разных сортов стали, принимая в качестве аргумента отношение $\frac{l}{r}$.

Эти кривые наглядно показывают, что колонны с малым отношением $\frac{l}{r}$ из стали высокого сопротивления выдерживают нагрузку гораздо большую, чем такие же колонны из менее прочной стали, в то время как для тонких колонн, т. е. колонн, имеющих большое отношение $\frac{l}{r}$, эта нагрузка не зависит от качества стали. Принцип заключается в том, что при малых отношениях $\frac{l}{r}$ доминирующим фактором в сопротивлении колонны является временное сопротивление материала (а также предел текучести), в то время как при больших отношениях $\frac{l}{r}$ доминирующим фактором в сопротивлении колонны является модуль упругости E , значение которого для всех сортов стали практически одинаково.

В опытах Хираги² (Y. Hiraga) было найдено, что при стоянках $1/d$ от 12 до 26 колонны из никелевой стали высокого сопротивления выдерживали почти на 40% большую нагрузку, чем колонны из мягкой стали. Однако с увеличением длины колонн это преимущество стали высокого сопротивления уменьшалось, и при большой длине колонны из стали высокого сопротивления и из мягкой стали выдерживали одинаковую нагрузку.

5. Конструкция концов. Колонны с закрепленными концами должны иметь постоянное поперечное сечение. Колонны с шарнирными концами могут суживаться по направлению к концам.

Колонны и иные подвергавшиеся сжатию конструкции, состоящие из листов и уголников, должны иметь толщины всех частей не менее $\frac{1}{10}$ расстояния между сквозьими, поддерживаемыми эти части. Части, имеющие свободные кромки, должны быть толщиной не менее $\frac{1}{10}$ их выступающей ширине. У круглых колонн толщина стенок не должна быть менее $\frac{1}{10}$ диаметра. Эти правила преследуют цель предотвратить изгиб и выпучивание; они показаны в оканзии рас. 63.

¹ См. выше ссылку на работу Андерсона.

² Jap. Soc. Nav. Arch., 1913.

6. Коэффициенты безопасности. Формула Монкрайфа, выведенная в предположении наличия некоторого первоначального эксцентриситета, дает минимальнную нагрузку, при которой колонна, в соответствии с результатами производившихся многих испытаний, подвергается разрушению. В этом отношении эта формула радикально отличается от всех других подобных формул, которые отображают среднее, но не наименее результаты испытаний. Это обстоятельство должно быть учтено при назначении коэффициента безопасности, так как очевидно, что в данном случае он может быть выше, чем обычно. Нагрузка, определенная формулой Монкрайфа, вероятно, очень близка к той, при которой достигается предел упругости в какой-либо точке



Рис. 62.

коэффициентом. Поэтому представляется правильным уменьшить коэффициент безопасности в том же отношении, в каком находятся между собой временное сопротивление и предел упругости материала. Вместе изменения коэффициента безопасности, например, четыре, который обычно назначается, когда нагрузка, включающая статические и динамические усилия, может быть оценена с достаточной достоверностью, рекомендуется назначать коэффициент безопасности от двух до трех. Если нагрузка не может быть определена с достаточной точностью, коэффициент безопасности должен быть соответственно увеличен.

Если возможно сделать непосредственное сравнение с подобной колонной, находящейся в одинаковых условиях работы на построенном корабле, опредавшем себя продолжительной службой, то такое сравнение должно быть использовано в качестве руководящего при выборе коэффициента безопасности.

В обычной инженерной практике коэффициент безопасности относит к напряжению; во многих случаях это оказывается равносильным относению его к изгибающей нагрузке. Например, при пользовании общей формулой упругого изгиба результат будет одинаков, относить ли коэффициент безопасности к изгибающему моменту или к напряжению. Формула Монкрайфа может рассматриваться, как простое отображение результатов большого числа испытаний, и на её построении вытекает, что коэффициент безопасности следует относить непосредственно к р. т. е. к удельной нагрузке колонны¹.

7. Сжатые стержни в железнодорожных мостах². Интересно сравнить принятенные здесь правила с практикой гражданского строительства. В конструкциях железнодорожных мостов допускаемое осевое сжатие определяется формулой:

$$P_2 = \left(1120 - 4,9 \frac{1}{r} \right) \text{ кн}, \quad (84)$$

¹ E. Anderson, Int. Mat. Eng., 1912.

² Am. Railw. Engg. Ass., Sectional Specification, 1910.

где P_s — допускаемое напряжение, которое не должно превосходить 1000 ат.

Эта формула содержит коэффициент безопасности, введенный в нагрузку, что видно из следующих сопоставлений.

Сравнивая значения p_s , получаемые по этой формуле, со значениями p_s , получаемыми по формуле Монтиффа, можно видеть, что при $\frac{r}{r} = 30 - 150$ коэффициент безопасности по формуле (84), относительный к нагрузке, получается равным от 2,5 до 2, что хорошо согласуется с рекомендованным выше его значением. Длина основных скользящих стержней конструкций железнодорожных мостов не допускается выше, чем в 100 раз превосходящий наименьший радиус инерции сечения ($\frac{r}{r} < 100$); при таком ограничении отношение $\frac{r}{r}$ рабочее напряжение не допускается выше 630. По формуле Монтиффа, для отношения $\frac{r}{r} = 100$ и для обыкновенной стали критическое напряжение получается порядка 1400 ат. Соответствующий этому коэффициент безопасности, равный $1400 : 630 = 2,2$, согласуется с рекомендованным выше его значением.

В более современной¹ практике американского гражданского строительства применяется следующая расчетная формула для конструктивной стали:

$$P_s = \frac{1270}{\mu} \text{ ат}, \quad (84')$$

$$1 + \frac{16000r}{r}$$

В этой формуле величина допускаемого напряжения лимитируется значением 1050 ат при $\frac{r}{r} < 55$. Формула (84') дает несколько большее значение для допускаемого напряжения по сравнению со старой формулой (84).

Б. Примеры. Пример 1. Определить коэффициент безопасности для трубчатых пиллеров диаметром 203 мм, установленных под центральным коридором на колесах водопроводчиками 22000 кг, в расположении 1,2 м друг от друга; длина пиллеров $l = 520$ см, расчет напряжен $r = 1,3$ см, площадь поперечного сечения $F = 62$ см², применена сопротивляемость стали $p_s = 4200$ ат.

Рассматриваем пиллер как винтовую с закрепленными концами, находим по формуле (82) для значения

$$\frac{1}{2r} = \frac{235}{2 \cdot 1,3} = 36,6,$$

критическое напряжение равно:

$$p = 2440 \text{ ат.}$$

Соответствующая критическая нагрузка

$$P = Fp = 62 \cdot 2440 = 300000 \text{ кг} = 300 \text{ т.}$$

Допустим, что когда корабль находится в доке, то одна четверть его общего веса распределяется равномерно между центральным килью и двумя сопротивляемыми с изгибом, равной 127 кг. В этом случае на каждый пиллер будет действовать самая малая нагрузка, равная

$$P = \frac{22000 \cdot 1,3}{4 \cdot 127} = 52 \text{ т.}$$

¹ Shad, T. C., Structural Design in Steel, 1934.

Коэффициент безопасности пиллерса получается равным $\frac{200}{52} = 3,85$. Этот коэффициент безопасности, конечно, имеет значение только для сравнения с другим: также же получим.

Пример 2. Проверить прочность бортаевого пиллера, установленного в короткую наружную коробку при следующих данных: действующая на пиллер сжимающая нагрузка $P = 15,0 \text{ кн}$; длина пиллера, считая концы его закрепленными, $l = 348 \text{ см}$; площадь поперечного сечения $F = 35,2 \text{ см}^2$; радиус изгиба сечения $r = 4,15 \text{ см}$; состояния крайних фибр от изгибающей силы $\mu = 3,2 \text{ см}$; критическое напряжение стальной стали $\sigma_c = 4200 \text{ кн}/\text{м}^2$, малость упругости $E = 2,1 \cdot 10^5 \text{ дин}/\text{м}^2$.

1. Предположим сперва, что нагрузка действует на пиллер сжатием по центральности. По формуле (82) получим для значения

$$\frac{l}{r} = \frac{248}{3 \cdot 4,15} = 20,9 \\ \rho = 2500 \text{ дин.}$$

Коэффициент безопасности получается равным:

$$\frac{F \cdot \rho}{P} = \frac{35,2 \cdot 2500}{15000} = 5,8.$$

2. Предположим, что, учитывая условия установки пиллера, следует допустить возможность образования в нем изогнутого края порядка $\varepsilon = 6 \text{ см}$.

Значение величины

$$\frac{\rho l}{r^2} = \frac{0,2 \cdot 6}{4,15^2} = 2,16.$$

Подставив найденные числовые значения в формулу (82) для изогнутой нагрузки, получим:

$$29,39 = \frac{0,6 + 3,1 \cdot 10^3 (4200 - \mu(1,6 + 2,16))}{\mu(4200 + \mu(1,6 + 2,16 - 0,88))},$$

откуда получаем уравнение:

$$\rho^2 - 3,56 \cdot 10^6 \rho + 2,73 \cdot 10^8 = 0.$$

Решение уравнения дает

$$\rho = 1070 \text{ дин.}$$

Коэффициент безопасности получается равным

$$\frac{35,2 \cdot 2160}{15000} = 2,4.$$

Отсюда видно, что принятая изогнутостью действующей нагрузки повышает прочность пиллера на

$$100 \cdot \frac{3,6 - 2,4}{3,6} = 37 \text{ %.}$$

3. Предположим, что у рассматриваемого пиллера концы были бы закреплены шарнирами, причем расстояние между осями этих шарниров было равно $l = 230 \text{ см}$. В этом случае

$$\frac{l}{r} = \frac{230}{4,15} = 55,5$$

критическое напряжение

$$\rho = 2160 \text{ дин.}$$

Коэффициент безопасности получается равным

$$\frac{35,2 \cdot 2160}{15000} = 4,83.$$

Полученные значения коэффициента безопасности показывают, что пиллер с закрепленными концами оказывается почти в два раза прочнее, чем та же пиллер с закрепленными концами, но нагруженный изогнутой нагрузкой.

Пример 3. Палубный панельс поддерживает прогон бимса длиной 5,5 м при расстоянии между бимсами 1,2 м; палуба загружена равномерной нагрузкой 1450 кг/м². Длина панельса $l = 2,05$ м, наружный диаметр 140 мм, внутренний диаметр 130 мм; весом панельса пренебречь.

Действующая на панель нагрузка

$$P = 5,5 \cdot 1,2 \cdot 1450 = 3990 \text{ кг.}$$

При центральном расположении этой нагрузки значение критической нагрузки панельса получается равным 60 кг в коэффициенте безопасности 7,5. Если предположить, что действующая нагрузка приложена в расстоянии 0,7 м от оби панельса, то коэффициент безопасности уменьшается до 3,9, т. е. прочность панельса уменьшается почти в два раза по сравнению со случаем действия центральной нагрузки, но все же выше прочности будет вполне достаточными.

27. Листы под действием сжатия и среза

В приводимых ниже материалах широко использованы различные работы С. П. Тимошенко.

1. Выпучивание листов под действием простого сжатия. Этот вопрос представляет особый интерес применительно к настелу палуб и обшивке листов быстроходных кораблей легкой постройки. Действительно, известно, насколько ступает выпучиванием листов из краев винтоносцев.

Листы подвергаются системой поперечных и продольных бород, которые образуют прямугольные участки листов различных размеров, имеющих различную степень закрепления их краев.

При ходе корабля против волн листы палуб и листа подвергаются изгибующим усилиям, действующим в плоскости листов и приложенным к их поперечным кромкам. Нужно знать, не происходит ли выпгиб (выпучивание) листов, прежде чем будет достигнуто в них предел текучести материала.

Обозначим буквами a и b соответственно продольный и поперечный размеры участка листа, как показано на рис. 64. Поведение рассматриваемого участка листа при действии сжимающих усилий, приложенных к поперечным кромкам, зависит от отношения толщины листа $\frac{a}{b}$ к его главным размерам, от отношения $\frac{a}{b}$ и характера заделки листа на его окончаниях кромках.

Если лист имеет возможность свободно возвращаться около осевой кромки, но не может перемещаться в своей плоскости в направлении, нормальному к этой кромке, то говорит, что он свободно опирается; если лист не может ни вращаться, ни перемещаться, то говорят, что лист закреплен или жестко заделан. Обычно однорядное заклепочное крепление листа с большими шагами заклепок поперечным или швартовным не может преодолеть вращение его при выгибах; они могут выпнуться наружу с одной стороны и внутрь с другой стороны опорной кромки и поэтому должны рассматриваться как свободно опираться.

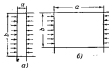


Рис. 64.

Рассмотрим сначала случай очень узкого участка листа, симметричного по направлению его торцовых сторон, как показано на рис. 64, а; пусть, например, $\frac{b}{a} > 6$. Это может относиться к листам машиносцев, построенных по старой системе, на которых расстояние между поперечными балками очень мало по сравнению с расстоянием между продольными балками.

Наибольшее критическое напряжение для случая свободно опертых всех четырех кромок дается формулой:

$$P = \frac{\pi^2 E b^4}{12(a^2 - 1)} \cdot \frac{R^2}{a^2}. \quad (85)$$

Эта формула отличается от обычной формулы Эйлера для стержня длиной a лишь множителем $\frac{\pi^2}{a^2 - 1}$, которым учитывается, что в сжатом листе свободное поперечное удлинение в его плоскости невозможно.

При значении $m = 7\%$, величина этого множителя равна 1,1, т. е. критическое напряжение листа на 10% больше, чем оно было бы в отдельной элементарной полоске. Следует отметить, что размер листа b не входит в эту формулу. Кромки, параллельные сжимающим усилиям, предполагаются настолько удаленными, что они уже не оказывают заметного влияния на проявление листа поддали от этих кромок.

При $E = 2,1 \cdot 10^5$ ам и $m = 7\%$, формула (85) представлена в виде:

$$P = \frac{9,87 \cdot 2,1 \cdot 10^5 \cdot 1,1}{12} \cdot \frac{R^2}{a^2} = 1,9 \cdot 10^5 \cdot \frac{R^2}{a^2} \text{ ам.} \quad (85')$$

Если лист может считаться закрепленным задолго до его поперечных кромок b , то правую часть выражения (85) следует помножить на 4, и формула (85) для этого случая представляется в виде:

$$P = 7,6 \cdot 10^4 \cdot \frac{R^2}{a^2} \text{ ам.} \quad (86).$$

Для участков листа с различными отношениями между сторонами, когда $a > \frac{1}{6} b$, как показано на рис. 64, б, и при разных условиях закрепления его на опорных кромках критическое сжимающее напряжение может быть выражено следующей более общей формулой:

$$P = k P_0, \quad (87)$$

где

$$P_0 = \frac{\pi^2 E b^4}{12(a^2 - 1)} \cdot \frac{R^2}{a^2}; \quad (88)$$

k — коэффициент, величина которого зависит от отношения $\frac{a}{b}$ и характера закрепления оконных кромок листа;

b — длина кромок, по которым приложено равномерное сжимающее усилие в плоскости листа.

Если принять $E = 2,1 \cdot 10^5$ ам и $m = 7\%$, то выражение (88) представляется в виде:

$$P_0 = 1,9 \cdot 10^5 \cdot \frac{R^2}{a^2} \text{ ам.} \quad (88')$$

Рассмотрим, например, миниосец, имеющий продольную систему набора, состоящую из легких близко расположенных продольных балок и тяжелых широко расположенных поперечных балок. Хотя поперечные опорные кромки листов можно практически считать закрепленными, но так как участки листов получаются относительно длинными, то на них в продольном направлении может образоваться несколько волн от выпучивания, поэтому значение закрепления этих кромок будет неизвестным. Если легкие продольные балки листы могут выпучиваться в соседних участках в разных стороны, поэтому закрепленные листы вдоль длинных кромок не может быть значительны. С некоторой ошибкой в бозонесную сторону следует принять все четыре кромки участка листа свободно опретыми.

В этом случае коэффициент k_1 , зависящий от отношения $\frac{a}{b}$, может быть вычислен по формуле:

$$k_1 = \left(\frac{a}{ab} + \frac{ab}{a} \right)^{\frac{1}{2}}, \quad (89)$$

где a — целое число, равное числу полутона в продольном направлении, образующихся при выпучивании листа.

Число a должно быть выбрано таким, при котором выражение (89) получает наименьшее значение.

В поперечном направлении, т. е. в направлении, нормальном к склоняющим усилиям, образуется лишь одна полуволна. При малом значении a сравнительно с b первым слагаемым в выражении (89) можно пренебречь, и тогда формула (88) после замены в ней b на a обращается в формулу (86). Величины коэффициента k_1 для разных значений отношения $\frac{a}{b}$ даны в табл. 7; a должно быть выбрано в каждом частном случае таким, чтобы величина коэффициента k_1 получалась наименьшей.

Таблица 7

$a:b$	0,4	0,5	0,6	1,0	1,2	1,4	1,6
b	1	1	1	1	1	2	2
k_1	8,41	5,14	4,20	4,00	4,13	4,47	4,20
$a:b$	1,8	2,0	2,3	2,4	2,7	3,0	3,3
b	2	2	3	2	3	3	4
k_1	4,06	4,00	4,04	4,13	4,04	4,06	4,07

На этой таблице видно, что при всех значениях a , кратных b , коэффициент k_1 получается наименьшим и равен $k_1=4$. В этих случаях длина полутона становится равной ширине панели, т.к. что одна выпу-

лучшия приходится на квадрат со стороной b . Если a очень велико сравнительно с b , то коэффициент k_0 может быть принят равным 4.

Если критическое напряжение σ окажется ниже предела текучести материала, то оно должно быть принято в качестве критерия, определяющего величину рабочего напряжения. Однако, если критическое напряжение окажется намного меньше предела текучести материала, то целесообразнее увеличить жесткость листа и этим повысить критическое напряжение, чем помножать рабочее напряжение. Такое увеличение жесткости листа может быть получено или за счет увеличения их толщины t , или за счет уменьшения расстояния между продольными балками b . Если по тем или иным причинам сделать это не представляется возможным, то листы должны быть подкреплены дополнительными промежуточными ребрами. Поперечные ребра уменьшают отклонение δ , но это уменьшение не отражается заметным образом на значение R , так как оно мало влияет на величину коэффициента k , до тех пор, пока a не уменьшится до величины, равной окончательной b . Отсюда следует,

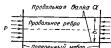


Рис. 65.

что участок листа, имеющий длину, например в три раза больше ширины, нужно было бы подкрепить по меньшей мере пятью поперечными ребрами.

Целесообразнее было бы подкреплять лист продольными промежуточными ребрами. При установке одного продольного ребра посередине участка (рас. 65) ширина b уменьшится до $b/2$, и вследствие этого, как это видно из выражения (85), критическая нагрузка увеличится в четыре раза. В некоторых случаях может представляться целесообразным подкреплять лист более, чем одним промежуточным ребром жесткости. Нужно отметить, что ребра жесткости можно изготавливать интегральными.

Установка промежуточных ребер жесткости является наиболее целесообразным средством для увеличения жесткости листов, но для того, чтобы это средство давало полный эффект, необходимо, чтобы промежуточные ребра сами обладали достаточной жесткостью для предотвращения изгиба при выпучивании листов. Для выполнения этого требования без излишнего утолщения ребер их размеры могут быть найдены в результате специального расчета, как рекомендовано С. П. Тихошенико¹.

Было отмечено, что участки листов, связанные с припугольным контуром, могут выпучиваться без разрушения. После прекращения действия нагрузки листы, поскольку напряжения не превосходили предела текучести, снова выпрямляются. Необходимо поэтому отыскать критическую нагрузку, при которой начинается явление выпучивания и при которой, следовательно, часть листа перестает сопротивляться сжатию от разрушающей нагрузки, и нагрузку, при которой происходит полное разрушение листов.

Для случая свободно опущенных кромок листа Каррон² сделал приближенное допущение, что после начала выпучивания листа вся час-

¹ Theory of Plastic Stability. Section 20.

² Am. Soc. Mech. Eng., 1932.

или нагрузка предполагает восприниматься двумя его волокнами, с каждой стороны приложением к продольным балкам b , параллельным сжимающим усилием. При этом считалось, что нагрузка равномерно распределяется по ширине этих волокон, не зависящей от общей ширины листа b , а только зависящей от толщины листа и предела текучести материала. Это допущение получило экспериментальное подтверждение, и мы имеем поэтому оправление для введения в расчеты продольной прочности коробки «эффективной шириной листа».

Согласно Исследованию Кретика, общая ширина указанных полосок определяется следующим приближенным выражением:

$$\frac{b}{b} = \frac{4\pi E \sigma_{y0}^2}{12(\mu^2 - 1)} \cdot \frac{\rho_0}{\rho_t} = 7,6 \cdot 10^6 \cdot \frac{\rho_0}{\rho_t}, \quad (8)$$

где ρ_t — предел текучести, дм.

Видно, что выражение (8) может быть получено из выражений (87) и (88) заменой в последнем величины b на b , ρ_0 на ρ , и положив $k=4$. Это показывает, что после начала выпучивания лист ведет себя как свободно опертый участок листа шириной b_0 , имеющий длину, равную или кратную ширине, и такую толщину, при которой выпучивание начинается при напряжении, равном пределу текучести.

Для стали, имеющей предел текучести $\rho_t = 2300$ дм, выражение (8) для «эффективной ширины» листа (b_0) принимает вид:

$$b_0 = 53t.$$

Учитывая влияние полок стальных балок, можно заключить, что для полного использования сопротивления листа расстояние между окончаниями полок не должно превышать 60 г.

В некоторых случаях кромка, параллельные сжимающим усилиям, оказываются заделанными, в то время как две остальные кромки участка листа остаются свободно опертymi. Это может быть, например, в случае крепления листов к высоким продольным балкам двойным рядом заклепок, а к легким поперечным балкам — одним рядом заклепок. В этом случае для коэффициента k в выражении (87), который обозначен знаком λ , должны быть приняты значения, приведенные в табл. 8.

Таблица 8

a/b	0,4	0,5	0,6	0,7	0,8	0,9	1,0	1,1	1,2	1,4	1,6	1,8	2,1
λ_0	0,44	7,60	7,05	7,00	7,29	7,30	7,69	7,05	7,00	7,29	7,05	7,00	7,00

Из сравнения этой таблицы с табл. 7 видно, что устойчивость листов существенно повышается благодаря заделке их по продольным кромкам. Наименьшее критическое напряжение получается в этом случае при $\frac{a}{b} = 0,7$, и поэтому сжатый лист большой длины при выпучивании разбивается на призматические участки, имеющие указанное выше отношение их сторон. При $\frac{a}{b} > 2$ значение коэффициента k_0 может быть с достаточной точностью принято равным $k_0 = 7,0$. Часто

условие закрепления кромок листов должны быть приняты, как некоторые средние между двумя рассмотренными выше крайними случаями.

Численный пример. Участок надувного настила из материала ограниченного продольными балками, расстояние между которыми равно 25 см, и поперечными балками, расположенным в расстоянии 210 см друг от друга. Толщина настила 0,5 см. Требуется проверить прочность настила против выпучивания при действии продольной сжимающей нагрузки. Листы настила рассматриваются как свободно свернутые по всем четырем кромкам. Всю нагрузку, учитываемую влияние полос продольных и поперечных балок, находим:

$$a = 200 \text{ см}; b = 50 \text{ см}; \frac{a}{b} = 4.$$

По выражению (88')

$$p_0 = 1,9 \cdot 10^6 \cdot \frac{0,63}{500} = 300 \text{ дж.}$$

По табл. 7 $k_1 = 4,0$ и по выражению (87)

$$p = 4,0 \cdot 300 = 1200 \text{ дж.}$$

Полученное критическое напряжение явилось наименьшим пределом текучести материала. Это подтверждает достоверность правила, приведенного в разд. 6, п. 10, согласно которому полученное в данном примере отношение $\frac{b}{a} = 0,05$ следует признать слишком большим. Уменьшив расстояние между продольными балками до 40 см ($\frac{b}{a} = 0,05$), мы получили бы критическое напряжение равным $p = 2420$ дж, т. е. для данной пределу текучести материала. При увеличении толщины листов до 0,1 см для изменения расстояния между балками мы получили бы $\frac{b}{a} = 0,05$ и критическое напряжение $p = 3700$ дж, вскоре сказавшись бы оправдано благоприятным с рассматриваемой точки зрения. Третьим средством могло бы быть подкрепление листа средними промежуточными ребрами. В этом случае мы имели бы $a = 25 \text{ см}, \frac{b}{a} = 8$, что дало бы склон $k_1 = 4,0$ и мы имели бы, что $p = 4800$ дж; при этом пользуясь бы хороший коэффициент бедствия против выпучивания листа.

2. Выпучивание, вызываемое срезывающими силами. Продольный изгиб корабля всегда сопровождается инженерным срезом в вертикальных плоскостях. Этот срез вызывает горизонтальный продольный срез, величина которого в каждой точке равна вертикальному срезу. В разд. 7 было указано, как изменяется величина горизонтальных и вертикальных касательных напряжений и что они обычно достигают наибольшей величины у нейтральной оси в сечениях, расположенных на расстоянии около одной четверти длины корабля от его оконечностей.

При кручении вертикальноющая сила постоянна в данном сечении, но касательные напряжения изменяются в зависимости от толщины листов.

Мы здесь рассмотрим вызываемое срезом выпучивание или гофрование участков листа между продольными и поперечными балками, предполагая равномерное распределение срезывающих усилий вдоль симметричных кромок листа.

Явление это аналогично выпучиванию листов под действием простого сжатия. В данном случае выпучивание проходит также под действием сжатия, но направление этого сжатия наклонно к кромкам

листа и сопровождается растяжением в перпендикулярном направлении.

Критическое значение срезывающего (касательного) напряжения можно найти по приведенному выражению (87), но входящий в него числовой коэффициент k_3 надо взять из табл. 9, т. ч.:

$$\tau_{cr} = k_3 \rho_0$$

Выражение (88) для ρ_0 остается без изменения.

Таблица 9

a/b	1,0	1,2	1,4	1,5	1,6	1,8	2,0	2,5	3,0	∞
k_3	9,4	8,0	7,3	7,1	7,0	6,8	6,4	6,3	6,1	5,4

Численный пример. Приведенные данные могут быть использованы для вычисления краевого отношения $\frac{b}{t}$, при котором становится возможным гофрирование участка листа в проиле его между двумя ребрами, как это показано на рис. 17.

Рассмотрим лист из мягкой стали с пределом текучести для касательных напряжений 1400 кг/см² и предположим сначала, что лист подвергнут действию горизонтальных ребер. Предполагая, что кроме листа свободно оперты, получим из табл. 9 для $\frac{d}{b} = \infty$ $k_3 = 5,4$. Приведем критическое напряжение пределу текучести материала и пользуясь выражением (87'), получим:

$$1400 = 5,4 + 1,9 + 30 \cdot \frac{P}{b t},$$

отсюда

$$\frac{P}{t} = \sqrt{\frac{5,4 + 1,9 + 10^6}{30 b}} = 85,5.$$

В случае изогнутого подкрепления листа продольными ребрами в таком расстоянии друг от друга, что $\frac{d}{b} = 3$, мы получили бы:

$$k_3 = 6,1 \text{ и } \frac{P}{t} = 91.$$

Если бы расстояние между продольными ребрами было такое же, что и между поперечными, то

$$k_3 = 9,4 \text{ и } \frac{P}{t} = 113.$$

Примем такой вид листа и участку падубового щестия, имеющей, рассмотренную в приведенном ранее численном примере, для которого $\frac{d}{b} = 4$, мы получили бы $k_3 = 6,0$ и предельные значения для отношения $\frac{P}{t}$ равным 90. В действительности эта величина была равна 80; следовательно, не должно быть сомнений, что гофрирование произошло от ненесенных напряжений.

ГЛАВА VIII

ЗАКЛЕПКИ И ЗАКЛЕПОЧНЫЕ СОЕДИНЕНИЯ

Прочность и водонепроницаемость корпуса в большой степени зависят от типа и качества соединения его отдельных связей. Это соединение выполняется двумя способами — клепкой и сваркой.

Клепка является наиболее распространенным методом соединения, однако в последние годы была инвада сварки, которая различалась до такой степени, что стала серьезным конкурентом клепки.

Сварка будет рассмотрена отдельно в гл. X.

§8. Заклепки

1. Материалы заклепок. Как общее правило, заклепки должны изготавливаться из того же материала, что и соединяемые ими части корпуса, но их пластичность должна быть несколько большей. В соответствии с этим правилом в военном кораблестроении применяются заклепки из мягкой стали или из стали повышенного сопротивления. Вначале применение стали повышенного сопротивления вызывало затруднения. Заклепки из этой стали при остыании несколько заклинивались, часто давали трещины, их головки довольно легко отскакивали. Заклепки из мягкой стали более надежны, но иногда они применяются для соединения конструкций из более твердой стали, прочность их за счет уменьшается, а потому требуется значительно увеличивать их число или размеры. Затруднения, связанные с применением заклепок из стали повышенного сопротивления, в настоящее время в значительной части устранины, и такие заклепки из специальных сталей (никелевой или марганцовистой) обычно при механизированной клепке широко применяются. Тем не менее существует мнение, что мягкая сталь является выдающимся материалом для всех заклепок, требующих нагрева при их постановке, т. е. для заклепок диаметром больше 10 мм.

В американском флоте заклепки из мягкой стали применяются для соединения связей из такой же стали. Заклепки из стали повышенного сопротивления (марганцовистой) применяются для соединения связей из стали повышенного сопротивления, а также и в тех случаях, когда соединяемые связи из разных сортов стали, то от соединения требуется особая прочность. Связи из специальных сортов сталей и никелиной стали обычно соединяются заклепками из стали повышенного сопротивления. Заклепки диаметром менее 10 мм независимо от их материала ставятся в холодном состоянии, так как при нагревании таких заклепок подвергается слишком большому охлаждению (окалина). Стальные заклепки диаметром 10 мм и больше должны

становиться в нагретом состоянии во всех соединениях, где требуется непроницаемость или прочность.

По опытам Барнаби (B. W. Barnaby)¹, для малых заклепок сталь является менее податливым материалом, чем железо, так как стальные заклепки так быстро изнашиваются в отверстии, что они легко закаливаются. Холодная кленка делает их крупными и недлговечными.

В кузмерском судостроении в Европе еще широко применяются железные заклепки для соединения стальных листов, главным образом потому, что стальные заклепки требуют более высокой квалификации рабочих. Железные заклепки мелкие, чем стальные, склонны к перегреву; они легче раскалываются и менее подвержены коррозии. Сопротивление срезу железных заклепок хорошего качества более равномерно и надежно, чем у стальных, особенно заклепок из стали повышенного сопротивления, но при соединении стальных листов прочность железных заклепок уменьшается.

2. Общие характеристики. Заклепка состоит из гладкого цилиндрического стержня, снабженного на одном конце выступом, называемым зажимной головкой; на другом конце стержня в результате осадки его кляпальным молотком образуется замыкающая головка. Часто стержню заклепки придают небольшое коническое утолщение под плоской или круглой головкой, соответствующее конусу, который получается в листах при продавливании в них заклепочных отверстий; однако в американском флоте в настоящее время от этого уже отказались. Указанные конические утолщения не применяются для сверленых отверстий или отверстий, пронизанных на меньший диаметр и затем развернутых до требующегося размера, а также в заклепках малого диаметра. В гужонках стержни имеют шинтовую накидку.

Длина заклепки должна быть достаточной для получения зажимющей головки. Для обеспечения этого лучше, если заклепка окажется длиннее, чем короче. Расчетная длина заклепки, с шириной суммы толщин склеиваемых частей, определяется на основании практических данных и обычно дается в таблицах.

На рис. 66 показаны заклепки различной формы.

3. Закладные головки (см. рис. 66). Прежде в американском флоте обычно применяли заклепки с бочкообразной головкой, обладающей большой прочностью и зажимной силой и удобные для поддержания при клепке; их легко также можно испытать. В последнее время в качестве стандартного типа принят заклепка с головкой в виде полукруглой головки.

Закладная полукруглая головка до клепки имеет несколько большую высоту (см. рис. 66), чем зажимающая головка, но после клепки она получает правильную полукруглую форму, соответствующую форме поддерживаемой обшивки. Таким путем получается водонепроницаемая головка, имеющая хорошую зажимающую силу.

Потайная головка применяется в тех случаях, когда необходимо получить гладкую поверхность, а также в обделках, обшивочных угольниках и тому подобных конструкциях, где водонепроницаемость очень важна или трудно достигна. Потайные закладные головки часто применяются в нефтепроницаемых конструкциях вместе с потайными зажимающими головками; они применяются также при

¹ Imm. Met. Arch., 1902.

трехсторонним заклепочным соединением и в случаях, когда обе стороны водонепроницаемой стеки чистятся. Потайные головки легче чистить, чем заклепочные головки других форм. Бочкообразная и полуокруглая головки не могут быть во многих частях прошиванием полностью. Разчинка должна быть тщательно выполнена. Если угол разчинки в листах окажется меньше, чем угол потайной закладной головки, то водонепроницаемость или герметичность не могут быть обеспечены.

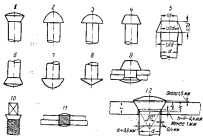


Рис. 66. Стандартные типы заклепок.

Закладные головки: 1—плоская; 2—коническая до постановки; 3—коническая после постановки; 4—бочкообразная; 5—бочкообразная с полусферической выемкой на дне бочки. **Замыкающие головки:** 6—домиковая; 7—шарообразная; 8—сферическая; 9—бочкообразная; 10—пружинная в деревянном фланце; 11—суженная к грибковидной; 12—грибковидной головки с полусферической выемкой на дне бочки.

Согласно спецификации 1932 г. имперского военного флота, высота потайной головки H равна половине диаметра заклепки, за исключением заклепок 6—10 мм, у которых она несколько меньше. Высота штампа в листе может быть выше головки на 2,4 мм ($\frac{1}{16}$ "). В исключительных случаях, где такая высота окажется больше толщины листов, в этих случаях высота штампа должна быть принята равной толщине листа. В соответствии с этими правилами, закладная потайная головка заклепки перед клипкой выступает над поверхностью листа на величину около 1,5 мм ($\frac{1}{16}$ "). (см. рис. 66).

Гужоны применяются для соединения брусков, поковок к отливкам, где постановка сквозных заклепок невозможна или непрактична.

4. Замыкающие головки (см. рис. 68). Во времена ручной клепки наиболее распространенным типом замыкающей головки при внутренних работах, не требующих непрерывности, но требующих прочности, была остроконечная замыкающая головка, обладавшая достаточной прочностью, легкая в работе и не нуждающаяся в обрубке. В настоящее время в американском флоте после изъятия пневматической клепки от остроконечной замыкающей головки отказались; стандартной является полуокруглая замыкающая головка под об-

жимку. Такая головка применяется всегда за исключением тех мест, где требуется замыкающая потайная головка.

Полукруглая головка образуется гидравлическим или пневматическим способом, нанесящим полукруглую обивашку. Центронка обычно получается удовлетворительной.

Замыкающая полукруглая головка иногда применяется при клепке ширстрика наружной обшивки и в других местах, где прочность соединения имеет особо важное значение, так как применение ее вызывает меньшую потерю в прочности листов, чем применение потайной замыкающей головки. Полукруглая замыкающая головка обладает хорошей прочностью, если она правильно симметрична; она имеет более законченный наружный вид, чем остроконечная головка.

Ливерпульская замыкающая головка несколько ниже остроконечной и имеет потай на высоту, равную половине толщины листа. Она обладает большой замыкающей силой, чем остроконечная. Ливерпульская замыкающая головка удобна для применения в легких конструкциях. В настоящее время в американском военном флоте она не применяется.

Потайные замыкающие головки используются в тех частях корпуса, где требуется гладкая поверхность, как, например, в наружной обшивке, а также, если требуется хорошая водонепроницаемость. Они всегда применяются в нефтенаправляющих сопливниках и аселе, где требуется чеканка заклепок. Хотя и остроконечные головки могут чеканиться, но чеканка потайных головок более надежна. Замыкающие потайные головки обладают большой замыкающей силой и прижимают склеенную вокруг отверстия кромку листа к другому листу, образуя таким образом на сопрягаемых поверхностях кольмажную водонепроницаемую плоскость. Потайная образующая головка должна иметь наружную выступость для увеличения прочности и коррозийной стойкости замычки.

5. Заклепочные отверстия. В листах чистой стали толщиной менее 25 мм заклепочные отверстия обычно предавливаются. Отверстия должны по возможности процарапываться со стороны соприкасающихся поверхностей. Во всех ответственных конструкциях диаметры отверстий должны продавливаться на 1,8—3 мм меньше, чем требуется, и затем развертываться до требуемого диаметра с целью удаления перекрученного при продавливании материала. Отверстия в листах толщиной больше 25 мм должны просверливаться или продавливаться на меньший диаметр с последующей разверткой их до нужного диаметра. В стали повышенного качества отверстия должны просверливаться, но в листах малой толщины допускается продавливание отверстий с последующей их разверткой.

Заклепочные отверстия должны иметь несколько больший диаметр, чем диаметр заклепки. В американском флоте эта разница в диаметрах установлена 0,8 мм ($\frac{1}{16}$ дюйма) за исключением проницаемых и неответственных работ, где эта разница может быть увеличена до 1,6 мм ($\frac{1}{8}$ дюйма). Прочность потайной заклепки тем больше, чем больше глубина зенитки и, в некоторых пределах, чем больше угол зениток. Поэтому зенитки в тонких листах, у которых диаметр заклепок относительно большой, делается на всю толщину листа; угол зениток сравнительно большой и доходит до 90°. В более толстых листах зенитки обычно делается не во всю толщину листа, а так, чтобы в отверстия оставалась небольшая цилиндрическая часть, причем угол зен-

жоки делается меньшим и в практике американского флота применяется равным 60°. Диаметры заклёпочных отверстий и углы зенковки, примененные для различных толщин листов в американском флоте, приводятся в табл. 10.

6. Гужоны, применяемые вместе с заклепкой (см. рис. 66) Гужон с головкой представляет собой винт с потайной головкой, снабженный выступом, который срубается после завинчивания гужона. Гужоны применяются в тех местах, где обычные заклепки не могут быть установлены, как, например, в местах притыкания обшивки к штевням или при присоединении корпусных конструкций к бровкам. Заклепки в этих случаях вследствие большей их длины могли бы разорваться при сжатии. Обычно заклепки во делаются длиннее 150 мм, но в исключительных случаях применяются и более длинные заклепки, как, например, при скреплении затерштевней из коммерческих судов. Для использования своей полной прочности гужон должен проникнуть в металл на глубину не менее его диаметра, но если толщина листа позволяет, то эта глубина должна быть увеличена до 1,5 диаметров гужона.

Гужоны без головок имеют то преимущество, что при действии на конструкцию динамической нагрузки, например, при ударе снаряда, исключается возможность отскакивания головок. Поэтому такие гужоны применяются для крепления бимсов к частице броневых палуб в тех помещениях, где могут находиться люди в боевых условиях, например, в казематах и в башнях. Гужоны без головок не могут соединять соединимые части друг с другом, поэтому их нежелательно применять для более или менее ответственных конструкций.

7. Болты с гайками применяются для крепления деревянных палуб, деревянных настилов и прожилок за броней, а также для крепления съёмных металлических конструкций.

29. Общие элементы конструкции заклепочных швов, влияющие на их прочность

1. Общие сведения. Листы могут соединяться или скрепляться впритык. Так как соединение впритык требует применения наложений, перекрывающей соединение листы, то такое соединение состоит в действительности из двух соединений внакрой. Поэтому соединение внакрой является основной формой заклепочного соединения, которая должна быть рассмотрена в первую очередь.

Угольники и другие профили соединяются короткими уголниками или накладками, одинарными или двойными; эти соединения подобны стиковому соединению листов и их проектирование основывается на тех же принципах.

Рассмотрим основной случай соединения двух листов, перекрывающих друг друга. Соединение листов осуществляется заклепками, размещенными рядами по прямым линиям, параллельным краям листов. Если заклепки разных рядов расположены друг против друга, т. е. по линиям, нормальным к рядам, то такое расположение заклепок называется цепным.

Если заклепки в смежных рядах сдвинуты относительно друг друга, то такое расположение их называется зигзагообразным, или шаговым. Первое из этих названий применяется при сравнительно большом шаге заклепок в рядах и при близком расположении самих рядов. В действительности зигзагообразный шов получает-

ся из обычного однорядного заклепочного шва путем небольшого смещения в сторону каждой второй заклепки.

Прочность заклепочных соединений зависит от некоторого угла наклона, который не вполне известен и трудно оценить; эти условия кратко рассматриваются ниже.

2. Влияние заклепочных отверстий. Особенность распределения линий напряжений в листах вокруг заклепок указывает на некоторое увеличение сопротивления на растяжение материала листов между заклепочными отверстиями. Согласно опыту проф. Кеннеди¹ это увеличение сопротивления материала для листов толщиной 30—20 мм может быть грубо оценено 10% при шаге заклепок 3d и 5% — при шаге заклепок 4d.

На рис. 67 показаны линии напряжений вокруг заклепки, полученные экспериментальным путем проф. Коннером и Смоблем².

3. Ослабление материала при продавливании отверстий. При продавливании заклепочных отверстий в материале листа получается некоторое остаточное напряженное состояние, которое приводят к местному ослаблению материала. Степень этого ослабления получается тем большей, чем тоньше лист. Ослабление материала листа можно устранить при помощи отжига, либо последующей рассверловкой или разверткой продавленных отверстий. В просверленных отверстиях ослабление материала не происходит. Уменьшение прочности из-за наличия отверстий и ослабление от продавливания их до некоторой степени уравновешиваются друг друга. Но то, ни другое обстоятельство не известно с достаточной точностью, и потому в дальнейшем они не принимаются в расчет.

4. Сопротивление трения и скважин. Сопротивление трения заклепочного соединения зависит, главным образом, от величины сжимающей силы заклепок; она несколько увеличивается в продолжение первых гонов после постройки корабля вследствие образования расщелин. Хотя степень износостойкости соприкасающихся поверхностей оказывает некоторое влияние на величину сопротивления трения, но основным фактором, предупреждающим сдвиг заклепочного соединения, оказывается сжимающая сила заклепок. Опыты, производившиеся в американском флоте в 1922—1923 гг., показали, что сопротивление скрывающихся поверхностей боржевание, травление кислот, очистка, смазка нефтью, окраска) не оказывает заметного влияния на сопротивление сдвигу заклепочного соединения. Было отмечено также, что сжимающее усилие заклепок возрастает наибольшим, когда заклепки разымаются при относительно низкой температуре, и что предел текучести и временное сопротивление заклепочного соединения в этом случае получаются наибольшими. Срезывающее напряжение, соответствующее моменту сдвига, у заклепок, раскрученных при температурном нагреве, оказалось на 40% больше, чем у заклепок, заклепанных при комнатной температуре.

Большине экспериментальные исследования заклепочных соединений

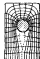


Рис. 67. Распределение линий напряжений вокруг заклепки.

¹ Proc. Inst. Mech. Eng., 1925.

² Inst. Nav. Am., 1913.

тиакрой, обычно применяемых в судостроении, были проведены Монтгомери¹. В этих опытах исследовались заклепочные соединения листов толщиной от 11 до 25 мм, со стальными и желобчатыми заклепками, при гидравлической, пневматической и ручной клепке. Основной целью этих исследований являлось определение сопротивления слоя заклепочных соединений. Было найдено, что при трех- и четырехрядном заклепочном соединении срезное сжимающее напряжение, при котором получался сдвиг заклепок, менялось примерно от 1200 ат — для листов толщиной 11 мм — до 800 ат — для листов толщиной 25 мм. При тонких листах явление сдвига не вызывало уменьшения сопротивления трения и не сопровождалось ослаблением заклепочного соединения.

Результаты других важных и общирных испытаний заклепочных соединений, производившихся для американского военного флота, были приведены в докладе Гейхарта в Обществе морских инженеров в 1926 г.². Эти испытания производились с заклепочными соединениями листов толщиной 19 мм, соединенными двойными накладками толщиной 12 мм, и заклепками диаметром 25 мм.

Испытывались двух-, трех- и четырехрядные заклепочные соединения при различном расположении заклепок. Листы были из мягкой стали, из стали высокого сопротивления и из стали специальной обработки; заклепки — из мягкой стали и из стали высокого сопротивления. Было найдено, что при листах из заклепках из мягкой стали напряжение в листах, соответствующее началу сдвига, увеличивается с увеличением числа заклепок, а срезывающее напряжение в заклепках уменьшается с увеличением числа рядов заклепок. Для двухрядного заклепочного шва срезывающее напряжение в заклепках, при котором начинается сдвиг, оказалось равным 550 ат, а для четырехрядного шва — 420 ат.

При листах из стали высокого сопротивления и при никелевых заклепках сопротивление сдвига было более, чем в два раза, меньшим, чем при листах из заклепках из мягкой стали, причем момент начала сдвига не получался достаточно определенным. Сопротивление сдвига для листов из стали высокого сопротивления увеличивалось, а временное сопротивление уменьшалось при применении заклепок из мягкой стали. Если бы было возможным при заклепках из стали повышенного сопротивления получать такое же сжимающее усилие, как и при заклепках из мягкой стали, то первые должны были бы применяться для соединения листов из стали повышенного сопротивления.

При статической нагрузке в условиях лабораторных опытов сдвиг не оказывал влияния на величину коэффициента прочности и на величину разрушающей нагрузки заклепочного шва.

Некоторые опыты с листами из стали специальной обработки дали такие же результаты, как и опыты со сталью повышенного сопротивления.

Более moderne испытания показали, что принятые сейчас в американском флоте заклепки из марганцовистой стали и листы из стали высокого сопротивления дают большее сжимающее усилие и их легче стянуть, чем ранее применявшиеся заклепки из никелевой стали.

Значение сдвига заклепочного соединения на прочность корпусных конструкций недостаточно ясно, однако надо считать установленным,

¹ Int. Nav. Anth., 1923.

² See: Nav. Anth. Mar. Eng., 1926.

что предел упругости заклепок на срез не может быть достигнут до тех пор, пока растяжение в шов не будет больше сопротивления сдвига заклепочного соединения. Предел упругости на срез для заклепок из мягкой стали оказывается равным около 1400—1700 кг. Вышеупомянутые лабораторные испытания заклепочных соединений производились при статических нагрузках и с изолированными листами. Корпусные конструкции подвергаются действию переменных и повторных нагрузок, но, с другой стороны, сдвиги заклепочных соединений корпусных конструкций не могут так же свободно развиваться, как изолированные листы, благодаря присутствию соседних поясов, предотвращающих ослабление заклепочного шва или, во крайней мере, мешающих его значительному ослаблению.

Питцкер предлагает принимать сдвиг в качестве критерия прочности заклепочного соединения, но, учитывая результаты проведенных выше лабораторных испытаний, с этим едва ли можно согласиться. Понятному, значение сдвига в целом преувеличено. Однако в некоторых случаях даже малая величина сдвига весьма немаловажна, как, например, в глиняных причалах спуска быстрододных кораблей, в машинах фундаментах, подкреплениях под орудия и в нефтепрорабицких конструкциях. Средством для улучшения сопротивления сдвигу является тщательность работы, т. е. хорошая пригонка соединяемых частей и смазка заклепочных отверстий во место, а также применение железных или из мягкой стали заклепок, которые в соответственных сильных напряжениях швы должны клепаться гидравлическими или пневматическими прессами. Тщательность работы и применение высокомашинной аппаратуры, как пишет Монтгомери для листов толщиной 25 мм, может значительно повысить сопротивление сдвигу; в некоторых случаях его можно увеличить почти в два раза.

Важно, чтобы при машинной клепке давление прикладывалось к заклепке до тех пор, пока она не покраснеет. Это правило наконец в соответствии с практикой котлостроения. Оно согласуется с практикой ручной клепки, при которой клепальщик, зажимая нагретую заклепку, возвращается к предыдущей, уже почти окладившейся, клепке и снова ударяет по ней молотком.

При всех работах, отвечающих с точки зрения прочности изолированности, а также при клепке конструкций из стали высокого сопротивления, клепка, где только возможно, должна быть машинной.

Как показали тщательные измерения, сдвиг заклепок начинается уже при очень небольшой нагрузке, но такой сдвиг — упругий и практически нитточный. Часто сдвиг заклепок происходит настолько постепенно, что он становится трудно определен. Во всех случаях сдвиг заклепок наступает при нагрузке, меньшей предела упругости материала, и, понятому, не оказывает влияния на предел текучести и временное сопротивление заклепочного соединения. Поэтому сдвиг заклепок достаточно показателем в качестве критерия прочности заклепочного соединения. Коэффициент безопасности заклепочных соединений следует основывать на пределе текучести или на временном сопротивлении.

Податливость при сдвиге служит выраживающим фактором, способствующим более равномерному распределению срезывающих напряжений в многогранном заклепочном шве. Это подтверждается тем, что, согласно лабораторным испытаниям временное сопротивление закле-

последнего соединения не уменьшается от сдвига, и, таким образом, при некоторых условиях сдвиг является благоприятным фактором. Это, однако, не означает, что сдвиг желателен в работающих конструкциях. Наличие трения обеспечивает заключенному соединению почти полную неподвижность и предохраняет его от ослабления до тех пор, пока не произойдет сдвиг. Это обстоятельство особенно важно для конструкций, подвергающихся действию переменных и динамических нагрузок; при действии таких нагрузок необходимо предусматривать значительное увеличение площади сечения заклепок.

5. Заклепки в оцинкованных конструкциях¹. При клепке оцинкованных конструкций распределенный зигзаг может проникать в стержни заклепок между их зернами. При заклепках из мягкой стали можно довольно легко воспрепятствовать такому проникновению путем небольшого изменения технологического процесса клепки, но при заклепках из стали высокого сопротивления это сделать значительно труднее; это обстоятельство является причиной растворения большого числа заклепок.

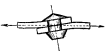


Рис. 68.

Для преодоления этого явления Дюбос рекомендует следующие простые предохранительные меры:

а) склипывать краяки заклепочных отверстий и применять заклепки соответствующей формы;

б) удалять цинковое покрытие с соприкасающихся в заклепочных соединениях поверхностей на всех стыках, а на пазах — только в том случае, когда они очень напряжены;

в) температуру клепки держать ниже 120° С;

г) контролировать глубину заложки и не делать ее больше трех четвертей толщины соединяемых деталей.

6. Изгиб соединения. Если конечные соединения широкой или из одинарной стыковой планке подвергаются растяжению или сжатию, то в нем будет появляться изгиб вследствие того, что действующие в соединяемых листах усилия не будут находиться в одной плоскости.

Рассмотрим сначала соединение, работающее на растяжение. В этом случае соединение будет изгибаться, как это и преувеличением показано на рис. 68. Большие растягивающие напряжения возникают в листах у соприкасающихся поверхностей; при этом распределение избыточных давлений между заклепками и листами имеет неравномерный характер. От действия растягивающих сил заклепки будут наклоняться и подвергаться растяжению. В результате они могут протаскиваться через отверстия или срезаться при напряжении, меньшем обычного. Нейтральная ось, имеющая в соединении криволинейный уступ, стремится выпрямиться, в результате чего соединение будет удлиняться; одновременно поперечная изгибающей пары будет усиливаться. Изгибающий эффект соединения будет наибольшим при толстых листах и при однорядной клепке. Так как в судостроении однорядная клепка не применяется для соединения толстых листов или там, где требуется обеспечить большую прочность, и так как стык всегда

¹ W. O. Davidge, "High-Tensile Steel Rivets in Shipbuilding", Soc. Nav. Arch. Mar. Eng., 1929.

оказываются подкрепленными соединениями листами, то изгибающий эффект может не рассматриваться как источник ослабления заклепочного соединения, работающего на растяжение.

Если заклепочное соединение работает на сжатие, то появляющейся в нем изгиб будет увеличивать уступ вентральной оси, и в результате появится тенденция к выпучиванию стыка, расположенного в середине между шпангоутами или бимсами. На макетах при высоких рабочих напряжениях указанный изгибающий эффект может значительно уменьшить прочность каркасной обшивки или настила палубы, и поэтому для таких ответственных сферей корпуса, как палубы и спирстремы, должны применяться двойные стыковые панели. По этим же причинам не следует применять стыки с высадками в ответственных связях корпуса, особенно за быстроходных кораблих.

Так как изгиб заклепочного соединения способствует нарушению чеканки, то однорядные заклепочные швы не должны применяться для нагруженных связей, от которых требуется водо- или нефтепроплавляемость.

39. Виды разрушения

Обозначения:

t — толщина обшивки;

d — диаметр заклепок;

p — шаг заклепок, т. е. расстояние между центрами заклепок в одном ряду;

$m = \frac{p}{d}$ — шаговое отношение или шаг, выраженный в диаметре заклепок;

n — число рядов заклепок;

P_r — растягивающее напряжение;

P_s — сжимающее напряжение;

σ — срезающее напряжение;

f_t — временное сопротивление на растяжение;

f_c — временное сопротивление на смятие;

f_s — временное сопротивление на срез;

D — диаметр заклепочного отверстия по плоскости соприкосновения;

a/f — площадь сеттинга заклепочного отверстия, где a — коэффициент, учитывающий увеличение паводки обечайки вследствие наличия зенковки и других прорезей;

ε — коэффициент прочности заклепочного соединения, т. е. отношение между действительной наименьшей его прочностью и прочностью целого листа при простом растяжении;

$k = \frac{\pi f_t}{4f_s} \varphi$ — коэффициент, часто применяемый в расчетах прочности заклепочных соединений;

F , K и α' — те же значения, что f , ϑ и α , но относительные к панелям.

1. Виды соединения и виды разрушения. Согласно сказанному в предыдущем разделе, прочность соединения зависит в основном от следующих элементов:

1) соответствия диаметра заклепок толщине листов;

- 2) расстояния заклепок в наружном ряду до ближайшей кромки листа и расстояния между рядами;
- 3) числа рядов заклепок;
- 4) шага заклепок в ряду.

Покажем, как можно эти элементы определить и изменить с точки зрения различных видов разрушения.

Представим простое соединение чистой, подверженное действию равномерных растягивающих усилий в плоскости листов по направлению, нормальному к шву. Если действующее усилие окажется достаточно большим, то соединение разрушится вследствие или вырывания листа заклепками, или разрыва листа, или среза заклепок. Рассмотрим неравнозначно друг от друга следующие возможные виды разрушения заклепочного соединения:

- а) разрыв кромки листа впереди наружного ряда заклепок;
- б) вырывание листа впереди заклепок;
- в) срез всех заклепок;
- г) разрыв одного из листов по внешнему ряду заклепок.

Кроме этих основных видов разрушения могут быть следующие комбинированные виды разрушения:

- д) разрыв одного из листов впереди промежуточного ряда заклепок и срез всех заклепок, расположенных снаружи этого ряда заклепок;
- е) разрыв обоих листов по какому-либо одному или по разным рядам заклепок — в последнем случае со срезом промежуточных заклепок.

2. Нормальная или стандартная прочность соединения. Идеальное заклепочное соединение должно иметь одинаковое сопротивление каждому возможному виду его разрушения. Однако в судовых конструкциях по прочности, излагаемым ниже, невозможно достичь такой равнопрочности для всех видов разрушения заклепочного соединения. Поэтому обычно выбирается какой-либо один вид разрушения, при котором заклепочное соединение имеет наименьшую или стандартную прочность; при всех остальных возможных видах разрушений соединение должно иметь одинаковую или большую прочность.

Далее будет показано, что разрушение вида а и б вообще исключается благодаря правильным принципам в отношении диаметра и расположения заклепок. Поэтому при выборе вида разрушения в качестве стандартного можно ограничиться рассмотрением линии среза всех заклепок в разрыве листов. На некоторых кораблях, в частности на английских, стыки в большинстве случаев имеют двухрядное заклепочное соединение. В этом случае прочность листов оказывается значительно больше прочности заклепок из срба. С другой стороны, на коммерческих кораблях шаг заклепок делается малым, а число рядов заклепок большим. В этом случае прочность заклепок на срез получается значительно больше прочности листов, особенно если применяются стальные заклепки.

Разрыв листа опаснее, чем срез заклепок, так как он получается неожиданно, а трещина при разрыве листа способна распространяться. Кроме того, прочность листа может уменьшаться от коррозии и износа. Учитывая это, представляется рациональным делать листы прочнее, чем заклепки. С другой стороны, перегрузка заклепок или, во всяком случае, замеченный сдвиг их получается очень редко — значительно раньше, чем в листах будет достигнут предел упругости, хотя временное сопротивление заклепок срезу будет больше, чем временное сопротивле-

жение листа разрыву. Такой сдвиг заклепок очень нежелателен и может быть опасным. Вследствие испытываемой кораблем переменной нагрузки сдвиг, все увеличиваясь, может совершило ослабить заклепочное соединение, причем сдвинутые листы окажутся слишком загруженными и могут разорваться. В период железного судостроения, когда площадь сечения заклепок в стыках наружной обшивки на коммерческих кораблях была меньшей, чем теперь, отмечалось много случаев расстройства стыковых заклепочных соединений, особенно в листах ширстрика. При этом из листы ширстрика, из стыковых соединительных планок этих листов не разрывались, а разрывались листы ниже ширстрика по сечению, расположенному непосредственно под ослабленным стыком ширстрика¹.

В общем представляется наиболее правильным на военных кораблях придавать заклепочному соединению одинаковую прочность из среды заклепок и из разрыв листа, и в этом случае окажется безразличным, который из этих двух видов разрушения будет принят в качестве стандарта. Здесь рекомендуется при расчете заклепочного соединения в качестве теоретического стандарта принимать среду заклепок, а не разрыв листа, так как это более удобно. Величина временного сопротивления листа разрыву труднее поддается определению, так как хотя обычно лист разрывается по внешнему ряду заклепок, все же в некоторых случаях он может разорваться и по второму ряду заклепок.

Поэтому при проектировании заклепочного соединения мы сначала выбираем площадь заклепок, необходимую для обеспечения минимальной прочности, обычно разной около 80% от прочности листа, а затем размещаем заклепки таким образом, чтобы прочность из разрывов листа получалась такой же или немного больше. При выбранной таким путем площади сечения заклепок рабочее напряжение в них редко будет превышать тот предел, при котором в заклепках может появиться сдвиг. Этот предел, по нашему, не больше 1100—1250 кг. Однако в таких наименее нагруженных смыслах, как листы малубного спиртера и листы ширстрика, особенно из легких быстротонких кораблей, напряжения в заклепках могут в некоторых случаях превышать этот предел. Поэтому в таких видах желательно несколько увеличить прочность заклепок против требуемой стандартом, предавая один или больше рядов заклепок, не увеличивая соответственно прочности листа (см. разд. 33, п. 5).

Интересно отметить, что в гражданских инженерных конструкциях также стремится к равенству между прочностью из среды заклепок и из разрывов листа, как это рекомендуется здесь для военного судостроения. Коммерческие суда в меньшей степени, чем военные подкреплены внутренними диафрагмами и подвергаются более длительной и тяжелой службе, поэтому из заклепочных соединений более напряжены и требуют большей надежности. Этим можно объяснить практикуемое в коммерческом судостроении большее, чем в военном, увеличение прочности заклепок по сравнению с прочностью листов. Такая практика может быть также оправдана тем, что расстройство заклепочных соединений требует более частых и дорогостоящих ремонтов.

2. Течение материала. При пластичном металле, применяемом обычно в судостроении, разрыву конструкции предшествуют некоторые пла-

¹ H. H. West, *Int. Mar. Adv.*, 1894.

стические деформации в листах или в заклепках, или одновременно и в листах и в заклепках. По сторонам заклепочных отверстий растягивающие напряжения, возмущая, в пять раз и более превосходят среднее напряжение по центральному сечению листа, и это будет тем большим, чем меньше шаг заклепок¹ (рис. 69). Когда это напряжение достигнет известного предела, материал начнет течь так же, как в образующейся шейке при испытании образца на разрыв. Лист между заклепочными отверстиями будет при этом удлиняться и уменьшаться в толщине, а заклепочную отверстие — принимать овальную форму. В результате лист может разорваться по линии заклепок.

В это же время металлы листа переди заклепки и металл самой заклепки будет подвергаться сжатию под действием давшего усилия

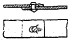


Рис. 69.



Рис. 70.

между заклепкой и листом. Это давшее усилие распределяется неравномерно и достигает наибольшей своей величины у самой передней части стержня заклепки, где сжимающие напряжения, возможно, превосходят указанные выше растягивающие напряжения по сторонам заклепочных отверстий. Если заклепочное соединение изгибаются, то это должно увеличивать неравномерность в распределении давшего усилия между заклепками и стенками отверстий. Таким образом действительные напряжения в некоторых точках заклепочного соединения будут намного больше средних расчетных опорных давлений, и при некоторых значениях величины этих давлений в этих точках материал начнет течь или сминаться. Однако смятие металла обычно не обнаруживается с такой очевидностью, как это здесь указывалось, хотя за его счет и должно быть отнесено понижение сильности в стержнях. Прежде чем смятие достигнет заметной величины, обычно происходит предварительный разрыв залепок, или разрыв, или выклинание листов. Поэтому смятие металла надо рассматривать как основную и первую причину, вызывающую различные виды разрушаения заклепочных соединений, но не как один из видов этого разрушения.

4. Влияние чрезмерного избыточного давления заклепки на лист (рис. 70). Рассмотрим влияние чрезмерного избыточного давления на стены заклепочных отверстий, предполагая, что материал заклепок постоянно прочен и листок, что сами заклепки не претерпевают больших деформаций.

Если один из листов гораздо толще другого или материал его более жесткий, то деформироваться будет лишь один более тонкий или менее жесткий лист. В этом случае заклепка сохраняет свое положение в более прочном листе, материал более слабого листа у заклепки потечет. Обычно это явление начинается с образования овальности в заклепочной отверстии. При дальнейшем увеличении усилий произойдет

¹ См. работы Celar и Seiffle, Inst. Met., Ausb., 1913 и K. Suyehiro, Jap. Soc. Mech. Eng., 1914.

дут разрыв или срез листа и разрушение заклепочного соединения по формам (а), (б) или (г), т. е. разрыв или выкалывание листа извнеди заклепок, или разрыв листа по линии между заклепками. При очень тонком листе может также произойти выпучивание листа извнеди заклепок вместе с выкалыванием листа по форме (б). Часто наблюдается протаскивание заклепок, прежде чем происходит полное разрушение заклепочного соединения.

Для предотвращение рассмотренного выше разрушения заклепочных соединений следует избегать резких изменений в толщине главных прочих частей корпуса. Изменение толщины этих частей должно быть постепенным и пропорциональным изменению действующих усилий. Если это правило в хорошо спроектированных кораблях соблюдано, то этот тип разрушения обычно не имеет места.

Если оба листа из одинакового материала и имеют одинаковую или почти одинаковую толщину, как это в общем случае обычно и бывает, то оба листа испытывают чрезмерное опорное давление. Заклепочные отверстия будут принимать свальную форму и заклепки будут изгибаться. При увеличении растягивающей силы начинается срез и разрыв листов, а заклепки будут все больше изгибаться. Наконец, если листы не разрушаются по формам (а), (б) или (г), то заклепки будут вырываться из листов. Этот последний вид разрушения бывает чаще всего при потайных заклепках, имеющих сравнительно малые головки; иногда отрываются головки заклепок.

5. Предельное значение диаметра, определяемое сжатием. При увеличении диаметра заклепки ее срезывающее сопротивление увеличивается пропорционально квадрату диаметра, а сопротивление изгибу увеличивается пропорционально длине первой степени диаметра. Поэтому сжимающие напряжения в листе увеличиваются быстрее, чем срезывающее напряжение в заклепке.

Чтобы избежнуть сжатия листа, диаметр заклепки не должен быть слишком большой по отношению к толщине листа, а материал заклепок не должен быть слишком прочным и твердым.

Выразим эти условия аналитически. Пусть p_s — среднее сжимающее напряжение в листе, p_t — среднее срезывающее напряжение в заклепке.

Для цилиндрической заклепки

$$\pi d p_s = \frac{\pi d^2}{4} M p_t$$

или

$$\frac{p_s}{p_t} = \frac{\pi d}{4} \frac{d}{l}. \quad (90)$$

Выражение (90) показывает, что отношение между величинами сжимающего и срезывающего напряжений пропорционально отношению между диаметром заклепки и толщиной листа. Следовательно, при данной прочности и твердости заклепки, при увеличении этого отношения сжимающее напряжение может сделаться чрезмерным, прежде чем произойдет срез заклепки.

Предельное значение диаметра заклепки, при увеличении которого станет возможным сжатие листа, может быть получено по выражению (90) подстановкой в него вместо p_s и p_t значений f_s и f_t , т. е.

$$\frac{d}{l} \leq \frac{4f_s}{\pi d f_t}, \quad (91)$$

Прииммы, на основании опытов Кеннеди¹, для заклепки и листов из мягкой стали $f_y = 6800$ кгс, $f_u = 3400$ кгс в 3-1,04, что соответствует обычному просвету 0,8 мм, получим верхний предел для диаметра заклепок равным:

$$d < 3,5d.$$

Если диаметр заклепки будет больше 2% толщины листа, то временное сопротивление смятию будет достигнуто прежде, чем срезывающие напряжения в заклепке достигнут величины своего временного сопротивления, и разрушение происходит под меньшей нагрузкой.

Для потайной заклепки предельное значение диаметра будет несколько больше. Отсюда вытекает практическое правило, что при заклепочном соединении тяжкой и маординарной пластинах диаметр заклепок не должен превосходить двойной толщиной листа.

Это правило дает некоторый избыток прочности, и поэтому, если материал заклепок будет даже несколько относительно прочнее, чем здесь было принято, то все же заклепки будут срезаться раньше, чем наступит смятие листов.

При двойных стыковых пластинах, т. е. при двойном срезе заклепок, может быть допущено несколько большее временное сопротивление на смятие, согласно данным Кеннеди, порядка $f_y = 7800$ кгс. Если заклепки изготовлены из мягкой стали, не способной хорошо противодействовать сопротивлению на смятие, то по этой причине прочность на срез в какой-то степени будет понижена. Поэтому временное сопротивление на срез заклепок при двойном срезе было бы небезопасно увеличивать более, чем в 1,8 раза², по сравнению с одинарным срезом.

Таким образом получим:

$$\frac{d}{t} < \frac{4b}{1,8 + \pi d f_y}; \quad (92)$$

подставив численные значения величин, получим:

$$d < 1,57t.$$

Практическое правило для этого случая будет следующее: при двойном срезе диаметр заклепок не должен превосходить полуторой толщины листа.

Если диаметр заклепок не будет превышать величин, данных приведенными выше правилами, то заклепки будут срезаться раньше, чем наступит смятие листов. По этой причине вопрос о смятии листов в дальнейшем не будет рассматриваться.

6. Диаметры заклепок, применяемые на практике. Как будет дальше показано, желательно применять заклепки наибольшего возможного диаметра, т. е. того предельного диаметра, который был найден выше. На практике, однако, это не всегда оказывается возможным.

При тонких листах, порядка 6 мм и меньше, желательно применять заклепки диаметром, превышающим пределы, установленные приведенными выше правилами, вследствие практических затруднений, возникающих при применении заклепок слишком малого диаметра. В этом

¹ Ил. Инг. Мех. Бюд., 1935.

² Для заклепок из стали повышенного сопротивления временное сопротивление сразу при двойном срезе, повидому, можно считать в два раза большим, чем при одинарном срезе.—Авт.

случае, следовательно, разрушение заклепочного соединения может сопровождаться смятием и разрывом кромок листов, прежде чем проходит срез заклепок.

При толстых листах возникают затруднения в применении заклепок, указанных выше в пределах предельных диаметров. Для прочной и экономичной ручной клепки диаметр заклепок не должен превышать 22 мм, а диаметр 29 мм надо считать верхним пределом. При машинной клепке верхним пределом диаметра заклепок следует считать 35 мм. Как видно, для листов толщиной 25 мм и больше практическое отношение $\frac{d}{t}$ получается около единицы.

Таблица 10

Толщина листов t , мм	2	2—4	4—5	5—8	8—12	12—18	18—25	25—30	Нижний предел
Диаметр заклепок d , мм	6,5	9,5	12,5	16	19	22	25	29	32
Диаметр отверстий d' , мм	7,3	10,3	13,3	16,8	19,8	22,8	25,8	29,8	32,8
Минимальное постоянное расстояние от кромки листа, мм	11	16	21	26	32	36	41	46	52
Глубина залегания h , мм	4	4	4	5,5	7	9	10	12	13,5
Угол наклона, Φ°	90	90	60	60	60	60	60	60	60
$\frac{d'}{d}$	1,12	1,08	1,00	1,00	1,04	1,03	1,03	1,03	1,03
$\frac{\pi}{4} \cdot \mu \cdot \frac{f_1}{f_2}$	0,19	0,24	0,33	0,39	0,42	0,47	0,47	0,47	0,46

При продвижении отверстий для диаметра заклепки принимается нижний предел, обусловленный практическими допустимым диаметром плунжера с точки зрения его прочности при данной толщине листа. Удельное давление на плунжер обратно пропорционально квадрату его диаметра, и поэтому должен существовать нижний предельный диаметр плунжера для заданной толщине листа. Таким практическим нижним предельным диаметром плунжера является толщина листа.

Из сказанного выше становится понятным, почему из практики отсутствует постоянное или какое-либо другое простое отношение между диаметром заклепок и толщиной листа. В табл. 10 даны значения диаметров заклепок, применявшиеся в практике американского флота. Из этой таблицы видно, что отношение $\frac{d}{t}$ изменяется примерно от трех для тонких листов до единицы для толстых листов. Из таблицы следует, что мы избегаем разрушений от смятия листов в листах средней и большой толщины, но не избегаем якобы разрушений в тонких листах.

Данные табл. 10 очень близки к правилам Ллойда.

7. Разрушение «а»: разрыв кромки листа перед заклепкой. В этом случае лист разрывается вдоль нормальной к кромке линии, и участок листа между заклепками отверстием и кромкой можно рассматривать как нагруженную балку. Такой вид разрушения может произойти

при относительно большом диаметре заклепок и при относительно малом отстоянии их от кромки листа, в особенности при твердом и крепком материале листа.

8. Разрушение «б»: выкалывание листа против заклепок. При трехмерном смыкании длины изгиба листа может срезаться подальше каких-либо косых линий, например, линий АВ и СВ, показанных на рис. 71. Срез кромки может сопровождаться ее разрывом, а при тонких листах — ее выпучиванием. Разрушение этого вида в пластичном металле можно встретить чаще, чем разрушение вида (а). Срез листа изображен вероятно при заклепках относительно большого диаметра, двойном срезе заклепок, близком расположении заклепок к кромке листа и мягком материале листа.

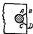


Рис. 71.

При теоретической проверке условий, которые должны быть выполнены, чтобы избежать этого разрушения, мы должны принять длину линии среза как минимальную, равную расстоянию a от центра заклепки до кромки листа минус одна четверть диаметра заклепки. Сопоставляя это разрушение со срезом заклепок, мы получим для соединения выражение на оправочной планке:

$$2 \left(a - \frac{d}{4} \right) U_s > \frac{\pi d^2}{4} V_f,$$

или

$$a > d \left(\frac{1}{4} + \frac{\pi d}{8} - \frac{d}{4} \right). \quad (93)$$

Принимая средние значения $\delta = 1,04$ и $\frac{d}{t} = 2$, мы получим

$$a > 1,1d.$$

Для очень тонких листов, для которых $\frac{d}{t} = 3$ и $\delta = 1,12$, получим

$$a > 1,7d.$$

Для толстых листов предельное значение для a будет 0,66 d .

Для двойных стыковых планок, принимая $\frac{d}{t} = 1,5$ и зная среднюю площадь с коэффициентом 1,8, найдем $a > 1,4d$.

Когда величина удаления из смыкания является чрезмерной, разрушение листа, соответствующее этому случаю, может произойти даже если заклепки расположены на большом расстоянии от кромки, чем это указано этими зависимостями. Но в этом случае срез листа, вероятно, будет сопровождаться разрывом и выпучиванием кромки листа, как об этом было сказано выше применительно к тонким листам.

9. Расстояние заклепок от кромки и расстояние между рядами заклепок. При умеренном напряжении на смятие виды разрушения «а» и «б» всегда могут быть преодолены соответствующим увеличением расстояния паружного ряда заклепок от кромки листа и расстояния между рядами заклепок. Это может быть сделано без изрушения прочности по другим возможным видам разрушения, но потребует увеличения места для соединения и веса. Если кромка листов чеканится, то расстояние заклепок от кромки не должно быть больше, чем это необходимо для обеспечения должной жесткости кромки.

В результате испытаний и опытов было найдено, что центр заклепки не должен быть ближе к кромке листа, чем $1,5d$. Исключая тонкие листы, это правило с избытком удовлетворяет условию (93). В американском флоте принимается $a=1,625d$ ($1\frac{1}{8}d$), в английском $a=1,75d$, в привилегиях Lloyd's $a>1,5d$. При листах из стали высокого сопротивления расстояние заклепок от кромки не должно быть меньше $2d$, так как такая сталь, более чем мягкая, склонна к разрушению по виду (a). Такое же предельное отстояние мало принимать и для очень тонких листов мягкой стали, а для твердой стали малых толщин, применяемых в миноносцах, расстояние от кромки должно быть еще больше.

Расстояние между рядами заклепок должно быть несколько больше, чем отстояние заклепок от кромки листа.

В американском флоте при цепной клепке пазов шириной t из одинарных пластинах расстояние между рядами по центру заклепок не должно быть меньше $2,5d$; при клепке стыков шириной t из двойных пластинах это расстояние не должно быть меньше $3d$. По правилам Lloyd's, в стыках шириной t расстояние между рядами должно быть $3,5d$.

Расстояние между рядами заклепок в стыках шириной увеличивают для повышения сопротивления против искривления. Увеличение расстояния для стыков из двойных пластин необходимо вследствие увеличения срезывающей силы заклепок. При пакетной клепке расстояние между рядами может быть несколько уменьшено, так как здесь заклепки смежных рядов относительно дальше отстоят друг от друга. Это расстояние зависит от шага заклепок в ряду (табл. II).

Таблица II

Расстояние между рядами заклепок при пакетном расположении их в листах, пакетиках и профилях

Шаг заклепок в рядах, выраженный через диаметр заклепок d	Наибольшее расстояние между рядами, выраженное через диаметр заклепки d
$2\frac{1}{2}$	$12\frac{1}{4}$
4	$10\frac{1}{4}$
$4\frac{1}{2}$	$10\frac{1}{2}$
5	$10\frac{1}{8}$
$5\frac{1}{2}$	2
6	2

В угольниках заклепки должны быть так размещены, чтобы образующая к замыкающей головки заклепок не касалась закруглений в профилях. Это требование достигается при расстоянии от центра заклепки до смыкания профилей не меньше $2,25d$. Отстояние заклепки от кромки полки профиля должно быть не меньше $1,5d$ плюс некоторая привавка к закруглению кромки — это требование выполняется при отстоянии центра заклепки от кромки больше $1,75d$. В американском флоте это расстояние принимается не меньше $1,625d$ ($1\frac{1}{8}d$).

При достаточно широкой полке угольника рекомендуется размещать заклепки по дуговообразной линии для достижения более равномерной плотности в соединении.

Простым сложением расстояний заклепок от кромки листа с расстояниями между рядами мы можем определить ширину перекрея и накладок. Принимая правило американского флота, мы получим, например, при шаге 4 d в ряду следующие размеры для заклепочных соединений:

Ширина простого однокраевого перекрея	$1\frac{1}{2}d + 2\frac{1}{2}d = 3\frac{1}{2}d$
Ширина двухрядного нала накладок при шагах шаг	$1\frac{1}{2}d + 2\frac{1}{2}d +$ $+ 1\frac{1}{2}d = 5\frac{1}{2}d$
Ширина двухрядного нала накладок при шагах шаг	$1\frac{1}{2}d + 2\frac{1}{2}d +$ $+ 2\frac{1}{2}d = 6d$
Ширина трехрядной нальной стальной панели	$2(1\frac{1}{2}d + 2\frac{1}{2}d + 2\frac{1}{2}d +$ $+ 1\frac{1}{2}d) = 10\frac{1}{2}d$
Ширина трехрядной нальной стальной панели	$2(1\frac{1}{2}d + 2\frac{1}{2}d +$ $+ 2\frac{1}{2}d + 1\frac{1}{2}d) =$ $= 13\frac{1}{2}d$

10. **Разрушение «на»**: сред всех заклепок (рис. 72). Было показано, что для возможности среза заклепок их диаметр не должен превышать известного предела, за которым может произойти скатие листа и связанные с этим другие виды разрушения. Предположим, что это условие удовлетворено и что сопротивление срезу отдельной заклепки известно. В этом случае сопротивление срезу всех заклепок можно регулировать простым увеличением числа заклепок в ряду и числа рядов заклепок.

Сопротивление срезу

Рис. 72.

Приjemнее соответствующий шаг заклепок, это можно сделать без ущерба для прочности заклепочного соединения по какому-либо другому виду его разрушения.

Теоретические исследования¹ показывают, что при наличии более двух рядов заклепок прочность заклепочного соединения благодаря влиянию упругих упинений листов в районе соединения не будет увеличиваться пропорционально числу рядов заклепок. Это заключение, по-видимому, в известной мере подтверждается опытами, хотя и не всеми; в некоторых опытах² хотя и получалось уменьшение прочности, но оно было значительно меньше, чем этого следовало ожидать по теоретическим расчетам. По общепринятому мнению, надо считать, что первый ряд заклепок воспринимает главную часть нагрузки.

Поэтому представляется ошибочным балансировать прочность заклепочного соединения на сопротивлении срезу всех заклепок. Это заключение было подтверждено испытаниями Бебса³ и Монтгомери⁴.

Необходимо, однако, учесть, что упомянутые испытания производились при нагрузках, при которых напряжения в листах были далеки от предела упругости, а напряжения в заклепках лишь немногого превышали напряжение, отвечающее началу сдвига заклепок.

¹ Миттэ, Inst. Nav. Arch., 1926.

² Report Waterways Experiment, 1921.

³ Bainbridge, Journ. Franklin Institute, 1906.

⁴ Inst. Nav. Arch., 1923.

Результаты этих испытаний не согласуются с результатами некоторых других аналогичных испытаний и, в частности, с произошедшими в Бюро стандартов¹.

Согласно испытаниям Бюро стандартов, сопротивление трещин заклепок становится незначительным уже при столь малых изгибающих-на срез в заклепках, что для всех практических целей можно принимать, что распределение нагрузки между различными рядами заклепок полностью зависит от сопротивления срезу. Начиная с наружных рядов заклепок воспринимают большую часть всей нагрузки в полном соответствии с вышепомянутыми опытами, но по мере увеличения нагрузки роль в восприятии ее внешними рядами заклепок уменьшается, и постепенно все большая нагрузка передается на внутренние ряды. Это явление, которое может сопровождаться пластическими деформациями сильно напряженного материала вокруг заклепок, обуславливает выравнивание нагрузки между различными рядами заклепок. Установлено, при котором это выравнивание происходит, увеличивается с увеличением числа рядов заклепок, по величине его близко к величине усилия, вызывающего обычно допустимые напряжения в листах. Поэтому практическое предположение, что нагрузка распределяется равномерно между всеми заклепками, близко к действительности лишь при этих напряжениях в листах.

Бюро стандартов установило в качестве окончательного вывода следующее положение. Стыковое соединение с двойными и на克莱дками, разрушающееся от среза, развивает полную теоретическую прочность на срез. В действительности, в некоторых случаях она была превзошдена.

Поэтому представляется неразумным игнорировать это обстоятельство и полностью фиксировать внимание на скользячии или на преломлении текучести, так как в крайних случаях безопасность корабля может в большей степени зависеть от сопротивления одного и нескольких заклепочных соединений, хотя и перекарраженных, но еще способных удерживать вместе соединенные части. Корпус корабля настолько сложен и напряжен, испытываемые им при плавании в море, при посадке на землю, при столкновениях, при подводных взрывах и т. д., настолько неопределенны и чисто местные так интенсивны, что сопротивление недостаточно обеспечивать только достаточную прочность всей конструкции в целом при обычных рабочих условиях. Может представиться много случаев, когда наибольшая местная прочность заклепочного соединения является жизненно необходимой для корабля.

Равномерность распределения срезывающих усилий в заклепочной тяге и сравнительно большая определенность в определении расчетов сопротивления заклепок сразу позволяют считать, что срез заклепок следует принять критерием или стандартом прочности заклепочного соединения, с которым должны сравниваться все другие виды его разрушения, как это и было предложено в разд. 30, п. 2.

Стандартная прочность или коэффициент прочности, отнесенные к единому листу, должны так выбираться, чтобы, насколько это возможно, было гармоническое соответствие между прочностью самой конструкции и прочностью по линии неизбежного ее ослабления. Это является общесуществующей практикой и, естественно, все действительные основания отступать от нее, принятая в качестве стандарта прочности за-

¹ Am. Soc. Nav. Arch. Eng. Mar. Eng., 1926.

клепочного соединения такую неустойчивую величину, как усилие, соответствующее началу скольжения, которое не имеет определенного отношения к временному сопротивлению разрушения шва. Это, однако, не уменьшает заслугиности обеспечения наибольшего возможного сопротивления заклепочного соединения скольжению.

11. Разрушение «A»: разрыв одного из листов по наружному ряду заклепок. Шаг заклепок (рис. 73). Разрушение заклепочного соединения по этой форме начинается вследствие перенапряжения металла у стенок заклепочных отверстий. При мягком материале разрыв листа сопровождается течением материала в этих местах, благодаря чему заклепочные отверстия приобретают овальную форму¹.

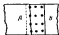


Рис. 73.

Шаг заклепок определяется расстоянием от центра до центра заклепок вдоль ряда. Шаг обычно определяется по условиям прочности, но часто изменяется по требованиям водо- или нефтепропускности. Если при определении элементов заклепочного шва превалирует вопрос прочности, то шаг должен удовлетворять условиям равнопрочности листа и заклепок. Это условие лимитирует для шага его нижний предел, который при однорядной клепке может доходить до 2,0 диаметра (для листов толщиной 7,5 мм).

Шаг заклепок, применявшийся в американском флоте, показан в табл. 12, из которой видно, что во всех непроницаемых швах при однорядной клепке предписывается шаг $3\frac{1}{2}d$; шаг $3d$ является наименьшим во всех соединениях. Шаг в практических таблицах дается только с точностью до ближайшей половины диаметра заклепки, и такой шаг в дальнейшем будет здесь называться «стандартным». Расчет шага на равную прочность листа и заклепкам будет рассмотрен в ближайшей главе. Здесь же покажем, насколько стандартный шаг предохраняет заклепочное соединение от других видов его разрушения.

12. Сравнение разрыва листа со снятием листа. Из такого сравнения мы получим отношение между шагом r и диаметром заклепки d , которое оказывается независящим от толщины листа:

$$\pi adf_r > (r - ad)f_T$$

или

$$r < ad \left(1 + \pi \frac{f_T}{f_r}\right). \quad (94)$$

Если это неравенство удовлетворено, то лист разорвется раньше, чем произойдет его снятие. Временное сопротивление на разрыв f_T и временное сопротивление на снятие f_r , мы примем, как и раньше, для мягкой стали $f_T = 4200$ ат, $f_r = 6800$ ат. Подставляя эти значения в неравенство (94), мы найдем, что это всегда удовлетворяется для заклепочного соединения при двух рядах заклепок и больше ($\lambda > 2$). Таким образом в многорядных заклепочных швах разрыв листа или срез заклепок происходит при умеренных сжимающих напряжениях. Для однорядного заклепочного соединения ($\lambda = 1$) при цилиндрических отверстиях ($\lambda = 1,1$) неравенство (94) требует шага $r < 2\frac{1}{2}d$ и при погнутых отверстиях ($\lambda = 1,25$) шага $r < 3\frac{1}{2}d$. Эти

¹ Report: Wallenius Almeli, 1892.

Таблица 12

(Шаг заложек, выраженный в частях диаметра заложек)

Направление сжатия	Шаг заложек в зависимости от диаметра заложек d
Плоск обшивки (шарф и на клепки)	
Водостропливанные и нефтестропливанные (1)	3½
Борстстропливанные (2) и (3), самые 6 мм	4½
Нефтестропливанные (2) и более, при толщине больше 3 мм	4—5½
Прокладочные	4½—5
Снимы обшивки (орбикордные панели и перекрытий)	
Водостропливанные (1), (2), (3), (4), (5), соответственно	3½, 4, 4½, 4½, 4½
Нефтестропливанные (1), (2), (3), (4), (5), соответственно	2½, 3½, 3½—4, 4—4½, 4½
Снимы на дюбельных шпаках	
Водостропливанные (2)—(5), (3)—(5), (4)—(5), соответственно	4, 4½, 5
Нефтестропливанные (2)—(5), (3)—(5), (4)—(5), соответственно	3½—4, 4—4½, 4½
Комплектами и листами	
Водостропливанные (1), (2), соответственно	4½—5, 5—5½
Нефтестропливанные (1), (2), соответственно	4½—5, 4½—5
Прокладочные, в прочных соединениях	5
Прокладочные, где прочность неважна	8
Листы и набор	
Вертикальный киль, уравниваемый (1), утоляемый к вертикальному и плоскому килью	7
Вертикальный киль (1), утоляемый внутреннего днища	5
Прокладочные спиральеры (1), утоляемые к наружной обшивке, к внутреннему днищу, к внутреннему и наружному угольникам, соответственно	8, 5, 7
Прокладочный косоугольный набор (1): утоляемый к наружной обшивке, к внутреннему днищу, к фюзеляжным листам, соответственно	8, 5, 7
Палубы и платформы	
Обшивочные бимсовые панели (1), (2), соответственно	4, 8
Панели к бимсам самой килевой конструкции водостропливанными полубы в конечностих корабля и бимсам ниже этой палубы в средней части корабля	5
Панели к бимсам выше палубы водостропливанной палубы	8
Борто- и киеволстровые переборки килевого судна килевой киеволстровой водостропливанной палубы	
Ребра на членяющейся стороне переборки (1)	6
Ребра к листам киеволстровой толщины 9 мм на членяющейся стороне переборки (1)	4½
Ребра к листам толщиной 9 мм и толще на членяющейся стороне переборки (1)	6

Назначение и составленный	Продолжение
<i>Водонепроницаемые и промежуточные переборки выше самой наименшей поперечной водонепроницаемой полубы</i>	
Пары водонепроницаемой обшивки переборки (1)	4
Промежуточная обшивка, толщиной 3 мм в машинах, к утес- никовым и палубным бинкам	4½
Ребра и соединительные утесники к ответственным про- дольным стяжкам корпуса корабля	5
<i>Набор палубы драмы</i>	
Бракеты, блестящие юнцы и универсальные шпангоуты (1), (2) соответственно	2½, 7
Горизонтальные полки утесников к палубе под бразой без прозалки	3½
Вертикальные полки палубных утесников под бразой без прозалки	4
<i>Подкрепляющие палубные и палубные</i>	
Для заклепок, работающих на срез	5
Для заклепок, работающих на растяжение	4
Поддерживающие конструкции, мосточки переборок и стойки	5
<i>Сборочные заклепки</i>	
Предельные утолщения, участки которых в обеспечении прочно- сти корпуса корабля должны иметь на стыках сопри- косновение широчиной, несущими по крайней мере по три заклепки в каждом ряду в обеих сторонах стыка	—
<i>Прочее</i>	
Промежуточные соединения, не требующие прозалки	3
Промежуточные соединения, требующие прозалки	5

Приимечание. 1. Из двух указанных в таблице значений для шага заклепок второе относится к листам толщине 10—12 мм.

2. В таблице приведены обозначения: (1)—однорядный шов, (2)—двухрядный шов и т. д.; (3)—трехрядный шовки с двувариным швом; (3)—(3)—трехрядный шовки с трехвариальным швом и т. д.

3. При отсутствии указания числа рядов требуемых таблицей шага ставится в любом числе рядов.

условия, обычно, на практике не удовлетворяются, и поэтому смятие листов здесь может произойти раньше, чем их разрыв.

Однорядная клепка применяется лишь для тонких листов. Клип было показано выше, у таких листов смятие также может происходить раньше, чем срез заклепок. Поэтому при однорядной клепке тонких листов толщиной б/м и менее разрушение будет проходить по формам, связанным со смятием листов.

13. Сравнение разрыва листа со срезом листа по виду «б». При однорядном заклепочном соединении необходимо, чтобы сопротивление среза листа вдоль линии АВ и СВ (см. рис. 71) было не меньше сопротивления разрыву листа между заклепками, т. е.

$$2 \left(a - \frac{1}{4} d \right) f_t \geq (p - ad) f_r. \quad (95)$$

Если принять $a = 1\frac{1}{2}d$ и $f_r = 3400$ кг, то, согласно неравенству (95), шаг заклепок в однорядном шве не должен превосходить $3\frac{1}{4}d$ — условие, которое обычно удовлетворяется на практике. При двух и больших рядах заклепок неравенство (95) всегда удовлетворяется.

При водонепроницаемых заклепочных соединениях, требующих чеканки кромок листов, шаг заклепок вдоль чеканиенных кромок не должен быть слишком большим. Обычно в этих случаях применяется шаг $4d$, $4\frac{1}{2}d$ или $5d$, в зависимости от толщины листов и интенсивности подлинного давления. Шаг $6d$ следует рассматривать как максимальнодопустимый — и то лишь для толстых листов.

Для нефтенаправляемых соединений требуется шаг $3\frac{1}{4}$ или $3d$. В некоторых случаях, где нефтенаправляемость имеет первостепенное значение, а прочность это допускает, применяется шаг $2\frac{1}{2}d$.

14. Разрушение «а»: разрыв листа вдоль промежуточного ряда заклепок. Разрыв листа вдоль какого-либо промежуточного ряда заклепок, например, по среднему ряду заклепок из рис. 73, может произойти лишь вместе со срезом заклепок между линией разрыва листа и кромкой наружного листа. Учитывая это, можно, не уменьшая этой прочности рассматриваемой формы разрушения заклепочного соединения, постепенно увеличивать число заклепок в тех последующих рядах, начиная от наружного. Образованное таким образом заклепочное соединение, обычно называемое ромбовидным (см. рис. 87). Идеальный для прочности соединения будет такое условие, при котором сопротивления разрыву листа вдоль любого ряда, вместе со срезом соответствующих заклепок, будут одинаковы и вместе с тем равны сопротивлению среза всех заклепок. Такое соединение будет удовлетворять условию равномерной прочности. В действительности, этот термин в точности соответствует лишь разрушением видов «а», «г» и «д» и не согласуется с разрушениями видов «е» и «б».

В дальнейшем будет показано, что наибольшая прочность заклепочного соединения, удовлетворяющего условию равномерной прочности, может быть достигнута, когда в наружном ряду заклепок будут линейные заклепки, причем в этом случае прочность соединения окажется наиболее близкой к прочности целого листа.

15. Разрушение «е»: разрыв обоих листов вдоль единого и того же ряда или вдоль разных рядов. При листах одинаковой толщины теоретически возможен одновременный разрыв обоих листов вдоль наружных рядов заклепок, но на практике один лист всегда будет оставаться

разрыве другого. Разрыв обоих листов может быть в действительности лишь в соединении ромбомыдлом или ему подобном, однако такая возможность разрушения исключается, если шаг заклепок взят не ниже 3 д., даже в сопряжении, удовлетворяющем условию равномерной прочности (рис. 74).



Рис. 74.

16. Растяжение заклепок. В некоторых случаях, например, в бимсовых конструкциях, в машинных фундаментах заклепки могут подвергаться растяжению одновременно со срезом и сдвигом. Благодаря наличию в заклепках неизвестных первоначальных растягивающих напряжений не представляется возможным определить в этих случаях растягивающие напряжения в заклепках. Если внешние моменты или силы известны, то можно определить и растягивающие напряжения в заклепках, но допускаемое напряжение при расчете заклепок на растяжение должно приниматься относительно низким. В спецификации Американского института стальных конструкций допускаемое напряжение на растяжение в заклепках при наличии срезывающих напряжений принято равным 900 кг, при допускаемом напряжении на растяжение для катаной стали 1270 кг.

17. Общее замечание. Из изложенного в настоящем разделе можно заключить, что разрушение заклепочных соединений по формам «а», «б» и «в», т. е. разрыв и выкалывание листа впереди заклепок и разрыв обоих листов, предотвращаются при выполнении существующих практических норм для заклепочных соединений. При этом условии остается, однако, возможным для однорядного заклепочного соединения толстых листов протягивание заклепок через листы и выкалывание листа впереди заклепок. Поэтому в ответственных случаях эти виды разрушения должны быть дополнительно тщательно рассмотрены и в случае необходимости предотвращены применением двухрядного заклепочного соединения. Таким образом, останутся лишь разрушения по формам «г», «д» и «е», т. е. срез всех заклепок, разрыв листа и комбинированый разрыв листа и среза заклепок. Аналитическое исследование этих форм разрушения приводится в следующей главе.

ГЛАВА IX

ПРОЧНОСТЬ И НЕПРОНИЦАЕМОСТЬ ЗАКЛЕПОЧНЫХ СОЕДИНЕНИЙ

31. Введение замечания

Покажем теперь, как проектировать заклепочные соединения, чтобы они получались наиболее прочными и в то же время удовлетворяющими условиям судостроения. Прочность заклепочных соединений будет рассматриваться в этой главе независимо от подкреплений, которые они могут получать в действительности от соседних полосов или иных связей корпуса.

Рассмотрим сначала наиболее простые соединения, а затем перейдем к более сложным, таким, как ромбовидные, и случая подкрепленных и удвоенных листов.

В судостроении нет достаточных оснований для применения ромбовидных заклепочных соединений в их чистом виде. Сравнительно большая прочность этих соединений редко требуется, учитывая неизбежное ослабление целого листа заклепками, пресечими шпагоутами, бамы, стойки, ребра и т. д. Кроме того, расстояние между шпагоутами не позволяет разместить на стыках длинное ромбовидное заклепочное соединение, а вес и протяженность линии чеканки при таком соединении значительно увеличиваются. По этим причинам в судостроении редко применяется более трех или четырех рядов заклепок, и число заклепок во всех рядах обычно делается одинаковым.

Как уже было сказано ранее, прием прочность на срез всех заклепок в качестве стандарта, с которым должны сравниваться прочности всех других форм разрушения, а шаг заклепок прием таком, при котором сопротивление листа разрыву вдоль наружного ряда заклепок получалось бы равным или несколько большим стандарта.

Такое соединение часто называют соединением равнопрочным, хотя в действительности сопротивление разрыву вдоль промежуточных рядов будет превосходить сопротивление разрыву вдоль наружного ряда и, следовательно, полной равнопрочности в этом соединении не получается. Более полная равнопрочность, по крайней мере теоретическая, может быть достигнута при пропуске заклепок через одну в наружном ряду.

В первую очередь рассмотрим цепные заклепочные соединения, причем в каждом шве будем рассматривать типичную группу заклепок, повторяющейся комплекс заклепок вместо всего шва. Этот метод допустим при общем рассмотрении заклепочных соединений. Однако в конкретных случаях необходимо измерять всю площадь поперечного сече-

ния листа и исключать сопротивление всех заклепок при том или ином виде разрушения.

В расчетах будем учитывать только часть соединения, как, например, для стыка наружной обшивки будем принимать участок, ограниченный кромками соседних панелей, так как заклепки в пазах располагаются независимо от соединения стыка и должны рассматриваться отдельно. Часто встречающееся дальше отношение между временными сопротивлениями на растяжение листов f_T и временным сопротивлением на срез заклепок f_s для листов и заклепок из мягкой стали мы будем принимать равным:

$$\frac{f_T}{f_s} = \frac{4200}{3400} = 1,25.$$

Для листов и заклепок из стали высокого сопротивления это отношение практически остается таким же, но при заклепках из более мягкого материала оно может достигать более высокого значения. На практике в каждом частном случае можно уточнить величину этого отношения.

32. Площадь сечения заклепочных отверстий

Для учета ослабления листа заклепочными отверстиями необходимо знать точную площадь сечения этих отверстий.

Из табл. 10, соответствующей практике американского военного флота, видно, что диаметр заклепочных отверстий на 0,8 мм больше диаметра непоставленной заклепки. В результате получается некоторое дополнительное ослабление листа и упрощение заклепки.

Пусть d' — диаметр заклепочного отверстия и $\frac{d'}{d} = 1,8$.

При зенковании отверстий лист ослабляется еще больше.

Что касается глубины зенковки, то она бывает различной в разных флотах. Часто пользуются нормами классификационных обществ. Согласно правилам английского Ллойда, зенковка делается во всю толщину листа, если толщина листа не превышает 12,5 мм и 0,9 толщине листа у более толстых листов.

Пусть Θ — угол зенковки. Этот угол в практике американского военного флота принимается равным 90° для заклепок диаметром, меньшим 12,5 мм, и 60° для заклепок большего диаметра; согласно правилам Ллойда, соответствующие углы зенковки 60 и 45° .

Обозначая через b глубину зенковки, получим общую площадь a' сечения заклепочного отверстия (рис. 75) равной:

$$a' = \pi d'^2 + b^2 \lg \frac{\Theta}{2}$$

или, если

$$a' = \pi d'^2,$$

то

$$a = b + \frac{d'^2}{\pi d'} \lg \frac{\Theta}{2}. \quad (96)$$

Коэффициент α представляет собой отношение между полной площадью сечения заклепленного в листе заклепочного отверстия и площадью осевого сечения заклепки, соответствующего начальному диаметру заклепки и высоте t .

Если зенковка делается во всю толщину листа, то

$$\alpha = \delta + \frac{t}{d} \operatorname{tg} \frac{\theta}{2}, \quad (96')$$

Если заклепочные отверстия проходные и не зенкованы, то они имеют лишь малую конусность. При известном угле конусности значение α может быть определено по формуле (96'), однако обычного проходных заклепочных отверстий можно считать цилиндрическими, а при цилиндрических отверстиях (сверленых) без зенковки $\alpha=1$.

В практике, когда требуется подставлять значение α в формулу, его надо определять в каждом частном случае с учетом формы заклепочного отверстия.

В дальнейшем в примерах мы будем принимать для δ и α их средние, или обычные, значения: $\delta=1,04$ и $\alpha=1,17$.

33. Соединения, обычно применяемые в судостроении

1. Соединения паквой и на одинарной плавке при полном числе заклепок в каждом ряду. Если листы имеют разную толщину, то расчет ведется по листу меньшей толщины. Если листы имеют одинаковую тол-

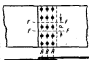


Рис. 76.

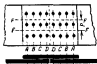


Рис. 77.

шину, то расчет ведется по более ослабленному листу, например, по листу, имеющему зенкованные заклепочные отверстия.

Согласно спецификациям американского военного флота, одинарные стыковые и пазовые плавки при однорядной или двухрядной клепке должны иметь ту же толщину, что и соединяемые листы; при трехрядной клепке и большем числе рядов заклепок они должны быть, по крайней мере, в 1,2 раза толще листов.

Пусть n — число рядов заклепок. Выделим участок заклепочного соединения, заключенный между линиями FF и FF' , произведенными последовательно между заклепками в расстояния r друг от друга (рис. 76 и 77). Из удовлетворения условий прочности, т. е. что сопротивление листа разрыву вдоль наружного ряда заклепок соответствует по крайней мере сопротивлению всей заклепки на срез, следует:

$$(p - ad) tf_r > n \frac{\pi d^2}{4} \delta f,$$

или

$$\frac{F}{d} \geq a + \pi \cdot \frac{\pi}{4} \cdot \frac{f_L d^2}{f_T} \cdot \frac{d}{l}.$$

Пусть $m = \frac{F}{d}$ — шаговое отношение, или шаг, выраженный через диаметр заклепок, и пусть

$$\frac{\pi}{4} \cdot \frac{f_L}{f_T} \cdot l^2 = k, \quad (97)$$

Определенным выражением (97) коэффициент k , который часто применяется в расчетах заклепочных соединений, зависит лишь от качества материала листов к заклепкам и в некоторой степени — от диаметра заклепок. Его значения даны в табл. 10 для величины $\frac{f_L}{f_T}$, равной 0,80. Среднее значение коэффициента k мы будем в дальнейшем принимать равным 0,675. Введя обозначения a и k в приведенное выше неравенство, получим:

$$m \geq a + k \frac{d}{l}. \quad (98)$$

Этим выражением определяется шаг заклепок при разных значениях a , d и l .

Прочность заклепочного соединения может быть оценена отношением между величиной наименьшего его сопротивления разрушению и сопротивлением разрыву целого листа. Это отношение называется коэффициентом прочности заклепочного соединения и обозначается знаком e . Если неравенство (98) удовлетворено, то

$$e = \frac{\pi f_L \frac{\pi d^2}{4} \cdot l^2}{f_T d^2} = \frac{\pi k l}{4}, \quad (99)$$

Если шаг взят из табл. 12 или задан иным практическим правилом, при этом его величина меньше, чем это требуется неравенством (98), то коэффициент прочности шага может быть получен по выражению:

$$e = \frac{(l - ad)f_T}{f_L d l} = 1 - \frac{a}{m}. \quad (100)$$

Если принятый шаг больше, чем требуется неравенством (98), то для определения коэффициента прочности должно служить выражение (99). При заданном значении коэффициента прочности шага необходимое число рядов заклепок, согласно выражению (99), пропорционально отношению $\frac{l}{d}$. Поэтому для тонких листов, для которых это отношение сравнительно мало, число рядов заклепок может быть меньшим, чем для толстых листов.

В прочных заклепочных соединениях однорядная клепка применяется только для листов толщиной 4,5 мм, двухрядная клепка — для листов толщиной 12,5 мм и трехрядная — для листов толщиной 16,5 мм. Для более толстых листов требуется четырехрядная клепка или клепка с еще большим числом рядов.

При заданном числе рядов заклепок выгодно применять, насколько возможно, большее отношение $\frac{d}{l}$, так как коэффициент прочности сращивания увеличивается пропорционально этому отношению. Это следует из того, что при увеличении диаметра заклепок сопротивление увеличивается пропорционально квадрату диаметра, в то время как ослабление листа заклепочными отверстиями увеличивается пропорционально диаметру заклепок лишь в первой степени. Кроме того, при данной прочности сращивания увеличение диаметра заклепок сопровождается соответствующим уменьшением их числа. Из сказанного выше следует, что диаметр заклепок должен быть настолько большим, насколько это только возможно, существующими на этот счет ограничениями. Коэффициент прочности заклепочных сращений прямо пропорционален величине k , которая зависит в основном от отношения $\frac{d}{l_p}$. При применении заклепок из мягкой стали для листов из стали высокого сопротивления это отношение очень мало, и для получения заданного коэффициента прочности требуется относительно большая площадь сечения заклепок.

Цепной захваточный шов с одинаковым числом заклепок в каждом ряду применяется в водонепроницаемых соединениях анкеров, например, в палах и стыках наружной обшивки. Такой же шов применяется и в двухрядных соединениях из одинарной пластины, когда трудно получить требуемую площадь заклепок, если число заклепок в рядах будет разное. Но в трех- и четырехрядных соединениях на пластинах представляется, по крайней мере теоретически, выгодным иметь меньшее число заклепок в наружных рядах. В последнем случае вышеизложенные формулами нельзя пользоваться.

Пример. Двуярусный стыковой шов, потайные заклепки, толщина листов 10 мм. Определить m и a .

Из формулы (96), 10 и формулы (98) и (99), находим:

$$d = 22; \beta = 1,03; k = 9; \theta = 50^\circ;$$

$$m = 1,03 + \frac{9\theta}{15 + 22} \lg 30^\circ = 1,17; a = 0,67.$$

По выражению (98)

$$m \geq 1,17 + 2 \cdot 0,67 \frac{22}{15} = 3,1.$$

По выражению (99)

$$a = \frac{2 \cdot 0,67 \cdot 22}{3,1 + 15} = 0,63.$$

Если принять стендартный шаг по табл. 12, то $m = 4$, и по выражению (99) для среды заклепок получим:

$$a = \frac{2 \cdot 0,67 \cdot 22}{4 + 15} = 0,46,$$

и по выражению (100) для разреза листа

$$a = 1 - \frac{1,17}{4} = 0,71.$$

Как видно, измененный коэффициент прочности получается для среды заклепок, причем он намного меньше коэффициента прочности листа.

В табл. 13 приведены значения коэффициентов прочности для некоторых типичных случаев как при стандартном шаге заклепок, так и при шаге, соответствующем условию равной прочности листа разрезу и заклепок срезу, определенному по выражению (98). При составлении таблицы предполагалось, что листы ослаблены зенкованиями отверстиями. В таблице коэффициенты прочности при стандартном шаге, относящиеся к разрезу листа, взяты в скобках; остальные значения этого коэффициента относятся к срезу заклепок.

Таблица 13

Число рядов заклепок	1	2	3	4	5							
Толщина листов, мм . .	3,0	6,0	6,0	9,5	15,5	15,5	22,0	22,0	33			
Диаметр заклепок, мм . .	9,5	16	16	19	22	22	25	25	32			
ш — стандартный шаг в диаметрах	3,5	3,5	4	4	4	4,5	4,5	4,5	4,5			
Максимальный коэффициент прочности шва при стандартном шаге	(0,68)	0,51	(0,69)	0,70	0,48	0,64	0,61	0,52	0,69	0,66		
ш — шаг, соответствующий равной прочности, в диаметрах	3,7	3,0	4,8	4,0	3,1	4,1	3,9	3,5	4,3	4,2	3,8	4,2
α — коэффициент прочности шва при равной прочности	0,62	0,59	0,74	0,70	0,62	0,71	0,70	0,67	0,73	0,71	0,73	

Как видно из табл. 13, при применении стандартного шага заклепок обычно получаются меньшие коэффициенты прочности соединения, чем в случае применения шага, соответствующего условию равной прочности.

2. Соединение винтами из одинарной планки с увеличенным шагом заклепок в наружных рядах. Соединение винтами редко применяется в военном судостроении; исключение составляют небольшие миноносцы, на которых водонепроницаемость обшивки достигается цементкой, а уплотнением материалами (см. рис. 82). Для заданной чеканки кромки шаг заклепок в ближайшем к ней ряду не должен превосходить известного максимума. Поэтому хотя и возможно получить желаемую прочность заклепок на срез, уменьшая шаг во внутренних рядах, все же при цепной кладке и при прямых кромках листов нельзя увеличить коэффициент прочности соединения сверх того его значения, которое соответствует водонепроницаемому шагу в наружном ряде заклепок. Пропуск заклепок в наружных рядах — принципиально это означает уменьшение шага заклепок во внутренних рядах — может встретиться в коммерческом судостроении при применении железных заклепок, когда желательно иметь большую площадь их. Прежде в военном судостроении широко применялись трех- и четырехрядные заклепочные соединения на одинарной планке, но как указывалось выше, теперь они обычно заменяются штампованными заклепочными соединениями с

вырезанными кромками. Однако приводимый ниже расчет применим и к этому случаю.

Выделим участок заклепочного соединения, заключенный между показанными на рис. 78 линиями FF и FF' , прошедшими в расстоянии $2d$ друг от друга. Предположим сначала, что оба листа имеют одинаковую толщину; это позволяет ограничиться рассмотрением лишь одной половины соединения. Кроме разрыва одного из листов вдоль наружного ряда заклепок A , необходимо в данном случае также проверить сопротивление разрыву листа вдоль второго ряда B с одновременным срезом заклепок наружного ряда A . Толщину пластик нужно проверить по условию разрыва ее вдоль наиболее ослабленной линии разрыва, т. е. по ближайшему к стыку ряду заклепок C . Пусть n — число рядов заклепок с каждой стороны стыка и $2n-1$ — соответствующее число заклепок на выделенном участке.

Сравнивая разрыв листа вдоль наружного ряда A со срезом всех заклепок, получим:

$$(2p - ds)f_t t > (2n - 1)f_s \frac{sd^2}{4} t^2,$$

откуда

$$t > \frac{n-1}{2} + \frac{ds}{2} \geq \frac{d}{2}, \quad (101)$$

Если это условие удовлетворено, то

$$c = \frac{(2n-1)f_s \frac{sd^2}{4} t^2}{2f_t s t} = \frac{(2n-1)sd}{2nt}. \quad (102)$$

Если применяется стандартный шаг, причем величина его меньше, чем требуется выражением (101), то коэффициент прочности соединения должен вычисляться по выражению:

$$c = \frac{(2p - ds)f_t t}{2f_t s t} = 1 - \frac{s}{2n}. \quad (103)$$

Сравнивая разрыв пластик вдоль ряда C с разрывом листа вдоль ряда A , найдем необходимую толщину пластики t' , выраженную через толщину листа t :

$$(2p - 2ds')f_t t' > (2p - ds)f_t t,$$

откуда

$$t' > \frac{m - \frac{s}{2}}{m - s'} t, \quad (104)$$

Коэффициент α' относится к планке; он приблизительно равен 2 и всегда больше, чем $\frac{1}{2}$. Поэтому толщина планки t' , согласно теории, получается больше, чем толщина листа t , но разница между этими толщинами обычно мала. Для тонких листов толщина планок обычно берется равной толщине листов.

Сравнивая, например, разрыв листа вдоль ряда B вместе со срезом зажелоток ряда A с разрывом листа вдоль ряда A , получим:

$$(2p - 2ad)f_T + \frac{\pi d^2}{4} Vf_s > (2p - ad)f_T,$$

откуда

$$d > \frac{s}{k} t. \quad (106)$$

При клепке согласно табл. 10 условие (106) удовлетворяется для тонких листов толщиной 10,5 мм. Поэтому для таких листов разрыв вдоль ряда B не получается, и можно применить выражения (101), (102) и (104).

Для листов более толстых разрыв вдоль ряда B проходит раньше, чем вдоль ряда A , и поэтому необходимо сравнить сопротивление разрыву вдоль ряда B с сопротивлением срезу всех зажелоток. Это сравнение дает:

$$(2p - 2ad)f_T + \frac{\pi d^2}{4} Vf_s > (2n - 1) \frac{\pi d^2}{4} Vf_s,$$

откуда

$$m > n + (n - 1) k - \frac{d}{t}. \quad (106)$$

Если это условие удовлетворено, то коэффициент прочности c определяется прежним выражением (102), а противном случае он должен быть найден по выражению:

$$c = \frac{(2p - 2ad)f_T + f_s \frac{\pi d^2}{4} \cdot p}{2f_S f_T} - 1 - \frac{n}{m} + \frac{kd}{2mt}, \quad (107)$$

Для предотвращения разрыва планки необходимо, чтобы

$$(2p - 2ad')f_T f' > (2p - 2ad)f_T f + f_s \frac{\pi d^2}{4} S,$$

откуда

$$F' > \frac{m - n}{m - n'} F + \frac{kd}{(2m - n')}.$$

Если (106) удовлетворено как равенство, то

$$F' \geq \frac{2n - 1}{2(n - 1)} \frac{m - n}{m - n'} F. \quad (108)$$

Если соединяемые листы имеют разную толщину, то скатала конструкцию зажелочное соединение по более тонкому листу на желаемую абсолютную прочность или по заданному коэффициенту прочности. Затем эту же конструкцию надо пременять и для более толстого листа, листа в последнем может быть получена и относительно большая проп-

ность путем, например, размещения в толстом листе заклепок с такой же площадью среза, какую имеют заклепки в тонком листе, но применение меньшее число заклепок большего диаметра. Однако это уменьшение прочности стыковой пластины и более толстого листа окажется бесполезным, так как прочность всего соединения ограничена сопротивлением заклепок срезу. Поэтому в целях упрощения конструкции при соединении листов разной толщины на стыковой пластине предпочтителен в обеих листах применять заклепки одинакового диаметра, а именно — соответствующего более толстому листу; размещают заклепки тоже однako.

Пример 1. Найти шаг, коэффициент прочности и толщину пластины, исходя из условия равнотолщины, для трехрядного соединения из одинарной пластины листов толщиной 9,5 мм; заклепочные отверстия в листе — сквозные, в пластинах — цилиндрические.

$$\begin{aligned} t &= 9,5; \quad d = 19; \quad k = 0,65; \\ s &= 1,5; \quad s' = \delta = 1,04; \quad n = 3. \end{aligned}$$

Так как $d > \frac{s}{k} t$, то применены выражения (101), (102) и (103):

$$\begin{aligned} m &= \frac{1,5}{2} + \frac{9,5}{2} \cdot 0,65 \cdot \frac{19}{9,5} = 4,9; \\ d &= \frac{3 \cdot 0,65 \cdot 19}{2 \cdot 4 \cdot 9,5} = 0,65; \\ t' &\geq \frac{4,9 - 0,65}{4,9 - 1,04} \cdot 9,5 = 11 \text{ мм.} \end{aligned}$$

Пример 2. Найти шаг, коэффициент прочности и толщину пластины, исходя из условия равной прочности, для четырехрядного соединения из одинарной пластины листов толщиной 20 мм; заклепочные отверстия в листах — сквозные, в пластинах — цилиндрические.

$$\begin{aligned} t &= 20 \text{ мм}; \quad d = 29 \text{ мм}; \quad k = 0,67; \\ s &= 1,14; \quad s' = 1 = 1,04; \quad n = 4. \end{aligned}$$

Так как $d < \frac{s}{k} t$, то применяют выражения (106), (107) и (108):

$$\begin{aligned} m &= 1,14 + 3 \cdot 0,67 \frac{29}{25} = 3,5; \\ d &= \frac{7 \cdot 0,67 \cdot 29}{2 \cdot 3,5 \cdot 25} = 0,78; \\ t' &\geq \frac{7}{6} \cdot \frac{3,5 - 1,14}{3,5 - 1,04} \cdot 25 = 28 \text{ мм.} \end{aligned}$$

3. Стыки на двойных пластинах при полном числе заклепок в рядах (рис. 79). При двойных стыковых пластинах усилия, действующие на соединение, симметричны, благодаря чему устраняется изгиб, существующий при одинарной пластине. Кроме того, в таком соединении заклепки работают на двойной срез, и поэтому их диаметр можно уменьшить. Диаметр заклепок в этом случае для тонких листов необходимо уменьшать, чтобы избежать сдвиг листов, как было отмечено в разд. 30, п. 3, где было показано, что диаметр заклепки не должен превышать более, чем в полтора раза толщину листа.

Рис. 79.

Спецификацией американского военного флота предписывается уменьшение диаметра заклепок при двойных планках на 3 мм для тонких листов толщиной до 16,5 мм. Для более толстых листов, для которых стандартный диаметр относительно мал, дальнейшего его уменьшения не требуется.

Применение двойных планок особенно выгодно для таких водонепроницаемых соединений, от которых требуется большая прочность. Для водонепроницаемых прочных соединений двойные планки менее выгодны, так как в этом случае шаг заклепок в наружных рядах должен быть малым по условию чеканки, и поэтому преимущества этого соединения, его высокий коэффициент прочности не могут быть полностью использованы. Кроме того, чеканка соединения на двойной планке несколько затруднительна, так как в этом случае толщина планок получается сравнительно малой и заклепки наружных рядов оказываются расположеными сравнительно далеко от кромок планок и одна от другой. Так, например, при листах толщиной 12 мм толщина планок 6 мм и заклепки диаметром 19 мм будут отстоять от кромок планок на 30 мм, т. е. на расстоянии пятнадцатой толщины планки, причем шаг заклепок 6 д будет равен 15-кратной толщине планки. При этих условиях кромки планок будут недостаточно хорошо прижаты заклепками, они могут отгибаться при чеканке и не обеспечат достаточной зерктисти в условиях плавания корабля.

Допустим, что сопротивление заклепок из двойной срез в 1,8 раза больше, чем при симметричном срезе, и при таком допущении сравним разрыв листа вдоль наружного ряда заклепок А со срезом всех заклепок:

$$(p - d^2) f_t t > 1,8 \pi k_s \frac{d^2}{4} s,$$

откуда

$$s > 3 + 1,8 \pi k_s \frac{d}{t} \quad (109)$$

и

$$s = \frac{1,8 \pi k_s d}{\pi t}. \quad (110)$$

Если шаг заклепок принят меньше определяемого выражением (109), то

$$s = 1 - \frac{b}{a}, \quad (111)$$

В приведенных выражениях принят коэффициент 3 вместо a , имея в виду, что отверстия в листе в данном случае должны быть цилиндрическими, а не эллиптическими.

Для предотвращения разрыва планок вдоль ряда С, близкайшего к стыку, необходимо, чтобы:

$$2(p - d^2) f_t t' > (p - d^2) f_t t,$$

где a' — коэффициент, относящийся к планкам, предполагая, что обе планки имеют отверстия одинакового типа. Отсюда

$$t' = \frac{a - b}{a - a'} = \frac{1}{2}, \quad (112)$$

Если отверстия в планках цилиндрические, то $a' = \frac{t}{2}$, и в этом случае $F = \frac{1}{2} t$. Если отверстия в планках винкованные, то $a' > \frac{t}{2}$, и толщина планок должна быть несколько увеличена.

Вследствие высокого коэффициента прочности соединения на двойных планках позволяют применять плоскодные швы в тех случаях, когда при одинарных планках были бы необходимы трехрядные швы.

Пример. Двойная стыковка планок при плоскодном шве:

$$t = 16 \text{ мм}; d = 19 \text{ мм}; n = 0,68;$$

$$\delta = 1,04; \alpha = 2; a' = \delta.$$

По выражениям (100), (110) и (112):

$$m \geq 1,04 + 1,8 \cdot 2 \cdot 0,68 \cdot \frac{19}{16} = 3,95;$$

$$F = \frac{1,8 \cdot 2 \cdot 0,68 \cdot 19}{3,95 + 16} = 0,74;$$

$$r' = \frac{t}{2} - \frac{19}{2} = 8 \text{ мм}.$$

Коэффициент прочности соединения при трехрядной клепке между двумя симметричными планками при диаметре винтов 19 мм и шаге 4d был бы только 0,71.

4. Стыки на двойных планках при пропущенных заклепках в наружных рядах (рис. 80). До изнадки сварки такой тип соединения часто применялся для прошиваемых прочных соединений, например, на вертикальном чите обычно при трехрядной клепке.

Сравнив разрывы листа вдоль внешнего ряда A со средними, получим:

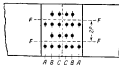
$$(2p - d\delta)f_T F > 1,8(2n - 1)f_T \frac{\pi d^2}{4} \delta^2,$$

откуда

$$m > \frac{1}{2} + 0,9(2n - 1)k \frac{d}{t} \quad (113)$$

и

$$c = \frac{0,9(2n - 1)kd^2}{m} \quad (114)$$



или, если условие (113) не выполнено,

$$c = 1 - \frac{3}{2m}, \quad (115)$$



Рис. 80.

Для преодоление разрыва планок вдоль ряда C необходимо, чтобы толщина планок t' определялась из выражения:

$$2(2p - 2d\alpha')f_T F > (2p - d\delta)f_T F$$

или

$$t' > \frac{2m - 1}{2m - \alpha'} \frac{t}{2} + \delta \quad (116)$$

толщина t' должна быть всегда больше $\frac{1}{2} t$.

Чтобы предотвратить разрыв листа вдоль ряда В, необходимо, чтобы

$$(2p - 2a)f_r t + 1,8f_r \frac{m^2}{4} \delta^2 > (2p - d\delta)f_r t$$

или

$$d > \frac{m}{1,8k}, \quad (117)$$

Условие (117) удовлетворяется для всех толщин листов. Рассматриваемый тип соединения редко применяется при четырехрядной клепке, так как уже при трехрядной получается достаточно высокий коэффициент прочности соединения. Это соединение может заменить четырехрядное соединение широкой или с одинарной планкой, что видно из следующего примера.

Пример. Двойная стыковая планка, четырехрядный шов, в наружных рядах: шаги прокладки чередуются через один, толщина листов 25 мм.

$$t = 25 \text{ мм}; \quad d = 29 \text{ мм}; \quad k = 0,67;$$

$$\delta = 1,00; \quad n = 3; \quad d' = 5;$$

$$m = \frac{1,03}{2} + 0,9 \cdot 3 + 0,67 \cdot \frac{29}{25} = 4,0;$$

$$\varepsilon = \frac{0,9 \cdot 3 + 0,67 \cdot 29}{4,0 \cdot 25} = 0,88;$$

$$t' = \frac{2 \cdot 4,0 - 1,03}{2(4,0 - 1,03)} \cdot \frac{29}{2} = 15 \text{ мм.}$$

Для четырехрядного шва при одинарной планке коэффициент прочности получается равным только 0,78 (см. пример 2 в в. 2).

По выражению (92) находят снимающее напряжение в листе при срезе наружной

$$f_{rs} = \frac{1,8 m / d}{4\varepsilon} = \frac{1,8 \cdot 4,0 \cdot 29}{4 \cdot 0,78} = 5700 \text{ кн.}$$

Это напряжение не превышает временного сопротивления на сжатие материала Т700 кн при работе заклепок на двойной срез.

Б. Особый тип введенепропицаемого соединения с двойной стыковой планкой (рис. 81). Водонепроницаемость и большой коэффициент прочности соединения можно получить, делая сану из стыковых планок шире другой настолько, чтобы образовывать по одному добавочному ряду заклепок. Более узкая планка должна располагаться с чистопленкой стороны, с достаточно часто расположенными заклепками, в то время как заклепки наружного ряда на более широкой планке могут иметь увеличенный шаг, что обычно достигается чередованием прокладок через сану.

Такое соединение применяется для наружной обшивки миноносцев, а также на коммерческих кораблях

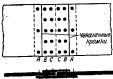


Рис. 81.

(«Лукситанник») и в котлах. Допустим, что в наружной пластике и в листе по ряду *A* отверстия зенкованы, а на внутренней пластике и в листе по ряду *B* к *C* — штильзарнические.

Как и для обычной двойной стыковой пластики, мы получим для коэффициента прочности выражение

$$\sigma = \frac{[3,6(n-1)+1]kd}{2nd}, \quad (118)$$

где *n* — шаг заклепок внутренних рядов;

a — общее число рядов заклепок по одну сторонустыка.

В данном случае, как и в других соединениях, имеющих прокрученные заклепки в наружном ряду, имеется предел для толщины листов, при превышении которого разрушение ячейки ряда *B* может произойти ранее разрушения ячейки ряда *A*. Этот предел определяется выражением:

$$t = \frac{kd}{(3n-a)} \quad (119)$$

и получается около 19 мм.

Для листов толщиной меньше 19 мм

$$m > \frac{a}{2} + \left[1,8(n-1) + \frac{1}{2} \right] \frac{kd}{t}, \quad (120)$$

и толщина пластики

$$t' > \frac{2m-a}{2m-a-a'} \cdot \frac{t}{2}. \quad (121)$$

Для листов толщиной более 19 мм

$$m > a + 1,8(n-1) \frac{kd}{t}. \quad (122)$$

и

$$t' > \frac{(m-a)[3,6(n-1)+1]}{1,8(3m-a-a')(n-1)} \cdot \frac{t}{2}. \quad (123)$$

При тонких листах этот вид соединения даёт большой коэффициент прочности даже при двух рядах заклепок. Это соединение особенно подходит для наиболее ответственных поясов машинных конструкций как по своей легкости, так и потому, что оно почти симметрично передает нагрузку. Последнее обстоятельство особенно важно, если может произойти потеря устойчивости.

Пример. Рассмотрим двойную стыковую пластику пояса ширстрека машинного, показанного на рис. 42:

$$t = 8 \text{ мм}; \quad d = 8 \text{ мм}; \quad kd = 9 \text{ мм}; \quad n = 1,4; \quad k = 0,79; \quad a = 3.$$

Найдем сначала шаг заклепок и коэффициент прочности соединения по условию равной прочности по выражению (120)

$$m = \frac{1,4}{2} + \left[1,8(3-1) + \frac{1}{2} \right], \quad \frac{0,79 \cdot 8}{4} = 7;$$

по выражению (118)

$$\sigma = \frac{(3,6 \cdot 2 + 1) 0,79 \cdot 8}{2 \cdot 7 \cdot 4} = 0,93.$$

Однако полученный шаг 7d для внутренних рядов слишком велик для водонепроницаемого шва. На рис. 82 шаг уменьшен до 6d, при таком шаге коэффициент прочности соединения получается равным:

для зажимки по выражению (118)

$$c = \frac{(3,6 - 2 + 1)0,70 - 9}{2 \cdot 4 \cdot 4} = 1,02;$$

для листа по выражению (118)

$$c = 1 - \frac{a}{2m} = 1 - \frac{1,4}{2,4} = 0,63.$$

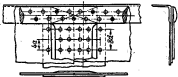


Рис. 82.

Большой излишек площади сечения зажимки, получающейся в этом соединении из-за использования для смыкальных рядов загруженных свинец макомонов в связи с получением большей макомонности соединения и предотвращением слоя пакетов при всех обстоятельствах. Посмотрим, каково будет из выражению c в листах при измеживании в зажимках, соответствующих из свинца, которое при этом равно 1100 аз.

На схематичном изображении, на расстояние листа по линии зажимок отверстий наружного ряда с сопротивлением среза зажимки получим:

$$(3m - a) d(p_f) = [3,6(n - 1) + 1] \frac{\frac{M_f}{4}}{4} \cdot 1100,$$

откуда

$$[3,6 \cdot 2 + 1] \frac{\frac{M_f}{4}}{4} \cdot 1 \cdot 1100 \\ Pf = \frac{[3,6 \cdot 2 + 1] \cdot 4}{(3 - 1,4) \cdot 8 \cdot 4} = 2700 \text{ аз.}$$

Полученное из выражение близко к пределу упругости листа. Соответствующее измеживание в целом листа все соединения будет равно $0,63 \cdot 2700 = 2500$ аз.

б. Соединение винкрай с внутренней планкой (рис. 83). Такое соединение представляет собой обычное соединение винкрай, подкрепленное узкой внутренней планкой, причем в наружных рядах зажимок каждая вторая зажимка пропущена, а то время как зажимки, расположенные между чеканящимися кромками, имеют обычный водонепроницаемый шаг.

Поступая как раньше, получим для такого соединения:

$$c = \frac{(n - 1)kd}{2m}, \quad (124)$$

где n — число рядов зажимок, исключая наружный ряд по планке,

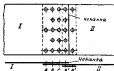


Рис. 83.

Пределная толщина листов, при которой разрушение вдоль ряда B или B' происходит раньше, чем вдоль ряда A или A' , определяется, как и раньше. Предполагая, что заклепки потайные с чеканящейся стороной, получим:

$$t < \frac{kd}{n}. \quad (125)$$

Пределная толщина листов получается около 12,7 мм. Для более тонких листов шаг заклепок должен быть

$$m > \frac{s}{2} + \frac{2n-1}{2} \frac{kd}{t}. \quad (126)$$

Толщина планки f' определяется из сопоставления разрушения планки и листа вдоль ряда B' с разрывом листа вдоль варужного ряда заклепок:

$$f' > \frac{2k - s}{m - s} \frac{t}{2}. \quad (127)$$

Для листов толще 12,7 мм

$$m > s + (n-1) \frac{kd}{t}. \quad (128)$$

и

$$f' > \left[\frac{n-1}{2(n-1)} - s + t \right] \frac{t}{m-s}. \quad (129)$$

Из выражения (129) видно, что все планки незначительный, хотя, конечно, практически она делается толще, чем это требуется по этому выражению.

Рассмотренное соединение, по сравнению с обычным соединением винтами, дает больший коэффициент прочности при меньшем шаге заклепок вдоль чеканящейся кромки листа.

Действительно, для листов толщиной 9,5 мм при простом шаге винта коэффициент прочности 0,77 можно получить только при шаге заклепок около 6,5 диаметра, т. е. при сравнительно большом шаге для полнопрочного соединения. По сравнению с заклепочным соединением на одинарной планке шаг винта с внутренней узкой планкой даст тот же коэффициент прочности соединения при большой экономии веса и количества заклепок и при излишни всех тех преимуществ, которые имеются у соединений винтами перед соединениями на планке. Поэтому такое соединение может найти применение в тех случаях, где требуется большой коэффициент прочности, наряду с полной герметичностью и малым весом. Однако в тех случаях, когда можно опасаться потери устойчивости, как, например, в стыках ширстрема и полулюбого настила, следует предпочтеть соединение из двойных стыковых планок.

34. Косое разрушение

До сих пор мы рассматривали разрушение заклепочных соединений только по линии, нормальными к направлению действующих усилий. В некоторых случаях, например, при шаговых и ромбовидных шагах, в которых сопротивление по наклонной линии, проведенной через концы заклепки, может оказаться меньше, чем сопротивление по нормальному линии, проведенной через наружный ряд заклепок, разрушение

может произойти по линии, наклонной к направлению действующих на нее усилий.

Этот вид разрушения отличается от разрыва листа по линии, нормальной к направлению действующего на соединение усилия, главным образом тем, что он сопровождается срезом листа в плоскости, перпендикулярной к листу. Рассмотрим лист, предполагая его совершенно изотропным, подвергающийся равномерному растягивающему напряже-

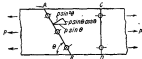


Рис. 14.

нию p , и проверим прочность этого листа по наклонной вдоль угла θ линии, показанной на рис. 24. Напряжение вдоль этой линии будет $p \sin \theta$ и составляющие его будут равны:

нормальное напряжение

$$\sigma_n = p \sin^2 \theta;$$

срезающее напряжение

$$\sigma_s = p \sin \theta \cos \theta.$$

При $\theta = 45^\circ$ срезающее напряжение достигает наибольшей величины, равной $\frac{1}{2} p$, и действует одновременно с нормальным напряжением такой же величины.

Предположим теперь, что линия AB ослаблена присутствием заклепок и необходимо выбрать для этих заклепок такой шаг m' , при котором сопротивление по линии AB было бы таким же или больше, чем стандартное сопротивление по поперечному ряду заклепок. Считается — и это проверено на практике, — что для удовлетворения этому условию необходимо, чтобы длина наклонного сечения AB , уменьшенная заклепками, была больше длины поперечного сечения CD , уменьшенной заклепками.

Пусть e' — коэффициент прочности соединения вдоль поперечного сечения CD и e'' — относительное ослабление заклепками площади наклонного сечения AB . Тогда должно быть:

$$e' \overline{AB} > e'' \overline{CD}$$

или

$$e' > e'' \sin \theta. \quad (130)$$

Пусть $m' > \frac{p'}{e''}$ — шаг заклепок, требующийся для предотвращения разрушения вдоль наклонного сечения, где p' — расстояние между заклепками по наклонной линии. Так как $e' = 1 - \frac{m'}{p'} = 1 - \frac{s}{p'}$, то

$$m' > \frac{s}{1 - s \sin \theta}. \quad (131)$$

35. Шахматная клепка.

Одним из наиболее важных случаев, когда должно быть учтено разрушение по косому направлению, является шахматное расположение заклепок в заклепочных соединениях.

Во французском флоте такая форма клепки широко применялась в течение многих лет. В американском флоте она принята в качестве стандартной с 1932 г., но и до этого времени она интенсивно применялась во множестве.

Шахматная клепка имеет следующие преимущества:

1. Вследствие более тесного размещения рядов заклепок ширина перекрыва уменьшается и возникает вес. Поэтому шахматная клепка применяется для соединения листов наружной обшивки со шпангами и для двухрядной клепки угольников.

В американском флоте минимальное расстояние между рядами заклепок принимается при цепной клепке равным $2\frac{1}{2}$ —3 диаметра, а при шахматной — лишь $2\frac{1}{2}$ —2 диаметра. Во французском флоте расстояние между рядами заклепок при шахматной клепке обычно принимается равным двум диаметрам.

2. При шахматном расположении заклепок прочность листа, подобному, используемому лучше, чем при цепной, хотя это окончательно не доказано.

3. Достигается лучшая герметичность, особенно при тонких листах, вследствие более тесного расположения рядов заклепок и более равномерного сжатия листов.

С другой стороны, шахматная клепка требует большей тщательности при проектировании заклепочных соединений и при разметке зон заклепочных отверстий в листах.

Приходится считаться также с тем, что некоторые заклепки попадают в местах пересечений соединений конструктивными связями, например, в местах пересечений пазов шлангогутами. Кроме того, в стыковом соединении с несколькими рядами заклепок в каждом втором ряду теряется по одной заклепке по сравнению с цепной клепкой.

Приведенные ранее формулы для цепной клепки применимы и для шахматной, но с дополнительной проверкой разрушения соединения зоной зигзагообразной линии. Такую проверку можно сделать, как для косого разреза, рассмотренного выше. Площадь сечения листа зоной зигзагообразной линии через первый и второй ряды заклепок должна быть, по крайней мере, равна площади сечения листа зоной первого или зоной наружного ряда заклепок.

Посмотрим, какое минимальное допустимое расстояние может быть между рядами заклепок для случая простого двухрядного шахматного шва, изображенного на рис. 85, при одинаковом шаге заклепок $r = d$. Пусть расстояние между рядами заклепок будет zr и шаг зигзагообразной линии $m'd$ (см. рис. 85).

Будем иметь

$$m'd - zr > \frac{md}{2} - \frac{rd}{2},$$

но

$$(m'd)^2 = (zd)^2 + \left(\frac{md}{2}\right)^2.$$



Рис. 85

откуда

$$z > \sqrt{\frac{3V + 2m}{4}}. \quad (132)$$

Для среднего значения $m=1,17$ и для $V=3\%$ получим $z>1,56$; для $V=6$ получим $z=1,96$. Эти значения для z хорошо согласуются с практическими правилами.



Рис. 85.

В последнее время в шахматном расположении заклепок получают распространение так называемые вырезанные кромки, показанные на рис. 86. Применение таких кромок позволяет больше приблинять чеканищиеся кромки к заклепкам, особенно при шахматном расположении заклепок. Это позволяет увеличить шаг заклепок в наружных рядах, применяя в этих рядах попеременный пропуск заклепок через одну, как это показано на рис. 86, б.

Применение вырезных кромок даёт следующие преимущества:

а) увеличение коэффициента прочности соединения вследствие увеличения шага заклепок в наружных рядах;

б) улучшение условий чеканки по сравнению с прямолинейными кромками;

в) улучшение компактности сопряжения и лучшее распределение напряжений, чем при цепном расположении заклепок с исполнением их числом в наружных рядах.

Вырезные кромки находят большое применение при однородных планках с внутренней стороны наружной обшивки и при досных планках в прочных наливах.

86. Ромбовидные соединения, переборочные прокладки и накладные листы

Несмотря на то, что при ромбовидных соединениях (фиг. 87) получаются сравнительно большие коэффициенты прочности, они редко применяются в чистом виде в судовых конструкциях.

Принцип ромбовидной накладки, однако применяется в переборочных прокладках и других компенсационных листах, а также и в некоторых стыковых соединениях, где требуется подкрепить связи, ослабленные тесно расположеннымми зацепками по условию нефтепе-

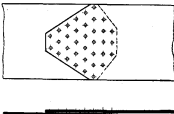


Рис. 87.

проницаемости, или где требуется местное подкрепление связей, как, например, у вырезов для дверей, люков, кингстонов, изломовоторов и др.

1. **Переборочные прокладки.** Рассмотрим подкрепления, установленные на наружной обшивке, а часто также и на внутреннем дне, для компенсации ослаблений, получающихся из-за линий, где залепки расположены тесно, и в местах крепления водо- и нефтепроводящих переборок и шлангоутов.

При системе примыкающих и накрывающих поясьев наружной обшивки эти подкрепления делаются при помощи так называемых компенсационных переборочных прокладок, расположенных под обшивочными угольниками на накрывающих поясах.

При системе соединения поясьев наружной обшивки «склады» эти подкрепления делаются при помощи неперерывных планок, которые, где это возможно, должны стянуть снаружи обшивку, например, под прокладкой для брони.

Рассмотрим случаи, когда применяются прымкающие и накрывающие пояса. Переборочные компенсационные прокладки на накрывающих поясах должны обеспечить такую же общую продольную прочность ослабленному сечению, какая существует в сечении по водонепроницаемому шлангоуту.

Пусть b — ширина пояса между кромками соединих поясов (ширина перекрытия пазов) пренебрегаем, так как прочность в районе этого пе-

рекра одинакова для всех шлангутов); σ — требуемый коэффициент прочности накрывающего листа по ослабленному сечению; σ' — коэффициент прочности прилегающего полса по ослабленному сечению; c_0 — стандартный коэффициент прочности по проницаемому шлангу.

Требуется, чтобы

$$\sigma - 2c_0 = \sigma'. \quad (133)$$

Примем, например, стандартный коэффициент прочности $c_0 = 0,83$ и коэффициент прочности прилегающего полса $c = 0,71$. Тогда требуемый коэффициент прочности накрывающего листа должен быть:

$$\sigma = 2 \cdot 0,83 - 0,71 = 0,95.$$

Компенсационные переборочные прокладки, обычно имеют косоугольную или ромбовидную форму, причем заклепки в них размещаются по тому же принципу, что и в ромбовидном заклепочном соединении; различие лишь в том, что ввиду отсутствия в данном случае стыка средних заклепок не может произойти. Поэтому мы будем рассматривать разрыв листа вдоль наружного ряда заклепок в качестве частного стандарта, с которым должны сравниваться другие возможные формы разрушения. Обращаясь к рис. 68, видим, что коэффициент прочности толстины листа t не должен быть ниже требуемого, т. е.

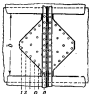


Рис. 68.

$$\frac{\sigma - N_1 ds}{b} > \sigma$$

или

$$N_1 < \frac{1 - \sigma}{ds} b, \quad (134)$$

где N_1 — число заклепок в крайнем ряду, т. е. по линии l .

Достаточно рассмотреть линию одну сторону прокладки, вследствие наличия симметрии или относительной замкнутости обделочного уголника или, в случае двойных уголников, относительной листа переборки. Кленка обделочного уголника переборки дается в таблицах, поэтому число заклепок N_1 известно. Разрыв листа вдоль любого ряда заклепок, т. е. вдоль любой линии r вместе со срезом всех заклепок между линиями l и $r-l$, включая и заклепки и по этим линиям, должен представлять большее сопротивление, чем разрыв листа вдоль линии l . Поэтому

$$(b - N_1 ds) f_r t + f_s \frac{\pi d^2}{4} \sum_{i=1}^{p-1} N_i > (b - N_1 ds) f_l t,$$

откуда

$$N_p < N_1 + \frac{bd}{sd} \sum_{i=1}^{p-1} N_i. \quad (135)$$

Принимая в этом выражении $p = n$, получим общее число заклепок с одной стороны листа:

$$\sum_{i=1}^{n-1} N_i > \frac{bd}{sd} (N_1 - N_p). \quad (136)$$

Общее число заклепок в проекции будет $2 \sum_{i=1}^{r-1} N_i + N_r$ или $\frac{r}{2} + 2N_r$, в зависимости от того, будет ли клетка обделочного угланика переборки одинарной или двойной.

Остается рассмотреть возможность разрыва самой проекции, что может случиться лишь при одинарном разрыве листа. Этот комбинированный разрыв проекции в листе может произойти тремя различными способами: разрыв проекции по линии внутренней или наружной относительной линии разрыва листа или по линии разрыва листа.

Обозначим через s — сопротивление заклепки срезу и через t — сопротивление разрыва проекции или листа, причем верхний индекс L или R у t будет обозначать соответственно проекцию или лист, а нижний индекс соответствует номеру ряда заклепок, во котором происходит разрыв (рис. 89).

Три различных способа разрыва могут быть выражены так:

$$t_p^L + t_p^R + \sum_{i=1}^{r-1} s > t_p^R + \sum_{i=1}^{r-1} s;$$

$$t_p^L + t_p^R + \sum_{i=1}^{r-1} s > t_p^L + \sum_{i=1}^{r-1} s;$$

$$t_p^L + t_p^R > t_p^R + \sum_{i=1}^{r-1} s.$$



Рис. 89.

Первое из этих условий может быть написано так:

$$t_p^L > \sum_{i=1}^{r-1} s. \quad (137)$$

Если это условие удовлетворено, то

$$t_p^R > \sum_{i=1}^{r-1} s,$$

и поэтому второе условие может быть написано так:

$$\sum_{i=1}^r s + \sum_{i=r+1}^{r-1} s > \sum_{i=1}^{r-1} s$$

или

$$\sum_{i=r}^r s + \sum_{i=r+1}^{r-1} s > 0.$$

Это условие всегда удовлетворяется.

Третье из приведенных выше условий может быть написано так:

$$t_p^R > \sum_{i=1}^{r-1} s.$$

Это условие удовлетворяется, если удовлетворено выражение (137). Таким образом все три условия удовлетворяются, если удовлетворено условие (137). Это последнее условие может быть написано так:

$$[b - N_s d u'] f_r t > f_r \frac{m^2}{4} M \sum_{i=1}^{n-1} N_i. \quad (138)$$

Сюда входят две неизвестные величины — ширина прокладки b' и толщина прокладки t' . Но так как во линии a $b=b'$, то мы можем найти t' , полагая $r=p$ и $N=N_b$.

Найденная таким путем толщина прокладки всегда будет меньше, чем толщина листа, и мы можем поэтому в соответствии с обычной практикой принять $t'=t$ или, точнее, толщину соседних прилегающих панелей. В этом случае будет исключена опасность разрушения прокладки.

Поставив приенную величину для t' в выражение (138), мы можем определить b' , т. е. ширину плавки в разных ее отсеках. В крайнем сечении прокладка резко обрывается и ширина ее в этом сечении определяется в соответствии с минимально допустимым шагом заклепок. Для построения чертежа компенсационной прокладки обычно прочерчивают линии рядов, выдерживая необходимое расстояние между ними. На каждой линии заклепок от середины ширины прокладки отмечается $\frac{r}{2}$. Угол наклона кромок прокладки выбирается так, чтобы не произошел разрыв по линии боковых заклепок и чтобы шаг по этой линии получался таким, какой необходим для чеканки. Кромки прокладки обычно делаются прямыми и расстояние между ними и по-транзитными заклепками должно соответствовать сужающимся из этого счет требованиям. Если сужение не простирается во всю ширину листа, то проверить возможность разрушения по наклонному направлению проще всего можно по чертежу в большом масштабе, измерив сумму расстояний между заклепочными отверстиями по линии боковых заклепок и сравнив эту сумму с нетто шириной листа по линии L .

На этом чертеже диаметр заклепочных отверстий должен быть равным ad .

На кораблях последней постройки переборки обычно привариваются к обшивке, и в этом случае необходимость в переборочных прокладках отпадает. Надо отметить, что приварка переборки дает непрерывную линию напряженного состояния обшивки, которое в этом случае нельзя удалить при помощи отжига. Однако следует предполагать, что при надлежащем процессе приварки ослабление всего сечения корабля не так серьезно и, возможно, не превосходит ослабления, получаемого при приклепке переборки.

* Так как в этом случае r и l равны b , то можно воспользоваться в третьем условии неравенством

$$f_r^2 > \sum_{i=1}^{n-1} x_i$$

или

$$[b - N_s d u'] f_r t' > f_r \frac{m^2}{4} M \sum_{i=1}^{n-1} N_i. \quad (139)$$

которое дает минимально допустимую величину для t' . — Адм.

2. Пример проектирования переборочной прокладки (см. рис. 88). Длины: $t=16$ мм; $b=1220$ мм; $d=22$ мм; шаг заклепок не должен быть менее $3d$; шаг по обделочному угольнику переборки $5d$; шаг кромок прокладок — не больше $5d$; требующийся коэффициент прочности $\alpha=0,95$; заклепки в листе штабинные, причем $a=1,16$; заклепки и прокладки цилиндрические, и поэтому $\varphi'=4=1,03$; $k=0,67$.

По выражению (134)

$$N_1 < \frac{1 - 0,95}{1,16 + 22} \cdot 1220 = 2,4;$$

принимаем $N_1=2$.

$$N_2 > \frac{b}{5d} = \frac{1220}{5 \cdot 22} = 11,1;$$

принимаем $N_2=11$.

При таком числе заклепок расстояние между центрами конечных заклепок и кромками соседних листов получается около 60 мм.

По выражению (136)

$$\sum_{i=1}^{p-1} N > \frac{1,16 + 16}{0,67 + 22} (11 - 2) = 11,3;$$

принимаем

$$\sum_{i=1}^{p-1} N = 12.$$

По выражению (136)

$$N_p < 2 + \frac{0,67 + 22}{1,16 + 16} \cdot \sum_{i=1}^{p-1} N = 2 + 0,8 \sum_{i=1}^{p-1} N.$$

Отсюда для:

$$p=2 \quad \sum_{i=1}^{p-1} N = 2 \text{ и } N_1 < 3,6; \text{ принимаем } N_1=2;$$

$$p=3 \quad \sum_{i=1}^{p-1} N = 5 \text{ и } N_1 < 6,0; \text{ принимаем } N_1=3,$$

$$p=4 \quad \sum_{i=1}^{p-1} N = 8 \text{ и } N_1 < 8,0; \text{ принимаем } N_1=4.$$

Такая малая величина для N_1 выбрана с той целью, чтобы сделать

$$\sum_{i=1}^{p-1} N = \sum_{i=1}^4 N = 12.$$

$$\text{Для } p=5 \quad \sum_{i=1}^{p-1} N = 12 \text{ и } N_1 < 11,2; \text{ принимаем } N_1=11.$$

Наименьшая толщина прокладки находится по уравнению (138), принимая $b_p = b = 1220$ мм и $r = R$:

$$\frac{\frac{m^2}{4} \cdot \pi \frac{b}{2} N}{f_s} = \frac{\frac{m^2}{4} \frac{b}{2} N}{b_p - N_p d^2 / f_T} = \frac{0,67 \cdot 22^2 \cdot (12 + 11)}{1220 - 11 \cdot 1,03 \cdot 22} = 7,7 \text{ мм.}$$

По конструктивным требованиям принимаем $t = t_1 = 16$ мм и соответствующую ширину планки в разных рядах находим по уравнению (138):

$$b_p > \frac{\frac{m^2}{4} \pi t_1 \frac{b}{2} N}{f_T} + N_p d^2 = \frac{\frac{1}{r} \frac{b}{2} N}{t_1} + N_p d^2 = \\ = \frac{0,67 \cdot 22 \frac{b}{2} N}{16} + 1,03 \cdot 22 N_p = 20,2 \sum_i^p N + 23 N_p.$$

Ширина b_p также определяется из условия износа первого шага заклепок $3d = 66$ мм. Ширина b_p , поэтому должна быть принята равной большему из двух её значений, полученных выше. Такие пути может быть получена прокладка отдель небольших размеров с компактным размещением заклепок. Однако при такой прокладке могло бы быть не предотвращено разрушение листа вдоль ее краев, так как заклепки по ее краям могут оказаться размещенными слишком тесно. Чтобы предотвратить такое разрушение и в то же время обеспечить шаг заклепок, требуемый условиями членами кромок, нужно края планки провести под углом 45° и кромочные заклепки расположить в расстоянии b_1 друг от друга. Такое решение показано на рис. 88. Дополнительные заклепки прибавлены с каждой стороны для того, чтобы прокладка лучше работала вместе с листом.

Часто применяются переборочные прокладки значительно меньшей ширины, чем было рассмотрено, но они не обладают таким высоким коэффициентом прочности и не гарантируют невозможности разрушения вдоль линий крайних заклепок.

Даже при большой длине узкие прокладки не могут быть так эффективны, как широкие, так как проходящие через прокладку линии напряжений будут разошлены от своего естественного направления, что вызывает стяжение их в некоторых местах и создает очень неравномерное распределение напряжений.

3. Накладные листы. Если такие прочные связи корпуса, как пожарная обшивка или прочной полубашни ослаблены прорезанными в них отверстиями, то линии напряжений в этих связях будут отклоняться, подобно струям воды, обтекающим препятствие. Такое отклонение линии напряжений практически оказывает значительное влияние лишь на определенном расстоянии от вырезов, и поэтому в районе, где линии напряжений стягиваются, ослабленные связи должны быть подкреплены. Рис. 90 дает грубую картину стяжения линий напряжений в районе полубашенного примыкального ложа при действии в полубашне равномерного распределения.

Распределение напряжений в палубе в этом случае получается очень неравномерным. Листы, расположенные по продольным кромкам ложа параллельно растягивающим усилиям и особенно в углах ложа, испытывают большие растягивающие напряжения, в то время как листы, расположенные по поперечным кромкам ложа нормально к растягивающим усилиям, подвергаются сжатию.

Разрыв листов в углах ложа является наиболее вероятной формой разрушения, но не исключена возможность выпучивания листов у середины поперечной кромки выреза.

— Листы растягивающих напряжений
---- Листы срывающих напряжений

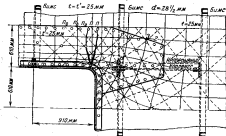


Рис. 90.

Необходимое подкрепление таких больших вырезов, как ложа, двери и др., должно состоять в установке накладных листов с каждой стороны выреза, параллельной растяжению, причем эти накладные листы должны простираться дальше конца выреза, по крайней мере, на две трети его ширины. Накладные листы должны охватывать углы выреза на величину не менее одной четверти его ширины.

Обычно кромки вырезов в целях увеличения их жесткости подкрепляются комингсами или бимсами, шлангоутами и корлингами; если такие подкрепления отсутствуют, то должны быть установлены наименее стойки для подкрепления кромок вырезов. Углы вырезов должны быть хорошо закруглены, так как в противном случае в них неминуточно возникнут местные перенапряжения материала. При небольших вырезах удвоенные листы могут быть установлены по всему периметру выреза.

Иногда необходимо установить накладные листы по всей длине одной кромки выреза, но обычно этоunnecessary, так как вызывает дополнительное отложение снарядных днищ.

Минимальное требование к ширине и толщине накладных листов должно, очевидно, состоять в том, чтобы прочность по любому поперечному сечению выреза, с учетом заключенных отверстий, была не

меньше нормального стандарта. Обычно это требование может быть удовлетворено простым измощением материала, удаленного вырезом, но применительно к важным прочным снякам, особенно на быстроходных кораблях, такое подкрепление может оказаться недостаточным. Допустим, например что удаленный при вырезе материал измощен наложением второго листа той же толщины, что и толщина первоначальных листов, и такой шириной, что площадь поперечного сечения по вырезу с учетом ослабления заклепочных отверстий равна площади сечения сням по ослабленному сечению вдоль водонепроницаемых бимсов или цинггутов. Предположим также, что накладные листы протянуты на надлежащее расстояние за концы выреза в обе стороны и что они достаточно заходят за углы выреза. Как следует из рис. 90, напряжения у углов выреза даже при полном распределении между двумя толщинами обязательно должны быть больше тех, которые нормально имеются в данной снади вне района выреза.

Если напряжения в каком-нибудь месте превзойдут предел упругости материала и появится трещина, то есть опасность, что она может постепенно распространиться. Поэтому рекомендуется, во крайней мере, для быстроходных кораблей, делать накладные листы более толстыми, чем основные, или же устанавливать добавочные местные подкрепления в углах вырезов. Последняя мера предпочтительнее, так как она требует меньшие веса.

Прежде чем рассматривать конструкцию такого местного подкрепления, рассмотрим формы, по которым может произойти разрушение в углах вырезов:

1. Разрушение основного листа со срезом всех заклепок, расположенных по одну сторону от линии разрушения. Эта форма разрушения может быть предотвращена защелаживанием увеличением площади сечения заклепок, соединяющих узловый лист с основным.

2. Разрушение обоих листов. Присутствие комингса ликва с его обделочным угольником не может увеличить сопротивления этому разрушению. Ясно, что усиление, соответствующее поставленной задаче, должно не только захватывать район наибольших напряжений, но простираяться за этот район и быть надежно скрепленным с обеими листами. Одной из форм такого усиления являются накладки, охватывающие углы. Другой формой, конструктивно более предпочтительной, является установка карлингов или ребер по бокам выреза, продолжающихся, во крайней мере, на едини ширину за концы выреза. Такие конструкции подкрепления показана на рис. 90, где карлинги жестко хорошо соединены с обеими листами, что разрушение угла не может произойти без разрыва карлинга.

Порядок проектирования накладных листов аналогичен изложенному выше порядку проектирования переборочных прокладок. Сопротивление разрушению по линии наружного ради заклепок принимается в качестве стандарта. Сначала размещаются заклепки по периметру накладного листа с таким шагом, какой требуется по условию водонепроницаемости; после этого размещаются заклепки по бимсам, карлингу, обделочному угольнику комингса, а также добавочные заклепки с таким расчетом, чтобы число их спаружи возможной линии разрушения листа было достаточным. Шаг этих заклепок обычно принимается около 13—16 д. Ни одной добавочной заклепки не должно быть поблизости угла выреза.

Так как накладные листы могут иметь различную форму и размещение заклепок в них делается по усмотрению конструктора в зависимости от местных условий, то здесь не делается попытки дать стандартные формулы для расчета заклепочных соединений накладных листов, но для иллюстрации способа расчета ниже приведен пример.

4. Пример. Расчет накладного листа палубного листа (рис. 90). Требуемый коэффициент прочности $\alpha_s = 0,84$. Клепки по контуру должны удовлетворять требованиям непропицаемости. Ширина листа $b = 1220$ мм; $t = 25$ мм; $d = 29$ мм. Заклепочные отверстия цилиндрические в палубном листе и засверленные в накладном листе; $\alpha = 0 - 1,03$; $\alpha' = 1,14$; $k = 0,67$.

Ширину каждого накладного листа принимаем равной половине ширины листа: $\frac{b}{2} = 610$ мм; требуется найти толщину накладного листа t' .

Можно ограничиться рассмотрением только одной стороны листа. Против выреза ни в одном ряду нет больше трех заклепок. В ряде с углом листа находится две или максимум три заклепки. Показанные на рис. 90 линии разрушения находятся nearest вероятны. Разрыв обеих толщин, начинаясь от угла выреза, не должен произойти раньше, чем разорвется лист вне района накладного листа; следовательно,

$$\left(\frac{h}{2} - 3d\right)t + \left(\frac{h}{2} - 3d'd\right)t' \geq 0,84kt,$$

откуда

$$t' \geq \frac{0,84h + 3d}{\frac{h}{2} - 3d'd} t = 24,5 \text{ мм};$$

принимаем $t' = t = 25$ мм.

Число заклепок в наружном ряду по выражению (134)

$$N_1 < \frac{(1 - \alpha)h}{4d} = \frac{(1 - 0,84)}{4 \cdot 29} \cdot 1220 = 6,5;$$

принимаем $N_1 = 4$, как показано на рис. 90.

Сравнивая разрушение основного листа по линии o вместе со срезом всех заклепок по одну сторону этой линии с разрушением этого же листа по линии I , проходящей через крайний ряд заклепок, получим:

$$\left(\frac{h}{2} - 3d\right)tf_g + \frac{\pi d^2}{4} \sigma_{EN}f_g - (n - 4d)dH_g,$$

откуда необходимое число заклепок $2N$:

$$\sum_{i=1}^{n-1} N_i = \left(\frac{h}{2d} - 1\right) \frac{t}{d} \cdot \frac{1}{i} = \left[\frac{1220}{2 \cdot 29} - 1,03\right] \frac{25}{29} \cdot \frac{1}{0,67} = 26.$$

Принимаем $\sum_{i=1}^{n-1} N_i = 30$, включая в это число две заклепки по обеим сторонам угла выреза листа.

При $N_1 = 4$ можно принять $N_2 = 7$, а в следующих рядах принять еще большие число заклепок, и тогда можем получить требующееся пяносты

шее число заклепок 26 при малом числе рядов, но, как было указано выше, желательно пакладкой лист значительную протяжку за концы выреза. Поэтому, как показано на рис. 90, по практическим соображениям в сторону от конингсского утолщика размещено семь рядов заклепок. Каренгги протянут непрерывно на 1520 мм за конец лока и по обе стороны от угла соединен с наложенным листом шестью заклепками.

б. Оканчание двойных пакладок. На больших кораблях парусных обшивка обычно удвигается в районе пакладок. Удлиненные листы часто также применяются для особо ответственных поясов бортов и прочной палубы в средней части корабля. Эти удлиненные листы должны иметь по периметру их тесно размещенные заклепки, удаляющиеся к условиям чеканки. Если концы листов резко обрываются, то у их концевых кромок образуются линии ослабления, подобные линиям ослабления на изогнутопрессованных переборках и шпангоутах. Чтобы избежать таких ослаблений, необходимо удлиненные листы заканчивать, подобно переборочным прокладкам по форме многоугольника или в виде полуокружностей, по контуру которых размещать заклепки, необходимые для чеканки их краев. Кроме того, ставят несколько дополнительных заклепок. Таким образом создается линия увеличенного сопротивления разрыву. Прочность по этой линии приблизительно можно определить, измерив площадь сечения листа между заклепочными отверстиями вдоль линии контура. На рис. 91 площадь нетто почти равна площади поперечного сечения по целику листу. Другими словами, коэффициент прочности нетто не меняется для разных сечений. Чтобы убедиться что коэффициент прочности никогда не снижается ниже стандартного, необходимо проверить прочность по поперечному сечению по трем или пятью арматурным заклепкам.

Этот грубый, но простой прием может, конечно, быть применен и для определения коэффициента прочности компенсационных переборочных прокладок. Однако вместо их большого числа предпочтительнее это определение делать с большой точностью, как было указано выше.

37. Связь между теорией и практикой

1. Шаг заклепок. Сравнения, приведенные в табл. 12 шаги заклепок с шагами, получавшимися по формулам для наибольшей прочности, показывают, что они значительно различаются. Соответствие между этими

шагами, в действительности, получается лишь для одной какой-либо комбинации толщины листа и диаметра заклепки. Для меньших толщин листа стандартный шаг оказывается меньшим, а для больших толщин листа — большим теоретического шага. Однако эта разница не так существенна, исключая лишь случаи, где требование непропускности вызывает необходимость применения более тесного шага, чем он определяется формулами. Например, при двухрядной клепке листов толщиной 6 мм теоретический шаг был бы слишком большим по условиям чеканки, и поэтому на практике принимается шаг, равный 4d. Точное выдерживание теоретического шага к неизменно в действительности. Для большей простоты необходимо, чтобы требуемый стандартный шаг выражался в целых частях диаметра заклепки. Однако даже от стандартного шага на практике приходится часто отступать для того, чтобы удобно было разместить нужное число заклепок на заданной длине шага. Имен в виду, что действительные условия часто отличаются от расчетных предположений, на теоретический шаг надо смотреть только как на ориентир. В тех случаях, однако, когда прочность соединения особенно важна, следует, насколько возможно, выдерживать теоретический шаг.

В коммерческом судостроении заклепки размещаются в общем более тесно, чем принято в военном судостроении. Согласно правилам английского Ллойда, для трехрядного шва шириной, применяемого в стыках изгруженной обшивки, требуется шаг $3\frac{1}{2}$ d вместо 4d, применяемого в американском военном флоте. Поэтому, как уже указывалось, в коммерческом судостроении площади сечений заклепок получаются очень большими; например, прочность стальных заклепок в трехрядном стыковом соединении превышает более, чем на 50%, прочность листа.

2. Рабочие напряжения. В судостроении не установлено достаточно определенных практических норм для рабочих (допускаемых) напряжений в заклепочных соединениях конструкций корпуса. Сложность и эмпирический характер расчетов прочности конструкций корпуса препятствуют достаточно обоснованному назначению норм для рабочих напряжений. При расчете прочности бинсов, стрингеров и других балок, устанавливаемых для поддержания известной по величине нагрузки, трещавшее напряжение в заклепках может быть допущено до 700 ат; если же нагрузка имеет динамический характер действия, например, в подкреплениях под орудия, то рабочее напряжение не должно превышать 630 ат.

Бюро доков и верфей американского военного флота² для таких конструкций, подвергающихся динамическим и избирательным нагрузкам, как фундаменты под быстро врачающимися механизмами, допускает в конструкции основные растягивающие напряжения 1120 ат. Соответствующим этому допускаемые напряжения на срез в заклепках при механической их клепке могут доходить до 850 ат, допускаемые напряжения на смятие — до 1340 ат при одинарном срезе и до 1700 ат при двойном срезе заклепок. Для конструкций, подвергающихся статическим нагрузкам, основное допускаемое напряжение равняется 1270 ат, и для конструкций, подвергающихся большими динамическим нагрузкам, 980 ат, и допускаемые напряжения на срез и смятие заклепок таких конструкций должны соответствовать этим основным допускаемым напряжениям.

² "Standards of Design for Structural Steel", 1934.

38. Водонепроницаемость и нефтепропитываемость

1. Чеканка. Основным назначением заклепочных швов является скрепление отдельных частей корпуса и обеспечение прочности, но для многих частей корпуса также важно обеспечить водонепроницаемость. Клапка сама по себе уже обеспечивает известную степень водонепроницаемости. Если закладки расположены достаточно тесно и клапка выполнена удовлетворительно, то достаточная водонепроницаемость будет достигнута без применения никаких-либо других специальных средств. С течением времени водонепроницаемость шва еще улучшится и станет более надежной благодаря заполнению зазоров налетом из ржавчины, образующейся между соприкасающимися поверхностями листов. Однако, так как не всегда желательно иметь малые шаги закладок и так как качество работ не всегда будет совершенным, то все водонепроницаемые швы, где только возможно, чеканятся.

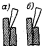


Рис. 92.

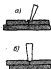


Рис. 93.

Чеканка состоит во вдавливании металла вдоль кромки одной или обеих соединяемых деталей в зазор между соприкасающимися поверхностями для предотвращения прохода воды или газа. Для эффективности чеканки требуется, чтобы расстояние между заклепками было кромки не было слишком велико относительно толщины листа, так как в противном случае при чеканке лист будет отгибаться и чеканка окажется ненадежной. Нельзя также выполнить чеканку, если шаг подвергается значительным напряжениям. Поэтому, как было указано выше, наибольший допустимый шаг закладок для водонепроницаемых швов делается от $3\frac{1}{2}$ до 6 д.

Шаг, выраженный в диаметрах закладок, радиально делать меньший для более тонких листов, так как диаметр закладок для таких листов прямывается относительно большим, чем для толстых листов. В действительности это так и делается, как видно из табл. 12; шаг при двух- и трехрядной клепке (толстые листы) больше, чем при однорядной клепке (тонкие листы) (см. также рассмотрение вопроса о двойных стыковых плинках).

В заклепочных соединениях шириной кромки листа, подлежащих чеканке, должна быть предварительно прострогана.

При помощи подрубочного чекана в чеканившейся кромке листа делается зарубка, как показано на рис. 92,а и после этого подрубленный металл кромки прижимается к соединенному листу кромочным чеканом (рис. 92,б). Таким образом образуется почти прямоугольная канавка по чеканенной кромке; запрессованный в эту канавку металл слегка отжимает кромку от соседнего листа. Водонепроницаемость получается и постоянно обеспечивается за счет упругости чеканенной кромки, которая плотно прижимает металл канавки к соединенному листу.

При чеканке листов сплошных кромки обеих листов должны быть прострогоаны, и после плоской пригонки с каждой стороны стыка делаются зарубки при помощи подрубочного чекана (рис. 93,а). После этого обе подрубленные кромки вместе саживаются при помощи плоского или вспущенного чекана, называемого стыковым чеканом (рис. 93,б); при этом образуется прямоугольная канавка с пло-

ским или выпуклым дномышком. Рабочая поверхность стыкового чекана часто имеет насечку.

Если кромки варитых недостаточно плотно Притянуты, то после подрубочного чекана, до применения стыкового, чеканившиеся кромки обрабатываются особым чеканом с тупыми закрученными кромками.

Чеканка кромок варитых менее эффективна, чем чеканка кромок внахой, так как она скорее может раскрыться при растяжении, и особенно при изгибе шва.

Кроме того, если кромки листов не очень хорошо пригнаны, соприкосновение между ними при стыковой чеканке имеет место только по узкой поверхности зачеканенного металла, и этот узкий слой чеканки может легко разрушиться растяжкой.

После разрушения чеканки вследствие ожиданиястык должен быть перечеканен, но при повторении этого процесса трудно получить удовлетворительные результаты, и в конце концов, чеканка становится невозможной. В этом случае исправить дефект можно сваркойстыка или постановкой наружной стыковой плины.

Чеканка должна производиться без применения уплотняющих металлов и прокладок. Чеканку надо выполнять всегда с одной стороны водонепроницаемой поверхности, а не частично с одной стороны и частично с другой. Все линии чеканки должны быть замкнутыми. Чтобы облегчить чеканку, водонепроницаемые поверхности должны быть, насколько возможно, свободны от подкрепляющих ребер, шлангутов и других креплений. В некоторых случаях чеканяется обе стороны водонепроницаемых перекрытий. При испытании водонепроницаемости отсеков корабля водяное давление обычно дается с нечеканенной стороны для того, чтобы дефекты чеканки могли быть легко обнаружены и исправлены. Если водяное давление будет даваться с чеканенной стороны, то трудно определить место течи, так как вода может пройти между соприкасающимися поверхностями листов и уголниками и обнаружиться на большом расстоянии от дефектного места. Для исправления дефекта необходимо будет осушить отсек. Надо, однако, отметить, что конструктивные ослабления, если они существуют, легче обнаруживаются при действии давления с чеканенной стороны; в этом случае листы, если они недостаточно подкреплены набором, будут деформироваться, отдаляясь от обделочных уголников, чеканка нарушится и появится течь.

Заклепки чеканятся только в тех случаях, когда особо важна водонепроницаемость, при этом чеканившиеся заклепки должны иметь потайные головки. Достаточно хорошо поставленные заклепки, но даже небольшую течь, могут быть прочеканены независимо от типа их головки.

Клепки через три толщины, так называемой трехслойной клепки, надо во возможности избегать, так как при этом трудно получить достаточно правильное сопряжение стержней и замков недостаточно плотно прижимают листы друг к другу, как при скреплении двух толщин. Такая клепка особенно нежелательна, если средней толщиной является водонепроницаемая стена, так как в этом случае вода может просочиться через стенку вдоль стержней заклепок, если последние полностью заполняют заклепочные отверстия. Этого можно избежать, если прочеканить весь периметр соответствующей конструкции, как это делается, например, в случае прикрепления пиллерса через внутреннее дно к обратным уголникам фланцев и стрингеров. При клепке через

три толщины приходится ставить водяные стопора на одной стороне средней толщины, а также применять залепки увеличенного диаметра, чтобы лучше склеить склеиваемые части. В гражданском строительстве, если водонепроницаемости не требуется, часто склеивают три толщины, а иногда и больше. Имеются специальные правила для заклепок, длины стержня которых между головками больше четырех и пяти диаметров.

Достаточно эффективная чеканка листов тонкие 5 мм становится невозможной, особенно если кромки соединены винтами, так как при этом листы при чеканке раздвигаются и чеканка становится совершенно ненадежной при действии больших усилий; в этих случаях предпочтительно применять уплотнение прокладки. Хотя шаги залепок водонепроницаемых и нефтепроницаемых швов выражаются обычно в диаметрах заклепок, но по существу они зависят от толщин листов.

2. Уплотнющие материалы. При соединении очень тонких листов, особенно если они испытывают большие напряжения, например, при соединении листов наружной обшивки из минеросита, водонепроницаемость достигается применением уплотнения материалов, состоящих из промасленной или просмоленной ткани. Уплотняющий материал применяется также при установке накладных листов, так как трудно, особенно при криволинейной поверхности наружной обшивки, плотно пригнать листы. Эта мера необходима не только для того, чтобы предотвратить проход воды, но и чтобы обеспечить лучшую поддержку листов и их сохранность.

В местах пересечения петчканенных кромок швы водонепроницаемыми швами должны ставиться водяные стопора (верм曲折), состоящие из уплотнения прокладок. Например, водяные стопора должны ставиться в пазах наружной обшивки у водонепроницаемых флюсов и переборок — в противном случае вода может проникнуть между соприкасающимися поверхностями листов и пройти вдоль пазов из одного помещения в другое. Водяные стопора применяются также там, где чеканка по тем или иным причинам невозможна, например, на водонепроницаемых переборках, когда ребра расположены с чеканившейся стороны и шерешают пазы обшивки.

Уплотнющий материал может состоять из парусины, мешковины, фланца, войлока или бумаги, пропитанных смесью суржика, смолой или смесью синтетического суржика и бальса. В некоторых случаях наиболее подходящим уплотнительным материалом может служить заменка из густой смеси синтетического суржика и бальса. Одним из лучших уплотнительных материалов, сохранивших свои качества долгое время, является листовой джутовый войлок, пропитанный смолой. Синтетический сурок с течением времени высыхает и теряет свои уплотнительные свойства.

Под наружную броню, под фланцы труб и под различные детали винты ставят уплотнительные прокладки из лампового фитила, пропитанного синтетическим суржиком и бальсами. Для устранения неплотностей в двойной обшивке может оказаться необходимой запрессовка синтетического суржика между листами обшивки.

Все промасленные и просмоленные уплотнительные материалы задерживают образование рисажин, которая доказывает, что поддерживается водонепроницаемость после порчи чеканки.

3. Специальные меры для нефтепроницаемости. Нефтепроницаемость достигается с большими трудностями, чем водонепроницаемость, так как нефть легче проникает через неплотности, чем вода.

Нефть препятствует образованию ржавчины, и такие масляные материалы, как синтетический сурок, не могут применяться в качестве уплотнений, так как они растворяются и вымываются нефтью. Поэтому в нефтепроницаемых конструкциях ширина зазоров должна быть уменьшена обычно до 3—3½ д. Заклепки должны быть поставлены плотно, заклепочные отверстия должны хорошо совпадать; клепки должны выполняться тщательно и, где только можно, механическим способом.

Обычно применяются заклепки с полимерными полукруглыми или бочкообразными закладными головками, но иногда предпочтитаются заклепки с потайными закладными головками. При применении заклепок с потайными образующими головками для достаточно точной пригонки головок к потайным листам требуется особо тщательная работа, для чего головки должны быть хорошо нагреты и иметь достаточную высоту. Заклепочные отверстия в листах должны сверлиться или продавливаться на минимальный диаметр, а затем развертываться. При развертке сверстий диаметр их должен увеличиваться не менее, чем на одну восемью толщины листа. Ни в каком случае не допускается смещение отверстий. Все сопрягающиеся поверхности должны быть ровными и чистыми; специальные меры применяются для удаления заусенцев. Это особенно важно при клепке толстых листов, где должны чеканиться обе головки заклепок. На нефтепроницаемых фланцах и стрингерах обвязочные уголковые по наружной обшивке и второму дну должны быть двойными и чеканиться с обеих сторон.

Короткие уголники, соединяющие проницаемые связи с нефтепроницаемыми, должны чеканяться по всему их периметру, как, например, уголники, соединяющие обычные флюрорезиновые листы со стеклом нефтепроницаемого стрингера. Все подлежащие чеканке кромки в нефтепроницаемых конструкциях должны быть чистыми и доступными. По крайней мере зазор в 25 мм должен оставаться между чеканившейся кромкой и концом коротких соединительных уголников.

Соединительные планки нефтепроницаемых уголников должны иметь по четыре заклепки с каждой стороны стыка.

Нефтяные створы должны применяться в пазах, планках, накладках и других местах, где нужно, если толщина листов недостаточна для эффективной чеканки, т. е. менее 5 мм. В более толстых листах нефтяные створы могут применяться лишь в исключительных случаях.

Нефтяные створы делаются из ламинированного фальса или войлока, пропитанных смесью шелака с беллами или красным суроком. Часто применяется также парусина, пропитанная смесью сосновой смолы и шелака.

Для нефтепроницаемых конструкций имеет очень большую значение износостойкость швов. Это особенно важно для нефтеваловых судов, в которых такие нефтепроницаемые перекрытия, как днища, являются основными продольными связями эквивалентного бруса, подвергаются переменно растягивающим и сжимающим усилиям. Стыковые соединения обшивки днища танкеров, предназначенных для перевозки нефти, поэтому должны быть выполнены внакрой или еще лучше — на двойных планках; площадь сечения заклепок в них должна превышать обычные требования. Стыки на однорядных планках в этом случае недопустимы.

В последнее время трудности, связанные с обеспечением нефтепроницаемости корабельных конструкций, устранили благодаря широкому применению сварки в судостроении.

ГЛАВА X

СВАРКА

39. Ведомые заметки

I. Классификация и определения. Термин сварка ранее применялся лишь к процессу кузнецкой сварки, при котором куски железа или мягкой стали соединяются при помощи ударов или давления после нагрева их до пластического состояния. Кузнецкая сварка до сих пор применяется в судостроении для изготовления таких больших плавников, как, например, штамп. и многих более мелких изделий.

В последние годы термин сварка получает более широкое значение и относится не только к кузнецкой сварке и другим процессам, при которых применяется давление, но и к так называемой сварке плавлением, которая в настоящее время является наиболее важным сварочным процессом в судостроении. Сварка плавлением может выполняться различными процессами, из которых главнейшими являются: дуговая сварка, сварка сопротивлением, газовая сварка и термитная сварка. Пайка медью или оловом тоже является одним из видов сварки, однако пайка не имеет такого значения для корабельных конструкций. Герцин электросварка обнимает собой дуговую сварку и сварку сопротивлением.

При всех видах сварки плавлением в шов входит расплавленный добавочный металл при той же температуре, чтобы произошло сплавление добавочного металла с металлом соединяемых частей. Различные процессы сварки плавлением различаются между собой, главным образом, способом получения необходимого тепла. В дуговой сварке нагрев получается электрическим током; в газовой сварке получается от горения смеси кислорода с каким-нибудь горючим газом, например, ацетиленом; в термитной сварке нагрев получается в результате химического процесса, непосредственно повышающего температуру свариваемого металла.

При дуговой сварке электрический ток подается электродом и образует зонтующую дугу между электродом и основным металлом соединяемых частей. Электроды применяются или металлические или угольные. При металлическом электроде металл самого электрода расплавляется и, соединясь с расплавленным основным металлом, образует наплавленный металл, хорошо склеивающий соединяемые части. Такая сварка называется сваркой металлической дугой и является наиболее широко применяемым методом сварки в судостроении. При угольном электроде сам электрод не дает расплавленного металла и наплавленный металл получается полностью или частично за счет расплавлен-

ного основного металла; такая сварка называется сваркой угольной дуговой.

Атомно-водородная сварка производится переменным током в атмосфере водорода. В этом процессе молекулы водорода диссоциируются на атомы, а затем при воссоединении их — опять в молекулы; при этом развивается большое количество теплоты, расплавляющей основной и добавочный металлы. Этот метод сварки мало применяется в судостроении.

Газовая сварка интенсивно применяется для соединения тонких листов и изготовления различных мелких изделий, а также для исправления отливок и сварки нежелезистых металлов. Применение газовой сварки для корпусных конструкций ограничено, так как выделяющееся при ней большое количество тепла вызывает внутренние напряжения в металле, сопровождающиеся выпучиванием и короблением конструкции. Термитная сварка находит применение в судостроении, главным образом, для исправления тяжелых стальных отливок и соединения стыков тяжелыхников.

Сварка сопротивлением, при которой тепло выделяется при проходе электрического тока через место соединения двух свариваемых частей, в основном является процессом плавления, но отличается от обычных процессов плавления применением в процессе сварки давления. Поэтому сварка сопротивлением относится к группе сварки давлением, к которой относятся также и старая кувачная сварка.

При сварке сопротивлением никакого добавочного металла не изводится; тепло здесь локализуется в том месте соединения, где желательно расплавление. При сварке сопротивлением можно соединять между собой различные металлы, например, сталь и медь.

Сварка сопротивлением имеет следующие три разновидности: точечная, шововая и стыковая. При точечной сварке соединение получается подобным заклепочному соединению.

Сварка сопротивлением находит широкое применение в легких конструкциях настроек минносцев и крейсеров и для изготовления дверей, крышек, люков, шлюз дымоходов и т. п.

В дальнейшем термин сварка будет относиться к сварке металлической дуговой.

2. История развития. Во время первой мировой войны сварка широко применялась для ремонтных работ. В Англии был произведен при помощи сварки ремонт поврежденного стального форштевня линейного корабля в течение 6 недель вместо горячего более продолжительного процесса замены его новым¹. В Америке сварка была усиленно использована при ремонте поврежденных машин больших пассажирских немецких судов, приспособленных для перевозки войск. На считаются много и других случаев применения сварки при ремонтных работах.

После войны сварка начала постепенно применяться при постройке новых кораблей, начиная лишь для таких неответственных конструкций корпуса, как рубки и многочисленные легкие дельные вещи. В это время процесс электросварки еще не вошел в судостроительную практику как достаточно надежный; он проходил еще стадию испытания. Большое развитие электросварки получила за последние 20 лет в результате постановки соответствующих экспериментальных работ и практи-

¹ W. G. d. Inst. Nav. Arb., 1919.

тического опыта в области проектирования, постройки и службы сварных корпусных конструкций.

При сварке достигается почти полная непроницаемость соединений, и поэтому она прежде всего начала применяться при постройке нефтеналивных судов и, частично, при постройке подводных лодок.

Важным преимуществом сварки является экономия веса, и это преимущество было главнейшим стимулом для развития сварки, особенно когда в 1922 г. Вашингтонским соглашением были установлены ограничительные линии для водоизмещения некоторых классов военных кораблей.

Экономия в весе наиболее полно и выгодно могла быть реализована в построении судостроения, поэтому естественно, что начавшее наиболее интенсивное развитие электросварка получила в военном судостроении, хотя в то же время она начала все больше и больше применяться на коммерческих судах и была принята классификационными обществами. В некотором отношении коммерческое судостроение заняло ведущую роль в развитии сварки в судостроении, особенно при постройке нефтеналивных танкеров и колесисто-сварочных морских судов и барж. Экономия в весе корпуса последних получалась от 15 до 30%¹.

В настоящее время сварка применяется при постройке военных кораблей всех типов не только для второстепенных конструкций корпуса, но и для наружной обшивки, внутреннего дна, палуб, набора и переборок. В действительности она настолько широко применяется, что кроме указать места, где она не применяется. Сварка пока не применяется лишь в пазах наружной обшивки и прочной палубы средней части больших военных кораблей, а также там, где броневая или другая сталь по своим качествам не может быть надежно сварена.

Британское Адмиралтейство в 1936 г. еще не допускало применения сварки в средней части архи ответственных кораблей².

На строящихся в Америке крейсерах и минносцах оконечности корпуса полностью сварные, включая пазы и стыки наружной обшивки; в средней части корпуса свариваются стыки, но не свариваются лишь пазы наружной обшивки и прочной палубы. Переборки и весь поперечный набор привариваются к обшивке и палубам; в местах, где установлена броня, приварка производится к броням из мягкой стали, которые соединяются с броней из заклепках.

Продольный набор приваривается к обшивкам и палубам только в концевых районах корпуса; в среднем районе корпуса приварка допускается лишь для таких продольных связей, которые находятся вблизи нейтральной оси.

Переборки обычно свариваются в мастерской или на сборочной площадке и в зависимости от транспортных средств верфи ставятся на корабль в возможно более законченном виде.

Особенно успешно сварка стала применяться при постройке нефтяных танкеров благодаря хорошей непроницаемости сварных соединений. На этих судах свариваются переборки, палубы и внутренний днищевой набор; некоторые заводы начали производить приварку к обшивке днищевых продольных связей. Было построено много полностью сваренных нефтяных бирм и несколько больших нефтяных танкеров; на этих последних, однако, сварка применялась, главным образом, в рабо-

¹ Welding Handbook, 1938.

² J. H. Narbeyn, Inst. Nav. Arch., 1936.

не цилиндрической вставки, а в оконечностях, имеющих большую кривизну, применялась клепка.

В последние годы сварка начата применяться для сталей высокого сопротивления, особенно для легированных сталей с малым содержанием углерода. В этом случае она требует особых мер предосторожности, направленных к тому, чтобы избежнуть неправильного нагрева основного металла¹, могущего неблагоприятно отразиться на его физических свойствах.

Сварка оцинкованной стали, применяемой для постройки никоновцев, встречает трудности, связанные с выпадением при сварке шарошника. Этих трудностей однако можно избежать применением специальных электродов, хотя с点儿-таки необходимо принимать меры предосторожности.

Весьма желательно, чтобы шпангоуты, стрингера и балки, привариваемые к листам, имели форму сечения, симметричную относительно их стыков. Этим условиям удовлетворяют двутавры, тавры и просто полосы и не удовлетворяют такие распространенные в судостроении профили, как утолщины, углобу碌ы, швеллеры и Z-образные профили, а также профили, получающиеся после обрезки один из полок швеллера или Z-образного профиля и приварки стык к листу. Симметричный профиль может быть получен сваркой из отдельных полос, однако такой метод не может быть призван удовлетворительным. Большие преимущества могли бы быть получены при постройке сварных кораблей, если бы металлургическая промышленность без большого увеличения стоимости давала готовые катаные симметричные профили нужных размеров применительно к потребностям судостроения.

3. Преимущества и недостатки сварки. а) Экономия веса является наиболее важным преимуществом применения сварки в судостроении. Экономия веса получается, главным образом, благодаря исключению плюшек, перекройки листов, полок шпангоутов и других балок, переборочных обделочных угольников и различных соединительных угольников.

Вес заплавленного металла в сварных конструкциях приблизительно равен весу заклепочных головок в клепанных конструкциях. В некоторых случаях, однако, может потребоваться введение дополнительного материала для компенсации потери прочности. Экономия веса корпуса при сварке получается от 10 до 20%. На английском эсминце «Айк Royal» было сварено около 65% конструкции корпуса и сэкономлено около 500 т. Экономия веса получается также от замены тяжелых отливок более легкими сварными конструкциями из листов и угольников.

б) Улучшение морозостойкости. Это бесспорное преимущество сварки значительно удешевляет, упрощает и ускоряет производство испытаний водонепроницаемости при постройке корабли. Чеканка при сварке становится практически невозможной.

в) Прочность сварки при полном использовании всех возможностей как в отношении материала электродов, так и в отношении качества работы, приближается к идеальной, поскольку это относится к самому соединению. В сварных судах отсутствует ослабление листов заклепочными отверстиями. Однако и в сварных судах прочность может быть ослаблена вследствие появления остаточных напряжений, разви-

¹ С. С. ЛИИ Истор. Инж. Нац. Акад., 1933.

вляющихся в соседнем со сваркой металле, в результате сильного и неизвестного нагрева. Эти напряжения могут быть удалены или уменьшены легкой волнистой проковкой или отжигом. Однако устранение напряжений отжигом не всегда возможно и доступно, учитывая большие размеры конструкций и отсутствие требуемого оборудования на судостроительных заводах для этой цели. Холодная проковка может быть применена только в отдельных случаях; она пригодна для проковки стяжек, но ее нельзя применять в большом объеме в конструкциях работ.

Но можно предполагать, что ослабление общей прочности корпуса, происходящее вследствие остаточных напряжений, накапливающихся при приварке к наружной обшивке переборок и шпангоутов, компенсируется отсутствием заклепочных отверстий.

Опыт, однако, показал, что остаточные напряжения при сварке не так опасны, как предполагалось вначале, если для сварки применяются высококачественные электроды с обмазкой, дающие достаточно пластичный металл в сварном шве, и процесс сварки производится надлежащим образом.

Прочность сварного корпуса при прочих равных условиях больше, чем клепаного, благодаря тому, что в сварном корпусе устраются интеркостальные связи. При сварке может быть сохранена непрерывность обеих пересекающихся связей, как, например, шпангоута и стрингера.

г) Жесткость сварных конструкций больше, чем клепанных, вследствие отсутствия сдвигов заклепок.

д) Сварка высококоррозионистых сталей ненадежна. Этот недостаток, однако, за последние годы устранен применением сталей с относительно низким содержанием углерода и электродов, позволяющих получить достаточно прочный и пластичный наваренный металл.

е) Основная трудность, возникающая при применении сварки в судостроении, заключается в появление остаточных напряжений, которые всегда проявляются при сварке, вызывая усадку и коробление конструкции. Эти деформации, естественно, более заметны в таких сложных конструкциях, как полностью сварной корпус корабля, где они создают большие трудности при сборке. Однако эти деформации проявляются и в самых простых конструкциях; так, например, при соединении двух листов никелевым швом наблюдается коробление и уменьшение прочности, особенно если листы криволинейные.

Если не принять специальные меры предосторожности при сборке, то усадка сварных соединений может вызвать коробление листов и искривание шпангоутов и стрингеров, особенно в конструкциях из тонкого материала. В полностью сварном корабле усадка сварных соединений будет вызывать уменьшение линейных размеров всего корпуса и оконечности корабля, а скобы будут иметь тенденцию отделяться от ставленных блоков. По этой причине весьма важно при проектировании корабля стремиться к упрощению его формы, особенно в оконечностях.

Опыт учит, как следует бороться с указанными недостатками соответствующими проектированием корпусных конструкций и установлением надлежащих технологических процессов производства их сварки.

Можно думать, что внутренние напряжения в конструкциях корпуса, получающиеся при сварке, значительно уменьшаются с течением времени.

метрии. Основанием к этому служит отсутствие каких-либо существенных расстройств в правильном проектировании сварных корпусов¹.

ж) Начальная стоимость постройки сварных кораблей, но неей вероятности, не уменьшился. При настоящем состоянии течения сварочных работ стоимость же для большого корабля больше стоимости клепки и чеканки, но имеется определенная экономия в эксплуатации сварных кораблей. Как указывалось выше, в п. (в), большую экономию дает легкость получения при сварке водонепроницаемости и упрощение испытаний на водонепроницаемость; однако сварка требует более точной работы, чем клепка, следовательно, требуется более опытные рабочие. Кроме того, надо учесть некоторое увеличение накладных и других непрямых расходов.

з) Опасность концентрации напряжений в местах сбрыма связей в сварной конструкции должна быть большей, чем в клепаной, вследствие меньшей податливости сварного соединения.

и) Проверить качество готового сварного соединения в настоящее время значительно труднее, чем клепаного. Поэтому сварка требует применения более квалифицированных рабочих и более тщательного контроля за производством работы.

к) Время постройки цельносварного корабля больше, чем клепаного. Исключения в этом отношении составляют баржи и шханцы упрощенных форм. Однако разница во времени постройки будет изнита.

л) Сварка дает большие преимущества при выполнении возможных в торостальных корпусных работ и установке всего, что идет внутрь корабля. При этом, бесспорно, получается экономия в весе, стоимости и времени. При сварке исключается или облегчается проход связей через непроницаемые поверхности, упрощается крепление различных изделий конструкций фундаментов, а также все ремонтные работы.

40. Техника сварки²

При сварке металлической дугой, обычно применяемой в судостроении, нагрев осуществляется электрическим током, который образует дугу между металлом электрода и основным металлом соединяемых частей. Сварка заключается в расплавлении дополнительного металла, доставляемого электродом, и последующем смешении его с основным металлом соединяемых частей. В судостроении обычно применяется постоянный ток, так как он является более подходящим, чем переменный, для сварки горизонтальных, вертикальных и потолочных швов. Но сварку на переменном токе легче выполнять и при этом получается более плотный шов с меньшими шлаковыми включениями; она часто применяется для сварки тяжелых конструкций.

Электрический ток должен подводиться к электроду непрерывно и равномерно, так как в противном случае наплавленный металл благодаря выанию атмосферного воздуха получается худшего качества и материя при сварке получается неравномерным, что способствует уменьшению местных остаточных напряжений в сваренном шве.

При ручной сварке поддерживать длину дуги, а следовательно, и силу тока постоянными трудно, так как это полностью зависит от уме-

¹ E. F. Newell, Inc. Nav. Arch., USA.

² Приводимые в этом разделе правила и инструкции являются, главным образом, извлечениями из „Словаря по сварке“ Американского морского департамента, 1937 г.—Авт.

ния и внимания сварщика. Это требование легче выполнить при автоматической сварке, когда дуга контролируется самим током. Автоматическими сварочными машинами могут управлять малоопытные рабочие, выполняя сварку при высоких скоростях. Сварка на этих машинах проходит непрерывно сначала до края, поэтому промежуточные кратеры отсутствуют; сварочный звук получается более прочный и однородный, чем при ручной сварке. Если характер работы позволяет пользоваться автоматической сваркой и объем работ оправдывает затраты на приобретение оборудования, то должна применяться эта сварка.

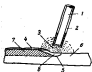


Рис. 94. Сварка электродом с обмазкой:

1—электрод; 2—кончик; 3—металл; 4—расплавленный металл; 5—зашлакованный металлический шов.

При выполнении сварочных работ в судостроении редко удается получить выгоду от применения автоматической сварки, поэтому в настоящее время в военном кораблестроении около 90% всех сварочных работ производится ручной сваркой. Это положение может существенно измениться в связи с развитием техники автоматической сварки.

Автоматическая сварка успешно применялась при постройке некоторых нефтяных судов, у которых корпус и рабочие нефтяные емкости полностью сваривались¹. Повидимому, она широко применяется во Франции при сварке переборок и палуб².

1. Электроды. В процессе сварки расплавленный металл желательно защищать от проникновения в него кислорода и изота атмосферного воздуха, так как эти газы неблагоприятно влияют на качество наплавленного металла, делая его хрупким и хрупким. Поэтому механизированные или голье электроды не должны применяться при ответственных работах, особенно в конструкциях, могущих подвергаться переменным и ударным нагрузкам. В американском и английском военном судостроении применяются преимущественно электроды, покрытые обмазкой. Обмазка в процессе сварки расплавляется, образуя флюс и газы, защищающие расплавленный металл от доступа воздуха. Покрытие может содержать элементы, которые, соединившись с расплавленным металлом, улучшают качество наплавленного металла. Имеется большое число различных составов для таких покрытий и способов их производства. Покрытые электроды применяются для сварки переменным и постоянным током.

2. Образование сварного шва (рис. 94). Под действием электрической дуги расплавленный металл электрода в виде потока мелких частиц направляется в образующийся в шве кратер. Выделяющееся тепло должно иметь высокую температуру (температура дуги около 3000° С), но количество выделяемого тепла должно быть возможно меньшим. Поверхность основного металла также расплавляется на некоторую глубину, порядка 1,5 мм, называемую глубиной проплава, и смешивается с расплавленным металлом электрода, так что наплавленный металл сварного шва содержит некоторые элементы основного металла. Если основной металл — высоколегированная сталь,

¹ J. Hudson and T. Jackson, Soc. Met. Eng., 1937.

² A. Normand, Inst. Nav. Eng., 1934.

то наплавленный металл сварного шва будет содержать большой процент углерода даже в том случае, если металл электрода — чистое железо, и поэтому при быстром остывании наплавленного металла он получит свойства твердой сплавки из высококуллероидистой стали, т. е. твердость и хрупкость. Этим объясняется хрупкость сварки высокоуглеродистых сталей и преимущество применения сталей с малым содержанием углерода. Углерод в свариваемой стали желательно иметь 0,20%. Этот процент не должен быть больше 0,31, так как в противном случае не исключается опасность появления трещин в сварном шве. Наклонность к образованию трещин может быть уменьшена предварительным подогревом, благодаря которому улучшается распределение тепла¹. В идеальном сварном шве наплавленный металл должен быть таким же, как и основной металл, т. е. однородным, без пороков и плавовых включений, при разомерной глубине провара.

Глубина провара в толще основного металла обычно равна около 1,5 мм ($\frac{1}{2}$ дюйма). Предельная поверхность соприкосновения сварного и основного металлов называется пограничной (б о п д). Эта поверхность обычно получается весьма неровной.

3. Остаточные напряжения. В теплопередающей базисе с пограничной поверхностью температура основного металла достигает примерно 1400°C и в зоне за пределами пограничной поверхности диффузона, где температура уменьшается примерно до 1050°C , образуется крученоизогнутая структура. Дальше, в широкой сравнительной зоне, где металл нагревается до 800 — 750°C , происходит отжиг металла и величина зерна уменьшается. Еще дальше — металл сохраняет свою первоначальную структуру.

Кроме аллотропических изменений и рекристаллизации, основной металл испытывает расширение и усадку, которые вследствие перехода из пластического состояния в упругое и асимметричности напряженного состояния вызывают при сопряжении неизбежные остаточные деформации и напряжения. Простое упругое сжатие, действующее в поперечном к шву направлении, при температуре меньшей, чем то соответствует пластичному состоянию, должно вызывать остаточные напряжения и, возможно, в некоторых местах и остаточные деформации. Величина и распределение этих остаточных напряжений зависит от формы сварного шва, последовательности выполнения сварки и степени свободы для перемещения свариваемых частей. Вдоль линии сварного шва происходит усадка как в продольном, так и в поперечном направлении, но первая значительно меньше последней.

Можно ожидать, что такое значительное изменение структуры металла может привести к значительному ослаблению прочности конструкции, например, в падубе по линии приварки к ней бимса. Опыты показывают, что при статической нагрузке ослабление, создаваемое сварным швом, не так существенно. При нагрузке, могущей вызвать явление усталости металла, это ослабление не больше, чем в соответствующем заклепочном шве. Стыковые сварные швы мягкой стали или стали высокого сопротивления сопротивляются удару, понятному, тоже удовлетворительно.

Остаточные напряжения можно устранить отжигом сварной конструкции, но эта мера не может быть широко использована для больших корабельных конструкций, если не имеется соответствующего оборудо-

¹ Оже и др., Welding Handbook, 1938.

дования. В последнее время оборудование на верфях для этой цели значительно увеличивается. На некоторых заводах построены большие отжигательные печи, и, следовательно, значительно расширены возможности отжига и предварительного подогрева целых сварных конструкций.

Температура отжига прививается от 600 до 670° С и при этой температуре конструкции однородной толщиной выдерживаются в течение времени, определяемого обычно из расчета одного часа на каждые 25 мм толщины. Снижение температуры должно быть постепенным и походу равномерным.

Холодная проковка, т. е. глубокая механическая проковка сварного металла бойком с окружением рабочим ковшом при помощи пневматического молотка, применяется для исправления местного коробления и уменьшения остаточных напряжений. Холодную проковку нельзя применять к однослойному сварному шву.

4. Порядок сварки и сборки. Порядок сварки и сборки сварных конструкций должен быть таким, чтобы尽可能 уменьшить их деформации. Поэтому различные операции по сборке должны так выполняться и вестись в такой последовательности, чтобы, по возможности, никакие препятствия не мешали начальной усадке шва и, таким образом, не вызывали напряжений, складывающихся с теми, которые избежаны даже в свободных швах.

Для уменьшения усадок желательно уменьшать, насколько это возможно, выделение тепла. Поэтому количество накапливаемого металла должно быть минимальным и соответствовать лишь действительно требуемому по условиям, необходимым для прочности и непроницаемости сварного шва. В таких швах, где по условию прочности это оказывается допустимым, должна применяться прерывистая сварка instead непрерывной.

Как общее правило, во избежание излишнего коробления и выпучивания, сварка должна выполняться симметрично, начинаясь от средней части и идти к концам конструкций таким образом, чтобы еще не сваренные части конструкции могли свободно смещаться без усадки по отношению к средней.

На многих военных кораблях оконечности полностью свариваются; в таких случаях правильнее сварку начинать с ближайших к середине корабля стыков и лагов и вести ее постепенно к оконечностям судна и к бортам одновременно по правому и левому борту. При этом каждый элемент, по мере подхода к нему сварки, необходимо закреплять к палубе и внутреннему дну, одновременно с верхней и с нижней стороны. Процесс сварки должен быть подобен росту дерева.

Прежде чем приступить к сварке, надо тщательно разработать технологический процесс изготовления отдельных частей конструкции и стягу сборки и установки этой конструкции в корпусе корабля. Необходимо составить план сборки и его придерживаться. Надо обеспечить возможное тесное кооперирование конструкторского бюро, обрабатывающей мастерской и стапеля.

Несколько возможно, сварку следует выполнять в нижнем торизонтальном положении, при котором расположенный металлического артографа осаживается вниз. Вертикальный шов, при котором эпилога дуги почти горизонтальна, должен накладываться снизу вверх, т. е. сварку надо начинать с нижнего конца. Потолочные сварки должны быть сделаны к минимуму.

При постройке сварных кораблей необходимо стремиться увеличивать объем предварительной сборки, т. е. собирать и сваривать целые конструкции или их секции не на строящемся корабле, а в мастерской или на специальных площадках. Вес и размеры отдельных секций, изготавливаемых на площадках предварительной сборки, должны соответствовать подъемно-транспортному оборудованию верфи. Сварщику должны быть обеспечены наилучшие условия работы: сварщик и выполняемый им шов должны быть защищены от ветра, дождя, холода и синоптики. Шов должен быть расположжен удобно для выполнения сварочных работ. Эти условия наиболее полно можно осуществить при устройстве сварочных постов под прокрытием и скажении их всем необходимым оборудованием и инструментом. Сварка не должна производиться при температуре, меньшей $6-10^{\circ}\text{C}$ ниже нуля.

Прихватки, применяемые для удержания отдельных частей конструкций в требуемом положении во время сварки, должны размещаться так, чтобы они не препятствовали смешению этих частей при сварке. Прихватки должны, по возможности, выполняться электродиаметром 3 мм или меньше и иметь призму не длинее 25 мм; число их должно быть ограничено лишь необходимым минимумом. В тяжелых конструкциях для прихваток могут применяться электроды диаметром 4 мм.

Следует избегать сварки в исподвижных швах, т. е. таких, в которых могут появляться только пластические деформации. Излишнего закрепления болтами или прихватками удаленных от места сварки частей конструкции не следует допускать, так как это затрудняет свободное перемещение частей конструкции в направлении усадки свариваемого шва.

Подлежащие сварке поверхности должны быть вполне чистыми и сухими и поддерживаться в таком состоянии во все время сварки.

Пересекающиеся связи, например, шлангоуты и стяжги, должны быть сварены друг с другом раньше, чем они будут привариваться к листам.

Связи, привариваемые прерывистыми швами, должны иметь на своих концах участки непрерывных швов с обеих сторон длиной, равной одной восьмой длины связи.

Тяжелые сварные конструкции, например, башни, актерштевни и сварные конструкции, состоящие из разных по толщине и величине частей, должны иметь местный подогрев по крайней мере до температуры 25°C , которая должна поддерживаться во все время сварки.

Тяжелые сварные конструкции, подвергающиеся неравномерным усадкам, необходимо отянуть, чтобы поставить их в наилучшие условия при сопротивлении ударным и переменным нагрузкам и избежать деформаций в этих конструкциях после их механической обработки.

Комбинированные соединения, включающие клепку и сварку, не следует, по возможности, применять. Во всех случаях, где клепка должна быть выполнена вблизи сварки, она должна производиться после окончания сварки.

41. Проектирование сварных соединений

Искусство сварки и ее применение в судостроении находятся в стадии быстрого развития, и еще остаются большие неиспользованные возможности, которые могут быть реализованы в дальнейшем, по мере разрешения многих, пока недостаточно ясных вопросов. Проектирование

сварного корабля представляет собой новую самостоятельную задачу, при разрешении которой нельзя следуя копировать клепанные конструкции и руководствоваться традициями, установившимися в предшествующей практике постройки клепанных кораблей. В настоящей работе за недостатком места не представляется возможным подробно останавливаться на методах проектирования сварных конструкций и сварных соединений; более глубоко и полно эти вопросы рассматриваются в специальных трудах¹.

Здесь приводятся, в инструктивном виде, лишь основные положения, относящиеся к методу расчета прочности сварных соединений, согласованные с существующей в настоящее время практикой американского военного флота.

Этот метод расчета базируется на применении коэффициента, уменьшающего временное сопротивление и предел текучести сварного металла, учитывая существующую низкость в определении качества сварки. Метод иллюстрирован численными примерами. Однако, поскольку техника сварки развивается и объем применения ее в судостроении расширяется, постепенно и изменяется метод расчета. Поэтому, несмотря на очень обширные исследования и широкое применение сварки, становится все труднее установить постоянные правила для определения напряжений в сварном шве.

Существующая практика американского военного флота при определении прочности сварных соединений пользуется называемой спецификационной величиной временного сопротивления наплавленного металла.

1. Основные типы сварных соединений. В американской практике применяется следующая классификация для различных типов сварных соединений:

а) Стыковое соединение, в котором кромки двух листов, накладывающихся на одной плоскости, стыкуются друг с другом и свариваются (рис. 95, 96, 97).

б) Соединение внахлест, в котором два листа, перекрывающие друг друга, свариваются налья перекрывающих кромок (рис. 99, б).

в) Т-образное соединение, в котором один лист стыкуется с другим под прямым углом и кромка его приваривается с одной стороны или с обеих сторон (рис. 101).

г) Угловое соединение, в котором кромки двух листов, расположенных под прямым углом друг к другу, стыкуются и свариваются (рис. 98).

д) Соединение по кромкам, в котором два листа, прилегающие друг к другу, свариваются между их кромок (рис. 104).

Комбинация стыкового соединения и соединения внахлест образует соединение с односторонней накладкой, показанное на рис. 100.

2. Основные типы сварных швов. Перечисленные выше типы сварных соединений свариваются при помощи сварных швов различного типа. Основные типы сварных швов следующие:

а) Стыковой шов применяется в стыковом соединении, в котором кромки листов стыкуются друг с другом таким образом, чтобы между ними оставался небольшой зазор. Этот зазор заполняется наплавленным металлом, который и соединяет листы. Стыковой шов может быть усиленным с одной или с обеих сторон; при усилении

¹ H. E. Rose, Riveting and Arc Welding, 1934.

наплавленный металл образует выпуклый выступ над поверхностью листов. Под статической нагрузкой усиленный шов увеличивает прочность соединения, но для этого высота его не должен быть более 3 мм, так как в противном случае он может вызвать концентрацию напряжений.

При знакопеременной нагрузке прочность сварного шва из усталости увеличивается при сострагировании усиления. В американском военном флоте высота усиления делается в пределах от 0,8 ($\frac{1}{4}$ дюйма) до 3,2 мм ($\frac{1}{4}$ дюйма).

Кромки соединяемых листов должны быть прорезаны для образования между ними канавки определенной формы. Для листов толщиной 6 мм, имеющих бескосьные швы (рис. 96), кромки не сканиваются, причем зазор между кромками не должен быть менее полутора миллиметров. У более толстых листов кромки сканиваются таким образом, чтобы они образовали V-образный (рис. 96, а) или X-образный (рис. 96, б) шов. Скос обеспечивает лучшее сплавление металла по всей толщине листа. Общий угол, образованный скосленными кромками для свободного манипулирования электродом, должен быть не менее 60° и не более 90°, чтобы избежать излишнего количества наплавленного металла, увеличивающего стоимость работы и величину остаточных напряжений. Обычно X-образный шов предпочтительнее применять в тех случаях, когда толщина листов больше 15 мм и когда обе стороны шва должны быть усилены. Однако и V-образные швы должны усиливаться с обеих сторон, так как иначе наплавленный металл у основания шва может оказаться ненадежным, и сопротивление соединению изгибу уменьшится.

Если представлять себе V-образный и X-образный швы разрезанными вертикальной плоскостью симметрии, то получим так называемые односимметричные V-образные или X-образные швы.

Однорядные U-образный (рис. 97, а) или двойной U-образный швы (рис. 97, б) применяются для соединения листов большой толщины.



Рис. 95. Стыковое бескосьное соединение.

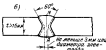


Рис. 96. Стыковое соединение со скосом:
а—V-образный шов; б—X-образный шов.

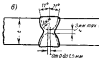
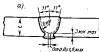


Рис. 97. Стыковые соединения с U-образной разделкой кромок:
а—однорядный U-образный шов; б—двойной U-образный шов.

Представим U-образные швы разрезанными вертикальной плоскостью симметрии, получим соответственно одинарный J-образный или двойной J-образный шов, которые удобно применять во многих случаях.

В соответствии со спецификацией американского военного флота,стыки и пазы всех листов обычно должны быть сварены стыковым швом, т. е. все соединения должны быть стыковыми за исключением пазов наружной обшивки, которые могут иметь соединения наискось; это исключение допускается и в других специальных случаях. Все стыковые швы при наличии усиления с обеих сторон считаются имеющими 100%-ную прочность.

Применение стыковых швов во пазах наружной обшивки позволяет получить более легкую конструкцию, чем при соединении наискось; кроме того, при этом типе шва удается избежать установки проходя-

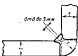


Рис. 98. Угловое соединение с усиливанием.

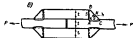
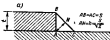


Рис. 99. Валиковые швы.

а—стремительный валиковый шов с углом в 45°; б—валиковый шов наискось; в—валиковый шов с листом сваркой внахлестку.

лок или высокоточного выбора, но его труднее пригонять при сборке.

Угловое соединение, показанное на рис. 98, сваривается усиленным V-образным швом. Многие другие типы швов могут также применяться в угловых соединениях.

б) Валиковый шов имеет треугольное сечение, показанное на рис. 99,а. Он применяется для соединений наискось (рис. 99,б), следовательно, и для соединений с накладками (рис. 99,в). При одинарной накладке листы дополнительно соединяются стыковым швом (рис. 100).

в) Т-образное соединение сваривается двумя валиковыми швами, как показано на рис. 101. Валиковые швы часто делаются прерывистыми (рис. 102). В этом случае наложенный металл накладывается отдельными короткими участками, и некотором расстоянии друг от друга. Двойной прерывистый шов может быть цепным, когда участки сварки с разных сторон шва находятся друг против друга, или шага мачты, когда они сдвинуты относительно друг друга. Прерывистые швы применяются в тех случаях, когда непрерывные швы были бы слишком прочными.

Если приваривающиеся прерывистым швом к листам ребра не имеют кинчного или иного крепления по своим концам, то прерывистый шов у концов стоеч должен быть заменен непрерывным.

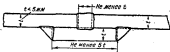


Рис. 100. Стыковое бесшовное соединение с односторонней сваркой.

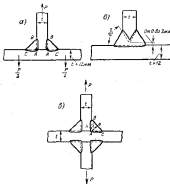


Рис. 101. Т-образные соединения:

a—с двойным наливом швов для герметичности стыка; *b*—с двойной разнотолщиной кромок стыка; *c*—двойное обратноизогнутое накладывание с наливом швов.



Рис. 102. Т-образные соединения с двойными разнотолщинными преградами швов.

Кромки щебок угольников должны сострагиваться для помещения в них валикового шва.

г) Сварка пробками служит для соединения накрывающих или накладных листов и состоит в заполнении плавленным металлом отверстий в одном из листов, имеющих форму под потайные заклепочные отверстия (рис. 103). Сварка пробками часто заменяет гужонки. Когда желательно получить большое сопротивление срезу, как, например, в подвергающихся растяжению и сжатию соединениях аккроб.



Рис. 103. Сварка пробками.



Рис. 104.

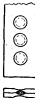


Рис. 105.

отверстия для пробок делают продлженными, и в этом случае сварка называется сваркой прорезью.

д) Наплавка применяется для соединения двух листов вдоль их краев (рис. 104, д). В этом случае может также применяться и V-образный шов. В чистом виде наплавка может служить для местного утолщения листа, как показано на рис. 104, б.

е) Точечная сварка применяется для соединения верхкрова в тонких листах (рис. 105). Автоматическая точечная сварка выполняется или последовательно точка за точкой, или одновременно во многих точках.

3. Физические качества наплавленного металла. Как было сказано выше, физические свойства и химический состав металла сварного шва зависят от состава электрода и состава основного металла. Качество электрода и качество самой сварки влияют на качество наплавленного металла.

В табл. 14 приведены минимальные значения основных характеристик для наплавленного металла и для обычной мягкой стали. Эти данные относятся к доброкачественно выполненной сварке. Из таблицы

Таблица 14

Характеристики	Наплавленный металл	Мягкая сталь
Время выдержки, ми	4000—4800	4200—4800
Предел текучести, ат	3000—3900	2200—2800
Удлинение на длине 200 мм, %	22—23	23—25

видно, что в то время как величина временного сопротивления наплавленного металла имеет приблизительно такое же значение, как и у основного металла, величина предела текучести наплавленного металла значительно больше.

Модуль упругости практически одинаков у наплавленного и основного металлов и равен около $2 \cdot 10^5$ кг при растяжении и сжатии и $0,8 \cdot 10^5$ кг при срезе. Приведенные данные относятся к наплавленному металлу, применяемому в американском флоте, начиная с 1939 г. Временное сопротивление на срез, согласно Американской морской спецификации, принимается равным 0,8 временного сопротивления на растяжение; предел текучести на срез может быть принят равным 0,577 от предела текучести на растяжение.



Рис. 105. Растяжение продольного сварочного шва.

По правилам английского Ллойда 1938 г., временное сопротивление наплавленного металла должно быть не менее 4100 кг.

Для изготовления сварных образцов должна применяться обычная судостроительная сталь с временными сопротивлениями от 4100 до 5000 кг.

При расчете прочности пограничный слой не считается источником ослабления, если в дефектном шве порозы и непровары могут быть на пограничном слое.

4. Прочность стыкового шва. а. Рассмотрим сначала случай, когда растягивающие или сжимающие усилия направлены нормально к шву, как, например, в стыках ширстрака или палубного стрингера при продольном изгибе корабля. Опытом найдено, что прочность изброжательного стыкового шва пропорциональна площади его сечения, нормального к листу и проходящего через середину сварки, как показано линией АВ на рис. 96.

Рассмотрим X-образный шов в листах из мягкой стали толщиной 19 мм, с усилиями 3 кг с каждой стороны. Пусть временное сопротивление наплавленного металла будет 4100 кг и листа 4200 кг. Конфигурация прочности соединения, отнесенный к площади листу, будет равен

$$\sigma = \frac{(1,942 + 0,8)4100}{1,9 \cdot 4200} = 1,39.$$

Даже при отсутствии усиления коэффициент прочности был бы практическим равен 100%. Согласно правилам Ллойда, простое стыковое соединение должно иметь прочность на разрушение не менее 4100 кг; при этом поверхность испытуемых образцов должна быть так состротена, чтобы усилия были устранины. Можно понадать, что для изгиба стыковое сварное соединение склоняется прочнее целого листа.

б. Сварные швы в балках продольных связей корпуса испытывают те же усилия, что и листы вдоль линии сварки, как это видно на рис. 106.

Если пластичность основного и наплавленного металлов совершенно одинакова, то в зоне между соединяемыми листами могут возникнуть касательные напряжения в том случае, когда напряжения в одном из соединяемых листов превысят предел текучести, а в другом они будут меньше этого предела. Этот случай был рассмотрен Баббером¹ в статье «Сварка продольных пазов паружной обшивки». При большой разнице в величинах пределов упругости для наплавленного и основного металлов в более хрупком сварном металле появляются трещины, которые распространяются на листы. Однако при применении современных электролов с покрытием наплавленный металл получается настолько пластичным, что опасность разрушения сварных пазов исключается даже при напряжениях, превышающих предел текучести основного и наплавленного металлов и тем более при напряжениях, которые возникают в корпусе при службе корабля.

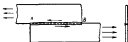


Рис. №7. Продольный срез сварного шва.

Шов АВ подвергается напряжению, распределяющееся по длине шва неравномерно. Как будет показано ниже, максимальное напряжение будет где-то вблизи середины шва, а на концах его будет концентрация напряжений. Задача, как и во всех других случаях концентрации напряжений, следует усилить концевые участки шва.

5. Прочность валиковых швов. В стыковом соединении этого типа стороны шва АВ и АС, определяющие калибр шва, рамы друг другу (см. рис. 99); обозначим их через a . Высоту АН, определяющую расчетную высоту шва, обозначим через b ; тогда $b=0,707 a$.

Рассмотрим простой перекрой, показанный на рис. 99б, подвергающийся растяжению. В этом случае два листа одинаковой толщины t соединены двумя валиковыми швами. Если растягивающая сила, отнесенная к погонной единице длины шва, равна P , то растягивающее напряжение в сечении листа будет равно:

$$\sigma_t = \frac{P}{t}.$$

Разрушение шва может произойти по линии АВ, АС или АН (см. рис. 99д). На распределение напряжений в различных сечениях шва в данном случае влияет стремление листов повернуться вследствие антисимметричности действующих усилий, хотя в действительности поворот до некоторой степени и ограничен соседними связями. Большое число испытаний, проведенных над соединениями внакрой, показало, что средняя величина временного сопротивления в таких соединениях практически такая же, как и у соединений с двумя накладками с такими же валиковыми швами (см. рис. 99е). Поэтому результаты, полученные при испытаниях соединений с двумя накладками, оказываются применимыми и к соединениям с простым перекроем. В обоих этих соединениях их прочность зависит от прочности двух валиковых швов, работающих на растяжение.

¹ L. Babber. Soc. Nav. Arch. and Mar. Eng. 1932.

В табл. 15 даны приближенные значения величин временного сопротивления стандартных валиковых швов на поперечное растяжение в соединениях из двойной плаки (рис. 104), отнесенные к единице длины шва. В этой таблице приведены также величины временного сопротивления валиковых швов на срез, как это рассмотрено ниже (рис. 105).



Рис. 105. Сварное соединение валиков с фланговыми валиковыми швами.

Данные этой таблицы представляют результат подавшихся опытов по сварке листов мягкой стали электродами с обмазкой, изготовленными из мягкой стали. Указанные в таблице величины являются несколько большими тех, которые до сих пор допускались. Их нельзя рекомендовать для бесконтрольного применения к простым швам валиков.

Таблица 15
Временное сопротивление стандартных валиковых швов

Калибр шва мм	Поперечное растяжение	Продольный срез	Калибр шва мм	Поперечное растяжение	Продольный срез
		кг/см			кг/см
3,2	1600	1000	19	5500	4350
6,4	2800	1540	23	5800	4750
9,5	3600	2000	25,5	6100	5000
12,5	4200	2300	28,5	6200	5300
16	5100	2800			

При расчете валиковых швов в качестве критерия их прочности часто применяется расчетная высота шва A , т. е. предполагается, что разрыв шва по сечению AN определяет прочность шва. В действительности напряжения в сечении шва AN распределяются очень неправильно, так как в этом сечении будет действовать не только растяжение, но также срез и изгиб.

Пусть требуется определить прочность на растяжение соединения валиков с валиковыми швами листов толщиной 9,5 мм; калибр сварочного шва будет 9,5 мм. В соответствии с табл. 15 временное сопротивление двух валиковых швов соединения равно:

$$2 \cdot 3600 = 7200 \text{ кг/см}.$$

Принимая временное сопротивление материала листов равным 4200 кг, получим временное сопротивление на растяжение листов равным:

$$0,95 \cdot 4200 = 3990 \text{ кг/см}.$$

Коэффициент прочности соединения

$$\varphi = \frac{700}{2000} = 1,90.$$

Полученное значение для φ показывает, что в рассмотренном соединении имеется излишек металлического материала; в этом отношении стыковой шов предпочтительнее.

При действии на простое соединение вакной сжимающей нагрузки условия работы его ухудшаются по сравнению со случаем действия растягивающей нагрузки благодаря тому, что понижается большая температура к поворачиванию шва.

Хотя поворот частично может быть ограничен, но все же этот шов обладает свойственным ему ослаблением, потому что листы вдоль сопрягающихся поверхностей при этом будут стремиться оторваться друг от друга. Вследствие этого основание шва будет подвергаться растяжению. Так как основание шва является наиболее непрочной частью, то оно может выдерживать на растяжение весьма небольшую нагрузку. Поэтому такие соединения, равно как и валиковые соединения из двойных панелей, не следует применять в ответственных конструкциях.

Россель предлагает принимать прочность стандартного валикового шва при сжатии равной трем четвертям прочности при растяжении.

Ширина перекоя должна быть в общем случае не менее 4 т. Если она меньше, то основной металл может дать трещину у основания валикового шва при изгибе соединения.

В американском флоте валиковый шарик перекрытия принимается равной 5 т. В английском флоте эта ширина принимается равной 3 т для листов толще 6 мм и 4 т для более тонких листов.

Флаговый и валиковый шов. Если валиковый шов подвергается действию параллельного среза, то деформации и напряжения, а также перемещения одного листа относительно другого распределяются очень неравномерно по поперечному сечению листов. Как уже указывалось в разд. 12, явление это очень сложное. Распределение напряжений вдоль шва характеризуется концентрацией их на концах шва в точках О и D (рис. 108) и минимальным значением их в промежуточной точке, которая, если оба листа имеют одинаковую толщину, находится посередине между точками О и D.

Распределение срывающие напряжений по длине швов может быть представлено (см. разд. 12) следующими выражениями:¹

$$q_x = \frac{q_1 \sin \alpha (L - x) + q_2 \sin \alpha x}{\sin \alpha L}, \quad (140)$$

где

$$q_1 = \frac{\rho_1 \sin \alpha L}{\sin \alpha (1 + \sin \alpha L)} + \frac{\alpha \sin \rho_1}{\alpha \sin \alpha L}, \quad (141)$$

$$q_2 = - \frac{\rho_1 \sin \alpha L}{\sin \alpha (1 + \sin \alpha L)} + \frac{\alpha \sin \rho_1 \sin \alpha L}{\alpha \sin \alpha L}. \quad (142)$$

Входящие в выражения величины имеют следующие обозначения:

$$m = \sqrt{\frac{4(A + a)}{\pi \delta E}};$$

¹ Inst. Nav. And., 1931.

q_x — срезывающее напряжение в расчетном сечении шва, в расстоянии x от точки O ;

L — длина шва;

P_1 и P_2 — растягивающие напряжения соответственно в листах 1 и 2;

A_1 и A_2 — соответственно площадь сечений листов 1 и 2;

a — расчетная площадь сечения обеих швов, приходящаяся на погонную единицу длины шва;

μ — коэффициент смешения; смещение одного листа относительно другого в какой-либо точке по длине шва равно $\mu \cdot a$.

Чтобы предотвратить изгиб сварного шва, образцы, служащие для экспериментального исследования прочности валиковых швов, должны

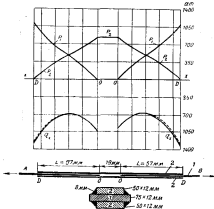


Рис. 109. Кривые напряжений, полученные при испытаниях фланговых сварных швов.

быть симметричны. На рис. 109 показан такой образец; напряженная в нем будут распределяться так же, как при простом перекрестье, показанном на рис. 108. Кривые рис. 109 показывают распределение срезывающих напряжений q_x в сварных швах, вычисленных по приведенным выше выражениям, а также распределение растягивающих напряжений P_1 в листах и P_2 в пластинах при следующих исходных величинах: $L=5,7$ см; $A=9,7$ см 2 ; $a=13$ см 2 ; $a=2,2$ см; $P=11\,000$ кг; $B=2,1 \cdot 10^6$ кг.

$\sigma = 1,2 \cdot 10^{-4}$ см²/кг. Пунктирные кривые показывают распределение напряжений $\sigma_{\text{н}}$, полученное экспериментальным путем. При практическом расчете валиковых швов можно считать, что сопротивление их при продольном срезе на 25% меньше, чем сопротивление при поперечном растяжении. Это согласуется с экспериментальными данными, приведенными в табл. 15.

Концы фланговых валиковых швов должны оставаться необработанными для уменьшения концентрации напряжений. Концентрация напряжений увеличивается при уменьшении длины фланговых валиковых швов; поэтому длина флангового валикового шва не должна быть менее трехкратного калибра шва, исключая длину кратеров. В соединениях с перекрещенными листами не рекомендуется применять фланговые валиковые швы в комбинации с поперечными швами у концов перекрывающего листа, так как это создает очень неблагоприятное сочетание напряжений в углах листов.

В пазах наружной обшивки корпуса касательные напряжения от общего изгиба достигают наибольшей величины у нейтральной оси на четверти длины корабля. Условия работы пазовых швов отличаются от условий работы коротких швов. В пазах наружной обшивки касательные напряжения постепенно уменьшаются от своего максимума как по направлению к носу, так и по направлению к оконечностям, поэтому и концентрации напряжений не наблюдается. В этом случае временное сопротивление для валиковых швов на касательные напряжения от общего изгиба может быть принято таким же, что и для случая поперечного растяжения шва.

Согласно правилам английского Лloyда, испытание фланговых валиковых швов должно производиться на симметричных образцах типа, показанного на рис. 109, при калибре шва 9,5 мм и длине 63 мм; при этом сопротивление образца должно быть не менее 1800 кг на 1 кв. см длины каждого шва, что соответствует напряжению в расчетном сечении шва, равному

$$\frac{1800}{0,707 \cdot 0,85} = 2680 \text{ кг/м.}$$

Хотя сварные пазовые соединения внахлест представляются достаточно надежными, все же для обшивки и палуб большинства кораблей в средней части паза предпочтительнее применять клюпку, чтобы избежать остаточных температурных напряжений и деформаций и таким образом облегчить сборку. Если сварные пазы будут соединяться с сварными стыками, расположеннымими не в шахматном порядке, а обегающим поперечное сечение коробля во всему периметру, сборка может быть облегчена.

Валиковые сварные швы применяются также в соединениях на однокорпусных и на двойных плавниках. Соединение на однокорпусной плавнике, показанное на рис. 100, применяется для тонкой обшивки из американских кораблях.

Т-образное соединение. В этом соединении кромка одного листа или полосы припарковывается к поверхности другого листа валиковыми швами, как показано на рис. 101. Такое соединение широко применяется в судостроении для соединения шпангоутов, стрингеров и переборок с обшивкой, бимсов с настилом палуб, ребер с обшивкой переборок и др.

При расчетах прочности такого соединения нужно различать следующие четыре случая:

а) Стенка подвергается растяжению силой P , как показано на рис. 101,а. В этом случае валиковые швы будут нагружены почти так же, как в рассмотренном выше растянутом соединении анкерной (рис. 99,б).

б) Стенка подвергается изгибу, нормальному к ее плоскости. Можно было бы ожидать, что в этом случае сечение ВВ по верхним кромкам валиков окажется наиболее ослабленным сечением (рис. 101,в). Однако экспериментальные исследования показывают, что такого ослабления и действительности не получается и что Т-образное соединение с двойным валиковым швом хорошо сопротивляется изгибу.

в) Стенка подвергается поперечному срезу. В этом случае распределение напряжений в валиковом шве должно быть почти таким же, как в соединении анкерной.

г) Стенка подвергается продольному срезу. Этот случай подобен продольному срезу в рассмотренном выше соединении анкерной, для которого могут быть приближенно приняты напряжения, данные в табл. 15.

6. Прочность сварных пробок (см. рис. 103). В этом соединении наплавленный металл заключает зенкованное отверстие в одной из соединяемых частей. Угол зенковки должен быть равным 90° , чтобы обеспечить хорошее сжимающее усилие; отверстие должно иметь достаточно большой диаметр, чтобы обеспечить хорошее сопротивление срезу и изгибу. В американской практике диаметр отверстий принимается равным удвоенной толщине листа. Сопротивление сварной пробки на срез несколько увеличивается от проникновения наплавленного металла в основной металл на величину около 1,5 мм, что равносильно увеличению диаметра пробки до 4,5 мм при угле зенковки 90° .

Принимая временное сопротивление срезу наплавленного металла равным $0,8 \cdot 4400 = 3500$ кг, получим сопротивление пробки срезу равным:

$$\frac{\pi}{4} (d + 0,45)^2 3500 = 2750 (d + 0,45)^2 \text{ кг},$$

где d —名义альный диаметр пробки.

7. Прерывистая сварка (см. рис. 102). Если непрерывный валиковый шов не является необходимым по условиям прочности, то его можно заменить прерывистым швом, состоящим из отдельных коротких участков шва, называемых проварками, отстоящих друг от друга на некотором расстоянии. При этом захватится все наплавленного металла и уменьшается неблагоприятный тепловой эффект сварки, следовательно, получаются минимальные коробления и усадки. Прерывистый шов определяется тремя следующими элементами: калибром валикового шва, длиной проварок (без кратеров) и шагом, т. е. расстоянием между центрами проварок. Так, например, обозначение 12—75—150 относится к прерывистому шву калибром 12 мм с длиной проварок 75 мм и шагом 150 мм. Отношение между длиной проварки и шагом называется коэффициентом прерывистости шва: например, коэффициент прерывистости шва 12—75—150 равен $\frac{75}{150} = 0,5$.

Прочность прерывистого шва характеризуется коэффициентом его прерывистости, независимо от того, подвергается ли он растяжению, сжатию, изгибу или срезу. Коэффициент прерывистости может меняться

теоретически в пределах от нуля до единицы. Нарушение непрерывности и конца каждой проварки увеличивает концентрацию напряжений, хотя наличие на каждом конце кратеров должно несколько уменьшать эту концентрацию. В швах с маятником прерывистым шов, в котором проварки с разных сторон шва сдвинуты друг относительно друга, прерывистость не должна быть менее 0,5, так как в противном случае одна сторона шва не будет давать достаточной поддержки другой стороны. Вообще шахматный шов лучше цепного; исключение, вероятно, составляет случай, когда необходимо тирепать прокладки перегревающим усилие.

В американском флоте длина проварок принимается не более 16-кратной толщиной более тонкой связи и не более 130 мм, но и не менее четырехкратного диаметра талникового шва или не менее 25 мм, в зависимости от того, что больше.

Наибольший шаг при цепной прерывистой сварке может быть равен 16 толщинам более тонкого листа, но не должны превышать 300 мм. Если прерывистый шов применяется для приварки балок, поддаваемых расчету, как, например, ребер жесткости, то практика американского флота требует, чтобы концы таких балок на участках, равных одной восьмой их длины, приваривались непрерывными швами с обеих сторон и чтобы концы этих балок обваривались по их периметру. В английской морской практике прерывистая сварка в настоящие времена уже не применяется¹.

Сварка по периметру водонепроницаемых и нефтепропитываемых поверхностей, как то: фюзов, стрингеров, переборок и палуб, должна быть двойной и непрерывной.

8. Сравнение расчетной и спецификационной прочности. В спецификации по сварке американского военного флота 1937 г. даны формулы для определения коэффициента прочности двойных Т-образных талниковых швов. В правилах английского Ллойда указаны пределы напряжений для некоторых пробных образцов, а в табл. 16 приведены результаты некоторых испытаний. Интересно проверить и сравнивать эту различную информацию.

Трудности расчетного определения напряжений в сварных соединениях заключаются, главным образом, в сложности напряженного состояния, которое возникает в применяемых на практике соединениях вследствие их изгиба. Явление изгиба имеет место в таких важных соединениях, как соединения винткой, из одинарной пластины и Т-образные только простой стыковой шов представляет исключение в этом отношении. Поэтому образцы для испытания часто делаются симметричными, чтобы свести влияние изгиба к минимуму (см. рис. 90а, 101а, 109). Такие образцы употребляются не только для научно-исследовательских работ, но во многих случаях требуются и при практических испытаниях в судостроении, хотя они почти или совсем не соответствуют реальным корабельным конструкциям.

Рассмотрим сперва показанное на рис. 90а соединение из двойной пластики, подвергающееся растяжению. Проф. Dussin² математическим методом доказал, что в таких швах в сечениях, соответствующих расчетной высоте шва, действуют только нормальные напряжения. Предполагая, что эти напряжения равномерно распределены по расчетному сечению,

¹ С. Шестаков, "Electric Welding in Ship Construction", Inst. Nav. Arch., 1938.

² H. Dussin, "An Welding", 1920.

можно показать, что средние напряжения в листах вне района соединения равняются напряжениям в расчетном сечении шва.

Обозначим:

P — растягивающее усилие, действующее на единицу длины соединения, кг/см;

t — толщина пластины, стенки, листа, см;

s — калибр шва, см;

b — расчетная высота шва; при нормальном шве

$$b = \frac{s}{\sqrt{2}} = 0,707s,$$

p_T — нормальное напряжение в листе вне района соединения, кг/см²;

p_w — нормальное напряжение в расчетном сечении шва, кг/см²;

f_T и f_w — краевое сопротивление металла листа и шва соответственно, кг/см².

R — полное усилие, приходящееся на единицу длины шва (см) и действующее в расчетном сечении в направлении, нормальному к этому сечению.

Предполагаем, что калибр шва равен толщине листа или, что то же, толщине пластины. Кроме того, предполагаем, что сторона шва AB растягивается силой $\frac{1}{2}P$, а сторона AC сдавливается силой $\frac{1}{2}P$.

При расчетной высоте шва $b = \frac{s}{\sqrt{2}}$, так как $s = t$,

$$R = \frac{s}{\sqrt{2}} P_w.$$

Прогрессивные составляющие силы R , параллельные листу, усилию P , получим:

$$\frac{2R}{\sqrt{2}} = R\sqrt{2} = P,$$

А так как

$$P = p_T t,$$

то

$$P_w = p_T \cdot$$

Разрыв сварного шва произойдет при $p_w = f_w$, т. е. при $R = \frac{t}{\sqrt{2}} f_w$ или при $P = R\sqrt{2} = t f_w$. Разрыв листа происходит при $P = f_w t$. Следовательно, изоффицент прочности соединения

$$\sigma = \frac{f_w}{f_T}.$$

Если калибр шва s меньше толщине листа t , то $R = \frac{s}{\sqrt{2}} p_w$. Поэтому $P = s p_w$, которое должно равняться $f_w t$, и, следовательно,

$$P_w = \frac{s}{t} P_T.$$

Разрыв соединения по сварному шву произойдет, если $R = \frac{4}{\sqrt{2}} f_{ut}$, т. е. при $P = 8f_{ut}$, так как $P = R\sqrt{2}$. Коэффициент прочности в этом случае

$$\epsilon = \frac{f_{ut}}{R}, \quad (143)$$

Рассмотрим теперь двойное Т-образное соединение, показанное на рис. 101, б, где ни лист и ни стеки ни района соединения не испытывают изгиба, а изгиб в швах незначителен. В этом случае лист практически можно считать абсолютно жестким.

Распределение усилий в швах можно считать таким же, как и в соединении из двух стыковых шваках. Вертикальная составляющая усилия R , действующего в расчетном сечении шва, должна быть равна половине растягивающего усилия в стенке и, следовательно, здесь окажется

$$R\sqrt{2} - P.$$

Таким образом приходим к тем же формулам, что и для стыка из двух пластина и при величине радиуса шва, отличной от толщины листов, для коэффициента прочности соединения получим прежнюю формулу (143).

Соединение пластины с поперечными валиковыми швами (рис. 99, б) при растяжении всегда подвергается изгибу, хотя этот изгиб и может ограничиваться соседними конструкциями. Поэтому, а также из-за уменьшения количества наплавляемого металла, обычно предпочтают применять сплошной шов. Тем не менее, однако, иногда применяются и соединения пластины с пластины с поперечными валиковыми швами (рис. 99, б). Пренебрегая изгибом, можно для соединения пластины с пластины с поперечными валиковыми швами, как и в случае соединения из двух пластина, предполагать, что в каждом шве по его горизонтальной стороне действует перерывающаяся сила $\frac{1}{2}P$, а по вертикальной стороне — нормальная растягивающая сила $\frac{1}{2}P$. При этих предположениях приходим к тем же формулам, что были приведены выше.

При одинарном Т-образном шве в случае растяжения стеки (рис. 101, б) лист должен каким-нибудь образом удерживаться, например, двумя направлениями вниз силами $\frac{P}{2}$, действующими на разных расстояниях от стеки по обе стороны. Возникающий в листе изгиб передается швам. Здесь получается опять очень сложное напряженное состояние материала швов, для которого еще не найден удовлетворительный метод расчетного определения напряжений. Если пренебречь изгибом, то получим те же формулы, что были даны выше.

Таким образом в качестве приближенной формулы (143) может применяться и к соединениям пластины с Т-образным.

Применив эту формулу к соединению, показанному на рис. 99, б, при $s = t$ и при $f_r = 4200$ ат и $f_u = 4400$ ат, получим коэффициент прочности

$$\epsilon = \frac{f_u}{f_r} = 105\%.$$

Если бы листы были из стали повышенного сопротивления с $f_r = -5600$ ат, то при той же качестве наплавленного металла шва

$$\epsilon = 79\%.$$

В спецификациях по сварке требуется, чтобы сопротивление срезу металла наименованного шва было равно 0,8 сопротивления разрыву. Наконец, по этим спецификациям требуется, чтобы коэффициент прочности срезу двойного валикового шва, вызываемому усилиями, действующими вдоль шва, был в 1,414 раза больше коэффициента прочности растяжению, определяемого по формуле (143). При этом предполагается, что разрушение происходит вдоль расчетного сечения. При расчетной высоте шва в сопротивление единицы длины двойного валикового шва срезу усилиям, действующим вдоль шва, равно $2 \cdot 0,8 \cdot f_{tr}$. Следовательно коэффициент прочности соединения сразу

$$\text{если } \frac{1,414}{0,8 \cdot f_{tr}} = 1,414 \frac{f_{tr}}{f_{tr}}$$

как это и требуется спецификацией.

Как раньше уже указывалось, испытание сварных валиковых швов на продольный срез по правилам английского Ллойда производится на образцах с двойными соединительными пластинах, прикрепленными фланговыми швами, как показано на рис. 109. Для испытания наплавленного металла валиковых швов на растяжение требуются образцы типа, показанного на рис. 101, а. Образцы изготавливаются из листов суппортерительной стали с временными сопротивлением разрыву от 4100 до 5000 кг. Крестообразные образцы делаются из листов толщиной 15,5 мм и шириной 50,5 мм.

Калибр сварного шва равен 9,5 мм. Образец должен выдерживать при растяжении стекну усилие, равное $28,7 h$ тонн, где h — расчетная высота шва в сантиметрах. Таким образом сила, разрывающая образец,

$$P = 28,7 \cdot 0,95 \cdot 0,707 = 19,3 \text{ т.}$$

и разрывающее усилие, приходящееся на 1 см длины шва,

$$\frac{19300}{1 \cdot 5,05} = 1900 \text{ кг/см.}$$

Таким же образом можно подсчитать требуемое спецификацией 1937 г. американского военного флота сопротивление разрыву единицы длины валикового шва при его калибре 9,5 мм и требуемое этой спецификацией и правилами английского Ллойда сопротивление срезу единицы длины того же шва. В табл. 16 приведено сравнение величин этих сопротивлений с величинами сопротивлений, указанными в табл. 15 для того же калибра и шва.

Таблица 16

Сопротивление разрыву и срезу валикового шва калибра 9,5 мм
на длине 1 см, в кг

Характеристики	№ регистра	Спецификация американского военного флота 1937 г.	Правила английского Ллойда (1938—1939 гг.)	Последнее известное (по данным табл. 15)
Сопротивление поперечному растяжению, кг	99,5; 100,0 и др.	2000	1900	3800
Сопротивление продольному срезу, кг	100	2200	1900	3800

Из этой таблицы ясно, что результаты приведенных в табл. 15 сдвигов показывают значительный прогресс техники сварки.

ГЛАВА XI

НАРУЖНАЯ ОБШИВКА

42. РАЗЛИЧНЫЕ СИСТЕМЫ

1. Соединение стыков и пазов. Листы наружной обшивки располагаются продольными пойсками, причем в каждом пазе концы листов, называемые стыками, располагаются между шпангоутами обычно параллельно им и соединяются между собой или на планках или внакрой.

Стыковые планки обычно делаются одинарными и располагаются с внутренней стороны обшивки; в тех же случаях, где требуется особая прочность, применяются двойные стыковые планки.

Стыки внакрой появлялись в конце 80-х годов прошлого столетия и применялись сначала на нефтеналивных пароходах. Термин стык внакрой является неудачным, так как слово стык предполагает, что листы не накрывают друг друга. Раньше концы листов всегда соединялись на планках, тогда как пазы обычно соединялись внакрой и термин стык правильно применялся к соединению концов. Постепенно понятие стык ассоциировалось с соединением концов листов в противоположность соединению во пазах и, когда конструкция соединения концов встык изменилась на соединение внакрой, стала употреблять термин стык внакрой. Более рациональным был бы термин концевое соединение внакрой, однако он более громоздок.

Стык на планке может быть сделан более прочным, чем стык внакрой, уменьшением числа заклепок в крайних рядах. Однако стык внакрой в некоторых отношениях имеет свои преимущества. Он дает экономию в весе и уменьшает количество заклепок, проще в работе, так как пригонка пазов требует меньшей точности, чем соединение встык, и, наконец, чеканка такого соединения более изложна; при соединении стыка внакрой легче выполнять ремонтные работы. Создание стыков внакрой целесообразно не только для наружной обшивки, но и при выполнении соединений во всех других листах и поэтому его следует применять всегда. Исключение составляют случаи, где особые обстоятельства требуют применения соединения на планках.

В тех случаях, когда требуется получить большую прочность для стыка внакрой, чем то обычно достигается в водонепроницаемых соединениях, необходимо применить внутреннюю узкую соединительную планку, как указано в разд. 33, п. 6. Случаи, когда стыки на планке следует предполагать стыкам внакрой, будут рассмотрены дальше.

Стыковые соединения внакрой должны быть так расположены, чтобы наружные края панелей были направлены в сторону ворны, так как в случае направления их в нас они будут подвергаться быстрому износу.

от воздействия потока воды. Однако на быстроходных кораблях для уменьшения волнового сопротивления все же следует закрывать кромки листов расположить в нос, придавая им некоторый скос.

Смежные пояса наружной обшивки соединяются вдоль их длинных кромок так называемыми пазами. Эти соединения в отдельных случаях выполняются вглубь, т. е. на ординарной палубной панели, но обычно они делаются снаружи.

В первом случае пазы выполняются не только пазы, но и стыки.

Соединение панелей осуществляется или по системе прилегающих и закрывающих поясов, при которой пояса наружной обшивки попечерменно через один полностью прилегают к шпангоутам (рис. 110, а), или же система край на край (клиновая система), при которой одна кромка пояса прилегает к шпангоутам, а другая — засекает кромку соседнего пояса (рис. 110, б). Клиновая система применяется, главным образом, в дополнение к системе прилегающих и закрывающих поясов; она дороже, так как требует применения клиновых прокладок из шлангоутов или фланкировки одной кромки листов. Эта система имеет то преимущество, что при ремонте листы любого пояса можно заменять без снятия листов соседних поясов.

2. Система закрывающих и прелегающих поясов.

Промежутки между шпангоутами в листах наружной обшивки при этой системе заполняются прокладками, имеющими такую же толщину, как и листы соседних поясов. Если прокладки не являются одновременно и компенсационными прокладками переборок, то их ширина равна ширине полок шпангоутов. С целью уменьшения веса прокладок их можно облегчить выкалыванием между залепками отверстий овальной формы.

Если стыки наружной обшивки делаются на панелях, то стыковые панели прилегающих поясов простираются во всю ширину листа, а закрывающих поясов — только в промежутке между кромками соседних прилегающих поясов.

Если стыки закрывающего пояса приходятся в шпангоутах, соседних с водонепроницаемой переборкой или шлангоутом, то выше ограничности места часто соединительная панель стыка и компенсационная прокладка переборки объединяются в одну деталь. Однако в этом случае стыковые панели не могут быть сделаны толще, чем соседние листы. Обычно введенная компенсационная прокладка в стык панелей дает более легкую конструкцию, а потому обходиться переборочными прокладками со стыковой шлангой не следует за исключением случаев, когда этого избежать нельзя. Такие случаи могут встретиться на судах с малым расстоянием между шлангоутами, например, из коммерческих судов, и в тех случаях, когда стык по каким-либо соображениям размещается не по середине шпанги.

3. Высадка шлангоутов в листах. Для устранения прокладок с целью экономии веса в системе закрывающих и прелегающих поясов и в клиновой системе применяются два метода. По первому методу высаживаются профили шлангоутов так, чтобы посты шлангоутов непосредственно соединялись и с прилегающими и с закрывающими панелями.

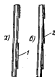


Рис. 110. Типы соединения листов обшивки:

а—система прилегающих и закрывающих поясов; б—клиновая система с компенсационными прокладками; 1—панель панельного прокладки; 2—панель панельного прокладки.

обшивки (рис. 111, а). Этот метод был применен, например, на пароходе «Лузитания» в сочетании с клинкерной системой для нижней части днища. Он является наиболее подходящим при легких шпангоутах, например, при шпангоутах из уголников в двойном дне.

Второй метод состоит в высадке (фланжировке) кромок листов накрывавших поясов таким образом, чтобы эти листы прешли в соприкосновение со шпангоутами (рис. 111, б).



Рис. 111. Типы соединения листов обшивки:
а — сквозные наборы; б — фланжировка листов.

Оба метода обеспечивают хороший перекрой листов с отсутствием прокладок, но они требуют специального станочного оборудования и добавочной работы. Экономия в весе, получаемая от отсутствия прокладок, при высадке листов превышает получающееся при этом уменьшение плонучести. Возможно, что прочность листов несколько нарушается в результате фланжировки их краев, и поперечная жесткость и прочность корабля уменьшаются. Это обстоятельство, естественно, является главной причиной не-применения этого метода для наружной обшивки военных кораблей, у которых большие расстояния между шпангоутами и малая толщина обшивки не допускают дальнейшего ослабления обшивки. Высадка шпангоутов предпочтительнее, чем фланжировка кромок листов. Однако для различных внутренних конструкций, где применяются сравнительно тонкие листы и где экономия в весе не склоняется к уменьшению плонучести, фланжировка листов является выгодной и поэтому широко применяется на военных кораблях. Оба метода широко применяются в коммерческом судостроении.

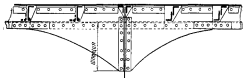


Рис. 112. Кницы бортового стрингера у водонепроницаемой переборки.

4. Кницы вместо компенсационных переборочных прокладок. На коммерческих кораблях вместо переборочных прокладок обычно применяются кницы (рис. 112). Эти кницы имеют увеличенную высоту и обычно соединяются с трюмными и бортовыми стрингерами. Они служат для усиления наружной обшивки, подкрепления переборки и обеспечивают непрерывность стрингеров. Установка таких книц особенно желательна при высадке листов наружной обшивки или высадке шпангоутов, где нельзя установить переборочные прокладки.

Б. Удвоенные листы. На якорях кораблях для увеличения общей или местной прочности корпуса листы из некоторых поясов удваивают.

При системе прилегающих и накрывающих поясов это удвоение осуществляется установкой добавочных листов между кромками прилегающих и накрывающих поясов. Вторые листы на накрывающем поясе должны иметь толщину соседних прилегающих поясов. Стыки всегда делаются вглазь. Если прочность позволяет, то листы одного слоя могут служить стыковыми плашками для другого. В противном случае должны быть установлены стыковые планки в одном и даже в обоих удвоенных листах. Планки должны быть поставлены непосредственно на те листы, которые они соединяют. Если, например, стыки обоих слоев следуются на плашках и все плашки ставятся с внутренней стороны, как это

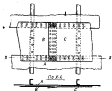


Рис. 113. Строкка листов во стыку в наружном пояске обшивки.

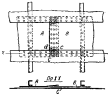


Рис. 114. Строкка листов по стыку во внутреннем пояске обшивки.

ногда делается, то внутренние листы ослабляются в районе стыков наружных листов.

6. Строчки листов или клиновидные прокладки. При соединении панелей стиковами широкой в местах их пересечений возникают трудности при обеспечении непроницаемости обшивки. Такое пересечение показано на рис. 113, где угол листа *B* входит между внутренним листом *A* и наружным листом *C*. Если не будут приняты специальные меры, то чеканка в этом месте окажется невозможной, так как между листами *A* и *C* будет оставаться некоторый клиновидный зазор (см. участок *ab* на рис. 115). Во избежание этих трудностей можно воспользоваться двумя методами: или скшиванием углов в листе *B*, что делается на специальных станках, или заполнением образовавшихся зазоров клиновидными прокладками. Первый метод требует меньшего веса, чем второй, и применительно к наружным поясам он прост и позволяет легко и удовлетворительно чеканить панели, как это видно на рис. 113. Однако, при применении этого метода к внутренним поясам желательно скшивать углы листа в двух разных плоскостях, как это показано на рис. 114, но при этом лист *B* станет настолько тонким в точке *d*, что при чеканке он может разрушиться, чеканка его будет ненадежной и он будет подвергаться большой коррозии. Если скшивать углы листа только в одной плоскости, как это выполнялось для наружного пояса, то чеканка ядровой кромки *bc* станет затруднительной. По приведенным причинам, в американском флоте скшивание углов (строчки листов) осуществляются только для наружных поясов, для внутренних же поясов применяются клиновидные прокладки. Расположение клиновидных прокладок

показано на рис. 115. При малой ширины клевые прокладки могут вызвать необходимость располагать стыки не в середине швации. На многих коммерческих судах строжка листов и углах листов применяется и для внутренних и для наружных поясов обшивки.

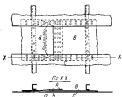


Рис. 115. Стыковое соединение по внутреннему поясу с клевыми прокладками.



Рис. 116. Составляющие листов обшивки по системе вглайд:

1 - внутренний пакетный лист; 2 - промежуточный лист;

3 - наружный лист.

Когда система вглайд применяется в целях улучшения внешнего вида, то и пакетные и стыковые планки ставятся внутрь. Пакетные планки для обеспечения продольной прочности делаются обычно непрерывными, возможно, но не обязательно перекрывающими швы листов. Однако в этом случае необходимо ставить прокладки на шлангоутах. Пакетные планки должны иметь возможно большую длину, особенно на пакетах ширстрика. Прокладки на шлангоутах могут быть обдечены отверстиями или заменены шайбами, устанавливаемыми у заклепок. Таким путем можно скомпактовать значительный час, но не будет обеспечена надлежащая опора для листов и могут быть ослаблены заклепки от ударов волнами об борт корабля. Чтобы избежать применения прокладок на шлангоутах, лучше всего делать высадки в шлангоутах в районе пакетных планок. При наружной обшивке вглайд в районе установки брони на прокладках пакетные планки часто ставят с наружной стороны, поэтому наружность прокладок на шлангоутах обнажает. В этом случае иногда и стыковые планки тоже ставят с наружной стороны. Стыковые планки всегда ставят между пакетными планками.

8. Сравнение систем вглайд и вгладь. При применении системы прилегающих и накрывающих поясов со стыковым вглайдом необходимо строгать только чеканившиеся кромки, т. е. продольные кромки наружных листов к задние поперечные кромки всех листов; все остальные кромки листов требуют только обрезки. Размеры и форма листов не требуют большой точности.

При применении системы вгладь все продольные и поперечные кромки всех листов должны быть простроганы; при этом все работы

необходимо выполнять весьма тщательно, чтобы извлечь хорошую пригонку кромок листов, необходимую для хорошей чеканки и для передачи сжимающих усилий.

Система вкладыши требует почти в два раза больше клепки, чем система винкрай. Все перекрестья пазов и стыков и все проекладки в системе винкрай составляет на больших военных кораблях около 17% от чистого веса обшивки, а если стыки сделаны на стыковых пластиках, то вес перекрестья, пластики и проекладки составляет около 20%. При системе винкрай вес пазовых и стыковых пластиков и проекладок достигает 30% от чистого веса обшивки. Испо также, что система вкладыши должна быть дороже системы соединения листов винкрай. Прекраснейшие системы вкладыши заключаются в более приятном внешнем виде, большей жесткости обшивки и в некотором уменьшении срезывающихся усилий в заклепках. Однако хороший внешний вид не должен увеличивать веса военного корабля, если это не связано с технической выгодой. Требуемая жесткость обшивки может быть проще и дешевле достигнута внутрьрампанием набором, а увеличение сопротивления сразу заклепкам, если это в каком-либо месте может потребоваться, может быть достигнуто получено добавлением ряда заклепок. Поэтому система винкрай предпочтительнее со всех точек зрения и, действительно, она более широко применяется, чем система вкладыши.

43. Общая разбивка поясов

I. Ширина листов. Работа по вычерчиванию чертежа растяжки наружной обшивки начинается с размещения пазов на индивидуальном сечении, а это сразу же ведет к необходимости рассмотреть вопрос о ширине листов. При увеличении ширины листов уменьшается число пазов и количество клепки, а следовательно, уменьшаются вес и стоимость работы. С другой стороны, не говоря об ограничениях ширины листов с точки зрения их производства на прозванных заводах и возможностей их обработки и клепки (механической клепки гидравлическими прессами), увеличение ширины листов для данного корабля создает большие трудности в придании ему требующейся криволинейной формы и притонки листов на криволинейных участках корпуса. Кроме того, широкие листы обуславливают наличие менее благоприятных для продольной прочности широких стыков. При данных образцах корпуса корабля эти затруднения имеют меньшее значение для больших кораблей, чем для малых. В связи с этим обычно ширина листов на подобных кораблях, грубо говоря, прямо пропорциональна либо даже пропорциональна размерам кораблей.

Что же касается преимущества узких листов, заключающегося в том, что приду наличие большого числа пазов увеличивается жесткость наружной обшивки, то необходимо заметить, что такой способ увеличения жесткости и нерационален и дорог. Гораздо большую жесткость при меньшем весе и меньшем объеме клепки можно получить за счет большого развития предварительного изгиба.

На основании вышеизложенного в принятой и существующей практике ширина поясов наружной обшивки меняется в сравнительно узких пределах, будучи такой величиной, насколько позволяют вышеупомянутые ограничения.

В настоящее время общая или стандартная ширина листа в средней части корпуса линейного корабля и легкого крейсера меняется в

пределах 2150—2400 мм; на больших миноносцах ширина листов меняется в пределах 1250—1600 мм.

Листы толщиной 6 мм и больше в настоящее время можно получать в США без удорожания шириной до 2500 мм. Большие металлургические заводы могут катать листы шириной до 3600 и даже 5000 мм.

Иногда с целью улучшения наружного вида, накрывающие пояса наружной обшивки делаются уже наклоняющихся из двойной пазовой перекрытий с тем, чтобы видимые продольные кромки накрывающих поясов находились на разных расстояниях одна от другой. Это нерационально, так как ухудшает равномерность распределения прочности наружной обшивки и в этом случае накрывающие пояса не могут иметь наибольшую возможную ширину.

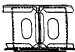


Рис. 117.

Кильевой пояс изготавливают особо прочным. На всех кораблях, кроме очень небольших, он делается двойным. Назначение плоского киля, кроме образования составной части наружной обшивки, служить нижним поясом кильевой балки, который должен воспринимать и распределять большие усилия, когда корабль становится в док или садет на мель.

Кильевой пояс обычно имеет ширину меньшую стандартной, так как нет необходимости его делать шире доковых кильблоков. В удвоенном плоском киля наружный пояс делается шире внутреннего, так как при этом облегчается работа по постройке, сборке и ремонту; при повреждении наружный пояс легко можно снять. В этом случае соседний, так называемый швартовой пояс обшивки, будет внутренним поясом, как показано на рис. 117.

3. Пояс ниже броневого щитка и ширстрека. Первый пояс ниже броневого щитка ограничивает движущую обшивку и обычно изготавливается в виде наружного пояса вкладыша с бортовой броней, с которой он иногда соединяется накрывающим листом.

Пояс обшивки у прочной палубы, или непосредственно ниже ее, называемый ширстреком, так же как и пояс ниже броневого щитка и во тем же соображении, делается наружным поясом. Он часто имеет ширину, большую стандартной, и простирается несколько выше прочной палубы, соединяясь с палубным стрингером достаточно большим утолщением.

4. Прочие пояса. За исключением указанных выше поясов все прочие пояса обшивки на миделе делаются одинаковой стандартной шириной, поскольку это позволяют местные условия, и располагаются вглубь или внахлест в зависимости от принятой системы соединения пазов и стыков. При окончательном распределении пазов обшивки на миделе необходимо учитывать расположение стрингеров и сколового киля и стремиться к тому, чтобы они проходили в достаточном удалении от пазов.

5. Пазы на теоретическом чертеже и на блок-модели. Расположение пазов обшивки по всей длине корпуса может быть первоначально изображено на корпусе теоретического чертежа соответствующими плавными линиями, исходя из уже имеющейся разбивки пазов на модели. В верхней части корпуса, выше броневой палубы, пазы обшивки определяются линиями палуб. В нижней части корпуса линии пазов производятся нормально к обводам шпангоутов, будучи несколько криволинейными в районе миделя и почти прямыми и склонящимися по направлению к форштевню и кормушке, как окажется необходимым по характеру обводов корпуса.

Расположение пазов можно наилучшим образом в дальнейшем уточнить на блок-модели. Такая модель обычно изготавливается в масштабе $\frac{1}{10}$ или $\frac{1}{12}$. На блок-модели изначально наложат линии палуб, шпангоутов, броневых щельфов, грузовой матерлины и др., положение которых не подлежит изменению. После этого на блок-модель перенесут с теоретического чертежа корпуса изначенные там линии пазов, и здесь их положение уточняют. Этот процесс должен сопровождаться изучением и уточнением размещения продольного кабора корпуса, боковых калей, донных калей, кронштейнов гребных валов, люкрумов для палов, капитонов и других отверстий и креплений на наружной обшивке. Должно быть удалено минимум обеспечению доступности для чинки всех испрещающих соединений.

6. Пересечение пазов с продольным набором, продольными переборками и палубами. Указанные пересечения могут происходить под очень острыми углами и поэтому иметь большое протяжение. Эти пересечения требуют клепки через три толщины и поэтому создают затруднения в размещении заклепок. Особенно нежелательны пересечения пазов с водонепроницаемыми связями корпуса. Пересечения стрингеров обычно можно устранить соответствующими размещениями пазов, но часто нельзя избежать пересечения пазов с палубами.

В местах, где пересечение невозможно, паз может быть сделан уступом таким образом, чтобы он пересекал связь под прямым углом. На рис. 118, а показано такое решение, при котором в обоих соединяемых листах по пазовым кромкам сделаны указанные уступы. Симметрия уступа со стыком, как показано на рис. 118, б, уступ придется сделать только в одном листе. Наилучшая форма решения показана на рис. 118, в, где показан так называемый двойной потерь (объемные детали даны штрихом).

7. Общее направление пазов. На современных линейных кораблях с почти плоскими днищами и плоскими бортами в средней части длины корабля в районе поворота склоны общей направления пазов в днищевой части и особенно обводы диаметральной плоскости должны быть такими, как показано линиями а, а, в на рис. 119, а. Эти линии будут горизонтальны в средней части и изогнуты к оконечностям кораб-

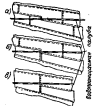


Рис. 118. Пересечение пазов с водонепроницаемой палубой (серебряная поверхность); ма-ка правый борт, смотреть внутрь корабля.

ли, оставшись параллельными диаметральной плоскости. В бортовых частях обшивки, выше поворота скобы, и особенно в верхней части борта, выше броневого щельфа, линии пазов близки к горизонтальным, следуя параллельно кромкам палуб, как показано линиями *b*, *b*, *b* на рис. 119, б. По направлению к оконечностям обе указанные системы линий переходит одна к другой на повороте скобы (рис. 119, а). На кораблях с более острыми обводами и с большим подъемом форы общее направление пазов должно иметь такой же характер, но две системы пазов в этом случае сольются раньше, т. е. дальше от штевней. Так как

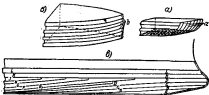


Рис. 119. Расположение пазов.

при этих обводах очертания скобы более пологие, то пазы в этом районе располагаются почти в диагональных плоскостях.

8. Разворачивающиеся листы и прямые кромки. После определения общего направления пазов надо рассмотреть более детально кривизну отдельных листов обшивки. Если криволинейная поверхность листа далека от развертывающейся на плоскость, то для придания ему необходимой формы требуется дорогостоящая горячая обработка. Если кромки развернутого листа имеют значительную кривизну, то это явление вызывает отход материала. Поэтому листы обшивки, несколько это помимо, должны представлять собой развертывающиеся поверхности и кромки их должны быть прямолинейными. Эти требования легко удовлетворяются для таких простых поверхностей, какие представлены на рис. 119, а и б, но не могут быть выполнены полностью для обшивки корабля вследствие того, что большая часть его днища не развертывается.

Поверхность может быть вполне развертывающейся, но все же не иметь прямых кромок, как, например, для усеченного конуса, и обратно — поверхность может быть неразвертывающейся, но ограниченной прямыми кромками, например, винтовая поверхность, ограниченная линиями образующими. Поэтому расположение пазов, дающее наиболее прямые кромки листов, во всегда будет давать наиболее развертывающиеся листы. Проектировщик должен принимать лучшее компромиссное решение по условиям каждого частного случая.

Это решение очень удобно находить, накладывая плоские широкие рейки на блок-модель по произведенным на ней линиям пазов. Если рейка сидит по поверхности модели без отклонения в сторону, то она

определят развертывающийся пояс с прямыми кромками; если ребра стоят в сторону, то она определят развертывающейся пояс со складкой изогнутыми кромками. При обследовании краинок отдельных листов и их кромок удобно пользоваться такими полосками жесткой бумаги, которые при прикладывании их к поверхности модели будут показывать степень развертывания листа, а если полоска обрезана соответствующим изгибом и затем расправлена, то и краинку его кромок.

9. Потери. При размещении поясов общими приходится сталкиваться с некоторыми трудностями, обусловленными уменьшением периметра изоперечных обводов корпуса по мере приближения к носу и корме, что вызывает необходимость сужать ширину большинства поясов к оконечностям. Чтобы избежнуть в этом случае применений слишком узких поясов в оконечностях, некоторые из них приходится прекращать, не доводя их до оконечностей корпуса. Такие пояса называются потерянными и погасающими. Потеряны, естественно, должны получаться в районе обводов, где движущиеся пояса сходятся с бортовыми. На некоторых кораблях, однако, движущиеся пояса замыкаются у горизонтального пояса, лежшего параллельно или ниже броневого щитка, как показано на рис. 119, д.

Подобное размещение поясов часто практикуется на коммерческих кораблях с длинной цилиндрической вставкой. На военных кораблях, имеющих острые образования, это приводит к очень криволинейным поясам. Предпочтительнее располагать пояса в соответствии с принципами, указанными выше, при выполнении которых днищевая и бортовая системы поясов переходят друг в друга в оконечностях в районе поворота склона. Когда пояс становится слишком узким, необходимо сделать потерю. Его место может занять соседний уширенный лист, как показано на рис. 120. Но при такой конструкции потеря теряется много металла и затрачивается значительная работа.

В последние годы началась применяться более простая конструкция потерь, при которой два смежных пояса заканчиваются в нужном сечении и их место занимает один новый пояс. Такая конструкция, показанная на рис. 121, называется двойной потерей. Единственное возражение против этой конструкции заключается в том, что стыки двух смежных поясов располагаются в одном сечении. Однако, если общая ширина обоих потерянных поясов не превосходит стандартной ширины пояса в средней части, то возражение это несущественно, тем более, что потерия всегда располагаются в концевых районах корпуса, где предолимпия прочность обычно оказывается обесцвеченной с избытком.

Если при системе пралегающих и накрывающих поясов потерий осуществляется уширением листа соседнего пояса, то этот последний окажется прилегающим вдоль одной своей кромки и накрывающим вдоль другой кромки. Если при этом стыки делаются внакрой, то потерянный пояс должен иметь склоненные кромки или клиновые профиладки

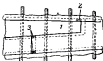


Рис. 120. Потерянный пояс (потерянные оконечности); вид на правый борт, смотреть внутрь корабля:
1—потерянный пояс; 2—место его прерывания;
3—лист.

в углах, где стык встречается с пазами. В английской флоте широкий лист по всей длине стыка потеряя сканивается, но для восстановления прочности вдоль стыка¹ изнутри ставится подкрепляющая накладка.

Если при системе накрывающих и прилегающих пойсов делается двойной потерай, то стык одного пойса снабжается панкой, в то время как стык другого пойса осуществляется внакрой. Чтобы иметь наруж-

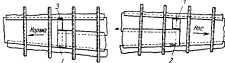
*а)**б)*

Рис. 121. Двойные потери в носовой и кормовой оконечностях: вид из левый борта, смотреть внакрой:

1—панка; 2—панка с прокладкой; 3—панка.

шую кромку стыка внакрой направленной в корму, такой стык должен осуществляться в носовой части корпуса в прилегающем потерии (рис. 121, б), а в кормовой части корпуса — в накрывающем потерии (рис. 121, а).

10. Листы выкружек. Пазы на листах выкружек, т. е. листах, огибавших дебаудные трубы (рис. 122), следует размещать в середине наибольшей выпуклости (точка А), а не в середине их выпуклости (точка С), но лучше всего, если пазы удастся расположить в точках В, сделав листы выкружки совершенно гладкими. Последнее расположение пазов удаётся осуществлять лишь на малых кораблях, где листы выкружек могут быть сделаны из одного листа. Предпочтительно, чтобы листы выкружек размещались в накрывающем потерии.



Рис. 122. Листы выкружек.

11. Согласование линий пазов. После уточнения размещения линий пазов на модели их переносят на теоретической чертеже, вычерченный на плите, где они окончательно согласуются на всех трех проекциях. Процесс согласования пазов может производиться также на теоретическом чертеже, выполненным в масштабе $1:10$ или $1:20$; такой чертеж иногда вычерчивается на мраморной доске.

Для заката листов их ширину измеряют по плоскому чертежу, а длину — по модели.

12. Растижка обшивки. Чертеж растижки обшивки вычерчивают обычно в масштабе $1:10$. Сначала отмечают все шпангоуты за исключением, в затем на соответствующих перпендикулярах к ней откладывают залпы обводов шпангоутов до различных кромок, снятые с модели. После проведения через полученные точки плавных кривых полу-

¹ Shipyard Practice, Mc. Donald, 1921.

чается чертеж растяжки обшивки, из которого должны быть вынесены стыки, продольные связи и вообще все линии модели, а также показаны размеры и толщина каждого листа. Все листы и листы маркируются. Обычно шпунтовой пояс маркируется буквой *A*, а последующие пояса — *B*, *C*, *D* и т. д.

Листы каждого пояса нумеруются по порядку, начиная обычно с носа, причем принадлежность листа к обшивке правого или левого борта отмечается дополнительной буквой.

Чертеж растяжки обшивки очень полезен для производства: он наглядно показывает общую схему наружной обшивки и дает основные данные для каждого листа.

44. Расположение стыков

1. Длина листов. Расположение стыков зависит в основном от отношения длины листов к длине шпангоута. При большой длине листов число стыков уменьшается. Хотя стыковатые заводы практически могут прокладывать листы любой магущей потребоваться длины, однако существуют правила, обусловленные мощностью обрабатываемых стыков и условиями транспортировки листов. В краеватнейшей части обшивки длина листов лимитируется допустимой кривизной их кромок и поверхности. Это ограничение, как уже указывалось в отношении ширин листов, более значительное для малых кораблей, чем для больших. Было бы рационально применить в средней цилиндрической части корпуса листы более длинные, чем в оконечностях, где кривизна обводов корпуса больше и ширина листов уменьшается. Это было бы тем более желательно, что с точки зрения продольной прочности уменьшение числа стыков в средней части корпуса более важно, чем в оконечностях. Однако не практика обычно применяется однаковая стандартная длина листов, соответствующая имеющимся станочному оборудованию завода, и эта длина изменяется лишь по тем или иным местным требованиям. При одинаковой длине всех листов обшивки и всех сопряженных с ней продольных связей облегчается правильное и однородное размещение стыков обшивки.

Обычно длина листов обшивки находится в пределах 6—10 м, что соответствует 5—8 шпангоутам на большинстве кораблях и 10—12 шпангоутам на меньших кораблях.

2. Разгон стыков. Стыки создают местное ослабление обшивки, поэтому они должны быть размещены таким образом, чтобы общее ослабление продольной прочности корпуса, вызванное наличием стыков, получилось минимальным.

Обшивка имеет исключительно ослабленные поперечные сечения вдоль шпангоутов вследствие наличия в этих сечениях перекрывающего ряда заклепочных отверстий от носа до верхней палубы. Вдоль проекций шпангоутов заклепки обычно имеют шаг, равный $8d$, и поэтому прочность обшивки по сечению шпангоута уменьшается в отношении единицы к $(1 - \frac{2}{3})$. Вдоль водонепроницаемых шпангоутов и переборок, где заклепки размещены теснее, обшивка должна быть подкреплена или переборочными компенсационными прокладками или кницами, чтобы получить такую же прочность, как и вдоль проницаемых шпангоутов. Поэтому прочность обшивки вдоль проницаемых шпангоутов может быть принята в качестве стандарта.

В разделе о заклепочных соединениях мы рассматривали соединение только отдельных листов. Ясно, однако, что полное разрушение стыка может произойти только вместе с разрушением соседних листов и тех продольных связей, которые непрерывно проходят через стык и этим его подкрепляют.

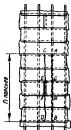


Рис. 123. Случай разрушения листов обшивки.

Мы считали рассмотрим обшивку отдельно от других продольных связей корпуса, например, стяжек и палуб, и при этом предположим, что продольные изгибающие и рассматриваемом районе распределяются пропорционально к ширине и толщине различных поясов обшивки и этим же районе одинаковы. При таких предположениях достаточно рассмотреть лишь один участок обшивки, состоящий из одного пояса со стыком и нескольких целых поясов, включенных между последовательными стыками в одной шпанге. Такой участок обшивки, включающий n поясов (рис. 123), может разрушаться между линиями СЛ и ВВ различными путями.

3. Одновременный разрыв стыка и соседних целых поясов. Требуется, чтобы сопротивление разрушению по линии СД, показанной на рис. 123, было, по крайней мере, равно сопротивлению разрушению по линии шлангоута АВ. Принимем сопротивление разрыву целого листа за единицу и пусть сопротивление разрыву листа по шлангоуту, где шаг заклепок равен $8d$, будет x . Обозначим сопротивление разрыву стыка через α , будем иметь:

$$\alpha + (n - 1) > x \cdot \alpha$$

или

$$\frac{1}{x} > \frac{1 - \alpha}{\alpha(n - 1)}. \quad (144)$$

Пусть $\alpha = 0,85$, как это обычно бывает, и пусть $x = 1/2$, что соответствует обычному коэффициенту прочности стыкового соединения наружной обшивки, например. При трехрядном перекрестье листов толщиной 15 мм, в этом случае, согласно выражению (144), мы должны иметь $x > 2,2$, т. е. практически достаточно иметь лишь один целый (не имеющий стыка в данной шпанге) пояс между соседними стыками в той же шпанге. Наименьшее значение для коэффициента прочности стыкового соединения можно принять равным $x = 0,85$, что дает ПФЗ, т. е. в этом крайнем случае требуется иметь два целых пояса между соседними стыками в той же шпанге. Как видно, нет необходимости увеличивать число целых поясов между соседними стыками в одной и той же шпанге выше двух. Такой вывод находится в полном соответствии с правилом, применяемым на практике, согласно которому обшивка как на военных, так и на коммерческих кораблях должна иметь не менее двух целых поясов между соседними стыками в одной и той же шпанге.

4. Разрыв стыка и среда пазовых заклепок между стыком и ближайшими шлангоутами. Если сопротивление разрушению по линии СБ—ЕГ—FH меньше, чем сопротивление разрушению по линии ОМ, то разрушение обшивки по ломкой линии AGEFHB будет более вероятно, чем разрушение

и на ядро швингаута AB (см. рис. 123). Пусть u представляет собой сопротивление разрушению ядра любой из линий BC или FL , выраженное в виде отношения между величиной этого сопротивления и величиной сопротивления целого листа. Согласно поставленному требованию, должно быть:

$$x + 2y > z$$

или

$$y > \frac{1}{2}(z - x). \quad (145)$$

Обычно x не снижается ниже 0,64; бирая такое значение для x и приняв $z = 0,85$, получим $y > 0,1$. Такое значение величины u можно легко обеспечить при примененных в военном судостроении широких швингах.

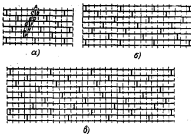


Рис. 124. Система разборки стыков.

помещая стык посередине швинги, что всегда с этой целью и практикуется. В случае иного расположения стыка или в случае очень малой швинги следует произвести проверку прочности по выражению (145). Если это выражение удовлетворяется, то не следует опасаться разрушения ядра ломкой линии $ABCDEF$, проведенной уступами через стыки в разных швингах (рис. 124, а). На практике, однако, желательно иметь не меньше двух швинг в между стыками и соседних поясах и, по крайней мере, один щелевой зал с между стыками в соседних швингах.

б. Пример. В обшивке линейного корабля число цепных поясов между стыками в одной швинге равно двум ($n=3$); стыковые перекрытия трехрядные, патовые — двухрядные. Шаг заклепок ядро швингаутом 8 д. Ширина листов 1500 мм. В соответствии с рис. 127 между стыком и швингаутом имеется по семь заклепок. Сравнить различные формы разрушения обшивки. Толщина листов $t=16$ мм; диаметр заклепок $d=22$ мм; шаг заклепок в стыках и пазах $m=4/3$ д.

Находим: $x=0,64$; $z=0,85$; $k=0,673$. Условие (144) удовлетворяется, так как

$$0,64 + 3 - 1 > 0,85 \cdot 2 \text{ или } 2,64 > 2,55;$$

$$y = \frac{\frac{8 \cdot 0,673}{4} \cdot 0,85}{150 \cdot 7} = \frac{8 \cdot 0,673 \cdot 1,35}{150 \cdot 1,6} = 0,11.$$

Условие (145) удовлетворяется, так как

$$0,11 > \frac{1}{2} (0,85 - 0,64) = 0,105.$$

Таким образом наиболее вероятным разрушением обшивки является ее разрушение вдоль шпангоута.

6. Различные комбинации расположения стыков. При длине листов, равной четырем шпациям, как это было в ранние времена железнодорожного судостроения, стыки располагались по середине листов смежных поясов. В этом случае получаются две шпации между стыками смежных поясов и лишь один пояс между последовательными стыками в одной шпации.

При длине листов, равной 5 шпациям и более, как это теперь обычно делается, легко удовлетворить наложенным выше требованиям. На рис. 124 показаны системы разгона стыков, отвечающие длине листов, равных 6, 6 и 7 шпациям. На рис. 124,а показан так называемый диагональный разгон стыков, который является наилучшим при длине листов, равной 5 шпациям. В этом случае получаются четыре целых пояса между последовательными стыками в одной шпации и один или два целых пояса между стыками в смежных шпациях.

Считая число шпаций между стыками смежных поясов, мы получим, или в одну сторону, числа 2, 2, 2... и, или в другую сторону, числа 3, 3, 3...

При длине листов, равной 6 шпациям, как это обычно делается на больших кораблях, стыки могут быть размещены так, чтобы получалось пять целых промежуточных поясов. Такое размещение стыков показано на рис. 124,б, на котором видно, что в этом случае число шпаций между стыками смежных поясов следует периодическому закону 2, 3, 4, 4, 3, 2, независимо от стороны счета. Такое размещение стыков применяется в английском флоте.

При длине листов, равной 7 шпациям, и при размещении стыков, как показано на рис. 124,а, получается шесть целых промежуточных поясов. Число шпаций между стыками смежных поясов следует периодам 3, 5, 4, 4, 4, 5, 3, и 4, 2, 3, 3, 3, 2, 4.

При длине листов, равной 8 шпациям, получается семь целых промежуточных поясов, и число шпаций между стыками смежных поясов следует периодам 3, 3, 3... или 5, 5, 5...

При длине листов, равной 10 шпациям, получается девять целых промежуточных поясов и периоды 3, 3, 3... и 7, 7, 7... или четыре целых промежуточных пояса при периодах 4, 4, 4... и 6, 6, 6...

Все эти комбинации разгона стыков дают число целых промежуточных поясов больше, чем требуется, и число шпаций между стыками смежных поясов больше двух. Желательно при разработке чертежа обшивки принять за основу какую-либо из этих комбинаций, так как

При этом обеспечивается известная система, гарантирующая равномерную прочность всей обшивки. Отступив от принятой системы могут быть сделаны вследствие тех или иных местных требований.

7. Постепенное или прогрессивное разрушение. На основании изложенного выше можно было бы считать, что разрушение стыков можно полностью предотвратить лишь соответствующим их размещением. Однако следует учесть, что такое заключение относится лишь к вполне равномерному распределению материала и напряжений в обшивке, что достаточно редко удовлетворяется лишь в днищевой плоской части обшивки на больших кораблях. В других районах обшивки распределение напряжений и толщина листов далеко неравномерно.

В бортовой части обшивки продольные напряжения меняются от максимума в ширстреке до нуля у нейтральной оси и далее снова увеличиваются по направлению к повороту скулы. После ширстрека плавятся более толстым или из более прочного материала, и поэтому получается резкое изменение в прочности между ними и ниже расположенным поясом обшивки. В пределах одного пояса обшивки напряжения в различных сечениях по его длине изменяются обратно пропорционально изменению коэффициента прочности, в том, где имеется ослабление, увеличиваются деформации и в соседнем поясе возникают дополнительные местные напряжения. Равномерное распределение напряжений в сечениях через несколько повторяющихся поясов, как то предполагалось выше, для ли может быть в действительности.

Наиболее вероятное разрушение обшивки будет начинаться в ширстреке, который более напряжен, чем другие пояса обшивки.

Рассмотрим стык ширстрека и допустим, как это часто бывает, что стыковое соединение слабее, чем лист вдоль шлангоута, но что срезывающее сопротивление пазовых заклепок между стыком и шлангоутом полностью исключает возможность разрушения стыка совместно с срезом пазовых заклепок. В этом случае, как это следует из приведенных выше теоретических обоснований, не должно быть спасений относительно возможности разрушения стыка с одновременным разрушением ближайших к нему поясов обшивки.

Однако в действительности стыковое соединение будет слабее, чем лист вдоль шлангоута, будет испытывать большие напряжения и быстрее, чем этот лист, достигнет предела текучести. Если лист начнет течь, то через пазовые заклепки, которые предполагаются вполне местными, большие усилия начнут передаваться листу, смежному с ширстреком. Другими словами, линии напряжений обогнут перегибленное место ширстрека и передут за ближайшую часть соседнего пояса. Если этот соседний пояс относительно слаб, то у кромки его может появиться трещина. Эта трещина может постепенно распространяться книзу по мере дальнейшего увеличения податливости стыка. При этих обстоятельствах целые листы, повторяющиеся в сечении, не будут работать в соответствии с прежде высказанными предположениями. Независимо от числа цепей поясов между стыками листы будут разрываться по следовательно один за другим, подобно листу бумаги или полотна, разрываемому усилием, действующим вдоль одной его кромки. Весьма вероятно, что линия разрыва, начавшаяся у стыка, быстро свернёт к смежному шлангоуту и будет продолжаться вдоль его заклепок.

Чтобы избежать подобного прогрессивного разрушения, ширстрек не должен иметь каких-либо местных ослаблений, и разница между

прочностью ширстрика и прочностью соседних с ним листов обшивки не должна быть очень резкой.

8. Разъем стыков в ширстрике и килем и шпунтовых поясах. Особо важно, чтобы стыки ширстрика были правильно разогнаны относительно стыков палубного стрингера. В этом случае палубный стрингер будет эффективно усиливать ширстрик и предотвращать распространение разрушения на настилы палубы. В местах удвоения листов ширстрика стыки обоих его листов должны быть разнесены друг относительно друга, по крайней мере, на две шпации. Это же правило относится и к листам килем поясов. При симметричном расположении стыков обшивки на обоях бортах стыки шпунтовых поясов могут размещаться в одной и той же шпации, но при удвоенных листах плоского килья стыки в шпунтовых поясах и действительности отделяются друг от друга двумя целыми шпациями. Это расположение может быть принято при листах длиной в 6 шпаций, если руководствуются требованиям. Чтобы расстояние между стыками смежных поясов обшивки было не меньше 2 шпаций. При длине листов более 6 шпаций стыки шпунтовых поясов разных бортов могут быть разнесены друг относительно друга, что является желательным. Если вертикальный киль подкрепляется брандтами или устанавливаются промежуточные флуры между основными шпангоутами, то стыки должны размещаться на четверти шпации; в этом случае стыки шпунтовых поясов разных бортов должны быть разнесены друг относительно друга, по крайней мере, на половину шпации.

46. Толщина листов наружной обшивки

1. Усикия. Наружная обшивка корпуса корабля должна одновременно сопротивляться нескольким усилиям, которые вызывают в ней различные сложные напряжения. Эти усилия могут быть разбиты на следующие группы:

1. Внешнее давление воды, статическое и динамическое;
2. Изгиб отдельных балок поперечного или продольного набора, для которых обшивка служит поясом;
3. Общий изгиб эквивалентного бруса;
4. Местные усилия;
5. Коррозия.

2. Давление воды. Требование, чтобы обшивка противостояла внешнему давлению воды, является основным, определяющим при заданной длине шпации и заданном расположении набора минимально необходимую ее толщину в различных ее районах. В гл. VI было указано, что для кораблей с двойным дном толщина наружной обшивки может быть определена по кривой А рис. 6б; в случае отсутствия внутреннего дна наружная обшивка по другим соображениям должна быть толще, чем требуется для восприятия давления воды.

На подводных лодках давление воды является для обшивки доминирующим фактором, причем расчетная величина этого давления, равная погружению подводной лодки при испытании, точно известна. Погружение подводных лодок при испытаниях меняется от 40 до 100 м или больше в зависимости от ее типа и назначения. Необходимую толщину обшивки, отвечающую заданному давлению воды и известной длине шпации, можно легко найти, как это было изложено в разд. 16.

3. Совместная работа обшивки с набором. Напряжения в обшивке, вызванные ее участием в работе непрерывных балок набора в качестве поясов соответствующих сечений, получаются наибольшими в опорных сечениях и посередине между опорами этих балок. Метод определения этих напряжений и был наложен в разд. 20 и 21.

4. Участие обшивки в работе эквивалентного бруса. Требования общей прочности не могут быть удовлетворительно выполнены при одинаковой толщине наружной обшивки. Некоторые пояса должны быть усилены, особенно ширстрем и кильевой пояс, частично в целях наиболее эффективного обеспечения общей прочности, частично — для предохранения от прогрессивного разрушения. Такое усиление может быть достигнуто следующими средствами:

1. Увеличение толщиной. Очевидно, что наиболее выгодно, с точки зрения затраты материала на увеличение общей прочности корпуса, увеличивать толщины наиболее напряженных связей; поэтому, естественно, что каждые пояса обшивки и ширстрем должны быть увеличенной толщиной. Но нужно, однако, забывать, что напряжения в данном поясе обшивки значительно уменьшаются при значительном увеличении толщины. Предположим, например, что толщина кильевого пояса и ширстрема увеличены в несколько раз. При этом нейтральная ось сечения корпуса практически останется в прежнем положении, момент инерции сечения станет больше и напряжения во всех сечениях сечения соответственно уменьшатся. Это уменьшение, однако, не будет иметь местного характера и поэтому в утолщенных поясах оно будет небольшим по сравнению с величиной утолщения.

2. Применение сталей высокого сопротивления. Как было сказано выше, увеличением толщины пояса обшивки нельзя получить достаточно эффективного уменьшения напряжений в этом пояссе. Поэтому, если требуется предупредить прогрессивный разрыв какого-либо пояса, то увеличение его толщины не является достаточно надежным средством. Более действенным средством является применение для такого пояса материала, в котором действующие напряжения не превосходят бы предела текучести, т. е. стали высокого сопротивления, имеющей предел текучести более высокий, чем материал соседнего пояса. Такой способ усиления должен, в первую очередь, применяться для ширстрема, так как наиболее вероятно, что прогрессивное разрушение корпуса может начаться в этом пояссе обшивки. На быстроходных кораблях таким же образом должны быть усилены и кильевые пояса. В настоящее время сталь высокого сопротивления широко применяется для постройки миноносцев. Необходимо отметить, что применение стали высокого сопротивления не увеличивает устойчивости листов под действием скимывающих напряжений.

5. Намечание толщин обшивки. Пояс ниже ширстрема должен иметь толщину, промежуточную между толщиной ширстрема и толщиной обычных поясов обшивки.

Кильевой пояс обшивки обычно удлиняется, главным образом, для обеспечения местной прочности корпуса при постановке корабля в док и при посадке на мель. Удлиненный кильевой пояс, помимо указанного ранее влияния его на увеличение общей прочности корпуса, образует вместе с вертикальным килем и средним поясом цистerna второго дна прочную кильевую балку, являющуюся как бы сплошным кребцом днищевой конструкции корпуса. Внутренний кильевой пояс и шпунтовые пояса должны быть одинаковой толщиной, несколько превышающей толщину

обычных поясов обшивки. Наружный килевой пояс обычно делается значительно толще, чтобы иметь значительный запас в толщине на износ.

Если имеются непрерывные бортовые проложные переборки на длине, превышающей половину длины средней части корпуса, то соприкасающийся с ней пояс обшивки должен иметь несколько увеличенную толщину.

Если двойное дно простирется поперек корпуса только до поворота склона, то склоновые пояса должны быть увеличенной толщины для лучшего сопротивления срезывающим силам, как об этом было сказано в разд. 7.

Наибольшие толщины обшивки, назначенные для средней части корпуса, сохраняются на протяжении около половины длины корпуса.

Дальше по направлению к оконечностям толщины обшивки постепенно уменьшаются, в соответствии с постепенным уменьшением общих изгибающих моментов в корпусе. Это уменьшающее, однако, линяется условием прочности обшивки на давление воды, особенно в носу, где динамические удары волны могут быть очень значительными.

Степень уменьшения толщины обшивки в оконечностях зависит от типа и размеров корабля и определяется по материалам практического опыта. В среднем это уменьшение составляет 10—15% на линейных кораблях и 20—25% на миноносцах. Уменьшенные толщины ширстрека несколько больше и на некоторых кораблях доводят до 30%. Согласно правилам английского Ллойда, уменьшение толщины обшивки должно быть около 12% для малых толщин и около 30% для больших толщин.

6. Сравнение с другими кораблями. Окончательное назначение толщин обшивки должно также основываться на сравнении с существующими кораблями. Приведенные на рис. 56 кривые А и В для определения толщины обшивки, по условию давления воды, согласованы с практическим опытом.

7. Суммирование напряжений. Напряжения в обшивке, происходящие от разных деформаций, суммируются, причем суммарные напряжения могут получаться большими или меньшими составляющих. Если корабль, выбранный для сравнения (прототип), достаточно подобен проектируемому, то можно допустить, что суммирование напряжений у обоих этих кораблей будет иметь приблизительно одинаковый характер. Поэтому, если отдаленные расчетные напряжения для проектируемого корабля равны или меньше напряжений для корабля прототипа, то считают, что то же будет иметь место и в отношении суммарных напряжений, а потому нет надобности эти суммарные напряжения исключать.

Но если корабль, выбранный для сравнения, имеет такую конструкцию корпуса или значительно отличается по размерам от проектируемого, то необходимо для обоих вычислить наибольшие суммарные напряжения для сопоставления их друг с другом, учитывая при сложении знаки и направления отдельных составляющих напряжений. Если на одном корабле продольная система набора, а на другом — поперечная, то при одних и тех же действующих усилиях суммарные напряжения могут быть совсем разные. То же может быть, если расстояния между шпангоутами на сравниваемых кораблях будут сильно отличаться.

При вычислении и суммировании напряжений необходимо учитывать, что когда корабль находится на подошве волн, то давление воды в средней части пакного меньше, чем когда корабль плавает на тихой воде. Изменение в величине давления для указанных случаев полу-

жения корабли может доходить до 30%, и, следовательно, такая же разница будет в величинах напряжений в обшивке как от непосредственного изгиба ее давлением воды, так и от участия ее в изгибе балок набора.

Очевидно, что подсчет суммарных напряжений очень сложен и будучи даже очень тщательно выполненными, он все же дает сомнительный результат вследствие довольно грубых предположений, лежащих в его основе, и ввиду невозможности предусмотреть все случаи загрузки. В частности, не совсем соответствует действительности предположение, что высота волн составляют одну и ту же часть от длины корабля как большого, так и малого. Кроме того, не учитывается динамичность нагрузки и накренивания корабля. Поэтому даже при самом тщательном вычислении и суммировании напряжений все же полученные суммарные напряжения, за исключением отдельных частных случаев, не могут служить вполне надежным базисом для сопоставления разных кораблей, так как далеко не все обстоятельства, могущие существенно влиять на результат такого сопоставления, учитываются в этих расчетах. Если сравниваемые корабли подобны, то в подсчете суммарных напряжений нет необходимости.

6. Местные усиления обшивки. Остается рассмотреть местные усиления обшивки, вызываемые различными местными нагрузками и различными видами ее износа.

Усиление киевского пояса уже было рассмотрено. В носовой части корпуса на некотором расстоянии от форштевня толщина листов обшивки увеличивается или удлиняется, таким образом, ввиду усиленного износа ее покрытием каматами и якорями. С этой целью предпочтительно удлинять толщину обшивки, так как это приложеннее ее кромки от истирания. Усиление обшивки в носу улучшает также условия крепления форштевня и увеличивает прочность носовой части корабля на действие ударов волн и на случай стоянковых.

В носовой части корпуса в нос от реперности, особенно в районе кронштейнов борбного палубы, должно быть сделано подобное же утолщение или удвоение обшивки; здесь оно преследует цель увеличить прочность и жесткость корпуса против действия гидродинамических и вибрационных нагрузок, создаваемых винтами и рулями. Согласно правилам английского Ллойда, листы в районе ахтерштевня должны быть той же толщины, что и в средней части длины корпуса.

На кораблях, во имеющих бортовой бортик, пояс по грузовой водерлинии должен быть утолщенной толщиной для обеспечения его против преждевременного износа от коррозии. Усиление этого пояса, включая и удлинение в носу, необходимо также при плавании корабля в ледовых условиях.

Усиление обшивки компенсационными переборочными профлистами на непроплавленных переборках и шпангоутах производится в средней части корпуса на длине, равной оконечной двух третей длины корабля.

Врезы в обшивке для кингстонов, бортовых компенсаторов, орудийных портов и др. должны быть подкреплены таким образом, чтобы прочность обшивки в этих местах была не ниже стандартной.

Наконец, местное усиление или подкрепление обшивки должно быть сделано в местах действия на нее дульных газов при стрельбе из орудий.

Листы обшивки, подвергающиеся горячей обработке, например, коробки горизонтального жила, выпуклые листы в районе выходов греб-

ных валов, должны увеличиваться во толщине на 1,5—3 мм, так как при нагреве в горячей обработке листов толщина их уменьшается, особенно в местах, имеющих большую кривизну.

3. Коррозия. Если толщина листов обшивки определяется с использованием метода сопоставления с подобными кораблями, испытанными продолжительной службой, как это было рекомендовано выше, то мы можем считать, что износ обшивки вследствие действия коррозии окажется учтенным достаточно полно.

10. Стартовая толщина. Понятие обшивки помимо тех, которые имеют увеличенную толщину по условиям общей или местной прочности, делаются единичной или почти единичной толщиной, так называемой *стартовой толщиной*. Эта толщина меняется от 12 до 16 мм на больших линейных кораблях и легких крейсерах и равна около 8 мм на минносцах.

На больших коммерческих кораблях толщина обшивки делается значительно большей, чем на военных. Согласно правилам английского Ллойда, толщина обшивки в плоской части днища больших коммерческих кораблей должна быть около 25 мм; на пароходе «Лузитания» толщина обшивки в этом районе была 26,5 мм.

На подводных лодках толщина обшивки меняется — от 8 мм на малых подводных лодках до 10 мм на больших подводных лодках.

46. Обшивка позади брони

В прежнее время обшивка позади бортовой брони из военных кораблей всех флотов делалась двойной. Этим прислуживалась цель дать надежную поддержку броневым болтам и броневым плитам при ударе в них снарядов. Такая обшивка, помимо этого, сама по себе несколько увеличивала броневую защиту корабля.

При двойной обшивке отпадала необходимость в постоянных проходах и стыковых пластинах, и поэтому поверхность обшивки получалась гладкой, что облегчало крепление к ней броневых болтов и деревянной прокладки за броней.

Во Франции применяли двойную обшивку за броней из-за ее большой пластичности.

При применении двойной обшивки, однако, возникают большие трудности в обеспечении ее непроницаемости в районе юко и вблизи грунтовой затерпции при установке брони. Так как ни деревянная прокладка за броней, ни броня не могут обеспечить на продолжительное время водонепроницаемости, то эту последнюю должна всецело обеспечивать наружная обшивка за броней. Но даже при деревянной прокладке вода все же с течением времени может пройти между стержнями броневых болтов и проникнуть в пространство между двумя слоями обшивки и дальше через дефектные заклепки пройти внутрь корабля. Для предотвращения этого соединительные заклепки размещают возможно ближе к отверстиям болтам и кромкам листов у этих отверстий чекают. Другое затруднение здесь, как и во всех случаях двойной обшивки, заключается в том, что при заполнении водой какого-либо одного отсека в районе брони вода может пройти вокруг стержней дефектных заклепок в пространство между листами обшивки и таким путем проинфильтровать соседние непроницаемые отсеки, как это показано стрелками и количественными линиями на рис. 125.

По указанным выше принципам применение двойной обшивки позади брони тоже грузовой ватерлинии нежелательно и в большинстве флотов в настоящее время от этого отказались.

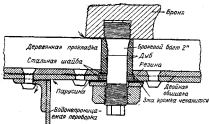


Рис. 125. Водонепроницаемость звездочных листов позади брони.

На современных кораблях обшивка позади брони делается однотолстым из толстой броневой стали; толщина такой обшивки изменяется от 19 мм для малых кораблей до 26 мм для больших кораблей. Обшивка позади брони делается изгладь, чтобы облегчить подгонку днища броневых болтов и получить равномерную и возможно более тонкую кромку за броней.

Обычно паковые пластины ставятся снаружи, но в случае легкой брони, при которой не применяется деревянные прокладки, паковые пластины ставятся изнутри и шпангоуты против этих пластин выдавливаются.

Стыковые пластины обычно ставят изнутри, но на некоторых кораблях, например, на английских линейных кораблях, они поставляются снаружи. Для улучшения условий чеканки новых стыковых пластик могут быть скобами и подушками под паковые пластины, как показано на рис. 126. На последних кораблях вместо деревянной прокладки за броней применяется, и, покомпенсирована, с успехом, этой же пластины соответствующей толщины.

На крейсерах, имеющих легкую бортовую броню, желательно эту броню использовать в качестве наружной обшивки, включив ее в число прочных сажей корпуса. В этом случае отдельные панели брони должны быть соединены по стыкам в замок; прочность стыков должна соответствовать общей прочности. При этом полностью отпадает необходимость

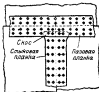


Рис. 126. Стыковые пластины, воспринимающие под давлением.

мость в обшивке или прокладке за броней, так как сама броня полностью заменяет наружную обшивку. В этом случае двойное дно должно быть продолжено до верха бортовой брони или, по крайней мере, до первой палубы выше затерплики, служащей опорой для брони и ограничивающей водонепроницаемые отделения.

4

47. Обшивка рубок и других надстроек

Конструкция рубок и других надстроек зависит от того, включаются ли они в расчет продольной прочности корпуса или нет, и от тех местных усилий, которым они подвергаются. Для того чтобы рубка являлась эффективной связью корпуса, она должна простираться, по крайней мере, на половину длины корпуса в средней его части.

Если надстройка много шире, то в углах ее возникают большие местные напряжения, но без существенного влияния на общую прочность, как было указано в разд. 12.

Длинный полубак, простирающийся за носовую башню или полубак, длина которого равна такой же части длины корабля, является в этом отношении наиболее удовлетворительным типом надстроек.

Если надстройка имеет достаточную длину и если ее желательно привлечь к участию в продольной прочности корпуса, то она должна быть сконструирована по тем же принципам, что и основной корпус. Толщина обшивки должна быть определена по условиям общей прочности корпуса, причем верхний ограничивающий пояс должен быть усилен, подобно ширстреку. Надстройка должна простираться на всю ширину корпуса, чтобы ее стены совпадали с бортами, так как в противном случае большие добавочные срезывающие напряжения появятся в настенные палубы. В бортовой обшивке надстроек не должно быть ни дверей, ни яных больших вырезов, и все отверстия, уменьшающие прочность ниже стандартической, должны быть подкреплены.

Теоретически надстройки выгодно делать прочными, так как прочность и жесткость корпуса при этом могут быть заметно повышенны сравнительно малой затрате материала.

Однако на бронированных кораблях было бы нерационально ставить прочность корабля в зависимость от надстройки.

Если надстройка не защищена броней, то она может быть легко разрушена в бою; если же надстройка забронирована, то обычно ее прочность как продольной связи очень неравна из-за вырезов для пушечных портав. На бронированных кораблях в этом отношении условия более благоприятны, так как надстройки их подвергается разрушению в более такой же степени, что и основной корпус. Все же в общем на военных кораблях невыгодно делать надстройки в виде прочной конструкции, так как всегда очень трудно избежать больших напряжений в соединениях их с основным корпусом. Поэтому обычно надстройки военных кораблей должны быть легкими и снабжаться скользящими соединениями, подразделяющими их на сравнительно короткие участки. Обшивка таких надстроек имеет толщину от 3 до 5 мм с комингсом листом толщиной 6,5 мм. Надстройка полубака должна иметь увеличенную толщину обшивки в местах, подвергающихся действию удара воли. На кораблях относительно малой высоты, как, например, на некоторых типах речных канонерских лодок, надстройки целесообразно использовать в качестве прочных связей корпуса.

48. Клепка наружной обшивки

Заклепки наружной обшивки должны клепаться с наружной стороны и обычно имеют потайную замыкающую головку.

1. Стыки. На первых линейных корабльных стыках клепались обычно трехрядные цепными заклепочным швом, или «шнекой» (рис. 127), или на панках с попеременным пропущенным заклепками в наружных рядах. В первом случае коэффициент прочности соединения получался равным около $\frac{1}{2}$, в последнем случае он повышался до $\frac{1}{4}$.

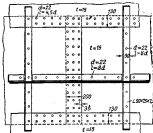


Рис. 127. Клепка листов наружной обшивки.

Для обшивки за броней часто применялось четырехрядное соединение стыков из панок с попеременным пропуском заклепок в крайних рядах; в этом случае коэффициент прочности соединения находился в пределах от $\frac{1}{4}$ до $\frac{1}{3}$.

На современных больших линейных кораблях применяются четырехрядные и даже пяттирядные стыки с шахматным расположением заклепок, как показано на рис. 128. Шпангоуты к обшивке привариваются.

На первых крейсерах и миноносцах стык клепались обычно двурядным цепным швом «шнекой» или на панках, причем вследствие относительно малых толщин листов, применявшихся на кораблях этих типов, коэффициент прочности стыковых соединений был такой же, как и при трехрядной клепке на больших кораблях, т. е. около $\frac{1}{2}$.

На современных 10 000-тонных крейсерах и больших миноносцах применяются также же многорядные стыковые соединения, как и на линейных кораблях.

На малых миноносцах, где обшивка слишком тонка для возможности ее чекания и где поэтому водонепроницаемость достигается применением прокладок, получается сравнительно высокий коэффициент прочности стыковых соединений благодаря тому, что заклепка в наружных рядах могут быть размещены значительно реже. Такое стыковое соединение показано на рис. 129 в том виде, в каком оно было осуществлено на некоторых французских кораблях этого типа.

В этом соединении имеются два средних ряда заклепок, расположенных в шахматном порядке с малым шагом и по два наружных ряда широко расположенных заклепок.

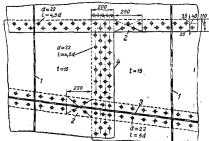


Рис. 128. Графическая запись соединения стыка панелей:
1—фланг, приваренный к панели; 2—заклепки приварки; 3—заклепки восстановления торцов; 4—заклепки краев.

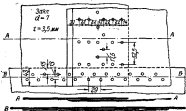


Рис. 129. Стыковое соединение наружной обшивки на изображении французского инженера.

Однако соединения с дополнительной узкой планкой (разд. 33, п. 6) более предпочтительны для обычных поясов межпанельных, независимо от того, склеиваются ли стыки или не склеиваются.

В коммерческом судостроении двухрядныестыки допускаются, спорадично правилами английского Ллойда, лишь для малых судов, высота

вместимость примерно до 1000° регистровых тонн; на больших судах стыки должны иметь трехрядную или четырехрядную клещу.

На основании сказанного в разд. 44, прочность стыковых соединений ширстрека в средней части корпуса из длины, не меньшей половины длины корабля, должна быть, во крайней мере, равна прочности листа подоль ширшагоута, т. е. коэффициент прочности этих стыковых соединений должен быть не менее 0,87%. На бронированных кораблях верхний пояс обшивки позднее брони должен выполнять роль ширстрека, когда выталкивание незабронированных поясов обшивки будут разрушены в боку. Поэтому стыковые соединения этого пояса должны конструктироваться в соответствии с этим принципом, даже, если это потребует применения двойных стыковых планок.

Для ширстрека легких крейсеров и минносцев с успехом могут быть применены стыковые соединения с интегризованными планками, более широкими, чем наружные, рассмотренные в разд. 33, п. 6. Независимо от того, применяются ли заклепки для ширстрека таких кораблей плавные или кептальные, замыкающие головки не должны быть полными, чтобы получить хороший стягивающий эффект. Наилучший результат будет достигнут, если первоначально просверлить цилиндрический отверстия и затем их слегка разширять для удаления острой кромки. В этом случае получается минимальное уменьшение прочности листа и коэффициент прочности может быть доведен до 0,85 подоль линии заклепки проинициализированного ширшагоута.

Стыки листов плоского килья и шпунтовых поясов соединяются на планках. Планки обоих кильевых поясов располагаются внутри и обычно простирются от кромок нижних кильевых уголников до кромок листов, которые они соединяют.

Если вертикальный киль водо- или нефтешроенищийся, то полезно в целях облегчения чистки пропускать эти планки через диаметральную плоскость, делая высадки в кильевых утолщиках. Такие конструкции теперь часто применяются также и в случаях проинициализированного вертикального килья. Ввиду особой ответственности кильевой конструкции и так как наружный кильевой пояс имеет большую толщину, то все стыки наружных кораблей должны быть трех- или четырехрядными, с перпендикулярно пропущенными заклепками в наружных рядах.

При двойных листах наружной обшивки зазоры между стыков размещаются один ряд заклепок с шагом, необходимым для обеспечения водонепроницаемости. Однако, понадобится, чтобы стыков внутренних листов шаг заклепок может быть увеличен до 6—7 диаметров, так как эти стыки не чеканятся.

Для уменьшения общей площади заклепок число соединительных заклепок по полулю двойных листов должно быть при этом соответственно увеличено. На рис. 130 показана жесткость стыка двойного пояса в обшивке линейного корабля.

2. Пазы. Обычно пазы имеют двухрядную клещу, только на некоторых малых кораблях с относительно малой длиной, например, на японских лодках водонепроницаемыми меньшим, чем 1500 т, применяются однорядные пазы. На лидерских и минносцах даже малого размера пазы соединяются двухрядными, обычно шахматным шагом. Эти корабли конструируются большими углами и было бы трудно обеспечить водонепроницаемость пазов однорядной клещкой, особенно при очень тонких листах, которые не могут быть проточены.

Согласно правилам английского Лайбда, для очень больших коммерческих судов требуется трехрядные пазы, для судов средних размеров требуются двухрядные пазы; однорядные пазы допускаются лишь для бортовой обшивки, имеющей толщину менее 12 мм. Трехрядные пазы требуются также и для судов умеренных размеров в районе бортовой обшивки, где действуют наибольшие срезывающие усилия, т. е. вблизи нейтральной оси на расстояниях от оконечностей, равном около одной четверти длины судна.

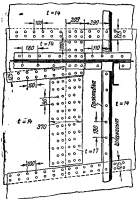


Рис. 130. Каскад листов наружной обшивки с двойным погоном.

Двухрядная пазовая кладка с одной пропущенной из шланготуте защелкой в ряду, наиболее удаленной от чеканящейся кромки, показана на рис. 130. Обычно только в пазах ширстрека сохраняются обе защелки при пересечении паза со шланготутом.

Кромки внутреннего листа плоского кия соединяются с наружным листом однорядным испропниевым швом, как это делается и в других случаях при удвоении листов обшивки. При этом, однако, удвоенные листы еще соединяются друг с другом дополнительными крепительными заклепками, равномерно распределенными по площади листов с шагом от 12 до 16 д' в зависимости от кромки листов.

49. Сварка наружной обшивки

На многих кораблях стыки наружной обшивки свариваются во всей длине корпуса. На коммерческих судах часто сварныестыки об-

шники располагаются на фланцах поперечного избора, которые в этом случае играют роль стыковых плашек. Однако предпочтительнее располагать стыки между шпангоутами, выполняя сварку с обеих сторон стыка.

На военных кораблях последний постройки паки обычно свариваются лишь в концевых районах корпуса, которые, таким образом, получаются полностью сварными. В районе средней части корпуса предпочтительна клепка.

Выше было отмечено, что при клепке обшивки система ее винтовой имеет преимущество перед системой вкладышей. При применении сварки изображение против системы вкладышей отпадают, и поэтому сварка обшивки выполняется по системе вкладыш как для паков, так и для стыков.

Преимущества сварки наиболее ясно могут быть использованы для подводных лодок. Применение сварки в этом случае гарантирует не только абсолютную водонепроницаемость прочного корпуса при тех больших давлениях воды, которым подвергается подводная лодка, но и нефтепропусклемость наружных нефтяных систем. Это последнее обстоятельство особенно важно, учитывая действия взрывов глубинных бомб на расстоянии и то, что пропуск нефти обнаруживает присутствие подводной лодки.

На протяжении прошлой мировой войны перед германскими инженерами стояла очень трудная задача по обеспечению нефтепропусклемости нефтяных отливов подводных лодок, так как при заклепочных соединениях по этим причинам абсолютную плотность обеспечить невозможно, а сварка тогда была еще недостаточно развита.

На современных подводных лодках как прочный корпус, так и наружный легкий корпус делаются полностью сварными. При этом материалом для наружного корпуса и особенно для нефтяных систем должна служить мягкая сваривающаяся сталь, при которой конструкция будет способна выдерживать большие деформации, не давая течи.

ГЛАВА XL

НАБОР

50. Основные системы набора

В зависимости от расположения балок набора корпуса различают «поперечную», «продольную» и «смещенную» системы набора корпуса.

1. Поперечная система набора. Эта система набора корпуса, имеющая малое расстояние между шпангоутами, была принята на первых железных судах по аналогии с набором деревянных судов и до сих пор еще применяется в ее чистом виде на малых судах. Продольная прочность при этой системе набора обеспечивается листами наружной обшивки и палуб и конструкцией киля. Обычно одни или большие бортовые кильсы или стрингеры делаются интеркастальными между непрерывными листами или угольниками шпангоутов. Как и на деревянных судах, бимы, подвергающиеся шалубе, делаются поперечными. Для малых судов с умеренным отношением длины к высоте поперечная система набора корпуса является рациональной, и поэтому в первое время развития железного судостроения она считалась вполне удовлетворительной. Продольные усилия в корпусе были незначительны и листы обшивки, которые были достаточно толстыми, вполне могли обеспечить продольную прочность корпуса. При увеличении размеров судов и увеличении их скорости, что сопровождалось увеличением отношения их длины к высоте, продольная прочность и жесткость корпуса уже не могли быть обеспечены при обычной поперечной системе набора корпуса. В этом случае потребовалось бы сильно увеличить толщину листов обшивки, что не соответствовало бы требованию экономии веса корпуса судна.

2. Продольная система набора. Уже в 40-х и 50-х годах прошлого столетия большое число построенных пароходов имело в большей или меньшей степени выраженные признаки продольной системы набора их корпуса.

В наиболее частом виде продольная система набора корпуса была применена на пароходе «Great Eastern», построенном в 1859 г. Эта конструкция корпуса была разработана французским гражданским инженером Л. К. Брилем и английским корабельным инженером Scott Russell¹. Здесь ясно была выражена идея осуществления конструкции корпуса корабля как зигзагообразной балки. «Great Eastern» был построен по принципу коробчатой балки, примененному при постройке Британского Моста, соединяющего остров Англию с берегом Уэльса.

¹ W. H. White, Manual of Naval Architecture, 1900.

Набор «Great Eastern» был полностью продольным в верхнем и нижнем поясах и в бортах до нижней палубы (рис. 131). Днище и верхняя палуба были двойными, т. е. они состояли из двух настилов, между которыми находился продольный набор, поддерживающий и соединяющий эти настилы. Продольные профили верхнего и нижнего поясов балки, образующий корпус корабля, полностью обесценивались. Поперечная прочность и жесткость корпуса были обеспечены полными или частичными поперечными переборками.

3. Клетчатая система набора. Чисто продольная система набора корпуса, примененная на «Great Eastern», не получила дальнейшего распространения, возможно, главным образом, вследствие значительных технологических трудностей ее осуществления. Однако принцип продольного набора скоро нашел широкое применение в так называемой клетчатой системе набора, которая нашла всеобщее применение в двойном дне как на коммерческих, так и на военных судах.

Клетчатую систему можно рассматривать как симметричную систему, так как она состоит из сетки интервальных поперечных и продольных балок. Преобразование продольных элементов бывает различным в разных вариантах клетчатой системы набора. На большинстве коммерческих судов только вертикальный киль и крайний междудонный лист, ограничивающий дно, непрерывны, другие продольные связи — интервальные. На военных кораблях продольные связи более развиты.

4. Система Ишервуда (Ishergood)¹. В последние годы значительный скачок в направлении развития продольной системы на коммерческих судах происходит с появлением системы Ишервуда. Близко расположенные шпангоуты и бимсы в этой системе были устранины и заменены редко расположенными высокими рамными шпангоутами, опущенными по дну, бортам и под палубами. Эти рамные шпангоуты стоят на расстоянии от 3 до 6,5 м друг от друга и имеют достаточную прочность, чтобы выполнять функции, обычно выполняемые шпангоутами и бимсами. Между рамными шпангоутами располагаются непрерывные продольные балки малой высоты, поддерживающие листы обшивки и палубы. Эти продольные балки проходят через прорези в рамных шпангоутах и соединяются с последними при помощи коротких «угличников» (рис. 132). Расстояние между продольными балками делается около половины ширины листов; две продольные балки устанавливаются на каждом пакете. Таким образом набор состоит в основном из широко расположенных солидных поперечных балок, в то время как более слабые продольные ребра лишь подкрепляют листы в пролетах между этими балками.

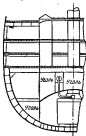


Рис. 131. Модельное сечение парохода «Queen Elizabeth».

¹ I. W. Isherwood, „A New System of Ship Construction”, Inst. Nav. Arch., 1928.

Главной частью набора, таким образом, являются рамные шпангоуты, а продольные балки являются, в сущности, частью обшивки.

Основное конструктивное преимущество такой системы набора заключается, во-первых, в том, что при высоких рамных шпангоутах при том же весе можно получить больший момент инерции, чем при обычных низких поперечных шпангоутах, и, во-вторых, наружная обшивка и палубы, будучи лучше подкрепленными в продольном направлении, являются более эффективными арочными сводами, чем при обычной поперечной системе, когда они легко могут выпучиваться при сжатии.

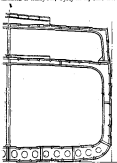


Рис. 132. Набор по системе Ишеруда.

Поперечная прочность в этой конструкции обеспечивается с минимальной затратой материала высокими рамными шпангоутами, которые при перевозке жидкого груза не являются недостатком, и большим числом поперечных переборок, необходимых на этих судах по другим соображениям.

Продольная прочность обеспечивается системой продольных балок, которые имеют большую высоту, чем при обычной системе Ишеруда, показанной на рис. 132. Продольные балки противной палубы хорошо противостоят большому изгибающему моменту, вызывающему прогиб тавра при полной нагрузке.

Обычно в каждом танке располагаются для рамных шпангоутов, имеющие прорези для непрерывного прохода через них продольных балок. Продольные балки делятся разрезами на поперечных переборках для лучшего обеспечения нефтеизоляционности последних. В первое время восстановление прочности продольных балок доставлялось постановкой у поперечных переборок высоких книц, однако, такая конструкция требовала затраты большого веса вследствие большого числа продольных балок.

Для упрощения конструкции и уменьшения веса Нижерука изобрел свою бескличную систему, в которой непрерывность продольных балок обеспечивается соединением их концов удвоенными листами в прилегающих поясах днища в районе поперечных переборок. Таким образом при бескличной системе продольная прочность обеспечивается удовлетворительным образом.

На некоторых кораблях роль таких накладных листов играют удлиненные стыковые пластины днищевых листов, как это показано на рис. 133.

В бескличной системе уделяется особое внимание прочности продольных балок и той поддержке, которую они могут получать от двух попе-



Рис. 133. Принципиальная схема распространения линий напряжений в продольных балках при бескличной системе Нижерука.

рочных рамных шпангоутов, чтобы с минимальными напряжениями и прогибами воспринимать наружное давление воды при пустых танках. Это достигается значительным увеличением профиля продольных балок по сравнению с профилем этих балок в старой кличной системе и назначением ярочных размеров и расстояний между поперечными рамными шпангоутами в соответствии с теоремой Клапейрона.

Однако, по-видимому, не было принято во внимание, что в бескличной системе Нижерука имеется неизбежное нарушение непрерывности конструкции у концов продольных балок в каждом трюме. Рассмотрим, например, конструкцию в танке в районе мидели при прогибе судна. В общем случае здесь в эквивалентном брусе нет касательных напряжений, а днищевая обшивка растягивается и равномерно удлиняется. Продольные балки тоже удлиняются и находятся в состоянии растяжения (см. рис. 133), но это может происходить только за счет наличия продольных срывающихся напряжений в заклепках, которыми продольные балки привязаны к днищевой обшивке. Как было показано в разд. 12, п. 1, эти напряжения будут равны квадрату посередине длины балки и наибольшая их концентрация будет на концах балки. Поэтому необходимо обеспечить надлежащую прочность на срез соединения концов продольных балок с обшивкой, особенно в средней части длины судна, имея в виду, что эта прочность должна быть не меньше прочности балки на растяжение. В противном случае следует снимать расстройства заклепок у концов балок. Такое явление наблюдалось на многих нефтеналивных судах, и поэтому применялись различные средства для устранения этого конструктивного недостатка. Первым средством на уже построенном судне может служить приварка по периметру концов продольных балок к обшивке. На новых проектируемых судах должна быть увеличена площадь сечения заклепок на концах балок, а может быть осуществлено также и дополнительная их приварка. Уменьшение концентрации напряжений

может быть достигнуто скшиванием концов продольных балок. Наиболее действительным средством является применение перекрещенных кинн на концах продольных балок, проходящих через прорези в листах поперечных переборок, и приваренных к этим листам и к вертикальным стойкам переборок. При такой конструкции отпадает необходимость постановки двойных листов в обшивке днища. Однако только продолжительный опыт плавания судов может показать, является ли это решение и действительности или нет. На некоторых кораблях танкорах концы продольных балок привариваются к листам поперечных переборок.

Система Нинервуда удобна для применения сварки, так как большинство сварочных швов направлено вдоль листов; осушение и очистка нефтиных танков в случае проникновения сварка становится более легкой, чем при клепании корпуса¹.

51. Общее устройство набора

1. Сравнение между военными и коммерческими судами. Все суда как военные, так и коммерческие, будучи на плоскую, подвергаются силам давления воды и силам веса корпуса и тут грузов, которые они несут. Во время качки суда подвергаются, кроме того, и действию динамических усилий. При постановке из мель или в ложе давление воды частично или полностью заменяется сосредоточенными реакциями. Однако между военными и коммерческими судами, особенно грузовыми, имеется значительная разница в том, как уравновешиваются силы веса и силы поддержки через конструкцию их корпуса.

На военном корабле веса его постоянных грузов, состоящие из веса брони и артиллерии, расположены, главным образом, на палубах и бортах и передаются через переборки и борта на систему набора днища, прежде чем они уравновешиваются силами поддержания. На коммерческом грузовом судне вес грузов в грузовых трюмах находится неподавляемо или главным образом на внутреннем дне, или на фюзелях, или передается с палуб виллерами на набор днища. Поэтому роль переборок и бортов в передаче веса на грузовых судах сравнительно невелика. Силы поддержания и вес в большей своей части уравновешиваются непосредственно через набор днища. Благодаря этому набор днища коммерческих судов подвергается меньшему износу и сразу, чем днишевый набор военного корабля, где часто имеется значительный избыток сил поддержания между поперечными переборками.

Помимо этого, военные корабли подвергаются действию некоторых усилий, которые отсутствуют на коммерческом корабле, как-то: при попадании снарядов и взрывных мин, торпед и авиабомб. При ударе снаряда корпус в месте удара подвергается резкому ударному действию в виде сосредоточенного усилия, если корпус не бронирован и снаряд не взорвался, или в некоторой степени распределенному усилию, если корпус бронирован или если снаряд взорвался. При взрыве мины или торпеды корпус в районе центра взрыва подвергается резкому непосредственному действию давления газов. В районах, удаленных от центра взрыва, на корпус действуют более умеренные давления, передающиеся через воду на значительный район. Взрыв авиабомбы вынуждает вероятно и верхней части корабля: он производит большой разрушающий эффект, распро-

¹ B. A. Niner, M. T. Section, Am. Welding Soc., March 7, 1938.

стремящийся на значительную площадь избронированных конструкций корпуса.

2. Главные назначения набора. Сложная система сил, действующих на корпус, всегда находится в статической или динамической равновесии. Такое равновесие или такое уравновешивание этих сил не может существовать без того, чтобы в стенах корпуса не возникли соответствующие напряжения от растяжения, сжатия, изгиба и среза.

Набор корпуса выполняет роль прочных уравновешивающих связей корпуса следующими путями.

1. Набор работает в качестве составной части всего корпуса как балки, подвергающейся продольному и поперечному изгибу, и при этом набор воспринимает соответствующую долю растягивающих и сжимающих усилий. В то же время он подкрепляет приложение к нему участков обшивки, не давая ей уклоняться от выполнения своего назначения, теряя устойчивость.

2. Набор работает в качестве балок между переборками, палубами, днищем, бортами и др., передавая на них силы веса, давление воды и другие силы, которые могут действовать на эти балки.

3. Набор поддерживает внутреннюю и наружную обшивки против давления воды и других нагрузок, под действием которых нормальных усилий, например, при подводных взрывах.

Помимо указанных выше трех основных функций, выполняемых набором, он выполняет такие другие важные назначения.

4. Наличие подкрепляющими ребрами днища и бортов, балки набора сами воспринимают усилия, обычно сжимающие, действующие в направлении их длины. В этом отношении наиболее важным является восприятие поперечными бортовыми шпангоутами веса брони или других весов, передающихся на борта.

5. Внутри двойного дна некоторые части набора выполняют роль водо- или нефтенепроницаемых перегородок.

3. Выделение отдельных групп набора. Поскольку функции, выполняемые набором в корпусе военного корабля, различны и зависят от места расположения набора, удобно рассмотреть эти части набора отдельно, в именце:

- 1) в районе днищевой, почти горизонтальной, части двойного дна;
- 2) в районе бортовой части двойного дна;
- 3) вине двойного дна, ниже броневого щитфа;
- 4) за бортовой броней;
- 5) в районе звуконизированного борта, выше броневого щитфа.

4. Набор в районе днищевой части двойного дна. Общая поперечная и продольная прочность. Требования, предъявляемые условиями общей продольной прочности корпуса, будут, очевидно, наилучшим образом удовлетворены при системе непрерывных продольных балок набора днища. Общая поперечная прочность корпуса обеспечивается его поперечными переборками, оснако, все же в днищевой конструкции корпуса должны быть поставлены интеркальственные поперечные балки, необходимые для подкрепления основных продольных балок днишевого набора.

Передача усилий на жесткую периметральную коробку. Днищевая часть, двойного дна представляет собой практическую горизонтальную платформу, нагруженную силами поддержания, почти равномерно распределенными во всем нижней поверхности. На ее верхнюю поверхность действуют неравномерно распределенные веса грузов, находящихся на днище; однако основной опорой для этой платформы, воспринимающей

действующие на нее натягивающие вертикально вверх силы поддержки, являются многочисленные переборки и борта, которые передают из днища веса верхней части корабля. В некоторых случаях эти веса частично передаются на днище при помощи систем пиллеросов. Мы имеем, таким образом, лодку с загруженной платформой, подразделенной на прямоугольные участки и ограниченной жесткими опорами контуром, состоящим из перекрытий борта и переборок.

Вертикальный киль обычно поддерживается пиллерами или средней продольной переборкой и образует поэтому жесткую прямолинейную створу. Благодаря этому поперечный набор днища имеет зарешенную опору в диаметральной плоскости. Поэтому, если пролеты поперечных борцов до бортовых переборок меньше, чем расстояния между поперечными переборками, что может быть в машинных и котельных отделениях, то шансов для целесообразности оказывается основывать опору перекрытия двойного дна на системы набора с непрерывными поперечными шпангоутами. Обычно, однако, вертикальный киль делается непрерывным и поэтому шпангоуты должны на нем разрезаться и не могут иметь такую высокую степень заледенки, как пропольные стрингеры, идущие непрерывно под поперечными переборками. Кроме того, из практики известно, что достаточная прочность продольных стрингеров может быть получена даже для района машинных и котельных отделений, в виде этих отсеков поперечные переборки ставятся на более близких расстояниях. Следовательно, в общем продольная система набора днища, т. е. система с непрерывными продольными балками, представляется более предпочтительной.

Указанные выше поперекстельные поперечные флоры могут быть хорошо использованы для помощи продольным стрингерам в выполнении последними их функций как отдельных балок, так как флоры помогают передавать нагрузку с внешнего и внутреннего дна на стрингеры в то же время выступая боковыми опорами стрингеров. В местах пересечения флоров со стрингерами образуются весьма жесткие узлы, играющие важную роль при постановке корабля в док и при посадке на мель.

Подкрепление листов обшивки против давления воды. Основное требование в этом отношении заключается в том, чтобы набор разделял листы на небольшие неподкрепленные панели. Это может быть достигнуто как при продольной, так и при поперечной системе набора, при достаточно малом расстоянии между балками набора. Однако слишком тесное расположение балок набора в двойном дне нежелательно, так как при этом будет затруднен доступ в междубалочные отсеки и будет трудно работать в них. Поэтому предпочтительнее применять поперечные и продольные балки при умеренном расстоянии между ними.

Разделение на водонепроницаемые и нефтенепроницаемые отсеки. Обычно необходимо двойное дно разделить на мелкие отсеки, причем некоторые поперечные и продольные балки набора должны быть водонепроницаемыми или нефтепротивоштыревыми. Рассмотренная выше сеть набора уже сама образует такое подразделение двойного дна, однако, набор должен быть так спроектирован, чтобы это достигалось с наименьшей затратой работы, при наибольшей непрерывности балок набора и при удобной сборке конструкции. Как общее правило, следует делать непроницаемые балки набора непрерывными, так как при этом объем скважин будет уменьшаться и достигнута более простая и надежная кон-

струкции, хотя это обстоятельство не должно превалировать над требованием прочности. При пересечении двух непрерывных балок набора непрерывных должны делаться продольные балки, так как они наиболее важны с точки зрения прочности.

Таким образом со всех точек зрения мы приходим к заключению о преимуществе для набора двойного дна смешанной системы, а также к тому, что продольным балкам должно отводиться предпочтение с точки зрения обеспечения их прочности и непрерывности. Продольные стяжки должны, насколько позволяет место, доходить до концов двойного дна, даже если оно простирается на всю длину корабля.

5. Набор в районе бортовой части двойного дна. Общая продольная и поперечная прочность. В каждой части борта, исключая поворот скульы, прокладывают продольные усилия при нагибе корпуса, особенно, если этот изгиб корпуса происходит при заливке крана корабля. Поэтому набор склонной части двойного дна должен быть по существу таким же, что и в днищевой части. Выше скульы начинают превалировать срезывающие усилия и главные нормальные напряжения получают наклонное направление. Поэтому было бы желательно в этом районе борта применять диагональный набор, однако, это было бы связано с конструктивными и производственными затруднениями. Учитывая это, и также имея в виду, что прочность корпуса против срезывающих сил надежно обеспечивается общим бортом и что напряжение в этом районе у линейных кораблей незначительны, система бортового набора должна быть выбрана, исходя из других условий его работы.

Передача усилий на жесткие перекрытия корпуса. Для выполнения этой функции набор должен быть направлен параллельно коротким сторонам опорного контура и оставлять непрерывным на широком контуре. На больших военных кораблях расстояние между конгруэнтными переборками не слишком отличается от высоты между броневой палубой и днищем. При непрерывных поперечных шпангоутах облегчается сборка, достигается в речном судне и шпангоуты хорошо воспринимают веса бортов. Однако закрепление концов поперечных шпангоутов не может быть таким же прочным, как крепление концов непрерывных продольных балок. Бандауру склонного судна следует считать, что в отношении передачи усилий на жесткие перекрытия корпуса в районе бортовой части двойного дна обе системы набора эквивалентны друг другу.

Подкрепление листом общими прогибами воды и против давления от зарядов мин и торпед. Давление воды на борта меньше, чем на днище; борта также не подвергаются таким внутренним противодействиям, как днище, исключая лишь случаи наличия угловых или нефтяных бортовых ям. Значительно больше требования к прочности и жесткости бортов предъявляются с точки зрения сопротивления их давлению при взрывах мина и торпед непосредственно у борта или близко от него, хотя подобные же давления в последнее время стали угрожать и днищу со стороны взрывов и вылетающих мина.

Независимо от причин возникновения давления, наилучшим подкреплением борта против этого давления является смешанная система набора. Места пересечения балок такого набора в изгибальной степени могут сопротивляться действию подводных взрывов. В то время как община между набором будет вынуждена ворваться внутри корабля и балки набора между точками пересечения значительно деформируются, конструкция в точках пересечения балок может иметь лишь небольшую пластическую деформацию. Исключением является район в непо-

средственной близости к центру варника, где разрушения будут значительно большими.

Поддержка веса бортовой брони и других весов, передающихся на борта. Основная часть этого веса передается из поперечные переборки, а остальная часть его легко может быть воспринята бортами и даже броневого щельфа, имеющие наружную обшивку и внутреннее дно, закрепленные рекомендованным выше смешанным набором.

В отношении разделения этого района на водонепроницаемые отсеки можно сделать те же выводы, которые были сделаны выше для нижней части двойного дна.

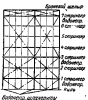


Рис. 134. Схема набора французского броненосца «Борис Мюре».

мы. Третий и четвертый стрингеры сделаны непрерывными и водонепроницаемыми там, где они находятся под продольной переборкой, т. е. соответственно в котельных и машинных отделениях; в остальных местах они сделаны проникающими и интеркостальными.

Седьмой стрингер сделан водонепроницаемым, повидимому, с целью ограничить доступ воды в двойное дно в случае повреждения броневого щельфа.

Прочие стрингеры сделаны интеркостальными и проникающими.

Поперечные фланцы сделаны непрерывными между первым и третьим или четвертым стрингером и между последними и седьмым стрингером. Непрерывность поперечного набора на таком большом протяжении привнесла на французских кораблях с целью упрощения и удешевления работы.

На рис. 135 показана схема набора английского броненосца «Lord Nelson». Здесь все стрингеры, включая и бортовые, — непрерывны; в все шпангоуты — интеркостальные. На рис. 136 показана схема набора старого американского броненосца. Все стрингеры здесь сделаны непрерывными, как на английских кораблях. Разница лишь в том, что на американском корабле наружные угольники шпангоутов идут непрерывно от киля до броневой палубы для облегчения образования обводов корпуса при постройке и для предания некоторой непрерывности поперечному набору. Вертикальный киль — проникающий, однако же в некоторых кораблях он делается непроницаемым в пределах машинных п

* J. Knudt, «Savvietova Naval», Сеул, 1912.

котельных отсеков с целью разделения двойного дна на водонепроницаемые и топливные отсеки. Для этой же цели делается водонепроницаемый пятый стрингер, расположенный на скулье.

Американская система набора наиболее удовлетворительна с точки зрения продольной и поперечной прочности и легкости производства. Французский метод делать водонепроницаемым стрингер ниже броневого щельфа представляется также целесообразным.

7. Набор вне двойного дна ниже броневого щельфа. На многих кораблях двойное дно не доходит до переборок копцевых дифферентных систем, и в этих случаях мы будем иметь дело с набором днища между

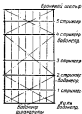


Рис. 125. Схема набора англ.ского броненосца „Lord Kitchener“.

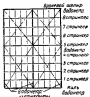


Рис. 126. Схема набора первого американского броненосца.

ютиком двойного дна и переборкой дифферентной системы. Набор внутри системы будет рассмотрен в следующей главе.

Большая длина и высокая скорость современных кораблей делает необходимым, теперь больше, чем раньше, обеспечивать продольную прочность оконечностей корпуса. Когда корабль идет против волн, появляются большие изгибающие усилия в носу, а при ходите на современных кораблях кормового подзора появляются большие изгибающие усилия в корме при постановке корабля в док.

Вертикальный киль и, по меньшей мере, обив из первых стрингеров с каждого борта должны оставаться непрерывными до самых штевней и прочно соединяться с последними или непосредственно либо при помощи брешитуков.

Выше эта система набора должна быть поперечной, так как платформы и броневые палубы могут быть легко использованы в качестве опор для шпангоутов. Между непрерывными стрингерами днища должны быть установлены крестообразные фланцы, а между непрерывными шпангоутами — полуциркульные трюмные стрингеры, являющиеся продолжением непрерывных стрингеров двойного дна, для того чтобы создать споры шпангоутам, подкрепить листы и связать обшивку со шпангоутами.

Если двойное дно доходит только до скульи, то набор между ним и броневыми щельфом должен быть поперечным, хорошо закрепленным краинами к крайнему междуднуовому стрингеру.

8. Набор позади брони. Основным назначением этого набора является поддержка брони. Энергия снаряда расходуется на: а) разрушение снаряда, б) вдавливание в разрушение брони, в) упругую деформацию и разрушение опорной конструкции. Большая жесткость опорной конструкции способствует меньшему разрушению брони и самой опорной конструкции. На рис. 137 показана конструкция, вероятно, обладающая требуемой жесткостью.

Позади бортовой брони находятся две или несколько палуб большой прочности и жесткости, которые используются в качестве главных опор, и поддерживающие балки в виде переборок или шпангоутов. Если броневые палубы имеют скос, то горизонтальные балки, покрытые палубными настилами, должны служить продолжением средней части палубы, образуя промежуточную опору между нижней кромкой скоса палубы и вышележащей палубой.

Горизонтальные кромки броневых плит должны находиться на уровне палуб, а стыки броневых плит должны поддерживаться подпереборками или очень высокими шпангоутами, как это показано на рис. 137. Между этими жесткими опорами находится система более легких шпангоутов, поддерживаемых высокими полувинтикостальными горизонтальными стрингерами, расположенным посередине высоты между палубами. Детальные крепления описанной выше общей конструкции должны быть экспериментально проверены на опытом полигоне. Жесткость конструкции должна быть такой, чтобы достигнуть минимального повреждения конструкции набора и его заклепочных соединений при пробивании брони. Конструкция набора позади брони становится наиболее простой в случае наличия лишь одного пояса бортовой брони между нижней и верхней броневыми палубами, как это показано на рис. 137. Броневые плиты в этом случае должны быть более широкими, но могут быть сравнительно короткими. Вертикальные шпангоуты набора позади брони не только поддерживают обшивку за броней, но также принимают участие в воспринятии веса брони и передаче его за конструкцию корпуса ниже шельфа. Как уже было сказано в разд. 13, п. 1, обшивка за броней вместе с набором образуют высокую балку, которая опирается на транverse переборки.

9. Набор небронированного борта выше уровня броневого шельфа. Борт в этом районе корпуса всегда поддерживается палубами, поэтому наиболее целесообразной является поперечная система набора.

10. Местные подкрепления. В местах сосредоточения больших грузов, например, в двойном дне под главными машинами и под башнями, должен быть установлен добавочный набор. Такой добавочный поперечный набор лучше всего осуществить в виде промежуточных шпангоутов. Добавочные продольные стрингеры под фундаментами главных машин должны возможно надежнее подкреплять эти фундаменты. В посту, особенно за легких быстроходных кораблях, должны быть установлены добавочные стрингеры для подкрепления обшивки при ходе корабля против волн.

11. Системы набора на малых кораблях. Легкие крейсера. На современных больших легких крейсерах набор существенно не отличается от набора линейных кораблей, но на малых крейсерах двойное дно редко простирается в нос и в корму дальше артиллерийских погребов, а в поперечном направлении это обычно доводит до поворота скоса. Внутри линейного дна превалирует смешанная система набора, как и на

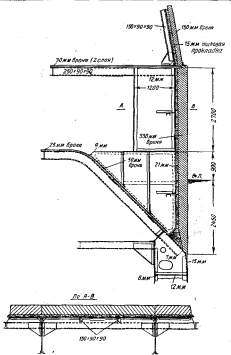


Рис. 137. Конструкция танка передняя часть корпуса.

тменных кораблях. За двойным дном вертикальный киль продолжается непрерывным до штевней, а другие продольные стрингеры продолжаются, насколько возможно, дальше в виде полуцилиндрических.

На бортах ниже броневой палубы вышею соединяют формой обводов эффективной является поперечная система набора. Шпангоуты здесь будут работать, как арки, перекрывающие короткий пролет между крайними стрингерами и бровевой палубой. Для надлежащего подкрепления обшивки между шпангоутами должны быть поставлены бортовые стрингеры.

Выше броневой палубы набор бортов должен быть, очевидно, поперечным. Таким образом поперечная система набора должна быть преобладающей за исключением двойного дна.

Минометцы. Минометцы не имеют двойного дна, переборки отстоят далеко друг от друга и обшивка очень тонкая, поэтому набор имеет большие зазоры, чем на других кораблях. Продольные усилия могут получаться очень большими не только в средней части, но и в носовой части корпуса. В результате этого на некоторых корабликах обшивка днища под боевой рубкой получала выпучины при ходе корабля против волны. Поперечные усилия также могут получаться большими вследствие недостаточного числа переборок и стремительной качки кораблей в море. Отсюда следует, что в днище и в палубе должен быть хорошо развит продольный набор; поперечный набор должен обладать большой жесткостью и быть непрерывно вокруг всего контура сечения корпуса. Устойчивость обшивки на этих кораблях имеет особо большое значение, поэтому она должна подкрепляться большим количеством продольных балок.

Подводные лодки. Основное назначение набора в корпусе подводных лодок заключается в поддержке обшивки, подвергающейся большому парциальному давлению воды, и так как расстояние между поперечными переборками очень большое, то это лучше всего достигается простой поперечной системой набора. Здесь все же должны быть полуцилиндрический вертикальный киль и прутье продольные связи в зависимости от размеров подводной лодки. В частности, продольные балки должны быть установлены по бокам люков и в других местах, где разрезаются шпангоуты. Такие балки должны поддерживаться пиллерами или обладать достаточной прочностью, чтобы перекрывать пролет между переборками.

52. Расстояние между балками набора

1. **Основные условия.** Основные обстоятельства, влияющие на выбор расстояния между балками набора, следующие.

1. **Давление воды.** Чтобы обшивка могла выдерживать давление воды без перенапряжений, величина μ отношения между короткой стороной спирального контура и толщиной обшивки не должна превосходить известного значения, зависящего от отношения между сторонами спирального контура μ . В настоящее время величина μ изменяется в пределах приблизительно от 75 на больших кораблях до 80 на крейсерах и минометцах независимо от того, какая сторона спирального контура, — поперечная или продольная, — более короткая. Эти отношения могут считаться удовлетворительными в отношении восприятия давления воды. Величина μ может назначаться свободно, так как в пределах обыч-

ных границ ее влияние на прочность обшивки имеет второстепенное значение.

2. Простое растяжение и сжатие. Длинные продольные связи должны обладать определенной площадью сечения металла, достаточной для сопротивления растяжению и сжатию при произвольном изгибе корабля. Этого теоретически можно достигнуть при любом расстоянии между продольными балками набора соответствующих толщин листов наружной и внутренней обшивки. Однако наилучшие результаты будут получены при расстоянии между продольными балками, равном 60 толщинах наружной обшивки. При таком расстоянии обычно будет предотвращена потеря устойчивости обшивки (рис. 6, к. 9 и 10). Минимальное расстояние между продольными балками редко оказывается недостаточным по нашим суждениям.

3. Потери устойчивости от сдвига. Согласно положенному в разд. 8, возможность потери устойчивости обшивки от касательных напряжений исключается, если расстояние между продольными балками такое, при котором преодолевается потеря устойчивости листов обшивки при сдвиге.

2. Наиболее важная практика. Ограничимся рассмотрением трех типов современных военных кораблей: линейного корабля водоизмещением 40 000 т, легкого крейсера — 12 000 т и минносца — 1800 т.

Главные размеры и некоторые другие характеристики этих типов кораблей приведены в табл. 17, в которой для сокращения приведены такие данные, относящиеся к соответствующим типам кораблей постройки 1914—1895 гг.

Из рассмотрения этой таблицы вытекает хорошо известный факт, что водонизмещение, длины, скорости и относительная длина к высоте у всех типов военных кораблей заметно увеличились за последние 50 лет.

В соответствии с необходимостью увеличения продольной прочности кораблей возникла необходимость в развитии продольного набора корпуса. Несмотря на это, расстояние между шпангоутами, произведенное 50 лет назад, сохранилось практически неизменным много лет, что было отмечено в издании этой книги 1915 г., содержащем два первых столбца табл. 17 для каждого из трех типов кораблей. Было отмечено, что настало время внимательно вследовать и пересматривать это положение, и было предложено пойти вперед в принятии новых и рационально отличных систем набора — в части расстояний между вертикальными и продольными балками набора.

3. Линейные корабли и крейсеры. Было рекомендовано уменьшить расстояние между стрингерами приблизительно до 1,2 я на линейных кораблях и до 0,9 я на крейсерах и принять расстояние между шпангоутами почти в два раза большим. При этом участки обшивки между балками набора обладали бы прежней прочностью для восприятия давления воды, в то время как продольная прочность излишне бы увеличилась, а вес всего набора остался бы практически без изменения. При этом уменьшилась бы не только общая площадь сечения продольного набора, но внутренняя и наружная обшивки днища начали бы работать более эффективно вместе с продольным набором. Возможно, потребовалось бы установить легкие промежуточные побортовые ребра в листах внутреннего дна, но необходимый для этого вес был бы получен за счет уменьшения толщин внутренней и наружной обшивок днища.

Таблица 17

	Линейный корабль			Легкий крейсер			Минный		
	1890— 1895 гг.	1914 г.	совре- менн.	1890— 1895 гг.	1914 г.	совре- менн.	1890— 1895 гг.	1914 г.	совре- менн.
Водонепроницаемость, %	10000	30000	40000	3500	2000	12000	300	1000	1000
Длина, м	115	200	230	30	140	180	60	85	100
Ширина, м	23	29	34	13	16	19	6,1	8,2	11
Стекло, м	4,2	8,5	9,5	5	4,7	6—7	2,1	2,7	3—3,4
Отношение длины к высоте	6,4	14,4	15	12	14,2	14,2	14,8	17,5	17
Скорость, узлы	18	23	30	20	26	32—35	30	34	37—40
Расстояние между поперечными наборами, м	1,2	1,2—1,2—2,3	0,9	0,9	1,2	0,9	0,9	1,3	1,3—2,4
Расстояние между продольными наборами, м	1,8—2,4	1,8—2,4	1,2—1,6	1,8—2,1	1,8—2,1	1,8—2,1	0,9—1,2	0,9—1,2	0,45—0,5
Расстояние между передовыми и кормовыми наборами, м	11—12	9—11	12—15	9—11	9—11	7,2—8,5	6,1—11	11—12	10—11

В отношении поперечной прочности было предложено применять сплошные или облегченные фланги вместо обычных лёгких брандспутовых флангов. Число водонепроницаемых флангов должно оставаться без изменения. Набор бортов должен быть таким, чтобы он мог наиболее эффективно сопротивляться действию подводных взрывов. Этот вопрос будет еще рассмотрен в главе о броневых переборках. Выше броневой палубы никаких изменений против существующей практики предложено не было.

Данные, приведенные в табл. 17, показывают, что общее развитие набора за последние 25 летшло в указанном выше направлении. Так, в линейных кораблях продольные балки, как и раньше, были первоочередны, но расстояния между ними стало приниматься от 1,2 до 1,6 м, в то время как это расстояние во кораблях рациональной постройки составляло от 1,8 до 2,4 м.

В тех же случаях расстояние между поперечными наборами увеличилось.

На рис. 138 показано продольное сечение большого линейного корабля, имеющего предлагаемую систему защиты против разных форм нападения, которые будут рассмотрены в следующих главах. Система набора, соответствующая принципам, изложенным выше, показана на рис. 139.

На так называемых 10 000-тонных крейсерах, имеющих водоизмещение не менее 12 000 т, система набора, как это следует из табл. 17, существенно не изменилась. Расстояние между запангоутами увеличи-

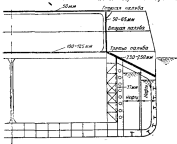


Рис. 133. Медленное сечение линейного корабля.

лось с 0,9 до 1,2 м, а расстояние между стрингерами осталось неизменным: 1,8—2,1 м. Было бы желательно уменьшить расстояние между стрингерами как на этих кораблях, так и на строящихся теперь меньших крейсерах. Рекомендуется увеличение расстояния между запан-

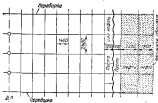


Рис. 134. Схема расположения набора и переборок, предложенная для линейных кораблей.

гоутами, достаточное для поддержки наружной обшивки, может окажаться слишком малым для листов внутреннего дна при испытании их давлением воды. Чтобы избежать чрезмерных пропусков, может оказаться необходимым введение поперечных промежуточных ребер под настилом второго дна и, возможно, с брандспуром креплением их к стрингерам.

Хотя рекомендуемое расстояние между стрингерами меньше применявшегося ранее, оно все же может оказаться слишком большим, для того чтобы предотвратить выпучивание листов при продольном сжатии. В соответствии с правилом, примененным в rules, б. п. 10, расстояние между стрингерами не должно быть больше 60 толщин листа, чтобы лист работал с полной эффективностью при продольном сжатии. Положим, что толщина внутреннего дна равна 8 мм. Предполагая, что настил на ширине 100 мп непосредственно поддерживается стрингером, получим, что расстояние между стрингерами не должно превышать приблизительно 560 мм. Так как такое расстояние слишком мало для второго дна, то придется его увеличить, поставив промежуточные ребра между стрингерами. Возможно, понадобится также поставить продольные ребра жесткости на листах стрингеров, чтобы увеличить эффективность их работы при продольном сжатии, когда корабль находится из первых волн.

В этом отношении на современных быстроходных кораблях, у которых напряжения очень велики, а экономия веса особенно важна, необходимо искусно выбирать размеры обшивки и набора. Такая задача может быть удовлетворительно решена только при помощи соответствующих расчетов и испытаний.

Для промежуточных ребер жесткости, как продольные, так и поперечные, удобно применять прозарные Т-образные профили, скобженные, где нужно, кницами на копилах.

4. Минносцы. На минносцах условия несколько иные. Наряду с требованием увеличения продольной прочности, обусловленным увеличением скорости минносцев, появилась необходимость в увеличении и поперечной прочности. Ширина этих кораблей увеличилась почти в том же отношении, что и длина, а продольные переборки перестали ставить.

Необходимо было повысить устойчивость обшивки днища и настила палубы, что потребовало уменьшения расстояния между продольными балками набора. Проблема устойчивости снегей из быстроходных кораблей с легкой конструкцией заставляет рассматривать продольный набор не только в качестве взаимосвязанных снегей, участвующих в прочности корпуса, но и как снегей, обеспечивающих необходимую устойчивость листов обшивки и настила палубы. Для этой последней цели продольный набор должен состоять из сравнительно легких, но близко расположенных балок. На прежних минносцах это требование обычно не удовлетворялось достаточно полно. На кораблях водоизмещением около 1000 т применялся обычно легкий и тесно расположенный, примерно на расстоянии 500 мм, поперечный набор, причем каждый пятый или шестой шпангоут делался более высоким и прочным. Продольный набор состоял из внутреннего вертикального киля и небольшого числа продольных полуинтересстальных балок, сравнительно высоких и тяжелых. На фиг. 169 показано сечение корпуса корабля, имеющего такой набор.

Система набора, предложенная в первом издании этой книги применительно к минносцу водоизмещением 750 т, схематически показана на фиг. 140. Эта система набора основана на следующих трех принципах: 1) увеличение продольной прочности применением сильно развитого продольного набора, 2) обеспечение поперечной прочности и жесткости применением небольшого числа высоких рамных шпангоутов, идущих вокруг всего контура корпуса, 3) увеличение устойчивости листов

при помощи большого числа балок расположенных продольных балок, которые по бортам и под палубой могут быть сравнительно очень легкими.

Прочность балок продольного набора должна быть так согласована с расстоянием между шпангоутами, чтобы эти балки могли выдерживать действующую на них нормальную нагрузку.

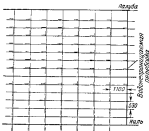


Рис. 148. Схема набора, предложенная для минносцев.

На современных минносцах описанная система набора находит применение, как это можно видеть из табл. 17, в которой расстояние между шпангоутами показано равным 1,8—2,5 м. Такое большое расстояние между шпангоутами оправдывается увеличенной толщиной обшивки в соответствии с увеличением размеров и скорости кораблей рассматриваемого класса.

53. Конструкции продольного набора

Продольный стрингер на современных больших кораблях обычно делается непрерывным внутри двойного дна и частично, или полностью, интэркостельным или двойного дна. Если стрингеры внутри двойного дна интэркостельные, то они делаются по типу фаср, имеющих конструкцию, описанную в следующем разделе. Средняя продольная балка образует вертикальный щит; прочие продольные балки, называемые стрингерами, нумеруются, начиная от кия. Последний стрингер на уровне нижней кромки бортовой брони называется броневым щитом.

1. Расчет прочности. Непрерывный продольный набор должен рассматриваться, во-первых, как составная часть всего сечения корпуса, и, во-вторых, как индивидуальные балки, прочность которых должна быть также проверена и на действие местной сосредоточенной нагрузки.

Как часть всей конструкции корпуса продольный набор подвергается растяжению и сжатию при изгибе корпуса, причем получающиеся

в нем напряжения определяются при расчёте общей продольной прочности корпуса. Эти напряжения, однако, относятся лишь к полной площади сечения продольных балок. В местах же пересечения их с поперечными наборами, в стыках и местах вырезов действующие напряжения будут увеличиваться в соответствии с уменьшением площади сечения балок из-за присутствия заклепочных отверстий или вырезов. Прочность продольного набора, рассматриваемого как индивидуальные балки, рассчитывается, как указано в разд. 21. Наибольшие напряжения получаются в балках в местах пересечения их с поперечными переборками. Желательно поэтому в этих местах подкреплять балки продольного набора, что может быть достигнуто расположением книц в стоях переборок из этих балок, или поставкой книц с каждой стороны переборки, как это делается на трюмных стрингерах коммерческих судов. Такие кницы будут также желательны с точки зрения передачи реакций балок на переборки.

Прочность полуинтеркостальных продольных балок, имеющих конструкцию, показанную на рис. 51 и 149, может рассчитываться, как для непрерывных балок.

При действии на балки местных сосредоточенных нагрузок необходимо проверять прочность стяжки балки на сжатие и на устойчивость в местах приложения этих нагрузок. С таким случаем действия нагрузки приходится иметь дело при постановке корабля в док; эта задача будет рассмотрена особо.

2. Прочность продольного набора при постановке корабля в док. Военные корабли ставятся в док или только на средний киль, или на средний киль и на боковые доковые кили.

При постановке в док на средний киль давление кильблоков может считаться распределенным равномерно на всю длину киля, только в мидельной части корпуса давление возможно превышает среднее значение на 10—20%. На кораблях со скошенной кормой большое сосредоточенное давление на киль получается также в месте начала резкого подъема киперной линии.

Грубый расчет показывает, что вертикальный киль при отсутствии диаметральной переборки не может сам по себе передать реакцию дока на поперечные переборки.

На многих кораблях для подкрепления киля делается под броневой палубой высокая балка, служащая вместе с тем центральными кордами, которая связывается с кницами рядом пиллерсов. Эта балка и киль при изгибе будут иметь общее перемещение и поэтому они будут воспринимать нагрузки, пропорциональные их моментам инерции. Прочность этих балок определяется так же, как было указано для стрингеров, с той лишь разницей, что давление воды заменяется реакцией кильблоков. Особое внимание на больших кораблях должно быть уделено заклепочным соединениям нижних кильевых уголников. Работа этих заклепок может быть облегчена установкой промежуточных бракет между флюрами, а также плотным прилеганием листа вертикального киля к листу горизонтального киля. Указанные промежуточные бракеты будут также подкреплять вертикальный киль против сжимающих усилий, которым он будет подвергаться в случае расположения книблей между флюрами. Обычно книблей имеют ширину (шиль корабля) от 350 до 400 мм и центры их располагаются на расстояния 1200 мм друг от друга. Эффективный размер центральных

кильблока для больших кораблей в поперечном направлении разделяется приблизительно 1200 мм.

Если корабль докируется на средний и на боковые кильи, то давление на средний киль намного усиливается. Однако и в этом случае следует применять указанные выше меры для подкрепления среднего киля, так как все же нагрузка на вертикальный киль оказывается много больше, чем он может воспринять без особых подкреплений. Эти же меры должны быть применены и для стрингеров, приходящихся непосредственно над боковыми кильблоками. Эти стрингеры должны располагаться непосредственно под продольными переборками, а в случае отсутствия таких переборок они должны быть подкреплены пиллерами.

Особое внимание следует обратить на прочность вертикального киля и прилегающих фланов в месте начала подъема киля, где начинается сжимающаяся часть корыто. При установке больших линейных кораблей на две боковые дорожки кильблоков с каждого борта критическими местами являются также концы внутренних и наружных боковых дорожек. В этих местах корпус корабля сжимается во длине, а на широких кораблях с бортовыми нефтяными системами получается также значительный сдвиг в поперечном направлении. Поэтому в этих районах могут появляться очень большие реакции. При установке в два современных линейных кораблей, имеющих тяжелую бортовую броню и топливные бортовые системы, сжимающиеся ветви выходят за пределы кильблоков. Учитывая это обстоятельство, необходимо назначать достаточную площадь кильблоков и соответствующе подкреплять набор.

Для дубовых кильблоков хорошего качества можно принимать предел текучести равным 32 ат; это напряжение соответствует началу текучести в одном или нескольких кильблоках данного ряда. Среднее давление, получаемое делением общего веса корабля на общую площадь кильблоков, не должно превышать 22 ат, так как необходимо обеспечить значительный запас в случае местной концентрации нагрузки. Для одиночных кильблоков, находящихся под равномерным давлением, предел текучести не следует принимать выше 22 ат, а временное сопротивление на сжатие — выше 65 ат.

Модуль упругости для ряда кильблоков можно принять равным 3200 ат, а для одиночных кильблоков — 2800 ат. При высоте кильблоков 1800 мм и при сжимающем давлении 32 ат кильблоки сжимаются примерно на 19 мм.

3. Пример. Корабль подонесшемицем 12 000 т докируется на средний киль. Наибольшее значение среднего давления на киль принято 1400 кгс/м. Кильблоки имеют ширину (шаг кильблока) 400 мм; центры их находятся друг от друга на расстоянии 1200 мм. Конструкция вертикального киля показана на рис. 141. Высота киля между полками угольников 816 мм, толщина 16 мм. Кильевые угольники соединяются с листом киля заклепками диаметром 22 мм при шаге около пяти диаметров. Вертикальный киль подкреплен фланцами, расположеннымими на расстоянии 1200 мм друг от друга, и промежуточными брандами. Каждый фланцевый и брандовый лист соединяется с вертикальным килем шестью заклепками диаметром 22 мм.

Предположим сперва, что фланцы и брандты находятся непосредственно над кильблоками, и посмотрим, какие срезывающие напряжения будут в этом случае в эпюлах изгибающих моментов в нижних ка-

левых угольников. Общая реакция каждого кильблока, равная $120 \cdot 1,4 = 170$ т, воспринимается заклепками, расположеннымими на 600 мм длины кильевых угольников в бракетах. Общая площадь сечения заклепок равна:

$$1,8 \cdot \frac{\pi}{4} \cdot 2,2^2 \cdot 1,035^2 \left(\frac{60}{3 \cdot 1,2} + 6 \right) = 84 \text{ см}^2.$$

Напряжение в заклепках

$$p = \frac{170 \cdot 10^6}{84} = 2000 \text{ ат},$$

Для уменьшения этих напряжений следует обеспечить непосредственное притыкание листов вертикального киля к листам плоского киля.

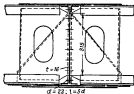


Рис. 141.

Листа, будет работать на сжатие, как элементарная полоска высотой 815 мм и толщиной 16 мм. Эффективное напряжение такой полоски, для которой

$$\frac{x}{t} = \frac{81,5}{1,6} = 51,2,$$

равно

$$p = 2800 \text{ ат}$$

[см. табл. VII, выражение (26)].

Действующее напряжение равно:

$$\frac{170 \cdot 10^6}{40 \cdot 1,6} = 2650 \text{ ат}.$$

Следовательно, действительные нагрузки почти доводят до критической, и поэтому корабль этого типа и этих размеров должен иметь боковые донесные киля.

4. Положение плоскости продольного набора. С точки зрения условий работы продольного набора он будет работать наиболее эффективно при расположении его нормально к поверхности обшивки; в противном случае он будет иметь тенденцию к потере своей плоской формы изгиба. Поэтому продольный набор должен располагаться,

насколько только возможно, нормально к наружной и внутренней обшивке. Исключения от этого правила могут быть допущены только в силу особых условий. Такие случаи могут встретиться при переходе продольного набора в бимески, переборка или палубы. Там, где стрингеры имеют местный изгиб, их необходимо подкреплять. Это подкрепление может состоять из дополнительных пресоальных уголников, идущих по стрингеру на короткие шаги от фюзеляжа до фюзеляжа и соединяющихся с последними коротышками.

Б. Основные детали конструкции. Внутри двойного дна стрингеры состоят из листов и уголников. Листы берутся той же длины, что и листы наружной обшивки, учитывая условия транспортировки и обработки. При этих длинах можно хорошо разогнать стыки стрингеров со стыками соседних поясов внутренней и наружной обшивки. Высота стрингеров, равная высоте двойного дна, обычно равна 900—1100 мм, но на некоторых кораблях она dochходит до 1500 мм. На самых малых корабликах, имеющих двойное дно, эта высота уменьшается до минимума, определяемого возможностью работы в двойном дне. Высота дна в 610 мм может рассматриваться как наименьший прием, ниже которого нельзя идти, хотя в практике на некоторых канонерских лодках были случаи уменьшения высоты двойного дна до 450 мм.

Толщина вертикального киля и стрингеров в районе докового килья не должна быть меньше, чем стандартная толщина наружной обшивки; на некоторых кораблях эти стрингеры делаются несколько большей толщиной. Прочие стрингеры длины могут быть несколько тоньше листов обшивки, с которыми они соединяются. При назначении этих толщин учитывается общая продольная прочность корпуса. Бортовые стрингеры на многих кораблях немного тоньше днишевых. При назначении толщины бортовых стрингеров в первую очередь должна учитываться работа их в качестве индивидуальных балок. Толщина броневого щельфа должна быть, по крайней мере, равна толщине листов наружной обшивки.

б. Угольники стрингеров. Угольники стрингеров служат для соединения листов стрингеров с наружной и внутренней обшивкой и в то же время они входят в площадь осяков стрингеров. Обычно эти угольники — однотавровые, однако, на вертикальном киля и на стрингерах над боковыми погонами килями верхние и нижние угольники должны быть двойными. Двойные угольники должны ставиться также на нефтенепроводящих стрингерах для увеличения жесткости и возможности чеканки с обеих сторон.

Угольники или, по меньшей мере, один верхний, должны делаться непрерывными максимальной, по производственным условиям, длины. Их стыки должны быть хорошо разнесены со стыками других элементов стрингера. Если нижний угольник фюзеляжа делается непрерывным, то в листе стрингераолжен быть сделан соответствующий вырез, а нижний угольник стрингера в этом случае делается интеркостальным. В случае разреза листа стрингера за килем или фюзеляжем оба угольника стрингера должны быть непрерывными с целью восстановления таким путем прочности ослабленного сечения стрингера (см. рис. 145).

В местах, где балки продольного набора расположены не нормально к наружной и внутренней обшивке, угольники, как общее правило, должны располагаться так, чтобы у них получалась разводка на кон-

т. е. чтобы угол между полками был тупой. При сводкой малки работы по маковке, продавливанию отверстий и клепке значительно затрудняются и угольник в этом случае ослабляется больше, чем при разводкой малки. На пневматических стрингерах верхние и нижние угольники должны располагаться на чеканящейся стороне.

7. Отверстия в продольном наборе. В проницаемых стрингерах должны быть вырезаны отверстия таким образом, чтобы обеспечивалась доступ во все отсеки двойного дна. Вырезание отверстий уменьшает вес и увеличивает жесткость стрингеров, как балок эквивалентного бруса. Обычно отверстия вырезаются в каждой пластице, за исключением тех, в которых имеются стыки на соседних панелях наружной и внутренней обшивки или на самом стрингере. Отверстия для прохода должны



Рис. 142.

быть минимально необходимыми размерами. Во многих случаях желательно компенсировать уменьшение прочности стрингеров в местах вырезов отверстий. Это уменьшение прочности может рассматриваться со следующих трех точек зрения:

1. Отверстие уменьшает площадь сечения балки, т. е. уменьшает ее прочность на растяжение и сжатие. Если высота отверстия велика, то прочность балки может оказаться меньше, чем ее прочность по сечению за шпангоутом, и в этом случае подкрепление должно состоять из полос или накладных листов, поставленных выше или ниже кромки отверстия, как это показано на рис. 142.

2. Отверстие уменьшает прочность стекки стрингера, как индивидуальной балки. Если отверстие длинное, то даже при его небольшой высоте должны быть поставлены диагональные утолянки, как пока-

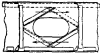


Рис. 143.

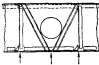


Рис. 144.

зано на рис. 143. С целью подкрепить кромки отверстия в углах располагают угольники приблизительно в направлении действия в этих местах главных напряжений.

3. Отверстие уменьшает поперечную жесткость стекки и, следовательно, ее сопротивляемость действию сосредоточенной поперечной нагрузки, например, реакции кильблоков. Поэтому на стрингерах до конца юлей отверстия должны быть尽可能 наклонными. В необходимых случаях должны быть поставлены подкрепляющие диагональные ребра, как это показано на рис. 144.

Проточные и воздушные отверстия должны прорезываться так, как это показано на рис. 145.

8. Стыковые соединения. Прочность стыкового соединения (т. е. коэффициент его прочности) не должна быть меньше прочности стрингера по линии пересечения его с флором. Обычно этому условию удовлетворяет двухрядный заклепочный стык швакрой, но на практике часто применяется трехрядный заклепочный шов. Вертикальный хиль,

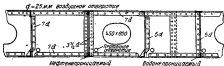


Рис. 145. Водонепроницаемый стрингер.

если он проекцируется, соединяется на двойных пластинах с трехрядным заклепочным швом. Водо- и нефтепроницаемые вертикальные хиль имеют стыки на ординарных пластинах или швакрой. Прочие непроницаемые стрингеры должны также иметь на стыках или ординарные пластины или перекрои на три ряда заклепок. Ординарные пластины должны ставиться с нечеканимшейся стороной, а в случае необходимости чеканки — с двух сторон, например, в случае нефтепроницаемых стрингеров эти пластины должны или перекрывать всю высоту стеки, или концы их должны быть скончены и подведены под угольники. Эти

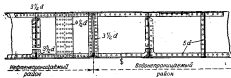


Рис. 146. Вод- и нефтепроницаемый стрингер.

трудности исключают стык швакрой, который легко чеканится с одной и другой стороны. Поэтому для непроницаемых соединений стык швакрой более простой, легкий и дешевый, предпочтительнее по сравнению со стыком на ординарной пластине.

9. Конструкция деталей. На рис. 145 и 146 показаны типовые конструкции проницаемого и водо- и нефтепроницаемых стрингеров в районе второго дна, применявшиеся на кораблях американского военно-го флота. Следует отметить, что при встрече водонепроницаемого стрингера с проницаемым флором, чтобы не нарушить непрерывности шпангоутного угольника флора, нижние угольники стрингера делаются

интеркостальными, но концы их изгибаются, как это показано на рис. 147; зато при встрече с непрерывным флором никакие угольники стрингера остаются непрерывными, как об этом было сказано выше в п. 6.

10. Продолжим набор вне двойного дна. После выхода стрингеров из двойного дна их конструкция обычно изменяется. В нижней части днища вне двойного дна, где поверенные флоры высокие, стрингеры тоже должны иметь такую же высоту, чтобы они могли эффективно подкреплять флоры. Обычно стрингеры здесь делаются интегральными, хотя как уже было сказано выше, на длиных и быстроводных

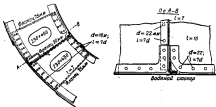


Рис. 147. Переходение непрерывного стрингера с флорами.

кораблях первый стрингер с успехом может быть непрерывным. В некоторых случаях непрерывные связи в виде углобульбоз, воробьев или просто угольников ставятся поверх флоров для лучшей передачи всех балок набора (рис. 148). Интегральные листы стрингеров должны прочно соединяться с наружной обшивкой и флорами короткими угольниками.

По бортам, где шпангоуты имеют более узкие полки, предпочтительнее применять конструкцию с полунепрерывными стрингерами, состоящими из непрерывных листов, коробок или зетов, вырезанных из шпангоутах. Такая конструкция приведена на рис. 149, где показан также переход от высокого стрингера внутри второго дна к более низкому вне района двойного дна.

11. Стрингеры крейсеров и миноносцев. Конструкция стрингеров на крейсерах не отличается существенно от их конструкции на линейных кораблях.

На миноносцах обычно отсутствует двойное дно. Кроме вертикального пила и одного или двух стрингеров с каждого борта, имеющих ту же высоту, что и шпангоуты, остальные балки бортового и палубного продольного набора делаются из коробок или другого профиля небольшой высоты, на которых шпангоуты разрезаются. На многих современных кораблях применяется тавровый профиль, привариваемый к наружной обшивке.

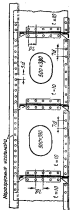


Рис. 148. Нижний продольный стальной стяжной набор для санитарных дверей.

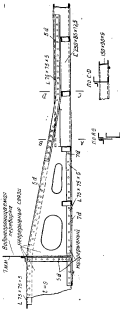


Рис. 149. Составные стяжные наборы для санитарных дверей из полированной стали.

54. Конструкция поперечного набора

Стеки поперечного набора располагаются в поперечных плюсностях, нормальных к грузовой палубе, причем шпангоуты нумеруются начиная с носа или кормы. Промежуточные шпангоуты даются дробные номера, так, например, обозначение 64½ относится к промежуточному шпангоуту, лежащему между 64 и 65 основными шпангоутами.

Полки нижних, так называемых шпангоутных утюльников, соединяющих шпангоуты с наружной обшивкой, должны быть направлены к мидии, чтобы избегнуть сквозных ямок. Верхние, или обратные,

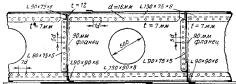


Рис. 150. Листовой пакетный фар.

утюльники флор имеют такую же толщину, что и нижние утюльники, и поэтому их полки образуют плавную поверхность для внутреннего металлического или деревянного настила. Это же правило относится и к полкам коробчатых и зотовых шпангоутов.

1. Шпангоуты двойного дна. Эти шпангоуты обычно называются флорами. Этот термин перешел от деревянных кораблей, на которых применялись деревянные шпангоуты, пересекающие киль. Во времена железного судостроения этот термин применялся к нижней пакетной части поперечных шпангоутов, которые часто проходили непрерывно через киль. Этот термин применялся и в стальном судостроении для нижней части шпангоутов как внутри, так и вне двойного дна. В настоящее время этот термин относит к шпангоутам в пределах второго дна. Такие флоры, обычно изстекловых, будут описаны ниже. Флоры бывают трех типов: листовые, бракетные и водо- и нефтепропицаемые.

1. Листовые флоры состоят из листов от одного стрингера к другому листов, облегченных вырезами, которые должны делаться с учетом условий жесткости и прочности, как об этом было сказано выше применительно к стрингерам. Этот тип флоров применяется в местах, где находятся тяжелые грузы и где действуют большие динамические нагрузки, как, например, под машинами, под башнями, в районе лебедочных валов, кронштейнов и др. Этот тип флоров следует также применять для образования прочных шпангоутовых балок, и поэтому его рекомендуют для редко расположенных шпангоутов (рис. 150).

Флорные листы соединяются со стрингерами при помощи отогнутых фланцев или коротких утюльников. Отгибание фланцев делается и

легче, чем соединение уголниками, но при этом жесткость соединения получается меньшей. Поэтому, например, бортовые флоры, нагруженные весом бортовой брони и могущие подвергаться действию подводных изгибов, должны крепиться на уголниках. Для получения поз-

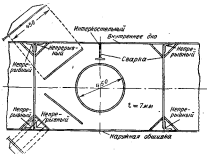


Рис. 151. Листовой сварной флан.

можно большой прочности все уголники, крепящие флоры, надо ставить на всех флорах каждого фланцевого шпангоута с одной и той же стороны. Соединение флоров с наружной и внутренней обшивкой должно осуществляться уголниками, имеющими достаточные раз-

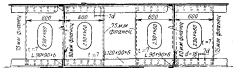


Рис. 152. Браштый флан.

меры для получения надлежащего заклепочного соединения. На американских кораблях нижние уголники всегда делаются непрерывными, а внутренние — интеркостальными. На английских кораблях оба уголника делаются интеркостальными. На рис. 151 показана сварная конструкция флора.

2. Браштые флоры (рис. 152) состоят из легких брашт, по две в каждом пространстве между стрингерами, обложенных раз-

реками. Между кромками бракет оставляется расстояние шириной около 400 мм, достаточное для прохода. Бракеты соединяются с листами наружной и внутренней обшивки уголниками — прямым и обратным, достаточных размеров для поддержания этих листов. Соединение бракет со стрингерами может быть сделано из фланцев; для возможности теканий с нефтепроницаемыми стрингерами бракеты соединяются уголниками. В целях увеличения жесткости на свободных кромках бракет отливаются фланцы. Бракетные фланцы применяются для образования проницаемых шпангоутов, не требующих большой прочности.

3. Водо- и нефтепроницаемые флоуры делаются из более толстых листов, и, если они интегральные, то имеют обеюличные уголники вокруг всего контура, как показано на рис. 153. Эти

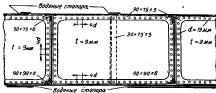


Рис. 153. Водоизоляционный флоур листовой конструкции.

уголники на нефтепроницаемых флоурах, а иногда на водонепроницаемых, делаются двойными. В флоурах, особенно нефтепроницаемых, важно обеспечить большую жесткость, необходимую по условиям теканий. При большом давлении флоуры стремятся выпучиться, причем они тянут второе дно и могут расстроить теканию. Этого не будет, если непосредственно над флоурами находятся поперечные переборки. В противном случае флоуры должны быть подкреплены вертикальными ребрами, как это показано на рис. 153. Ребра должны иметь длину, достаточную для поставки по их концам по одной заклепке, которую прикрепляется через обеюличные уголники. Последние должны иметь водо- или нефтепроницаемую клейку и края их должны теканиться по всему контуру. Нефтепроницаемые флоуры теканиются с двух сторон. В некоторых местах, как показано на рис. 153, должны быть поставлены стопора. На рис. 154 показан непроницаемый флоур сварной конструкции, на рис. 155 — типовой водонепроницаемый флоур, применяемый в английском флоте¹. Диагональные ребра служат для распределения реакций калибровок при поставках корабля в док.

4. Промежуточные шпангоуты. Под машинными фундаментами и в других местах, где днище подвергается большим усилиям, ставят промежуточные шпангоуты в виде легких флоуров. В водяных и нефтяных системах на внутреннем дне должны быть поставлены добавочные крепления в виде промежуточных ребер посередине шпа-

¹ J. J. Welch, Naval Architect, 1927.

ши, отогнутых вниз из стрингеров для крепления их концов листами с заклепками. При расстоянии между шпангоутами около 3400 мм настил внутреннего дна должен быть подкреплен поставленными на пологие, а может быть и на трех и двух третях шпангоутах уголниками жесткости, отогнутыми с одной стороны вниз на всю высоту стрингера.

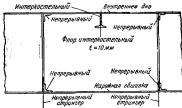


Рис. 154. Водо- и нефтеизолирующий фтор сварной конструкции.

3. Шпангоуты вне двойного дна. На больших кораблях шпангоуты палубы делаются усиленного типа; они состоят из облегченных вырезами листов с прямым и обратным шпангоутными утолщением. В местах же, где шпангоуты не подвергаются большим усилиям и где они хорошо подкреплены палубами, они могут состоять только из коробок или зотов. Концы таких шпангоутов крепят к вертикальному килью фланцами листами, а в случае просадки они к краиному междурулонному стрингеру и к броневой палубе это крепление осуществляется при помощи высоких клинц. На рис. 155 показано сварное соединение шпангоута с двойным дном на современном корабле. Сечение

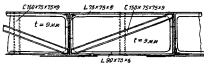


Рис. 155. Водонепроницаемый фтор, прыгавший к вертикальному килью, шпангоута этого типа могут быть рассчитаны так же, как стойки диптиков.

3. Шпангоуты позади брони. Шпангоуты позади брони могут быть круглые — уширенные и обычновенные из шиндеров, или зотов, как об этом было сказано в разд. 31, п. 8 (см. рис. 137). Иногда все шпангоуты делаются одного типа — или уширеными или обычновенными. Уширенные шпангоуты изготавливаются из листов, обычно облегченных вырезами, хотя, по видимому, отверстия в таких шпангоутах, под-

вергающихся большими перерезывающими усилиями, нежелательным. Эти листы соединяются двойными уголниками с обшивкой позади брони и с палубой, на которой они стоят; верхний из концов крепится неподвижно к бимсу. Обычно эти листы ушириваются к верхнему и нижнему концам, для того

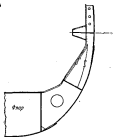


Рис. 156. Конструкция сварного соединения шпангоута с двойным дном.

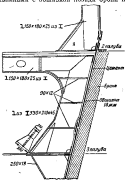


Рис. 157. Конструкция сварного набора позади брони.

чтобы получить большую площадь зажелок, воспринимающих срезывающие усилия по концам шпангоутов. Внутренние кромки листов защелываются двойными уголниками. Шпангоуты из профильной стали, поставленные между уширениями, по концам должны крепиться при помощи складных книц. На рис. 157 показан сварной шпангоут позади брони на современном линейном корабле, на котором применена в значительном объеме сварка.

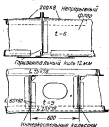


Рис. 158. Конструкция книц из алюминиевых крейсеров третьего класса.

4. Шпангоуты на малых кораблях. На легких крейсерах шпангоуты внутри днищного дна конструкируются так же, как и на линейных кораблях, но размеры их соответственно меньше. По бортам выше днищного дна, также и выше броневой палубы, шпангоуты состоят из коробок или листов, соединяющихся при помощи высоких книц с крайним междуурядным стрингером по типу, показанному на рис. 156.

При наличии бортовой брони шпангоуты делаются из более тяжелых катовых профилей или составными по типу укрепленных шпангоутов.

На канонерских лодках и на малых крейсерах с умеренной скоростью преобладающее значение имеет поперечная прочность. При отсутствии второго дна листы фтор вместе с их обратными уголниками целесообразно делать непрерывными, пересекающими вертикаль-

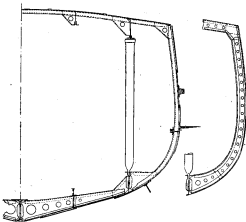


Рис. 153. Марка-спасатель минносца водоизмещением 600 т, старой постройки.

ный киль, так как продольная прочность обеспечивается непрерывными нижними и верхними кильевыми уголниками; верхние кильевые уголники в этом случае проходят поверх фтора. Эта конструкция, показанная на рис. 158, применяется на некоторых английских крейсерах третьего класса.

На минносцах шпангоуты делаются из легких углобульбов, или из прямых и обратных уголников, связанных с флюрными листами в районе днища. Унифицированные шпангоуты состоят из облегченных вырезами листов с прямыми и обратными уголниками, как это показано на рис. 159.

На современных минносцах поперечный набор изготавливается из виде усиленных шпангоутов, расположенных на расстояния 1800—

2450 мм друг от друга, идущих непрерывно вокруг всего контура корпуса по бортам и под палубой, к которым они привариваются.

На однокорпусных подводных лодках овального или круглого сечения рамной постройки шпангоуты ставятся внутри корпуса по всему контуру; состоят они из коробчатого или зотового профиля или из уголника. Флоры ставятся под машинами и под аккумулятор-

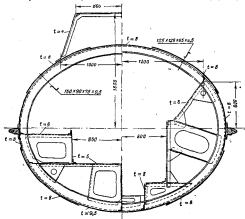


Рис. 160. Надуль-шпангоут военной лодки рамной постройки.

ными батареями, т. е. практически на всей длине подводной лодки. На рис. 160 показано типовое сечение такой подводной лодки.

Как было сказано в разд. 16, последние подводные лодки большинства размеров изготавливают двухкорпусными, причем внутренний прочный корпус имеет правильную круговую форму сечения; наружный легкий корпус делается из тонких листов. На многих первых подводных лодках этого типа, как, например, на германских, показанных на рис. 161, сохранены внутренние шпангоуты. Набор в легком корпусе состоит из легких стоек и книц, рассчитанных на поддержание лишь наружного легкого корпуса, не подвергающегося большим давлениям.

На современных подводных лодках даже большого размера внутренний прочного корпуса шпангоутов не ставят и весь набор располагается в междукорпусном пространстве и имеет такую прочность, которая

обеспечивает сохранение прочным корпусом круглой формы и, следовательно, обеспечивает полное использование прочности наружной обшивки прочного корпуса.

На рис. 162 показано сечение подводной лодки, на которой конструкции шпангоутов сделаны по тому же типу, что и конструкции об-

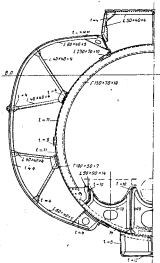


Рис. 162. Шпангоут германской подводной лодки „UB-III“.

легчайших флангов двойного дна надводных кораблей. Катаный профиль, непосредственно соединяющийся с обшивкой внутреннего прочного корпуса, должен быть особо прочным и жестким.

Набор прочного легкого корпуса в верхней части подводной лодки может быть очень легким, так как в этом случае легкий корпус при погружении не испытывает никакого давления. Однако этот набор

должен иметь достаточную прочность, соответствующую условиям плавания подводной лодки, как обычного корабля, в надводном положении. На подводной лодке только вертикальный киль и верхние стрингеры

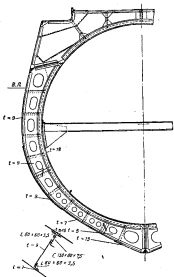


Рис. 112. Модель-шпакиут современной подводной лодки.

теры балластных систер являются непрерывными продольными балками. Продольная прочность корпуса подводной лодки обеспечивается листами наружной и внутренней обшивки; поперечный набор является интеркостальным между указанными непрерывными продольными балками. На современных подводных лодках весь "набор" делается сварным.

55. Клепка набора

Шаг заклепок сильно изменяется в зависимости от назначения заклепочного соединения. Заклепочные соединение, имеющие назначение лишь связать листы с уголниками и не подверженные большому срезу или растяжению, имеют шаг 7—8 диаметров. Такой шаг обычно применяется для соединения шпангоутов с обшивкой, но в местах, где шпангоуты имеют малую высоту и большие прогибы, а также в местах, подверженных вибрации или перекинным усилиям, шаг заклепок уменьшается до $5\frac{1}{2}$ —6 диаметров.

В местах, подверженных растяжению, например, в заклепочных соединениях шпангоутов со вторым дном, шаг заклепок уменьшается и не должен быть больше 5 диаметров. На кораблях, установленныхых вдоль только на кильблоки, расположенные в диаметральной плоскости, шаг заклепок по вертикальным полкам нижних юртынгутов должен быть равен 4—5 диаметрам. Брандтским фланцам больших кораблей для обеспечения необходимой жесткости должны иметь двойной заклепочный шаг во временных и обратных шпангоутных уголниках при шаге заклепок 6—7 диаметров. Для обеспечения заданной прочности шаг заклепок должен быть $4\frac{1}{2}$ —5 диаметров, но в обвязочных уголниках восстановленных фланцев шаг заклепок не должен превышать 4 диаметров во избежание расстройства членки, когда давление действует с измененной стороны.

56. Сварка набора

1. Стрингеры. В средней части длины больших кораблей стрингеры соединяются с наружной и внутренней обшивкой при помощи клепки, но все стыковые соединения в соединении с фланцами и листами добавочными подкреплениями осуществляются сваркой. Благодаря этому пересечение продольного и поперечного набора в двойном дне получаются значительно прочнее и проще, чем при применении клепки, и вся конструкция может рассматриваться как упругая ортотропная пластина или платформа.

В оконечностях больших кораблей стрингера привариваются к наружной обшивке. В стрингерах, облегченных вырезами, кромки вырезов обычно подкрепляются приваренными полосками, или листами профилей, расположеннымими нормально к листу и вдающими по всему периметру вырезов. Подкрепляющие вырез полосы заменяют полоски к уголникам, показанные на рис. 142, 143 и 144.

2. Поперечный набор. Поперечный набор, как было отмечено в гл. X, обычно делается сплошь сварным как в части образования сажах балок набора, так и в части соединения их с корпусом. Могут быть оказания в отношении приварок поперечного набора к наружной обшивке, так как при этом создается непрерывная линия остаточных напряжений, могущая ослабить кирпуч в большей степени, чем ослабление, получавшееся по линии заклепочного шага. Однако испытания и опыт не подтверждают этих опасений.

Конструкции и соединения сварных фланцев исключительно просты, как это видно из рис. 151 и 154. Пронизанный фланец представляет собой прямоугольный лист, углы которого обрезаны и после этого отогнуты для образования подкрепляющих фланцев. Четыре кромки фланцевого листа привариваются к наружной и внутренней обшивкам и к

стрингерам. Облегчивающие отверстия можно вырезать кислородной горелкой после приварки флоры на место, благодаря чему уменьшаются осмоточные напряжения. Непроницаемый флот представляет собой прямоугольный лист, обваренный вокруг всех его четырех кромок.

Все флоры привариваются с двух сторон. Бракетные флоры, устанавливаемые между основными флорами для дополнительного подкрепления вертикального киля, представляют собой прямоугольные листы, приваренные к плоскому и вертикальному килю и к настилу внутреннего дна. К пакетам, соединяющимся с рубашкой позади бортовой брони, учитывая, что рубашка изготавливается из броневой стали, непригодной для сварки, привариваются полоски из мягкой стали, которыми они затем прикрепляются к рубашке. Однако сварка так быстро прогрессирует, что эта прикрепляющаяся полоска станет скоро излишней.

3. При описанной выше конструкции флор отпадают трудности, существовавшие раньше из-за наличия непрерывных нижних шпангоутных угольников флота. Как нижний, так и верхние угольники стрингеров при сварке делаются непрерывными и прикрепляются. Различные подкрепляющие ребра в районе вырезов, показанные на рис. 142—144, которые раньше прикреплялись к флотам, теперь привариваются к флотам и стрингерам.

Простота сварных конструкций и легкость, с которой могут быть установлены различные подкрепления не только во время постройки корабля, но и позже, в чем часто встречается необходимость, являются значительными преимуществами сварки.

ГЛАВА XII

ШТЕВНИ. НАБОР В ОКОНЕЧНОСТЯХ

57. Форштевень и боковой набор

1. **Общие замечания.** Форштевень является граничным шпангоутом в носу. Рассматривая форштевень как продолжение вертикального кния и как крайний поперечный шпангоут, можно сказать, что в нем продолжают и пограничные системы набора переходят друг в друга.

Раньше форштевени предназначались для специальной цели — таранения; этому способу нападения в настоящие времена уже не придается прежнего значения. Тем не менее, остается возможность случайного таранения, т. е. столкновения, а также удара штагом о грунт, стены набережной или о другие препятствия. Для удовлетворительной работы в этих условиях форштевень должны быть способными сопротивляться большим давлениям и передавать их на другие скны. Поэтому форштевень должен обладать большой прочностью и жесткостью и иметь соответствующее соединение его с корпусом. При столкновении или таране прежде всего получается сильный продольный удар, однако, если в тот же момент корабль повернется, как это обычно и бывает, то появляются усилие, вызывающее боковой изгиб, при котором форштевень таранившегося корабля может отломаться. Если при столкновении форштевень ударится о бронированную палубу таранившего корабля, то весьма вероятен поперечный излом форштевня в вертикальной плоскости и разрыв наружной обшивки. При ударе корабля во время хода о подводную скалу на нижнюю часть форштевня будет действовать ударная нагрузка, могущая изогнуть его поперечный излом.

2. **Материал.** В первое время железного судостроения форштевни изготавливались из железа, и этот материал до сих пор еще применяется на коммерческих судах. На современных военных кораблях форштевни для применения сварки обычно делаются из кованой или литой стали. Кованая сталь обладает большой вязкостью и прочностью и поэтому является лучшим материалом для форштевней, но она пригодна только для форштевней простой формы. Литая сталь обладает тем преимуществом, что ее можно легко придать любую форму; она очень прочна, но недостаточно пластична. Поэтому литая сталь применяется для форштевней сложной конструкции, требующих для соединения их с корпусом фланцев, ребер и других выступов. Применение форштевней из литой стали часто вызывает опасения из-за их склонности к образованию трещин и излому при ударах, случающихся при столкновении и таране. Однако в настоящие времена литая сталь делается достаточно однородной и достаточно хорошего качества. Раковины и другие скрытые внутренние изъяны в опилках можно обнаружить X-лучами при помощи так называемо-

мого дефектоскопа, а усадочные напряжения можно удалить отжигом. Кроме того, усилия при таранении и столкновении не могут рассматриваться как чисто ударная нагрузка для форштевня, так как скорость при таких ударах редко превышает 3—6 м/сек. Обычно таран ударается о сравнительно мягкую часть корпуса тараненного корабля и не наносит серьезного препятствия до момента касания форштевня с бронзовым щельфом. Поэтому явление иноср. характер индивидуального, но некоторатого продолжения, когда тело большой массы и жесткости, упираясь своим концом в мягкое тело машины, с усилием проникает в последнее. Кроме того, скорость удара уменьшается вследствие коллативности тараненного корабля, фактическое движение которого обычно сопровождается поворотами в горизонтальной плоскости и изменениями угла крена. Сравнительно спокойный характер удара при столкновении подтверждается частыми заявлениями команд, что при столкновениях больших кораблей удар вовсе не ощущается и что их поражает величина попреждеий («Батавии»). Следовательно, сравнительно малая ударная износостойкость стальных листов не может выступать существенным препятствием к применению его для изготовления форштевней. Поэтому в течение многих лет этот материал является стандартным для форштевней военных кораблей.

На малых кораблях, например, на минносцах, форштевни делаются из прямоугольной полосы квадратной стали, часто в соединении с листом нижней части.

Главным преимуществом стальных отливок является удобство и износостойкость их соединения с конструкцией таранной носовой оконечности корабли. Однако, несмотря на все достижения металлургии и литьевого дела, литье форштевни имеют большой вес. На современных военных кораблях экономия веса является основным принципом конструирования, и особенно важнейшим является тяжелый форштевень на современных быстроходных кораблях большой длины, на которых концентрация веса иноср. увеличивает килевую качку. Если бы конструкции из листов могли заменить литье, то можно было бы скромовать вес и в то же время обеспечить надежное соединение форштевня с корпусом корабля.

Возможность таранения и столкновений кораблей следует рассматривать как отдельные случайности. Эксперименты в оптовом бассейне показывают, что закругленные и притупленные формы форштевней благоприятны и с точки зрения износостойкости кораблей. Поэтому листовая и профильная сталь практически начали применяться для изготовления форштевней, особенно вертикальных частей. Сначала листовая часть форштевня заканчивалась у верхней кромки брони или у второй палубы и плавно заменялась выпнутым листом, нижний конец которого соединяется с верхним концом отливки на заклепках. После введения сварки изготовление штевней из судостроительной стали значительно облегчилось получившая возможность конструировать штевни из отдельных частей, состоящих из простейших элементов. В последнее время стальную литье применяется лишь для изготовления нижней части форштевня, где форма обводов корпуса или иные условия вынуждают в этом необходимость.

3. Форма и протяженность. На современных кораблях форштевни делаются прямолинейными, вертикальными или с наклоном в иске некоторой высоте выше водоразличия, что придает обводам вид клипер-

ского дока. Сочетание этой формы с развалом шпангоутов предохраняет нас от зашивания в борту. Тарана в польской части форштевня, как это было на старых броненосцах, теперь не делают. Принята линия форштевня внизу делает крутой поворот к килю; в угле поворота устанавливается накладка для крепления троса парашана. Нижняя, башмачная часть форштевня, обычно листая, позволяет просто и надежно соединять штевень с конструкцией киля (рис. 163).

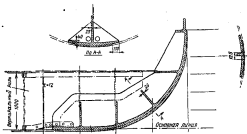


Рис. 163. Нижняя листая часть штевня современных линкоров.

4. Общие принципы конструкции. Форштевень, если он сварной, должен состоять из сваренных острых листов толщиной не меньшей стандартной толщины наружной обшивки. Он должен быть хорошо подкреплен ребрами и диафрагмами для защиты от повреждений при сравнительно небольших у daraх, которые могут случиться в гавани, и даже при плавании во льдах. Чрезвычайно важно, чтобы усилия любого происхождения, возникающие при у daraх, подавлялись шире и равномернее передавались на прилегающие части конструкции корпуса и чтобы при этом получалась наименьшая деформация. Для этого должны быть обеспечены плавный переход от конструкции форштевня к конструкции самого корпуса.

5. Крепление к корпусу. В соответствии с указанными выше принципами, крепление форштевня к корпусу на больших кораблях осуществляется следующим образом:

1. Листы широкой обшивки, обычно в носу — двойные, при листом форштевне должны быть соединены с ним в шпунт двойным рядом защелок. Если форштевень сварной, то кромки листов обшивки должны быть к нему приварены. Это относится также и к листам горизонтального киля.

2. Все палубы должны присоединяться заклепками или сваркой к горизонтальным ребрам, которые для этой цели должны быть как в листом, так и в сварном форштевне.

3. Некоторые стрингеры, доходящие до форштевней, должны переходить в горизонтальные браншуки, сделанные из облегченных отвер-

стками листов и соединенные с горизонтальными ребрами форштевня, так же как и палубы. Такие брештуги должны устанавливаться по середине высоты между палубами; желательно, чтобы они были соединены спаркой с ребрами форштевня.

4. Вертикальный киль должен прочно соединяться с вертикальным ребром днища форштевня или же привариваться к нижней части форштевня. Нижние и верхние кильевые уголники должны быть соединены с форштевнем при любой его конструкции. Важно, чтобы нижняя часть форштевня была хорошо спрета и имела достаточную жесткость; следует учитывать, что не исключена возможность удара его о грунт.

5. Поперечные фланцы должны быть так связаны с форштевнем, чтобы он мог воспринять на себя вертикальные усилия в случае касания форштевнем грунта. В тех случаях, где это возможно, в районе форштевня должны быть поставлены промежуточные фланцы, с таким расчетом, чтобы образовалась швации длиной около 600 мм.

Форштевень из судостроительной стали, имеющий указанные выше подкрепления, не будет подвергаться таким общим деформациям, какие могут быть при столкновениях в случае сплошного литья форштевня. Местные повреждения избежаты, но общее проектируемое давление в боковой изгиб будут восприняты первым — большим числом продольных связей, соединенных с форштевнем, а второй — всей конструкцией, работающей как сложная балка, стеками которой служат палубы и брештуки, а поясами — бортовая обшивка. Нижняя часть форштевня для восприятия реакции при посадке на мель должна быть хорошо спрета и подкреплена фланцами и переборками.

При ударах о грунт или столкновениях вообще необходимо избегать течи в коробки в районе форштевня, поэтому в носовой части корпуса, непосредственно позади форштевня, должна быть установлена таранная переборка.

6. Отливка и детали конструкций. Трудность получения хорошей отливки усиливается при увеличении ее веса и размеров. В больших и тяжелых отливках усилия при остывании вызывают большие внутренние напряжения и опасность образования трещин. Поэтому литья штамп должен быть настолько легким, насколько это допускается прочностью и возможностью получения хорошего литья. С этой целью отливка облегчается выемками; жесткость ее обеспечивается ребрами, размещаемыми друг от друга на расстояниях, равном половине расстояния между палубами, а в местах, требующих местного усиления, эти ребра ставят чаще. Средняя толщина основного тела отливки большого форштевня должна быть 60—65 мм, увеличиваясь до 75 мм и более в местах, подвергающихся большему местному усилию. Толщины боковых фланцев уменьшаются на их кромках до 40—25 мм на больших кораблях и до 20—15 мм на малых. Ширина этих фланцев не должна быть больше, чем нужно для образования шпунта. Ребра, подкрепляющие фланцы, должны иметь высоту, равную высоте фланца; исключение составляют ребра, соединяющиеся с палубами или брештуками, высота которых должна быть увеличена. Толщина ребер в близких отливках должна быть 25—40 мм.

Как общее правило, необходимо избегать резких изменений толщины, так как при остывании тонкие части отливки, охлаждаясь быстрее, чем толстые, отсасывают металл от последних, вызывая поплавание в них пузырей. По этой же причине всякие выступы на массивных частях могут

вызвать трещины, разрывы, местные напряжения и искажение формы. В небольших отливках выступающие части можно делать тоньше, чем в больших. Указанных здесь дефектов по некоторой степени можно избежать, располагая в соответствующих местах прибыли.

7. Клепка и сварка. Для клепки форштевня на больших судах приходится применять заклепки большого диаметра (20—38 мм) и очень большой длины. Следует избегать применения заклепок длинее 6—7 диаметров, заменяя их, где нужно, гужонами. Заклепки во избежание уменьшения его ширинки должны располагаться в шахматном порядке. Диаметр этих заклепок должен быть на 6 мм больше, чем требуется по толщине листов.

При сварке конструкций форштевня возникает много проблем, связанных с его сборкой, которые нельзя еще считать решенными.

8. Малые корабли. Форштевни крейсеров существенно не отличаются от форштевней линейных кораблей, но имеют более простую и легкую конструкцию. На современных минносцах верхняя часть форштевня изготавливается из сварных листов закрученной формы, нижняя часть обычно выполняется из поковки. Если форма этой части форштевня не очень сложная, то кованой конструкции следует отдать предпочтение по сравнению с литьем.

58. Ахтерштевень и кормовой набор

1. Назначение ахтерштевня. Ахтерштевень заканчивает набор кормовой оконечности корпуса. Кроме того, он предназначен для выполнения следующих функций:

1) поддерживать руль и ограничивать его вращение;

2) поддерживать гребной вал или валы; это осуществляется или непосредственно, когда страпост поддерживает кормовую конец лебединых труб, или посредством кронштейнов вала, нижние лопти которых крепятся к ахтерштевню;

3) защищать руль и винт от повреждений в случае посадки корабля на мель.

На многих современных кораблях, имеющих срезанный лейдвул и частично или полностью полусферические рули, ни руль, ни средний винт и прямом смысле такой защиты не имеют. Однако в этом случае нижней грани руля и винта должны находиться достаточно высоко над нижней частью килья.

На малых односекционных кораблях ахтерштевень обычно выполняет свою защитную функцию. Его нижняя часть является обычно плавящейся точкой корпуса корабля и может подвергаться значительным вертикальным реверсивным усилиям при постановке в док и при посадке на мель.

2. Материал. Сказанное выше о материале форштевня относится и к материалу ахтерштевня. Однако, вследствие более сложной формы ахтерштевня, здесь более широко применяется литья стали, особенно на больших кораблях. На малых кораблях, особенно на канонерских лодках и минносцах, ахтерштевни благодари их простой форме изготавливаются коваными из стали или сварочного железа. Такие поковки могут быть изготовлены из обрезков железа или стали. Обрезки стали дают более прочную и пластичную поковку, но в местах сварки прочность едва ли равна прочности сварочного железа; из этой причине сварочное железо преимущественно и применяется в таких случаях.

На современных кораблях широко применяются сварные конструкции из судостроительной стали, обычно в сочетании с отдельными коваными и литьими деталями, подвергавшимися значительной механической обработке.

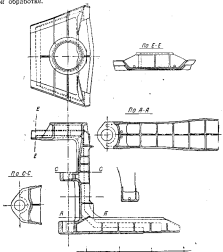


Рис. 164. Актерштевень четырехвинтового линейного корабля.

3. Рулерност. Та часть актерштевня, которая несет руль, называется рулерностом. Рулерност располагается вертикально и снабжается приводами для рулевых пиль, предназначенными для подвески руля. Он поддерживается большим переменным поперечным усилением вследствие движения воды на руль. На трехвинтовых кораблях рулерност обычно выступает выше вали кронштейна, на котором устанавливается только один рулевой штырь. Рулерност четырехвинтового корабля показан на рас. 164; так как здесь действует заканчивается далеко в руль подбалансирный, то рулерност в этом случае имеет уменьшенную высоту.

Английский линейный корабль «Dreadnought», постройки 1905 г., имеет для балансирных рулей и четыре винта.

На современных кораблях традиционная U-образная форма обводов кормовой оконечности, большой дельтауд и руверность, идущий винт до кии, больше не применяются. Форма обводов кормовых шпангоутов делается почти плоской или очень открытой U-образной. Подъем кииа начиняется далеко от ахтерштевня; линии баковых имают плавкий подъем по направлению к килю без каких-либо точек перегиба, пра-

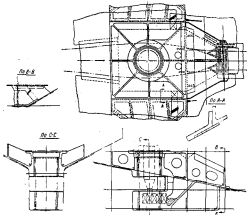


Рис. 165. Литой ахтерштевень крейсера с кронштейном для руля.

ближаясь во форме к ботексам быстроходных моторных лодок с широкой и плоской кормой. Рули обычно поддерживаются кронштейнами небольшой высоты.

На рис. 166 показан ахтерштевень современного крейсера с низким кронштейном для руля.

Кронштейн нагружается большими боковыми изгибающими усилиями, передающимися на него штырем руля, приложенным в самой японской точке кронштейна. По этой причине кронштейн должен конструктироваться как консольная балка с возможно меньшей высотой. Известно много случаев поломки кронштейнов военных и коммерческих судов. Кормовая вертикальная часть кронштейна является рудерпостом. Она обычно делается более широкой килю и служит до размера киля на нижнем конце. Чтобы не увеличивать сопротивления воды при

ходе корабля, кронштейн спереди должен иметь обтекаемую форму, а руль должна быть достаточно широким изверху и сужаться к кормовой кромке, образуя хорошо обтекаемые линии.

На рулерпосте вблизи верхней кромки руля делаются призмы, предотвращающие для ограничения угла поворота руля. В верхней части рулерпоста обычно располагается отверстие или выкружка для прохода через неё внутрь корпуса баллера руля. Отверстие это должно иметь достаточные размеры для установки подшипников и сальника баллера руля. На кораблях, на которых руль и баллер составляют одно целое, для установки и снятия руля необходимо руль извлекать. В этом случае отверстие в рулерпосте должно быть соответственно увеличено.



Рис. 166. Кормовые кронштейны на однокингтовых миноносцах старой постройки.

ушиняясь книзу. В верхней части выкружки по ее окружности обычно располагается фланец, на котором укрепляется сальниковая коробка и устанавливается горизонтальное опорное кольцо, воспринимающее вес руля.

Плоская форма и подвесные или почти подвесные рули, применявшиеся на «Gladstones», были предложены Торнэрофтом на его стирых миноносцах. Эти миноносцы имели по два подвесных руля и по одному анту, который выступал выше ини. Для ограничения гакта применялись кованые или латунные кронштейны показанный на рис. 166 конструкции. Подобные кормовые кронштейны часто устанавливаются в диаметральной плоскости двухキングтowych миноносцев для защиты винтов, а в некоторых случаях — и для поддержания штира среднего руля. Кронштейны для ограничения винтов и рулей получили широкое применение на подводных лодках.

У однокингтowych канонерских лодок форма кормы обычно такая же, как и у клиперических судов (рис. 167). Актерштевень у них состоит из рулерпоста и старпоста, соединенных изверху аркой, а снизу — в одиночной. Актерштевень, таким образом, ограждает винт, который размещается в отверстии между старпостом и рулерпостом. В этой конструкции обычно нет отверстия для прохода баллера руля. Рулерпост продолжается вертикально внутрь корпуса судна до верха трапециевидного флюта, где он и соединяется с корпусом. Эта конструкция, однако, имеет большой вес и ее целесообразно применять только при кованом актерштевене простой формы. Латунный актерштевень может быть сконструирован более легким и прочным, располагая в передней части рулерпоста фланцы и ребра.

4. Старпост и помощь актерштевеню. Старпост делается только на однокингтowych и трехキングтowych кораблях. В нем закрепляется конец вейпштукской трубы. На современных трехキングтowych кораблях он имеет

вид отдельной отливки, соединенной при помощи сварной листовой конструкции с пяткой рулевого поста. Задняя кромка стяжности должна иметь плоские обводы. Если необходимо, то делается отъемная кронштеймами наделка, заполняемая деревом. Подошва ахтерштевня одноконтильных кораблей должна обладать большой прочностью в поперечном направлении, чтобы воспринимать поперечную составляющую давления воды на руль. Поэтому она часто имеет плоскую форму или снабжается широкими горизонтальными ребрами.

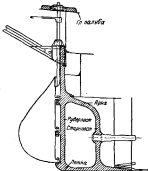


Рис. 167. Ахтерштевень парусного судна.

Существует много самых разнообразных форм корсовых обводов, а, следовательно, и форм ахтерштевней. На двухконтильных кораблях пятой ахтерштевень должен быть достаточно далеко протянут в нос для прочной связи его с корпусом и для возможности крепления к нему низких лап кронштейнов. Для надежного соединения нижней части ахтерштевня с лапой кронштейна отливка ахтерштевня должна иметь специальные выступы, как это показано на рис. 168. На некоторых английских кораблях низкие лапы обоих кронштейнов пропускаются внутрь корпуса и склеиваются одна с другой и с опорным толстым горизонтальным листом.

На четырехконтильных кораблях кронштейны внешних валов располагаются слишком далеко в нос и поэтому они не могут соединяться с ахтерштевнем. То же можно сказать и в отношении кронштейнов боковых валов на трехконтильных кораблях.

5. Сочленение ахтерштевня с корпусом. Конструкция, примененная для соединения ахтерштевня с корпусом, подобна описанной в случае соединения с корпусом форштевней.

Рудерпосты, или же кораблих со средними винтами старпосты, имеют на своих боковых гранях шпунт для соединения с листами наружной обшивки. Для соединения с бронштуками или платформами делаются ребра. Обычно платформа румпельного отделения соединяется с верхней частью рудерпоста.

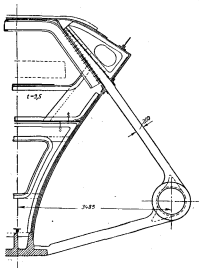


Рис. 168. Сечение по краю палубы.

ней частью рудерпоста. От верхнего утолщения рудерпоста, в котором делается отверстие для прохода болтера руля, в корыту простирается часть рудерпоста, соединяющаяся с краевым листом коренного поддона, который на современных кораблях находится на уровне верхней части старпоста. На многих прежних кораблях листья часть рудерпоста протягивалась до броневой палубы и даже до верха броневого пояса.

Набор корсовой окантовки корпуса состоит,一般ным образом, из поперечных фланцев, обогащенных вырезами. В местах кронштейнов фланцы заменяются разными шпангоутами, лежащими по бортам под платформами и палубами. Эта конструкция в том виде, в котором она выполнялась на старых кораблях, показана на рис. 168. На современных кораблях с применением сварки она будет иметь более простую конструктивную форму.

С увеличением размеров кораблей возникают все большие и большие трудности при отливке ахтерштевня, и поэтому их часто делают из двух отливок, соединенных на замке, который обычно располагается на рулевом посту. В то же время большие размеры делают более легким и доступным применение сварки при изготовлении ахтерштевней. На современных кораблях ахтерштевень заменяется несколькими отливками, соединенными сварными конструкциями, являющимися обычными частями корпуса корабля, причем применение огнеупоров ограничено наиболее сложными местами конструкции.

б. Детали конструкции. При проектировании ахтерштевня и его соединений с корпусом надо тщательно учесть усилия, вызываемые действием руля. В частности, надо иметь в виду, что недостаточно подкрепленные кронштейны, применяемые на современных кораблях, подвергаются очень большим напряжениям. В некоторых случаях должны быть сделаны расчеты прочности, основанные на общей теории изгиба. Все отливки должны быть подкреплены ребрами, особенно в районе прохода баллера, в районе петель руля и в районе крепления кронштейнов. Общие замечания, сделанные ранее относительно отливки и клепок форштевня, относятся также и к ахтерштевню.

ГЛАВА XIV

НАСТИЛ ВНУТРЕННЕГО ДНА

39. Общее расположение, длина, ширина и толщина, расположение горловин

Внутреннее дно простирается непрерывно под всеми переборками, продольными и поперечными, сокращая таким образом свою продольную прочность. Оно поддерживается продольным и поперечным набором, утолщины которого к нему привлекаются или привариваются. Обычно пазы настила внутреннего дна соединяются по клинкерной системе, а стыки — пакрокой; в некоторых флотах пазы делаются с высадкой кромок.

При системе прилегающих к накрывающим поясам воде может задерживаться у относительно выше расположенного паза каждого пояса. При клинкерной системе этого можно избежать, если при наличии некоторого подъема форла все видимые кромки пакра располагать к диаметральной плоскости.

На некоторых кораблях в районе нефтяных систем и систем питьевой воды застекл внутреннего дна соединяется из наружных стыковых и пазовых планках, что дает некоторое увеличение жесткости и устраивает неудобные для чеканки узлы в местах пересечения накрывающих стыков и пазов. Однако в клепанных конструкциях более обычны являются соединение пакра к стыкам пакрокой.

Длина и ширина листов настила второго дна в большинстве случаев могут быть такими же, как и у наружной обшивки. Общее расположение листов должно быть разбито на модули и, кроме того, должна быть сделана растяжка настила внутреннего дна с указанием пазов, стыков, горловин, машинных и котельных фундаментов и других креплений. Расположение листов должно быть подобным расположению листов наружной обшивки. Чтобы избежать резкого изменения продольной прочности, пазы листов, идущие вдоль стрингеров, должны переходить за пределы листового дна на две ширины и более с постепенным уменьшением их ширин.

Настил второго дна обычно не подвергается большим давлениям воды или динамическому воздействию волн и менее, чем наружная обшивка, подвержена повреждениям при посадке судна на мель. Следовательно, настил внутреннего дна является менее ответственной конструкцией и к тому же более доступной для осмотра. Поэтому он делается значительно тоньше, чем наружная обшивка, обладая, однако, достаточной прочностью, чтобы выдержать давление воды в случае повреждения наружной обшивки.

В тех районах, где листовое дно не используется в качестве системы, можно допустить значительные деформации в настиле внутреннего дна.

так как отсеки двойного дна в этом случае заполняются водой лишь при повреждении наружной обшивки, а возможное небольшое проникновение воды не окажет серьезных последствий. С точки зрения конструктивной прочности редко требуется или разумно применять для настила внутреннего дна сравнительно толстые листы, так как прочность тонких листов вполне достаточна при достаточной прочности заключенных следований. Поэтому листы второго дна могут иметь минимальную толщину, требующуюся по условиям их чеканки, т. е. 5—6 мм. Во многих случаях настил второго дна, выдержавший удовлетворительную испытания, имел остаточную деформацию, доходящую до 30% от общей деформации.

Балластные систерни, служащие для регулирования дифферента и остойчивости и для напряжения крана, обычно пустые, но они могут также находиться и в заполненном состоянии в течение долгого времени. Обычно напор воды при этом небольшой, но так как к ним предъявляются высокие требования в отношении водонепроницаемости, то, следовательно, листы их настила все же должны иметь достаточную жесткость. Эти требования будут в общем случае удовлетворены, если толщина настила не будет меньше толщины, определяемой по кривой В рис. 56, при том же напоре воды, который принимается для листов водонепроницаемых переборок (см. разд. 74) при соответствующей ватерлинии. При этом условии прочность настила будет достаточной и при наибольшем давлении воды в случае затопления второго дна. Деформация настила будет также небольшой при использовании отсеков двойного дна в качестве балластных систерни. Однако листы настила не должны быть тоньше 6 мм.

В районе нефтяных систерни в систерни питательной воды требуется еще большая непроницаемость и, следовательно, большая прочность и жесткость настила второго дна. Хотя обычно напор в этих систерни мал, но они могут подвергнуться и большому напору при повреждении наружной обшивки, причем в этом случае напряжение в листах не должна быть близко предела текучести. Поэтому толщина листов внутреннего дна в этих районах должна определяться по кривой А рис. 56 при том же напоре воды, что и для водонепроницаемых переборок, но не меньше, чем 3,66 м над верхней точкой систерни. Чтобы избежать больших толщин в настиле второго дна, в некоторых случаях целесообразно вводить добавочные подкрепления, уменьшая таким образом размеры недодороговых панелей. Если промежуточные фланцы не установлены по другим соображениям, то необходимо поставить промежуточные ребра между скважинами посередине набора; концы этих ребер должны быть согнуты и соединены со стяжками. При этом все же толщина настила нигде не должна быть меньше 6 мм.

Пример. Междуудонные отсеки, предназначенные для хранения нефти, в случае повреждения наружной обшивки подвергаются напору воды с высотой водяного столба в 9,5 м. Расстояние между основными шпангоутами 1,2 м; на внутреннем дне поставлены промежуточные подкрепляющие ребра, образуя ширину $a = 0,6$ м; так как $r > 3$, то $k_1 = 1$ и $k_2 \cdot b = 9,5$ м. По кривой А (рис. 56) получаем $r = 61$, и, следовательно, толщина листов должна быть $t = \frac{r}{k_1 + k_2} = \frac{61}{1 + 0,6} = 10$ мм.

$$\frac{600}{61} = 10 \text{ мм.}$$

Толщина листов внутреннего дна на больших кораблях обычно находится в пределах 6—10 мм, причем у бортов и оконечностей для обычных междуудородных отсеков она снимается до 5 мм, а в нижней части двойного дна в средней части корабля, где находится подъемные и нефтепромысловые системы, она повышается до 8—10 мм. Эти толщины оправданы собой в эксплуатации кораблей и хорошо согласуются с давлением вышеуказанным.

На легких крейсерах и на канонерских лодках, на которых испытательный напор меньше и динамический набор расположены гуще, чем на больших кораблях, второе дно обычно везде имеет толщину 6 мм, за исключением мест, требующих особого подкрепления.

Средний пояс настила второго дна, называемый часто средним, или плоским кильсоном, образует верхний поясок кильевой балки и должна иметь такую же толщину, как стандартная толщина наружной обшивки. Толщина поясов, примыкающих к среднему поясу, должна быть промежуточной между толщиной среднего пояса и остальных поясов настила. Утолщенные настилки второго дна требуются также под машинными фундаментами и в других местах, подверженных действию сосредоточенных нагрузок или больших динамических усилий.

Под солнцескими панорами, у горловин и в других местах, где настилки ослаблены большими нормальными, необходимо устанавливать вторые листы на настилы второго дна. Желательно, чтобы каждый большой междуудородный отсек имел две горловины, расположенные диагонально по углам, чтобы обеспечить лучшую его вентиляцию. Горловины должны располагаться в наиболее доступных местах и быть хорошо разнесены одна от другой по разным поясам настила. Они не должны располагаться в одинаковом со стыками на соседних поясах настила и со стыками стрингеров; это правило не всегда может быть полностью выполнено. Необходимо учсть все местные условия, как, например, расположение машин, котлов и др. Нефтяные отсеки, обычно имеющие небольшие размеры, не всегда удается обеспечить двумя горловинами.

69. Клемка и скважина внутреннего дна

На больших кораблях пазы и стыки второго дна обычно имеют двухрядную клемку и только стыки среднего пояса соединяются трехрядным заклепочным швом. При толщине настила 6—9,5 мм двухрядная клемка дает такой же коэффициент прочности стыка, каким получается в наружной обшивке при трехрядной клемке. Коэффициент прочности сечения вдоль нефтепромысловых шлангогутов, где применяется шаг заклепок $3\frac{1}{2}$ д или даже меньше, получается меньшим, и поэтому на таких шлангогутах следует ставить компенсационные пластины. Двухрядная клемка пазов требуется по условию непроницаемости.

На малых кораблях стыки допускают двурядную клемку, но пазы могут иметь однорядную клемку, за исключением нефтепромысловых пазов, которые должны иметь двурядную клемку. Как было указано в табл. 12, шаг заклепок, крепящих настилы к стрингерам и фюзелям, должен быть $4\frac{1}{2}$ —5 д. Такой малый шаг для этих заклепок вытекает тем, что при внутреннем напоре воды они нагружаются растягивающими усилиями. Настилы второго дна в этом отношении находятся в менее благоприятных условиях, чем наружная обшивка, которая примонтируется к набору корпуса действующим из нее напором воды.

В местах проклеек к настилу второго дна с наружной стороны угольников или других креплений появляется опасность просачивания воды или нефти через заклепки и волны проклеиваемых связей. Эта опасность может быть предотвращена чеканкой всех кромок проклеиваемых связей или поставкой водяных стопоров. Более серьезные затруднения возникают при склеивании трех толщин. Головки заклепок должны быть made выпуклыми, особенно в районе водяных и нефтяных систерн.

На современных кораблях внутреннее дно делается сварным, благодаря чему многие трудности, связанные с обеспечением его непроницаемости, устраняются. Стыки и пазы настила свариваются, по возможности, стыковыми швами. Поперечные фланги привариваются к настилу второго дна, но стрингеры соединяются при помощи проклеиваемых угольников.

Некоторые большие корабли последней постройки имеют третью дно, наличие которого увеличивает высоту поперечного и продольного набора и обес печивает живучесть корабля при действиях подводных миниров под его днищем.

ГЛАВА XIV

ПАЛУБЫ

61. Введение

1. Номенклатура. Номенклатура палуб, применяемая в разных флотах, дана на рис. 169. Следующие добавочные обозначения относятся к номенклатуре, применяемой в американском флоте.

Частичная палуба, расположенная выше самой нижней непрерывной палубы и ниже главной палубы, называется **шлюпочной**.

Американский ФЛОТ	Британский ФЛОТ	Французский ФЛОТ
Палуба надстройки	Палуба	1 палуба
Нижняя палуба	Верхняя палуба	2 палуба
Средняя палуба	Главная палуба	Главная палуба
Вторая палуба	Крыша палубы	Средняя палуба или крыша главной палубы
Нижняя палуба	Крыша палубы	Нижняя палуба или крыша главной палубы
Средняя палуба	Крыша палубы	Средняя палуба
Верхняя палуба	Бюстриана	Бюстриана
Надстройка	Бюстриана	Бюстриана

Рис. 169. Номенклатура палуб.

палубой. Если имеются две броневые палубы, то более толстая из них называется **защитной палубой**, а более тонкая — **противосколочной палубой**. Эти названия применяются как дополнительные к названиям второй, третьей, четвертой палубы и т. д. Если броневые палубы имеют наклонные части, то эти наклонные части определяются как **наклонная броневая палуба** или **наклонная противосколочная палуба**. Если защитная палуба имеет уступ на полную высоту междушпангоутного пространства, то соответствующие части палубы обозначаются как **средняя защитная секция** и **носовая** (или **корпусная**) **защитная секция** в дополнение к нормальным их названиям. Номенклатура американского военного флота приведена в настоящем труде.

2. Основные назначения и требования. Рассмотрим сначала основные назначения палуб и требования к их конструкции.

1. Палубы образуют в корпусе жесткие диафрагмы, служащие опорами для продольного и поперечного набора. Они поэтому должны обладать большой жесткостью в своей плоскости и прочно соединяться с бортами и переборками. Такая жесткость в основном достигается подкреплением их по-

перекрытии балками, называемыми бимсами, то во многих случаях требуется постановка и продольных балок. Назначение палуб — поддерживать борта против давления забортной воды и препятствовать ей из деформации — не столь важно для военных судов, имеющих большие поперечные переборки, чем коммерческие суда. Но, с другой стороны, палубы военного корабля, имеющего бортовую броню, приобретают особо важное значение и качество непосредственной споры для этой брони. В этом отношении исключением составляют минносцы, у которых расстояние между переборками в средней части длины сравнительно велико и у которых только одна палуба, имеющая такое же важное значение, как и палуба в одномалубных коммерческих судах.

2. Верхние палубы являются главными элементами верхних палуб и эквивалентного бруса. Палубы, выполняющие это назначение и особенно прочные палубы должны быть непрерывны по всей длине корпуса, и каждая из них должна быть однородной прочности по всей своей длине, т. е. прочность должна быть в соответствии с действующими усилиями. Прочность соединений этих палуб с бортами должна быть достаточно эффективной для передачи действующих здесь продольных срезывающих усилий, вызывающих в палубе растяжение или сжатие. Если это соединение не будет в состоянии передавать сдвигающие усилия, то палуба будет изгибаться без растяжения или сжатия и, следовательно, будет изогнутым эквивалентного бруса.

3. Палубы образуют перекрытие, подразделяющее внутренний объем корпуса на отдельные помещения и поэтому они должны воспринимать вес находящихся на них грузов. Для этой цели их следует подкреплять балками, а в местах больших сосредоточенных грузов — продольными подпалубными балками для распределения веса этих грузов на несколько бимсов. Бимсы и подпалубные балки разносят нагрузку на перекрытия в другие конструкции, служащие скобами для палубы, т. е. на борта корабля, на переборки и на пиллерсы. Линия сопротивления должна быть по возможности прямой и непрерывной и непосредственно идущейниз к набору днища. В этом отношении борта и переборки лучше пиллерсов, так как они разносят нагрузку на большую площадь днища и лучше работают в море при любом комбинации направления силы тяжести относительно конструкций корпуса корабля. Нагрузка с верхней палубы должна передаваться не на нижнюю палубу и там аккумулироваться, а непосредственно на конструкцию днища. Исключение можно допустить лишь при абсолютной невозможности выполнения этого правила. В случае выполнения этого требования палубы могут иметь конструкцию значительно более легкую, чем линеар, на которое в концах концов должна передаваться вся нагрузка, равная всему весу корабля.

Броневые палубы имеют, кроме того, особое назначение сопротивляться действию снарядов.

4. Палубы образуют водонепроницаемые отсеки в корпусе и поэтому они должны быть водонепроницаемыми. Самая верхняя палуба имеет также особое назначение — предохранять корабль от заливания его забортной водой. Это и явилось первою причиной введения палубы в ранний период судостроения.

5. Верхняя палуба выполняет ту же функцию, что и крыша гражданского сооружения, прикрывая помещение под

шей и делая их обитаемыми. Для этого она должна быть не только водонепроницаемой, но обладать конструкцией, плохо проводящей тепло и звук. Это требование лучше всего выполняется покрытием стальной палубы деревянным настилом.

3. Расстояние между палубами. В жилых и служебных помещениях между палубами расстояние, измеряемое от палубы до нижней кромки бинсов, не должно быть менее 2 м. Это требование исходит из среднего роста человека 1,68—1,75 м. Однако желательно иметь эту высоту 2,15 м, учитывая наличие под бинсами вентиляционных и других труб, а в верхней надводной части корабля эту высоту желательно увеличить до 2,3—2,44 м. Расстояние между платформами обычно делается меньшим, если вся высота под нижней броневой палубой не кратна общему между палубами расстоянию. При наличии большой сальзоватости верхней палубы желательно придавать и нижележащей палубе такую же или подобную же сальзоватость с целью избежать очень высоких помехений в оконечностях корабля. Увеличенную высоту корпуса в оконечностях лучше всего использовать для трюмных помещений.

62. Насыпь палуб

1. Материал палуб. Большинство кораблей, за исключением военных, имеет полностью стальные палубы, даже на легких надстройках и мостиках. Стремительная стоимость стальной палубы меньше, чем деревянной. При ней легче достигается водонепроницаемость и поэтому она требует меньшего ремонта. Но стальные палубы более склонны, особенно, когда они мокрые или покрыты снегом. Они более теплопроводны, и поэтому температура в помещениях под ними изменяется быстрее и они больше способствуют конденсации паров воды. Стальные палубы также более звукоиздевающие, чем деревянные. По этим причинам на военных кораблях редко применяются непокрытые стальные палубы. Открытые палубы покрываются деревянным настилом, а закрытые — линолеумом, исключая места, занятые оборудованием. Большой недостаток деревянной палубы — ее воспламеняемость — до некоторой степени усиливается, если дерево лежит на слизиющем икрусте, так как начавшийся пожар в большинстве случаев может быть ликвидирован охлаждающим действием стального настила и невозможностью доступа воздуха к нижней стороне досок. Однако в случае большого пожара, когда стальной настил на большой площади нагреется до высокой температуры, особенно, когда палуба разрушена снарядами, деревянный настил может спореть полностью.

На коммерческих кораблях грузового типа стальные палубы покрываются обычно деревянным настилом лишь в жилых помещениях.

2. Водонепроницаемость. Все палубы должны быть водонепроницаемыми не только для защиты от дождя, забортной воды и от протекания воды при мытье палубы, но и для разделения корпуса на взаимонезависимые отсеки. На некоторых кораблях это правило не соблюдается для второй и третьей палуб, на которых водонепроницаемость обеспечивается лишь вдоль бортов при помощи смеси пемзита и пробки. Однако такая практика не может считаться удовлетворительной, особенно в отношении оконечностей корабля, которые в случае серьезных аварий могут оказаться погруженными в воду.

3. Расположение листов и паксы. На военных кораблях настил палуб обычно делается вглазь, так как при этом облегчается крепление

деревянного настила и линолеума. На прочных палубах, т. е. на палубах, обеспечивающих продольную прочность корпуса, пазовые планки должны оставаться непрерывными, для чего их следует ставить прямым образом с наружной стороны палубы. Если палуба покрывается деревом, то это не вызывает затруднений; если же палуба покрывается линолеумом, то пазовые планки приходится ставить с внутренней стороны палубы и, чтобы избежать в этом случае проходов у биссес, пазовые планки делаются интеркастельными между биссесами. Ниже главной палубы все палубы, покрываемые линолеумом, имеют нижние и верхние стельные пазовые планки. Как было указано выше, планки с успелом можно использовать для увеличения жесткости тонких палубных листов, если их делать из тавровых профилей. Стыковые планки всегда располагаются с внутренней стороны палубы, посередине шпации. В помещениях, где хранятся уголь и другие ящики и где нет покрытия, можно применить систему: накрывающие и прилегающие пояса к стыкам, расположенные изнутри. Такая система обычно применяется на грузовых коммерческих кораблях, а также на миноносцах, где палубы никем не покрываются; однако стыки ответственных поясов палубы должны делаться из двойных стыковых планок.

Настил палуб обычное делается из продольных поясов, параллельных средней линии палубы, за исключением наружного пояса с каждого борта, называемого палубным стрингером, который следует обводу борта, образуя границу для укладки внутренних поясов. На рисунке трёхмерной диаграммы изображена для палубы (см. рис. 20) видно, как хорошо такое расположение поясов палубного настила соответствует распределению этих напряжений в палубе, как верхнем пояске эквивалентного бруса. Странглерные пояса и прилегающие к ним поясы изнутри образуют непрерывные пазы из эквивалентного бруса, хорошо приспособленные для передачи срезывающих усилий на четверти длины корпуса и для сопротивления продольным усилиям в его средней части. Внутренние пояса настила палубы, будучи параллельными диагональной плоскости, идут почти так же, как и линии напряжений. Это расположение является простым и легким для выполнения. На больших кораблях часто делаются два стрингерных пояса с каждого борта.

Ширина листов палуб обычно такая же, что и в наружной обшивке, т. е. 1,8—2,44 м. Иногда странглерные пояса делаются шире, доходя до 3,0 м и больше, но в концах они должны сужаться.

Ширина листов такая же, что и у листов наружной обшивки. Стыки расходятся по тому же принципу, что и в наружной обшивке, причем особенно важно осуществить надлежащий разброс стыков палубного стрингера к ширстреке.

Толщина листов палубного настила различных палуб и изменения толщины на одной и той же палубе зависят от различных обстоятельств, требующих детального рассмотрения.

4. Выбор прочной палубы. Желательно прочной палубой конструктировать самую верхнюю палубу, посередоточку в ней, по возможности, большие материала, предназначенного для обеспечения продольной прочности, так как в этом случае прочность эквивалентного бруса окажется наибольшей при данном весе этого материала.

На линейных кораблях, имеющих бортовую броню, предпочтительнее, как об этом сказано в разд. 9, п. 6, иметь в качестве прочной палубы ту, которая ограничивает верхний броневой пояс, т. е. обычную броневую палубу, а все палубы выше нее делать очень легкими,

На легких крейсерах, не имеющих бортовой брони или имеющих лишь частичное легкое бронирование борта, прочной палубой должна служить главная палуба.

Рассмотрим вопрос о толщине палубного настила. Начнем с небронированной прочной палубы.

Б. Толщина небронированной прочной палубы. Для обеспечения продолжительной прочности эквивалентного бруса требуется некоторая общая площадь сечения нитропротивных поясов прочной палубы. Эту площадь сечения легко определить расчетом при заданном допускаемом напряжении для материала палубы. При распределении этой площади следует учесть, что при нормальном положении корабля наблюдается почти равномерное распределение линий напряжений во всех поясах между бортиками вырезами люков и бортом (см. рис. 20), но при наклонном положении корабля наибольшие напряжения от изгиба корабля получаются в стрингерных поясах палубы. Поэтому целесообразно делать все пояса палубы между кромкой люков и стрингером равномерной стандартной толщины, а стрингерные пояса — увеличенной толщины. Однако в целях предупреждения прогрессивного разрушения было бы выгодно листы палубных стрингеров, так же как и листы ширстрика, делать из стали высокого сопротивления.

Судя по расчетам прочности существующих кораблей, стандартная толщина настила прочной палубы должна быть быть приблизительно такой же, как и толщина наружной обшивки, а толщина стрингерных поясов палубы — такой же, как и ширстрика. На многих, возможно, но большинстве, существующих военных кораблях имеется значительная разница в толщине стрингера и соседних поясах палубного настила; следовательно, существует большое нарушение непрерывности прочности в пазах этих поясов. Толщина стрингерных листов меняется от 9,5 до 12,5 мм на минносцах и до 31 мм на линейных кораблях, в то время как толщина внутренних поясов уменьшается до 3 мм на минносцах и до 8 мм на линейных кораблях, хотя при некоторых кораблях переход в толщинах мене резкий. Когда палуба так конструктируется, то от резкого изменения толщины напряжения при кручении значительно увеличиваются, как было указано в гл. IV. Кроме того, если такие внутренние пояса не подкреплены продольными ребрами или деревянным настилом, то они способны терять устойчивость при сдвигах. Можно избежать этих недостатков, применив для всех поясов к борту от линии вырезов достаточно прочные толщины. В этом случае все листы без особых подкреплений будут эффективно работать tandemно с продольными балками и другими жесткими связями корпуса, с которыми они соединены.

Наиболее важными из этих связей являются продольные переборки, если они непрерывны на большую длине и если они по высоте простираются от днища до палубы.

Прерывистые пояса палубы между большими люками, не играющие большой роли в продольной прочности корпуса, могут делаться настолько тонкими, насколько это допустимо по нормам требованиям. Обычная толщина их 3—4 мм на минносцах и 6—8 мм на линейных кораблях. В зависимости от расстояния между бинсами может потребоваться постановка промежуточных бинсов для закрепления палубы против обычной нормальной нагрузки.

Толщина, выбранная для непрерывных поясов прочной палубы в средней части корпуса, должна оставаться неизменной на трех пятых его длины, но в окончестве может быть уменьшена. Это уменьшение толщины для стрингерных листов обычно делается очень большим, достигая 30%, в то время как толщина внутренних тонких поясов палубы остается неменеею. При отсутствии очень резкого перепада в толщине стрингерных и средних поясов, что здесь и рекомендуется, уменьшение толщины настила палубы в окончестве может быть приемлемо для всех поясов палубы, но оно не должно превышать 20—25%.

Если вырезы сделаны в непрерывных поясах, то в этом районе прочной палубы должна быть увеличена толщина листов или же они должны быть подкреплены накладными листами. Более толстые накладные листы должны быть также установлены вокруг барбетов, в районе чанов и брашпилей, в районе лебедок, сквор для боеевых рубок и в других местах, подвергающихся большим сосредоточенным усилиям.

6. Толщина настила палуб, расположенных ниже прочной палубы. Палуба, расположенная немедленно ниже прочной палубы, находится ближе к центральной оси, приносит меньшее участие в продольной прочности корпуса, особенно из кораблик, у которых прочная палуба является броневой или защищена бортовой бровью. Толщина настила этой палубы поэтому может быть значительно меньшей — около 6—8 мм; однако и здесь стрингерные пояса должны иметь увеличенную толщину, так как они образуют опору, поддерживающую борти.

Настил платформы делается толщиной 6 мм, но в погребах может потребоваться большая толщина в зависимости от веса бомбовоза и от расстояния между бинсами. Низкие платформы, обреженные на корабле третье яруса, могут подвергаться большому давлению воды. Их толщину можно определить, пользуясь кривой В рис. 56, но она не должна быть меньше 7,5 мм.

Предположим, в качестве примера, что платформа должна противостоять испытательному давлению столба воды в 7,5 м, действующему с нижней стороны платформы, причем бинсы ее находятся на расстоянии 1,2 м друг от друга. Пользуясь кривой В, полагая $k_1 = 1$, находим $\mu = 136$, следовательно,

$$f = \frac{136}{125} = 0,5 \text{ мм.}$$

Согласно правилам Ллойда, толщина непокрытых стальных палуб в грузовых трюмах при расстоянии между бинсами 1,2 м должна быть не менее 9,5 мм. Если мы допустим, что ширина полок бинсов равна 90 мм, то получим:

$$\mu = \frac{136 - 90}{9,5} = 117.$$

Так как напряжение в настиле платформы при обычной нагрузке не должно превышать предела текучести материала, то мы, пользуясь в этом случае кривой А рис. 56, получим $k_1 f = 3,05 \text{ м}$; так как $k_1 = 1$, то $f = 3,05 \text{ м}$. Таким образом оказывается, что настил платформы может выдерживать давление столба воды высотой в 3,05 м без перехода из-под влияния за предел текучести материала.

7. Палубы надстроек. У концов всех надстроек прочные продольные связи не должны прерываться; это требование трудно выполнить без большой затраты материала. В некоторых случаях для этой цели могут

быть использованы частичные продольные переборки, если они имеются внутри надстроек у их концов. Лучше всего, как об этом уже было сказано в разд. 47, не засчитывать надстроек в число продольных силей эквивалентного бруса. Для этого их палуба должна быть тонкой и, где нужно, иметь скользящие соединения. Обычно настил палубы надстроек делается толщиной 4—6 мм со страйкерами поясами толщиной 6—9,5 мм.

8. Аварийные палубы на аварийном. Аварийная палуба подвергается действию сосредоточенных подвижных нагрузок от колес самолетов или от тележек, на которых они передвигаются. Предположим, что палуба не покрыта деревом и что она подкреплена системой пересекающихся ребер, — непрерывных в одном направлении и интеркальных в другом, разбивающих ее на прямоугольные участки. Эта палуба не должна иметь остаточных деформаций после повторных пробегов самолетов или их тележек. При наличии двух самолетных колес можно считать, что нагруженные участки настила палубы работают независимо друг от друга.

Для прямоугольного листа со сторонами 2a и 2b, погруженного со средоточенным грузом P , приложенным в середине панели, прогиб в центре панели может быть найден по приближенной формуле

$$f = k \frac{am^2}{E^2(a^2 + b^2)}, \quad (146)$$

где k для свободно опорного по краям листа, как нашел Фёль¹, равно $\frac{10}{3}$ при $m = \frac{10}{3}$. Пользуясь методом Фёлья, можно было бы найти выражение f при заданных краях пластины. Это выражение получилось бы более сложным. Некоторые же испытания, произведенные Биром постройки и ремонта американского флота, показали, что выше приведенная формула при $k = 1,5$ дает результаты, удовлетворительно согласующиеся с замеренными прогибами на панели, погруженней так, как это имеет место для аварийной палубы. В действительности, повидимому, настил палубы можно рассматривать как лист, находящийся в условиях упругой заделки его кромок на опорном контуре.

В середине длины более длинной стороны (2a) наибольшие напряжения будут:

$$\sigma = \frac{2PZ}{ab}, \quad (147)$$

а в центре панели они немного больше вследствие растяжения.

Принимаем для мягкой стали модуль нормальной упругости $E = 2,1 \cdot 10^8$ кг и предел текучести $\sigma_c = 2800$ кг. Наибольшая допускаемая стрелка прогиба должна определяться из основания опытных данных. Предположим, что при статической нагрузке стрелка прогиба составляет $\frac{1}{300}$ наибольшего пролета, т. е. $\frac{f}{2a} = \frac{1}{300}$, и тогда при динамической нагрузке, имеющей место при пробеге на палубе колеса самолета, стрелка прогиба удвоится, т. е. $\frac{f}{2a} = \frac{1}{150}$ или $f =$

¹ A. Föppl, Deung und Zwang, 1924.

$= \frac{b}{30}$. Подставив это значение в формулу для напряжения и подставив $b=5$, получим

$$\frac{24}{t} = 50.$$

Это отношение наименьшего пролета к толщине удовлетворяется при толщине 12,5 мм для пролета 625 мм. Это показывает, что наименьшее расстояние между балками набора палубы, например, между продольными, не должно быть больше 600 мм даже при толщине палубы в 12,5 мм, предполагая, что расстояние между поперечными балками составляет около 1200 мм, как в опытах, на которых ссылались выше.

Таким образом даже при относительно толстом настиле палубы из мягкой стали может быть местное перенапряжение под колесами самолета в середине длинных сторон спорного контура листовой палубы. Эти перенапряжения с течением времени могут увеличиваться. Поэтому, если только палуба загата по баллистическим соображениям сделана не из стали высокого сопротивления достаточной толщины, то, повидимому, целесообразно ее покрывать деревом. В последнем случае толщина металлического настила может быть значительно уменьшена.

В целях возможного большего увеличения жесткости палуба должна быть полностью сварной. На английском авианосце «Ark Royal» верхняя ангарная палуба имеет настил с поперечно расположенным листами, имеющими стыки на каждом рымном бимсе, т. е. на расстоянии 2 450—3 600 мм.

Воздушные палубы, динамичность нагрузки которых еще больше, обычно покрываются деревом.

9. Крепление по контуру. Основным назначением контурных креплений является соединение палуб с бортами, барбетами, шахтами и другими конструкциями. Эти крепления одновременно служат для обеспечения непроницаемости палуб. На верхней открытой палубе, где шпангоуты скрываются ниже палубы, а также вокруг листовых конструкций и комингсов, нужное крепление палубы легко достигается при помощи установки непрерывного уголника вдоль кромки палубы. Но если шпангоуты пропускаются через палубу, то при клепаной конструкции для достижения непроницаемости применяется сложная обделка шпангоутов уголниками, как это показано на рис. 170. Форма обделочных уголников зависит от формы профиля шпангоутов. Необходимо отметить, что в углах вырезов стрингера листа для пропуска шпангоутов вследствие концентрации напряжений могут начинаться трещины. Поэтому необходимо листы стрингера подкреплять непрерывными стрингерными уголниками, излучинами по внутренним полкам шпангоутов, как показано на рис. 170.

Чтобы вода не могла просачиваться между обшивкой и пролегающей к ней полкой шпангоута с одной стороны палубы на другую, необходимо ставить в районе палубы между обшивкой и полкой шпангоута водонепроницаемые стоянки. Платформы должны иметь у борта двойные следящие угольники: верхний обделочный, изогнувшись и нижний — интеркостальный, изогнувшись.

10. Клеевая. Чтобы получить гладкую верхнюю поверхность палубы, все замелки следует клепать штотай. Конфигурация приности заклю-

почных соединений прочной палубы должна быть такой же, что и для наружной обшивки, т. е. не менее $\frac{1}{4}$.

Коэффициент прочности стыков стрингерных поясов должен соответствовать прочности листов до бимсов, т. е. составлять около 0,85. На легких быстроходных кораблях стыковые соединения стрингерных поясов, так же как и стыковые соединения ширстреки, должны иметь прочность большую, чем прочность листов, в целях обеспечения избо-

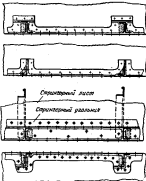


Рис. 176. Обработка коробов и профилей утюжками на водонепроницаемых палубах.

лютной исполнительности соединения. План настила палуб обычно имеют однородный заклепочный шов, но если внутренние юбки имеют увеличенную толщину, как это было выше рекомендовано, то пазовое соединение между стрингерами и прилегающими к ним юбками настила должно иметь двухрядный заклепочный шов. Странглерный уголник, соединяющий стрингерные пояса настила с ширстреком и передающий срезающие усилия при крене корпуса, должен иметь двухрядный заклепочный шов. На платформах панели и стыки должны иметь двухрядные швы.

11. Сварка. На современных кораблях палубы делаются сварными, кроме пазов и стыков в средней части прочной палубы и тех мест, где применен плоско сваривающийся материал. Сварка дает значительную экономию в весе и стоимости, наряду с выигрышем в прочности и лучшим обеспечением водонепроницаемости.

Пример сварной обработки балок набора, проходящих через палубы и переборки, показан на рис. 201.

63. Насыпь броневых палуб

1. Тактические требования. Проектирование и конструкцию броневых палуб нельзя рассматривать, не зная тактических требований, которым они должны удовлетворять. Применяемая в настоящее время на линейных кораблях система бронирования обычно состоит из пояса бортовой брони, вертикального или слегка наклоненного к вертикали, и из толстой броневой палубы, т. е. главной броневой палубы, расположенной на уровне верхней кромки бортовой брони. Кроме того, имеется более тонкая противоснарядная палуба, расположенная либо одно или два междуштубных пространства ниже или выше главной броневой палубы, предназначенная, главным образом, для защиты от легких авиабомб; эта палуба является также прочной палубой корпуса.

Последнее расположение броневых палуб вызвано опасением воздушных атак. Бортовая броня обычно наклонена от вертикали во внешнюю сторону, что значительно увеличивает площадь главной броневой палубы.

При наклоне бортовой брони наружу по сравнению с вертикальными расположениями брони увеличивается угол встречи снаряда с броней, следовательно, увеличивается ее сопротивляемость, но в то же время площадь корабля, защищаемая бортовой броней, уменьшается. В результате, если броню расположить параллельно траектории снаряда, сопротивляемость брони будет максимальной, однако такая броня потеряет свое значение для защиты корабля. Такие, или почти такие, радиусальное положение может возникнуть по отношению к бортовой броне при обычном угле наклона ее к вертикали, равном 15° , в случае падения снаряда. С тех пор, как в целях лучшей защиты от дальнобойной тяжелой артиллерии был введен наклон бортовой брони наружу на английском крейсере «Худ», атаки с воздуха стали более интенсивными, и эта интенсивность очень быстро увеличивается. Вместе с этим увеличивается и дальность артиллерии, а, следовательно, увеличивается и угол падения снарядов. В общем, приняв во внимание как атаки артиллерией, так и атаки с самолетом, необходимо линейный корабль защищать от снарядов и бомб, падающих под большими углами. Следовательно, роль вертикального или слегка наклонного расположения бортовой брони стала значительно уменьшилась. Надо принять также во внимание, что большое увеличение ширинны современных линейных кораблей уменьшило роль бортовой брони, как средства эффективной защиты горизонтальных площадей, расположенных за этими бортами. При больших углах отгиба стало необходимым устанавливать большую толстую броневую палубу на уровне верхней кромки бортового пояса, и для уменьшения площади этой палубы было предложено наклонять бортовую броню внутрь, что, конечно, должно приводить к значительным нежелательным осложнениям конструкции.

Ввиду этого можно принять к заключению, что защита жизненных частей линейного корабля будет наилучшей против всех видов нападения, если тяжелую броневую палубу расположить наверху китардии, подобно тому, как это делалось на старых бронированных крейсерах 80-х годов прошлого столетия. Особенностью такой броневой палубы являются плоский верх и наклонные бортовые части. На линейном корабле эти наклонные части броневой палубы должны быть

способами сопротивляться проникновению тяжелых снарядов, которые должны на них обычно разрушаться, разжигаючи или вызывая взрыв. Горизонтальная палуба такой палубы должна образовать легко забронированную коробку, состоящую из главной броневой палубы, одной или двух броневых палуб, расположенных выше, и двух вертикальных броневых стеков, идущих по обеим бортам от линии ската этой палубы вверх до главной верхней палубы, как это показано на рис. 138.

Бронирование верхней палубы имеет целью, во-первых, защищать вместе с главной броневой палубой жизненные части корабля от тяжелых бронебойных снарядов в зарядом и, во-вторых, избежать взрыва фугасных снарядов в зарядом. Бронированные вертикальные стеки должны вместе с главной броневой палубой защищать жизненные части против бронебойных снарядов, а также пымоходы и помещения, находящиеся в бронированной коробке, против осколков и мелких снарядов.

Главными назначениями этой системы броневой защиты, состоящей из сочетания тяжелой броневой палубы с портальными щитами тонкой брони, являются, во-первых, защищать жизненные части от бронебойных снарядов и извесского огня, для чего борту броневой палубе не является подразумеванием, и во-вторых, заставить взорваться все тонкостенные бомбы и мелкие снаряды, прежде чем они достигнут жизненных частей корабля или даже дымоходов.

От применения палуб, имеющих броневые скосы, отказались, по-видимому, потому, что считали их недостаточно эффективно обеспечивающими боевую остойчивость и плавучесть. Однако этот аргумент в значительно степени потерян силу, так как большая широта современных линейных кораблей обеспечивает увеличенную остойчивость, а их большие размеры позволяют обеспечить плавучесть разделением корпуса на многочисленные водонепроницаемые отсеки.

Обычная прочность корабли, изображенного на рис. 138, может быть обеспечена конструкцией верхней главной палубы в качестве промежуточной палубы. Вертикальные переборки выше и ниже броневой палубы являются стеками эквивалентного бруса. Тройное дно образует прочный нижний поясок.

- 2. Броневые палубы с броневым скосом. Палубы, имеющие броневой скос, обычно располагаются вблизи центральной оси, как это показано на рис. 137 и 138, и поэтому нет необходимости принимать какие-либо специальные меры для обеспечения пропольской их прочности. Однако при проектировании этих палуб, как и всех других броневых палуб, должно быть уделено большое внимание не только баллистическим качествам палубного настила, но и способам поддержки и соединения броневых листов. При этом следует отдельно рассматривать горизонтальную и наклонную часть броневой палубы, поскольку они находятся в разных условиях.

1. Горизонтальная часть броневой палубы подвержена попаданию тяжелых снарядов под углом, меньшим угла засечки снаряда, благодаря чему снаряд не проникает в броню и она, возможно, не будет пробита. Если, однако, броня сравнительно тонкая, особенно, если она из твердого хрупкого материала, то снаряд пробьет ее боем. Если же она достаточно толстая, из прочного и пластичного материала и поддерживается прочной и водонепроницаемой конструкцией, то снаряд будет лишь рикошетировать в шахматном или разорвавшемся

наде. В этом случае извергия брони и опорной конструкции посlo-
шает живую силу снаряда по направлению, нормальному к броне,
и деформации брони и поддерживающей ее конструкции происходят,
главным образом, после удара, когда снаряд уже покидает броню.
Снаряд, скользя вдоль листа, делает в нем борозду и в этом процессе
входит в сопротивление все с новым материалом, от которого полу-
чает все большую и большую скорость движения вверх вследствие
упругого и измеринского сопротивления листа. Наконец, он отскаки-
вает от листа, придавая ему на указанном участке касания большую, на-
правленную вниз скорость, а следовательно, и большую кинетическую
энергию. Время касания между снарядом и броней измеряется не-
сколько тысячными долями секунды, и броневая панта за это врем-
я деформируется мало. Однако на участке, где снаряд соприкасался с
листом, появляются выдалленные борозды, надрывы и течь в ма-
териале, что может послужить началом для образования трещин,
если материал слишком хрупок. В конце этого отрезка времени ки-
нетическая энергия передается на прилегающие участки брони, а
затем она немедленно при помощи упругой волны снова передается
далее и расходуется на вибрацию и деформацию броневой панты.
Происходящие при этом деформации имеют характер, главным обра-
зом, изгиба, в результате которого происходит выпучивание листа к
низу и, в конечном результате, разрыв вследствие быстрого изгиба
растянутых кромок. Если материал слишком хрупок, то куски его
могут быть оторваны и выброшены в трюм.

Снаряд, после рикошета движется в целом виде или в осколках,
в зависимости от угла удара и ударной скорости. При большой удар-
ной скорости, около 500—600 м/сек, и при умеренном угле удара сна-
ряда, взрывается, но вызывает относительно малое поврежде-
ние палубы. При большой дистанции боя, когда угол падения снаряда
будет больше, но скорость удара меньше — около 500—550 м/сек,
снаряд может не взрываться. Вероятно, в этом случае снаряд может
вскочить в броню и пробить ее.

На этого вытекает, что броня горизонтальной части палубы долж-
на быть достаточно толстой и вязкой и поддерживаться прочной и
упругой конструкцией. Такая палуба должна быть способна погло-
щать без разрушения живую силу снаряда и таким образом, застав-
лять его рикошетировать. Благодаря полноте палубного набора и
самих броневых плит возможность излома брони будет менее вероятна, чем в случае жестко поддерживаемой броневой палубы из бо-
льше хрупкого материала.

Можно предполагать, что два слоя броневой стали одинаковой
толщины, может быть вместе с тонким водонепроницаемым палубным
настилом из никелевой стали, лежащим непосредственно на бимсе,
образуют вполне приемлемую комбинацию, обеспечивающую защиту от артил-
лерийских снарядов. Однако возможно, что однослойная броня, имею-
щая такую же толщину, как и суммарная толщина двух слоев, вместе с легкой водонепроницаемой палубой будет лучшей защитой от
ракетом.

Броневые плиты должны быть настолько большими, насколько это
оказывается практически возможно, чтобы уменьшить длину листов в сты-
ках, являющихся линиями ослабления брони.

Проблема получения хорошего соединения стыков и швов броне-

вых листов очень труда. Хорошее соединение можно получить соединением листов в замок, подкрепленный штифтами (рис. 175), по такому соединению дорого. При наложении двух и более слоев броневых листов линий ослабляется можно избежать разности шагов и стыков в разных слоях брони. Совместная работа разных слоев достигается при помощи соединительных зажимов.

Материал очень большой твердости и хрупкости не подходит для плоской части броневой палубы, так как он может дать трещины, прежде чем разорвется его интенсивное сопротивление. Сталь специальной обработки, с указанными в табл. I характеристиками, повидимому, обладает требуемыми баллистическими качествами, так как в ней сочетаются большое временное сопротивление, большой предел упругости и относительно большая пластичность.

2. Броневой скос палубы, показанный на рис. 138, пред назначен для удержания тяжелых снарядов при среднем угле падения, равном примерно 45°. Броня здесь должна быть такого же качества, как и толстая бортовая броня, но в зависимости от угла наклона толщина ее может быть несколько меньше. Вероятно, большинство снарядов, разбьется или взорвутся при ударе об эту броню, снаряды же будут удержаны прорезанными броневыми переборками, установленными между броневой и главной палубами. Броневые плиты палубной части палубы должны быть подкреплены настолько жестко, насколько это возможно. Внутренние продольные кромки брони должны опираться на нижнюю продольную броневую переборку, а наружные кромки — на верхние концы шпангоутов борта, расположенные непосредственно под броневым скосом. Стыки броневых плит должны опираться на поперечные переборки, находящиеся под броневым скосом.

3. Бронированная прочная палуба. Такая палуба, как например, главная палуба на рис. 138, должна состоять из водонепроницаемого материала толщиной 19 или 25 мм, покрытого одним слоем толстой брони, или из двух слоев броневой стали. Толщина и прочность этой палубы должны быть достаточными, чтобы выдерживать корыты легких фугасных бомб и защищать помещения между главной и броневой палубами, где расположены движущие и вентиляционные машины. Если это требование будет выполнено, то прочная палуба, усиливая броневую палубу, не только будет защищать жизненные помещения корабля, но обеспечивать продольную прочность корабля в качестве верхнего яруса эквивалентного бруса. Для этой последней цели листы палубы должны располагаться так, чтобы один слой палубы соединил стыки и кромки ее другого слоя. Если при этом не будет получена необходимая прочность стыков, то должны быть поставлены добавочные стыковые пластины. Могут быть применены замковые соединения в пазах и стыках броневых плит; расчет общей прочности покажет, необходимо ли дальнейшее усиление их. На рис. 176 показана конструкция соединения в замок, но могут быть применены другие виды конструкций в зависимости от толщины и качества броневых листов. Продольные балки палубного набора в зависимости от толщины листов могут находиться на значительном расстоянии одна от другой, однако расстояние между ними не должно быть больше соответствующего эффективной работе палубы как продольной связи.

4. Соединение броневых палуб с бортами. На линейных кораблях с бортовой броней скос броневой палубы обычно продолжается до

борта так, чтобы образовать броневую щельф, или сюс непосредственно соединяется со специальным броневым щельфом.

В таких случаях шпангоуты и обшивка прерываются на броневой палубе. Наружная обшивка соответствующим угольником присоединяется к щельфу или к нижнему поясу броневого скоса (рис. 137). Такую же конструкцию можно применить и для случая, показанного на рис. 138.

На бронированных крейсерах листы наружной обшивки идут, не прерываясь у кромки бортового скоса. Если шпангоуты прерываются

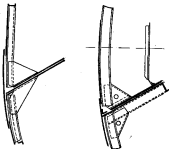


Рис. 171.

у бортового скоса, то наружная обшивка соединяется с этой палубой угольником, поставленным сбоку или снизу палубы; иногда соединение осуществляется с двойными угольниками. Верхний слой настила палубы не доводится до борта настолько, насколько это нужно для возможности чинения угольника (рис. 171). Если броневая палуба выполнена плоской и расположена на одном уровне с верхней кромкой бортовой брони, то кромки ее должны быть утоплены в фаски, сделанные в кромках броневых плит, или они должны непосредственно притыкаться к пятым, чтобы образовать жесткую опору для них. Иногда применяется менее удовлетворительная конструкция, при которой верхний слой палубной брони просто перекрывает верхнюю кромку бортового пояса брони, тогда как нижний слой палубной брони притыкается с некоторым зазором к рубашке за бортовой броней.

Б. Клепка. Рассмотрим сначала случай соединения двух слоев палубы равной или близкой толщиной из мягкой стали или из несколько более твердого металла. Клепка пазов такого соединения, показанная на рис. 172 и 173, состоит из трехрядных заклепочных швов, соединяющих четыре листа. Следует отметить, что в этом случае среднего ряда заклепок сопровождается полным разрывом соединений и что поэтому паз представляет собой линию ослабления, которая не-

желательна с точки зрения сопротивляемости броневой палубы действию снарядов. На некоторых кораблях стыки соединяются по тому же принципу. Однако такие соединения хотя и требуют минимального количества заклепок, но являются совершенно неудовлетворительными как с точки зрения обеспечения прочности для восприятия ударов снарядов, так и с точки зрения обеспечения продольной прочности корабля. Такая конструкция соединения показана на рис. 172.

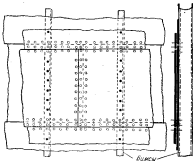


Рис. 172.

Обычно стыки листов соединяются таким образом, что стыки одного слоя листов перекрываются другим слоем листов, причем соседние стыки разнесены не менее, чем на одну ширина, как это показано на рис. 173. В этом случае для полного разрыва листа одного слоя нужно срезать два ряда стыковых заклепок в три ряда пазовых заклепок из длины одной ширины. Обычно этот тип разрушения имеет большее сопротивление, чем разрыв одного из листов по линии заклепки стыка. Поэтому срез заклепок при этом исключается, и для обеспечения прочности достаточно стыки разнести на бимсовую швацию, как показано на рис. 173. Лучший результат будет получен, если пазы и стыки обеих слоев будут единичны, как это показано на рис. 174.

Шаг заклепок по пазам и стыкам делается равным от 4 до 5 д., как требуется водонепроницаемостью, но в известной степени зависит также и от толщины листов. По бимсам шаг заклепок равен 7—8 д., причем к бимсам прикрепляется лишь нижний слой настила. На «Бернабио» два нижних слоя склеивались непосредственно с бимсами шагом 6 д. так что площадь сечения заклепок составляла 65 см² на тонну веса листов. Верхний слой соединялся с двумя нижними соединительными заклепками, поставленными по полю листов.

Если броневые листы соединяются пазом, причем под ними имеется настил из мягкой стали, то заклепки замка должны проходить че-

рез этот настил, который является добавочным подкреплением стыка броневых листов (рис. 173). Заклепки стыков верхнего слоя обычно проходят через три толщины. Заклепки также должны быть поставлены между бимсами, для того чтобы пружить друг к другу слой палубного настила и заставить их работать, как один целый лист. Если палуба проскальзывает, то промежуточные заклепки между бимсами, соединяющими

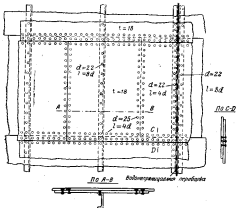


Рис. 173.

нижние слои настила, должны иметь шаг $18 d$, а в районах палубы, имеющих кромку, шаг заклепок должен быть уменьшен.

Если броневые листы накладываются на водонепроницаемый настил палубы, расположенный вблизи нейтральной оси, то они могут не иметь стыковых и пазовых соединений и крепиться лишь к настилу заклепками диаметром 32 мм, с шагом 8 д, расположенным по кромкам листов. Очень толстая броня, толще 60 мм, должна крепиться снизу броневыми болтами, подобными тем, которые применяются для бортовой брони. Угольник, крепящий броневую шельф к обшивке борта, должен иметь двойной ряд заклепок, расположенных в шахматном порядке с шагом 5 д.

6. Расчет продольной прочности броневой палубы. Рассмотрим здесь в качестве типового случая прочную палубу, состоящую из двух слоев брони одинаковой толщины. Предположим, что расположение

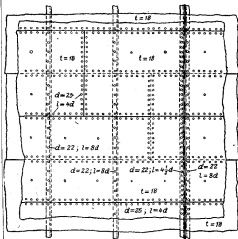


Рис. 174.

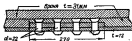


Рис. 175. Составление линии палубной бровки пакетов.

заклепок соответствует рис. 173, а расположение пазов и стыков — рис. 176. Каждая повторяющаяся секция палубы, включающая в себя схему, имеет в каждой шпанге один стык верхнего и один стык нижнего слоя брони. На каждом стыке один слой разрезан полностью, а другой слой является стыковой пластикой, ослабленной заклепочными отверстиями вдоль стыка. Коэффициент прочности листа верхнего слоя в ослабленном сечении обозначим буквой φ_v , а нижнего слоя — буквой φ_n . Так как отверстия в верхнем слое зенкованные, а в нижнем

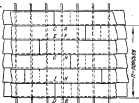


Рис. 176.

незенкованные, то φ_n несколько меньше φ_v . Применим тот же метод расчета, что и для наружной обшивки (разд. 44), т. е. сравним прочность обоих слоев пасты по сечению стыков CD к по сечению бимса AB :

$$2(x-2) + \varphi_v + \varphi_n > n(1+x),$$

откуда

$$n > \frac{4 - (\varphi_v + \varphi_n)}{1-x}. \quad (148)$$

Подставляя числовые значения, соответствующие толщинам листов 19 мм, расположенных, как показано на рис. 173 и 176, т. е. $x=0,86$; $\varphi_v=0,71$ и $\varphi_n=0,74$, получим $n>18$. Такое значение n намного превосходит имеющееся в рассматриваемом случае ($n=5$) и не может быть осуществлено на практике. Поэтому разрыв по стыкам всегда будет более вероятен, чем разрыв вдоль бимсов.

Сравним теперь разрыв по стыку с разрывом вдоль ломаной линии АВБСНКДВ. Обозначая через u относительную прочность среза заклепок вдоль паза таких участков, как JK, DM и т. д., получим:

$$(u-2)(1+x) + 4u + \varphi_v + \varphi_n > 2(x-2) + \varphi_v + \varphi_n,$$

откуда

$$u > \frac{(x-2)(1-x)}{4}, \quad (149)$$

Подставляя численные значения для прежней толщины листов, получим

$$y > \frac{3 + 0,14}{4} = 0,106.$$

На рис. 173 показаны листы шириной 1650 мм и заклепки диаметром $d=25$ мм. Вдоль каждого паза на участках IK, BD и т. д. находятся по шести заклепкам, следовательно,

$$y = \frac{6 \cdot \frac{\pi d^2}{4} \cdot F_p}{165 - 1,37} = \frac{8,34\%}{165} = \frac{29 \cdot 0,67}{165} = 0,081.$$

Это значительно меньше, чем требуется по выражению (149); поэтому рассмотренная ломаная линия является наиболее слабым сечением настила.

Коэффициент прочности этого сечения

$$\sigma = \frac{(n-2)(1+z) + 4y + v_1 + v_2}{2x} = 0,74.$$

Такая величина коэффициента прочности представляется удовлетворительной и поэтому нет необходимости прибегать к стыковым планкам. При постановке на обеих слоях стыковых планок коэффициент прочности может быть увеличен до 0,9, но это потребовало бы заметного увеличения веса и стоимости конструкции.

Рассмотренный здесь случай является обычным в практике; прочность палуб других конструкций может быть исследована таким же путем.

7. Водонепроницаемость. При любой конструкции броневой палубы имеет два, а в некоторых случаях и три слоя листов, поэтому требуется специальные меры для обеспечения ее водонепроницаемости. Сравнительно мягкая никелевая сталь может чеканиться, но для текания требуется очень тщательная сборка листов. Палубный настил из судостроительной стали, установленный под броневыми листами, должен быть тщательно промежен.

На наклонной части палубы броневые листы обычно не чеканятся. Во избежание просачивания воды между броневыми листами и настичом настилом палубы, в зоне по стержням заклепок они примыкают водные стопора.

В отношении обеспечения водонепроницаемости броневой палубы, состоящей из двух слоев броневых листов без настила под ними, существует различная практика. В некоторых флотах чеканится оба слоя брони, причем более тщательно нижний; в других флотах чеканится только один верхний слой. При чеканке обоих слоев трудно обнаружить течь, так как вода может проходить между слоями и выходить через нижний слой далеко от места, пропускавшего течь в верхнем слое.

В английском флоте нижний слой не чеканится; взамен этого применяются водные стопора. В датском флоте между слоями прокладывается во всей поверхности палубы просмоленный войлок. Эта мера вместе с чеканкой верхнего слоя дает прекрасные результаты. Свинцовый сурок оказывается неэффективным через несколько лет.

Если под двумя слоями брони имеется водонепроницаемый палубный настил, то чеканить следует лишь верхний слой брони.

8. Сварка броневых палуб. Сварка в настоящее время широко применяется для соединения частей броневых палуб, изготовленных из мягкой стали, но она также начинает вытесняться и для соединения палубной брони.

64. Палубные бимсы и другой палубный набор

1. Расстояние между бимсами. Обычно бимсы ставят на всех шпангоутах, образуя вместе с последними замкнутые рамки в попечнической плоскости. Под палубами, нагруженными бомбаписами и другими тепловыми грузами, может появиться необходимость в восстановке промежуточных бимсов. На малых кораблях, особенно, если палубы мали и палуба покрыта деревом, бимсы можно ставить на каждом втором шпангоуте.

2. Разные типы бимсов. Бимсы обычно делаются из непрерывных полос углобульбовой или коробчатой стали; последняя в настоящее время наиболее широко применяется на военных кораблях. В некоторых специальных случаях применяются двухтавровый или тавровый профиль и профили, составленные из листов и уголников. На малых кораблях бимсы делаются из пристых уголников.

Коробчатый профиль удобнее, чем углобульбовой, при креплении бимсов к шпангоутам, при соединении с продольными балками и при креплении к нему подволоки. Он обладает также несколько большими моментом инерции сечения при одном и том же весе. Но, с другой стороны, он страдает больше, чем углобульб, от несимметричности формы поперечного сечения. Если потребуется некоторые коробчатые бимсы усилить, то для этого к их нижней полке легко можно добавить или обратный уголник или полосы. Такой способ усиления профиля предпочтительнее, чем увеличение высоты профиля, так как желательно, чтобы высота всех бимсов под палубой сохранялась одинаковой. Кроме того, при этом будет значительно увеличен момент сопротивления, так как поясок палубы, работающий с бимсом, будет лучше уравновешен, и, наконец, симметричность формы сечения бимса будет по некоторой степени восстановлена. В некоторых случаях два коробчатых профиля склеиваются друг с другом спlicesами.

Тавровые и двухтавровые профили не так удобны для соединения со шпангоутами, однако двухтавровые профили применяются по многих случаях, когда требуется большая прочность. При соединении тавров и двухтавров со шпангоутами полку с одной стороны бимса в районе соединения необходимо срубить. В последнее время в связи с применением электросварки большое применение находят разрезанные двухтавры.

Бимсы, составленные из листов и уголников, редко применяются на военных кораблях, но на коммерческих судах такие составные профили обычно ставят для образования редко расположенных усиленных бимсов в грузовых трюмах или в машинных отделениях, когда невозможно или невозможно поставить бимсы на близких расстояниях друг от друга. На таких бимсах нет палубного настила, но широкие стрингерные листы прикрепляются к их концам в трюмах с тем, чтобы более равномерно распределить реакцию этих бимсов вдоль бортов. Так как основным назначением таких усиленных бимсов является обеспечение связи между бортами и увеличение этих жесткости корпусной конструкции, то на военных кораблях лицу более частого рас-

положения поперечных переборок в их установке обычно нет надобности. Иногда, однако, может быть желательной постановка усиленных бимсов поперек больших вырезов люков. На военных кораблях усиленные бимсы применяются в качестве подкреплений под дымозады, дымовые трубы и другие большие соорудительные грузы.

3. Прочность. При определении прочности, а следовательно, сечений бимсов, приходится больше полагаться на практику и опыт, так как усилия, действующие на бимсы, во многих случаях оценить трудно. Однако теоретическое рассмотрение вопроса прочности бимсов и условные расчеты их прочности представляют известный интерес.

Основное назначение бимсов — подкрепить палубу так, чтобы она могла сопротивляться усилиям, действующим в ее плоскости, и выдерживать действующую на нее нормальную нагрузку. Усилия, действующие в плоскости палубы в поперечном направлении, трудно или даже невозможно определить. Однако опыт показывает, что палуба, достаточно прочная по отношению к нормальным нагрузкам, оказывается достаточно прочной и по отношению к усилиям, которые могут действовать в ее плоскости в поперечном направлении. Вопрос подкрепления палубы для сопротивления продольным усилиям будет рассмотрен отдельно, поэтому в данном случае рассмотрим лишь действие на палубу нормальных нагрузок.

4. Нормальная нагрузка. Мы же будем здесь рассматривать действие на палубу весов таких больших соорудительных грузов, как орудия, испытательные механизмы и др., для поддержания которых палуба должна быть так подкреплена, чтобы эти веса передавались непосредственно на движущий набор. Остается рассмотреть нагрузку от команды, перевозки и хранения случайного груза, действия дульных газов и вытыхающейся на палубу волны. Наибольшая нагрузка от скопления людей может быть принята эквивалентной нагрузкой в $740 \text{ кг}/\text{м}^2$ и должна быть принята в качестве минимальной для всех палуб, на которых могут скопляться люди. Такая нагрузка может считаться достаточной для палуб надстроек и жилых помещений, если они не могут загружаться более интенсивно какими-либо другими нагрузками.

Нагрузку на палубы, на которых временно находятся боезапасы, уголь, провинт или другие тяжелые грузы, следует считать эквивалентной нагрузкой в $1220 \text{ кг}/\text{м}^2$, имеющейся стандартной для пологих кладовых. Увеличение нагрузки на 15% с учетом инерционных сил при качке корабля, получим расчетную величину нагрузки около $1470 \text{ кг}/\text{м}^2$.

Действие дульных газов при стрельбе из орудий следует учитывать лишь для открытых палуб. При стрельбе из орудий на палубу в конусе дульных газов действуют большие нагрузки от давления и их разрежения. О величине этих давлений известно мало, но автор в некоторых случаях наблюдал значительные прогибы бимсов палуб, в то время как в других случаях наблюдался срез заклепок, соединяющих палубу с бимсами, вследствие поднятия палубы. Надо подчеркнуть, что нагрузка от давления дульных газов значительно превышает величину нагрузки, принятой выше в качестве расчетной на палубы в кладовых, но эта нагрузка имеет случайный и местный характер и район ее действия, по всей вероятности, может резко превысить некоторую часть длины бимса. Нагрузка от дульных газов проявляется только во время стрельбы, и поэтому ее значение сравнительно невелико.

При нахождении корабля в море на его открытой палубе скапливается вода, причем статическое давление этой воды во многих случаях сопровождается значительным динамическим давлением, зависящим от скорости, с которой волна ударяется о палубу. Слой воды высотой около 1,5 м создает статическое давление в 1500 кг/м². И в этом случае мы не можем знать точную величину действующей на палубу нагрузки. Можно сказать лишь, что эта нагрузка будет больше у мак-Борбетского корабля, чем у высокобортного. Известны случаи, когда низкий борт на грузовых пароходах являлся причиной аварии в открытом море.

Действию дымных газов и хлаката забортной волны подвергается лишь открытая палуба. На гусеничных кораблях эта палуба обычно имеет деревянный настил, который подкрепляет палубу и распределяет действующую на палубу нагрузку на большую площадь. Трудно оценить влияние деревянного настила на прочность палубы, но, учитывая опыт, можно предполагать, что это влияние достаточно полно компенсируют действие дымных газов и хлаката забортной волны. Поэтому в качестве расчетной нагрузки для открытой палубы следует принять нагрузку, приложенную для других палуб, т. е. около 1500 кг/м², не учитывая при этом в расчете прочности палубы ее деревянного настила. В местах действия на палубу дымных газов от орудий большого калибра должны быть установлены подкрепления, соответствующие опытным данным.

Расчетная нагрузка для палуб помещений, где постоянно хранятся спирды, уголь или другие перемещаемые грузы, может быть значительно больше, чем для других палуб, но ее можно найти с достаточной степенью точности. В некоторых погребах эта нагрузка может достигать величины 7000 кг/м². Если тяжелые спирды подаются и временно хранятся на обшивочных палубах, то должны быть приняты специальные меры предосторожности.

5. Расчет прочности бимсов. При вычислете момента изгиба в сечении бимса должен исключаться поясок палубы шириной 30 см. Если палуба покрыта деревом, то ее прочность и жесткость значительно увеличиваются. Деревянный настил подкрепляет листы палубы против выпучивания и сам непосредственно сопротивляется сжимающим усилиям при изгибе палубы. Очевидно, величина последнего сопротивления очень трудно определить, так как она зависит от состояния деревянной палубы. Несколько известно автору, экспериментальных работ, освещавших этот вопрос, не было, и поэтому деревянный настил палубы не будет приниматься в расчет. Как будет показано дальше, бимсы можно рассматривать как балки с заделанными концами. Предполагая наличие промежуточных опор в виде пиллерсов или продольных переборок, делающих длину бимсов на равные части, и нагрузку равномерно распределенной, мы можем считать бимсы заделанными на этих опорах.

Пусть l — длина изогнутой части бимса, w — нагрузка на ноговую единицу длины бимса и S — момент сопротивления его сечения. Наибольшее напряжение в обзорных сечениях бимса будет равно:

$$\sigma = \frac{w l^2}{125}. \quad (150)$$

Из этого выражения видно, что при заданной нагрузке и заданном напряжении момент сопротивления сечения бимса должен быть про-

Верхнейней квадрату пролета балса, или, следовательно, для заданного сечения балса, при заданной нагрузке и заданном напряжении должно быть некоторое определенное расстояние между пяллерами или другими точками опор, которое нельзя превосходить. Это правило применяется для расчета балок из вспенных и куммерических материалов.

Пример 1. Планка линейного короба толщиной 12,5 мм подкреплена балками коробчатого профиля 250 × 80 × 25 × 9,5 мм, расположенные на расстоянии 1200 мм друг от друга. Принимая расчетную разнотолщину распределенную нагрузку на планку 1000 кг/м, определить допустимое расстояние между опорами балок.

Имеем $w = 1000 - 1,2 - 1800 \text{ кг/м} = 18 \text{ кг/м}$. Момент сопротивления сечения балки с учетом присоединенных пластина шириной 300 = 30 · 1,25 = 37,5 см; $S = 360 \text{ см}^3$.

Из выражения (140)

$$\rho = \frac{125p}{w} = \frac{12 \cdot 360 \cdot 1100}{18} = 38,3 \cdot 10^6 \text{ см}^2.$$

Следовательно,

$$J = 5,33 \cdot 10^6 \text{ см}^4 = 5,3 \text{ м}^4.$$

Если ширину планки заменить на 500, учитывая падение деревянного пакета, то получим момент сопротивления $J = 400 \text{ см}^4$, а длину участка балки $I = 3,4 \text{ м}$. Это показывает, что ширину замыкаемого пролета короба планки можно менять на результат расчета. Применим для ширин планки в 300 мм в 500, все равно количество допустимых пролетов балок получится равным примерно 3,5 м, что хорошо согласуется с обычной практикой.

Пример 2. Планка в коробе дли 147 см имеет толщиной 9,5 мм подкреплена балками из коробчатого профиля 250 × 80 × 25 × 9,5 мм с расстояниями между ними 600 мм. Балки сечением параллельными на продольных перегородках, расположение между которыми равно 3,15 м. На концы пролетов балок действует вес 24 сидений; вес сидения равен 60 кг. Найдите наибольшее напряжение в балках планки.

Нагрузка на балку

$$w = \frac{24 \cdot 600}{300} = 48 \text{ кг/м}.$$

Момент сопротивления сечения балки с концами пластина шириной 300 = 38,5 см $S = 400 \text{ см}^3$.

Наибольшее напряжение в балке по выражению (150)

$$\rho = \frac{42 \cdot 380}{12 \cdot 400} = 1120 \text{ кг}.$$

что находится в пределах допускаемых напряжений.

В таблицах Лесбера для определения сечений балок в качестве аргумента приведены длины балок. Сечение балок лежит в рамках таблиц для балок, состоящих из кипов шпонающих, через пакеты и широкие распределенные усилияных прокладок балок при сечении, двух и трех рядах пяллеров. Пролет балок не может в прокладках от 1,8 до 8,5 м.

Рассмотрим в качестве примера балку длиной 24 м, подкрепленный трямы пяллерами. По таблицам Лесбера находим балку углобрусьевого профиля 250 × 80 × 11 мм. Принимаем, что расстояние между балками 0,9 м и толщина пластина 12,5 мм. Удельный объем грунта 1,4 м³ на 1 м пролета высота трямы 2,3 м, этому соответствует нагрузка, равная $\frac{2,3}{1,4} = 1,65 \text{ кг/м}^2$.

При

$$I = \frac{24}{4} = 6 \text{ м}, w = 1,65 \cdot 0,9 = 1,5 \text{ кг/м} = 15 \text{ кг/м} \text{ и } S = 415 \text{ см}^3$$

наибольшее напряжение в балке по выражению (140)

$$\rho = \frac{15 \cdot 400}{12 \cdot 415} = 1100 \text{ кг}.$$

б. Одновременные сечения бимсов, применяемые на практике. Предположение о равномерном распределении нагрузки по длине бимсов и о разном расстоянии между их опорами не выполняется на практике. Поэтому наибольшие изгибающие моменты в бимсах могут возникать не в их спиральных сечениях, а в пролетах бимсов. Поскольку величина пролета между опорами не превосходит определенного выше максимума и поскольку нагрузка не является чрезмерно сосредоточенной, то все отложения в нагрузке при принятых выше условиях могут быть удовлетворительно восприняты бимсами постоянного сечения по их длине, если прочность бимсов определяется в соответствии с выше определенной величиной максимального изгибающего момента. Кроме того, все бимсы палубы должны иметь одинаковую высоту профиля по длине корабля, так как это упрощает прозорку и подвеску различных трубопроводов, которые в этом случае отнимают меньшую высоту помещений. Лишь в концевых районах корабля, где ширина корабля становится меньшей, чем допустимая длина неподкрепленного бимса, в некоторых случаях может оказаться выгоднее с меньшими прочными размерами. Такого уменьшения прочности бимсов не надо, однако, пытаться, если палуба подвергается действию дульных газов от огня тяжелых орудий или ударом волн.

7. Бимсы над броневыми палубами. Броневые палубы испытывают большую нагрузку от собственного веса, а нижние броневые палубы могут нагружаться, кроме того, большим весом, передаваемым на них с выпадающими палубами паллерами, переборками и шкантами; в то же время на них непосредственно могут размещаться другие веса, например, дымоходы, динамовые трубы, уголь и т. д. Не всегда можно линию сечеия продолжить непосредственно до набора длины; там, где это не сделано, бимсы должны быть подкреплены продольными подпалубными балками или же должны быть дополнительно усилены сами бимсы.

Подкрепление броневых палуб для восприятия нагрузки от действия снарядов зависит от качества и толщины брони, как об этом уже было сказано выше.

8. Погиб бимсов. Бимсы частично или полностью открытых палуб, подвергающихся действию непогоды или волн, должны иметь слегка выпуклую форму, чтобы облегчить сток воды с палубы через штермовые шлаггаты. Прочие палубы могут не иметь погибов, исключая, может быть, вторую палубу на больших кораблях, на которой могут скапливаться большие массы воды при частях палубы. Важное значение палубы на прочность бимсов, вероятно, невелико, так как ее величина неизначительна и борта корпуса недостаточно жестки, чтобы служить прочными распорами для бимсов. Наибольшая стрелка погиба бимсов верхней палубы изменяется от $\frac{1}{10}$ длины бимса на малых кораблях до $\frac{1}{100}$ на больших военных кораблях. Стрелка погиба на второй палубе является обычно в два раза меньше. Международная конвенция о грузовой марке 1929 г. требует, чтобы величина стрелки погиба бимсов равнялась $\frac{1}{10}$ длины бимса. Краяя, по которой изгибаются бимсы, представляет собой обычно дугу круга, причем для образования ровной поверхности палубы радиусы этих окружностей должны быть приняты одинаковыми для всех бимсов. Поэтому достаточно сделать лишь одно построение кривой погиба бимсов для бимса, имеющего наибольшую длину.

Это построение может быть сделано, как показано на рис. 177. На этом рисунке длина отрезка AB равна полудлине бимса, а величина AC равна наибольшей стрелке кривизны бимса. $ABCD$ — прямоугольник. Отрезки AB и DE делятся на одинаковое число равных частей. Через точку C к точкам деления линии BD проводятся прямые линии и из точки деления линии AB проводятся перпендикуляры к этим линиям. Основания этих перпендикуляров определят точки, лежащие на дуге



Рис. 177. Построение для вычисления центра кривизн.

окружности. Для доказательства этого положения рассмотрим один из этих перпендикуляров, например PM , проведенный к прямой CE . Продолжим MP до пересечения с продолжением CA в точке O , не показанной на рис. 177. Если можно доказать, что OA постоянно, тогда точка M лежит на окружности, построенной на CO , как на диаметре, так как CMO прямой угол.

$\triangle OAP$ подобен $\triangle CDE$, откуда

$$\frac{OA}{CD} = \frac{AP}{DE};$$

но по построению

$$\frac{AP}{DE} = \frac{AB}{DB},$$

следовательно,

$$OA = CD \cdot \frac{AB}{DB},$$

т. е. постоянно.

9. Крепление концов. Крепление концов бимсов к шпангоутам должны сопротивляться следующим усилиям:

1. Перекинувшим или разрушающим при поперечной качке корабля, вызываемым переменные пары на концах бимсов. На военных кораблях бимсы под второй палубой в палубами, расположенным ниже второй, разгружаются от действия таких усилий часто расположенным поперечным переборками, но главная и верхняя палубы не всегда хорошо подкреплены и, кроме того, они оказываются загруженными тяжелыми грузами, создающими большие боковые инерционные силы при качке корабля. Поэтому для бимсов этих палуб должны учитываться перекинывающие усилия, требующие весьма прочного соединения концов бимсов.

2. Нагибы и срезу от нагрузок, нормальных к палубам.

3. Усилия, возникающие при ударе скайдов в бортовую броню, для которой палуба служит жесткой опорной кромкой. Здесь бим-

сы служат опорами для бровевого борта, а потому важно, чтобы бимсы непосредственно упирались в борт, образуя возможную более неподвижную опору. Крепление концов бимсов у таких шалуб должно осуществляться с большой жесткостью.

Крепление концов бимсов выполняется или в виде сварной бимсовой кницы, или в виде отдельной листовой кницы. Вварная бимсовая кница образуется разрезом стекки профиля, отгибом нижней части его и сваркой между разрезанными частями бимса куска листа треугольной формы. Отделенная листовая бимсовая кница имеет треугольную форму и обычно отфланкированную наружную кромку; такая кница приспособлена к бимсу. Толщина листовой кницы равна толщине стекки бимса. Отделенная бимсовая кница устанавливается обычно между стекками бимса и шпангоута или же они высаживаются.

Размеры бимсовых книц определяются их высотой $ОА$ и сечением $ОС$, показанными на рис. 178 и 179. Высота $ОА$ зависит от числа необходимых заклепок и обычно является в 2½—3 раза большее высоты профиля бимса. Размер по сечению $ОС$ должен быть достаточным, чтобы не произошло разрушения по этому сечению. У отдельной кницы без отогнутого фланца размер должен быть больше, чем у сварной кницы при бимсах из углобусильей или швеллеров. По правилам Ллойда до 1922 г., размер $ОС$ не должен был быть меньше $\frac{1}{3}$ высоты кницы и не меньше, чем 1,5—1,8 высоты бимса.

При заклепках диаметром 19 мм, как это обычно бывает, можно считать хорошо удовлетворяющим практике следующее правило для определения числа заклепок в кничном соединении бимса со шпангоутом: число заклепок этого соединения должно определяться из расчета одна заклепка на каждые 25 мм высоты бимсового профиля из швеллера или углобусильи. При шахматной клепке и при высоте сварного колена бимса, равной трех высотам профиля бимса, шаг заклепок в каждом ряду при этом правиле получается равным 8d заклепки.

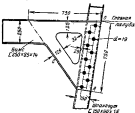


Рис. 178. Вварная бимсовая кница.

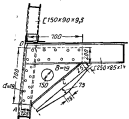


Рис. 179. Отделенная бимсовая кница.

Где только возможно, бимсы должны соединяться со шлангоутами непосредственно самой или двумя заклепками, проходящими одновременно через бимс, бимсовую книзу и шлангоут. При достаточно высоком профиле рамных шпангоутов отпадает необходимость в бимсовых кницах, так как простой накрой бимса будет достаточно для размещения нужного числа заклепок. Так, например, бимсы бровевой палубы обычно прорезают внутреннее дно и непосредственно крепятся с флангами. Бимсы платформы не должны прорезать обшивку второго дна, а крепиться к ней кницами, для чего соответствующий пояс этой обшивки несколько утолщается.

10. Прочность концевых соединений. Сравнивая прочность изварных и отдельных бимсовых книц, необходимо в первую очередь рассмотреть заклепочные соединения. Так как число заклепок в соединении отдельной кницы с бимсом и шлангоутом одинаково и равно числу заклепок, соединяющих изварную кницу со шлангоутом, то может казаться, что прочность соединения при помощи отдельной кницы такой же, как соединения при помощи изварной кницы. Однако соединение при помощи изварной кницы всегда предпочтительнее, так как здесь отсутствует возможность сдвига в заклепках, соединяющих кницу с бимсом. Если палубы служат опорой для бортовой брони, соединение концов бимсов при помощи изварных книц образует хорошую опору для борта, если кница непосредственно соприкасается с бортом. Поэтому крепление концов бимсов изварными кницами должно применяться для всех палуб, служащих опорами для бортовой брони, и там, где требуется большая жесткость этого соединения, как, например, под главной палубой. Крепление изварными кницами осуществляется обычно и тогда, когда предают значение лучшему внешнему виду. Применение изварных книц обходится дороже, чем отдельных бимсовых книц.

При выше рассмотренном креплении концов бимсов напряжения от изгиба бимсов достигают предела текучести еще задолго до среза заклепок, поэтому необходимо учитывать только изгиб бимсов. Раньше уже была рассмотрена прочность бимса при изгибе в сечениях между опорами. В этих сечениях прочность бимса усиливается работанием вместе с ним листом. Прочность же бимсов в сечениях у книц зависит от прочности заклепок, соединяющих кницу со шлангоутом, а также от прочности заклепок, соединяющих палубный стрингер с бортом. Исследования некоторых типичных конструкций показали, что разрушающая нагрузка этих заклепочных соединений обычно почти на 50% больше разрушающей нагрузки бимса. Этот избыток прочности в концевых соединениях бимсов определяется требованиями монолитности конструкции и переменным характером действующих в этих соединениях усилий.

В этом случае крайне важнейшими являются в заклепочных соединениях. Трудно утверждать, что рекомендуемая здесь конструкция концевых бимсовых соединений всегда наилучшим образом соответствует этим требованиям. Однако существующая практика и опыты показывают, что это соединение достаточно прочно. Ввиду жесткости борта и большой прочности концевых соединений, по нашему, целесообразно склеивать бимс кницами жестко заделанными концами, как выше и предполагалось.

При соединении бимсов со шлангоутами при помощи заклепок необходимо обычно применять шесиметровые профили (коробчатые,

аст-образные, угольники), что дает создание асимметричным. При сварке можно получить значительно более эффективное, конструктивно простое и симметричное соединение. Как показано на рис. 180, стены бимса и шпангоута просто переходят одна в другую, будучи сваренными с кинней. При этом шпангоут и бимс образуют непрерывную балку, идущую по борту и под палубой.

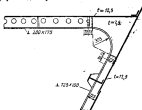


Рис. 180. Сварка конструкции соединения бимса со шпангоутом.

11. Непрерывность бимсов. Обычно бимсы делаются непрерывными от борта до борта, если на их пути нет вырезов для палубных люков. Если по тем или иным причинам бимс имеет стык, то стыковое соединение бимса осуществляется двойными сплошными плавниками по стенке бимса и горизонтальной плавникой по нижней его полке. В качестве плавника для верхней полки служит настил палубы. Все стыковые плавники должны иметь трапециoidalную форму и стыки должны быть хорошо разглажены. Под броневой палубой, имеющей бортовой скос, стыки бимсов иногда делаются в районе изгиба, при переходе горизонтальной части палубы в наклонную. Однако в большинстве флотов в этом случае бим-

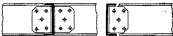


Рис. 181. Соединение полубимсов с киннегом.

сы соответствующим образом изгибаются, оставаясь в месте изгиба непрерывными. Всюду, где возможно, бимсы должны идти непрерывно от борта к борту, но в районе люков и барбетов их приходится разрезать. Такие частичные бимсы называются полубимсами.

12. Карлсгесм и комингсы. Продольные кромки ложек подкрепляются балками того же профиля, что и бимсы, называемыми карлсгесмами, к которым крепятся концы полубимсов при помощи двойных уголков. Карлсгесм, передающий нагрузку с полубимсов на ближайшие непрерывные бимсы, должны быть надежно соединены с ними. Обычно это соединение осуществляется двойными короткими соединительными угольниками (рис. 181). Если перерезано несколько бимсов, у угла вы-

резов необходимо поставить пиллерсы. Обычно длина листов делается кратной ширине, так что бимсы составляют часть поперечных комингсов люков; эти бимсы иногда необходимо подкреплять обратным утолянником. При длинных люках, например, люках машинных и котельных отсеков, карлентсы того же профиля, что и бимсы, не в состоянии передавать нагрузку от полубимсов на концы листов. Поэтому такие карлентсы должны быть подкреплены промежуточными пиллерами. Наличие шахт, ограждающих вырез, обычно делает невозможной установку пиллеров. В таком случае целесообразно заменить карлентса сравнительно высоким и толстым комингсом с выступом листом, являющимся частью шахты. Комингс должен соединяться с настилом палубы соответствующим утолянником, к которому должны крепиться концы полубимсов при помощи двойных коротких утолянников, как это показано на рис. 182. Ребра жесткости шахт должны быть вертикальными и соединяться непосредственно с комингсами.

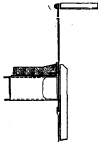


Рис. 182. Комингсовый лист.



Рис. 183. Современная сварная конструкция соединения полубимса с карлентсом и продольной балкой.

листами для эффективного подкрепления последних. Комингсы броненых палуб, воспринимающие нагрузку с вынесенных комингсов, должны изготавливаться из более толстых листов и, где возможно, подкрепляться тяжелыми пиллерами. Эти комингсы должны соединяться с палубой двойными утолянниками. На рис. 183 показана современная сварная конструкция соединения полубимса с карлентсом и с продольной подпалубной балкой.

13. Продольный набор палуб. Назначение продольных балок под палубами заключается, главным образом, в обеспечении продольной жесткости (устойчивости) настила палубы. Прочность палубы может быть обеспечена за счет достаточной площади поперечного сечения листов подпалубного настила; нужная жесткость может быть получена только путем добавочного подкрепления продольными балками. Существуют еще и другие причины для применения продольных балок. Если бимсы разрезаны длинными ложками, то необходимо установить продольные балки, перекрывающие пролет от переборки до переборки. Такие же балки необходимо поставить под тяжелыми сосредоточенными грузами, если их могут быть поставлены пиллерами и переборками. Под орудиями второстепенной артиллерии, под шинами и другими грузами умеренного веса, особенно при динамических нагрузках, должны устанавливаться короткие продольные балки, длиной, достаточной для

разнесения нагрузки на несколько бимсов. Если палубный настил настолько толок, что не в состоянии поддерживать обычную действующую на палубу нагрузку, то он должен быть подкреплен легкими продольными балками, защищеными от бимса до бимса.

В первую очередь, однако, необходимо обеспечить общую производственную прочность и жесткость палубы, и если это сделано в достаточной степени, то против требования к прочности палубы обычно уловствуются сами собой. В этом отношении условия настолько отличаются для разных классов кораблей, что их надо рассмотреть отдельно.

1. Линейные корабли. Противная палуба у линейных кораблей обычно обладает достаточной прочностью без помощи продольных балок и устойчивость ее обеспечивается покрытием деревянным настилом или броней. При отсутствии деревянного настила на тонкой палубе, например, на главной палубе, в пределах настилок и на второй палубе настил подкрепляется легкими продольными ребрами, обычно наклонистальными между бимсами. На французских кораблях эти ребра, выполненные из уголников, иногда отгибаются вниз по стекам бимсов, как показано на рис. 184, а. В некоторых других флотах применяются траповые профили, которые не соединяются с бимсами и служат позиционными элементами для палубного настила. Назначение этих продольных ребер заключается, главным образом, в подкреплении настила палубы между бимсами для поддержания нормальной нагрузки без большого прогиба, но в то же время они увеличивают устойчивость настила против сдвигающих продольных усилий.

Как указывалось выше, броневая палуба часто очень сильно нагружена и ее может быть вполне достаточно подкрепленной пиллерсами или переборками, особенно в районе машинных и котельных отделений. На многих кораблях создается жесткая опора палубы диаметральной плоскости в виде диаметральной переборки, или центрального коридора, или центральной листовой подпалубной балки. Однако между диаметральной плоскостью и бортовыми переборками часто бывает трудно создать непосредственную опору для палубы в желательном месте. В этом случае рекомендуется устанавливать одну или несколько продольных подпалубных балок соответствующей прочности с каждой стороны между диаметральной плоскостью и бортовыми переборками, опирая эти балки, по возможности, на пиллерсы или делая их достаточно прочными для передачи нагрузки на поперечные переборки. На многих кораблях с каждого борта между броневой и второй палубой устанавливают легкие продольные переборки, ограждающие дымоходы и машинные лежи и образующие внутренние стены длинного коридора. В этом случае продольные подпалубные балки следует ставить непосредственно под этими переборками. Хотя такие переборки как балки не имеют большой прочности, все же они могут передавать значительную нагрузку сверху.

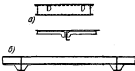


Рис. 184. Подкрепление тонких листовых настилов палуб.

2. Легкие крейсеры. На легких крейсерах действуют большие продольные усилия, чем на линейных кораблях, и требуется более полное использование материала для обеспечения продольной прочности корпуса. Вдоль машинных и котельных люков под прочной палубой с каждого борта должны быть поставлены продольные балки, соединяющие различные жесткостные листы, которые, таким образом, становятся составными частями продольных связей. Ницу этого комплекса должны, по возможности, располагаться по прямой продольной линии, а продольные балки под ними должны быть протянуты на некоторое расстояние за вырезы люков в направлении носовой и кормовой оконечностей судна. Такие балки, которые будем называть *коны гибовыми*, будут увеличивать площадь поперечного сечения палубной конструкции и, таким образом, непосредственно увеличивать общую прочность корпуса. Они также будут увеличивать прочность и жесткость прилегающих к вырезу люка поясьев палубного настила, уменьшая концентрацию напряжений в углах люков и, наконец, являясь опорами для полубимсов и переборок при нагрузке с последних на свои опоры. По имеющимся у автора сведениям, на существующих кораблях этого класса конигибовые балки не ставились, но установка их представляется целесообразной, особенно там, где они могут работать совместно с продольными переборками шахт, идущих между главной и второй палубами. Это надо иметь в виду в ранней стадии проектирования, когда решается вопрос расположения и выбора ширины люков прочной палубы.

На многих легких крейсерах прочная палуба покрывается деревянным настилом, но если этого не делается, то должно быть удалено недолжное внимание обеспечению ее устойчивости. Страйгерные листы имеют настолько большую толщину и так хорошо подкреплены пирстремом, что не требуют никаких добавочных подкреплений. Однако толщина внутренних поясьев настила палубы часто бывает настолько малой, что без подкрепления продольными ребрами они не могут работать эффективно при сжатии палубы, когда корабль находится на подошве волн, и не могут выдержать достаточно жесткой опорой для обычной поперечной нагрузки.

Для подкрепления палубы против сжимающих усилий достаточно поставить легкие уголники, интеркостельные между бимсами, но если желательно одновременно и увеличить прочность палубы против растягивающих усилий, то следует применить полуинтеркостельные продольные балки с непрерывными частями их под бимсами.

Как было указано выше, лучше всяка палубного настила между стрингером и вырезами люков делать такой толщины, чтобы r не было бы больше 60. Если при этом поставить интеркостельные тавровые балки вдоль шахт, то, вероятно, устойчивость листов будет полностью обеспечена.

3. Минноносцы. На кораблях этого класса конструкция палубы должна быть удалено особенно большое внимание, так как палуба здесь не покрыта и ослаблена большими вырезами, в то время как обшивка днища не имеет вырезов и делается из более толстых листов. Ввиду концентрации весов в средней части линии этих кораблей изгибающий момент на подошве волн получается болтыми, а следовательно, получаются очень большие и сжимающие напряжения в палубе. Поэтому конструкция палубы должна обладать достаточной

устойчивостью, обеспечивая требующуюся жесткость эквивалентного бруса при изгибе. Обеспечение устойчивости настила палубы стало особенно важным после введения сталей высокого сопротивления, сопровождавшегося уменьшением толщины настила.

Распределение материала в палубе должно быть таким, чтобы получилось надлежащее соотношение между толщиной настила и расстоянием между продольными балками, их высотой и прочими размерами. Неподобно, как это было на старых миноносцах, делать высокие и очень прочные продольные балки под тонкой палубой, так как площадь поперечного сечения их, зачитываемая в составе эквивалентного бруса, могла бы быть более рационально использована путем распределения ее между большими числом легких продольных балок, которые более эффективно подкрепили бы листы палубного настила. Балки на старых миноносцах обычно имели такую же конструкцию, как и шпангоуты бортов, т. е. они состояли из тесно расположенных легких балок и редко расставленных усиленных балок той же конструкции, что рамные шпангоуты (см. рис. 159). Такая система набора палубы занимала много места по высоте и не обеспечивала устойчивости палубы вследствие ограниченного числа продольных балок, устанавливаемых на разные расстояниях одна от другой с интервалами, часто большими полуторакратного расстояния между шпангоутами. Протяженность по длине корабля этих продольных балок на многих кораблях определялась по местным условиям и не увязывалась с вопросом продольной прочности корпуса. Эти балки иногда шли по ломанным линиям, вследствие чего их сопротивляемость продольным усилиям значительно уменьшалась и возникали большие местные напряжения в палубе. Иногда применялись еще более неудовлетворительные конструкции, когда продольные балки прерывались для части балки, вместо того чтобы быть соединенными, или параллельно одна другой, перекрывая друг друга на некотором расстоянии у своих концов. Этой неквадратичной конструкции обычно можно избежать при разработке окончательного проекта.

Следует рекомендовать следующую конструкцию палубы применительно к миноносцу водоизмещением 1500—2000 т.

Непрерывные полосы палубного настила по бокам лежаков должны иметь приблизительно ту же толщину, что листы наружной обшивки в районе центральной оси. Страйгерные листы должны иметь двойную толщину против средней толщины палубы, определяемой по расчету продольной прочности, и должны быть установлены промежуточный пояс средней толщины для обеспечения постепенного изменения интенсивности касательных напряжений. Листы настила палубы между люками могут быть достаточно тонкими, поскольку это практически допустимо. Система набора палубы и краинки должна быть такой же, как и система бортового набора. Исключение могут представлять места палуб, где специальные условия могут потребовать отступления от этого правила. Балки должны быть высокими и стоящими на расстоянии 1800—2450 мм друг от друга. Их надо ставить в плоскости шпангоутов и они должны иметь такую же конструкцию, образуя полные шпангоутные рамки с высокими флангами по длину. Продольные балки, идущие под палубой, должны быть легкими, за исключением балок, идущих под палубным стрингером. Они должны итии непрерывно через рамные балки и переборки, к которым они должны крепиться короткими обделочными уголниками.

Расстояние между продольными балками и сечение их должны соответствовать толщине листов, которые они подкрепляют и которые вместе с ними образуют верхний поясок эквивалентного бруса. На прежних миноносцах с угольным топливом балки имели промежуточные опоры за бортовых продольных переборок. На миноносцах с нефтяным топливом продольные переборки ставятся редко и при их отсутствии поперечный набор палубы необходимо подкреплять пиллерсами. Если такие стойки нельзя поставить под рамным бисом, то при размещении их, между ними, они должны ставиться под продольной балкой, которая с этой целью должна быть соответственно утолщена. В некоторых случаях может потребоваться установка отдаленной местной пропольной балки. Для надлежащего крепления нижнего и верхнего концов пиллерса может потребоваться поставить пиллерс наклонно, но в практике надо избегать такой конструкции. Наклонный пиллерс подвергается значительно большему усилению, чем вертикальный. Кроме того, он создает добавочные напряжения в балках набора в местах крепления его концов и вызывает перекос шпангоутной рамки. Наклонные пиллерсы больше мешают использованию помещений, чем вертикальные.

65. Деревянные палубы

Как уже было сказано ранее, деревянные палубы на военных кораблях обычно применяются лишь для покрытия сплошной стальной палубы.

1. Материалы. В качестве материала для деревянного настила стальной палубы обычно служат сосна и тик. В американском флоте предпочтается желтая сосна. Сосна до употребления должна быть хорошо выдержана и ее применяется на настил палуб раньше, чем через 6 мес. после рубки. Тик является лучшим материалом для покрытия палуб и широко применяется в английском флоте, хотя часто для палуб в помещениях применяется канадская сосна. Тик особенно хорош для открытых палуб, палуб коридоров, палуб посребов боезапаса и для всех тех мест, где палуба подвергается наибольшему износу. Тик является наимучшим материалом для катересейсовых брусьев. Он несколько тяжелее сосны, но это тиковый настил может быть более тонким без ущерба для его износостойкости. Согласно правилам английского Ллойда, тиковый настил палубы может быть на 17—20% тоньше стальной. Тик не применяется повсеместно из-за его сравнительно высокой стоимости.

Деревянная палуба делается из досок, которые не должны иметь заболони и вредных сучков. Особенно недозвустыми сучки на верхней стороне палубных досок. Заболонь находится близко к коре и поэтому является более дроблой частью древесины, подверженной быстрой порче. Сучки могут вспаиваться, а если они находятся за верхней стороне досок, то они образуют буры, так как изнашиваются медленнее, чем соседние части поверхности.

2. Палубные доски. Доски должны иметь ровную ширину и толщину и пазы их должны лежать параллельно средней линии палубы. Для создания упора концами досок настила и во избежание непосредственного притыкания этих концов к металлу по периметру деревянного палубного настила устанавливаются скользящие бруски, называемые вatterейсом и т. д. Ваттерейсовые бруски изготавливаются из

более широких и толстых досок. В них делаются вырезы, как это показано на рис. 186, чтобы избежать острых углов в концах бородок. Если бы доски настила имели остро срезанные концы, то крепительные болты нельзя было бы устанавливать так близко к концам, как необходимо для конопатки. Там же же ватернейсы устанавливаются вокруг барбетов, надстройек, шкот, люков и т. п. Обделочные угольники этих конструкций, где к ним примыкают склоняющие деревянные бруски, должны иметь такую высоту вертикальной полки, чтобы они несколько возвышались над деревянным бруском. В противном случае между бруском и комингсами листы может задерживаться вода.

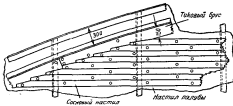


Рис. 186. Притяжные доски деревянного палубного настила.

Высота вертикальной полки ватернейсовых угольников у бортовых ватернейсовых брусков должна равняться толщине досок палубного настила.

Палубные доски имеют обычно ширину 230 мм (9") и толщину 75 мм (3"); в казематах и на мостиках толщина их уменьшается до 50 мм (2") и 38 мм (1 1/2"). Сосновые доски в американском флоте делаются квадратного сечения толщиной 90 мм (3 1/4") на главной палубе, 75 мм (3") на верхней палубе и 63 мм (2 1/4") на мостиках. Обычная длина палубных досок 6—12 м.

Палубные доски крепятся к стальному настилу палубы не менее, чем двумя болтами между двумя бимсами. Если позволяет ширина доски, то эти болты не должны находиться на одной линии. Стыки досок располагаются на бимсах, причем концы досок крепятся одинаковыми болтами с каждой стороны бимса (рис. 186).

При отсутствии стальной палубы доски кладутся непосредственно на бимсы и крепятся к ним. В этом случае наиболее подходящими являются бимсы таврового профиля, так как они дают лучшую опору для досок и позволяют осуществлять лучшее крепление их, чем бимсы с односторонне расположенной полкой. Стыки досок должны быть расположены на бимсах; чтобы болты не были слишком близко к концам досок, к бимсам прикладывают планки такой же ширины, что и доски, и достаточной длины для установки болтов, как это показано на рис. 187.

Стыки досок должны быть так разнесены, чтобы между соседними

стыками в каждой шпанге находилось не меньше трех или четырех непрерывных досок.

3. Крепление. Палубные доски крепятся оцинкованными болтами с гайками диаметром от 12,5 мм ($\frac{1}{2}$ дюйма) до 16 мм ($\frac{5}{8}$ дюйма) в зависимости от толщины палубы. Головка у болта круглая, но под головкой делается квадратная лежка для удержания болта от вращения в дереве.

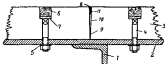


Рис. 156. Стык досок деревянного настила:

1—болт; 2—закатный винт; 3—подковочная болтка с квадратной лежкой в головке и с шайбами; 4—шайба; 5—деревянная пробка из сосновых бревен; 6—подставка под головкой в подушке; 7—шайба из дерева; 8—закатная скоба из дерева; 9—гра-нитная винтка на пакетах; 10—шариковая винтка, застопоренная на глубину 10 мм.

во время постановки гайки. В специальных случаях болты винчиваются в листы стального палубного настила. Под головкой болта, утапливаемой в дерево на 25 мм, делается подмотка. Сверху головки забивается деревянная пробка. Направление волокон в этой пробке должно быть такое же, что и в досках. Перед установкой пробка необходимо смачивать в баликах; они должны быть плотно пригнаны. Под гайку должна быть поставлена шайба с подмоткой, пропитанной бальзамами.

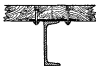


Рис. 157. Стык досок деревянного настила на палубе без стального настила.

При очень тонких листах стального палубного настила крепительные болты ставят вплотную с бимсами или на смыслах бимсах и, кроме того, иногда с каждой стороны палубы между бимсами ставят еще шурупы. Стягивающая сила этих шурупов меньше, чем стальных болтов, но зато они не нарушают целостности деревянной поверхности деревянного настила. Обычно каждая доска крепится в каждой шпанге одним саморезом болтом и одним шурпом.

4. Водонепроницаемость. Водонепроницаемость деревянной палубы достигается конопаткой пазов и стыков досок, для чего в них оставляют с верхней стороны просветы, в которые забивается конопатка из пакетов. После конопатки в пазах и стыках остаются щели глубиной около 20 мм для заполнения их морским клеем или горячим варом. Пазы деревянного настила на мостиках заполняются замазкой; при этом поверхность палубы получается более чистой, но менее надежной с точки зрения водонепроницаемости.

В покрытых стальными палубами имеется неудобство, заключающееся в том, что, если в деревянном настиле пойдет течь, то при промокании стальной палубы эту течь трудно обнаружить и

линизировать; поэтому предпочтительнее оставлять ее неокрашенной. Непосредственно перед настилом дерева стальная палуба должна быть покрыта густым слоем синтетового сурка¹.

68. Линолеум и другие палубные покрытия

1. **Линолеум.** Линолеум является палубным покрытием, широко применяемым взамен дерева. Линолеум изготавливается следующим образом. Смесь льняного масла с размягчением пробкой наносится на парусину, прессуется и затем вследствие окисления льняного масла затвердевает. Если линолеум недостаточно выдержан, то он растягивается и выпучивается и очень легко дает трещины. Поэтому до применения линолеум должен выдерживаться в течение двух лет в таких условиях, чтобы воздух имел доступ ко всем его частям и окисление льняного масла было закончено. Обычно линолеум имеет толщину около 3 мм, но если предполагается значительный износ, то применяется более толстый линолеум с толщиной около 6 мм ($\frac{1}{4}$ в.), вес квадратного метра которого около 4,9 кг/м². Линолеум постепенно в залах помещений, в салонах, в проходах и т. п., но иногда им покрываются палубы наплитроек, мостики и др.

Перед укладкой линолеума поверхность палубы должна быть очень хорошо высушена, очищена и выровнена. Все уггины и впадины должны быть слажены цементом и установлены соответствующие металлические планки в районе всех выступов. При укладке линолеума температура его должна быть около 16—21° С. Такой же должна быть и температура помещений, в которых укладывается линолеум. В местах, где линолеум может подвергаться сырости, с нижней стороны линолеума необходимо клеить парусину, пропитанную льняным маслом для краски.

Линолеум крепится к палубе цементом или водоупорным клеем. Широко применяется также раствор шеддика в метиловом спирте. Кромки линолеума защищаются замазкой. Для закрепления кромок болты и пызы, вокруг пырезов, ядоль ободочных угольниках устанавливают латунные или стальные оцинкованные планки. Планки эти крепят винтами, свариваемыми и листы металлического настила палубы; при очень тонких листах вместо винтов применяют болты.

Линолеум до некоторой степени выполняет роль дерева, будучи плохим проводником тепла и звука и несколькими. Линолеум, как и дерево, испытывает; он значительно менее тверд, чем дерево. При плохом уходе линолеум скоро изнашивается, дает трещины и становится источником загрязнения в антисептическом состоянии, так как в его трещинах незаметно скапливаются грязь и сырость.

2. Другие заменители дерева. Много было сделано, чтобы получить огнестойкий материал, который обладал бы такими же хорошими качествами покрытия, как дерево. Были предложены для этой цели различные составы, которые с различными успехом применялись на практике. Позицию таких составов занимали и другие средства в виде окрашенного полотна, матов и др. Однако до настоящего времени не найдено вполне удовлетворительного заменителя дерева.

В буфетах, умывальниках, уборных и т. п. полы покрываются металлическими плитками. В некоторых случаях применяют покрытия из резины.

¹ Более подробно вопрос о конструкции деревянных палуб рассмотрен в книге А. С. Нойса, „Русский Бытвильд“.

67. Пиллерсы

1. **Общие требования.** Пиллерсы, поддерживающие бимсы, должны быть расположены таким образом, чтобы не была превышена максимальная допустимая длина бимса, о которой говорилось выше, и чтобы они не мешали свободному проходу и производству работ в подпалубных помещениях, где, возможно, в качестве опор для бимсов должны быть использованы переборки. Несколько практических возможностей пиллерсов в различных междупалубных помещениях должны располагаться один под другим, образуя таким образом непрерывную линию опоры, передающую непосредственно или при помощи переборок нагрузку тента на систему набора корпуса. Рядом линии опоры, например, в случае отсутствия одного или более пиллерсов на какой-либо палубе, будут вызывать изгибающие усилия в соответствующих связях корпуса, для подкрепления которых потребуются дополнительные затраты материала. Или одна затрата материала, хотя и в меньшей степени, потребуется и в случае смещения пиллерсов какой-либо палубы с вертикальной линией опоры. Поставка местных пиллерсов требует все орудиями, шпилами и другими тяжелыми грузами, которые не имеют никаких других опорных конструкций.



Рис. 188. Пиллерсы старой конструкции.

Пиллерсы обычно работают в сжатии, но они могут во многих случаях работать и на растяжение, как, например, при качке или в том случае, когда нижняя палуба загружена больше, чем верхняя палуба, или при действии дымовых газов. Это обстоятельство должно учитываться при расчете и конструировании закрепления концов пиллерсов. На военных кораблях особенно необходимо учитывать это при креплении концов бимсов с палубой, подвергающейся действию дымовых газов.

2. **Конструкция и закрепление пиллерсов.** Пиллерсы обычно изготавливают из труб сварочного железа или из стальных труб с приваренными к ним в одно целое наголовниками и башмаками. Иногда наголовники и башмаки делаются листами и трубы насаживаются на них. Обычные междупалубные пиллерсы выше броневой палубы на больших кораблях имеют диаметр 125 мм и толщину стеков 6 мм. В трюмах, в котельных помещениях, под барбетами и в других помещениях, где пиллеры имеют большую длину и нагружены большим весом, их диаметр доводят до 300 мм при толщине их стенок от $\frac{1}{4}$ до $\frac{1}{2}$ дюйма. Наголовник пиллерса должен упираться в полку бимса и перекрывать его стенку, простираясь выше полоны ее высоты, удерживая ее от выпучивания и от кручения (рис. 188). Под башмаком пиллерса к бимсу прикрепляется обратный уголник, служащий для прикрепления к нему башмака (см. рис. 188). Наголовники и башмаки обычно крепятся замковками, однако, в некоторых случаях приходится применять и гужины. Башмаки пиллерсов необходимо устанавливать непосредственно из стальной настилки и крепить их непосредственно к бимсам. Их нельзя крепить болтами к деревянному настилу. Исключение в этом отношении составляют пиллерсы, поддерживающие ростерные бимсы, т. е. такие пиллерсы, которые не являются составной частью основной конструкции корпуса корабля. Под тяжестью пиллеров на

палубах необходимо ставить накладные листы. Заклепочные отверстия должны абсолютно точно совпадать, когда пиллерс пригнан к мосту. В некоторых случаях, требующих установки пиллерсов, их присутствие в определенные моменты времени может сильно мешать, как, например, вблизи шквалей, торпедных аппаратов и т. п. В этих случаях эти

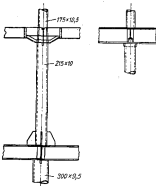


Рис. 189. Пиллерс современной конструкции с приваренными кинцами.

пиллерсы необходимо делать съемными, обычно подвешивая их у погребения.

Как было указано в разд. 20, п. 2, в случае большой эксцентриситости нагрузки крепление концов пиллерса должно быть шарнирным. На современных кораблях прикрепляемые каголовники и башмаки заменяются привариваемыми кинцами, которые служат для жесткой заделки концов пиллерсов и разнося их реакций на поперечный и продольный изгиб (рис. 189).

ГЛАВА XVI

ПЕРЕБОРКИ

Переборки бывают водонепроницаемые, нефтепроницаемые и проницаемые. Водонепроницаемые переборки можно разделить на два класса: обычные водонепроницаемые переборки, которые только во время аварий и, следовательно, редко подвергаются давлению воды, и переборки, ограничивающие систерны, подвергающиеся давлению воды в течение полного периода времени. Мы рассмотрим сначала обыкновенные водонепроницаемые переборки.

63. Основные функции и требования

1. Водонепроницаемое подразделение. Водонепроницаемые переборки имеют своим назначением разделить корабль на большое число отделений для обеспечения его непотопляемости и в то же время для наилучшего использования этих помещений. Переборки должны быть достаточно прочными, чтобы противостоять давлению воды в наиболее тяжелых случаях затопления этих отделений и оставаться при этом водонепроницаемыми, однако, их водонепроницаемость не должна быть абсолютной. Небольшая течь воды через замки и швы, с которой может справиться осушительная система корабля, допустима.

2. Переборки как скелет эквивалентного бруса. Переборки, являясь жесткими диафрагмами в стеканиях, сопротивляющимися сжимающим и перекашивающим усилиям, действующим в их плоскости, обеспечивают, таким образом, жесткость корпуса.

Продольные переборки в трюме, простирющиеся на более чем половину средней части длины корпуса, надо так конструктировать, чтобы они были способны поколоть, в качестве стеков эквивалентного бруса, работе бортов корабля. Для этого должна быть сохранена непрерывность таких переборок, по возможности, как по их длине в пересечениях с попечечными переборками, так и по высоте и пересечениях с платформами. Выше брандье палубы продольные переборки должны оставаться непрерывными по длине, но не должны прорезать палубу. Продольные переборки, играющие роль стеков эквивалентного бруса, должны соединяться по верхам и нижним своим кромкам с палубами и днищем. Такие переборки не должны разрываться на концах и обладать необходимой прочностью и жесткостью по избежание больших напряжений и деформаций. Это требование особенно важно для длинных быстроходных кораблей легкой конструкции.

Поперечные переборки обязаны выполнять в поперечном направлении такие же функции, как продольные переборки в продольном направлении. Они должны, в частности, обеспечивать сопротивление корпуса усилиям, возникающим при поперечной качке корабля, и передавающим силам и изгибающим моментам в поперечных сечениях корпуса корабля, находящегося в доке, как об этом было сказано в гл. III.

Особенного внимания заслуживает прочность соединительных обделочных уголников переборок на восприятии передаваемых усилий, возникающих при постановке в док.

3. Поддержка весов. Все поперечные переборки должны быть, насколько возможно, непрерывными в вертикальном направлении между внутренним дном и броневой палубой для лучшего восприятия и разноса сил веса.

Переборки особенно хорошо приспособлены к выполнению этой функции, так как они разносят нагрузку на большую площадь конструкции днища и хорошо воспринимают нагрузку, любым образом направленную в их собственной плоскости. Последнее обстоятельство особенно важно, когда корабль испытывает бортовую качку и нагрузка все время меняет свое направление. Переборки в этом отношении имеют большое преимущество перед пандусами, которые могут поддерживать только нагрузку, действующую нормально к палубе.

69. Расположение листов и ребер

1. Общая конструкция. Если бы переборка предназначалась только для сопротивления давлению воды, то ее можно было бы конструировать как гибкую мембранию малой жесткости. В этом случае ее можно было бы изготовить из очень тонких листов, хорошо соединенных по швам и стыкам, подкрепленных блоками, расставленными, таким образом, пересекающимися под прямым углом, легкими ребрами, хорошо связанными с опорным контуром. У такой переборки может быть достигнута хорошая водонепроницаемость при малом ее весе, но при этом листы переборки получат большие деформации, так как она будет сопротивляться давлению воды исключительно лишь своим растяжением. Однако большие деформации переборок нежелательны, так как в местах прохода через них труб, установки дверей и т. п. будут возникать большие местные напряжения, которые могут вызвать растрескательство и течь в переборках. Помимо этого, требование, чтобы переборки служили прочной связью корпуса, вызывает необходимость конструировать их достаточно жесткими. По этим соображениям прочность переборок должна обеспечиваться, главным образом, ее кабором, который мог бы сопротивляться давлению воды. В этом случае прогиб переборки как целой конструкции и прогиб отдельных ее стоеч будет незначительным, хотя прогиб листов переборки между стойками может быть большим. На некоторых плавающих лодках делаются сферические переборки без ребер, сопротивляющиеся давлению водой исключительно растяжением.

2. Листы располагаются параллельно стойкам. Эта система с вертикальными стойками и обшивкой палубы, показанная в разных вариантах на рис. 190, широко применялась во французском флоте. Обычно тавровые балки выполняют одновременно роль стоеч в пазовых планах (рис. 190, б). Если же каждой полке такого профиля может поместить-

ся лишь один ряд заклепок, то требуется постановка с другой стороны переборки пазовой плашки (рис. 190, а). Однако часто полки тавра настолько широки, что позволяют разместить в них двухрядные швы и в этом случае обратной пазовой плашки не требуется.

Переборка по всей ее высоте обычно делается из листов одной длины, и, следовательно, одной толщины. Для больших переборок в качестве стоек применяется коробчатый или двутавровый профиль,



Рис. 190. Расположение стоек и пазов в переборках, применявшихся на французских военных кораблях.



Рис. 191. Поперечные переборки с ребрами жесткости из отогнутых фланцев.

точечные швы листов располагаются посередине между ребрами и соединяются на дюбельных пластинах (рис. 190, а). Иногда ребра переборок образуются из отогнутых кромок листов, как это показано на рис. 191. Такая конструкция широко применяется на малых миноносцах в разных флотах; иногда с вертикальным, иногда с горизонтальным расположением пазов.

Пазы располагаются нормально к стойкам. При такой системе, применяемой в английском, американском и отчасти во французском флотах, обычно пазы располагаются горизонтально, а стойки — вертикально. На рис. 192 показана конструкция переборок, применявшаяся в английском флоте¹; горизонтальные листы соединяются по пазам на



Рис. 192. Конструкция поперечных переборок, применявшихся на английских больших военных кораблях.

тавровой плащике, подкрепляемой пазами. Глазные стойки ставятся вертикально на расстоянии от 2,44 до 3,66 м. Стойки состоят каждая из двух высоких двутавровых балок, находящихся с разных сторон переборки. Между этими стойками расположены промежуточные стойки из звеношного и углового профиля подпеременно, в расстоянии около 610 мм друг от друга. Стыковые плашки ставят со стороны стоек, тогда как горизонтальные тавровые балки на пазах ставят на противоположной, т. е. из чеканившейся стороны. Позже в английском флоте начали применять² соединение пазов и стыков переборок винтовой, поэтому горизонтальные балки по пазам перестали ставить и система набора переборок уже состояла только из вертикальных стоек, по сог-

¹ Annexed, "War-Ships", London, 1904.

² "Manual of Seamanship", London, 1920.

ренился принцип деления переборки на отдельные секции двойными изогнувшимися стойками.

В американском флоте панели листов переборок располагались горизонтально и до введения сварки панели и стеки соединились винтами. Прежде стойки делали двойными и листы переборок располагались по системе покрышающих и прилегающих панелей (рис. 193, а), что требовало установки прокладок под стойками на всех панелях. Кроме того, двойные стойки имеют и другие недостатки, о которых будет сказано дальше. На современных кораблях стойки за исключением исключением устанавливаются на одной стороне переборки, причем их ставят на неизогнувшейся стороне переборки (рис. 193, б). Обычно все стойки

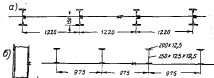


Рис. 193. Конструкции поперечных переборок на американских линкорах:
а — конструкция ранней эпохи; б — конструкция более поздней эпохи.

одинакового сечения и ставят их на расстояния около 1200 мм друг от друга. Панели обшивки располагаются по клиновидной системе с вымощкой панелями, при которой требуется только клиновидные прокладки на стойках с длинной, достаточной для размещения двух панелей.

4. Система ребер, пересекающихся под прямым углом. Такая система ранее широко применялась, особенно в коммерческом флоте. Вертикальные стойки ставили с одной стороны переборки, а горизонтальные ребра — с другой стороны. Обычно на коммерческих судах вертикальные ребра делали более легкими и располагали чаще, в то время как горизонтальные ребра изготавливали в виде балок большой высоты, установленных одна от другой на расстояния, равном расстоянию между палубами. Иногда, в дополнение к высоким горизонтальным балкам, ставили проемокутющие горизонтальные ребра меньшей высоты.

Б. Сравнение различных систем. Сравним сначала расположение ребер. Нагрузка на погонную единицу длины ребра, которую оно при заданном сечении может выдержать, обратно пропорциональна квадрату его длины. Поэтому, с точки зрения прочности под действием давления воды, наиболее выгодно располагать все ребра параллельно короткой стороне переборки, т. е. у переборки малой высоты и большой ширине ребра должны делаться вертикальными, и наоборот. Чтобы от ребра заданного сечения и заданной длины получить наибольшую прочность, нужно сжимать концы его жестко защемлять, для чего изборный контур, к которому эти концы крепятся, должен обладать необходимой для этого жесткостью. Ширина переборок машинных и котельных отделений обычно больше их высоты, а длине и бровская палуба обли-

дают большой жесткость и являются хорошими опорами для стоечек. Поэтому для этих переборок наиболее выгодным является вертикальное расположение ребер. Все отдаленые переборки разделяются палубами на секции малой высоты и большой ширины, поэтому и здесь наиболее подходящими являются вертикальные стойки. В бортовых переборках часто ширина бывает гораздо меньше высоты, но и в этом случае целесообразнее ставить стойки вертикальные, так как при горизонтальном расположении ребер труда не существует достаточно жесткое крепление их концов. На кораблях с углами отопления горизонтальные ребра на бортовых переборках крепятся с точки зрения погрузки угля, устройства горловины и выгребания угля. В наклонных отсеках, а иногда и в бортовых отсеках переборки имеют большую высоту и малую ширину и боковые опорные кромки, достаточно жесткие для закрепления концов горизонтальных ребер. В этом случае могут применяться горизонтальные ребра. Хорошим примером является таранная переборка, горизонтальные ребра которой могут быть закреплены кницами к продольным балкам бортового набора или к наружной обшивке, которая здесь обычно двойная или имеет большую толщину.

Таким образом можно сделать общее заключение, что, с точки зрения сопротивления давлению воды, наилучшей является система набора, состоящая из ребер одного направления, обычно вертикальных, так как они лучше выдерживают усилия от веса и имеют лучшие условия для закрепления их концов.

Если рассматривать переборки с точки зрения их работы в качестве жестких диафрагм, то наиболее эффективной окажется смешанная система набора переборок. Однако на больших военных кораблях как горизонтальные сжимающие узлия, так и усилившие от поперечного изгиба корабля, воспринимаемые каждой отдаленной переборкой, имеют не большую величину. Обычно достаточный запас прочности имеют переборки для восприятия усилий при постановке в док из боковых киль. На больших кораблях, устанавливаемых в док только на центральный киль, поперечные переборки оказываются более сильно напряженными и желательно в этом случае разделить обшивку на малые панели, чтобы исключить возможность потери устойчивости от касательных напряжений. Это лучше всего достигается установкой легких горизонтальных балок с противоположной вертикальным стойкам стороны. Такой метод может быть с успехом применен и для переборок систерн, где требуется большая жесткость листов обшивки. Однако эти горизонтальные балки служат, главным образом, для местного подкрепления листов и не могут считаться ребрами переборок.

Таким образом нет необходимости применять смешанную систему для обычных водонепроницаемых переборок больших военных кораблей, и система набора переборок, состоящая только из вертикальных стоек, может считаться наилучшей в большинстве случаев.

Такая система теперь применяется не только на военных кораблях, но получила всеобщее распространение и на коммерческих судах после одобрения ее Ассоциации Ллойдом в Бюро Веритас. Исключениями являются лишь переборки из нефтяных танкеров, на которых, кроме высоких вертикальных стоек, устанавливаются часто расположенные более легкие, но достаточно прочные горизонтальные ребра с той же стороной переборки.

Поперечные переборки машиносцев между машинными отделениями подвергаются большим усилиям от поперечного изгиба, и поэтому в этом случае система набора, состоящая из одних только вертикальных стоек, не может считаться удовлетворительной, если толщина листов обшивки переборок не делается больше обычной. Лучшим решением здесь является добавление к системе вертикальных стоек системы легких горизонтальных балок, не имеющих кинчного крепления концов и расположенных с чеканящейся стороны; при этом толщина обшивки может назначаться умеренной, примерно, равной 4—6 мм.

Расстояние между стойками обычно принимают такое же, что и между шпангоутами, за исключением мест под тяжелыми грузами, где устанавливают промежуточные стойки. Стойки на продольных переборках должны устанавливаться непосредственно под бинсами, а стойки на поперечных переборках по возможности на продольных балках наружу и днища.

Возвращаясь к обшивке переборок, следует отметить, что горизонтальное расположение листов обшивки имеет то преимущество, что при этом толщину обшивки можно постепенно увеличивать от верхней части вниз, в соответствии с увеличением давления волн. Кроме того, независимо от прочности, рекомендуется самую нижнюю часть переборки делать из листов увеличенной толщины, так как она больше, чем остальные части переборки, подвергается коррозии. Горизонтальные панели обшивки образуют дополнительные линии жесткости, которые вместе со стойками разбивают обшивку на небольшие участки.

Таким образом горизонтальное расположение панелей обшивки переборок найдется и в лучшем.

6. Сварные переборки. Сварка переборок может в настоящее время рассматриваться как стандартный процесс их изготовления на военных кораблях. Пазы и стыки обшивки свариваются стыковыми швом, в результате чего устраиваются проходки и соединительные пластины и получается ровная поверхность, к которой крепятся ребра. На машиносцах, где толщина переборок минимальная, обшивка при сварке деформируется и выпучивается. Поэтому рекомендуется несколько увеличить толщину обшивки против требуемой по условиям прочности.

Как рекомендовалось выше, толщина листов переборок больших машиносцев по другим соображениям должна равняться 4—6 мм, а система набора при отсутствии перекровей и соединительных плашек должна быть такой, чтобы листы разделялись лишь на небольшие панели.

70. Конструкция стоек

Стойки обычно делаются из различных катанных профилей, часто усиленных уголниками или плавами. В настоящие времена наиболее употребительными профилями являются уголники, коробки, углобульбы, тавры и двутавры. Более прочные стойки делаются составными из листов и уголников. Это так называемые уширяемые, или рамные, стойки. Легкие стойки могут быть образованы отгибом кромок обшивки переборки.

На современных кораблях при сварных переборках часто применяется тавровый профиль, обычно с высокой стенкой, приваренной к обшивке переборки двойным валиковым швом.

1. Сравнение двойных стоек с одинарными. Под термином двойная стойка разумеется комбинация двух одинарных стоек, поставленных с разных сторон переборки и склеенных друг с другом через обшивку. Ясно, что в этом случае высота стойки с каждой стороны переборки, т. е. положение общей высоты, будет меньше высоты эквивалентной одинарной стойки. При некоторых условиях это является преимуществом, так, например, для переборок между двумя машинными отделениями, где желательно иметь симметричное расположение и более удобное использование места. Двойные стойки также обладают одинаковой сопротивляемостью против давления воды с любой стороны переборки, что с первого взгляда может казаться важным преимуществом для поперечных переборок и диаметральной переборки. При одинарных стойках и при давлении воды со стороны стояк листы переборки отрывают заклепки, что исключительно с точки зрения их нормальной работы. Однако при обычных испытаниях переборок с одинарными стойками листы подут себя одинаково, с какой бы стороны ни прилагалось к ним давление воды, то, возможно, что различия в поведении переборки все же будут наблюдаться при давлении, разрушающем переборку.

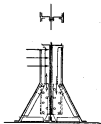


Рис. 194.

Можно считать, что в пределах обычно требуемых испытаний этим обстоятельством можно пренебрегать, если переборки конструируются по изложенным правилам и если обеспечено корочее соединение стоеч с листами переборок. Бортовые переборки, подвергающиеся действию взрыва торпед и мин, могут испытывать давления, далеко превосходящие испытательные. Поэтому стойки таких переборок должны всегда, поскольку возможно, устанавливаться с противоположной от давления стороны, так как в противном случае заклепки могут быть вырваны из листов и обшивка может оторваться от стоеч.

Конструкции с двойными стойками артишук дефект, которого нет в конструкций с одинарными стойками. Этот дефект заключается в том, что заключенное соединение стоеч с переборкой дает линии ослабления сечения, совпадающую с нейтральной осью, где действуют наибольшие касательные напряжения. Эти касательные напряжения имеют наибольшую величину между точками перегиба и концами крепящих стойку шпилек, т. е. на участках листов стойки EC и FD , показанных на рис. 195. Здесь одна стойка стремится сдвинуться вверх, а другая вниз, как показано на рис. 194. Этому сдвигу препятствуют только заклепки, соединяющие полки через лист переборки. При одном ряде заклепок в них будут возникать большие пересывающие напряжения даже при умеренной нагрузке на переборку. При этом наблюдается относительный сдвиг стоеч в точке перегиба будут передаваться к концам шпилек. При достаточном увеличении нагрузки точки перегиба сдвигнутся к концам, и, если последние достаточно прочны, то двойные стойки будут

и дальнейшем работать как балка, свободно оперта в точках С и D (см. рис. 196).

В американском флоте производились многочисленные, с тщательными замерами испытания переборок с двойными и одинарными стойками.

Эти испытания были проанализированы автором; результаты этого анализа были вложены в его доклад¹. Испытания переборок с двойными стойками полностью подтвердили выше отмеченную их слабость. Замеренная стрелка прогиба у этих стоеч с каждой заделкой из концов оказалась в четыре раза больше, чем вычислённая теоретически, считая концы жестко заделанными, а момент стойки — разной величины ее длины. И, с другой стороны, измеренные стрелки прогиба хорошо соответствовали расчетным в предположении, что стойка имеет шарнирную опору на концах концов². Оборудование при испытании большая разница в величинах замеренной и расчетной стрелок прогиба не могла быть отнесена за счет недостаточной жесткости концов, которые не покрывались во время опытов никаких признаков недостаточной их прочности и по своей конструкции вполне обеспечивали жесткую заделку концов стоеч. Было ясно, что эта разница зависела от наличия самих стоеч. Отмеченные выше слабости двойных стоеч можно было бы, конечно, избежать путем усиления соединения между внутренними пакетами двойных стоеч, расположенного на нейтральной оси сечения стойки, применения двухрядный или трехрядный заклепочный шов для этого соединения. Однако при этом значительно увеличилась бы стоимость и вес конструкции. Другим серьезным недостатком клядных двойных стоеч является невозможность нагревождение у нейтральной оси материала, наличие которого очень мало влияет на величину момента изгиба сечения стойки. Кроме того, проходящие через четыре толщины (см. рис. 194) заклепки плохо сопротивляются сдвигу.

Одинарные стойки можно изготовлять из одного какого-нибудь катального профиля, например, коробчатого или двутаврового. Такие стойки по нейтральной оси не имеют ни фасонения, ни ненужного скопления материала. Присоединяя к свободной полке стойки пакеты или обратный уголник, можно улучшить использование листа переборки при совместной ее работе со стойкой и получить сравнительно наибольший момент сопротивления стойки данного профиля. Ширину эффективно работающего вместе со стойкой пакета листа обшивки переборки можно, как обычно, принимать равной 30 толщинам пакета расстояние между рядами заклепок, соединяющих обшивку со стойкой. Стойки главных переборок даже на малых кораблях предпочтительнее делать из двутавров, так как при этом можно обшивку переборки в пакете по свободной полке присоединять к стойке двухрядным швом. Расположение заклепок в рядах должно быть шагматным и шаг заклепок в каждом ряду не должен быть больше 5 д.

В отмеченных выше испытаниях переборок, производившихся с 1897 по 1914 гг., одинарные стойки описываемой здесь конструкции с книжным креплением концов дали значительно лучшие результаты, чем двойные. Сравнения делались для переборок линейных кораблей и бронированных крейсеров. Высота переборок, давление воды и другие условия

¹ An Analysis of the Strength of Water-Tight Bulkheads, Sec. Nav. Ann. and Mar. Eng., 1925.

² На рисунке двум диаграммам замеренных и расчетных прогибов стоеч для каждого сечения. Эти диаграммы в переводе не приводятся.—Ред.

были практически одинаковыми для сравниваемых переборок. Вес пологового метра длины одинарных стоек был, примерно, на 40% меньше, чем для двойных стоек. Расчетный момент изгиба одинарных стоек составлял, примерно, только две трети момента изгиба двойных стоек. Тем не менее, одинарные стойки, закрепленные на концах киевами, изгибались, как балки с жестко заделанными концами в точках *A* и *B* (рис. 195), имена стрелки прогиба значительно меньше, чем у двойных стоек при тех же условиях изгиба¹.

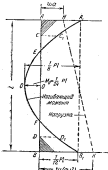


Рис. 195.

расстояние между стойками равно z м, то общая нагрузка на стойку переборки будет равна:

$$P = zl \left(a + \frac{1}{2} l^2 \right) \text{ в тоннах.} \quad (151)$$

причем часть этой нагрузки, равная za , равномерно распределенная, а другая часть, равная $\frac{1}{2} zl^2$, — распределенная по закону треугольника.

Форма кривой изгибающих моментов зависит от вида нагрузки, причем оказывается, что при действии равномерно распределенной нагрузки и нагрузки во треугольнике форма этой кривой изменяется незначительно.

¹ В оригинале приведены диаграммы изгиба, изображенные в переводе опущены.—Ред.

Одна из стоек была прикреплена верхним концом к броневой палубе коротким угольником, поэтому предполагалось, что она у верхнего конца имела свободную оконту. И в этом случае измеренные и расчетные прогибы хорошо совпадали, что подтверждало правильность предположения о эффективности работы одинарных стоек. Следовательно, следует считать, что везде должны применяться одинарные стойки, за исключением тех случаев, когда по местным условиям требуется постановка двойных стоек.

2. Крепление концов. Нагрузка, действующая на вертикальную стойку переборки, может быть графически представлена прямой наклонной линией *HK*, показанной на рис. 196. Если наверх воды у верхнего конца стойки разве a м, то у нижнего конца стойки он будет равен $(a+l)$ м, где l — длина стойки в м, обычно равная высоте переборки. Если рас-

но, что можно видеть на рис. 196. Поэтому, для практических целей можно принять форму кривой изгибающих моментов для всей загрузки, как для нагрузки равномерно распределенной, определяя величину ее по выражению (151). Таким образом форма кривой изгибающих моментов будет зависеть лишь от значений величины μ и I , а положение базовой линии, от которой отсчитываются величины изгибающих моментов, зависит от характера закрепления концов стойки. Если концы стойки свободно опоры, то базовой линией будет линия A_1B_1 (рис. 196) и наибольший изгибающий момент посередине стойки равен $M_{\max} = \frac{\mu l}{8}$. Если концы стойки заделаны, то базовой линией является линия AB , наибольший изгибающий момент будет на концах стойки и будет равен $M_{\max} = M_x = \frac{\mu l}{12}$.

т. е. будет составлять две трети от наибольшего изгибающего момента свободно опорной стойки. Посередине длины стойки изгибающий момент будет $M_y = \frac{\mu l}{24}$, т. е. равен только половине его значения на концах стойки. Если концы стойки не вполне жестко заделаны, то положение базовой линии будет среднее между AB и A_1B_1 . Поэтому, применение книц не вполне жесткие, можно уменьшить величины изгибающих моментов на опоре и в середине пролета и уменьшить величину наибольшего изгибающего момента, следовательно, уменьшить напряжения в стойке. Точное выражение изгибающих моментов будет достигнуто при $M_x = M_y = M_z = \frac{1}{16} \mu l I$, для чего степень жесткости обеих книц должна быть одинаковой и равной некоторой определенной величине.

Кницы не только уменьшают изгибающие моменты в стойках переборок, но также усиливают соединение переборок с опорным контуром, уменьшая напряжения в зонах обделочных уголков, а также помогают переборкам лучше воспринимать вертикальные усилия и распределять их по ее поверхности, т. е. улучшают ее работу как жесткой диафрагмы корпуса.

Поэтому стойки всех главных переборок корабля должны иметь кничное крепление по концам.

Для полной эффективности кницы не только должны обладать самой необходимой прочностью и жесткостью, но и также крепиться к достаточно жестким связям корпуса. Наиболее простым способом жесткой заделки концов стоеч является соединение конца стойки винткой с фланцем или стрингером (рис. 197, а). На кораблях, имеющих второе дно, такой способ крепления неприменим, и поэтому в этом случае необходимы кницы. Рассмотрим для основных типов таких книц, показанных на рис. 197, б и 197, в. Кница первого типа (рис. 197, б) состоит из треугольного листа, прикрепленного уголником или отогнутым фланцем к жест-

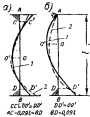
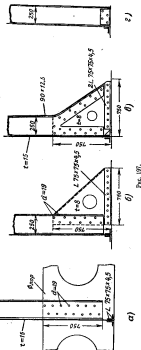


Рис. 196. Кривые изгибающих моментов в стойках переборок:
—стойка защемлена на обеих концах;
—стойка не имеет конечных связей, но другим способом крепится;
—распределение изгибающих моментов, распространяющихся на промежуточную зону;

Балластные переборки на Г. 250-350/2



кой связи корпуса. Стойка перекрывает книзу и прикрепляется к ней так же, как к флюрному листу в случае, показанном на рис. 197, а. В обоих случаях верхний заклепка испытывает наибольшие срезывающие напряжения, и, кроме того, свободная кромка кницы, если она не закреплена, может выпучиться при сжатии. Прежде чем будет постигнуто предел текучести в какой-либо части самой стойки, кничное крепление может разрушиться или от среза заклепок или от потери устойчивости кницы во ее свободной кромке.

Для того чтобы свободная кромка бракеты не могла выпучиваться, она должна иметь отогнутый фланец или быть подкрепленной уголником. Лучшее решение можно получить разрезом нижнего конца стойки и отгибом полки на величину, достаточную для постановки кницы, как это показано на рис. 197, б. Если стойка подкреплена обратным уголником или полоской, то она должна быть перенесены на свободную кромку кницы по крайней мере на такое расстояние, чтобы подкрепить стойку в районе конца кницы. Крайняя перехода от полки стойки к свободной кромке кницы не должна иметь резкого излома.

При выполнении этих требований кницу можно рассматривать как составную часть стойки, и момент сопротивления в сечении по книце легко сделать соответствующим наибольшему изгибающему моменту на месте задавливания конца стойки. Эта конструкция имеет тот недостаток, что при давлении воды на переборку с противоположной от стойки стороны форма кницы из-за отсутствия отогнутого фланца, принимающего напряжение ее изгиб, недостаточно эффективна для восприятия сжатия, так как кница может терять устойчивость. Если, однако, кница имеет достаточную высоту и достаточно плавный переход у конца кницы, то отмеченный выше недостаток не имеет практического значения, как выяснено на большом числе опытов.

Кничное крепление концов стойки должно быть рассчитано на действие полного скручивающего момента стойки. Необходимую прочность кничного крепления обычно легче получить, когда кницы и листы переборки крепятся к корпусу двойными уголниками, как это здесь и рекомендуется. Иногда возникают затруднения в придании достаточной жесткости тем связям корпуса, к которым крепится кницы. Стойки переборок следуют, по возможности, располагать так, чтобы кницы непосредственно соединялись с флюрами, стрингерами и бимсами, либо должны быть предусмотрены специальные подкрепления. На главных переборках рекомендуется применять кляды (рис. 197, в).

Для уменьшения изгибающего момента в стойке выгота книц должна быть такой, чтобы эти моменты у концов книц были равны изгибающему моменту $\frac{M_1}{2}$ в соответствии с рис. 196, а мы должны иметь $CC' = DD' = OO'$. Момент сопротивления сечений стойки в районе книц должен увеличиваться по направлению от конца книц к их основанию таким образом, чтобы напряжение нигде не были большими, чем напряжение в сечениях С, О и D. Иными словами, кривая напряжений должна иметь характер, показанный на рис. 198, при котором

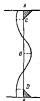


Рис. 198. Кривая напряжений в стойке переборки.

напряжения в сечениях С, О и D приблизительно равны друг другу, и все они несколько больше напряжений в сечениях А и В. Для указанного выше уравнивания изгибающих моментов высота книц должна быть не менее одной десятой длины стойки.

Очевидно, что конструкции кницы зависят не только от длины стойки, но и от ее прочности, т. е. практически от высоты ее сечения. У палубных балок высота кницы принимается равной около трех высот балки. Применяя это же правило и к стойкам переборок, мы получим второе минимальное значение для высоты кницы. Горизонтальная сторона этих книц не должна быть меньше утроенной высоты сечения стойки.

У переборок большой высоты верхние кницы могут быть несколько более легкими, чем нижние. Если верхние концы стоек не могут быть жестко заделаны при помощи книц, то они должны быть закреплены короткими уголышниками. В этом случае стойку следует считать свободно опертой у верхнего конца, и если она будет жестко заделана на нижнем конце соответствующей кницей, то наибольший изгибающий момент будет в сечении, расположенному несколько выше середины длины стойки, и будет равен $\frac{P_1}{14}$. Изгибающий момент в сечении у верхнего конца нижней кницы будет несколько меньшим. Стойки переборок малой высоты, подверженные малым давлениям, как, например, междупалубные переборки выше катерлини, не нуждаются в кничном закреплении их концов, так как в таких переборках могут быть допущены сравнительно большие деформации. Верхние концы таких стоек могут проклеиваться непосредственно к балке или же соединяться с наливным настилом двойными короткими уголышниками; нижние концы должны соединяться с палубой двойными уголышниками и одной заклепкой через обделочный уголник переборки (рис. 197, а). При таком закреплении концов стойки, как показали опыты, ведут себя как свободно опорные балки, т. е. наибольший изгибающий момент у них получается равным $\frac{P_1}{8}$.

3. Подкрепление. Если между стойками переборки прорезается листовое отверстие, то над этим отверстием, между соседними стойками, должна быть поставлена горизонтальная подкрепляющая балка. Если это отверстие стоят далеко от основания переборки, то такая же балка должна быть поставлена и по нижней кромке отверстия. Если отверстия такого рода прорезают и стойку переборки, то в этом случае также должны быть поставлены поперечные балки того же сечения, что и стойки. Эти поперечные балки должны быть прочно соединены с соседними перегородочными стойками. Если стойка главной переборки прорезается листовым отверстием у своего основания, то соседние стойки должны быть подкреплены продолжением их книц до высоты поперечной подкрепляющей балки над отверстием или должны быть надеты другие эквивалентные подкрепления.

Очень важно компенсировать вырезы в переборках, так как в противном случае будут существовать места значительных ослаблений.

4. Сварные стойки. При применении сварки в значительной мере устраняются отмеченные выше недостатки двойных клепанных стоек. Приваренные с противоположных сторон переборки двойными валиковыми швами 100%-ной прочности тверды будут иметь такую же прочность, как и балки из одного двутавра той же высоты. При этом почти

полностью удастся избежать концентрации материала у центральной оси, так как не будет прилегающих к обшивке полок и прокладок. Однако обшивка переборки, так же как и в клепаной конструкции, не используется при изгибе стойки. Стойки бортовых переборок всегда должны быть ординарными и ставиться с внутренней стороны. Вообще

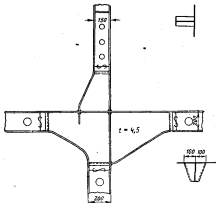


Рис. 199. Конструкция сваркой.

следует предпочтовать ординарные стойки за исключением специальных местных случаев, когда могут потребоваться двойные стойки.

Сваркой гораздо проще и легче можно получить эффективное защемление концов стоек переборок, как это показано на рис. 199.

Легкость, с которой погони любой ширины можно приварить к свободным краям стоек и сделать местные подкрепления переборки, является наиболее важным преимуществом сварки.

71. Обшивка переборок

1. Главные размеры. Длину и ширину листов следует принимать, по возможности, одинаковыми. Обычно они имеют те же размеры, что и листы наружной обшивки. Толщина листов должна быть достаточной для сопротивления их давлению волны, но так как это давление воды является случайной нагрузкой, то в листах переборки допускаются при испытательном напоре некоторые остаточные деформации, при которых не происходит нарушения водонепроницаемости переборки.

Согласно опытам и испытаниям, толщина листов переборок может определяться по кривой B рис. 56. Однако в то время как полученная по этой кривой толщина листов будет удовлетворять всем условиям прочности переборки в ее нижней части, она может оказаться недостаточной в верхней части переборки. При работе переборки как листовой диафрагмы или как сплошной балки верхние панели переборки могут быть так же сильно нагружены, как и нижние. Если действующие усилия известны, то можно определять расчетом величину единиц измерения нормальных и касательных напряжений и на основании этого расчета определить требующуюся толщину листов переборки. При этом может оказаться необходимым толщину листов некоторых панелей переборки, найденную по кривой B рис. 56, несколько увеличить. В некоторых случаях может также оказаться необходимыми толщины листов переборок, определенные по кривой B , увеличить для улучшения качества чеканки, или по условиям местной прочности, или имея в виду коррозию. Обычно в результате учета всех обстоятельств разница в толщинах листов при переходе по вертикали от одного панеля к другому меняется незначительно даже у высоких переборок.

На главных переборках больших кораблей нижние листы обычно делются толщиной около 8,5—9,5 мм, а верхние листы — около 5,5—6,0 мм; на миноносцах толщина листов переборок меняется от 4 до 6 мм. В английском флоте толщина листов переборок обычно сохраняется постоянной¹.

2. Пазовые и стыковые соединения. Банду больших деформаций, допускаемых в листах переборок, пазовые и стыковые соединения должны иметь большой коэффициент прочности. Однорядный заклепочный шов тонких листов имеет коэффициент прочности около 0,5 и при большой деформации легко расстягивается и дает течь. Доказательством является гибель парохода «Берийбис», который потонул из-за течи в однорядных пазах и стыках корновой переборки машинного отделения. Поэтому рекомендуется на всех переборках ниже грузовой палубы применить двухрядные заклепочные швы, коэффициент прочности которых может быть увеличен до %.

3. Крепление по контуру. Контурное крепление листов переборок достигается одинарными или двойными обделочными уголниками по всему контуру переборки. Работу этих уголников облегчают кницы стоек. Кницы, вероятно, передают на корпус большую часть нагрузки, действующей на переборку. Поэтому главное назначение обделочных уголников заключается в обеспечении водонепроницаемости и в сопротивлении растягивающим усилиям, которые могут возникнуть в листах переборок. Величина этих растягивающих усилий больше в бортовых кромках переборки, чем в диафрагме и палубой. При некоторых обстоятельствах главные переборки могут подвергаться большим перерезывающим силам, которые вызывают значительные напряжения в заклепках обделочного уголника.

Одинарные обделочные уголники всегда располагаются с чеканящейся стороны переборки и при давлении воды с этой же стороны листы имеют тенденцию отгибаться от полки уголника и распространять эти чеканку. Конечно, эта тенденция проявляется больше всего вдоль нижнего обделочного уголника и на больших переборках вдоль бор-

¹ «Naval of Seaman's», 1909.

тогого обделочного угольника, ниже ватерлинии, особенно, если переборка не подкреплена платформами. Для устранения этого явления применяются, где нужно, двойные обделочные угольники, которые вместе с тем способствуют лучшей работе переборок, как прочной связи, т. е. диафрагмы корпуса. На больших кораблях двойные угольники стыкуются между бортовыми и днишными кромок всех переборок ниже ватерлинии. Если переборки подразделяются на небольшие участки платформами и другими переборками, то двойные обделочные угольники

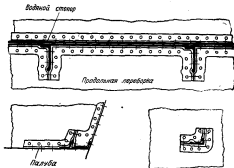


Рис. 200. Воздибронесущие обвязки у переборок.

ставят только ниже уровня верхней платформы. Однако все главные поперечные и продольные переборки должны иметь двойные обделочные угольники вокруг всего своего контура. По правилам Лоэнда, требуется солидные одинарные угольники с однорядным заклепочным швом; двухрядный заклепочный шов во всем полюм должен применяться в тех угольниках, которые отстоят от верхней палубы более 10,7 м.

При одинарном заклепочном шве обделочные угольники обычно имеют размеры 75×75 мм. Шаг заклепок равняется 4,5—5 д. При двойных обделочных угольниках шаг заклепок во приветствующей к наружной обшивке полке второго угольника принимается равным 7—8 д.

При однорядной кладке и одинарном обделочном угольнике прочность соединения очень мала. Сравнение среза заклепок с разрывом листа, получим относительную прочность соединения равной только $\frac{1}{4}$. Поэтому, если это соединение не усилено клиньями стоеч, то оно является худшее слабым местом. При двойных обделочных угольниках, следовательно, при двойном срезе заклепок относительная прочность их равна около $\frac{1}{2}$.

Все пересекающие переборку бинсы и стяжки обделяются с чеканившейся стороны.

На рис. 200 и 201 показаны различные способы водонепроницаемой обделки сажей, пересекающих переборку при клепанных и сварных конструкциях. Общее правило состоит в том, чтобы линии чеканки образовывали замкнутые контуры. Некоторые контуры могут соединяться или переключаться в другой, но линия чеканки нигде не должна прерываться.

Обделочные уголники обычно выражаются на планах и перечротах внутреннего дна переборок и других конструкций, к которым они примыкают. Короткие клевые прокладки для них не делаются. Применяются в тех местах, где это необходимо. Водяные створы ставятся, как показано на рис. 200. Второй обделочный уголник у обычных водонепроницаемых переборок не чеканится и не делается в виде водонепроницаемых обделок.

Если топперные переборки доводят до наружной обшивки, то обделочный уголник заменяет бортовой шпангоут.

Применение линий, вместо переборочных компенсационных прокладок (см. разл. 42, п. 4) значительно усиливает соединение переборки с опорным контуром. При вертикальных стойках переборок такие линии, установленные за бортах, особенно облегчают работу обделочных уголников, улучшают передачу реакции между бортом и переборкой и помогают последней лучше выполнять роль жесткой диафрагмы.

72. Переборки систем

1. Водонепроницаемые переборки. Переборки диптиков и дифронтальных систем и других отсеков, предназначенных для заполнения их водой на продолжительное время, должны обладать гораздо большей степенью водонепроницаемости, чем обычные переборки. Этого можно достигнуть только увеличением их жесткости. На таких переборках ребра должны быть так размещены и так сконструированы, чтобы деформации переборки в целом и ее обшивки между ребрами были значительно меньшими, чем у обычных переборок. Эта цель достигается лучше всего установкой главных вертикальных стоек на чеканившейся стороне переборки, имеющих обычную конструкцию, но с большей высотой профиля и чаще поставленных, и установкой дополнительных более легких горизонтальных ребер на чеканившейся стороне. Назначением вертикальных стоек является поддержка переборки в целом, в то время как горизонтальные ребра предназначаются для закрепления обшивки и разделения ее на небольшие панели. В соответствии с произведенными опытами и испытаниями, наибольшая стрелка прогиба стоеч таких переборок должна быть в два раза меньше, чем у стоек обычных переборок. Поэтому момент изгиба сечения стоеч, включая и понож обшивки, должен быть по крайней мере в два

раза больше, чем для стоек обычных переборок при таком же давлении воды. Расстояния между стойками и ребрами должны быть такими, чтобы в листах переборки не был превышен предел текучести материала. Это практически соответствует требованию, предъявляемому к листам изнутри обшивки. Поэтому значение величины r для листов таких переборок может быть найдено по кривой А рис. 56. При обычном расстоянии между ребрами 610—760 мм определяемая по кривой А толщина обшивки может оказаться недостаточной для надежной ее чеканки; в таком случае толщина листов должна быть несколько увеличена. Толщина листов, определяемых по кривой А, должна рассматриваться как минимально необходимая.

Так как главные стойки переборок пазы обшивки, то их надо ставить с нечеканимой стороны переборок, т. е. со стороны давления воды. Поэтому заклепки, соединяющие обшивку со стойками, должны иметь достаточную площадь сечения. Лучше в этом случае применять двухрядный залепочный шов; заклепки должны иметь полные зачекивающие головки. Как указывалось выше, стойки бортовых продольных переборок надо ставить всегда со стороны, обращенной к диаметральной плоскости.

Горизонтальные ребра, выполняемые из легких уголников большой длины, не должны учитываться при расчете прочности переборок в целом, но расстояние между ними влияет на величину коэффициента k_1 , служащего для нахождения толщины обшивки. Должны быть установлены два горизонтальных ребра на каждом погоне обшивки, отстоящие на четверть ширины паза от каждого паза. При таком расположении обшивка разбивается почти на квадратные панели и коэффициент k_1 будет равен около 0,64, причем наибольший прогиб обшивки окажется уменьшением почти до двух третей от наибольшего прогиба, соответствующего случаю отсутствия горизонтальных ребер. Горизонтальные ребра должны иметь на концах кинническое крашение для разгрузки обделочных угольников. Обделочные уголники должны быть или двойные или одинарные с двухрядным залепочным швом и итти вдоль всего оконного контура.

Таранные переборки корпуса должны быть отнесены к этому же классу переборок, но основной прочный набор этой переборки следует делать горизонтальным, а легкие ребра — вертикальными. Основной набор должен находиться на короткой чеканимой стороне переборки и быть связаным кинчами с продольным набором корпуса.

2. Нефтепроницаемые переборки. Непроницаемость у таких переборок должна быть обеспечена еще в большей мере, чем у переборок водяных систем. Для этого, при той же конструкции набора, толщину обшивки этих переборок для большей надежности чеканки рекомендуется увеличить на 1,5—3 мм. По сравнению с обычными переборками шаг заклепок должен быть несколько уменьшен и чеканка их должна быть выполнена особенно аккуратно.

В действительности лишь этими деталями, а не общей принципиальной схемой конструкции нефтепроницаемые переборки и отличаются от переборок водяных систем.

Необходимо отметить, что хотя для определения толщины обшивки переборок дешевле рекомендуется пользоваться кривой А, все же для определения толщины настила внутреннего дна в работе между ложных балластных отсеков предлагается пользоваться кривой В. Тол-

но так же для нефтяных диптанков рекомендуется относительно большая толщина листов обшивки переборок, чем для настила внутреннего дна в районе междуодонных нефтяных отсеков. Основанием для такой разницы является то, что в нормальных условиях давление в диптанках значительно больше, чем в отсеках двойного дна. Кроме того, это давление в диптанках может значительно увеличиваться от движения в них воды или нефти. Следует иметь также в виду, что испытательный измеритель, обычно несколько меньший для диптанков, являющийся аргументом при определении толщины по кривым рис. 66, дает относительно меньшую толщину листов.

Если соседние с нефтяными танками помещения не заполнены ни водой, ни нефтью и в то же время не являются свободными отсеками, то переборки этих танков должны быть сделаны в виде коффердамных переборок. Коффердамная переборка образуется из двух переборок, расположенных в некотором расстоянии друг от друга, причем объем между ними может быть постоянным — или в случае необходимости — заполнен водой, и поэтому одна из них должна быть нефтепроницаемой, а другая — нефтепроницаемой. При заполнении водой коффердам проходящая в него нефть без труда вслыхивает на поверхности воды. Обычно эти переборки подкрепляются вертикальными стойками умеренной высоты; стойки соединяются между собой брандстетами с отогнутыми фланцами. Эти листы-брэндстеты подкрепляют переборки и вместе с тем служат отбойными листами.

При надлежащем размещении отбойных листов, дополненных фермовыми конструкциями, можно легко сконструировать более прочные и жесткие коффердамные перегородки, чем диптанковые переборки обычной конструкции¹.

Если нефтяные системы расположены поперек корабля, как это бывает на маконосцах, то они должны быть подразделены продольными переборками из двух или нескольких отсеков, в каждом из которых в свою очередь должна быть установлена отбойная переборка, имеющая такую конструкцию, которая допускала бы некоторую циркуляцию нефти у ее нижней кромки. Такие отбойные переборки препятствуют быстрому движению жидкости и находятся достаточно близко одна от другой, не подвергаются действию больших усилий. В то же время они создают превосходные опоры для поперечных переборок у концов систем.

Если устанавливается только одна продольная переборка, то она должна конструироваться весьма прочной. На одном танкере, на котором была установлена лишь одна диаметральная переборка, все крепления ее оказались оторванными и в конце рейса были найдены на дне отсека.

Обделочные уголники нефтепроницаемых переборок должны быть двойными по всему контуру и у больших переборок они должны иметь волнистую обшивку в чрезвычайно с обеих сторон. Нефтепроницаемый шнур должен быть принят лишь по одному уголнику.

¹ W. Dahlmann, Festigkeitsversuche an Kofferdamsegmenten, Werk, Boederoel, Halem, 1. Nov., 1932.

Также Ото, Strength of Compound Beams and Hold Cofferdams, Jap. Soc. Natl. Anth.

73. Сварка переборок

Никакая другая часть конструкции корпуса не может в таком полном объеме и так усиленно свариваться, как переборки. Принцип заключается в том, что переборки представляют собой отдельные конструкции, которые могут полностью свариваться вне корабля и затем в готовом виде устанавливаться краном на место. Сварка переборок поэтому может быть выполнена горизонтальными швами в удобных условиях. Обычно переборки привариваются по их контуру непосредственно к обшивке, внутреннему дну и палубам двойным валиковым швом. В случае применения для корпуса специальной стали к переборкам приваривается поясок из мягкой стали, при помощи которого она прикрепляется к корпусу. Стыки и пазы листов свариваются усиленным с обеих сторон швомстык. Ребра жесткости, изготовленные обычно из тавровой стали, привариваются к обшивке двойным валиковым швом. Кантовое крепление стойки переборки сваркой конструкции показано на рис. 199, а сварной узел нефтепротяжкой переборки — на рис. 201.

74. Практическое проектирование переборок

1. **Правила конструирования.** Приведенные выше выводы и предложения являются основанием для следующих правил конструирования переборок:

1. Стойки переборок должны быть обычно вертикальными, однократного сечения и расположеными на равном расстоянии друг от друга. Горизонтальные стойки следует применять лишь там, где высота переборки значительно больше, чем ее ширина, и где может быть достигнуто жесткое крепление концов этих стоек. На переборках системы и в других специальных случаях для дополнительного местного подкрепления обшивки переборки между вертикальными стойками надо ставить легкие горизонтальные ребра в комбинации с поперечными вертикальными стойками.

2. Стойки, как правило, должны стоять друг от друга на таком же расстоянии, как и шпангоуты, и ставиться во возможности на балках поперечного и продольного набора корпуса. На переборках системы и в других случаях, где требуется повышения прочность и жесткость переборки, расстояние между стойками должно равняться половине ширины.

3. Стойки переборок должны быть оправленными (односторонними) и располагаться с неочеканвшейся стороны переборки. На главных переборках стойки усиливаются присоединением к их свободным концам полос. Присоединение этих полос к стойкам, так же как и крепление стоек к обшивке, должно производиться двухрядным заклепочным швом или двухсторонним валиковым сварным швом. Шаг заклепок не должен быть более b/d , а высота концов стоек шаг заклепок должна быть несколько уменьшена. Ширина полки по свободной полке стойки не должна намного превышать ширину этой полки. Односторонние стойки следует предпочесть любым, как в клепанных, так и сварных переборках.

4. Стойки должны быть снабжены надежными винцами на обоих концах; предпочтение следует отдать винцам, извернутым между разрезанными и отогнутыми полками профилей, как показано на рис. 197, а. Высота и ширина нижних концов должны быть не меньше тройной высоты стойки и не меньше одной десятой длины стойки. Размеры марки

книц на высоких переборках могут быть несколько уменьшены. Кницы должны быть связаны с жесткими связями набора корпуса или должно быть сделано другое эквивалентное подкрепление. На второстепенных переборках, а также, где окажется невозможным осуществить жесткую связь концов стоек, концы их следует ширинко закрепить короткими уголниками, как это показано на рис. 197, а, или они должны быть приварены.

5. Поясья обшивки переборок должны располагаться горизонтально; толщины их должны уменьшаться по высоте от днища вверх. Пазы и стыки переборок, расположенных ниже ближайшей к ватерлинии палубы, надо соединить двухрядным заклепочным швом. При сварке пазов и стыков они должны сшиваться стыковым швом, усиленным с обеих сторон.

6. Обделочные уголники на главных переборках и на всех переборках систем должны быть двойными по всему контуру. На менее важных переборках двойные уголники могут идти лишь до уровня ватерлинии или до палубы, ближайшей к ватерлинии. В сварных переборках обделочные уголники заменяются двухсторонней сваркой.

2. Определение прочных размеров. Предполагая, что вышеупомянутые правила выполнены, перейдем к определению прочных размеров клепанных переборок определенной высоты, подвергающихся вскотому известному давлению воды. Предположим сначала, что вертикальная стойка переборки из обоя концах закреплена кницами и не имеет промежуточных спор. При предполагаемой конструкции книц расчетная длина стойки I может быть принята равной полной высоте переборки за вычетом высоты подпалубной балки, к которой крепится верхний конец стойки, например, за вычетом высоты бимса, к которому может крепиться стойка продольной переборки. Если напор воды выше верхнего конца стойки равен a , то напор воды у основания стойки будет равен ($I+a$). Значение величины a , определяющей экспериментальный напор воды, должно быть принято соответствующим той наибольшей осадке, по которую корабль может погрузиться при предполагаемых условиях его повреждения. При этом должны учитываться дифферент и крен корабля, его тип и размеры, а также расположение переборок. Переборки, расположенные в оконечности корабля или у его бортов, могут подвергнуться большему напору, чем переборки, расположенные в средней части или ближе к диаметральной плоскости корабля. Должно быть также учтено увеличение напора воды от перемещения вспышившейся в отсек воде при кильевой и бортовой катке корабля. На пароходе «République» окончательное разрушение переборки машинного отделения произошло тогда, когда он был взят на буксир и буксировал в море.

Расчетный напор воды лучше всего можно определить при помощи простой формулы, учитывающей главнейшие факторы, влияющие на величину этого напора. Мы приведем здесь формулу для определения наибольшего переутягивания H_1 , соответствующего различным сечениям корабля, находящимся в расстоянии x от миделя. Переутягивание на миделе H_1 зависит от разности между нормальной осадкой и осадкой в полном грузу, увеличения средней осадки при затоплении отсеков и угла дифферента. Предполагаем, что все эти факторы будут учтены, если принять $H_1 = \frac{T}{4}$, где T — осадка корабля из миделя. Это

соответствует испытательному давлению на модели, равному среднему между принятым в американском и английском флотах. Считается далее, что наихудшим случаем затопления, который должен учитываться в расчетах, является случай затопления корабля, при котором главная его палуба в носу или корме погружается в воду (по английской терминологии — верхняя палуба). Эта палуба на военных кораблях, до которой доходят водонепроницаемые переборки, и является, следовательно, палубой переборок, так как выше ее водонепроницаемые переборки или совсем не стоят или стоят очень редко. Пусть F — надводный борт до этой палубы в носу или в корме в зависимости от того, носовая или кормовая переборка подлежит рассмотрению. Тогда будем иметь:

$$H_0 = \frac{T}{4} + 2 \cdot \frac{F - \frac{T}{4}}{L} x, \quad (152)$$

где L — длина корабля. Для таранной переборки можно приблизительно считать $H_0 = F$, т. е. эта переборка должна испытываться напором, высота которого равна высоте до главной палубы.

Применим эту формулу к линейному кораблю, для которого $L = 200$ м; $T = 8,5$ м; $F = 6$ м (в носу).

Для средней части $H_0 = 2,1$ м. Для переборки в расстоянии $x = 40$ м в нос от модели найдем:

$$H_0 = 2,1 + \frac{2(6-3,1)}{200} \cdot 40 \approx 3,65 \text{ м.}$$

Если верхняя кромка переборки находится, например, на 1,0 м выше нормальной выдержки, то испытательный напор для этой переборки будет на 2,65 м выше ее верхней кромки, т. е. $a = 2,65$ м.

Как было сказано в разд. 70, п. 2, изгибающий момент для заделанной стойки принимается равным

$$\frac{1}{32} P R,$$

где P — общая нагрузка, определяемая выражением (151) в разн.;

$$P = aI \left(a + \frac{1}{2} I \right) \text{ тонн.}$$

Поэтому

$$M_{\text{изг}} = \frac{aI}{24} \left(a + \frac{1}{2} I \right) \text{ кн.м.} \quad (153)$$

На основании анализа результатов производившихся испытаний переборок допускаемое напряжение в стойках переборок, вычисленное, как здесь предполагается, оказалось равным 1500 ат¹. При таком напряжении переборки, имеющие в основном рекомендованную здесь конструкцию, удовлетворительно выдержали тяжелые испытания, согласно правилам американского флота. Стрелки прогиба были умеренными и

¹ Soc. Nav. Am. Mar. Eng., 1910.

водонепроницаемость удовлетворительной. Например, переборка высотой 7,6 м, испытавшая напор воды на 2,14 м выше их верхней кромки, имела наибольшую упругую стрелку прогиба стоеч менее 17 мм и остаточную стрелку прогиба около 4 мм. Это соответствует отношению стрелки прогиба к пролету 1/450 и 1/1800 соответственно. В гражданском строительстве наибольшая относительная стрелка прогиба для балок допускается равной 1/360. При таких малых деформациях растяжением стоек можно пренебречь по сравнению с их изгибом. Поэтому для расчета переборок предлагается принимать допустимое напряжение около 1600 кг.

Теперь может быть найден требующийся момент сопротивления сечения стоеч $S > \frac{M_{\max}}{a}$. Подставляя значение M_{\max} по выражению (153) и считая $p = 1600$ кг, получим:

$$\begin{aligned} S &> \frac{\delta^3}{24 \cdot 1600} \left(a + \frac{1}{3} l \right) \cdot 10^6 \text{ см}^2, \\ S &> 2,6 \delta^3 \left(a + \frac{1}{3} l \right) \text{ см}^2, \end{aligned} \quad (154)$$

где a , l и δ — в метрах.

Если вода в затопленном помещении не достигает верхней кромки переборки, то наибольший изгибающий момент может быть приблизительно принят поправленным выражением $\frac{1}{24} PI$, причем в этом случае,

$$P = \frac{1}{2} \delta (l - a)^2 \text{ кг}; \quad (155)$$

$$S > 1,3 \delta l (l - a)^2 \text{ см}^2, \quad (156)$$

где a — отстояние от верхней кромки переборки до уровня воды.

Так как принятое выше значение для допустимого напряжения соответствует результатам испытаний переборок, причем при обработке этих результатов учитывалось участие обшивки переборок в работе стоек согласно приводящемуся выше правилу, то при использовании выражений (154) и (156) для подбора сечения стоек переборок необходимо принимать во внимание такое же участие обшивки в работе стоек¹.

Что касается толщины обшивки переборок, то, основываясь на результатах испытаний и теоретических исследований, можно рекомендовать для обычных водонепроницаемых переборок толщину нижнего листа определять по выражению:

$$\delta = 0,5 (7,3 + l + a) \text{ мм.}$$

Толщина других листьев обшивки может быть уменьшена на 0,5 мм на каждые 1,5 м высоты переборки.

¹ В оригинале даны таблицы величин момента сопротивления стоек переборок в зависимости от a и l при расстоянии между стойками 1220 мм, а также в фасонных листах. Эти таблицы в объеме сокращены и ими здесь не приводятся.—Ред.

Полученная по этой формуле толщина обшивки хорошо согласуется с практикой, если наибольшая осадка определяется в соответствии с выражением (152). Она не будет намного отличаться от толщиной обшивки, определенной по кривой В рис. 56 для расстояния между стойками $a=1$ м.

Толщина обшивки переборки, определяемая приведенным выше выражением, должна рассматриваться, как минимальная при расстоянии между стойками 1,2 м. При меньших расстояниях между стойками эта толщина может быть несколько уменьшена с учетом, однако, требований, предъявляемых к переборке помимо сопротивления ее давлению воды. Для переборок водяных систерн толщина нижнего пояса может быть определена по кривой А рис. 56, а толщина прочих поясов может быть уменьшена в том же отношении, как для обычных переборок. Для нефтепроводящих переборок толщина сначала находится, как для переборки водяной систерны, и затем увеличивается от 1,5 до 3 мм в соответствии с размерами отсека¹.

75. Испытания переборок

Казалось бы правильным испытывать каждую переборку давлением, соответствующим водерлинии, определяемой формулой, подобной (150), но на практике применяются более грубые правила, при которых местоположение переборок не учитывается. В английском флоте принимается напор на 1,5 м выше нормальной водерлинии. В американском флоте испытательный напор принимается на 50% больше средней осадки корабля. Правила Ллойда требуют, чтобы все обычные водонепроницаемые переборки, как и настил палуб, испытывались струей воды из брандспойта, но не требуется испытания наливом. Систерны должны испытываться напором воды, равным 30% высоты систерны, но не менее 2,44 м.

Перед испытанием помещений наливом воды необходимо убедиться, что все заклещи поставлены, вся чистка выполнена, все отверстия закрыты и наварная и воздушная трубы и трубка для подачи воды установлены. Напорная трубка должна быть открыта сверху и доведена до высоты испытательного напора. Она выполняет роль индикатора давления и сливной трубы. Перед тем как закрыть воздушную трубку, следует удалить весь воздух из заполненного водой отсека; в противном случае показания напорной трубы будут изменяться вследствие упругого сжатия воздуха и пульсации заполненного насоса.

Должны испытываться все помещения, примыкающие к наружной обшивке. Части наружной обшивки, которые погружаются в воду после спуска корабля, должны быть испытаны на стапеле.

Следует подвергнуть испытанию все отсеки, примыкающие к машинным и котельным отделениям и, по меньшей мере, один из главных переборок в районе этих отделений. Это последнее испытание иногда производится при помощи устройства специальной коффердамной переборки. Если строятся несколько кораблей по одиан и тем же чертежам, то из разных кораблей должны испытываться разные главные переборки. Если все переборки какого-либо отсека уже выдержали испытания наливом соседних отсеков, то отпадает необходимость в заполнении водой этого отсека. Переборки, не подвергавшиеся испытанию

¹ В оригинале приведены 2 типичных примера определения прочных размеров переборок. Здесь эти примеры не даны.—Ред.

ию наливом воды, можно проверить на водонепроницаемость струй воды из брандспойта. Метод испытания брандспойтом служит для обнаружения линий такой течи, которая или существует вначале или может появиться при избыточном давлении воды. Такой метод испытания поэтому не обнаружит тех недостатков, которые могут появиться, когда вся переборка подвергается большому давлению воды. Кроме того, эффективность испытания брандспойтом сильно зависит от того, как направляется струя. Плотность прилегания кромок листов и заклепок можно проверять также при помощи пожарной молотка. Во многих случаях для испытания переборок применяется сжатый воздух.

Из изложенного выше видно, что следуют различать два вида течи:

1. Первопочатковая течь, обнаруживающаяся при любом напоре воды и являющаяся результатом плохой работы.

2. Течь вследствие деформации переборки, обычно не обнаруживающейся до тех пор, пока напор не достигнет своего максимума и большой прогиб не приводит к нарушению герметичности и течи в заклепочных соединениях.

В соответствии с этим испытания имеют целью выявить, с одной стороны, качество работы и, с другой, — проверить конструкцию переборок. Поэтому, если одна из главных переборок испытана, т. е. ее конструкция проверена, то другие главные переборки той же конструкции можно испытать лишь на качество работы, т. е. струей воды из брандспойта.

Переборки следует преимущественно испытывать так, чтобы проникавшая сторона ее оставалась доступной для осмотра.

76. Переборки противоминной защиты

Переборки противоминной защиты относятся к переборкам, предназначенным для защиты корабля против действия подводных взрывов. Такие переборки могут быть бронированными или небронированными; они обычно располагаются параллельно наружной обшивке. Обычно корабль получает наибольшие повреждения при взрыве мины или торпеды в непосредственной близости к днищу. Система защиты, рассчитанная на такой взрыв, будет эффективной и в случае корыстного взрыва корпуса за счетом небольших или умеренных размеров. Однако надо иметь в виду, что взрывы больших размеров, имеющие заряд взрывчатого вещества около 450 кг, при взрывах в некотором расстоянии от корабля и на некоторой глубине могут повредить нижнюю плоскую часть днища. Такая же опасность существует в случае взрыва так называемых магнитных мин.

Взрыв заряда взрывчатого вещества весом 180 кг у борта корабля ниже бронированного щельфа будет рассмотрен особо.

1. Взрыв. Процесс детонации при взрыве — практический мгновенный; взрывчатое вещество обращается в газ в $4 \cdot 10^{-4}$ сек. Начальное давление при взрыве примерно равно $1,1 \cdot 10^8$ кг, но во мере разширения газа это давление быстро падает. В одну тысячную долю секунды давление падает до 3—4% от его начальной величины, причем радиус газового пузыря увеличивается от 280 до 760 см. Распространение взрывного изрыва происходит по линии наименьшего сопротивления. Если взрыв произошел на глубине около 3 м, то линия наименьшего сопротивления будет направлена вверх, но в присутствии небронированной обшивки корпуса с пустыми отсеками появится другая линия, еще

меньшего сопротивления, по направлению из корабля. Расширяющиеся при взрыве газы будут направлены из корабля, так как по всем другим направлениям они будут встречать более сильную преграду в видеimmerных больших масс текущей водой. Вода выплынет в данном случае роль медленно откатывающегося ствола пушки, а газ устремляется в корабль корабля расходящейся струей, имеющей большую скорость в большую кинетическую энергию, как если бы он был выстрелян из мортиры.

2. Общее устройство противоминной защиты. Общее расположение такой защиты показано рис. 138 и 139. Никакая прочная стена, которая практическим может быть установлена на борту, не может сопротивляться начальному давлению подводного взрыва. В наружной обшивке, в месте ее соприкосновения с зарядом, всегда будет пробито отверстие. Если помещение непосредственно за наружной обшивкой пустое, то первая внутренняя переборка, находящаяся даже на значительном расстоянии от обшивки и даже при условии подиризания ее с внутренней стороны водой или нефтью, будет, вероятно, полностью разрушена взрывной волной.

Проникнув в коридор, газ расширяется, скорость его падает, но давление увеличивается до некоторого предела. Одновременно забортная вода приходит в движение и газ расширяется по вертикали вдоль линии наименьшего сопротивления по направлению к поверхности воды. Если бы можно было создать внутри корабля сопротивление движению газов, сравнимое с сопротивлением воды в вертикальном направлении, то в этом случае соответствующая часть энергии взрыва, не причиняя вреда, вышла бы вперх и лишь оставшаяся часть энергии газа была бы затрачена на работу разрушения внутри корабля.

Если помещение, находящееся непосредственно за наружной обшивкой, заполнено водой или нефтью на значительную горизонтальную ширину, то входящая в корпус корабля разрушающая энергия уменьшается, и, кроме того, значительная часть энергии взрыва попадает в гидравлические сопротивления. Образовавшаяся от летования упругая волна давления распространяется во всех направлениях и передается также и через воду в систерках корабля. Непосредственно за ней следует бурый бросок воды, который, вероятно, разрушит все переборки заполненные водой отсеков. Если за последней переборкой внутри корабля расположить пустой коффердам и отсеки между переборками заполнить жидкостью неполностью, то энергия упругой волны и энергия давления воды и газа могут быть в значительной степени затрачены на гидравлическое трение, возникающее при бурении жидкости, и давление на внутреннюю переборку коффердама значительно уменьшится и будет менее концентрированным.

Если расстояние от наружной обшивки до наружной коффердамной переборки будет большое расстояние от центра взрыва до поверхности воды, то линия наименьшего сопротивления будет направлена вверх и большая часть энергии взрыва, не нанеся вреда, уйдет в атмосферу.

Помещения, заполняемые водой или нефтью для удобства и уменьшения свободной поверхности жидкости могут быть подразделены на перечными и продольными переборками на ненесущие отсеки. Эти переборки можно конструктировать, как обыкновенные водонепроницаемые и нефтепроницаемые переборки из мягкой стали. Однако нельзя предполагать, что эти переборки создают сколько-нибудь существенное непосредственное сопротивление давлению от напора воды и газа, хотя

они могут увеличить гидравлические потери, обусловленные бурением жидкости в отсеках.

3. **Бронзовая застичная переборка.** Предлагаемая здесь система защиты основана на следующих двух принципах: во-первых, отвести большую часть энергии взрыва вверх в атмосферу и, во-вторых, рассеять энергию взрыва, проникшую в корабль, на трение жидкости в тем самым уменьшить давление. Чтобы остановить потоки воды и газа и предотвратить им доступ внутрь корабля, где расположены его жизненные части, предлагается поставить внутреннюю коффердамскую переборку, которая должна не только сопротивляться давлению газов и воды, но и ударом тех оскоеков наружных конструкций корпуса, которые могут быть на нее отброшены. Для этого коффердамская переборка должна иметь бронзовую обшивку волнообразной формы, закрепленную системой рамных стоеч, прочность которых должна соответствовать прочности самой обшивки переборки.

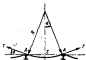


Рис. 202.

Котлы, как известно из практики, выдерживают давление в несколько десятков атмосфер, имея сравнительно умеренную толщину листов. Очевидно, было бы так же нерационально конструировать застичную переборку плоской, как нерационально делать котел в виде прямоугольного ящика. Мы видели из опытов Баха, описанных в разд. 25, что даже слегка изогнутая пластина способна выдерживать очень большое давление без разрушения. Это происходит вследствие того, что изогнутая пластина работает, как гибкая мембрана, каждый участок которой растягивает и равномерное распределение напряжений в которой способствует полному использованию прочности материала. Чем больше кривизна пластины, тем большая, до известных пределов, несущая способность листа. Лучшей формой обшивки между стойками является, очевидно, цилиндрическая поверхность, причем наибольшая теоретическая прочность получается при диаметре этой цилиндрической поверхности, равном расстоянию между стойками.

Пусть дуга обшивности AA' из рис. 202 представляет сечение обшивки между двумя стойками. Пусть R — радиус дуги, Θ — угол, стягивающий дугу, a — пролет, q — давление и T — растягивающее усилие элементарного пояска обшивки. Тогда будем иметь:

$$2T \sin \frac{\Theta}{2} = qa,$$

но

$$2R \sin \frac{\Theta}{2} = a,$$

поэтому

$$T = qR.$$

Растягивающее усилие в обшивке при данном давлении пропорционально радиусу ее цилиндрической поверхности.

Если r — растягивающее напряжение в обшивке и t — толщина обшивки, то

$$r = \frac{T}{t} = \frac{qR}{t} = \frac{qa}{2R \sin \frac{\Theta}{2}}.$$

и, следовательно,

$$q = \frac{2\pi E t \alpha}{s}. \quad (157)$$

Существенно, чтобы в обшивке не развивались местные напряжения; поэтому необходимо, чтобы опорные поверхности ребер имели цилиндрическую форму, как это показано на рис. 203.

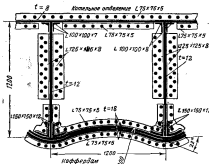


Рис. 203.

На рис. 203 (см. также рис. 138) показан один из возможных вариантов конструкции переборки, основанной на приведенных выше принципах. Чтобы отброшенные газом внутрь корабля куски разрушенной конструкции корпуса не пробили переборку, жесткуные ее листы сделаны из броневой стали. Существует много разновидностей конструкций подобных переборок, и конструкцию, показанную на рис. 203, надо рассматривать лишь как иллюстрацию основного принципа конструирования переборки, обладающей большой местной и общей прочностью, на которой нагрузка распределяется гармонично и единичнообразно. Обшивка, показанная на рис. 203 переборки состоит из двух слоев закаленной стали, толщиной 18,5 мм каждый, с пределом упругости 3700 кг. Обшивка поддерживается вертикальными рамными стойками, идущими во всю высоту переборки и поставленными с внутренней стороны на расстоянии 1,2 м одна от другой. Ввиду большой толщины и прочности листов необходима лишь небольшая их кривизна, и достаточная прочность может быть обеспечена без применения тяжелых и дорогих соединительных панелей.

Листы обшивки расположены вертикально без горизонтальных стыков. Вертикальные пары листов обшивки хорошо разогнаны один от другого в разных слоях, так что прочность пазов обшивки соответствует

прочности листа толщиной 18,5 мм, ослабленного заклепочными отверстиями. Считая коэффициент равным 0,75, получим, что прочность пазок эквивалентна прочности неослабленного листа толщиной 14 мм. При показанной на рис. 203 конструкции в $s=90$ см, $\theta=22^\circ$.

$$R = \frac{s}{2 \sin \theta} = \frac{90}{2 \cdot 0,375} = 120 \text{ см.}$$

По выражению (157) давление на обшивку, вызывающее в ней напряжение, равное пределу упругости материала, равно:

$$q = \frac{2 \cdot 2300 \cdot 1,4 \cdot 0,375}{90} = 43 \text{ кг.}$$

Это соответствует напору стояка воды высотой 430 м, что было бы сопротивлено недостаточно при плоской переборке. В то же время изогнутая броневая переборка обеспечивает такую же защиту от осколков, как и плоская переборка толщиной 37 мм.

Если необходимо, то не трудно эти переборки сделать водонепроницаемыми или нефтепроницаемыми, но для гарантии от течи рекомендуется установить по внутренним кромкам стоек броневой переборки обычную водонепроницаемую переборку. Отsek между этими переборками может оставаться пустым или его можно использовать для хранения воды или нефти.

Так как наибольшее давление газов, которое может действовать на обшивку переборки, является местным давлением, то расчетная общая нагрузка для стоек переборки может быть принята каким-либо меньшим. Принимая такое уменьшение в 4 раза, получим расчетное давление равным около 110 л вод. ст. В предлагаемой конструкции переборки, показанной на рис. 202 и 138, стойки требуемой прочности можно легко сконструировать, имея в виду, что они работают совместно со стойками коффердама, расположеннымими с обратной к борту стороны переборки. Необходимо при этом также учитывать, что изогнутая форма броневой обшивки переборки способствует увеличению ее общей жесткости. Следует отметить, что полученный выше напор воды в 110 м почти в 36 раз превосходит напор забортной воды, и поэтому следует ожидать, что большая часть энергии взрыва будет направлена в атмосферу.

77. Водонепроницаемые переборки

Практически все переборки, расположенные ниже палубами или ниже палубы, находящейся непосредственно выше палубами, делаются нефронациаемыми. В верхней же части корабля, особенно выше второй палубы, может быть много водонепроницаемых переборок. Для водонепроницаемого разделения помещений применяются различные типы переборок: структурные, из гофрированного металла, из проволочной сетки и цельнотянутого металла. Рассмотрим здесь лишь структурные проницаемые переборки, так как другие не имеют конструктивного значения.

Структурные переборки делаются обычно из листов толщиной 3—5 мм, подкрепленных легкими уголками. Они применяются в тех местах, где требуется местная прочность, как, например, в кладовых, и также для подкрепления конструкций и поддержания тяжелых грузов.

Сравнительно большие прочные размеры имеют переборки под боечными рубками и другими тяжелыми грузами.

Структурные переборки, как правило, простираются на всю высоту междупалубного помещения от настила одной палубы до настила вышележащей палубы. Поперечные частичные переборки в верхней части крепятся анкером с бимсами, в местах продольных переборок делаются вырезы для прохода биссес. Эти вырезы закрываются планками так, чтобы обеспечивалась надлежащая прочность. Особенное внимание уделяется воздухонепроницаемости переборок, ограждающих котельные, лазареты и относящиеся к ним помещения. Для обеспечения прочности, воздухонепроницаемости и коррозиостойкости по нижней части всех легких переборок этого типа необходимо ставить компинговые листы толщиной 6,5 мм. Обычно нижние угольники проиницаемых переборок текутся. Переборки поперечные, идущие от борта до борта, и все продольные переборки для обеспечения надлежащей прочности должны иметь по их верхней кромке утолщенные листы. Стойки переборок книзу и книзу должны прикрепляться к общему угольнику, а в местах соприкосновения их с бимсами они должны сединяться последним. Планки листов таких переборок обычно соединяются на один ряд заклепок; стыки часто смещаются на два ряда заклепок на оцинкованной плате. Листы обшивки должны иметь возможно наибольшую ширину, причем обычно достаточно иметь лишь один ряд обшивки между утолщенными краинами листами со верхней и нижней кромкам переборки.

Переборки такого же типа ограждаются дымоходы и машинные люки, причем толщина листов этих переборок на больших кораблях принимается равной 3 дм. Компинговые листы этих переборок должны быть существенно утолщены и прочно соединены с палубами.

На современных военных кораблях все проиницаемые прочные переборки являются скрытыми.

Замечательные соединения

Сер.	Страны	Название	Должен быть	По чьей твёрд.
3	23 фигуру	сталь, нержавеющая	сталь, не приводящая к смятию, сопадающая с начальником	так.
74	6 фигуру	в согласии с начальником		так.
189	9 фигуру	оружие	оружие	корр.
189	15 фигуру	просыпать	прекращать	корр.
218	1 фигуру	$A = 2,2 \text{ см}$	$a = 2,2 \text{ см}$	так.
224	22 и 23 фигуру	областики	областики	корр.
229	9 фигуру	Потеря	Потерий	так.
229	19 и 20 фигуру	потерянных	потерянных	так.
229	23 фигуру	реакности	рудности	корр.
232	14 фигуру	изтуки	изтуки	так.
232	7 фигуру	бронестойка	бронестойка	корр.

Все фигуры - Применение электрической энергии к предметам изображения.

Лиц. № 2.